ÍNDICE

1. DATOS DE OBRA..... 2
1.1. Normas consideradas..... 2
1.2. Estados límite..... 2
1.2.1. Situaciones de proyecto..... 2

2. ESTRUCTURA..... 3
2.1. Geometría..... 3
2.1.1. Nudos..... 3
2.1.2. Barras..... 4
2.2. Cargas..... 7
2.2.1. Barras..... 7
2.3. Resultados..... 12
2.3.1. Nudos..... 12
2.3.2. Barras..... 40

1. DATOS DE OBRA

1.1. Normas consideradas

Aceros laminados y armados: CTE DB SE-A

Hormigón: EHE-08

1.2. Estados límite

E.L.U. de rotura. Hormigón E.L.U. de rotura. Acero laminado	CTE Cota de nieve: Altitud inferior o igual a 1000 m
Desplazamientos	Acciones características

1.2.1. Situaciones de proyecto

Para las distintas situaciones de proyecto, las combinaciones de acciones se definirán de acuerdo con los siguientes criterios:

- Con coeficientes de combinación

$$\sum_{j \geq 1} \gamma_{Gj} G_{kj} + \gamma_P P_k + \gamma_{Q1} \Psi_{p1} Q_{k1} + \sum_{i > 1} \gamma_{Qi} \Psi_{ai} Q_{ki}$$

- Sin coeficientes de combinación

$$\sum_{j \geq 1} \gamma_{Gj} G_{kj} + \gamma_P P_k + \sum_{i \geq 1} \gamma_{Qi} Q_{ki}$$

- Donde:

G_k Acción permanente
P_k Acción de pretensado
Q_k Acción variable
γ_G Coeficiente parcial de seguridad de las acciones permanentes
γ_P Coeficiente parcial de seguridad de la acción de pretensado
$\gamma_{Q,1}$ Coeficiente parcial de seguridad de la acción variable principal
$\gamma_{Q,i}$ Coeficiente parcial de seguridad de las acciones variables de acompañamiento
$\psi_{p,1}$ Coeficiente de combinación de la acción variable principal
$\psi_{a,i}$ Coeficiente de combinación de las acciones variables de acompañamiento

Para cada situación de proyecto y estado límite los coeficientes a utilizar serán:

E.L.U. de rotura. Hormigón: EHE-08

Persistente o transitoria				
	Coeficientes parciales de seguridad (γ)		Coeficientes de combinación (ψ)	
	Favorable	Desfavorable	Principal (ψ_p)	Acompañamiento (ψ_a)
Carga permanente (G)	1.000	1.350	-	-
Temperatura (T)	0.000	1.500	1.000	0.600

E.L.U. de rotura. Acero laminado: CTE DB SE-A

Persistente o transitoria				
	Coeficientes parciales de seguridad (γ)		Coeficientes de combinación (ψ)	
	Favorable	Desfavorable	Principal (ψ_p)	Acompañamiento (ψ_a)
Carga permanente (G)	0.800	1.350	-	-
Temperatura (T)	0.000	1.500	1.000	0.600

Desplazamientos

Característica		
	Coeficientes parciales de seguridad (γ)	
	Favorable	Desfavorable
Carga permanente (G)	1.000	1.000
Temperatura (T)	0.000	1.000

2. ESTRUCTURA

2.1. Geometría

2.1.1. Nudos

Referencias:

Δ_x, Δ_y, Δ_z: Desplazamientos prescritos en ejes globales.

θ_x, θ_y, θ_z: Giros prescritos en ejes globales.

Cada grado de libertad se marca con 'X' si está coaccionado y, en caso contrario, con '-'.

Nudos										
Referencia	Coordenadas			Vinculación exterior						Vinculación interior
	X (m)	Y (m)	Z (m)	Δ_x	Δ_y	Δ_z	θ_x	θ_y	θ_z	
N1	0.000	0.000	0.000	X	X	X	X	X	X	Empotrado
N2	0.000	0.000	7.000	-	-	-	-	-	-	Empotrado
N3	6.100	0.000	0.000	X	X	X	X	X	X	Empotrado
N4	6.100	0.000	7.000	-	-	-	-	-	-	Empotrado
N5	12.000	0.000	0.000	X	X	X	X	X	X	Empotrado
N6	12.000	0.000	7.000	-	-	-	-	-	-	Empotrado

Nudos										
Referencia	Coordenadas			Vinculación exterior						Vinculación interior
	X (m)	Y (m)	Z (m)	Δ_x	Δ_y	Δ_z	θ_x	θ_y	θ_z	
N7	18.400	0.000	0.000	X	X	X	X	X	X	Empotrado
N8	18.400	0.000	7.000	-	-	-	-	-	-	Empotrado
N9	24.850	0.000	0.000	X	X	X	X	X	X	Empotrado
N10	24.850	0.000	7.000	-	-	-	-	-	-	Empotrado
N11	29.450	0.000	0.000	X	X	X	X	X	X	Empotrado
N12	29.450	0.000	7.000	-	-	-	-	-	-	Empotrado
N13	34.050	0.000	0.000	X	X	X	X	X	X	Empotrado
N14	34.050	0.000	7.000	-	-	-	-	-	-	Empotrado
N15	38.650	0.000	0.000	X	X	X	X	X	X	Empotrado
N16	38.650	0.000	7.000	-	-	-	-	-	-	Empotrado
N17	43.250	0.000	0.000	X	X	X	X	X	X	Empotrado
N18	43.250	0.000	7.000	-	-	-	-	-	-	Empotrado
N19	47.850	0.000	0.000	X	X	X	X	X	X	Empotrado
N20	47.850	0.000	7.000	-	-	-	-	-	-	Empotrado
N21	52.250	0.000	0.000	X	X	X	X	X	X	Empotrado
N22	52.250	0.000	7.000	-	-	-	-	-	-	Empotrado
N23	56.450	0.000	0.000	X	X	X	X	X	X	Empotrado
N24	56.450	0.000	7.000	-	-	-	-	-	-	Empotrado
N25	12.000	0.000	2.000	-	-	-	-	-	-	Empotrado
N26	47.850	0.000	2.000	-	-	-	-	-	-	Empotrado
N27	18.400	0.000	2.000	-	-	-	-	-	-	Empotrado
N28	24.850	0.000	2.000	-	-	-	-	-	-	Empotrado
N29	29.450	0.000	2.000	-	-	-	-	-	-	Empotrado
N30	34.050	0.000	2.000	-	-	-	-	-	-	Empotrado
N31	38.650	0.000	2.000	-	-	-	-	-	-	Empotrado
N32	43.250	0.000	2.000	-	-	-	-	-	-	Empotrado

2.1.2. Barras

2.1.2.1. Materiales utilizados

Materiales utilizados							
Material		E (MPa)	ν	G (MPa)	f_y (MPa)	α_t (m/m°C)	γ (kN/m³)
Tipo	Designación						
Acero laminado	S275	210000.00	0.300	81000.00	275.00	0.000012	77.01
Hormigón	HA-25, Yc=1.5	27264.00	0.200	11360.00	-	0.000010	24.53

Notación:
E: Módulo de elasticidad
n: Módulo de Poisson
G: Módulo de cortadura
f_y: Límite elástico
a_t: Coeficiente de dilatación
g: Peso específico

2.1.2.2. Descripción

Descripción									
Material		Barra (Ni/Nf)	Pieza (Ni/Nf)	Perfil(Serie)	Longitud (m)	β_{xy}	β_{xz}	$Lb_{Sup.}$ (m)	$Lb_{Inf.}$ (m)
Tipo	Designación								
Acero laminado	S275	N2/N4	N2/N24	IPE 80 (IPE)	6.100	1.00	1.00	-	-
		N4/N6	N2/N24	IPE 80 (IPE)	5.900	1.00	1.00	-	-
		N6/N8	N2/N24	IPE 80 (IPE)	6.400	1.00	1.00	-	-
		N8/N10	N2/N24	IPE 80 (IPE)	6.450	1.00	1.00	-	-
		N10/N12	N2/N24	IPE 80 (IPE)	4.600	1.00	1.00	-	-
		N12/N14	N2/N24	IPE 80 (IPE)	4.600	1.00	1.00	-	-
		N14/N16	N2/N24	IPE 80 (IPE)	4.600	1.00	1.00	-	-
		N16/N18	N2/N24	IPE 80 (IPE)	4.600	1.00	1.00	-	-
		N18/N20	N2/N24	IPE 80 (IPE)	4.600	1.00	1.00	-	-
		N20/N22	N2/N24	IPE 80 (IPE)	4.400	1.00	1.00	-	-
		N22/N24	N2/N24	IPE 80 (IPE)	4.200	1.00	1.00	-	-
Hormigón	HA-25, Yc=1.5	N1/N2	N1/N2	40 cm x 40 cm (Rectangular)	7.000	1.00	1.00	-	-
		N3/N4	N3/N4	40 cm x 40 cm (Rectangular)	7.000	1.00	1.00	-	-
		N5/N25	N5/N6	40 cm x 50 cm (Rectangular)	2.000	1.00	1.00	-	-
		N25/N6	N5/N6	40 cm x 50 cm (Rectangular)	5.000	1.00	1.00	-	-
		N7/N27	N7/N8	40 cm x 40 cm (Rectangular)	2.000	1.00	1.00	-	-
		N27/N8	N7/N8	40 cm x 40 cm (Rectangular)	5.000	1.00	1.00	-	-
		N9/N28	N9/N10	40 cm x 50 cm (Rectangular)	2.000	1.00	1.00	-	-
		N28/N10	N9/N10	40 cm x 50 cm (Rectangular)	5.000	1.00	1.00	-	-
		N11/N29	N11/N12	40 cm x 50 cm (Rectangular)	2.000	1.00	1.00	-	-
		N29/N12	N11/N12	40 cm x 50 cm (Rectangular)	5.000	1.00	1.00	-	-
		N13/N30	N13/N14	40 cm x 50 cm (Rectangular)	2.000	1.00	1.00	-	-
		N30/N14	N13/N14	40 cm x 50 cm (Rectangular)	5.000	1.00	1.00	-	-
		N15/N31	N15/N16	40 cm x 50 cm (Rectangular)	2.000	1.00	1.00	-	-
		N31/N16	N15/N16	40 cm x 50 cm (Rectangular)	5.000	1.00	1.00	-	-
		N17/N32	N17/N18	40 cm x 50 cm (Rectangular)	2.000	1.00	1.00	-	-
		N32/N18	N17/N18	40 cm x 50 cm (Rectangular)	5.000	1.00	1.00	-	-
		N19/N26	N19/N20	40 cm x 50 cm (Rectangular)	2.000	1.00	1.00	-	-
		N26/N20	N19/N20	40 cm x 50 cm (Rectangular)	5.000	1.00	1.00	-	-

Descripción									
Material		Barra (Ni/Nf)	Pieza (Ni/Nf)	Perfil(Serie)	Longitud (m)	β_{xy}	β_{xz}	$Lb_{Sup.}$ (m)	$Lb_{Inf.}$ (m)
Tipo	Designación								
		N21/N22	N21/N22	40 cm x 40 cm (Rectangular)	7.000	1.00	1.00	-	-
		N23/N24	N23/N24	40 cm x 40 cm (Rectangular)	7.000	1.00	1.00	-	-
		N25/N27	N25/N26	40 cm x 30 cm (Rectangular)	6.400	1.00	1.00	-	-
		N27/N28	N25/N26	40 cm x 30 cm (Rectangular)	6.450	1.00	1.00	-	-
		N28/N29	N25/N26	40 cm x 30 cm (Rectangular)	4.600	1.00	1.00	-	-
		N29/N30	N25/N26	40 cm x 30 cm (Rectangular)	4.600	1.00	1.00	-	-
		N30/N31	N25/N26	40 cm x 30 cm (Rectangular)	4.600	1.00	1.00	-	-
		N31/N32	N25/N26	40 cm x 30 cm (Rectangular)	4.600	1.00	1.00	-	-
		N32/N26	N25/N26	40 cm x 30 cm (Rectangular)	4.600	1.00	1.00	-	-

Notación:
Ni: Nudo inicial
Nf: Nudo final
b_{xy}: Coeficiente de pandeo en el plano 'XY'
b_{xz}: Coeficiente de pandeo en el plano 'XZ'
$Lb_{Sup.}$: Separación entre arriostramientos del ala superior
$Lb_{Inf.}$: Separación entre arriostramientos del ala inferior

2.1.2.3. Características mecánicas

Tipos de pieza	
Ref.	Piezas
1	N2/N24
2	N1/N2, N3/N4, N7/N8, N21/N22 y N23/N24
3	N5/N6, N9/N10, N11/N12, N13/N14, N15/N16, N17/N18 y N19/N20
4	N25/N26

Características mecánicas									
Material		Ref.	Descripción	A (cm^2)	Avy (cm^2)	Avz (cm^2)	Iyy (cm4)	Izz (cm4)	It (cm4)
Tipo	Designación								
Acero laminado	S275	1	IPE 80, (IPE)	7.60	3.59	2.38	80.10	8.49	0.67
Hormigón	HA-25, Yc=1.5	2	40 cm x 40 cm, (Rectangular)	1600.00	1333.33	1333.33	213333.33	213333.33	358400.00
		3	40 cm x 50 cm, (Rectangular)	2000.00	1666.67	1666.67	416666.67	266666.67	547200.00
		4	40 cm x 30 cm, (Rectangular)	1200.00	1000.00	1000.00	90000.00	160000.00	193680.00

Notación:
Ref.: Referencia
A: Área de la sección transversal
Avy: Área de cortante de la sección según el eje local 'Y'
Avz: Área de cortante de la sección según el eje local 'Z'
Iyy: Inercia de la sección alrededor del eje local 'Y'
Izz: Inercia de la sección alrededor del eje local 'Z'
It: Inercia a torsión
Las características mecánicas de las piezas corresponden a la sección en el punto medio de las mismas.

2.1.2.4. Medición de superficies

Acero laminado: Medición de las superficies a pintar				
Serie	Perfil	Superficie unitaria (m²/m)	Longitud (m)	Superficie (m²)
IPE	IPE 80	0.336	56.450	18.990
			Total	18.990

Hormigón: Medición de las superficies de encofrado				
Serie	Perfil	Superficie unitaria (m²/m)	Longitud (m)	Superficie (m²)
Rectangular	40 cm x 40 cm	1.600	35.000	56.000
	40 cm x 50 cm	1.800	49.000	88.200
	40 cm x 30 cm	1.400	35.850	50.190
			Total	194.390

2.2. Cargas

2.2.1. Barras

Referencias:

'P1', 'P2':

- Cargas puntuales, uniformes, en faja y momentos puntuales: 'P1' es el valor de la carga. 'P2' no se utiliza.
- Cargas trapezoidales: 'P1' es el valor de la carga en el punto donde comienza (L1) y 'P2' es el valor de la carga en el punto donde termina (L2).
- Cargas triangulares: 'P1' es el valor máximo de la carga. 'P2' no se utiliza.
- Incrementos de temperatura: 'P1' y 'P2' son los valores de la temperatura en las caras exteriores o paramentos de la pieza. La orientación de la variación del incremento de temperatura sobre la sección transversal dependerá de la dirección seleccionada.

'L1', 'L2':

- Cargas y momentos puntuales: 'L1' es la distancia entre el nudo inicial de la barra y la posición donde se aplica la carga. 'L2' no se utiliza.
- Cargas trapezoidales, en faja, y triangulares: 'L1' es la distancia entre el nudo inicial de la barra y la posición donde comienza la carga, 'L2' es la distancia entre el nudo inicial de la barra y la posición donde termina la carga.

Unidades:

- Cargas puntuales: kN
- Momentos puntuales: kN·m.
- Cargas uniformes, en faja, triangulares y trapezoidales: kN/m.
- Incrementos de temperatura: °C.

Cargas en barras										
Barra	Hipótesis	Tipo	Valores		Posición		Dirección			
			P1	P2	L1 (m)	L2 (m)	Ejes	X	Y	Z
N1/N2	Peso propio	Uniforme	3.924	-	-	-	Globales	0.000	0.000	-1.000
N1/N2	T 1	Temperatura	10.00	10.00	-	-	Locales	0.000	0.000	1.000
N1/N2	T 2	Temperatura	-10.00	-10.00	-	-	Locales	0.000	0.000	1.000
N1/N2	T 3	Temperatura	30.00	30.00	-	-	Locales	0.000	0.000	1.000
N1/N2	T 4	Temperatura	-30.00	-30.00	-	-	Locales	0.000	0.000	1.000
N3/N4	Peso propio	Uniforme	3.924	-	-	-	Globales	0.000	0.000	-1.000
N3/N4	T 1	Temperatura	10.00	10.00	-	-	Locales	0.000	0.000	1.000
N3/N4	T 2	Temperatura	-10.00	-10.00	-	-	Locales	0.000	0.000	1.000

Cargas en barras										
Barra	Hipótesis	Tipo	Valores		Posición		Dirección			
			P1	P2	L1 (m)	L2 (m)	Ejes	X	Y	Z
N3/N4	T 3	Temperatura	30.00	30.00	-	-	Locales	0.000	0.000	1.000
N3/N4	T 4	Temperatura	-30.00	-30.00	-	-	Locales	0.000	0.000	1.000
N5/N25	Peso propio	Uniforme	4.905	-	-	-	Globales	0.000	0.000	-1.000
N5/N25	T 1	Temperatura	10.00	10.00	-	-	Locales	0.000	0.000	1.000
N5/N25	T 2	Temperatura	-10.00	-10.00	-	-	Locales	0.000	0.000	1.000
N5/N25	T 3	Temperatura	30.00	30.00	-	-	Locales	0.000	0.000	1.000
N5/N25	T 4	Temperatura	-30.00	-30.00	-	-	Locales	0.000	0.000	1.000
N25/N6	Peso propio	Uniforme	4.905	-	-	-	Globales	0.000	0.000	-1.000
N25/N6	T 1	Temperatura	10.00	10.00	-	-	Locales	0.000	0.000	1.000
N25/N6	T 2	Temperatura	-10.00	-10.00	-	-	Locales	0.000	0.000	1.000
N25/N6	T 3	Temperatura	30.00	30.00	-	-	Locales	0.000	0.000	1.000
N25/N6	T 4	Temperatura	-30.00	-30.00	-	-	Locales	0.000	0.000	1.000
N7/N27	Peso propio	Uniforme	3.924	-	-	-	Globales	0.000	0.000	-1.000
N7/N27	T 1	Temperatura	10.00	10.00	-	-	Locales	0.000	0.000	1.000
N7/N27	T 2	Temperatura	-10.00	-10.00	-	-	Locales	0.000	0.000	1.000
N7/N27	T 3	Temperatura	30.00	30.00	-	-	Locales	0.000	0.000	1.000
N7/N27	T 4	Temperatura	-30.00	-30.00	-	-	Locales	0.000	0.000	1.000
N27/N8	Peso propio	Uniforme	3.924	-	-	-	Globales	0.000	0.000	-1.000
N27/N8	T 1	Temperatura	10.00	10.00	-	-	Locales	0.000	0.000	1.000
N27/N8	T 2	Temperatura	-10.00	-10.00	-	-	Locales	0.000	0.000	1.000
N27/N8	T 3	Temperatura	30.00	30.00	-	-	Locales	0.000	0.000	1.000
N27/N8	T 4	Temperatura	-30.00	-30.00	-	-	Locales	0.000	0.000	1.000
N9/N28	Peso propio	Uniforme	4.905	-	-	-	Globales	0.000	0.000	-1.000
N9/N28	T 1	Temperatura	10.00	10.00	-	-	Locales	0.000	0.000	1.000
N9/N28	T 2	Temperatura	-10.00	-10.00	-	-	Locales	0.000	0.000	1.000
N9/N28	T 3	Temperatura	30.00	30.00	-	-	Locales	0.000	0.000	1.000
N9/N28	T 4	Temperatura	-30.00	-30.00	-	-	Locales	0.000	0.000	1.000
N28/N10	Peso propio	Uniforme	4.905	-	-	-	Globales	0.000	0.000	-1.000
N28/N10	T 1	Temperatura	10.00	10.00	-	-	Locales	0.000	0.000	1.000
N28/N10	T 2	Temperatura	-10.00	-10.00	-	-	Locales	0.000	0.000	1.000
N28/N10	T 3	Temperatura	30.00	30.00	-	-	Locales	0.000	0.000	1.000
N28/N10	T 4	Temperatura	-30.00	-30.00	-	-	Locales	0.000	0.000	1.000
N11/N29	Peso propio	Uniforme	4.905	-	-	-	Globales	0.000	0.000	-1.000
N11/N29	T 1	Temperatura	10.00	10.00	-	-	Locales	0.000	0.000	1.000
N11/N29	T 2	Temperatura	-10.00	-10.00	-	-	Locales	0.000	0.000	1.000
N11/N29	T 3	Temperatura	30.00	30.00	-	-	Locales	0.000	0.000	1.000
N11/N29	T 4	Temperatura	-30.00	-30.00	-	-	Locales	0.000	0.000	1.000
N29/N12	Peso propio	Uniforme	4.905	-	-	-	Globales	0.000	0.000	-1.000
N29/N12	T 1	Temperatura	10.00	10.00	-	-	Locales	0.000	0.000	1.000
N29/N12	T 2	Temperatura	-10.00	-10.00	-	-	Locales	0.000	0.000	1.000
N29/N12	T 3	Temperatura	30.00	30.00	-	-	Locales	0.000	0.000	1.000
N29/N12	T 4	Temperatura	-30.00	-30.00	-	-	Locales	0.000	0.000	1.000
N13/N30	Peso propio	Uniforme	4.905	-	-	-	Globales	0.000	0.000	-1.000
N13/N30	T 1	Temperatura	10.00	10.00	-	-	Locales	0.000	0.000	1.000
N13/N30	T 2	Temperatura	-10.00	-10.00	-	-	Locales	0.000	0.000	1.000

Cargas en barras										
Barra	Hipótesis	Tipo	Valores		Posición		Dirección			
			P1	P2	L1 (m)	L2 (m)	Ejes	X	Y	Z
N13/N30	T 3	Temperatura	30.00	30.00	-	-	Locales	0.000	0.000	1.000
N13/N30	T 4	Temperatura	-30.00	-30.00	-	-	Locales	0.000	0.000	1.000
N30/N14	Peso propio	Uniforme	4.905	-	-	-	Globales	0.000	0.000	-1.000
N30/N14	T 1	Temperatura	10.00	10.00	-	-	Locales	0.000	0.000	1.000
N30/N14	T 2	Temperatura	-10.00	-10.00	-	-	Locales	0.000	0.000	1.000
N30/N14	T 3	Temperatura	30.00	30.00	-	-	Locales	0.000	0.000	1.000
N30/N14	T 4	Temperatura	-30.00	-30.00	-	-	Locales	0.000	0.000	1.000
N15/N31	Peso propio	Uniforme	4.905	-	-	-	Globales	0.000	0.000	-1.000
N15/N31	T 1	Temperatura	10.00	10.00	-	-	Locales	0.000	0.000	1.000
N15/N31	T 2	Temperatura	-10.00	-10.00	-	-	Locales	0.000	0.000	1.000
N15/N31	T 3	Temperatura	30.00	30.00	-	-	Locales	0.000	0.000	1.000
N15/N31	T 4	Temperatura	-30.00	-30.00	-	-	Locales	0.000	0.000	1.000
N31/N16	Peso propio	Uniforme	4.905	-	-	-	Globales	0.000	0.000	-1.000
N31/N16	T 1	Temperatura	10.00	10.00	-	-	Locales	0.000	0.000	1.000
N31/N16	T 2	Temperatura	-10.00	-10.00	-	-	Locales	0.000	0.000	1.000
N31/N16	T 3	Temperatura	30.00	30.00	-	-	Locales	0.000	0.000	1.000
N31/N16	T 4	Temperatura	-30.00	-30.00	-	-	Locales	0.000	0.000	1.000
N17/N32	Peso propio	Uniforme	4.905	-	-	-	Globales	0.000	0.000	-1.000
N17/N32	T 1	Temperatura	10.00	10.00	-	-	Locales	0.000	0.000	1.000
N17/N32	T 2	Temperatura	-10.00	-10.00	-	-	Locales	0.000	0.000	1.000
N17/N32	T 3	Temperatura	30.00	30.00	-	-	Locales	0.000	0.000	1.000
N17/N32	T 4	Temperatura	-30.00	-30.00	-	-	Locales	0.000	0.000	1.000
N32/N18	Peso propio	Uniforme	4.905	-	-	-	Globales	0.000	0.000	-1.000
N32/N18	T 1	Temperatura	10.00	10.00	-	-	Locales	0.000	0.000	1.000
N32/N18	T 2	Temperatura	-10.00	-10.00	-	-	Locales	0.000	0.000	1.000
N32/N18	T 3	Temperatura	30.00	30.00	-	-	Locales	0.000	0.000	1.000
N32/N18	T 4	Temperatura	-30.00	-30.00	-	-	Locales	0.000	0.000	1.000
N19/N26	Peso propio	Uniforme	4.905	-	-	-	Globales	0.000	0.000	-1.000
N19/N26	T 1	Temperatura	10.00	10.00	-	-	Locales	0.000	0.000	1.000
N19/N26	T 2	Temperatura	-10.00	-10.00	-	-	Locales	0.000	0.000	1.000
N19/N26	T 3	Temperatura	30.00	30.00	-	-	Locales	0.000	0.000	1.000
N19/N26	T 4	Temperatura	-30.00	-30.00	-	-	Locales	0.000	0.000	1.000
N26/N20	Peso propio	Uniforme	4.905	-	-	-	Globales	0.000	0.000	-1.000
N26/N20	T 1	Temperatura	10.00	10.00	-	-	Locales	0.000	0.000	1.000
N26/N20	T 2	Temperatura	-10.00	-10.00	-	-	Locales	0.000	0.000	1.000
N26/N20	T 3	Temperatura	30.00	30.00	-	-	Locales	0.000	0.000	1.000
N26/N20	T 4	Temperatura	-30.00	-30.00	-	-	Locales	0.000	0.000	1.000
N21/N22	Peso propio	Uniforme	3.924	-	-	-	Globales	0.000	0.000	-1.000
N21/N22	T 1	Temperatura	10.00	10.00	-	-	Locales	0.000	0.000	1.000
N21/N22	T 2	Temperatura	-10.00	-10.00	-	-	Locales	0.000	0.000	1.000
N21/N22	T 3	Temperatura	30.00	30.00	-	-	Locales	0.000	0.000	1.000
N21/N22	T 4	Temperatura	-30.00	-30.00	-	-	Locales	0.000	0.000	1.000
N23/N24	Peso propio	Uniforme	3.924	-	-	-	Globales	0.000	0.000	-1.000
N23/N24	T 1	Temperatura	10.00	10.00	-	-	Locales	0.000	0.000	1.000
N23/N24	T 2	Temperatura	-10.00	-10.00	-	-	Locales	0.000	0.000	1.000

Cargas en barras										
Barra	Hipótesis	Tipo	Valores		Posición		Dirección			
			P1	P2	L1 (m)	L2 (m)	Ejes	X	Y	Z
N23/N24	T 3	Temperatura	30.00	30.00	-	-	Locales	0.000	0.000	1.000
N23/N24	T 4	Temperatura	-30.00	-30.00	-	-	Locales	0.000	0.000	1.000
N2/N4	Peso propio	Uniforme	0.059	-	-	-	Globales	0.000	0.000	-1.000
N2/N4	T 1	Temperatura	10.00	10.00	-	-	Locales	0.000	0.000	1.000
N2/N4	T 2	Temperatura	-10.00	-10.00	-	-	Locales	0.000	0.000	1.000
N2/N4	T 3	Temperatura	30.00	30.00	-	-	Locales	0.000	0.000	1.000
N2/N4	T 4	Temperatura	-30.00	-30.00	-	-	Locales	0.000	0.000	1.000
N4/N6	Peso propio	Uniforme	0.059	-	-	-	Globales	0.000	0.000	-1.000
N4/N6	T 1	Temperatura	10.00	10.00	-	-	Locales	0.000	0.000	1.000
N4/N6	T 2	Temperatura	-10.00	-10.00	-	-	Locales	0.000	0.000	1.000
N4/N6	T 3	Temperatura	30.00	30.00	-	-	Locales	0.000	0.000	1.000
N4/N6	T 4	Temperatura	-30.00	-30.00	-	-	Locales	0.000	0.000	1.000
N6/N8	Peso propio	Uniforme	0.059	-	-	-	Globales	0.000	0.000	-1.000
N6/N8	T 1	Temperatura	10.00	10.00	-	-	Locales	0.000	0.000	1.000
N6/N8	T 2	Temperatura	-10.00	-10.00	-	-	Locales	0.000	0.000	1.000
N6/N8	T 3	Temperatura	30.00	30.00	-	-	Locales	0.000	0.000	1.000
N6/N8	T 4	Temperatura	-30.00	-30.00	-	-	Locales	0.000	0.000	1.000
N8/N10	Peso propio	Uniforme	0.059	-	-	-	Globales	0.000	0.000	-1.000
N8/N10	T 1	Temperatura	10.00	10.00	-	-	Locales	0.000	0.000	1.000
N8/N10	T 2	Temperatura	-10.00	-10.00	-	-	Locales	0.000	0.000	1.000
N8/N10	T 3	Temperatura	30.00	30.00	-	-	Locales	0.000	0.000	1.000
N8/N10	T 4	Temperatura	-30.00	-30.00	-	-	Locales	0.000	0.000	1.000
N10/N12	Peso propio	Uniforme	0.059	-	-	-	Globales	0.000	0.000	-1.000
N10/N12	T 1	Temperatura	10.00	10.00	-	-	Locales	0.000	0.000	1.000
N10/N12	T 2	Temperatura	-10.00	-10.00	-	-	Locales	0.000	0.000	1.000
N10/N12	T 3	Temperatura	30.00	30.00	-	-	Locales	0.000	0.000	1.000
N10/N12	T 4	Temperatura	-30.00	-30.00	-	-	Locales	0.000	0.000	1.000
N12/N14	Peso propio	Uniforme	0.059	-	-	-	Globales	0.000	0.000	-1.000
N12/N14	T 1	Temperatura	10.00	10.00	-	-	Locales	0.000	0.000	1.000
N12/N14	T 2	Temperatura	-10.00	-10.00	-	-	Locales	0.000	0.000	1.000
N12/N14	T 3	Temperatura	30.00	30.00	-	-	Locales	0.000	0.000	1.000
N12/N14	T 4	Temperatura	-30.00	-30.00	-	-	Locales	0.000	0.000	1.000
N14/N16	Peso propio	Uniforme	0.059	-	-	-	Globales	0.000	0.000	-1.000
N14/N16	T 1	Temperatura	10.00	10.00	-	-	Locales	0.000	0.000	1.000
N14/N16	T 2	Temperatura	-10.00	-10.00	-	-	Locales	0.000	0.000	1.000
N14/N16	T 3	Temperatura	30.00	30.00	-	-	Locales	0.000	0.000	1.000
N14/N16	T 4	Temperatura	-30.00	-30.00	-	-	Locales	0.000	0.000	1.000
N16/N18	Peso propio	Uniforme	0.059	-	-	-	Globales	0.000	0.000	-1.000
N16/N18	T 1	Temperatura	10.00	10.00	-	-	Locales	0.000	0.000	1.000
N16/N18	T 2	Temperatura	-10.00	-10.00	-	-	Locales	0.000	0.000	1.000
N16/N18	T 3	Temperatura	30.00	30.00	-	-	Locales	0.000	0.000	1.000
N16/N18	T 4	Temperatura	-30.00	-30.00	-	-	Locales	0.000	0.000	1.000
N18/N20	Peso propio	Uniforme	0.059	-	-	-	Globales	0.000	0.000	-1.000
N18/N20	T 1	Temperatura	10.00	10.00	-	-	Locales	0.000	0.000	1.000
N18/N20	T 2	Temperatura	-10.00	-10.00	-	-	Locales	0.000	0.000	1.000

Cargas en barras										
Barra	Hipótesis	Tipo	Valores		Posición		Dirección			
			P1	P2	L1 (m)	L2 (m)	Ejes	X	Y	Z
N18/N20	T 3	Temperatura	30.00	30.00	-	-	Locales	0.000	0.000	1.000
N18/N20	T 4	Temperatura	-30.00	-30.00	-	-	Locales	0.000	0.000	1.000
N20/N22	Peso propio	Uniforme	0.059	-	-	-	Globales	0.000	0.000	-1.000
N20/N22	T 1	Temperatura	10.00	10.00	-	-	Locales	0.000	0.000	1.000
N20/N22	T 2	Temperatura	-10.00	-10.00	-	-	Locales	0.000	0.000	1.000
N20/N22	T 3	Temperatura	30.00	30.00	-	-	Locales	0.000	0.000	1.000
N20/N22	T 4	Temperatura	-30.00	-30.00	-	-	Locales	0.000	0.000	1.000
N22/N24	Peso propio	Uniforme	0.059	-	-	-	Globales	0.000	0.000	-1.000
N22/N24	T 1	Temperatura	10.00	10.00	-	-	Locales	0.000	0.000	1.000
N22/N24	T 2	Temperatura	-10.00	-10.00	-	-	Locales	0.000	0.000	1.000
N22/N24	T 3	Temperatura	30.00	30.00	-	-	Locales	0.000	0.000	1.000
N22/N24	T 4	Temperatura	-30.00	-30.00	-	-	Locales	0.000	0.000	1.000
N25/N27	Peso propio	Uniforme	2.943	-	-	-	Globales	0.000	0.000	-1.000
N25/N27	T 1	Temperatura	10.00	10.00	-	-	Locales	0.000	0.000	1.000
N25/N27	T 2	Temperatura	-10.00	-10.00	-	-	Locales	0.000	0.000	1.000
N25/N27	T 3	Temperatura	30.00	30.00	-	-	Locales	0.000	0.000	1.000
N25/N27	T 4	Temperatura	-30.00	-30.00	-	-	Locales	0.000	0.000	1.000
N27/N28	Peso propio	Uniforme	2.943	-	-	-	Globales	0.000	0.000	-1.000
N27/N28	T 1	Temperatura	10.00	10.00	-	-	Locales	0.000	0.000	1.000
N27/N28	T 2	Temperatura	-10.00	-10.00	-	-	Locales	0.000	0.000	1.000
N27/N28	T 3	Temperatura	30.00	30.00	-	-	Locales	0.000	0.000	1.000
N27/N28	T 4	Temperatura	-30.00	-30.00	-	-	Locales	0.000	0.000	1.000
N28/N29	Peso propio	Uniforme	2.943	-	-	-	Globales	0.000	0.000	-1.000
N28/N29	T 1	Temperatura	10.00	10.00	-	-	Locales	0.000	0.000	1.000
N28/N29	T 2	Temperatura	-10.00	-10.00	-	-	Locales	0.000	0.000	1.000
N28/N29	T 3	Temperatura	30.00	30.00	-	-	Locales	0.000	0.000	1.000
N28/N29	T 4	Temperatura	-30.00	-30.00	-	-	Locales	0.000	0.000	1.000
N29/N30	Peso propio	Uniforme	2.943	-	-	-	Globales	0.000	0.000	-1.000
N29/N30	T 1	Temperatura	10.00	10.00	-	-	Locales	0.000	0.000	1.000
N29/N30	T 2	Temperatura	-10.00	-10.00	-	-	Locales	0.000	0.000	1.000
N29/N30	T 3	Temperatura	30.00	30.00	-	-	Locales	0.000	0.000	1.000
N29/N30	T 4	Temperatura	-30.00	-30.00	-	-	Locales	0.000	0.000	1.000
N30/N31	Peso propio	Uniforme	2.943	-	-	-	Globales	0.000	0.000	-1.000
N30/N31	T 1	Temperatura	10.00	10.00	-	-	Locales	0.000	0.000	1.000
N30/N31	T 2	Temperatura	-10.00	-10.00	-	-	Locales	0.000	0.000	1.000
N30/N31	T 3	Temperatura	30.00	30.00	-	-	Locales	0.000	0.000	1.000
N30/N31	T 4	Temperatura	-30.00	-30.00	-	-	Locales	0.000	0.000	1.000
N31/N32	Peso propio	Uniforme	2.943	-	-	-	Globales	0.000	0.000	-1.000
N31/N32	T 1	Temperatura	10.00	10.00	-	-	Locales	0.000	0.000	1.000
N31/N32	T 2	Temperatura	-10.00	-10.00	-	-	Locales	0.000	0.000	1.000
N31/N32	T 3	Temperatura	30.00	30.00	-	-	Locales	0.000	0.000	1.000
N31/N32	T 4	Temperatura	-30.00	-30.00	-	-	Locales	0.000	0.000	1.000
N32/N26	Peso propio	Uniforme	2.943	-	-	-	Globales	0.000	0.000	-1.000
N32/N26	T 1	Temperatura	10.00	10.00	-	-	Locales	0.000	0.000	1.000
N32/N26	T 2	Temperatura	-10.00	-10.00	-	-	Locales	0.000	0.000	1.000

Cargas en barras										
Barra	Hipótesis	Tipo	Valores		Posición		Dirección			
			P1	P2	L1 (m)	L2 (m)	Ejes	X	Y	Z
N32/N26	T 3	Temperatura	30.00	30.00	-	-	Locales	0.000	0.000	1.000
N32/N26	T 4	Temperatura	-30.00	-30.00	-	-	Locales	0.000	0.000	1.000

2.3. Resultados

2.3.1. Nudos

2.3.1.1. Desplazamientos

Referencias:

Dx, Dy, Dz: Desplazamientos de los nudos en ejes globales.
Gx, Gy, Gz: Giros de los nudos en ejes globales.

2.3.1.1.1. Hipótesis

Desplazamientos de los nudos, por hipótesis							
Referencia	Descripción	Desplazamientos en ejes globales					
		Dx (mm)	Dy (mm)	Dz (mm)	Gx (mRad)	Gy (mRad)	Gz (mRad)
N1	Peso propio	0.000	0.000	0.000	0.000	0.000	0.000
	T 1	0.000	0.000	0.000	0.000	0.000	0.000
	T 2	0.000	0.000	0.000	0.000	0.000	0.000
	T 3	0.000	0.000	0.000	0.000	0.000	0.000
	T 4	0.000	0.000	0.000	0.000	0.000	0.000
N2	Peso propio	0.051	0.000	-0.022	0.000	0.016	0.000
	T 1	-3.809	0.000	0.700	0.000	-0.810	0.000
	T 2	3.809	0.000	-0.700	0.000	0.810	0.000
	T 3	-11.427	0.000	2.100	0.000	-2.431	0.000
	T 4	11.427	0.000	-2.100	0.000	2.431	0.000
N3	Peso propio	0.000	0.000	0.000	0.000	0.000	0.000
	T 1	0.000	0.000	0.000	0.000	0.000	0.000
	T 2	0.000	0.000	0.000	0.000	0.000	0.000
	T 3	0.000	0.000	0.000	0.000	0.000	0.000
	T 4	0.000	0.000	0.000	0.000	0.000	0.000
N4	Peso propio	0.051	0.000	-0.023	0.000	0.010	0.000
	T 1	-3.152	0.000	0.700	0.000	-0.668	0.000
	T 2	3.152	0.000	-0.700	0.000	0.668	0.000
	T 3	-9.456	0.000	2.100	0.000	-2.004	0.000
	T 4	9.456	0.000	-2.100	0.000	2.004	0.000
N5	Peso propio	0.000	0.000	0.000	0.000	0.000	0.000
	T 1	0.000	0.000	0.000	0.000	0.000	0.000
	T 2	0.000	0.000	0.000	0.000	0.000	0.000
	T 3	0.000	0.000	0.000	0.000	0.000	0.000
	T 4	0.000	0.000	0.000	0.000	0.000	0.000
N6	Peso propio	0.051	0.000	-0.026	0.000	-0.020	0.000
	T 1	-2.577	0.000	0.699	0.000	-0.003	0.000
	T 2	2.577	0.000	-0.699	0.000	0.003	0.000
	T 3	-7.731	0.000	2.096	0.000	-0.009	0.000
	T 4	7.731	0.000	-2.096	0.000	0.009	0.000

Desplazamientos de los nudos, por hipótesis							
Referencia	Descripción	Desplazamientos en ejes globales					
		Dx (mm)	Dy (mm)	Dz (mm)	Gx (mRad)	Gy (mRad)	Gz (mRad)
N7	Peso propio	0.000	0.000	0.000	0.000	0.000	0.000
	T 1	0.000	0.000	0.000	0.000	0.000	0.000
	T 2	0.000	0.000	0.000	0.000	0.000	0.000
	T 3	0.000	0.000	0.000	0.000	0.000	0.000
	T 4	0.000	0.000	0.000	0.000	0.000	0.000
N8	Peso propio	0.032	0.000	-0.031	0.000	0.005	0.000
	T 1	-1.785	0.000	0.701	0.000	-0.091	0.000
	T 2	1.785	0.000	-0.701	0.000	0.091	0.000
	T 3	-5.354	0.000	2.103	0.000	-0.272	0.000
	T 4	5.354	0.000	-2.103	0.000	0.272	0.000
N9	Peso propio	0.000	0.000	0.000	0.000	0.000	0.000
	T 1	0.000	0.000	0.000	0.000	0.000	0.000
	T 2	0.000	0.000	0.000	0.000	0.000	0.000
	T 3	0.000	0.000	0.000	0.000	0.000	0.000
	T 4	0.000	0.000	0.000	0.000	0.000	0.000
N10	Peso propio	0.013	0.000	-0.028	0.000	0.012	0.000
	T 1	-0.932	0.000	0.700	0.000	-0.061	0.000
	T 2	0.932	0.000	-0.700	0.000	0.061	0.000
	T 3	-2.795	0.000	2.100	0.000	-0.184	0.000
	T 4	2.795	0.000	-2.100	0.000	0.184	0.000
N11	Peso propio	0.000	0.000	0.000	0.000	0.000	0.000
	T 1	0.000	0.000	0.000	0.000	0.000	0.000
	T 2	0.000	0.000	0.000	0.000	0.000	0.000
	T 3	0.000	0.000	0.000	0.000	0.000	0.000
	T 4	0.000	0.000	0.000	0.000	0.000	0.000
N12	Peso propio	0.006	0.000	-0.027	0.000	0.001	0.000
	T 1	-0.302	0.000	0.701	0.000	-0.025	0.000
	T 2	0.302	0.000	-0.701	0.000	0.025	0.000
	T 3	-0.905	0.000	2.102	0.000	-0.074	0.000
	T 4	0.905	0.000	-2.102	0.000	0.074	0.000
N13	Peso propio	0.000	0.000	0.000	0.000	0.000	0.000
	T 1	0.000	0.000	0.000	0.000	0.000	0.000
	T 2	0.000	0.000	0.000	0.000	0.000	0.000
	T 3	0.000	0.000	0.000	0.000	0.000	0.000
	T 4	0.000	0.000	0.000	0.000	0.000	0.000
N14	Peso propio	-0.001	0.000	-0.027	0.000	0.000	0.000
	T 1	0.334	0.000	0.701	0.000	0.022	0.000
	T 2	-0.334	0.000	-0.701	0.000	-0.022	0.000
	T 3	1.001	0.000	2.102	0.000	0.065	0.000
	T 4	-1.001	0.000	-2.102	0.000	-0.065	0.000
N15	Peso propio	0.000	0.000	0.000	0.000	0.000	0.000
	T 1	0.000	0.000	0.000	0.000	0.000	0.000
	T 2	0.000	0.000	0.000	0.000	0.000	0.000
	T 3	0.000	0.000	0.000	0.000	0.000	0.000
	T 4	0.000	0.000	0.000	0.000	0.000	0.000

Desplazamientos de los nudos, por hipótesis							
Referencia	Descripción	Desplazamientos en ejes globales					
		Dx (mm)	Dy (mm)	Dz (mm)	Gx (mRad)	Gy (mRad)	Gz (mRad)
N16	Peso propio	-0.008	0.000	-0.027	0.000	-0.001	0.000
	T 1	0.961	0.000	0.701	0.000	0.061	0.000
	T 2	-0.961	0.000	-0.701	0.000	-0.061	0.000
	T 3	2.884	0.000	2.102	0.000	0.182	0.000
	T 4	-2.884	0.000	-2.102	0.000	-0.182	0.000
N17	Peso propio	0.000	0.000	0.000	0.000	0.000	0.000
	T 1	0.000	0.000	0.000	0.000	0.000	0.000
	T 2	0.000	0.000	0.000	0.000	0.000	0.000
	T 3	0.000	0.000	0.000	0.000	0.000	0.000
	T 4	0.000	0.000	0.000	0.000	0.000	0.000
N18	Peso propio	-0.015	0.000	-0.027	0.000	-0.002	0.000
	T 1	1.567	0.000	0.701	0.000	0.079	0.000
	T 2	-1.567	0.000	-0.701	0.000	-0.079	0.000
	T 3	4.700	0.000	2.103	0.000	0.237	0.000
	T 4	-4.700	0.000	-2.103	0.000	-0.237	0.000
N19	Peso propio	0.000	0.000	0.000	0.000	0.000	0.000
	T 1	0.000	0.000	0.000	0.000	0.000	0.000
	T 2	0.000	0.000	0.000	0.000	0.000	0.000
	T 3	0.000	0.000	0.000	0.000	0.000	0.000
	T 4	0.000	0.000	0.000	0.000	0.000	0.000
N20	Peso propio	-0.022	0.000	-0.025	0.000	0.011	0.000
	T 1	2.130	0.000	0.698	0.000	0.008	0.000
	T 2	-2.130	0.000	-0.698	0.000	-0.008	0.000
	T 3	6.390	0.000	2.093	0.000	0.025	0.000
	T 4	-6.390	0.000	-2.093	0.000	-0.025	0.000
N21	Peso propio	0.000	0.000	0.000	0.000	0.000	0.000
	T 1	0.000	0.000	0.000	0.000	0.000	0.000
	T 2	0.000	0.000	0.000	0.000	0.000	0.000
	T 3	0.000	0.000	0.000	0.000	0.000	0.000
	T 4	0.000	0.000	0.000	0.000	0.000	0.000
N22	Peso propio	-0.022	0.000	-0.022	0.000	-0.005	0.000
	T 1	2.577	0.000	0.700	0.000	0.544	0.000
	T 2	-2.577	0.000	-0.700	0.000	-0.544	0.000
	T 3	7.732	0.000	2.100	0.000	1.633	0.000
	T 4	-7.732	0.000	-2.100	0.000	-1.633	0.000
N23	Peso propio	0.000	0.000	0.000	0.000	0.000	0.000
	T 1	0.000	0.000	0.000	0.000	0.000	0.000
	T 2	0.000	0.000	0.000	0.000	0.000	0.000
	T 3	0.000	0.000	0.000	0.000	0.000	0.000
	T 4	0.000	0.000	0.000	0.000	0.000	0.000
N24	Peso propio	-0.022	0.000	-0.022	0.000	-0.007	0.000
	T 1	3.040	0.000	0.700	0.000	0.645	0.000
	T 2	-3.040	0.000	-0.700	0.000	-0.645	0.000
	T 3	9.120	0.000	2.100	0.000	1.936	0.000
	T 4	-9.120	0.000	-2.100	0.000	-1.936	0.000

Desplazamientos de los nudos, por hipótesis							
Referencia	Descripción	Desplazamientos en ejes globales					
		Dx (mm)	Dy (mm)	Dz (mm)	Gx (mRad)	Gy (mRad)	Gz (mRad)
N25	Peso propio	0.017	0.000	-0.014	0.000	0.062	0.000
	T 1	-1.360	0.000	0.199	0.000	-0.730	0.000
	T 2	1.360	0.000	-0.199	0.000	0.730	0.000
	T 3	-4.079	0.000	0.596	0.000	-2.189	0.000
	T 4	4.079	0.000	-0.596	0.000	2.189	0.000
N26	Peso propio	-0.008	0.000	-0.013	0.000	-0.031	0.000
	T 1	1.134	0.000	0.198	0.000	0.584	0.000
	T 2	-1.134	0.000	-0.198	0.000	-0.584	0.000
	T 3	3.402	0.000	0.593	0.000	1.753	0.000
	T 4	-3.402	0.000	-0.593	0.000	-1.753	0.000
N27	Peso propio	0.010	0.000	-0.020	0.000	0.004	0.000
	T 1	-0.849	0.000	0.201	0.000	-0.382	0.000
	T 2	0.849	0.000	-0.201	0.000	0.382	0.000
	T 3	-2.546	0.000	0.603	0.000	-1.147	0.000
	T 4	2.546	0.000	-0.603	0.000	1.147	0.000
N28	Peso propio	0.003	0.000	-0.017	0.000	-0.022	0.000
	T 1	-0.408	0.000	0.200	0.000	-0.192	0.000
	T 2	0.408	0.000	-0.200	0.000	0.192	0.000
	T 3	-1.224	0.000	0.600	0.000	-0.575	0.000
	T 4	1.224	0.000	-0.600	0.000	0.575	0.000
N29	Peso propio	0.001	0.000	-0.016	0.000	0.002	0.000
	T 1	-0.125	0.000	0.201	0.000	-0.057	0.000
	T 2	0.125	0.000	-0.201	0.000	0.057	0.000
	T 3	-0.374	0.000	0.602	0.000	-0.170	0.000
	T 4	0.374	0.000	-0.602	0.000	0.170	0.000
N30	Peso propio	-0.001	0.000	-0.016	0.000	0.000	0.000
	T 1	0.149	0.000	0.201	0.000	0.067	0.000
	T 2	-0.149	0.000	-0.201	0.000	-0.067	0.000
	T 3	0.448	0.000	0.602	0.000	0.201	0.000
	T 4	-0.448	0.000	-0.602	0.000	-0.201	0.000
N31	Peso propio	-0.003	0.000	-0.016	0.000	-0.001	0.000
	T 1	0.435	0.000	0.201	0.000	0.195	0.000
	T 2	-0.435	0.000	-0.201	0.000	-0.195	0.000
	T 3	1.304	0.000	0.602	0.000	0.586	0.000
	T 4	-1.304	0.000	-0.602	0.000	-0.586	0.000
N32	Peso propio	-0.005	0.000	-0.016	0.000	-0.001	0.000
	T 1	0.754	0.000	0.201	0.000	0.331	0.000
	T 2	-0.754	0.000	-0.201	0.000	-0.331	0.000
	T 3	2.262	0.000	0.603	0.000	0.992	0.000
	T 4	-2.262	0.000	-0.603	0.000	-0.992	0.000

2.3.1.1.2. Combinaciones

Desplazamientos de los nudos, por combinación								
Referencia	Combinación		Desplazamientos en ejes globales					
	Tipo	Descripción	Dx (mm)	Dy (mm)	Dz (mm)	Gx (mRad)	Gy (mRad)	Gz (mRad)
N1	Desplazamientos	PP	0.000	0.000	0.000	0.000	0.000	0.000
		PP+T1	0.000	0.000	0.000	0.000	0.000	0.000
		PP+T2	0.000	0.000	0.000	0.000	0.000	0.000
		PP+T1+T2	0.000	0.000	0.000	0.000	0.000	0.000
		PP+T3	0.000	0.000	0.000	0.000	0.000	0.000
		PP+T1+T3	0.000	0.000	0.000	0.000	0.000	0.000
		PP+T2+T3	0.000	0.000	0.000	0.000	0.000	0.000
		PP+T1+T2+T3	0.000	0.000	0.000	0.000	0.000	0.000
		PP+T4	0.000	0.000	0.000	0.000	0.000	0.000
		PP+T1+T4	0.000	0.000	0.000	0.000	0.000	0.000
		PP+T2+T4	0.000	0.000	0.000	0.000	0.000	0.000
		PP+T1+T2+T4	0.000	0.000	0.000	0.000	0.000	0.000
		PP+T3+T4	0.000	0.000	0.000	0.000	0.000	0.000
		PP+T1+T3+T4	0.000	0.000	0.000	0.000	0.000	0.000
		PP+T2+T3+T4	0.000	0.000	0.000	0.000	0.000	0.000
		PP+T1+T2+T3+T4	0.000	0.000	0.000	0.000	0.000	0.000
N2	Desplazamientos	PP	0.051	0.000	-0.022	0.000	0.016	0.000
		PP+T1	-3.758	0.000	0.678	0.000	-0.794	0.000
		PP+T2	3.860	0.000	-0.722	0.000	0.827	0.000
		PP+T1+T2	0.051	0.000	-0.022	0.000	0.016	0.000
		PP+T3	-11.376	0.000	2.077	0.000	-2.415	0.000
		PP+T1+T3	-15.185	0.000	2.777	0.000	-3.226	0.000
		PP+T2+T3	-7.567	0.000	1.378	0.000	-1.605	0.000
		PP+T1+T2+T3	-11.376	0.000	2.077	0.000	-2.415	0.000
		PP+T4	11.478	0.000	-2.122	0.000	2.448	0.000
		PP+T1+T4	7.669	0.000	-1.422	0.000	1.637	0.000
		PP+T2+T4	15.287	0.000	-2.822	0.000	3.258	0.000
		PP+T1+T2+T4	11.478	0.000	-2.122	0.000	2.448	0.000
		PP+T3+T4	0.051	0.000	-0.022	0.000	0.016	0.000
		PP+T1+T3+T4	-3.758	0.000	0.678	0.000	-0.794	0.000
		PP+T2+T3+T4	3.860	0.000	-0.722	0.000	0.827	0.000
		PP+T1+T2+T3+T4	0.051	0.000	-0.022	0.000	0.016	0.000
N3	Desplazamientos	PP	0.000	0.000	0.000	0.000	0.000	0.000
		PP+T1	0.000	0.000	0.000	0.000	0.000	0.000
		PP+T2	0.000	0.000	0.000	0.000	0.000	0.000
		PP+T1+T2	0.000	0.000	0.000	0.000	0.000	0.000
		PP+T3	0.000	0.000	0.000	0.000	0.000	0.000
		PP+T1+T3	0.000	0.000	0.000	0.000	0.000	0.000
		PP+T2+T3	0.000	0.000	0.000	0.000	0.000	0.000
		PP+T1+T2+T3	0.000	0.000	0.000	0.000	0.000	0.000
		PP+T4	0.000	0.000	0.000	0.000	0.000	0.000
		PP+T1+T4	0.000	0.000	0.000	0.000	0.000	0.000
		PP+T2+T4	0.000	0.000	0.000	0.000	0.000	0.000
		PP+T1+T2+T4	0.000	0.000	0.000	0.000	0.000	0.000
		PP+T3+T4	0.000	0.000	0.000	0.000	0.000	0.000

Desplazamientos de los nudos, por combinación								
Referencia	Combinación		Desplazamientos en ejes globales					
	Tipo	Descripción	Dx (mm)	Dy (mm)	Dz (mm)	Gx (mRad)	Gy (mRad)	Gz (mRad)
		PP+T1+T3+T4	0.000	0.000	0.000	0.000	0.000	0.000
		PP+T2+T3+T4	0.000	0.000	0.000	0.000	0.000	0.000
		PP+T1+T2+T3+T4	0.000	0.000	0.000	0.000	0.000	0.000
N4	Desplazamientos	PP	0.051	0.000	-0.023	0.000	0.010	0.000
		PP+T1	-3.101	0.000	0.677	0.000	-0.658	0.000
		PP+T2	3.202	0.000	-0.723	0.000	0.678	0.000
		PP+T1+T2	0.051	0.000	-0.023	0.000	0.010	0.000
		PP+T3	-9.405	0.000	2.077	0.000	-1.993	0.000
		PP+T1+T3	-12.557	0.000	2.778	0.000	-2.661	0.000
		PP+T2+T3	-6.253	0.000	1.377	0.000	-1.325	0.000
		PP+T1+T2+T3	-9.405	0.000	2.077	0.000	-1.993	0.000
		PP+T4	9.506	0.000	-2.123	0.000	2.014	0.000
		PP+T1+T4	6.354	0.000	-1.423	0.000	1.346	0.000
		PP+T2+T4	12.658	0.000	-2.823	0.000	2.682	0.000
		PP+T1+T2+T4	9.506	0.000	-2.123	0.000	2.014	0.000
		PP+T3+T4	0.051	0.000	-0.023	0.000	0.010	0.000
		PP+T1+T3+T4	-3.101	0.000	0.677	0.000	-0.658	0.000
		PP+T2+T3+T4	3.202	0.000	-0.723	0.000	0.678	0.000
		PP+T1+T2+T3+T4	0.051	0.000	-0.023	0.000	0.010	0.000
N5	Desplazamientos	PP	0.000	0.000	0.000	0.000	0.000	0.000
		PP+T1	0.000	0.000	0.000	0.000	0.000	0.000
		PP+T2	0.000	0.000	0.000	0.000	0.000	0.000
		PP+T1+T2	0.000	0.000	0.000	0.000	0.000	0.000
		PP+T3	0.000	0.000	0.000	0.000	0.000	0.000
		PP+T1+T3	0.000	0.000	0.000	0.000	0.000	0.000
		PP+T2+T3	0.000	0.000	0.000	0.000	0.000	0.000
		PP+T1+T2+T3	0.000	0.000	0.000	0.000	0.000	0.000
		PP+T4	0.000	0.000	0.000	0.000	0.000	0.000
		PP+T1+T4	0.000	0.000	0.000	0.000	0.000	0.000
		PP+T2+T4	0.000	0.000	0.000	0.000	0.000	0.000
		PP+T1+T2+T4	0.000	0.000	0.000	0.000	0.000	0.000
		PP+T3+T4	0.000	0.000	0.000	0.000	0.000	0.000
		PP+T1+T3+T4	0.000	0.000	0.000	0.000	0.000	0.000
		PP+T2+T3+T4	0.000	0.000	0.000	0.000	0.000	0.000
		PP+T1+T2+T3+T4	0.000	0.000	0.000	0.000	0.000	0.000
N6	Desplazamientos	PP	0.051	0.000	-0.026	0.000	-0.020	0.000
		PP+T1	-2.526	0.000	0.673	0.000	-0.023	0.000
		PP+T2	2.628	0.000	-0.724	0.000	-0.017	0.000
		PP+T1+T2	0.051	0.000	-0.026	0.000	-0.020	0.000
		PP+T3	-7.680	0.000	2.070	0.000	-0.029	0.000
		PP+T1+T3	-10.257	0.000	2.768	0.000	-0.032	0.000
		PP+T2+T3	-5.103	0.000	1.371	0.000	-0.026	0.000
		PP+T1+T2+T3	-7.680	0.000	2.070	0.000	-0.029	0.000
		PP+T4	7.782	0.000	-2.122	0.000	-0.011	0.000
		PP+T1+T4	5.205	0.000	-1.423	0.000	-0.014	0.000

Desplazamientos de los nudos, por combinación								
Referencia	Combinación		Desplazamientos en ejes globales					
	Tipo	Descripción	Dx (mm)	Dy (mm)	Dz (mm)	Gx (mRad)	Gy (mRad)	Gz (mRad)
		PP+T2+T4	10.359	0.000	-2.820	0.000	-0.008	0.000
		PP+T1+T2+T4	7.782	0.000	-2.122	0.000	-0.011	0.000
		PP+T3+T4	0.051	0.000	-0.026	0.000	-0.020	0.000
		PP+T1+T3+T4	-2.526	0.000	0.673	0.000	-0.023	0.000
		PP+T2+T3+T4	2.628	0.000	-0.724	0.000	-0.017	0.000
		PP+T1+T2+T3+T4	0.051	0.000	-0.026	0.000	-0.020	0.000
N7	Desplazamientos	PP	0.000	0.000	0.000	0.000	0.000	0.000
		PP+T1	0.000	0.000	0.000	0.000	0.000	0.000
		PP+T2	0.000	0.000	0.000	0.000	0.000	0.000
		PP+T1+T2	0.000	0.000	0.000	0.000	0.000	0.000
		PP+T3	0.000	0.000	0.000	0.000	0.000	0.000
		PP+T1+T3	0.000	0.000	0.000	0.000	0.000	0.000
		PP+T2+T3	0.000	0.000	0.000	0.000	0.000	0.000
		PP+T1+T2+T3	0.000	0.000	0.000	0.000	0.000	0.000
		PP+T4	0.000	0.000	0.000	0.000	0.000	0.000
		PP+T1+T4	0.000	0.000	0.000	0.000	0.000	0.000
		PP+T2+T4	0.000	0.000	0.000	0.000	0.000	0.000
		PP+T1+T2+T4	0.000	0.000	0.000	0.000	0.000	0.000
		PP+T3+T4	0.000	0.000	0.000	0.000	0.000	0.000
		PP+T1+T3+T4	0.000	0.000	0.000	0.000	0.000	0.000
		PP+T2+T3+T4	0.000	0.000	0.000	0.000	0.000	0.000
		PP+T1+T2+T3+T4	0.000	0.000	0.000	0.000	0.000	0.000
N8	Desplazamientos	PP	0.032	0.000	-0.031	0.000	0.005	0.000
		PP+T1	-1.753	0.000	0.669	0.000	-0.086	0.000
		PP+T2	1.817	0.000	-0.732	0.000	0.095	0.000
		PP+T1+T2	0.032	0.000	-0.031	0.000	0.005	0.000
		PP+T3	-5.322	0.000	2.071	0.000	-0.267	0.000
		PP+T1+T3	-7.106	0.000	2.772	0.000	-0.358	0.000
		PP+T2+T3	-3.537	0.000	1.370	0.000	-0.177	0.000
		PP+T1+T2+T3	-5.322	0.000	2.071	0.000	-0.267	0.000
		PP+T4	5.386	0.000	-2.134	0.000	0.276	0.000
		PP+T1+T4	3.601	0.000	-1.433	0.000	0.186	0.000
		PP+T2+T4	7.170	0.000	-2.835	0.000	0.367	0.000
		PP+T1+T2+T4	5.386	0.000	-2.134	0.000	0.276	0.000
		PP+T3+T4	0.032	0.000	-0.031	0.000	0.005	0.000
		PP+T1+T3+T4	-1.753	0.000	0.669	0.000	-0.086	0.000
		PP+T2+T3+T4	1.817	0.000	-0.732	0.000	0.095	0.000
		PP+T1+T2+T3+T4	0.032	0.000	-0.031	0.000	0.005	0.000
N9	Desplazamientos	PP	0.000	0.000	0.000	0.000	0.000	0.000
		PP+T1	0.000	0.000	0.000	0.000	0.000	0.000
		PP+T2	0.000	0.000	0.000	0.000	0.000	0.000
		PP+T1+T2	0.000	0.000	0.000	0.000	0.000	0.000
		PP+T3	0.000	0.000	0.000	0.000	0.000	0.000
		PP+T1+T3	0.000	0.000	0.000	0.000	0.000	0.000
		PP+T2+T3	0.000	0.000	0.000	0.000	0.000	0.000

Desplazamientos de los nudos, por combinación								
Referencia	Combinación		Desplazamientos en ejes globales					
	Tipo	Descripción	Dx (mm)	Dy (mm)	Dz (mm)	Gx (mRad)	Gy (mRad)	Gz (mRad)
		PP+T1+T2+T3	0.000	0.000	0.000	0.000	0.000	0.000
		PP+T4	0.000	0.000	0.000	0.000	0.000	0.000
		PP+T1+T4	0.000	0.000	0.000	0.000	0.000	0.000
		PP+T2+T4	0.000	0.000	0.000	0.000	0.000	0.000
		PP+T1+T2+T4	0.000	0.000	0.000	0.000	0.000	0.000
		PP+T3+T4	0.000	0.000	0.000	0.000	0.000	0.000
		PP+T1+T3+T4	0.000	0.000	0.000	0.000	0.000	0.000
		PP+T2+T3+T4	0.000	0.000	0.000	0.000	0.000	0.000
		PP+T1+T2+T3+T4	0.000	0.000	0.000	0.000	0.000	0.000
N10	Desplazamientos	PP	0.013	0.000	-0.028	0.000	0.012	0.000
		PP+T1	-0.919	0.000	0.672	0.000	-0.050	0.000
		PP+T2	0.944	0.000	-0.729	0.000	0.073	0.000
		PP+T1+T2	0.013	0.000	-0.028	0.000	0.012	0.000
		PP+T3	-2.782	0.000	2.072	0.000	-0.172	0.000
		PP+T1+T3	-3.713	0.000	2.772	0.000	-0.234	0.000
		PP+T2+T3	-1.850	0.000	1.372	0.000	-0.111	0.000
		PP+T1+T2+T3	-2.782	0.000	2.072	0.000	-0.172	0.000
		PP+T4	2.807	0.000	-2.129	0.000	0.196	0.000
		PP+T1+T4	1.876	0.000	-1.429	0.000	0.135	0.000
		PP+T2+T4	3.739	0.000	-2.829	0.000	0.258	0.000
		PP+T1+T2+T4	2.807	0.000	-2.129	0.000	0.196	0.000
		PP+T3+T4	0.013	0.000	-0.028	0.000	0.012	0.000
		PP+T1+T3+T4	-0.919	0.000	0.672	0.000	-0.050	0.000
		PP+T2+T3+T4	0.944	0.000	-0.729	0.000	0.073	0.000
		PP+T1+T2+T3+T4	0.013	0.000	-0.028	0.000	0.012	0.000
N11	Desplazamientos	PP	0.000	0.000	0.000	0.000	0.000	0.000
		PP+T1	0.000	0.000	0.000	0.000	0.000	0.000
		PP+T2	0.000	0.000	0.000	0.000	0.000	0.000
		PP+T1+T2	0.000	0.000	0.000	0.000	0.000	0.000
		PP+T3	0.000	0.000	0.000	0.000	0.000	0.000
		PP+T1+T3	0.000	0.000	0.000	0.000	0.000	0.000
		PP+T2+T3	0.000	0.000	0.000	0.000	0.000	0.000
		PP+T1+T2+T3	0.000	0.000	0.000	0.000	0.000	0.000
		PP+T4	0.000	0.000	0.000	0.000	0.000	0.000
		PP+T1+T4	0.000	0.000	0.000	0.000	0.000	0.000
		PP+T2+T4	0.000	0.000	0.000	0.000	0.000	0.000
		PP+T1+T2+T4	0.000	0.000	0.000	0.000	0.000	0.000
		PP+T3+T4	0.000	0.000	0.000	0.000	0.000	0.000
		PP+T1+T3+T4	0.000	0.000	0.000	0.000	0.000	0.000
		PP+T2+T3+T4	0.000	0.000	0.000	0.000	0.000	0.000
		PP+T1+T2+T3+T4	0.000	0.000	0.000	0.000	0.000	0.000
N12	Desplazamientos	PP	0.006	0.000	-0.027	0.000	0.001	0.000
		PP+T1	-0.296	0.000	0.673	0.000	-0.024	0.000
		PP+T2	0.308	0.000	-0.728	0.000	0.025	0.000
		PP+T1+T2	0.006	0.000	-0.027	0.000	0.001	0.000

Desplazamientos de los nudos, por combinación								
Referencia	Combinación		Desplazamientos en ejes globales					
	Tipo	Descripción	Dx (mm)	Dy (mm)	Dz (mm)	Gx (mRad)	Gy (mRad)	Gz (mRad)
		PP+T3	-0.899	0.000	2.075	0.000	-0.074	0.000
		PP+T1+T3	-1.201	0.000	2.775	0.000	-0.099	0.000
		PP+T2+T3	-0.597	0.000	1.374	0.000	-0.049	0.000
		PP+T1+T2+T3	-0.899	0.000	2.075	0.000	-0.074	0.000
		PP+T4	0.911	0.000	-2.129	0.000	0.075	0.000
		PP+T1+T4	0.609	0.000	-1.429	0.000	0.050	0.000
		PP+T2+T4	1.212	0.000	-2.830	0.000	0.100	0.000
		PP+T1+T2+T4	0.911	0.000	-2.129	0.000	0.075	0.000
		PP+T3+T4	0.006	0.000	-0.027	0.000	0.001	0.000
		PP+T1+T3+T4	-0.296	0.000	0.673	0.000	-0.024	0.000
		PP+T2+T3+T4	0.308	0.000	-0.728	0.000	0.025	0.000
		PP+T1+T2+T3+T4	0.006	0.000	-0.027	0.000	0.001	0.000
N13	Desplazamientos	PP	0.000	0.000	0.000	0.000	0.000	0.000
		PP+T1	0.000	0.000	0.000	0.000	0.000	0.000
		PP+T2	0.000	0.000	0.000	0.000	0.000	0.000
		PP+T1+T2	0.000	0.000	0.000	0.000	0.000	0.000
		PP+T3	0.000	0.000	0.000	0.000	0.000	0.000
		PP+T1+T3	0.000	0.000	0.000	0.000	0.000	0.000
		PP+T2+T3	0.000	0.000	0.000	0.000	0.000	0.000
		PP+T1+T2+T3	0.000	0.000	0.000	0.000	0.000	0.000
		PP+T4	0.000	0.000	0.000	0.000	0.000	0.000
		PP+T1+T4	0.000	0.000	0.000	0.000	0.000	0.000
		PP+T2+T4	0.000	0.000	0.000	0.000	0.000	0.000
		PP+T1+T2+T4	0.000	0.000	0.000	0.000	0.000	0.000
		PP+T3+T4	0.000	0.000	0.000	0.000	0.000	0.000
		PP+T1+T3+T4	0.000	0.000	0.000	0.000	0.000	0.000
		PP+T2+T3+T4	0.000	0.000	0.000	0.000	0.000	0.000
		PP+T1+T2+T3+T4	0.000	0.000	0.000	0.000	0.000	0.000
N14	Desplazamientos	PP	-0.001	0.000	-0.027	0.000	0.000	0.000
		PP+T1	0.332	0.000	0.673	0.000	0.022	0.000
		PP+T2	-0.335	0.000	-0.728	0.000	-0.022	0.000
		PP+T1+T2	-0.001	0.000	-0.027	0.000	0.000	0.000
		PP+T3	0.999	0.000	2.075	0.000	0.066	0.000
		PP+T1+T3	1.333	0.000	2.775	0.000	0.087	0.000
		PP+T2+T3	0.666	0.000	1.374	0.000	0.044	0.000
		PP+T1+T2+T3	0.999	0.000	2.075	0.000	0.066	0.000
		PP+T4	-1.002	0.000	-2.129	0.000	-0.065	0.000
		PP+T1+T4	-0.668	0.000	-1.429	0.000	-0.043	0.000
		PP+T2+T4	-1.335	0.000	-2.830	0.000	-0.087	0.000
		PP+T1+T2+T4	-1.002	0.000	-2.129	0.000	-0.065	0.000
		PP+T3+T4	-0.001	0.000	-0.027	0.000	0.000	0.000
		PP+T1+T3+T4	0.332	0.000	0.673	0.000	0.022	0.000
		PP+T2+T3+T4	-0.335	0.000	-0.728	0.000	-0.022	0.000
		PP+T1+T2+T3+T4	-0.001	0.000	-0.027	0.000	0.000	0.000
N15	Desplazamientos	PP	0.000	0.000	0.000	0.000	0.000	0.000

Desplazamientos de los nudos, por combinación								
Referencia	Combinación		Desplazamientos en ejes globales					
	Tipo	Descripción	Dx (mm)	Dy (mm)	Dz (mm)	Gx (mRad)	Gy (mRad)	Gz (mRad)
		PP+T1	0.000	0.000	0.000	0.000	0.000	0.000
		PP+T2	0.000	0.000	0.000	0.000	0.000	0.000
		PP+T1+T2	0.000	0.000	0.000	0.000	0.000	0.000
		PP+T3	0.000	0.000	0.000	0.000	0.000	0.000
		PP+T1+T3	0.000	0.000	0.000	0.000	0.000	0.000
		PP+T2+T3	0.000	0.000	0.000	0.000	0.000	0.000
		PP+T1+T2+T3	0.000	0.000	0.000	0.000	0.000	0.000
		PP+T4	0.000	0.000	0.000	0.000	0.000	0.000
		PP+T1+T4	0.000	0.000	0.000	0.000	0.000	0.000
		PP+T2+T4	0.000	0.000	0.000	0.000	0.000	0.000
		PP+T1+T2+T4	0.000	0.000	0.000	0.000	0.000	0.000
		PP+T3+T4	0.000	0.000	0.000	0.000	0.000	0.000
		PP+T1+T3+T4	0.000	0.000	0.000	0.000	0.000	0.000
		PP+T2+T3+T4	0.000	0.000	0.000	0.000	0.000	0.000
		PP+T1+T2+T3+T4	0.000	0.000	0.000	0.000	0.000	0.000
N16	Desplazamientos	PP	-0.008	0.000	-0.027	0.000	-0.001	0.000
		PP+T1	0.953	0.000	0.673	0.000	0.060	0.000
		PP+T2	-0.969	0.000	-0.728	0.000	-0.061	0.000
		PP+T1+T2	-0.008	0.000	-0.027	0.000	-0.001	0.000
		PP+T3	2.876	0.000	2.075	0.000	0.181	0.000
		PP+T1+T3	3.837	0.000	2.775	0.000	0.241	0.000
		PP+T2+T3	1.914	0.000	1.374	0.000	0.120	0.000
		PP+T1+T2+T3	2.876	0.000	2.075	0.000	0.181	0.000
		PP+T4	-2.892	0.000	-2.129	0.000	-0.182	0.000
		PP+T1+T4	-1.930	0.000	-1.429	0.000	-0.122	0.000
		PP+T2+T4	-3.853	0.000	-2.830	0.000	-0.243	0.000
		PP+T1+T2+T4	-2.892	0.000	-2.129	0.000	-0.182	0.000
		PP+T3+T4	-0.008	0.000	-0.027	0.000	-0.001	0.000
		PP+T1+T3+T4	0.953	0.000	0.673	0.000	0.060	0.000
		PP+T2+T3+T4	-0.969	0.000	-0.728	0.000	-0.061	0.000
		PP+T1+T2+T3+T4	-0.008	0.000	-0.027	0.000	-0.001	0.000
N17	Desplazamientos	PP	0.000	0.000	0.000	0.000	0.000	0.000
		PP+T1	0.000	0.000	0.000	0.000	0.000	0.000
		PP+T2	0.000	0.000	0.000	0.000	0.000	0.000
		PP+T1+T2	0.000	0.000	0.000	0.000	0.000	0.000
		PP+T3	0.000	0.000	0.000	0.000	0.000	0.000
		PP+T1+T3	0.000	0.000	0.000	0.000	0.000	0.000
		PP+T2+T3	0.000	0.000	0.000	0.000	0.000	0.000
		PP+T1+T2+T3	0.000	0.000	0.000	0.000	0.000	0.000
		PP+T4	0.000	0.000	0.000	0.000	0.000	0.000
		PP+T1+T4	0.000	0.000	0.000	0.000	0.000	0.000
		PP+T2+T4	0.000	0.000	0.000	0.000	0.000	0.000
		PP+T1+T2+T4	0.000	0.000	0.000	0.000	0.000	0.000
		PP+T3+T4	0.000	0.000	0.000	0.000	0.000	0.000
		PP+T1+T3+T4	0.000	0.000	0.000	0.000	0.000	0.000

Desplazamientos de los nudos, por combinación								
Referencia	Combinación		Desplazamientos en ejes globales					
	Tipo	Descripción	Dx (mm)	Dy (mm)	Dz (mm)	Gx (mRad)	Gy (mRad)	Gz (mRad)
		PP+T2+T3+T4	0.000	0.000	0.000	0.000	0.000	0.000
		PP+T1+T2+T3+T4	0.000	0.000	0.000	0.000	0.000	0.000
N18	Desplazamientos	PP	-0.015	0.000	-0.027	0.000	-0.002	0.000
		PP+T1	1.552	0.000	0.674	0.000	0.077	0.000
		PP+T2	-1.581	0.000	-0.728	0.000	-0.081	0.000
		PP+T1+T2	-0.015	0.000	-0.027	0.000	-0.002	0.000
		PP+T3	4.685	0.000	2.076	0.000	0.235	0.000
		PP+T1+T3	6.251	0.000	2.776	0.000	0.314	0.000
		PP+T2+T3	3.118	0.000	1.375	0.000	0.156	0.000
		PP+T1+T2+T3	4.685	0.000	2.076	0.000	0.235	0.000
		PP+T4	-4.715	0.000	-2.130	0.000	-0.240	0.000
		PP+T1+T4	-3.148	0.000	-1.429	0.000	-0.161	0.000
		PP+T2+T4	-6.281	0.000	-2.831	0.000	-0.319	0.000
		PP+T1+T2+T4	-4.715	0.000	-2.130	0.000	-0.240	0.000
		PP+T3+T4	-0.015	0.000	-0.027	0.000	-0.002	0.000
		PP+T1+T3+T4	1.552	0.000	0.674	0.000	0.077	0.000
		PP+T2+T3+T4	-1.581	0.000	-0.728	0.000	-0.081	0.000
		PP+T1+T2+T3+T4	-0.015	0.000	-0.027	0.000	-0.002	0.000
N19	Desplazamientos	PP	0.000	0.000	0.000	0.000	0.000	0.000
		PP+T1	0.000	0.000	0.000	0.000	0.000	0.000
		PP+T2	0.000	0.000	0.000	0.000	0.000	0.000
		PP+T1+T2	0.000	0.000	0.000	0.000	0.000	0.000
		PP+T3	0.000	0.000	0.000	0.000	0.000	0.000
		PP+T1+T3	0.000	0.000	0.000	0.000	0.000	0.000
		PP+T2+T3	0.000	0.000	0.000	0.000	0.000	0.000
		PP+T1+T2+T3	0.000	0.000	0.000	0.000	0.000	0.000
		PP+T4	0.000	0.000	0.000	0.000	0.000	0.000
		PP+T1+T4	0.000	0.000	0.000	0.000	0.000	0.000
		PP+T2+T4	0.000	0.000	0.000	0.000	0.000	0.000
		PP+T1+T2+T4	0.000	0.000	0.000	0.000	0.000	0.000
		PP+T3+T4	0.000	0.000	0.000	0.000	0.000	0.000
		PP+T1+T3+T4	0.000	0.000	0.000	0.000	0.000	0.000
		PP+T2+T3+T4	0.000	0.000	0.000	0.000	0.000	0.000
		PP+T1+T2+T3+T4	0.000	0.000	0.000	0.000	0.000	0.000
N20	Desplazamientos	PP	-0.022	0.000	-0.025	0.000	0.011	0.000
		PP+T1	2.108	0.000	0.673	0.000	0.019	0.000
		PP+T2	-2.152	0.000	-0.723	0.000	0.002	0.000
		PP+T1+T2	-0.022	0.000	-0.025	0.000	0.011	0.000
		PP+T3	6.368	0.000	2.068	0.000	0.036	0.000
		PP+T1+T3	8.499	0.000	2.766	0.000	0.045	0.000
		PP+T2+T3	4.238	0.000	1.371	0.000	0.028	0.000
		PP+T1+T2+T3	6.368	0.000	2.068	0.000	0.036	0.000
		PP+T4	-6.412	0.000	-2.118	0.000	-0.015	0.000
		PP+T1+T4	-4.282	0.000	-1.420	0.000	-0.006	0.000
		PP+T2+T4	-8.542	0.000	-2.816	0.000	-0.023	0.000

Desplazamientos de los nudos, por combinación								
Referencia	Combinación		Desplazamientos en ejes globales					
	Tipo	Descripción	Dx (mm)	Dy (mm)	Dz (mm)	Gx (mRad)	Gy (mRad)	Gz (mRad)
		PP+T1+T2+T4	-6.412	0.000	-2.118	0.000	-0.015	0.000
		PP+T3+T4	-0.022	0.000	-0.025	0.000	0.011	0.000
		PP+T1+T3+T4	2.108	0.000	0.673	0.000	0.019	0.000
		PP+T2+T3+T4	-2.152	0.000	-0.723	0.000	0.002	0.000
		PP+T1+T2+T3+T4	-0.022	0.000	-0.025	0.000	0.011	0.000
N21	Desplazamientos	PP	0.000	0.000	0.000	0.000	0.000	0.000
		PP+T1	0.000	0.000	0.000	0.000	0.000	0.000
		PP+T2	0.000	0.000	0.000	0.000	0.000	0.000
		PP+T1+T2	0.000	0.000	0.000	0.000	0.000	0.000
		PP+T3	0.000	0.000	0.000	0.000	0.000	0.000
		PP+T1+T3	0.000	0.000	0.000	0.000	0.000	0.000
		PP+T2+T3	0.000	0.000	0.000	0.000	0.000	0.000
		PP+T1+T2+T3	0.000	0.000	0.000	0.000	0.000	0.000
		PP+T4	0.000	0.000	0.000	0.000	0.000	0.000
		PP+T1+T4	0.000	0.000	0.000	0.000	0.000	0.000
		PP+T2+T4	0.000	0.000	0.000	0.000	0.000	0.000
		PP+T1+T2+T4	0.000	0.000	0.000	0.000	0.000	0.000
		PP+T3+T4	0.000	0.000	0.000	0.000	0.000	0.000
		PP+T1+T3+T4	0.000	0.000	0.000	0.000	0.000	0.000
		PP+T2+T3+T4	0.000	0.000	0.000	0.000	0.000	0.000
		PP+T1+T2+T3+T4	0.000	0.000	0.000	0.000	0.000	0.000
N22	Desplazamientos	PP	-0.022	0.000	-0.022	0.000	-0.005	0.000
		PP+T1	2.556	0.000	0.678	0.000	0.539	0.000
		PP+T2	-2.599	0.000	-0.723	0.000	-0.549	0.000
		PP+T1+T2	-0.022	0.000	-0.022	0.000	-0.005	0.000
		PP+T3	7.710	0.000	2.078	0.000	1.628	0.000
		PP+T1+T3	10.288	0.000	2.778	0.000	2.172	0.000
		PP+T2+T3	5.133	0.000	1.378	0.000	1.084	0.000
		PP+T1+T2+T3	7.710	0.000	2.078	0.000	1.628	0.000
		PP+T4	-7.754	0.000	-2.123	0.000	-1.638	0.000
		PP+T1+T4	-5.177	0.000	-1.423	0.000	-1.093	0.000
		PP+T2+T4	-10.331	0.000	-2.823	0.000	-2.182	0.000
		PP+T1+T2+T4	-7.754	0.000	-2.123	0.000	-1.638	0.000
		PP+T3+T4	-0.022	0.000	-0.022	0.000	-0.005	0.000
		PP+T1+T3+T4	2.556	0.000	0.678	0.000	0.539	0.000
		PP+T2+T3+T4	-2.599	0.000	-0.723	0.000	-0.549	0.000
		PP+T1+T2+T3+T4	-0.022	0.000	-0.022	0.000	-0.005	0.000
N23	Desplazamientos	PP	0.000	0.000	0.000	0.000	0.000	0.000
		PP+T1	0.000	0.000	0.000	0.000	0.000	0.000
		PP+T2	0.000	0.000	0.000	0.000	0.000	0.000
		PP+T1+T2	0.000	0.000	0.000	0.000	0.000	0.000
		PP+T3	0.000	0.000	0.000	0.000	0.000	0.000
		PP+T1+T3	0.000	0.000	0.000	0.000	0.000	0.000
		PP+T2+T3	0.000	0.000	0.000	0.000	0.000	0.000
		PP+T1+T2+T3	0.000	0.000	0.000	0.000	0.000	0.000

Desplazamientos de los nudos, por combinación								
Referencia	Combinación		Desplazamientos en ejes globales					
	Tipo	Descripción	Dx (mm)	Dy (mm)	Dz (mm)	Gx (mRad)	Gy (mRad)	Gz (mRad)
		PP+T4	0.000	0.000	0.000	0.000	0.000	0.000
		PP+T1+T4	0.000	0.000	0.000	0.000	0.000	0.000
		PP+T2+T4	0.000	0.000	0.000	0.000	0.000	0.000
		PP+T1+T2+T4	0.000	0.000	0.000	0.000	0.000	0.000
		PP+T3+T4	0.000	0.000	0.000	0.000	0.000	0.000
		PP+T1+T3+T4	0.000	0.000	0.000	0.000	0.000	0.000
		PP+T2+T3+T4	0.000	0.000	0.000	0.000	0.000	0.000
		PP+T1+T2+T3+T4	0.000	0.000	0.000	0.000	0.000	0.000
N24	Desplazamientos	PP	-0.022	0.000	-0.022	0.000	-0.007	0.000
		PP+T1	3.018	0.000	0.678	0.000	0.638	0.000
		PP+T2	-3.062	0.000	-0.722	0.000	-0.653	0.000
		PP+T1+T2	-0.022	0.000	-0.022	0.000	-0.007	0.000
		PP+T3	9.098	0.000	2.077	0.000	1.929	0.000
		PP+T1+T3	12.138	0.000	2.777	0.000	2.575	0.000
		PP+T2+T3	6.058	0.000	1.378	0.000	1.284	0.000
		PP+T1+T2+T3	9.098	0.000	2.077	0.000	1.929	0.000
		PP+T4	-9.142	0.000	-2.122	0.000	-1.944	0.000
		PP+T1+T4	-6.102	0.000	-1.422	0.000	-1.298	0.000
		PP+T2+T4	-12.182	0.000	-2.822	0.000	-2.589	0.000
		PP+T1+T2+T4	-9.142	0.000	-2.122	0.000	-1.944	0.000
		PP+T3+T4	-0.022	0.000	-0.022	0.000	-0.007	0.000
		PP+T1+T3+T4	3.018	0.000	0.678	0.000	0.638	0.000
		PP+T2+T3+T4	-3.062	0.000	-0.722	0.000	-0.653	0.000
		PP+T1+T2+T3+T4	-0.022	0.000	-0.022	0.000	-0.007	0.000
N25	Desplazamientos	PP	0.017	0.000	-0.014	0.000	0.062	0.000
		PP+T1	-1.342	0.000	0.184	0.000	-0.667	0.000
		PP+T2	1.377	0.000	-0.213	0.000	0.792	0.000
		PP+T1+T2	0.017	0.000	-0.014	0.000	0.062	0.000
		PP+T3	-4.062	0.000	0.581	0.000	-2.126	0.000
		PP+T1+T3	-5.422	0.000	0.780	0.000	-2.856	0.000
		PP+T2+T3	-2.702	0.000	0.383	0.000	-1.397	0.000
		PP+T1+T2+T3	-4.062	0.000	0.581	0.000	-2.126	0.000
		PP+T4	4.097	0.000	-0.610	0.000	2.251	0.000
		PP+T1+T4	2.737	0.000	-0.411	0.000	1.521	0.000
		PP+T2+T4	5.457	0.000	-0.808	0.000	2.980	0.000
		PP+T1+T2+T4	4.097	0.000	-0.610	0.000	2.251	0.000
		PP+T3+T4	0.017	0.000	-0.014	0.000	0.062	0.000
		PP+T1+T3+T4	-1.342	0.000	0.184	0.000	-0.667	0.000
		PP+T2+T3+T4	1.377	0.000	-0.213	0.000	0.792	0.000
		PP+T1+T2+T3+T4	0.017	0.000	-0.014	0.000	0.062	0.000
N26	Desplazamientos	PP	-0.008	0.000	-0.013	0.000	-0.031	0.000
		PP+T1	1.126	0.000	0.184	0.000	0.554	0.000
		PP+T2	-1.142	0.000	-0.211	0.000	-0.615	0.000
		PP+T1+T2	-0.008	0.000	-0.013	0.000	-0.031	0.000
		PP+T3	3.394	0.000	0.580	0.000	1.723	0.000

Desplazamientos de los nudos, por combinación								
Referencia	Combinación		Desplazamientos en ejes globales					
	Tipo	Descripción	Dx (mm)	Dy (mm)	Dz (mm)	Gx (mRad)	Gy (mRad)	Gz (mRad)
		PP+T1+T3	4.528	0.000	0.778	0.000	2.307	0.000
		PP+T2+T3	2.260	0.000	0.382	0.000	1.138	0.000
		PP+T1+T2+T3	3.394	0.000	0.580	0.000	1.723	0.000
		PP+T4	-3.410	0.000	-0.606	0.000	-1.784	0.000
		PP+T1+T4	-2.276	0.000	-0.409	0.000	-1.199	0.000
		PP+T2+T4	-4.544	0.000	-0.804	0.000	-2.368	0.000
		PP+T1+T2+T4	-3.410	0.000	-0.606	0.000	-1.784	0.000
		PP+T3+T4	-0.008	0.000	-0.013	0.000	-0.031	0.000
		PP+T1+T3+T4	1.126	0.000	0.184	0.000	0.554	0.000
		PP+T2+T3+T4	-1.142	0.000	-0.211	0.000	-0.615	0.000
		PP+T1+T2+T3+T4	-0.008	0.000	-0.013	0.000	-0.031	0.000
N27	Desplazamientos	PP	0.010	0.000	-0.020	0.000	0.004	0.000
		PP+T1	-0.839	0.000	0.181	0.000	-0.378	0.000
		PP+T2	0.858	0.000	-0.221	0.000	0.387	0.000
		PP+T1+T2	0.010	0.000	-0.020	0.000	0.004	0.000
		PP+T3	-2.536	0.000	0.583	0.000	-1.142	0.000
		PP+T1+T3	-3.385	0.000	0.784	0.000	-1.525	0.000
		PP+T2+T3	-1.688	0.000	0.382	0.000	-0.760	0.000
		PP+T1+T2+T3	-2.536	0.000	0.583	0.000	-1.142	0.000
		PP+T4	2.556	0.000	-0.622	0.000	1.151	0.000
		PP+T1+T4	1.707	0.000	-0.422	0.000	0.769	0.000
		PP+T2+T4	3.404	0.000	-0.823	0.000	1.533	0.000
		PP+T1+T2+T4	2.556	0.000	-0.622	0.000	1.151	0.000
		PP+T3+T4	0.010	0.000	-0.020	0.000	0.004	0.000
		PP+T1+T3+T4	-0.839	0.000	0.181	0.000	-0.378	0.000
		PP+T2+T3+T4	0.858	0.000	-0.221	0.000	0.387	0.000
		PP+T1+T2+T3+T4	0.010	0.000	-0.020	0.000	0.004	0.000
N28	Desplazamientos	PP	0.003	0.000	-0.017	0.000	-0.022	0.000
		PP+T1	-0.405	0.000	0.183	0.000	-0.213	0.000
		PP+T2	0.411	0.000	-0.217	0.000	0.170	0.000
		PP+T1+T2	0.003	0.000	-0.017	0.000	-0.022	0.000
		PP+T3	-1.221	0.000	0.583	0.000	-0.597	0.000
		PP+T1+T3	-1.629	0.000	0.784	0.000	-0.788	0.000
		PP+T2+T3	-0.813	0.000	0.383	0.000	-0.405	0.000
		PP+T1+T2+T3	-1.221	0.000	0.583	0.000	-0.597	0.000
		PP+T4	1.227	0.000	-0.617	0.000	0.553	0.000
		PP+T1+T4	0.819	0.000	-0.417	0.000	0.361	0.000
		PP+T2+T4	1.635	0.000	-0.817	0.000	0.745	0.000
		PP+T1+T2+T4	1.227	0.000	-0.617	0.000	0.553	0.000
		PP+T3+T4	0.003	0.000	-0.017	0.000	-0.022	0.000
		PP+T1+T3+T4	-0.405	0.000	0.183	0.000	-0.213	0.000
		PP+T2+T3+T4	0.411	0.000	-0.217	0.000	0.170	0.000
		PP+T1+T2+T3+T4	0.003	0.000	-0.017	0.000	-0.022	0.000
N29	Desplazamientos	PP	0.001	0.000	-0.016	0.000	0.002	0.000
		PP+T1	-0.124	0.000	0.185	0.000	-0.055	0.000

Desplazamientos de los nudos, por combinación								
Referencia	Combinación		Desplazamientos en ejes globales					
	Tipo	Descripción	Dx (mm)	Dy (mm)	Dz (mm)	Gx (mRad)	Gy (mRad)	Gz (mRad)
		PP+T2	0.126	0.000	-0.216	0.000	0.058	0.000
		PP+T1+T2	0.001	0.000	-0.016	0.000	0.002	0.000
		PP+T3	-0.373	0.000	0.586	0.000	-0.168	0.000
		PP+T1+T3	-0.497	0.000	0.787	0.000	-0.224	0.000
		PP+T2+T3	-0.248	0.000	0.385	0.000	-0.111	0.000
		PP+T1+T2+T3	-0.373	0.000	0.586	0.000	-0.168	0.000
		PP+T4	0.375	0.000	-0.618	0.000	0.171	0.000
		PP+T1+T4	0.250	0.000	-0.417	0.000	0.115	0.000
		PP+T2+T4	0.499	0.000	-0.818	0.000	0.228	0.000
		PP+T1+T2+T4	0.375	0.000	-0.618	0.000	0.171	0.000
		PP+T3+T4	0.001	0.000	-0.016	0.000	0.002	0.000
		PP+T1+T3+T4	-0.124	0.000	0.185	0.000	-0.055	0.000
		PP+T2+T3+T4	0.126	0.000	-0.216	0.000	0.058	0.000
		PP+T1+T2+T3+T4	0.001	0.000	-0.016	0.000	0.002	0.000
N30	Desplazamientos	PP	-0.001	0.000	-0.016	0.000	0.000	0.000
		PP+T1	0.148	0.000	0.185	0.000	0.067	0.000
		PP+T2	-0.150	0.000	-0.217	0.000	-0.068	0.000
		PP+T1+T2	-0.001	0.000	-0.016	0.000	0.000	0.000
		PP+T3	0.447	0.000	0.586	0.000	0.201	0.000
		PP+T1+T3	0.596	0.000	0.787	0.000	0.268	0.000
		PP+T2+T3	0.297	0.000	0.385	0.000	0.134	0.000
		PP+T1+T2+T3	0.447	0.000	0.586	0.000	0.201	0.000
		PP+T4	-0.449	0.000	-0.618	0.000	-0.202	0.000
		PP+T1+T4	-0.299	0.000	-0.417	0.000	-0.135	0.000
		PP+T2+T4	-0.598	0.000	-0.818	0.000	-0.269	0.000
		PP+T1+T2+T4	-0.449	0.000	-0.618	0.000	-0.202	0.000
		PP+T3+T4	-0.001	0.000	-0.016	0.000	0.000	0.000
		PP+T1+T3+T4	0.148	0.000	0.185	0.000	0.067	0.000
		PP+T2+T3+T4	-0.150	0.000	-0.217	0.000	-0.068	0.000
		PP+T1+T2+T3+T4	-0.001	0.000	-0.016	0.000	0.000	0.000
N31	Desplazamientos	PP	-0.003	0.000	-0.016	0.000	-0.001	0.000
		PP+T1	0.432	0.000	0.185	0.000	0.194	0.000
		PP+T2	-0.438	0.000	-0.217	0.000	-0.197	0.000
		PP+T1+T2	-0.003	0.000	-0.016	0.000	-0.001	0.000
		PP+T3	1.301	0.000	0.586	0.000	0.584	0.000
		PP+T1+T3	1.736	0.000	0.787	0.000	0.780	0.000
		PP+T2+T3	0.866	0.000	0.385	0.000	0.389	0.000
		PP+T1+T2+T3	1.301	0.000	0.586	0.000	0.584	0.000
		PP+T4	-1.307	0.000	-0.618	0.000	-0.587	0.000
		PP+T1+T4	-0.872	0.000	-0.417	0.000	-0.392	0.000
		PP+T2+T4	-1.742	0.000	-0.819	0.000	-0.782	0.000
		PP+T1+T2+T4	-1.307	0.000	-0.618	0.000	-0.587	0.000
		PP+T3+T4	-0.003	0.000	-0.016	0.000	-0.001	0.000
		PP+T1+T3+T4	0.432	0.000	0.185	0.000	0.194	0.000
		PP+T2+T3+T4	-0.438	0.000	-0.217	0.000	-0.197	0.000

Desplazamientos de los nudos, por combinación								
Referencia	Combinación		Desplazamientos en ejes globales					
	Tipo	Descripción	Dx (mm)	Dy (mm)	Dz (mm)	Gx (mRad)	Gy (mRad)	Gz (mRad)
		PP+T1+T2+T3+T4	-0.003	0.000	-0.016	0.000	-0.001	0.000
N32	Desplazamientos	PP	-0.005	0.000	-0.016	0.000	-0.001	0.000
		PP+T1	0.749	0.000	0.185	0.000	0.329	0.000
		PP+T2	-0.759	0.000	-0.217	0.000	-0.332	0.000
		PP+T1+T2	-0.005	0.000	-0.016	0.000	-0.001	0.000
		PP+T3	2.257	0.000	0.587	0.000	0.990	0.000
		PP+T1+T3	3.011	0.000	0.788	0.000	1.321	0.000
		PP+T2+T3	1.503	0.000	0.386	0.000	0.660	0.000
		PP+T1+T2+T3	2.257	0.000	0.587	0.000	0.990	0.000
		PP+T4	-2.268	0.000	-0.619	0.000	-0.993	0.000
		PP+T1+T4	-1.514	0.000	-0.418	0.000	-0.662	0.000
		PP+T2+T4	-3.022	0.000	-0.820	0.000	-1.323	0.000
		PP+T1+T2+T4	-2.268	0.000	-0.619	0.000	-0.993	0.000
		PP+T3+T4	-0.005	0.000	-0.016	0.000	-0.001	0.000
		PP+T1+T3+T4	0.749	0.000	0.185	0.000	0.329	0.000
		PP+T2+T3+T4	-0.759	0.000	-0.217	0.000	-0.332	0.000
		PP+T1+T2+T3+T4	-0.005	0.000	-0.016	0.000	-0.001	0.000

2.3.1.1.3. Envolventes

Envolvente de los desplazamientos en nudos								
Referencia	Combinación		Desplazamientos en ejes globales					
	Tipo	Descripción	Dx (mm)	Dy (mm)	Dz (mm)	Gx (mRad)	Gy (mRad)	Gz (mRad)
N1	Desplazamientos	Valor mínimo de la envolvente	0.000	0.000	0.000	0.000	0.000	0.000
		Valor máximo de la envolvente	0.000	0.000	0.000	0.000	0.000	0.000
N2	Desplazamientos	Valor mínimo de la envolvente	-15.185	0.000	-2.822	0.000	-3.226	0.000
		Valor máximo de la envolvente	15.287	0.000	2.777	0.000	3.258	0.000
N3	Desplazamientos	Valor mínimo de la envolvente	0.000	0.000	0.000	0.000	0.000	0.000
		Valor máximo de la envolvente	0.000	0.000	0.000	0.000	0.000	0.000
N4	Desplazamientos	Valor mínimo de la envolvente	-12.557	0.000	-2.823	0.000	-2.661	0.000
		Valor máximo de la envolvente	12.658	0.000	2.778	0.000	2.682	0.000
N5	Desplazamientos	Valor mínimo de la envolvente	0.000	0.000	0.000	0.000	0.000	0.000
		Valor máximo de la envolvente	0.000	0.000	0.000	0.000	0.000	0.000
N6	Desplazamientos	Valor mínimo de la envolvente	-10.257	0.000	-2.820	0.000	-0.032	0.000
		Valor máximo de la envolvente	10.359	0.000	2.768	0.000	-0.008	0.000
N7	Desplazamientos	Valor mínimo de la envolvente	0.000	0.000	0.000	0.000	0.000	0.000
		Valor máximo de la envolvente	0.000	0.000	0.000	0.000	0.000	0.000
N8	Desplazamientos	Valor mínimo de la envolvente	-7.106	0.000	-2.835	0.000	-0.358	0.000
		Valor máximo de la envolvente	7.170	0.000	2.772	0.000	0.367	0.000
N9	Desplazamientos	Valor mínimo de la envolvente	0.000	0.000	0.000	0.000	0.000	0.000
		Valor máximo de la envolvente	0.000	0.000	0.000	0.000	0.000	0.000
N10	Desplazamientos	Valor mínimo de la envolvente	-3.713	0.000	-2.829	0.000	-0.234	0.000
		Valor máximo de la envolvente	3.739	0.000	2.772	0.000	0.258	0.000
N11	Desplazamientos	Valor mínimo de la envolvente	0.000	0.000	0.000	0.000	0.000	0.000
		Valor máximo de la envolvente	0.000	0.000	0.000	0.000	0.000	0.000
N12	Desplazamientos	Valor mínimo de la envolvente	-1.201	0.000	-2.830	0.000	-0.099	0.000
		Valor máximo de la envolvente	1.212	0.000	2.775	0.000	0.100	0.000
N13	Desplazamientos	Valor mínimo de la envolvente	0.000	0.000	0.000	0.000	0.000	0.000
		Valor máximo de la envolvente	0.000	0.000	0.000	0.000	0.000	0.000

Envolvente de los desplazamientos en nudos								
Referencia	Combinación		Desplazamientos en ejes globales					
	Tipo	Descripción	Dx (mm)	Dy (mm)	Dz (mm)	Gx (mRad)	Gy (mRad)	Gz (mRad)
N14	Desplazamientos	Valor mínimo de la envolvente	-1.335	0.000	-2.830	0.000	-0.087	0.000
		Valor máximo de la envolvente	1.333	0.000	2.775	0.000	0.087	0.000
N15	Desplazamientos	Valor mínimo de la envolvente	0.000	0.000	0.000	0.000	0.000	0.000
		Valor máximo de la envolvente	0.000	0.000	0.000	0.000	0.000	0.000
N16	Desplazamientos	Valor mínimo de la envolvente	-3.853	0.000	-2.830	0.000	-0.243	0.000
		Valor máximo de la envolvente	3.837	0.000	2.775	0.000	0.241	0.000
N17	Desplazamientos	Valor mínimo de la envolvente	0.000	0.000	0.000	0.000	0.000	0.000
		Valor máximo de la envolvente	0.000	0.000	0.000	0.000	0.000	0.000
N18	Desplazamientos	Valor mínimo de la envolvente	-6.281	0.000	-2.831	0.000	-0.319	0.000
		Valor máximo de la envolvente	6.251	0.000	2.776	0.000	0.314	0.000
N19	Desplazamientos	Valor mínimo de la envolvente	0.000	0.000	0.000	0.000	0.000	0.000
		Valor máximo de la envolvente	0.000	0.000	0.000	0.000	0.000	0.000
N20	Desplazamientos	Valor mínimo de la envolvente	-8.542	0.000	-2.816	0.000	-0.023	0.000
		Valor máximo de la envolvente	8.499	0.000	2.766	0.000	0.045	0.000
N21	Desplazamientos	Valor mínimo de la envolvente	0.000	0.000	0.000	0.000	0.000	0.000
		Valor máximo de la envolvente	0.000	0.000	0.000	0.000	0.000	0.000
N22	Desplazamientos	Valor mínimo de la envolvente	-10.331	0.000	-2.823	0.000	-2.182	0.000
		Valor máximo de la envolvente	10.288	0.000	2.778	0.000	2.172	0.000
N23	Desplazamientos	Valor mínimo de la envolvente	0.000	0.000	0.000	0.000	0.000	0.000
		Valor máximo de la envolvente	0.000	0.000	0.000	0.000	0.000	0.000
N24	Desplazamientos	Valor mínimo de la envolvente	-12.182	0.000	-2.822	0.000	-2.589	0.000
		Valor máximo de la envolvente	12.138	0.000	2.777	0.000	2.575	0.000
N25	Desplazamientos	Valor mínimo de la envolvente	-5.422	0.000	-0.808	0.000	-2.856	0.000
		Valor máximo de la envolvente	5.457	0.000	0.780	0.000	2.980	0.000
N26	Desplazamientos	Valor mínimo de la envolvente	-4.544	0.000	-0.804	0.000	-2.368	0.000
		Valor máximo de la envolvente	4.528	0.000	0.778	0.000	2.307	0.000
N27	Desplazamientos	Valor mínimo de la envolvente	-3.385	0.000	-0.823	0.000	-1.525	0.000
		Valor máximo de la envolvente	3.404	0.000	0.784	0.000	1.533	0.000
N28	Desplazamientos	Valor mínimo de la envolvente	-1.629	0.000	-0.817	0.000	-0.788	0.000
		Valor máximo de la envolvente	1.635	0.000	0.784	0.000	0.745	0.000
N29	Desplazamientos	Valor mínimo de la envolvente	-0.497	0.000	-0.818	0.000	-0.224	0.000
		Valor máximo de la envolvente	0.499	0.000	0.787	0.000	0.228	0.000
N30	Desplazamientos	Valor mínimo de la envolvente	-0.598	0.000	-0.818	0.000	-0.269	0.000
		Valor máximo de la envolvente	0.596	0.000	0.787	0.000	0.268	0.000
N31	Desplazamientos	Valor mínimo de la envolvente	-1.742	0.000	-0.819	0.000	-0.782	0.000
		Valor máximo de la envolvente	1.736	0.000	0.787	0.000	0.780	0.000
N32	Desplazamientos	Valor mínimo de la envolvente	-3.022	0.000	-0.820	0.000	-1.323	0.000
		Valor máximo de la envolvente	3.011	0.000	0.788	0.000	1.321	0.000

2.3.1.2. Reacciones

Referencias:

Rx, Ry, Rz: Reacciones en nudos con desplazamientos coaccionados (fuerzas).
Mx, My, Mz: Reacciones en nudos con giros coaccionados (momentos).

2.3.1.2.1. Hipótesis

Reacciones en los nudos, por hipótesis							
Referencia	Descripción	Reacciones en ejes globales					
		Rx (kN)	Ry (kN)	Rz (kN)	Mx (kN·m)	My (kN·m)	Mz (kN·m)
N1	Peso propio	0.012	0.000	27.646	0.00	-0.09	0.00
	T 1	1.960	0.000	0.040	0.00	13.59	0.00

Reacciones en los nudos, por hipótesis							
Referencia	Descripción	Reacciones en ejes globales					
		Rx (kN)	Ry (kN)	Rz (kN)	Mx (kN·m)	My (kN·m)	Mz (kN·m)
	T 2	-1.960	0.000	-0.040	0.00	-13.59	0.00
	T 3	5.880	0.000	0.120	0.00	40.78	0.00
	T 4	-5.880	0.000	-0.120	0.00	-40.78	0.00
N3	Peso propio	-0.029	0.000	27.820	0.00	-0.19	0.00
	T 1	1.641	0.000	-0.021	0.00	11.29	0.00
	T 2	-1.641	0.000	0.021	0.00	-11.29	0.00
	T 3	4.923	0.000	-0.062	0.00	33.88	0.00
	T 4	-4.923	0.000	0.062	0.00	-33.88	0.00
N5	Peso propio	4.392	0.000	43.880	0.00	2.13	0.00
	T 1	61.636	0.000	3.951	0.00	88.16	0.00
	T 2	-61.636	0.000	-3.951	0.00	-88.16	0.00
	T 3	184.909	0.000	11.854	0.00	264.47	0.00
	T 4	-184.909	0.000	-11.854	0.00	-264.47	0.00
N7	Peso propio	-0.409	0.000	47.042	0.00	-0.54	0.00
	T 1	36.486	0.000	-1.948	0.00	47.60	0.00
	T 2	-36.486	0.000	1.948	0.00	-47.60	0.00
	T 3	109.457	0.000	-5.843	0.00	142.81	0.00
	T 4	-109.457	0.000	5.843	0.00	-142.81	0.00
N9	Peso propio	-2.411	0.000	50.996	0.00	-1.62	0.00
	T 1	21.159	0.000	-0.315	0.00	28.13	0.00
	T 2	-21.159	0.000	0.315	0.00	-28.13	0.00
	T 3	63.477	0.000	-0.944	0.00	84.38	0.00
	T 4	-63.477	0.000	0.944	0.00	-84.38	0.00
N11	Peso propio	0.067	0.000	47.999	0.00	0.01	0.00
	T 1	6.658	0.000	-1.781	0.00	8.71	0.00
	T 2	-6.658	0.000	1.781	0.00	-8.71	0.00
	T 3	19.974	0.000	-5.342	0.00	26.14	0.00
	T 4	-19.974	0.000	5.342	0.00	-26.14	0.00
N13	Peso propio	0.051	0.000	48.163	0.00	0.07	0.00
	T 1	-8.033	0.000	-1.735	0.00	-10.47	0.00
	T 2	8.033	0.000	1.735	0.00	10.47	0.00
	T 3	-24.100	0.000	-5.204	0.00	-31.41	0.00
	T 4	24.100	0.000	5.204	0.00	31.41	0.00
N15	Peso propio	0.151	0.000	48.148	0.00	0.20	0.00
	T 1	-23.414	0.000	-1.815	0.00	-30.51	0.00
	T 2	23.414	0.000	1.815	0.00	30.51	0.00
	T 3	-70.243	0.000	-5.444	0.00	-91.54	0.00
	T 4	70.243	0.000	5.444	0.00	91.54	0.00
N17	Peso propio	0.388	0.000	48.334	0.00	0.43	0.00
	T 1	-41.424	0.000	-2.662	0.00	-53.44	0.00
	T 2	41.424	0.000	2.662	0.00	53.44	0.00
	T 3	-124.273	0.000	-7.985	0.00	-160.32	0.00
	T 4	124.273	0.000	7.985	0.00	160.32	0.00
N19	Peso propio	-2.216	0.000	41.156	0.00	-1.10	0.00
	T 1	-53.739	0.000	6.254	0.00	-74.98	0.00

Reacciones en los nudos, por hipótesis							
Referencia	Descripción	Reacciones en ejes globales					
		Rx (kN)	Ry (kN)	Rz (kN)	Mx (kN·m)	My (kN·m)	Mz (kN·m)
	T 2	53.739	0.000	-6.254	0.00	74.98	0.00
	T 3	-161.217	0.000	18.763	0.00	-224.95	0.00
	T 4	161.217	0.000	-18.763	0.00	224.95	0.00
N21	Peso propio	0.010	0.000	27.721	0.00	0.07	0.00
	T 1	-1.355	0.000	-0.039	0.00	-9.27	0.00
	T 2	1.355	0.000	0.039	0.00	9.27	0.00
	T 3	-4.066	0.000	-0.117	0.00	-27.80	0.00
	T 4	4.066	0.000	0.117	0.00	27.80	0.00
N23	Peso propio	-0.007	0.000	27.590	0.00	0.04	0.00
	T 1	-1.574	0.000	0.068	0.00	-10.87	0.00
	T 2	1.574	0.000	-0.068	0.00	10.87	0.00
	T 3	-4.722	0.000	0.203	0.00	-32.62	0.00
	T 4	4.722	0.000	-0.203	0.00	32.62	0.00

2.3.1.2.2. Combinaciones

Reacciones en los nudos, por combinación									
Referencia	Combinación		Reacciones en ejes globales						
	Tipo	Descripción	Rx (kN)	Ry (kN)	Rz (kN)	Mx (kN·m)	My (kN·m)	Mz (kN·m)
N1	Hormigón en cimentaciones	PP	0.012	0.000	27.646	0.00	-0.09	0.00
		1.6·PP	0.020	0.000	44.233	0.00	-0.15	0.00
		PP+1.6·T1	3.148	0.000	27.710	0.00	21.66	0.00
		1.6·PP+1.6·T1	3.156	0.000	44.297	0.00	21.60	0.00
		PP+1.6·T2	-3.124	0.000	27.582	0.00	-21.84	0.00
		1.6·PP+1.6·T2	-3.116	0.000	44.169	0.00	-21.90	0.00
		PP+1.6·T1+1.6·T2	0.012	0.000	27.646	0.00	-0.09	0.00
		1.6·PP+1.6·T1+1.6·T2	0.020	0.000	44.233	0.00	-0.15	0.00
		PP+1.6·T3	9.421	0.000	27.838	0.00	65.16	0.00
		1.6·PP+1.6·T3	9.428	0.000	44.425	0.00	65.10	0.00
		PP+1.6·T1+1.6·T3	12.557	0.000	27.902	0.00	86.91	0.00
		1.6·PP+1.6·T1+1.6·T3	12.564	0.000	44.489	0.00	86.86	0.00
		PP+1.6·T2+1.6·T3	6.284	0.000	27.774	0.00	43.41	0.00
		1.6·PP+1.6·T2+1.6·T3	6.292	0.000	44.361	0.00	43.35	0.00
		PP+1.6·T1+1.6·T2+1.6·T3	9.421	0.000	27.838	0.00	65.16	0.00
		1.6·PP+1.6·T1+1.6·T2+1.6·T3	9.428	0.000	44.425	0.00	65.10	0.00
		PP+1.6·T4	-9.396	0.000	27.454	0.00	-65.34	0.00
		1.6·PP+1.6·T4	-9.388	0.000	44.041	0.00	-65.40	0.00
		PP+1.6·T1+1.6·T4	-6.260	0.000	27.518	0.00	-43.59	0.00
		1.6·PP+1.6·T1+1.6·T4	-6.252	0.000	44.105	0.00	-43.65	0.00
		PP+1.6·T2+1.6·T4	-12.532	0.000	27.390	0.00	-87.10	0.00
		1.6·PP+1.6·T2+1.6·T4	-12.524	0.000	43.977	0.00	-87.15	0.00
		PP+1.6·T1+1.6·T2+1.6·T4	-9.396	0.000	27.454	0.00	-65.34	0.00
		1.6·PP+1.6·T1+1.6·T2+1.6·T4	-9.388	0.000	44.041	0.00	-65.40	0.00
		PP+1.6·T3+1.6·T4	0.012	0.000	27.646	0.00	-0.09	0.00
		1.6·PP+1.6·T3+1.6·T4	0.020	0.000	44.233	0.00	-0.15	0.00
		PP+1.6·T1+1.6·T3+1.6·T4	3.148	0.000	27.710	0.00	21.66	0.00
		1.6·PP+1.6·T1+1.6·T3+1.6·T4	3.156	0.000	44.297	0.00	21.60	0.00
		PP+1.6·T2+1.6·T3+1.6·T4	-3.124	0.000	27.582	0.00	-21.84	0.00
		1.6·PP+1.6·T2+1.6·T3+1.6·T4	-3.116	0.000	44.169	0.00	-21.90	0.00
		PP+1.6·T1+1.6·T2+1.6·T3+1.6·T4	0.012	0.000	27.646	0.00	-0.09	0.00
		1.6·PP+1.6·T1+1.6·T2+1.6·T3+1.6·T4	0.020	0.000	44.233	0.00	-0.15	0.00
	Tensiones sobre el terreno	PP	0.012	0.000	27.646	0.00	-0.09	0.00
		PP+T1	1.972	0.000	27.686	0.00	13.50	0.00
		PP+T2	-1.948	0.000	27.606	0.00	-13.69	0.00
		PP+T1+T2	0.012	0.000	27.646	0.00	-0.09	0.00
		PP+T3	5.892	0.000	27.766	0.00	40.69	0.00

Reacciones en los nudos, por combinación								
Referencia	Combinación		Reacciones en ejes globales					
	Tipo	Descripción	Rx (kN)	Ry (kN)	Rz (kN)	Mx (kN·m)	My (kN·m)	Mz (kN·m)
		PP+T1+T3	7.853	0.000	27.806	0.00	54.28	0.00
		PP+T2+T3	3.932	0.000	27.726	0.00	27.10	0.00
		PP+T1+T2+T3	5.892	0.000	27.766	0.00	40.69	0.00
		PP+T4	-5.868	0.000	27.526	0.00	-40.88	0.00
		PP+T1+T4	-3.908	0.000	27.566	0.00	-27.28	0.00
		PP+T2+T4	-7.828	0.000	27.486	0.00	-54.47	0.00
		PP+T1+T2+T4	-5.868	0.000	27.526	0.00	-40.88	0.00
		PP+T3+T4	0.012	0.000	27.646	0.00	-0.09	0.00
		PP+T1+T3+T4	1.972	0.000	27.686	0.00	13.50	0.00
		PP+T2+T3+T4	-1.948	0.000	27.606	0.00	-13.69	0.00
		PP+T1+T2+T3+T4	0.012	0.000	27.646	0.00	-0.09	0.00
N3	Hormigón en cimentaciones	PP	-0.029	0.000	27.820	0.00	-0.19	0.00
		1.6·PP	-0.046	0.000	44.512	0.00	-0.30	0.00
		PP+1.6·T1	2.597	0.000	27.787	0.00	17.88	0.00
		1.6·PP+1.6·T1	2.580	0.000	44.479	0.00	17.77	0.00
		PP+1.6·T2	-2.654	0.000	27.853	0.00	-18.26	0.00
		1.6·PP+1.6·T2	-2.672	0.000	44.545	0.00	-18.37	0.00
		PP+1.6·T1+1.6·T2	-0.029	0.000	27.820	0.00	-0.19	0.00
		1.6·PP+1.6·T1+1.6·T2	-0.046	0.000	44.512	0.00	-0.30	0.00
		PP+1.6·T3	7.849	0.000	27.721	0.00	54.02	0.00
		1.6·PP+1.6·T3	7.832	0.000	44.414	0.00	53.91	0.00
		PP+1.6·T1+1.6·T3	10.475	0.000	27.688	0.00	72.09	0.00
		1.6·PP+1.6·T1+1.6·T3	10.458	0.000	44.381	0.00	71.98	0.00
		PP+1.6·T2+1.6·T3	5.223	0.000	27.754	0.00	35.95	0.00
		1.6·PP+1.6·T2+1.6·T3	5.206	0.000	44.446	0.00	35.84	0.00
		PP+1.6·T1+1.6·T2+1.6·T3	7.849	0.000	27.721	0.00	54.02	0.00
		1.6·PP+1.6·T1+1.6·T2+1.6·T3	7.832	0.000	44.414	0.00	53.91	0.00
		PP+1.6·T4	-7.906	0.000	27.919	0.00	-54.40	0.00
		1.6·PP+1.6·T4	-7.923	0.000	44.611	0.00	-54.51	0.00
		PP+1.6·T1+1.6·T4	-5.280	0.000	27.886	0.00	-36.33	0.00
		1.6·PP+1.6·T1+1.6·T4	-5.297	0.000	44.578	0.00	-36.44	0.00
		PP+1.6·T2+1.6·T4	-10.532	0.000	27.952	0.00	-72.47	0.00
		1.6·PP+1.6·T2+1.6·T4	-10.549	0.000	44.644	0.00	-72.58	0.00
		PP+1.6·T1+1.6·T2+1.6·T4	-7.906	0.000	27.919	0.00	-54.40	0.00
		1.6·PP+1.6·T1+1.6·T2+1.6·T4	-7.923	0.000	44.611	0.00	-54.51	0.00
		PP+1.6·T3+1.6·T4	-0.029	0.000	27.820	0.00	-0.19	0.00
		1.6·PP+1.6·T3+1.6·T4	-0.046	0.000	44.512	0.00	-0.30	0.00
		PP+1.6·T1+1.6·T3+1.6·T4	2.597	0.000	27.787	0.00	17.88	0.00
		1.6·PP+1.6·T1+1.6·T3+1.6·T4	2.580	0.000	44.479	0.00	17.77	0.00
		PP+1.6·T2+1.6·T3+1.6·T4	-2.654	0.000	27.853	0.00	-18.26	0.00
		1.6·PP+1.6·T2+1.6·T3+1.6·T4	-2.672	0.000	44.545	0.00	-18.37	0.00
		PP+1.6·T1+1.6·T2+1.6·T3+1.6·T4	-0.029	0.000	27.820	0.00	-0.19	0.00
		1.6·PP+1.6·T1+1.6·T2+1.6·T3+1.6·T4	-0.046	0.000	44.512	0.00	-0.30	0.00
	Tensiones sobre el terreno	PP	-0.029	0.000	27.820	0.00	-0.19	0.00
		PP+T1	1.613	0.000	27.800	0.00	11.11	0.00
		PP+T2	-1.670	0.000	27.841	0.00	-11.48	0.00
		PP+T1+T2	-0.029	0.000	27.820	0.00	-0.19	0.00
		PP+T3	4.895	0.000	27.758	0.00	33.70	0.00
		PP+T1+T3	6.536	0.000	27.738	0.00	44.99	0.00
		PP+T2+T3	3.254	0.000	27.779	0.00	22.40	0.00
		PP+T1+T2+T3	4.895	0.000	27.758	0.00	33.70	0.00
		PP+T4	-4.952	0.000	27.882	0.00	-34.07	0.00
		PP+T1+T4	-3.311	0.000	27.861	0.00	-22.77	0.00
		PP+T2+T4	-6.593	0.000	27.903	0.00	-45.36	0.00
		PP+T1+T2+T4	-4.952	0.000	27.882	0.00	-34.07	0.00
		PP+T3+T4	-0.029	0.000	27.820	0.00	-0.19	0.00
		PP+T1+T3+T4	1.613	0.000	27.800	0.00	11.11	0.00
		PP+T2+T3+T4	-1.670	0.000	27.841	0.00	-11.48	0.00
		PP+T1+T2+T3+T4	-0.029	0.000	27.820	0.00	-0.19	0.00
N5	Hormigón en cimentaciones	PP	4.392	0.000	43.880	0.00	2.13	0.00
		1.6·PP	7.027	0.000	70.209	0.00	3.41	0.00
		PP+1.6·T1	103.011	0.000	50.202	0.00	143.18	0.00
		1.6·PP+1.6·T1	105.646	0.000	76.531	0.00	144.46	0.00
		PP+1.6·T2	-94.226	0.000	37.558	0.00	-138.92	0.00

Reacciones en los nudos, por combinación								
Referencia	Combinación		Reacciones en ejes globales					
	Tipo	Descripción	Rx (kN)	Ry (kN)	Rz (kN)	Mx (kN·m)	My (kN·m)	Mz (kN·m)
		1.6·PP+1.6·T2	-91.591	0.000	63.887	0.00	-137.64	0.00
		PP+1.6·T1+1.6·T2	4.392	0.000	43.880	0.00	2.13	0.00
		1.6·PP+1.6·T1+1.6·T2	7.027	0.000	70.209	0.00	3.41	0.00
		PP+1.6·T3	300.247	0.000	62.847	0.00	425.28	0.00
		1.6·PP+1.6·T3	302.883	0.000	89.175	0.00	426.56	0.00
		PP+1.6·T1+1.6·T3	398.866	0.000	69.169	0.00	566.33	0.00
		1.6·PP+1.6·T1+1.6·T3	401.501	0.000	95.497	0.00	567.61	0.00
		PP+1.6·T2+1.6·T3	201.629	0.000	56.525	0.00	284.23	0.00
		1.6·PP+1.6·T2+1.6·T3	204.264	0.000	82.853	0.00	285.51	0.00
		PP+1.6·T1+1.6·T2+1.6·T3	300.247	0.000	62.847	0.00	425.28	0.00
		1.6·PP+1.6·T1+1.6·T2+1.6·T3	302.883	0.000	89.175	0.00	426.56	0.00
		PP+1.6·T4	-291.463	0.000	24.914	0.00	-421.02	0.00
		1.6·PP+1.6·T4	-288.828	0.000	51.243	0.00	-419.74	0.00
		PP+1.6·T1+1.6·T4	-192.845	0.000	31.236	0.00	-279.97	0.00
		1.6·PP+1.6·T1+1.6·T4	-190.209	0.000	57.565	0.00	-278.69	0.00
		PP+1.6·T2+1.6·T4	-390.081	0.000	18.592	0.00	-562.07	0.00
		1.6·PP+1.6·T2+1.6·T4	-387.446	0.000	44.921	0.00	-560.79	0.00
		PP+1.6·T1+1.6·T2+1.6·T4	-291.463	0.000	24.914	0.00	-421.02	0.00
		1.6·PP+1.6·T1+1.6·T2+1.6·T4	-288.828	0.000	51.243	0.00	-419.74	0.00
		PP+1.6·T3+1.6·T4	4.392	0.000	43.880	0.00	2.13	0.00
		1.6·PP+1.6·T3+1.6·T4	7.027	0.000	70.209	0.00	3.41	0.00
		PP+1.6·T1+1.6·T3+1.6·T4	103.011	0.000	50.202	0.00	143.18	0.00
		1.6·PP+1.6·T1+1.6·T3+1.6·T4	105.646	0.000	76.531	0.00	144.46	0.00
		PP+1.6·T2+1.6·T3+1.6·T4	-94.226	0.000	37.558	0.00	-138.92	0.00
		1.6·PP+1.6·T2+1.6·T3+1.6·T4	-91.591	0.000	63.887	0.00	-137.64	0.00
		PP+1.6·T1+1.6·T2+1.6·T3+1.6·T4	4.392	0.000	43.880	0.00	2.13	0.00
		1.6·PP+1.6·T1+1.6·T2+1.6·T3+1.6·T4	7.027	0.000	70.209	0.00	3.41	0.00
	Tensiones sobre el terreno	PP	4.392	0.000	43.880	0.00	2.13	0.00
		PP+T1	66.029	0.000	47.832	0.00	90.29	0.00
		PP+T2	-57.244	0.000	39.929	0.00	-86.03	0.00
		PP+T1+T2	4.392	0.000	43.880	0.00	2.13	0.00
		PP+T3	189.302	0.000	55.734	0.00	266.60	0.00
		PP+T1+T3	250.938	0.000	59.686	0.00	354.75	0.00
		PP+T2+T3	127.665	0.000	51.783	0.00	178.44	0.00
		PP+T1+T2+T3	189.302	0.000	55.734	0.00	266.60	0.00
		PP+T4	-180.517	0.000	32.027	0.00	-262.34	0.00
		PP+T1+T4	-118.881	0.000	35.978	0.00	-174.18	0.00
		PP+T2+T4	-242.154	0.000	28.075	0.00	-350.50	0.00
		PP+T1+T2+T4	-180.517	0.000	32.027	0.00	-262.34	0.00
		PP+T3+T4	4.392	0.000	43.880	0.00	2.13	0.00
		PP+T1+T3+T4	66.029	0.000	47.832	0.00	90.29	0.00
		PP+T2+T3+T4	-57.244	0.000	39.929	0.00	-86.03	0.00
		PP+T1+T2+T3+T4	4.392	0.000	43.880	0.00	2.13	0.00
N7	Hormigón en cimentaciones	PP	-0.409	0.000	47.042	0.00	-0.54	0.00
		1.6·PP	-0.654	0.000	75.267	0.00	-0.86	0.00
		PP+1.6·T1	57.968	0.000	43.926	0.00	75.62	0.00
		1.6·PP+1.6·T1	57.723	0.000	72.151	0.00	75.30	0.00
		PP+1.6·T2	-58.786	0.000	50.159	0.00	-76.70	0.00
		1.6·PP+1.6·T2	-59.031	0.000	78.384	0.00	-77.03	0.00
		PP+1.6·T1+1.6·T2	-0.409	0.000	47.042	0.00	-0.54	0.00
		1.6·PP+1.6·T1+1.6·T2	-0.654	0.000	75.267	0.00	-0.86	0.00
		PP+1.6·T3	174.723	0.000	37.693	0.00	227.95	0.00
		1.6·PP+1.6·T3	174.477	0.000	65.918	0.00	227.63	0.00
		PP+1.6·T1+1.6·T3	233.100	0.000	34.576	0.00	304.11	0.00
		1.6·PP+1.6·T1+1.6·T3	232.854	0.000	62.802	0.00	303.79	0.00
		PP+1.6·T2+1.6·T3	116.345	0.000	40.809	0.00	151.79	0.00
		1.6·PP+1.6·T2+1.6·T3	116.100	0.000	69.034	0.00	151.46	0.00
		PP+1.6·T1+1.6·T2+1.6·T3	174.723	0.000	37.693	0.00	227.95	0.00
		1.6·PP+1.6·T1+1.6·T2+1.6·T3	174.477	0.000	65.918	0.00	227.63	0.00
		PP+1.6·T4	-175.540	0.000	56.391	0.00	-229.03	0.00
		1.6·PP+1.6·T4	-175.786	0.000	84.617	0.00	-229.35	0.00
		PP+1.6·T1+1.6·T4	-117.163	0.000	53.275	0.00	-152.87	0.00
		1.6·PP+1.6·T1+1.6·T4	-117.409	0.000	81.500	0.00	-153.19	0.00
		PP+1.6·T2+1.6·T4	-233.918	0.000	59.508	0.00	-305.19	0.00

Reacciones en los nudos, por combinación								
Referencia	Combinación		Reacciones en ejes globales					
	Tipo	Descripción	Rx (kN)	Ry (kN)	Rz (kN)	Mx (kN·m)	My (kN·m)	Mz (kN·m)
		1.6·PP+1.6·T2+1.6·T4	-234.163	0.000	87.733	0.00	-305.52	0.00
		PP+1.6·T1+1.6·T2+1.6·T4	-175.540	0.000	56.391	0.00	-229.03	0.00
		1.6·PP+1.6·T1+1.6·T2+1.6·T4	-175.786	0.000	84.617	0.00	-229.35	0.00
		PP+1.6·T3+1.6·T4	-0.409	0.000	47.042	0.00	-0.54	0.00
		1.6·PP+1.6·T3+1.6·T4	-0.654	0.000	75.267	0.00	-0.86	0.00
		PP+1.6·T1+1.6·T3+1.6·T4	57.968	0.000	43.926	0.00	75.62	0.00
		1.6·PP+1.6·T1+1.6·T3+1.6·T4	57.723	0.000	72.151	0.00	75.30	0.00
		PP+1.6·T2+1.6·T3+1.6·T4	-58.786	0.000	50.159	0.00	-76.70	0.00
		1.6·PP+1.6·T2+1.6·T3+1.6·T4	-59.031	0.000	78.384	0.00	-77.03	0.00
		PP+1.6·T1+1.6·T2+1.6·T3+1.6·T4	-0.409	0.000	47.042	0.00	-0.54	0.00
		1.6·PP+1.6·T1+1.6·T2+1.6·T3+1.6·T4	-0.654	0.000	75.267	0.00	-0.86	0.00
	Tensiones sobre el terreno	PP	-0.409	0.000	47.042	0.00	-0.54	0.00
		PP+T1	36.077	0.000	45.094	0.00	47.06	0.00
		PP+T2	-36.895	0.000	48.990	0.00	-48.14	0.00
		PP+T1+T2	-0.409	0.000	47.042	0.00	-0.54	0.00
		PP+T3	109.048	0.000	41.199	0.00	142.27	0.00
		PP+T1+T3	145.534	0.000	39.251	0.00	189.87	0.00
		PP+T2+T3	72.563	0.000	43.147	0.00	94.67	0.00
		PP+T1+T2+T3	109.048	0.000	41.199	0.00	142.27	0.00
		PP+T4	-109.866	0.000	52.885	0.00	-143.35	0.00
		PP+T1+T4	-73.380	0.000	50.938	0.00	-95.74	0.00
		PP+T2+T4	-146.352	0.000	54.833	0.00	-190.95	0.00
		PP+T1+T2+T4	-109.866	0.000	52.885	0.00	-143.35	0.00
		PP+T3+T4	-0.409	0.000	47.042	0.00	-0.54	0.00
		PP+T1+T3+T4	36.077	0.000	45.094	0.00	47.06	0.00
		PP+T2+T3+T4	-36.895	0.000	48.990	0.00	-48.14	0.00
		PP+T1+T2+T3+T4	-0.409	0.000	47.042	0.00	-0.54	0.00
N9	Hormigón en cimentaciones	PP	-2.411	0.000	50.996	0.00	-1.62	0.00
		1.6·PP	-3.857	0.000	81.593	0.00	-2.59	0.00
		PP+1.6·T1	31.444	0.000	50.492	0.00	43.38	0.00
		1.6·PP+1.6·T1	29.997	0.000	81.090	0.00	42.41	0.00
		PP+1.6·T2	-36.265	0.000	51.499	0.00	-46.62	0.00
		1.6·PP+1.6·T2	-37.712	0.000	82.097	0.00	-47.59	0.00
		PP+1.6·T1+1.6·T2	-2.411	0.000	50.996	0.00	-1.62	0.00
		1.6·PP+1.6·T1+1.6·T2	-3.857	0.000	81.593	0.00	-2.59	0.00
		PP+1.6·T3	99.153	0.000	49.485	0.00	133.39	0.00
		1.6·PP+1.6·T3	97.706	0.000	80.083	0.00	132.42	0.00
		PP+1.6·T1+1.6·T3	133.007	0.000	48.982	0.00	178.39	0.00
		1.6·PP+1.6·T1+1.6·T3	131.561	0.000	79.579	0.00	177.42	0.00
		PP+1.6·T2+1.6·T3	65.298	0.000	49.989	0.00	88.39	0.00
		1.6·PP+1.6·T2+1.6·T3	63.852	0.000	80.586	0.00	87.42	0.00
		PP+1.6·T1+1.6·T2+1.6·T3	99.153	0.000	49.485	0.00	133.39	0.00
		1.6·PP+1.6·T1+1.6·T2+1.6·T3	97.706	0.000	80.083	0.00	132.42	0.00
		PP+1.6·T4	-103.975	0.000	52.506	0.00	-136.62	0.00
		1.6·PP+1.6·T4	-105.421	0.000	83.103	0.00	-137.59	0.00
		PP+1.6·T1+1.6·T4	-70.120	0.000	52.003	0.00	-91.62	0.00
		1.6·PP+1.6·T1+1.6·T4	-71.566	0.000	82.600	0.00	-92.59	0.00
		PP+1.6·T2+1.6·T4	-137.829	0.000	53.009	0.00	-181.62	0.00
		1.6·PP+1.6·T2+1.6·T4	-139.276	0.000	83.607	0.00	-182.59	0.00
		PP+1.6·T1+1.6·T2+1.6·T4	-103.975	0.000	52.506	0.00	-136.62	0.00
		1.6·PP+1.6·T1+1.6·T2+1.6·T4	-105.421	0.000	83.103	0.00	-137.59	0.00
		PP+1.6·T3+1.6·T4	-2.411	0.000	50.996	0.00	-1.62	0.00
		1.6·PP+1.6·T3+1.6·T4	-3.857	0.000	81.593	0.00	-2.59	0.00
		PP+1.6·T1+1.6·T3+1.6·T4	31.444	0.000	50.492	0.00	43.38	0.00
		1.6·PP+1.6·T1+1.6·T3+1.6·T4	29.997	0.000	81.090	0.00	42.41	0.00
		PP+1.6·T2+1.6·T3+1.6·T4	-36.265	0.000	51.499	0.00	-46.62	0.00
		1.6·PP+1.6·T2+1.6·T3+1.6·T4	-37.712	0.000	82.097	0.00	-47.59	0.00
		PP+1.6·T1+1.6·T2+1.6·T3+1.6·T4	-2.411	0.000	50.996	0.00	-1.62	0.00
		1.6·PP+1.6·T1+1.6·T2+1.6·T3+1.6·T4	-3.857	0.000	81.593	0.00	-2.59	0.00
	Tensiones sobre el terreno	PP	-2.411	0.000	50.996	0.00	-1.62	0.00
		PP+T1	18.748	0.000	50.681	0.00	26.51	0.00
		PP+T2	-23.570	0.000	51.310	0.00	-29.74	0.00
		PP+T1+T2	-2.411	0.000	50.996	0.00	-1.62	0.00
		PP+T3	61.067	0.000	50.052	0.00	82.76	0.00

Reacciones en los nudos, por combinación								
Referencia	Combinación		Reacciones en ejes globales					
	Tipo	Descripción	Rx (kN)	Ry (kN)	Rz (kN)	Mx (kN·m)	My (kN·m)	Mz (kN·m)
		PP+T1+T3	82.226	0.000	49.737	0.00	110.89	0.00
		PP+T2+T3	39.907	0.000	50.366	0.00	54.63	0.00
		PP+T1+T2+T3	61.067	0.000	50.052	0.00	82.76	0.00
		PP+T4	-65.888	0.000	51.940	0.00	-86.00	0.00
		PP+T1+T4	-44.729	0.000	51.625	0.00	-57.87	0.00
		PP+T2+T4	-87.047	0.000	52.254	0.00	-114.12	0.00
		PP+T1+T2+T4	-65.888	0.000	51.940	0.00	-86.00	0.00
		PP+T3+T4	-2.411	0.000	50.996	0.00	-1.62	0.00
		PP+T1+T3+T4	18.748	0.000	50.681	0.00	26.51	0.00
		PP+T2+T3+T4	-23.570	0.000	51.310	0.00	-29.74	0.00
		PP+T1+T2+T3+T4	-2.411	0.000	50.996	0.00	-1.62	0.00
N11	Hormigón en cimentaciones	PP	0.067	0.000	47.999	0.00	0.01	0.00
		1.6·PP	0.108	0.000	76.799	0.00	0.01	0.00
		PP+1.6·T1	10.720	0.000	45.150	0.00	13.95	0.00
		1.6·PP+1.6·T1	10.761	0.000	73.950	0.00	13.95	0.00
		PP+1.6·T2	-10.585	0.000	50.848	0.00	-13.93	0.00
		1.6·PP+1.6·T2	-10.545	0.000	79.647	0.00	-13.93	0.00
		PP+1.6·T1+1.6·T2	0.067	0.000	47.999	0.00	0.01	0.00
		1.6·PP+1.6·T1+1.6·T2	0.108	0.000	76.799	0.00	0.01	0.00
		PP+1.6·T3	32.025	0.000	39.452	0.00	41.83	0.00
		1.6·PP+1.6·T3	32.066	0.000	68.252	0.00	41.83	0.00
		PP+1.6·T1+1.6·T3	42.678	0.000	36.604	0.00	55.77	0.00
		1.6·PP+1.6·T1+1.6·T3	42.719	0.000	65.403	0.00	55.77	0.00
		PP+1.6·T2+1.6·T3	21.373	0.000	42.301	0.00	27.89	0.00
		1.6·PP+1.6·T2+1.6·T3	21.413	0.000	71.101	0.00	27.89	0.00
		PP+1.6·T1+1.6·T2+1.6·T3	32.025	0.000	39.452	0.00	41.83	0.00
		1.6·PP+1.6·T1+1.6·T2+1.6·T3	32.066	0.000	68.252	0.00	41.83	0.00
		PP+1.6·T4	-31.891	0.000	56.546	0.00	-41.81	0.00
		1.6·PP+1.6·T4	-31.850	0.000	85.345	0.00	-41.81	0.00
		PP+1.6·T1+1.6·T4	-21.238	0.000	53.697	0.00	-27.87	0.00
		1.6·PP+1.6·T1+1.6·T4	-21.198	0.000	82.496	0.00	-27.87	0.00
		PP+1.6·T2+1.6·T4	-42.543	0.000	59.395	0.00	-55.75	0.00
		1.6·PP+1.6·T2+1.6·T4	-42.503	0.000	88.194	0.00	-55.75	0.00
		PP+1.6·T1+1.6·T2+1.6·T4	-31.891	0.000	56.546	0.00	-41.81	0.00
		1.6·PP+1.6·T1+1.6·T2+1.6·T4	-31.850	0.000	85.345	0.00	-41.81	0.00
		PP+1.6·T3+1.6·T4	0.067	0.000	47.999	0.00	0.01	0.00
		1.6·PP+1.6·T3+1.6·T4	0.108	0.000	76.799	0.00	0.01	0.00
		PP+1.6·T1+1.6·T3+1.6·T4	10.720	0.000	45.150	0.00	13.95	0.00
		1.6·PP+1.6·T1+1.6·T3+1.6·T4	10.761	0.000	73.950	0.00	13.95	0.00
		PP+1.6·T2+1.6·T3+1.6·T4	-10.585	0.000	50.848	0.00	-13.93	0.00
		1.6·PP+1.6·T2+1.6·T3+1.6·T4	-10.545	0.000	79.647	0.00	-13.93	0.00
		PP+1.6·T1+1.6·T2+1.6·T3+1.6·T4	0.067	0.000	47.999	0.00	0.01	0.00
		1.6·PP+1.6·T1+1.6·T2+1.6·T3+1.6·T4	0.108	0.000	76.799	0.00	0.01	0.00
	Tensiones sobre el terreno	PP	0.067	0.000	47.999	0.00	0.01	0.00
		PP+T1	6.725	0.000	46.219	0.00	8.72	0.00
		PP+T2	-6.591	0.000	49.780	0.00	-8.71	0.00
		PP+T1+T2	0.067	0.000	47.999	0.00	0.01	0.00
		PP+T3	20.041	0.000	42.657	0.00	26.14	0.00
		PP+T1+T3	26.699	0.000	40.877	0.00	34.86	0.00
		PP+T2+T3	13.383	0.000	44.438	0.00	17.43	0.00
		PP+T1+T2+T3	20.041	0.000	42.657	0.00	26.14	0.00
		PP+T4	-19.906	0.000	53.341	0.00	-26.13	0.00
		PP+T1+T4	-13.248	0.000	51.560	0.00	-17.42	0.00
		PP+T2+T4	-26.564	0.000	55.121	0.00	-34.84	0.00
		PP+T1+T2+T4	-19.906	0.000	53.341	0.00	-26.13	0.00
		PP+T3+T4	0.067	0.000	47.999	0.00	0.01	0.00
		PP+T1+T3+T4	6.725	0.000	46.219	0.00	8.72	0.00
		PP+T2+T3+T4	-6.591	0.000	49.780	0.00	-8.71	0.00
		PP+T1+T2+T3+T4	0.067	0.000	47.999	0.00	0.01	0.00
N13	Hormigón en cimentaciones	PP	0.051	0.000	48.163	0.00	0.07	0.00
		1.6·PP	0.082	0.000	77.061	0.00	0.11	0.00
		PP+1.6·T1	-12.802	0.000	45.388	0.00	-16.69	0.00
		1.6·PP+1.6·T1	-12.771	0.000	74.286	0.00	-16.65	0.00
		PP+1.6·T2	12.905	0.000	50.939	0.00	16.82	0.00

Reacciones en los nudos, por combinación								
Referencia	Combinación		Reacciones en ejes globales					
	Tipo	Descripción	Rx (kN)	Ry (kN)	Rz (kN)	Mx (kN·m)	My (kN·m)	Mz (kN·m)
		1.6·PP+1.6·T2	12.935	0.000	79.837	0.00	16.86	0.00
		PP+1.6·T1+1.6·T2	0.051	0.000	48.163	0.00	0.07	0.00
		1.6·PP+1.6·T1+1.6·T2	0.082	0.000	77.061	0.00	0.11	0.00
		PP+1.6·T3	-38.509	0.000	39.837	0.00	-50.19	0.00
		1.6·PP+1.6·T3	-38.478	0.000	68.735	0.00	-50.15	0.00
		PP+1.6·T1+1.6·T3	-51.362	0.000	37.061	0.00	-66.95	0.00
		1.6·PP+1.6·T1+1.6·T3	-51.332	0.000	65.959	0.00	-66.91	0.00
		PP+1.6·T2+1.6·T3	-25.655	0.000	42.612	0.00	-33.44	0.00
		1.6·PP+1.6·T2+1.6·T3	-25.625	0.000	71.510	0.00	-33.40	0.00
		PP+1.6·T1+1.6·T2+1.6·T3	-38.509	0.000	39.837	0.00	-50.19	0.00
		1.6·PP+1.6·T1+1.6·T2+1.6·T3	-38.478	0.000	68.735	0.00	-50.15	0.00
		PP+1.6·T4	38.611	0.000	56.490	0.00	50.33	0.00
		1.6·PP+1.6·T4	38.642	0.000	85.388	0.00	50.37	0.00
		PP+1.6·T1+1.6·T4	25.758	0.000	53.714	0.00	33.58	0.00
		1.6·PP+1.6·T1+1.6·T4	25.789	0.000	82.612	0.00	33.62	0.00
		PP+1.6·T2+1.6·T4	51.465	0.000	59.265	0.00	67.08	0.00
		1.6·PP+1.6·T2+1.6·T4	51.496	0.000	88.163	0.00	67.12	0.00
		PP+1.6·T1+1.6·T2+1.6·T4	38.611	0.000	56.490	0.00	50.33	0.00
		1.6·PP+1.6·T1+1.6·T2+1.6·T4	38.642	0.000	85.388	0.00	50.37	0.00
		PP+1.6·T3+1.6·T4	0.051	0.000	48.163	0.00	0.07	0.00
		1.6·PP+1.6·T3+1.6·T4	0.082	0.000	77.061	0.00	0.11	0.00
		PP+1.6·T1+1.6·T3+1.6·T4	-12.802	0.000	45.388	0.00	-16.69	0.00
		1.6·PP+1.6·T1+1.6·T3+1.6·T4	-12.771	0.000	74.286	0.00	-16.65	0.00
		PP+1.6·T2+1.6·T3+1.6·T4	12.905	0.000	50.939	0.00	16.82	0.00
		1.6·PP+1.6·T2+1.6·T3+1.6·T4	12.935	0.000	79.837	0.00	16.86	0.00
		PP+1.6·T1+1.6·T2+1.6·T3+1.6·T4	0.051	0.000	48.163	0.00	0.07	0.00
		1.6·PP+1.6·T1+1.6·T2+1.6·T3+1.6·T4	0.082	0.000	77.061	0.00	0.11	0.00
	Tensiones sobre el terreno	PP	0.051	0.000	48.163	0.00	0.07	0.00
		PP+T1	-7.982	0.000	46.429	0.00	-10.40	0.00
		PP+T2	8.085	0.000	49.898	0.00	10.54	0.00
		PP+T1+T2	0.051	0.000	48.163	0.00	0.07	0.00
		PP+T3	-24.049	0.000	42.959	0.00	-31.35	0.00
		PP+T1+T3	-32.082	0.000	41.224	0.00	-41.82	0.00
		PP+T2+T3	-16.015	0.000	44.694	0.00	-20.87	0.00
		PP+T1+T2+T3	-24.049	0.000	42.959	0.00	-31.35	0.00
		PP+T4	24.151	0.000	53.367	0.00	31.48	0.00
		PP+T1+T4	16.118	0.000	51.633	0.00	21.01	0.00
		PP+T2+T4	32.185	0.000	55.102	0.00	41.95	0.00
		PP+T1+T2+T4	24.151	0.000	53.367	0.00	31.48	0.00
		PP+T3+T4	0.051	0.000	48.163	0.00	0.07	0.00
		PP+T1+T3+T4	-7.982	0.000	46.429	0.00	-10.40	0.00
		PP+T2+T3+T4	8.085	0.000	49.898	0.00	10.54	0.00
		PP+T1+T2+T3+T4	0.051	0.000	48.163	0.00	0.07	0.00
N15	Hormigón en cimentaciones	PP	0.151	0.000	48.148	0.00	0.20	0.00
		1.6·PP	0.241	0.000	77.037	0.00	0.33	0.00
		PP+1.6·T1	-37.312	0.000	45.244	0.00	-48.62	0.00
		1.6·PP+1.6·T1	-37.222	0.000	74.133	0.00	-48.49	0.00
		PP+1.6·T2	37.613	0.000	51.051	0.00	49.02	0.00
		1.6·PP+1.6·T2	37.704	0.000	79.940	0.00	49.14	0.00
		PP+1.6·T1+1.6·T2	0.151	0.000	48.148	0.00	0.20	0.00
		1.6·PP+1.6·T1+1.6·T2	0.241	0.000	77.037	0.00	0.33	0.00
		PP+1.6·T3	-112.237	0.000	39.437	0.00	-146.25	0.00
		1.6·PP+1.6·T3	-112.147	0.000	68.326	0.00	-146.13	0.00
		PP+1.6·T1+1.6·T3	-149.700	0.000	36.534	0.00	-195.07	0.00
		1.6·PP+1.6·T1+1.6·T3	-149.610	0.000	65.423	0.00	-194.95	0.00
		PP+1.6·T2+1.6·T3	-74.775	0.000	42.341	0.00	-97.43	0.00
		1.6·PP+1.6·T2+1.6·T3	-74.684	0.000	71.230	0.00	-97.31	0.00
		PP+1.6·T1+1.6·T2+1.6·T3	-112.237	0.000	39.437	0.00	-146.25	0.00
		1.6·PP+1.6·T1+1.6·T2+1.6·T3	-112.147	0.000	68.326	0.00	-146.13	0.00
		PP+1.6·T4	112.539	0.000	56.858	0.00	146.66	0.00
		1.6·PP+1.6·T4	112.629	0.000	85.747	0.00	146.78	0.00
		PP+1.6·T1+1.6·T4	75.076	0.000	53.955	0.00	97.84	0.00
		1.6·PP+1.6·T1+1.6·T4	75.166	0.000	82.844	0.00	97.96	0.00
		PP+1.6·T2+1.6·T4	150.001	0.000	59.762	0.00	195.48	0.00

Reacciones en los nudos, por combinación								
Referencia	Combinación		Reacciones en ejes globales					
	Tipo	Descripción	Rx (kN)	Ry (kN)	Rz (kN)	Mx (kN·m)	My (kN·m)	Mz (kN·m)
		1.6·PP+1.6·T2+1.6·T4	150.092	0.000	88.651	0.00	195.60	0.00
		PP+1.6·T1+1.6·T2+1.6·T4	112.539	0.000	56.858	0.00	146.66	0.00
		1.6·PP+1.6·T1+1.6·T2+1.6·T4	112.629	0.000	85.747	0.00	146.78	0.00
		PP+1.6·T3+1.6·T4	0.151	0.000	48.148	0.00	0.20	0.00
		1.6·PP+1.6·T3+1.6·T4	0.241	0.000	77.037	0.00	0.33	0.00
		PP+1.6·T1+1.6·T3+1.6·T4	-37.312	0.000	45.244	0.00	-48.62	0.00
		1.6·PP+1.6·T1+1.6·T3+1.6·T4	-37.222	0.000	74.133	0.00	-48.49	0.00
		PP+1.6·T2+1.6·T3+1.6·T4	37.613	0.000	51.051	0.00	49.02	0.00
		1.6·PP+1.6·T2+1.6·T3+1.6·T4	37.704	0.000	79.940	0.00	49.14	0.00
		PP+1.6·T1+1.6·T2+1.6·T3+1.6·T4	0.151	0.000	48.148	0.00	0.20	0.00
		1.6·PP+1.6·T1+1.6·T2+1.6·T3+1.6·T4	0.241	0.000	77.037	0.00	0.33	0.00
	Tensiones sobre el terreno	PP	0.151	0.000	48.148	0.00	0.20	0.00
		PP+T1	-23.264	0.000	46.333	0.00	-30.31	0.00
		PP+T2	23.565	0.000	49.963	0.00	30.71	0.00
		PP+T1+T2	0.151	0.000	48.148	0.00	0.20	0.00
		PP+T3	-70.092	0.000	42.704	0.00	-91.33	0.00
		PP+T1+T3	-93.506	0.000	40.889	0.00	-121.84	0.00
		PP+T2+T3	-46.678	0.000	44.519	0.00	-60.82	0.00
		PP+T1+T2+T3	-70.092	0.000	42.704	0.00	-91.33	0.00
		PP+T4	70.393	0.000	53.592	0.00	91.74	0.00
		PP+T1+T4	46.979	0.000	51.777	0.00	61.23	0.00
		PP+T2+T4	93.807	0.000	55.407	0.00	122.25	0.00
		PP+T1+T2+T4	70.393	0.000	53.592	0.00	91.74	0.00
		PP+T3+T4	0.151	0.000	48.148	0.00	0.20	0.00
		PP+T1+T3+T4	-23.264	0.000	46.333	0.00	-30.31	0.00
		PP+T2+T3+T4	23.565	0.000	49.963	0.00	30.71	0.00
		PP+T1+T2+T3+T4	0.151	0.000	48.148	0.00	0.20	0.00
N17	Hormigón en cimentaciones	PP	0.388	0.000	48.334	0.00	0.43	0.00
		1.6·PP	0.621	0.000	77.335	0.00	0.69	0.00
		PP+1.6·T1	-65.891	0.000	44.076	0.00	-85.07	0.00
		1.6·PP+1.6·T1	-65.659	0.000	73.076	0.00	-84.81	0.00
		PP+1.6·T2	66.667	0.000	52.593	0.00	85.94	0.00
		1.6·PP+1.6·T2	66.900	0.000	81.593	0.00	86.20	0.00
		PP+1.6·T1+1.6·T2	0.388	0.000	48.334	0.00	0.43	0.00
		1.6·PP+1.6·T1+1.6·T2	0.621	0.000	77.335	0.00	0.69	0.00
		PP+1.6·T3	-198.449	0.000	35.559	0.00	-256.08	0.00
		1.6·PP+1.6·T3	-198.217	0.000	64.559	0.00	-255.82	0.00
		PP+1.6·T1+1.6·T3	-264.728	0.000	31.300	0.00	-341.59	0.00
		1.6·PP+1.6·T1+1.6·T3	-264.496	0.000	60.301	0.00	-341.33	0.00
		PP+1.6·T2+1.6·T3	-132.170	0.000	39.817	0.00	-170.58	0.00
		1.6·PP+1.6·T2+1.6·T3	-131.938	0.000	68.818	0.00	-170.32	0.00
		PP+1.6·T1+1.6·T2+1.6·T3	-198.449	0.000	35.559	0.00	-256.08	0.00
		1.6·PP+1.6·T1+1.6·T2+1.6·T3	-198.217	0.000	64.559	0.00	-255.82	0.00
		PP+1.6·T4	199.225	0.000	61.109	0.00	256.95	0.00
		1.6·PP+1.6·T4	199.458	0.000	90.110	0.00	257.21	0.00
		PP+1.6·T1+1.6·T4	132.946	0.000	56.851	0.00	171.44	0.00
		1.6·PP+1.6·T1+1.6·T4	133.179	0.000	85.851	0.00	171.70	0.00
		PP+1.6·T2+1.6·T4	265.504	0.000	65.368	0.00	342.45	0.00
		1.6·PP+1.6·T2+1.6·T4	265.737	0.000	94.368	0.00	342.71	0.00
		PP+1.6·T1+1.6·T2+1.6·T4	199.225	0.000	61.109	0.00	256.95	0.00
		1.6·PP+1.6·T1+1.6·T2+1.6·T4	199.458	0.000	90.110	0.00	257.21	0.00
		PP+1.6·T3+1.6·T4	0.388	0.000	48.334	0.00	0.43	0.00
		1.6·PP+1.6·T3+1.6·T4	0.621	0.000	77.335	0.00	0.69	0.00
		PP+1.6·T1+1.6·T3+1.6·T4	-65.891	0.000	44.076	0.00	-85.07	0.00
		1.6·PP+1.6·T1+1.6·T3+1.6·T4	-65.659	0.000	73.076	0.00	-84.81	0.00
		PP+1.6·T2+1.6·T3+1.6·T4	66.667	0.000	52.593	0.00	85.94	0.00
		1.6·PP+1.6·T2+1.6·T3+1.6·T4	66.900	0.000	81.593	0.00	86.20	0.00
		PP+1.6·T1+1.6·T2+1.6·T3+1.6·T4	0.388	0.000	48.334	0.00	0.43	0.00
		1.6·PP+1.6·T1+1.6·T2+1.6·T3+1.6·T4	0.621	0.000	77.335	0.00	0.69	0.00
	Tensiones sobre el terreno	PP	0.388	0.000	48.334	0.00	0.43	0.00
		PP+T1	-41.037	0.000	45.673	0.00	-53.01	0.00
		PP+T2	41.812	0.000	50.996	0.00	53.87	0.00
		PP+T1+T2	0.388	0.000	48.334	0.00	0.43	0.00
		PP+T3	-123.885	0.000	40.350	0.00	-159.89	0.00

Reacciones en los nudos, por combinación								
Referencia	Combinación		Reacciones en ejes globales					
	Tipo	Descripción	Rx (kN)	Ry (kN)	Rz (kN)	Mx (kN·m)	My (kN·m)	Mz (kN·m)
		PP+T1+T3	-165.310	0.000	37.688	0.00	-213.33	0.00
		PP+T2+T3	-82.461	0.000	43.011	0.00	-106.45	0.00
		PP+T1+T2+T3	-123.885	0.000	40.350	0.00	-159.89	0.00
		PP+T4	124.661	0.000	56.319	0.00	160.76	0.00
		PP+T1+T4	83.237	0.000	53.657	0.00	107.31	0.00
		PP+T2+T4	166.086	0.000	58.980	0.00	214.20	0.00
		PP+T1+T2+T4	124.661	0.000	56.319	0.00	160.76	0.00
		PP+T3+T4	0.388	0.000	48.334	0.00	0.43	0.00
		PP+T1+T3+T4	-41.037	0.000	45.673	0.00	-53.01	0.00
		PP+T2+T3+T4	41.812	0.000	50.996	0.00	53.87	0.00
		PP+T1+T2+T3+T4	0.388	0.000	48.334	0.00	0.43	0.00
N19	Hormigón en cimentaciones	PP	-2.216	0.000	41.156	0.00	-1.10	0.00
		1.6·PP	-3.546	0.000	65.849	0.00	-1.76	0.00
		PP+1.6·T1	-88.198	0.000	51.163	0.00	-121.07	0.00
		1.6·PP+1.6·T1	-89.528	0.000	75.857	0.00	-121.73	0.00
		PP+1.6·T2	83.766	0.000	31.149	0.00	118.87	0.00
		1.6·PP+1.6·T2	82.437	0.000	55.842	0.00	118.21	0.00
		PP+1.6·T1+1.6·T2	-2.216	0.000	41.156	0.00	-1.10	0.00
		1.6·PP+1.6·T1+1.6·T2	-3.546	0.000	65.849	0.00	-1.76	0.00
		PP+1.6·T3	-260.163	0.000	71.177	0.00	-361.02	0.00
		1.6·PP+1.6·T3	-261.492	0.000	95.871	0.00	-361.68	0.00
		PP+1.6·T1+1.6·T3	-346.145	0.000	81.184	0.00	-480.99	0.00
		1.6·PP+1.6·T1+1.6·T3	-347.475	0.000	105.878	0.00	-481.65	0.00
		PP+1.6·T2+1.6·T3	-174.181	0.000	61.170	0.00	-241.05	0.00
		1.6·PP+1.6·T2+1.6·T3	-175.510	0.000	85.864	0.00	-241.71	0.00
		PP+1.6·T1+1.6·T2+1.6·T3	-260.163	0.000	71.177	0.00	-361.02	0.00
		1.6·PP+1.6·T1+1.6·T2+1.6·T3	-261.492	0.000	95.871	0.00	-361.68	0.00
		PP+1.6·T4	255.731	0.000	11.135	0.00	358.81	0.00
		1.6·PP+1.6·T4	254.401	0.000	35.828	0.00	358.15	0.00
		PP+1.6·T1+1.6·T4	169.748	0.000	21.142	0.00	238.84	0.00
		1.6·PP+1.6·T1+1.6·T4	168.419	0.000	45.835	0.00	238.18	0.00
		PP+1.6·T2+1.6·T4	341.713	0.000	1.127	0.00	478.79	0.00
		1.6·PP+1.6·T2+1.6·T4	340.383	0.000	25.821	0.00	478.12	0.00
		PP+1.6·T1+1.6·T2+1.6·T4	255.731	0.000	11.135	0.00	358.81	0.00
		1.6·PP+1.6·T1+1.6·T2+1.6·T4	254.401	0.000	35.828	0.00	358.15	0.00
		PP+1.6·T3+1.6·T4	-2.216	0.000	41.156	0.00	-1.10	0.00
		1.6·PP+1.6·T3+1.6·T4	-3.546	0.000	65.849	0.00	-1.76	0.00
		PP+1.6·T1+1.6·T3+1.6·T4	-88.198	0.000	51.163	0.00	-121.07	0.00
		1.6·PP+1.6·T1+1.6·T3+1.6·T4	-89.528	0.000	75.857	0.00	-121.73	0.00
		PP+1.6·T2+1.6·T3+1.6·T4	83.766	0.000	31.149	0.00	118.87	0.00
		1.6·PP+1.6·T2+1.6·T3+1.6·T4	82.437	0.000	55.842	0.00	118.21	0.00
		PP+1.6·T1+1.6·T2+1.6·T3+1.6·T4	-2.216	0.000	41.156	0.00	-1.10	0.00
		1.6·PP+1.6·T1+1.6·T2+1.6·T3+1.6·T4	-3.546	0.000	65.849	0.00	-1.76	0.00
	Tensiones sobre el terreno	PP	-2.216	0.000	41.156	0.00	-1.10	0.00
		PP+T1	-55.955	0.000	47.410	0.00	-76.08	0.00
		PP+T2	51.523	0.000	34.901	0.00	73.88	0.00
		PP+T1+T2	-2.216	0.000	41.156	0.00	-1.10	0.00
		PP+T3	-163.433	0.000	59.919	0.00	-226.05	0.00
		PP+T1+T3	-217.172	0.000	66.174	0.00	-301.03	0.00
		PP+T2+T3	-109.694	0.000	53.665	0.00	-151.07	0.00
		PP+T1+T2+T3	-163.433	0.000	59.919	0.00	-226.05	0.00
		PP+T4	159.001	0.000	22.393	0.00	223.85	0.00
		PP+T1+T4	105.262	0.000	28.647	0.00	148.86	0.00
		PP+T2+T4	212.740	0.000	16.138	0.00	298.83	0.00
		PP+T1+T2+T4	159.001	0.000	22.393	0.00	223.85	0.00
		PP+T3+T4	-2.216	0.000	41.156	0.00	-1.10	0.00
		PP+T1+T3+T4	-55.955	0.000	47.410	0.00	-76.08	0.00
		PP+T2+T3+T4	51.523	0.000	34.901	0.00	73.88	0.00
		PP+T1+T2+T3+T4	-2.216	0.000	41.156	0.00	-1.10	0.00
N21	Hormigón en cimentaciones	PP	0.010	0.000	27.721	0.00	0.07	0.00
		1.6·PP	0.015	0.000	44.353	0.00	0.12	0.00
		PP+1.6·T1	-2.159	0.000	27.658	0.00	-14.75	0.00
		1.6·PP+1.6·T1	-2.153	0.000	44.291	0.00	-14.71	0.00
		PP+1.6·T2	2.178	0.000	27.783	0.00	14.90	0.00

Reacciones en los nudos, por combinación								
Referencia	Combinación		Reacciones en ejes globales					
	Tipo	Descripción	Rx (kN)	Ry (kN)	Rz (kN)	Mx (kN·m)	My (kN·m)	Mz (kN·m)
		1.6·PP+1.6·T2	2.184	0.000	44.415	0.00	14.94	0.00
		PP+1.6·T1+1.6·T2	0.010	0.000	27.721	0.00	0.07	0.00
		1.6·PP+1.6·T1+1.6·T2	0.015	0.000	44.353	0.00	0.12	0.00
		PP+1.6·T3	-6.497	0.000	27.534	0.00	-44.41	0.00
		1.6·PP+1.6·T3	-6.491	0.000	44.166	0.00	-44.36	0.00
		PP+1.6·T1+1.6·T3	-8.665	0.000	27.471	0.00	-59.23	0.00
		1.6·PP+1.6·T1+1.6·T3	-8.660	0.000	44.104	0.00	-59.19	0.00
		PP+1.6·T2+1.6·T3	-4.328	0.000	27.596	0.00	-29.58	0.00
		1.6·PP+1.6·T2+1.6·T3	-4.322	0.000	44.228	0.00	-29.53	0.00
		PP+1.6·T1+1.6·T2+1.6·T3	-6.497	0.000	27.534	0.00	-44.41	0.00
		1.6·PP+1.6·T1+1.6·T2+1.6·T3	-6.491	0.000	44.166	0.00	-44.36	0.00
		PP+1.6·T4	6.516	0.000	27.908	0.00	44.55	0.00
		1.6·PP+1.6·T4	6.521	0.000	44.540	0.00	44.60	0.00
		PP+1.6·T1+1.6·T4	4.347	0.000	27.845	0.00	29.73	0.00
		1.6·PP+1.6·T1+1.6·T4	4.353	0.000	44.478	0.00	29.77	0.00
		PP+1.6·T2+1.6·T4	8.684	0.000	27.970	0.00	59.38	0.00
		1.6·PP+1.6·T2+1.6·T4	8.690	0.000	44.602	0.00	59.42	0.00
		PP+1.6·T1+1.6·T2+1.6·T4	6.516	0.000	27.908	0.00	44.55	0.00
		1.6·PP+1.6·T1+1.6·T2+1.6·T4	6.521	0.000	44.540	0.00	44.60	0.00
		PP+1.6·T3+1.6·T4	0.010	0.000	27.721	0.00	0.07	0.00
		1.6·PP+1.6·T3+1.6·T4	0.015	0.000	44.353	0.00	0.12	0.00
		PP+1.6·T1+1.6·T3+1.6·T4	-2.159	0.000	27.658	0.00	-14.75	0.00
		1.6·PP+1.6·T1+1.6·T3+1.6·T4	-2.153	0.000	44.291	0.00	-14.71	0.00
		PP+1.6·T2+1.6·T3+1.6·T4	2.178	0.000	27.783	0.00	14.90	0.00
		1.6·PP+1.6·T2+1.6·T3+1.6·T4	2.184	0.000	44.415	0.00	14.94	0.00
		PP+1.6·T1+1.6·T2+1.6·T3+1.6·T4	0.010	0.000	27.721	0.00	0.07	0.00
		1.6·PP+1.6·T1+1.6·T2+1.6·T3+1.6·T4	0.015	0.000	44.353	0.00	0.12	0.00
	Tensiones sobre el terreno	PP	0.010	0.000	27.721	0.00	0.07	0.00
		PP+T1	-1.346	0.000	27.682	0.00	-9.19	0.00
		PP+T2	1.365	0.000	27.760	0.00	9.34	0.00
		PP+T1+T2	0.010	0.000	27.721	0.00	0.07	0.00
		PP+T3	-4.057	0.000	27.604	0.00	-27.73	0.00
		PP+T1+T3	-5.412	0.000	27.565	0.00	-36.99	0.00
		PP+T2+T3	-2.701	0.000	27.643	0.00	-18.46	0.00
		PP+T1+T2+T3	-4.057	0.000	27.604	0.00	-27.73	0.00
		PP+T4	4.076	0.000	27.838	0.00	27.87	0.00
		PP+T1+T4	2.720	0.000	27.799	0.00	18.61	0.00
		PP+T2+T4	5.431	0.000	27.877	0.00	37.14	0.00
		PP+T1+T2+T4	4.076	0.000	27.838	0.00	27.87	0.00
		PP+T3+T4	0.010	0.000	27.721	0.00	0.07	0.00
		PP+T1+T3+T4	-1.346	0.000	27.682	0.00	-9.19	0.00
		PP+T2+T3+T4	1.365	0.000	27.760	0.00	9.34	0.00
		PP+T1+T2+T3+T4	0.010	0.000	27.721	0.00	0.07	0.00
N23	Hormigón en cimentaciones	PP	-0.007	0.000	27.590	0.00	0.04	0.00
		1.6·PP	-0.011	0.000	44.144	0.00	0.06	0.00
		PP+1.6·T1	-2.525	0.000	27.698	0.00	-17.36	0.00
		1.6·PP+1.6·T1	-2.530	0.000	44.253	0.00	-17.34	0.00
		PP+1.6·T2	2.512	0.000	27.482	0.00	17.43	0.00
		1.6·PP+1.6·T2	2.507	0.000	44.036	0.00	17.45	0.00
		PP+1.6·T1+1.6·T2	-0.007	0.000	27.590	0.00	0.04	0.00
		1.6·PP+1.6·T1+1.6·T2	-0.011	0.000	44.144	0.00	0.06	0.00
		PP+1.6·T3	-7.562	0.000	27.915	0.00	-52.15	0.00
		1.6·PP+1.6·T3	-7.567	0.000	44.469	0.00	-52.13	0.00
		PP+1.6·T1+1.6·T3	-10.081	0.000	28.023	0.00	-69.55	0.00
		1.6·PP+1.6·T1+1.6·T3	-10.085	0.000	44.577	0.00	-69.53	0.00
		PP+1.6·T2+1.6·T3	-5.044	0.000	27.807	0.00	-34.76	0.00
		1.6·PP+1.6·T2+1.6·T3	-5.048	0.000	44.361	0.00	-34.73	0.00
		PP+1.6·T1+1.6·T2+1.6·T3	-7.562	0.000	27.915	0.00	-52.15	0.00
		1.6·PP+1.6·T1+1.6·T2+1.6·T3	-7.567	0.000	44.469	0.00	-52.13	0.00
		PP+1.6·T4	7.549	0.000	27.265	0.00	52.22	0.00
		1.6·PP+1.6·T4	7.545	0.000	43.820	0.00	52.25	0.00
		PP+1.6·T1+1.6·T4	5.030	0.000	27.374	0.00	34.83	0.00
		1.6·PP+1.6·T1+1.6·T4	5.026	0.000	43.928	0.00	34.85	0.00
		PP+1.6·T2+1.6·T4	10.067	0.000	27.157	0.00	69.62	0.00

Reacciones en los nudos, por combinación								
Referencia	Combinación		Reacciones en ejes globales					
	Tipo	Descripción	Rx (kN)	Ry (kN)	Rz (kN)	Mx (kN·m)	My (kN·m)	Mz (kN·m)
		1.6·PP+1.6·T2+1.6·T4	10.063	0.000	43.711	0.00	69.64	0.00
		PP+1.6·T1+1.6·T2+1.6·T4	7.549	0.000	27.265	0.00	52.22	0.00
		1.6·PP+1.6·T1+1.6·T2+1.6·T4	7.545	0.000	43.820	0.00	52.25	0.00
		PP+1.6·T3+1.6·T4	-0.007	0.000	27.590	0.00	0.04	0.00
		1.6·PP+1.6·T3+1.6·T4	-0.011	0.000	44.144	0.00	0.06	0.00
		PP+1.6·T1+1.6·T3+1.6·T4	-2.525	0.000	27.698	0.00	-17.36	0.00
		1.6·PP+1.6·T1+1.6·T3+1.6·T4	-2.530	0.000	44.253	0.00	-17.34	0.00
		PP+1.6·T2+1.6·T3+1.6·T4	2.512	0.000	27.482	0.00	17.43	0.00
		1.6·PP+1.6·T2+1.6·T3+1.6·T4	2.507	0.000	44.036	0.00	17.45	0.00
		PP+1.6·T1+1.6·T2+1.6·T3+1.6·T4	-0.007	0.000	27.590	0.00	0.04	0.00
		1.6·PP+1.6·T1+1.6·T2+1.6·T3+1.6·T4	-0.011	0.000	44.144	0.00	0.06	0.00
	Tensiones sobre el terreno	PP	-0.007	0.000	27.590	0.00	0.04	0.00
		PP+T1	-1.581	0.000	27.658	0.00	-10.84	0.00
		PP+T2	1.567	0.000	27.523	0.00	10.91	0.00
		PP+T1+T2	-0.007	0.000	27.590	0.00	0.04	0.00
		PP+T3	-4.729	0.000	27.793	0.00	-32.58	0.00
		PP+T1+T3	-6.303	0.000	27.861	0.00	-43.45	0.00
		PP+T2+T3	-3.155	0.000	27.726	0.00	-21.71	0.00
		PP+T1+T2+T3	-4.729	0.000	27.793	0.00	-32.58	0.00
		PP+T4	4.715	0.000	27.387	0.00	32.65	0.00
		PP+T1+T4	3.141	0.000	27.455	0.00	21.78	0.00
		PP+T2+T4	6.289	0.000	27.320	0.00	43.53	0.00
		PP+T1+T2+T4	4.715	0.000	27.387	0.00	32.65	0.00
		PP+T3+T4	-0.007	0.000	27.590	0.00	0.04	0.00
		PP+T1+T3+T4	-1.581	0.000	27.658	0.00	-10.84	0.00
		PP+T2+T3+T4	1.567	0.000	27.523	0.00	10.91	0.00
		PP+T1+T2+T3+T4	-0.007	0.000	27.590	0.00	0.04	0.00

Nota: Las combinaciones de hormigón indicadas son las mismas que se utilizan para comprobar el estado límite de equilibrio en la cimentación.

2.3.1.2.3. Envolventes

Envolventes de las reacciones en nudos								
Referencia	Combinación		Reacciones en ejes globales					
	Tipo	Descripción	Rx (kN)	Ry (kN)	Rz (kN)	Mx (kN·m)	My (kN·m)	Mz (kN·m)
N1	Hormigón en cimentaciones	Valor mínimo de la envolvente	-12.532	0.000	27.390	0.00	-87.15	0.00
		Valor máximo de la envolvente	12.564	0.000	44.489	0.00	86.91	0.00
	Tensiones sobre el terreno	Valor mínimo de la envolvente	-7.828	0.000	27.486	0.00	-54.47	0.00
		Valor máximo de la envolvente	7.853	0.000	27.806	0.00	54.28	0.00
N3	Hormigón en cimentaciones	Valor mínimo de la envolvente	-10.549	0.000	27.688	0.00	-72.58	0.00
		Valor máximo de la envolvente	10.475	0.000	44.644	0.00	72.09	0.00
	Tensiones sobre el terreno	Valor mínimo de la envolvente	-6.593	0.000	27.738	0.00	-45.36	0.00
		Valor máximo de la envolvente	6.536	0.000	27.903	0.00	44.99	0.00
N5	Hormigón en cimentaciones	Valor mínimo de la envolvente	-390.081	0.000	18.592	0.00	-562.07	0.00
		Valor máximo de la envolvente	401.501	0.000	95.497	0.00	567.61	0.00
	Tensiones sobre el terreno	Valor mínimo de la envolvente	-242.154	0.000	28.075	0.00	-350.50	0.00
		Valor máximo de la envolvente	250.938	0.000	59.686	0.00	354.75	0.00
N7	Hormigón en cimentaciones	Valor mínimo de la envolvente	-234.163	0.000	34.576	0.00	-305.52	0.00
		Valor máximo de la envolvente	233.100	0.000	87.733	0.00	304.11	0.00
	Tensiones sobre el terreno	Valor mínimo de la envolvente	-146.352	0.000	39.251	0.00	-190.95	0.00
		Valor máximo de la envolvente	145.534	0.000	54.833	0.00	189.87	0.00
N9	Hormigón en cimentaciones	Valor mínimo de la envolvente	-139.276	0.000	48.982	0.00	-182.59	0.00
		Valor máximo de la envolvente	133.007	0.000	83.607	0.00	178.39	0.00
	Tensiones sobre el terreno	Valor mínimo de la envolvente	-87.047	0.000	49.737	0.00	-114.12	0.00
		Valor máximo de la envolvente	82.226	0.000	52.254	0.00	110.89	0.00
N11	Hormigón en cimentaciones	Valor mínimo de la envolvente	-42.543	0.000	36.604	0.00	-55.75	0.00
		Valor máximo de la envolvente	42.719	0.000	88.194	0.00	55.77	0.00
	Tensiones sobre el terreno	Valor mínimo de la envolvente	-26.564	0.000	40.877	0.00	-34.84	0.00
		Valor máximo de la envolvente	26.699	0.000	55.121	0.00	34.86	0.00
N13	Hormigón en cimentaciones	Valor mínimo de la envolvente	-51.362	0.000	37.061	0.00	-66.95	0.00

Envolventes de las reacciones en nudos								
Referencia	Combinación		Reacciones en ejes globales					
	Tipo	Descripción	Rx (kN)	Ry (kN)	Rz (kN)	Mx (kN·m)	My (kN·m)	Mz (kN·m)
		Valor máximo de la envolvente	51.496	0.000	88.163	0.00	67.12	0.00
	Tensiones sobre el terreno	Valor mínimo de la envolvente	-32.082	0.000	41.224	0.00	-41.82	0.00
		Valor máximo de la envolvente	32.185	0.000	55.102	0.00	41.95	0.00
N15	Hormigón en cimentaciones	Valor mínimo de la envolvente	-149.700	0.000	36.534	0.00	-195.07	0.00
		Valor máximo de la envolvente	150.092	0.000	88.651	0.00	195.60	0.00
	Tensiones sobre el terreno	Valor mínimo de la envolvente	-93.506	0.000	40.889	0.00	-121.84	0.00
		Valor máximo de la envolvente	93.807	0.000	55.407	0.00	122.25	0.00
N17	Hormigón en cimentaciones	Valor mínimo de la envolvente	-264.728	0.000	31.300	0.00	-341.59	0.00
		Valor máximo de la envolvente	265.737	0.000	94.368	0.00	342.71	0.00
	Tensiones sobre el terreno	Valor mínimo de la envolvente	-165.310	0.000	37.688	0.00	-213.33	0.00
		Valor máximo de la envolvente	166.086	0.000	58.980	0.00	214.20	0.00
N19	Hormigón en cimentaciones	Valor mínimo de la envolvente	-347.475	0.000	1.127	0.00	-481.65	0.00
		Valor máximo de la envolvente	341.713	0.000	105.878	0.00	478.79	0.00
	Tensiones sobre el terreno	Valor mínimo de la envolvente	-217.172	0.000	16.138	0.00	-301.03	0.00
		Valor máximo de la envolvente	212.740	0.000	66.174	0.00	298.83	0.00
N21	Hormigón en cimentaciones	Valor mínimo de la envolvente	-8.665	0.000	27.471	0.00	-59.23	0.00
		Valor máximo de la envolvente	8.690	0.000	44.602	0.00	59.42	0.00
	Tensiones sobre el terreno	Valor mínimo de la envolvente	-5.412	0.000	27.565	0.00	-36.99	0.00
		Valor máximo de la envolvente	5.431	0.000	27.877	0.00	37.14	0.00
N23	Hormigón en cimentaciones	Valor mínimo de la envolvente	-10.085	0.000	27.157	0.00	-69.55	0.00
		Valor máximo de la envolvente	10.067	0.000	44.577	0.00	69.64	0.00
	Tensiones sobre el terreno	Valor mínimo de la envolvente	-6.303	0.000	27.320	0.00	-43.45	0.00
		Valor máximo de la envolvente	6.289	0.000	27.861	0.00	43.53	0.00

Nota: Las combinaciones de hormigón indicadas son las mismas que se utilizan para comprobar el estado límite de equilibrio en la cimentación.

2.3.2. Barras

2.3.2.1. Esfuerzos

Referencias:

N: Esfuerzo axil (kN)
Vy: Esfuerzo cortante según el eje local Y de la barra. (kN)
Vz: Esfuerzo cortante según el eje local Z de la barra. (kN)
Mt: Momento torsor (kN·m)
My: Momento flector en el plano 'XZ' (giro de la sección respecto al eje local 'Y' de la barra). (kN·m)
Mz: Momento flector en el plano 'XY' (giro de la sección respecto al eje local 'Z' de la barra). (kN·m)

2.3.2.1.1. Hipótesis

Esfuerzos en barras, por hipótesis										
Barra	Hipótesis	Esfuerzo	Posiciones en la barra							
			0.000 m	0.875 m	1.750 m	2.625 m	3.500 m	4.375 m	5.250 m	6.125 m	7.000 m
N1/N2	Peso propio	N	-27.646	-24.212	-20.779	-17.345	-13.912	-10.478	-7.045	-3.611	-0.178
		Vy	-0.012	-0.012	-0.012	-0.012	-0.012	-0.012	-0.012	-0.012	-0.012
		Vz	0.000	0.000	0.000	0.000	0.000	0.000	0.000	0.000	0.000
		Mt	0.00	0.00	0.00	0.00	0.00	0.00	0.00	0.00	0.00
		My	0.00	0.00	0.00	0.00	0.00	0.00	0.00	0.00	0.00
		Mz	0.09	0.10	0.11	0.12	0.14	0.15	0.16	0.17	0.18
	T 1	N	-0.040	-0.040	-0.040	-0.040	-0.040	-0.040	-0.040	-0.040	-0.040
		Vy	-1.960	-1.960	-1.960	-1.960	-1.960	-1.960	-1.960	-1.960	-1.960
		Vz	0.000	0.000	0.000	0.000	0.000	0.000	0.000	0.000	0.000
		Mt	0.00	0.00	0.00	0.00	0.00	0.00	0.00	0.00	0.00
		My	0.00	0.00	0.00	0.00	0.00	0.00	0.00	0.00	0.00
		Mz	-13.59	-11.88	-10.16	-8.45	-6.73	-5.02	-3.30	-1.59	0.13
	T 2	N	0.040	0.040	0.040	0.040	0.040	0.040	0.040	0.040	0.040
		Vy	1.960	1.960	1.960	1.960	1.960	1.960	1.960	1.960	1.960
		Vz	0.000	0.000	0.000	0.000	0.000	0.000	0.000	0.000	0.000
		Mt	0.00	0.00	0.00	0.00	0.00	0.00	0.00	0.00	0.00

Esfuerzos en barras, por hipótesis										
Barra	Hipótesis	Esfuerzo	Posiciones en la barra							
			0.000 m	0.875 m	1.750 m	2.625 m	3.500 m	4.375 m	5.250 m	6.125 m	7.000 m
		My	0.00	0.00	0.00	0.00	0.00	0.00	0.00	0.00	0.00
		Mz	13.59	11.88	10.16	8.45	6.73	5.02	3.30	1.59	-0.13
	T 3	N	-0.120	-0.120	-0.120	-0.120	-0.120	-0.120	-0.120	-0.120	-0.120
		Vy	-5.880	-5.880	-5.880	-5.880	-5.880	-5.880	-5.880	-5.880	-5.880
		Vz	0.000	0.000	0.000	0.000	0.000	0.000	0.000	0.000	0.000
		Mt	0.00	0.00	0.00	0.00	0.00	0.00	0.00	0.00	0.00
		My	0.00	0.00	0.00	0.00	0.00	0.00	0.00	0.00	0.00
		Mz	-40.78	-35.64	-30.49	-25.35	-20.20	-15.06	-9.91	-4.77	0.38
	T 4	N	0.120	0.120	0.120	0.120	0.120	0.120	0.120	0.120	0.120
		Vy	5.880	5.880	5.880	5.880	5.880	5.880	5.880	5.880	5.880
		Vz	0.000	0.000	0.000	0.000	0.000	0.000	0.000	0.000	0.000
		Mt	0.00	0.00	0.00	0.00	0.00	0.00	0.00	0.00	0.00
		My	0.00	0.00	0.00	0.00	0.00	0.00	0.00	0.00	0.00
		Mz	40.78	35.64	30.49	25.35	20.20	15.06	9.91	4.77	-0.38

Esfuerzos en barras, por hipótesis										
Barra	Hipótesis	Esfuerzo	Posiciones en la barra							
			0.000 m	0.875 m	1.750 m	2.625 m	3.500 m	4.375 m	5.250 m	6.125 m	7.000 m
N3/N4	Peso propio	N	-27.820	-24.387	-20.953	-17.520	-14.086	-10.653	-7.219	-3.786	-0.352
		Vy	0.029	0.029	0.029	0.029	0.029	0.029	0.029	0.029	0.029
		Vz	0.000	0.000	0.000	0.000	0.000	0.000	0.000	0.000	0.000
		Mt	0.00	0.00	0.00	0.00	0.00	0.00	0.00	0.00	0.00
		My	0.00	0.00	0.00	0.00	0.00	0.00	0.00	0.00	0.00
		Mz	0.19	0.16	0.14	0.11	0.09	0.06	0.04	0.01	-0.01
	T 1	N	0.021	0.021	0.021	0.021	0.021	0.021	0.021	0.021	0.021
		Vy	-1.641	-1.641	-1.641	-1.641	-1.641	-1.641	-1.641	-1.641	-1.641
		Vz	0.000	0.000	0.000	0.000	0.000	0.000	0.000	0.000	0.000
		Mt	0.00	0.00	0.00	0.00	0.00	0.00	0.00	0.00	0.00
		My	0.00	0.00	0.00	0.00	0.00	0.00	0.00	0.00	0.00
		Mz	-11.29	-9.86	-8.42	-6.99	-5.55	-4.11	-2.68	-1.24	0.19
	T 2	N	-0.021	-0.021	-0.021	-0.021	-0.021	-0.021	-0.021	-0.021	-0.021
		Vy	1.641	1.641	1.641	1.641	1.641	1.641	1.641	1.641	1.641
		Vz	0.000	0.000	0.000	0.000	0.000	0.000	0.000	0.000	0.000
		Mt	0.00	0.00	0.00	0.00	0.00	0.00	0.00	0.00	0.00
		My	0.00	0.00	0.00	0.00	0.00	0.00	0.00	0.00	0.00
		Mz	11.29	9.86	8.42	6.99	5.55	4.11	2.68	1.24	-0.19
	T 3	N	0.062	0.062	0.062	0.062	0.062	0.062	0.062	0.062	0.062
		Vy	-4.923	-4.923	-4.923	-4.923	-4.923	-4.923	-4.923	-4.923	-4.923
		Vz	0.000	0.000	0.000	0.000	0.000	0.000	0.000	0.000	0.000
		Mt	0.00	0.00	0.00	0.00	0.00	0.00	0.00	0.00	0.00
		My	0.00	0.00	0.00	0.00	0.00	0.00	0.00	0.00	0.00
		Mz	-33.88	-29.57	-25.27	-20.96	-16.65	-12.34	-8.03	-3.73	0.58
	T 4	N	-0.062	-0.062	-0.062	-0.062	-0.062	-0.062	-0.062	-0.062	-0.062
		Vy	4.923	4.923	4.923	4.923	4.923	4.923	4.923	4.923	4.923
		Vz	0.000	0.000	0.000	0.000	0.000	0.000	0.000	0.000	0.000
		Mt	0.00	0.00	0.00	0.00	0.00	0.00	0.00	0.00	0.00
		My	0.00	0.00	0.00	0.00	0.00	0.00	0.00	0.00	0.00
		Mz	33.88	29.57	25.27	20.96	16.65	12.34	8.03	3.73	-0.58

Esfuerzos en barras, por hipótesis										
Barra	Hipótesis	Esfuerzo	Posiciones en la barra							
			0.000 m	0.200 m	0.400 m	0.800 m	1.000 m	1.200 m	1.600 m	1.800 m	2.000 m
N5/N25	Peso propio	N	-43.880	-42.899	-41.918	-39.956	-38.975	-37.994	-36.032	-35.051	-34.070
		Vy	-4.392	-4.392	-4.392	-4.392	-4.392	-4.392	-4.392	-4.392	-4.392
		Vz	0.000	0.000	0.000	0.000	0.000	0.000	0.000	0.000	0.000
		Mt	0.00	0.00	0.00	0.00	0.00	0.00	0.00	0.00	0.00
		My	0.00	0.00	0.00	0.00	0.00	0.00	0.00	0.00	0.00

Esfuerzos en barras, por hipótesis										
Barra	Hipótesis	Esfuerzo	Posiciones en la barra								
			0.000 m	0.200 m	0.400 m	0.800 m	1.000 m	1.200 m	1.600 m	1.800 m	2.000 m
		Mz	-2.13	-1.25	-0.37	1.38	2.26	3.14	4.90	5.78	6.65
	T 1	N	-3.951	-3.951	-3.951	-3.951	-3.951	-3.951	-3.951	-3.951	-3.951
		Vy	-61.636	-61.636	-61.636	-61.636	-61.636	-61.636	-61.636	-61.636	-61.636
		Vz	0.000	0.000	0.000	0.000	0.000	0.000	0.000	0.000	0.000
		Mt	0.00	0.00	0.00	0.00	0.00	0.00	0.00	0.00	0.00
		My	0.00	0.00	0.00	0.00	0.00	0.00	0.00	0.00	0.00
		Mz	-88.16	-75.83	-63.50	-38.85	-26.52	-14.19	10.46	22.79	35.12
	T 2	N	3.951	3.951	3.951	3.951	3.951	3.951	3.951	3.951	3.951
		Vy	61.636	61.636	61.636	61.636	61.636	61.636	61.636	61.636	61.636
		Vz	0.000	0.000	0.000	0.000	0.000	0.000	0.000	0.000	0.000
		Mt	0.00	0.00	0.00	0.00	0.00	0.00	0.00	0.00	0.00
		My	0.00	0.00	0.00	0.00	0.00	0.00	0.00	0.00	0.00
		Mz	88.16	75.83	63.50	38.85	26.52	14.19	-10.46	-22.79	-35.12
	T 3	N	-11.854	-11.854	-11.854	-11.854	-11.854	-11.854	-11.854	-11.854	-11.854
		Vy	-184.909	-184.909	-184.909	-184.909	-184.909	-184.909	-184.909	-184.909	-184.909
		Vz	0.000	0.000	0.000	0.000	0.000	0.000	0.000	0.000	0.000
		Mt	0.00	0.00	0.00	0.00	0.00	0.00	0.00	0.00	0.00
		My	0.00	0.00	0.00	0.00	0.00	0.00	0.00	0.00	0.00
		Mz	-264.47	-227.49	-190.51	-116.54	-79.56	-42.58	31.39	68.37	105.35
	T 4	N	11.854	11.854	11.854	11.854	11.854	11.854	11.854	11.854	11.854
		Vy	184.909	184.909	184.909	184.909	184.909	184.909	184.909	184.909	184.909
		Vz	0.000	0.000	0.000	0.000	0.000	0.000	0.000	0.000	0.000
		Mt	0.00	0.00	0.00	0.00	0.00	0.00	0.00	0.00	0.00
		My	0.00	0.00	0.00	0.00	0.00	0.00	0.00	0.00	0.00
		Mz	264.47	227.49	190.51	116.54	79.56	42.58	-31.39	-68.37	-105.35

Esfuerzos en barras, por hipótesis										
Barra	Hipótesis	Esfuerzo	Posiciones en la barra								
			0.000 m	0.625 m	1.250 m	1.875 m	2.500 m	3.125 m	3.750 m	4.375 m	5.000 m
N25/N6	Peso propio	N	-24.885	-21.819	-18.754	-15.688	-12.623	-9.557	-6.491	-3.426	-0.360
		Vy	-0.492	-0.492	-0.492	-0.492	-0.492	-0.492	-0.492	-0.492	-0.492
		Vz	0.000	0.000	0.000	0.000	0.000	0.000	0.000	0.000	0.000
		Mt	0.00	0.00	0.00	0.00	0.00	0.00	0.00	0.00	0.00
		My	0.00	0.00	0.00	0.00	0.00	0.00	0.00	0.00	0.00
		Mz	-2.43	-2.12	-1.81	-1.50	-1.20	-0.89	-0.58	-0.27	0.03
	T 1	N	0.017	0.017	0.017	0.017	0.017	0.017	0.017	0.017	0.017
		Vy	4.209	4.209	4.209	4.209	4.209	4.209	4.209	4.209	4.209
		Vz	0.000	0.000	0.000	0.000	0.000	0.000	0.000	0.000	0.000
		Mt	0.00	0.00	0.00	0.00	0.00	0.00	0.00	0.00	0.00
		My	0.00	0.00	0.00	0.00	0.00	0.00	0.00	0.00	0.00
		Mz	21.09	18.46	15.83	13.20	10.56	7.93	5.30	2.67	0.04
	T 2	N	-0.017	-0.017	-0.017	-0.017	-0.017	-0.017	-0.017	-0.017	-0.017
		Vy	-4.209	-4.209	-4.209	-4.209	-4.209	-4.209	-4.209	-4.209	-4.209
		Vz	0.000	0.000	0.000	0.000	0.000	0.000	0.000	0.000	0.000
		Mt	0.00	0.00	0.00	0.00	0.00	0.00	0.00	0.00	0.00
		My	0.00	0.00	0.00	0.00	0.00	0.00	0.00	0.00	0.00
		Mz	-21.09	-18.46	-15.83	-13.20	-10.56	-7.93	-5.30	-2.67	-0.04
	T 3	N	0.051	0.051	0.051	0.051	0.051	0.051	0.051	0.051	0.051
		Vy	12.626	12.626	12.626	12.626	12.626	12.626	12.626	12.626	12.626
		Vz	0.000	0.000	0.000	0.000	0.000	0.000	0.000	0.000	0.000
		Mt	0.00	0.00	0.00	0.00	0.00	0.00	0.00	0.00	0.00
		My	0.00	0.00	0.00	0.00	0.00	0.00	0.00	0.00	0.00
		Mz	63.26	55.37	47.48	39.59	31.69	23.80	15.91	8.02	0.13
	T 4	N	-0.051	-0.051	-0.051	-0.051	-0.051	-0.051	-0.051	-0.051	-0.051
		Vy	-12.626	-12.626	-12.626	-12.626	-12.626	-12.626	-12.626	-12.626	-12.626
		Vz	0.000	0.000	0.000	0.000	0.000	0.000	0.000	0.000	0.000
		Mt	0.00	0.00	0.00	0.00	0.00	0.00	0.00	0.00	0.00
		My	0.00	0.00	0.00	0.00	0.00	0.00	0.00	0.00	0.00
		Mz	-63.26	-55.37	-47.48	-39.59	-31.69	-23.80	-15.91	-8.02	-0.13

Esfuerzos en barras, por hipótesis										
Barra	Hipótesis	Esfuerzo	Posiciones en la barra							
			0.000 m	0.200 m	0.400 m	0.800 m	1.000 m	1.200 m	1.600 m	1.800 m	2.000 m
N7/N27	Peso propio	N	-47.042	-46.257	-45.472	-43.903	-43.118	-42.333	-40.764	-39.979	-39.194
		Vy	0.409	0.409	0.409	0.409	0.409	0.409	0.409	0.409	0.409
		Vz	0.000	0.000	0.000	0.000	0.000	0.000	0.000	0.000	0.000
		Mt	0.00	0.00	0.00	0.00	0.00	0.00	0.00	0.00	0.00
		My	0.00	0.00	0.00	0.00	0.00	0.00	0.00	0.00	0.00
		Mz	0.54	0.46	0.38	0.21	0.13	0.05	-0.12	-0.20	-0.28
	T 1	N	1.948	1.948	1.948	1.948	1.948	1.948	1.948	1.948	1.948
		Vy	-36.486	-36.486	-36.486	-36.486	-36.486	-36.486	-36.486	-36.486	-36.486
		Vz	0.000	0.000	0.000	0.000	0.000	0.000	0.000	0.000	0.000
		Mt	0.00	0.00	0.00	0.00	0.00	0.00	0.00	0.00	0.00
		My	0.00	0.00	0.00	0.00	0.00	0.00	0.00	0.00	0.00
		Mz	-47.60	-40.30	-33.01	-18.41	-11.12	-3.82	10.78	18.07	25.37
	T 2	N	-1.948	-1.948	-1.948	-1.948	-1.948	-1.948	-1.948	-1.948	-1.948
		Vy	36.486	36.486	36.486	36.486	36.486	36.486	36.486	36.486	36.486
		Vz	0.000	0.000	0.000	0.000	0.000	0.000	0.000	0.000	0.000
		Mt	0.00	0.00	0.00	0.00	0.00	0.00	0.00	0.00	0.00
		My	0.00	0.00	0.00	0.00	0.00	0.00	0.00	0.00	0.00
		Mz	47.60	40.30	33.01	18.41	11.12	3.82	-10.78	-18.07	-25.37
	T 3	N	5.843	5.843	5.843	5.843	5.843	5.843	5.843	5.843	5.843
		Vy	-109.457	-109.457	-109.457	-109.457	-109.457	-109.457	-109.457	-109.457	-109.457
		Vz	0.000	0.000	0.000	0.000	0.000	0.000	0.000	0.000	0.000
		Mt	0.00	0.00	0.00	0.00	0.00	0.00	0.00	0.00	0.00
		My	0.00	0.00	0.00	0.00	0.00	0.00	0.00	0.00	0.00
		Mz	-142.81	-120.91	-99.02	-55.24	-33.35	-11.46	32.33	54.22	76.11
	T 4	N	-5.843	-5.843	-5.843	-5.843	-5.843	-5.843	-5.843	-5.843	-5.843
		Vy	109.457	109.457	109.457	109.457	109.457	109.457	109.457	109.457	109.457
		Vz	0.000	0.000	0.000	0.000	0.000	0.000	0.000	0.000	0.000
		Mt	0.00	0.00	0.00	0.00	0.00	0.00	0.00	0.00	0.00
		My	0.00	0.00	0.00	0.00	0.00	0.00	0.00	0.00	0.00
		Mz	142.81	120.91	99.02	55.24	33.35	11.46	-32.33	-54.22	-76.11

Esfuerzos en barras, por hipótesis										
Barra	Hipótesis	Esfuerzo	Posiciones en la barra							
			0.000 m	0.625 m	1.250 m	1.875 m	2.500 m	3.125 m	3.750 m	4.375 m	5.000 m
N27/N8	Peso propio	N	-19.995	-17.543	-15.090	-12.638	-10.185	-7.733	-5.280	-2.828	-0.375
		Vy	-0.001	-0.001	-0.001	-0.001	-0.001	-0.001	-0.001	-0.001	-0.001
		Vz	0.000	0.000	0.000	0.000	0.000	0.000	0.000	0.000	0.000
		Mt	0.00	0.00	0.00	0.00	0.00	0.00	0.00	0.00	0.00
		My	0.00	0.00	0.00	0.00	0.00	0.00	0.00	0.00	0.00
		Mz	0.00	0.00	0.00	0.00	0.00	0.00	0.00	0.00	0.00
	T 1	N	-0.001	-0.001	-0.001	-0.001	-0.001	-0.001	-0.001	-0.001	-0.001
		Vy	1.349	1.349	1.349	1.349	1.349	1.349	1.349	1.349	1.349
		Vz	0.000	0.000	0.000	0.000	0.000	0.000	0.000	0.000	0.000
		Mt	0.00	0.00	0.00	0.00	0.00	0.00	0.00	0.00	0.00
		My	0.00	0.00	0.00	0.00	0.00	0.00	0.00	0.00	0.00
		Mz	6.76	5.92	5.08	4.24	3.39	2.55	1.71	0.87	0.02
	T 2	N	0.001	0.001	0.001	0.001	0.001	0.001	0.001	0.001	0.001
		Vy	-1.349	-1.349	-1.349	-1.349	-1.349	-1.349	-1.349	-1.349	-1.349
		Vz	0.000	0.000	0.000	0.000	0.000	0.000	0.000	0.000	0.000
		Mt	0.00	0.00	0.00	0.00	0.00	0.00	0.00	0.00	0.00
		My	0.00	0.00	0.00	0.00	0.00	0.00	0.00	0.00	0.00
		Mz	-6.76	-5.92	-5.08	-4.24	-3.39	-2.55	-1.71	-0.87	-0.02
	T 3	N	-0.004	-0.004	-0.004	-0.004	-0.004	-0.004	-0.004	-0.004	-0.004
		Vy	4.046	4.046	4.046	4.046	4.046	4.046	4.046	4.046	4.046
		Vz	0.000	0.000	0.000	0.000	0.000	0.000	0.000	0.000	0.000
		Mt	0.00	0.00	0.00	0.00	0.00	0.00	0.00	0.00	0.00
		My	0.00	0.00	0.00	0.00	0.00	0.00	0.00	0.00	0.00
		Mz	20.29	17.77	15.24	12.71	10.18	7.65	5.12	2.60	0.07
	T 4	N	0.004	0.004	0.004	0.004	0.004	0.004	0.004	0.004	0.004

Esfuerzos en barras, por hipótesis										
Barra	Hipótesis	Esfuerzo	Posiciones en la barra								
			0.000 m	0.625 m	1.250 m	1.875 m	2.500 m	3.125 m	3.750 m	4.375 m	5.000 m
		Vy	-4.046	-4.046	-4.046	-4.046	-4.046	-4.046	-4.046	-4.046	-4.046
		Vz	0.000	0.000	0.000	0.000	0.000	0.000	0.000	0.000	0.000
		Mt	0.00	0.00	0.00	0.00	0.00	0.00	0.00	0.00	0.00
		My	0.00	0.00	0.00	0.00	0.00	0.00	0.00	0.00	0.00
		Mz	-20.29	-17.77	-15.24	-12.71	-10.18	-7.65	-5.12	-2.60	-0.07

Esfuerzos en barras, por hipótesis										
Barra	Hipótesis	Esfuerzo	Posiciones en la barra								
			0.000 m	0.200 m	0.400 m	0.800 m	1.000 m	1.200 m	1.600 m	1.800 m	2.000 m
N9/N28	Peso propio	N	-50.996	-50.015	-49.034	-47.072	-46.091	-45.110	-43.148	-42.167	-41.186
		Vy	2.411	2.411	2.411	2.411	2.411	2.411	2.411	2.411	2.411
		Vz	0.000	0.000	0.000	0.000	0.000	0.000	0.000	0.000	0.000
		Mt	0.00	0.00	0.00	0.00	0.00	0.00	0.00	0.00	0.00
		My	0.00	0.00	0.00	0.00	0.00	0.00	0.00	0.00	0.00
		Mz	1.62	1.14	0.65	-0.31	-0.79	-1.28	-2.24	-2.72	-3.20
	T 1	N	0.315	0.315	0.315	0.315	0.315	0.315	0.315	0.315	0.315
		Vy	-21.159	-21.159	-21.159	-21.159	-21.159	-21.159	-21.159	-21.159	-21.159
		Vz	0.000	0.000	0.000	0.000	0.000	0.000	0.000	0.000	0.000
		Mt	0.00	0.00	0.00	0.00	0.00	0.00	0.00	0.00	0.00
		My	0.00	0.00	0.00	0.00	0.00	0.00	0.00	0.00	0.00
		Mz	-28.13	-23.89	-19.66	-11.20	-6.97	-2.74	5.73	9.96	14.19
	T 2	N	-0.315	-0.315	-0.315	-0.315	-0.315	-0.315	-0.315	-0.315	-0.315
		Vy	21.159	21.159	21.159	21.159	21.159	21.159	21.159	21.159	21.159
		Vz	0.000	0.000	0.000	0.000	0.000	0.000	0.000	0.000	0.000
		Mt	0.00	0.00	0.00	0.00	0.00	0.00	0.00	0.00	0.00
		My	0.00	0.00	0.00	0.00	0.00	0.00	0.00	0.00	0.00
		Mz	28.13	23.89	19.66	11.20	6.97	2.74	-5.73	-9.96	-14.19
	T 3	N	0.944	0.944	0.944	0.944	0.944	0.944	0.944	0.944	0.944
		Vy	-63.477	-63.477	-63.477	-63.477	-63.477	-63.477	-63.477	-63.477	-63.477
		Vz	0.000	0.000	0.000	0.000	0.000	0.000	0.000	0.000	0.000
		Mt	0.00	0.00	0.00	0.00	0.00	0.00	0.00	0.00	0.00
		My	0.00	0.00	0.00	0.00	0.00	0.00	0.00	0.00	0.00
		Mz	-84.38	-71.68	-58.99	-33.60	-20.90	-8.21	17.19	29.88	42.58
	T 4	N	-0.944	-0.944	-0.944	-0.944	-0.944	-0.944	-0.944	-0.944	-0.944
		Vy	63.477	63.477	63.477	63.477	63.477	63.477	63.477	63.477	63.477
		Vz	0.000	0.000	0.000	0.000	0.000	0.000	0.000	0.000	0.000
		Mt	0.00	0.00	0.00	0.00	0.00	0.00	0.00	0.00	0.00
		My	0.00	0.00	0.00	0.00	0.00	0.00	0.00	0.00	0.00
		Mz	84.38	71.68	58.99	33.60	20.90	8.21	-17.19	-29.88	-42.58

Esfuerzos en barras, por hipótesis										
Barra	Hipótesis	Esfuerzo	Posiciones en la barra								
			0.000 m	0.625 m	1.250 m	1.875 m	2.500 m	3.125 m	3.750 m	4.375 m	5.000 m
N28/N10	Peso propio	N	-24.848	-21.783	-18.717	-15.651	-12.586	-9.520	-6.454	-3.389	-0.323
		Vy	0.238	0.238	0.238	0.238	0.238	0.238	0.238	0.238	0.238
		Vz	0.000	0.000	0.000	0.000	0.000	0.000	0.000	0.000	0.000
		Mt	0.00	0.00	0.00	0.00	0.00	0.00	0.00	0.00	0.00
		My	0.00	0.00	0.00	0.00	0.00	0.00	0.00	0.00	0.00
		Mz	1.09	0.94	0.79	0.64	0.49	0.34	0.19	0.05	-0.10
	T 1	N	0.000	0.000	0.000	0.000	0.000	0.000	0.000	0.000	0.000
		Vy	0.749	0.749	0.749	0.749	0.749	0.749	0.749	0.749	0.749
		Vz	0.000	0.000	0.000	0.000	0.000	0.000	0.000	0.000	0.000
		Mt	0.00	0.00	0.00	0.00	0.00	0.00	0.00	0.00	0.00
		My	0.00	0.00	0.00	0.00	0.00	0.00	0.00	0.00	0.00
		Mz	3.76	3.30	2.83	2.36	1.89	1.43	0.96	0.49	0.02
	T 2	N	0.000	0.000	0.000	0.000	0.000	0.000	0.000	0.000	0.000

Esfuerzos en barras, por hipótesis										
Barra	Hipótesis	Esfuerzo	Posiciones en la barra								
			0.000 m	0.625 m	1.250 m	1.875 m	2.500 m	3.125 m	3.750 m	4.375 m	5.000 m
		Vy	-0.749	-0.749	-0.749	-0.749	-0.749	-0.749	-0.749	-0.749	-0.749
		Vz	0.000	0.000	0.000	0.000	0.000	0.000	0.000	0.000	0.000
		Mt	0.00	0.00	0.00	0.00	0.00	0.00	0.00	0.00	0.00
		My	0.00	0.00	0.00	0.00	0.00	0.00	0.00	0.00	0.00
		Mz	-3.76	-3.30	-2.83	-2.36	-1.89	-1.43	-0.96	-0.49	-0.02
	T 3	N	-0.001	-0.001	-0.001	-0.001	-0.001	-0.001	-0.001	-0.001	-0.001
		Vy	2.246	2.246	2.246	2.246	2.246	2.246	2.246	2.246	2.246
		Vz	0.000	0.000	0.000	0.000	0.000	0.000	0.000	0.000	0.000
		Mt	0.00	0.00	0.00	0.00	0.00	0.00	0.00	0.00	0.00
		My	0.00	0.00	0.00	0.00	0.00	0.00	0.00	0.00	0.00
		Mz	11.29	9.89	8.49	7.08	5.68	4.28	2.87	1.47	0.07
	T 4	N	0.001	0.001	0.001	0.001	0.001	0.001	0.001	0.001	0.001
		Vy	-2.246	-2.246	-2.246	-2.246	-2.246	-2.246	-2.246	-2.246	-2.246
		Vz	0.000	0.000	0.000	0.000	0.000	0.000	0.000	0.000	0.000
		Mt	0.00	0.00	0.00	0.00	0.00	0.00	0.00	0.00	0.00
		My	0.00	0.00	0.00	0.00	0.00	0.00	0.00	0.00	0.00
		Mz	-11.29	-9.89	-8.49	-7.08	-5.68	-4.28	-2.87	-1.47	-0.07

Esfuerzos en barras, por hipótesis										
Barra	Hipótesis	Esfuerzo	Posiciones en la barra								
			0.000 m	0.200 m	0.400 m	0.800 m	1.000 m	1.200 m	1.600 m	1.800 m	2.000 m
N11/N29	Peso propio	N	-47.999	-47.018	-46.037	-44.075	-43.094	-42.113	-40.151	-39.170	-38.189
		Vy	-0.067	-0.067	-0.067	-0.067	-0.067	-0.067	-0.067	-0.067	-0.067
		Vz	0.000	0.000	0.000	0.000	0.000	0.000	0.000	0.000	0.000
		Mt	0.00	0.00	0.00	0.00	0.00	0.00	0.00	0.00	0.00
		My	0.00	0.00	0.00	0.00	0.00	0.00	0.00	0.00	0.00
		Mz	-0.01	0.01	0.02	0.05	0.06	0.07	0.10	0.11	0.13
	T 1	N	1.781	1.781	1.781	1.781	1.781	1.781	1.781	1.781	1.781
		Vy	-6.658	-6.658	-6.658	-6.658	-6.658	-6.658	-6.658	-6.658	-6.658
		Vz	0.000	0.000	0.000	0.000	0.000	0.000	0.000	0.000	0.000
		Mt	0.00	0.00	0.00	0.00	0.00	0.00	0.00	0.00	0.00
		My	0.00	0.00	0.00	0.00	0.00	0.00	0.00	0.00	0.00
		Mz	-8.71	-7.38	-6.05	-3.39	-2.05	-0.72	1.94	3.27	4.60
	T 2	N	-1.781	-1.781	-1.781	-1.781	-1.781	-1.781	-1.781	-1.781	-1.781
		Vy	6.658	6.658	6.658	6.658	6.658	6.658	6.658	6.658	6.658
		Vz	0.000	0.000	0.000	0.000	0.000	0.000	0.000	0.000	0.000
		Mt	0.00	0.00	0.00	0.00	0.00	0.00	0.00	0.00	0.00
		My	0.00	0.00	0.00	0.00	0.00	0.00	0.00	0.00	0.00
		Mz	8.71	7.38	6.05	3.39	2.05	0.72	-1.94	-3.27	-4.60
	T 3	N	5.342	5.342	5.342	5.342	5.342	5.342	5.342	5.342	5.342
		Vy	-19.974	-19.974	-19.974	-19.974	-19.974	-19.974	-19.974	-19.974	-19.974
		Vz	0.000	0.000	0.000	0.000	0.000	0.000	0.000	0.000	0.000
		Mt	0.00	0.00	0.00	0.00	0.00	0.00	0.00	0.00	0.00
		My	0.00	0.00	0.00	0.00	0.00	0.00	0.00	0.00	0.00
		Mz	-26.14	-22.14	-18.15	-10.16	-6.16	-2.17	5.82	9.82	13.81
	T 4	N	-5.342	-5.342	-5.342	-5.342	-5.342	-5.342	-5.342	-5.342	-5.342
		Vy	19.974	19.974	19.974	19.974	19.974	19.974	19.974	19.974	19.974
		Vz	0.000	0.000	0.000	0.000	0.000	0.000	0.000	0.000	0.000
		Mt	0.00	0.00	0.00	0.00	0.00	0.00	0.00	0.00	0.00
		My	0.00	0.00	0.00	0.00	0.00	0.00	0.00	0.00	0.00
		Mz	26.14	22.14	18.15	10.16	6.16	2.17	-5.82	-9.82	-13.81

Esfuerzos en barras, por hipótesis										
Barra	Hipótesis	Esfuerzo	Posiciones en la barra								
			0.000 m	0.625 m	1.250 m	1.875 m	2.500 m	3.125 m	3.750 m	4.375 m	5.000 m
N29/N12	Peso propio	N	-24.795	-21.729	-18.664	-15.598	-12.532	-9.467	-6.401	-3.335	-0.270
		Vy	-0.005	-0.005	-0.005	-0.005	-0.005	-0.005	-0.005	-0.005	-0.005
		Vz	0.000	0.000	0.000	0.000	0.000	0.000	0.000	0.000	0.000
		Mt	0.00	0.00	0.00	0.00	0.00	0.00	0.00	0.00	0.00
		My	0.00	0.00	0.00	0.00	0.00	0.00	0.00	0.00	0.00
		Mz	-0.03	-0.03	-0.02	-0.02	-0.01	-0.01	-0.01	0.00	0.00
	T 1	N	0.004	0.004	0.004	0.004	0.004	0.004	0.004	0.004	0.004
		Vy	0.180	0.180	0.180	0.180	0.180	0.180	0.180	0.180	0.180
		Vz	0.000	0.000	0.000	0.000	0.000	0.000	0.000	0.000	0.000
		Mt	0.00	0.00	0.00	0.00	0.00	0.00	0.00	0.00	0.00
		My	0.00	0.00	0.00	0.00	0.00	0.00	0.00	0.00	0.00
		Mz	0.91	0.80	0.69	0.57	0.46	0.35	0.24	0.12	0.01
	T 2	N	-0.004	-0.004	-0.004	-0.004	-0.004	-0.004	-0.004	-0.004	-0.004
		Vy	-0.180	-0.180	-0.180	-0.180	-0.180	-0.180	-0.180	-0.180	-0.180
		Vz	0.000	0.000	0.000	0.000	0.000	0.000	0.000	0.000	0.000
		Mt	0.00	0.00	0.00	0.00	0.00	0.00	0.00	0.00	0.00
		My	0.00	0.00	0.00	0.00	0.00	0.00	0.00	0.00	0.00
		Mz	-0.91	-0.80	-0.69	-0.57	-0.46	-0.35	-0.24	-0.12	-0.01
	T 3	N	0.012	0.012	0.012	0.012	0.012	0.012	0.012	0.012	0.012
		Vy	0.541	0.541	0.541	0.541	0.541	0.541	0.541	0.541	0.541
		Vz	0.000	0.000	0.000	0.000	0.000	0.000	0.000	0.000	0.000
		Mt	0.00	0.00	0.00	0.00	0.00	0.00	0.00	0.00	0.00
		My	0.00	0.00	0.00	0.00	0.00	0.00	0.00	0.00	0.00
		Mz	2.74	2.40	2.06	1.72	1.38	1.04	0.71	0.37	0.03
	T 4	N	-0.012	-0.012	-0.012	-0.012	-0.012	-0.012	-0.012	-0.012	-0.012
		Vy	-0.541	-0.541	-0.541	-0.541	-0.541	-0.541	-0.541	-0.541	-0.541
		Vz	0.000	0.000	0.000	0.000	0.000	0.000	0.000	0.000	0.000
		Mt	0.00	0.00	0.00	0.00	0.00	0.00	0.00	0.00	0.00
		My	0.00	0.00	0.00	0.00	0.00	0.00	0.00	0.00	0.00
		Mz	-2.74	-2.40	-2.06	-1.72	-1.38	-1.04	-0.71	-0.37	-0.03

Esfuerzos en barras, por hipótesis										
Barra	Hipótesis	Esfuerzo	Posiciones en la barra								
			0.000 m	0.200 m	0.400 m	0.800 m	1.000 m	1.200 m	1.600 m	1.800 m	2.000 m
N13/N30	Peso propio	N	-48.163	-47.182	-46.201	-44.239	-43.258	-42.277	-40.315	-39.334	-38.353
		Vy	-0.051	-0.051	-0.051	-0.051	-0.051	-0.051	-0.051	-0.051	-0.051
		Vz	0.000	0.000	0.000	0.000	0.000	0.000	0.000	0.000	0.000
		Mt	0.00	0.00	0.00	0.00	0.00	0.00	0.00	0.00	0.00
		My	0.00	0.00	0.00	0.00	0.00	0.00	0.00	0.00	0.00
		Mz	-0.07	-0.06	-0.05	-0.03	-0.02	-0.01	0.01	0.02	0.04
	T 1	N	1.735	1.735	1.735	1.735	1.735	1.735	1.735	1.735	1.735
		Vy	8.033	8.033	8.033	8.033	8.033	8.033	8.033	8.033	8.033
		Vz	0.000	0.000	0.000	0.000	0.000	0.000	0.000	0.000	0.000
		Mt	0.00	0.00	0.00	0.00	0.00	0.00	0.00	0.00	0.00
		My	0.00	0.00	0.00	0.00	0.00	0.00	0.00	0.00	0.00
		Mz	10.47	8.86	7.26	4.04	2.44	0.83	-2.38	-3.99	-5.60
	T 2	N	-1.735	-1.735	-1.735	-1.735	-1.735	-1.735	-1.735	-1.735	-1.735
		Vy	-8.033	-8.033	-8.033	-8.033	-8.033	-8.033	-8.033	-8.033	-8.033
		Vz	0.000	0.000	0.000	0.000	0.000	0.000	0.000	0.000	0.000
		Mt	0.00	0.00	0.00	0.00	0.00	0.00	0.00	0.00	0.00
		My	0.00	0.00	0.00	0.00	0.00	0.00	0.00	0.00	0.00
		Mz	-10.47	-8.86	-7.26	-4.04	-2.44	-0.83	2.38	3.99	5.60
	T 3	N	5.204	5.204	5.204	5.204	5.204	5.204	5.204	5.204	5.204
		Vy	24.100	24.100	24.100	24.100	24.100	24.100	24.100	24.100	24.100
		Vz	0.000	0.000	0.000	0.000	0.000	0.000	0.000	0.000	0.000
		Mt	0.00	0.00	0.00	0.00	0.00	0.00	0.00	0.00	0.00
		My	0.00	0.00	0.00	0.00	0.00	0.00	0.00	0.00	0.00

Esfuerzos en barras, por hipótesis										
Barra	Hipótesis	Esfuerzo	Posiciones en la barra								
			0.000 m	0.200 m	0.400 m	0.800 m	1.000 m	1.200 m	1.600 m	1.800 m	2.000 m
		Mz	31.41	26.59	21.77	12.13	7.31	2.49	-7.15	-11.97	-16.79
	T 4	N	-5.204	-5.204	-5.204	-5.204	-5.204	-5.204	-5.204	-5.204	-5.204
		Vy	-24.100	-24.100	-24.100	-24.100	-24.100	-24.100	-24.100	-24.100	-24.100
		Vz	0.000	0.000	0.000	0.000	0.000	0.000	0.000	0.000	0.000
		Mt	0.00	0.00	0.00	0.00	0.00	0.00	0.00	0.00	0.00
		My	0.00	0.00	0.00	0.00	0.00	0.00	0.00	0.00	0.00
		Mz	-31.41	-26.59	-21.77	-12.13	-7.31	-2.49	7.15	11.97	16.79

Esfuerzos en barras, por hipótesis										
Barra	Hipótesis	Esfuerzo	Posiciones en la barra								
			0.000 m	0.625 m	1.250 m	1.875 m	2.500 m	3.125 m	3.750 m	4.375 m	5.000 m
N30/N14	Peso propio	N	-24.794	-21.729	-18.663	-15.597	-12.532	-9.466	-6.401	-3.335	-0.269
		Vy	0.004	0.004	0.004	0.004	0.004	0.004	0.004	0.004	0.004
		Vz	0.000	0.000	0.000	0.000	0.000	0.000	0.000	0.000	0.000
		Mt	0.00	0.00	0.00	0.00	0.00	0.00	0.00	0.00	0.00
		My	0.00	0.00	0.00	0.00	0.00	0.00	0.00	0.00	0.00
		Mz	0.02	0.02	0.01	0.01	0.01	0.01	0.00	0.00	0.00
	T 1	N	0.004	0.004	0.004	0.004	0.004	0.004	0.004	0.004	0.004
		Vy	-0.260	-0.260	-0.260	-0.260	-0.260	-0.260	-0.260	-0.260	-0.260
		Vz	0.000	0.000	0.000	0.000	0.000	0.000	0.000	0.000	0.000
		Mt	0.00	0.00	0.00	0.00	0.00	0.00	0.00	0.00	0.00
		My	0.00	0.00	0.00	0.00	0.00	0.00	0.00	0.00	0.00
		Mz	-1.31	-1.14	-0.98	-0.82	-0.66	-0.50	-0.33	-0.17	-0.01
	T 2	N	-0.004	-0.004	-0.004	-0.004	-0.004	-0.004	-0.004	-0.004	-0.004
		Vy	0.260	0.260	0.260	0.260	0.260	0.260	0.260	0.260	0.260
		Vz	0.000	0.000	0.000	0.000	0.000	0.000	0.000	0.000	0.000
		Mt	0.00	0.00	0.00	0.00	0.00	0.00	0.00	0.00	0.00
		My	0.00	0.00	0.00	0.00	0.00	0.00	0.00	0.00	0.00
		Mz	1.31	1.14	0.98	0.82	0.66	0.50	0.33	0.17	0.01
	T 3	N	0.012	0.012	0.012	0.012	0.012	0.012	0.012	0.012	0.012
		Vy	-0.779	-0.779	-0.779	-0.779	-0.779	-0.779	-0.779	-0.779	-0.779
		Vz	0.000	0.000	0.000	0.000	0.000	0.000	0.000	0.000	0.000
		Mt	0.00	0.00	0.00	0.00	0.00	0.00	0.00	0.00	0.00
		My	0.00	0.00	0.00	0.00	0.00	0.00	0.00	0.00	0.00
		Mz	-3.92	-3.43	-2.95	-2.46	-1.97	-1.49	-1.00	-0.51	-0.03
	T 4	N	-0.012	-0.012	-0.012	-0.012	-0.012	-0.012	-0.012	-0.012	-0.012
		Vy	0.779	0.779	0.779	0.779	0.779	0.779	0.779	0.779	0.779
		Vz	0.000	0.000	0.000	0.000	0.000	0.000	0.000	0.000	0.000
		Mt	0.00	0.00	0.00	0.00	0.00	0.00	0.00	0.00	0.00
		My	0.00	0.00	0.00	0.00	0.00	0.00	0.00	0.00	0.00
		Mz	3.92	3.43	2.95	2.46	1.97	1.49	1.00	0.51	0.03

Esfuerzos en barras, por hipótesis										
Barra	Hipótesis	Esfuerzo	Posiciones en la barra								
			0.000 m	0.200 m	0.400 m	0.800 m	1.000 m	1.200 m	1.600 m	1.800 m	2.000 m
N15/N31	Peso propio	N	-48.148	-47.167	-46.186	-44.224	-43.243	-42.262	-40.300	-39.319	-38.338
		Vy	-0.151	-0.151	-0.151	-0.151	-0.151	-0.151	-0.151	-0.151	-0.151
		Vz	0.000	0.000	0.000	0.000	0.000	0.000	0.000	0.000	0.000
		Mt	0.00	0.00	0.00	0.00	0.00	0.00	0.00	0.00	0.00
		My	0.00	0.00	0.00	0.00	0.00	0.00	0.00	0.00	0.00
		Mz	-0.20	-0.17	-0.14	-0.08	-0.05	-0.02	0.04	0.07	0.10
	T 1	N	1.815	1.815	1.815	1.815	1.815	1.815	1.815	1.815	1.815
		Vy	23.414	23.414	23.414	23.414	23.414	23.414	23.414	23.414	23.414
		Vz	0.000	0.000	0.000	0.000	0.000	0.000	0.000	0.000	0.000
		Mt	0.00	0.00	0.00	0.00	0.00	0.00	0.00	0.00	0.00
		My	0.00	0.00	0.00	0.00	0.00	0.00	0.00	0.00	0.00

Esfuerzos en barras, por hipótesis										
Barra	Hipótesis	Esfuerzo	Posiciones en la barra								
			0.000 m	0.200 m	0.400 m	0.800 m	1.000 m	1.200 m	1.600 m	1.800 m	2.000 m
		Mz	30.51	25.83	21.15	11.78	7.10	2.41	-6.95	-11.63	-16.32
	T 2	N	-1.815	-1.815	-1.815	-1.815	-1.815	-1.815	-1.815	-1.815	-1.815
		Vy	-23.414	-23.414	-23.414	-23.414	-23.414	-23.414	-23.414	-23.414	-23.414
		Vz	0.000	0.000	0.000	0.000	0.000	0.000	0.000	0.000	0.000
		Mt	0.00	0.00	0.00	0.00	0.00	0.00	0.00	0.00	0.00
		My	0.00	0.00	0.00	0.00	0.00	0.00	0.00	0.00	0.00
		Mz	-30.51	-25.83	-21.15	-11.78	-7.10	-2.41	6.95	11.63	16.32
	T 3	N	5.444	5.444	5.444	5.444	5.444	5.444	5.444	5.444	5.444
		Vy	70.243	70.243	70.243	70.243	70.243	70.243	70.243	70.243	70.243
		Vz	0.000	0.000	0.000	0.000	0.000	0.000	0.000	0.000	0.000
		Mt	0.00	0.00	0.00	0.00	0.00	0.00	0.00	0.00	0.00
		My	0.00	0.00	0.00	0.00	0.00	0.00	0.00	0.00	0.00
		Mz	91.54	77.49	63.44	35.34	21.29	7.24	-20.85	-34.90	-48.95
	T 4	N	-5.444	-5.444	-5.444	-5.444	-5.444	-5.444	-5.444	-5.444	-5.444
		Vy	-70.243	-70.243	-70.243	-70.243	-70.243	-70.243	-70.243	-70.243	-70.243
		Vz	0.000	0.000	0.000	0.000	0.000	0.000	0.000	0.000	0.000
		Mt	0.00	0.00	0.00	0.00	0.00	0.00	0.00	0.00	0.00
		My	0.00	0.00	0.00	0.00	0.00	0.00	0.00	0.00	0.00
		Mz	-91.54	-77.49	-63.44	-35.34	-21.29	-7.24	20.85	34.90	48.95

Esfuerzos en barras, por hipótesis										
Barra	Hipótesis	Esfuerzo	Posiciones en la barra								
			0.000 m	0.625 m	1.250 m	1.875 m	2.500 m	3.125 m	3.750 m	4.375 m	5.000 m
N31/N16	Peso propio	N	-24.794	-21.729	-18.663	-15.597	-12.532	-9.466	-6.401	-3.335	-0.269
		Vy	0.004	0.004	0.004	0.004	0.004	0.004	0.004	0.004	0.004
		Vz	0.000	0.000	0.000	0.000	0.000	0.000	0.000	0.000	0.000
		Mt	0.00	0.00	0.00	0.00	0.00	0.00	0.00	0.00	0.00
		My	0.00	0.00	0.00	0.00	0.00	0.00	0.00	0.00	0.00
		Mz	0.02	0.02	0.01	0.01	0.01	0.01	0.00	0.00	0.00
	T 1	N	0.003	0.003	0.003	0.003	0.003	0.003	0.003	0.003	0.003
		Vy	-0.774	-0.774	-0.774	-0.774	-0.774	-0.774	-0.774	-0.774	-0.774
		Vz	0.000	0.000	0.000	0.000	0.000	0.000	0.000	0.000	0.000
		Mt	0.00	0.00	0.00	0.00	0.00	0.00	0.00	0.00	0.00
		My	0.00	0.00	0.00	0.00	0.00	0.00	0.00	0.00	0.00
		Mz	-3.89	-3.41	-2.93	-2.44	-1.96	-1.48	-0.99	-0.51	-0.02
	T 2	N	-0.003	-0.003	-0.003	-0.003	-0.003	-0.003	-0.003	-0.003	-0.003
		Vy	0.774	0.774	0.774	0.774	0.774	0.774	0.774	0.774	0.774
		Vz	0.000	0.000	0.000	0.000	0.000	0.000	0.000	0.000	0.000
		Mt	0.00	0.00	0.00	0.00	0.00	0.00	0.00	0.00	0.00
		My	0.00	0.00	0.00	0.00	0.00	0.00	0.00	0.00	0.00
		Mz	3.89	3.41	2.93	2.44	1.96	1.48	0.99	0.51	0.02
	T 3	N	0.008	0.008	0.008	0.008	0.008	0.008	0.008	0.008	0.008
		Vy	-2.321	-2.321	-2.321	-2.321	-2.321	-2.321	-2.321	-2.321	-2.321
		Vz	0.000	0.000	0.000	0.000	0.000	0.000	0.000	0.000	0.000
		Mt	0.00	0.00	0.00	0.00	0.00	0.00	0.00	0.00	0.00
		My	0.00	0.00	0.00	0.00	0.00	0.00	0.00	0.00	0.00
		Mz	-11.68	-10.23	-8.78	-7.33	-5.88	-4.43	-2.98	-1.53	-0.07
	T 4	N	-0.008	-0.008	-0.008	-0.008	-0.008	-0.008	-0.008	-0.008	-0.008
		Vy	2.321	2.321	2.321	2.321	2.321	2.321	2.321	2.321	2.321
		Vz	0.000	0.000	0.000	0.000	0.000	0.000	0.000	0.000	0.000
		Mt	0.00	0.00	0.00	0.00	0.00	0.00	0.00	0.00	0.00
		My	0.00	0.00	0.00	0.00	0.00	0.00	0.00	0.00	0.00
		Mz	11.68	10.23	8.78	7.33	5.88	4.43	2.98	1.53	0.07

Esfuerzos en barras, por hipótesis										
Barra	Hipótesis	Esfuerzo	Posiciones en la barra							
			0.000 m	0.200 m	0.400 m	0.800 m	1.000 m	1.200 m	1.600 m	1.800 m	2.000 m
N17/N32	Peso propio	N	-48.334	-47.353	-46.372	-44.410	-43.429	-42.448	-40.486	-39.505	-38.524
		Vy	-0.388	-0.388	-0.388	-0.388	-0.388	-0.388	-0.388	-0.388	-0.388
		Vz	0.000	0.000	0.000	0.000	0.000	0.000	0.000	0.000	0.000
		Mt	0.00	0.00	0.00	0.00	0.00	0.00	0.00	0.00	0.00
		My	0.00	0.00	0.00	0.00	0.00	0.00	0.00	0.00	0.00
		Mz	-0.43	-0.36	-0.28	-0.12	-0.05	0.03	0.19	0.26	0.34
	T 1	N	2.662	2.662	2.662	2.662	2.662	2.662	2.662	2.662	2.662
		Vy	41.424	41.424	41.424	41.424	41.424	41.424	41.424	41.424	41.424
		Vz	0.000	0.000	0.000	0.000	0.000	0.000	0.000	0.000	0.000
		Mt	0.00	0.00	0.00	0.00	0.00	0.00	0.00	0.00	0.00
		My	0.00	0.00	0.00	0.00	0.00	0.00	0.00	0.00	0.00
		Mz	53.44	45.16	36.87	20.30	12.02	3.73	-12.84	-21.12	-29.41
	T 2	N	-2.662	-2.662	-2.662	-2.662	-2.662	-2.662	-2.662	-2.662	-2.662
		Vy	-41.424	-41.424	-41.424	-41.424	-41.424	-41.424	-41.424	-41.424	-41.424
		Vz	0.000	0.000	0.000	0.000	0.000	0.000	0.000	0.000	0.000
		Mt	0.00	0.00	0.00	0.00	0.00	0.00	0.00	0.00	0.00
		My	0.00	0.00	0.00	0.00	0.00	0.00	0.00	0.00	0.00
		Mz	-53.44	-45.16	-36.87	-20.30	-12.02	-3.73	12.84	21.12	29.41
	T 3	N	7.985	7.985	7.985	7.985	7.985	7.985	7.985	7.985	7.985
		Vy	124.273	124.273	124.273	124.273	124.273	124.273	124.273	124.273	124.273
		Vz	0.000	0.000	0.000	0.000	0.000	0.000	0.000	0.000	0.000
		Mt	0.00	0.00	0.00	0.00	0.00	0.00	0.00	0.00	0.00
		My	0.00	0.00	0.00	0.00	0.00	0.00	0.00	0.00	0.00
		Mz	160.32	135.47	110.61	60.90	36.05	11.19	-38.52	-63.37	-88.22
	T 4	N	-7.985	-7.985	-7.985	-7.985	-7.985	-7.985	-7.985	-7.985	-7.985
		Vy	-124.273	-124.273	-124.273	-124.273	-124.273	-124.273	-124.273	-124.273	-124.273
		Vz	0.000	0.000	0.000	0.000	0.000	0.000	0.000	0.000	0.000
		Mt	0.00	0.00	0.00	0.00	0.00	0.00	0.00	0.00	0.00
		My	0.00	0.00	0.00	0.00	0.00	0.00	0.00	0.00	0.00
		Mz	-160.32	-135.47	-110.61	-60.90	-36.05	-11.19	38.52	63.37	88.22

Esfuerzos en barras, por hipótesis										
Barra	Hipótesis	Esfuerzo	Posiciones en la barra							
			0.000 m	0.625 m	1.250 m	1.875 m	2.500 m	3.125 m	3.750 m	4.375 m	5.000 m
N32/N18	Peso propio	N	-24.794	-21.728	-18.662	-15.597	-12.531	-9.465	-6.400	-3.334	-0.269
		Vy	-0.006	-0.006	-0.006	-0.006	-0.006	-0.006	-0.006	-0.006	-0.006
		Vz	0.000	0.000	0.000	0.000	0.000	0.000	0.000	0.000	0.000
		Mt	0.00	0.00	0.00	0.00	0.00	0.00	0.00	0.00	0.00
		My	0.00	0.00	0.00	0.00	0.00	0.00	0.00	0.00	0.00
		Mz	-0.03	-0.03	-0.02	-0.02	-0.01	-0.01	-0.01	0.00	0.00
	T 1	N	-0.003	-0.003	-0.003	-0.003	-0.003	-0.003	-0.003	-0.003	-0.003
		Vy	-1.451	-1.451	-1.451	-1.451	-1.451	-1.451	-1.451	-1.451	-1.451
		Vz	0.000	0.000	0.000	0.000	0.000	0.000	0.000	0.000	0.000
		Mt	0.00	0.00	0.00	0.00	0.00	0.00	0.00	0.00	0.00
		My	0.00	0.00	0.00	0.00	0.00	0.00	0.00	0.00	0.00
		Mz	-7.28	-6.38	-5.47	-4.56	-3.66	-2.75	-1.84	-0.93	-0.03
	T 2	N	0.003	0.003	0.003	0.003	0.003	0.003	0.003	0.003	0.003
		Vy	1.451	1.451	1.451	1.451	1.451	1.451	1.451	1.451	1.451
		Vz	0.000	0.000	0.000	0.000	0.000	0.000	0.000	0.000	0.000
		Mt	0.00	0.00	0.00	0.00	0.00	0.00	0.00	0.00	0.00
		My	0.00	0.00	0.00	0.00	0.00	0.00	0.00	0.00	0.00
		Mz	7.28	6.38	5.47	4.56	3.66	2.75	1.84	0.93	0.03
	T 3	N	-0.008	-0.008	-0.008	-0.008	-0.008	-0.008	-0.008	-0.008	-0.008
		Vy	-4.354	-4.354	-4.354	-4.354	-4.354	-4.354	-4.354	-4.354	-4.354
		Vz	0.000	0.000	0.000	0.000	0.000	0.000	0.000	0.000	0.000
		Mt	0.00	0.00	0.00	0.00	0.00	0.00	0.00	0.00	0.00
		My	0.00	0.00	0.00	0.00	0.00	0.00	0.00	0.00	0.00
		Mz	-21.85	-19.13	-16.41	-13.69	-10.97	-8.25	-5.53	-2.80	-0.08
	T 4	N	0.008	0.008	0.008	0.008	0.008	0.008	0.008	0.008	0.008

Esfuerzos en barras, por hipótesis										
Barra	Hipótesis	Esfuerzo	Posiciones en la barra								
			0.000 m	0.625 m	1.250 m	1.875 m	2.500 m	3.125 m	3.750 m	4.375 m	5.000 m
		Vy	4.354	4.354	4.354	4.354	4.354	4.354	4.354	4.354	4.354
		Vz	0.000	0.000	0.000	0.000	0.000	0.000	0.000	0.000	0.000
		Mt	0.00	0.00	0.00	0.00	0.00	0.00	0.00	0.00	0.00
		My	0.00	0.00	0.00	0.00	0.00	0.00	0.00	0.00	0.00
		Mz	21.85	19.13	16.41	13.69	10.97	8.25	5.53	2.80	0.08

Esfuerzos en barras, por hipótesis										
Barra	Hipótesis	Esfuerzo	Posiciones en la barra								
			0.000 m	0.200 m	0.400 m	0.800 m	1.000 m	1.200 m	1.600 m	1.800 m	2.000 m
N19/N26	Peso propio	N	-41.156	-40.175	-39.194	-37.232	-36.251	-35.270	-33.308	-32.327	-31.346
		Vy	2.216	2.216	2.216	2.216	2.216	2.216	2.216	2.216	2.216
		Vz	0.000	0.000	0.000	0.000	0.000	0.000	0.000	0.000	0.000
		Mt	0.00	0.00	0.00	0.00	0.00	0.00	0.00	0.00	0.00
		My	0.00	0.00	0.00	0.00	0.00	0.00	0.00	0.00	0.00
		Mz	1.10	0.66	0.22	-0.67	-1.11	-1.56	-2.44	-2.89	-3.33
	T 1	N	-6.254	-6.254	-6.254	-6.254	-6.254	-6.254	-6.254	-6.254	-6.254
		Vy	53.739	53.739	53.739	53.739	53.739	53.739	53.739	53.739	53.739
		Vz	0.000	0.000	0.000	0.000	0.000	0.000	0.000	0.000	0.000
		Mt	0.00	0.00	0.00	0.00	0.00	0.00	0.00	0.00	0.00
		My	0.00	0.00	0.00	0.00	0.00	0.00	0.00	0.00	0.00
		Mz	74.98	64.23	53.49	31.99	21.24	10.50	-11.00	-21.75	-32.50
	T 2	N	6.254	6.254	6.254	6.254	6.254	6.254	6.254	6.254	6.254
		Vy	-53.739	-53.739	-53.739	-53.739	-53.739	-53.739	-53.739	-53.739	-53.739
		Vz	0.000	0.000	0.000	0.000	0.000	0.000	0.000	0.000	0.000
		Mt	0.00	0.00	0.00	0.00	0.00	0.00	0.00	0.00	0.00
		My	0.00	0.00	0.00	0.00	0.00	0.00	0.00	0.00	0.00
		Mz	-74.98	-64.23	-53.49	-31.99	-21.24	-10.50	11.00	21.75	32.50
	T 3	N	-18.763	-18.763	-18.763	-18.763	-18.763	-18.763	-18.763	-18.763	-18.763
		Vy	161.217	161.217	161.217	161.217	161.217	161.217	161.217	161.217	161.217
		Vz	0.000	0.000	0.000	0.000	0.000	0.000	0.000	0.000	0.000
		Mt	0.00	0.00	0.00	0.00	0.00	0.00	0.00	0.00	0.00
		My	0.00	0.00	0.00	0.00	0.00	0.00	0.00	0.00	0.00
		Mz	224.95	192.70	160.46	95.97	63.73	31.49	-33.00	-65.24	-97.49
	T 4	N	18.763	18.763	18.763	18.763	18.763	18.763	18.763	18.763	18.763
		Vy	-161.217	-161.217	-161.217	-161.217	-161.217	-161.217	-161.217	-161.217	-161.217
		Vz	0.000	0.000	0.000	0.000	0.000	0.000	0.000	0.000	0.000
		Mt	0.00	0.00	0.00	0.00	0.00	0.00	0.00	0.00	0.00
		My	0.00	0.00	0.00	0.00	0.00	0.00	0.00	0.00	0.00
		Mz	-224.95	-192.70	-160.46	-95.97	-63.73	-31.49	33.00	65.24	97.49

Esfuerzos en barras, por hipótesis										
Barra	Hipótesis	Esfuerzo	Posiciones en la barra								
			0.000 m	0.625 m	1.250 m	1.875 m	2.500 m	3.125 m	3.750 m	4.375 m	5.000 m
N26/N20	Peso propio	N	-24.788	-21.723	-18.657	-15.592	-12.526	-9.460	-6.395	-3.329	-0.263
		Vy	0.246	0.246	0.246	0.246	0.246	0.246	0.246	0.246	0.246
		Vz	0.000	0.000	0.000	0.000	0.000	0.000	0.000	0.000	0.000
		Mt	0.00	0.00	0.00	0.00	0.00	0.00	0.00	0.00	0.00
		My	0.00	0.00	0.00	0.00	0.00	0.00	0.00	0.00	0.00
		Mz	1.22	1.06	0.91	0.76	0.60	0.45	0.30	0.14	-0.01
	T 1	N	0.025	0.025	0.025	0.025	0.025	0.025	0.025	0.025	0.025
		Vy	-3.330	-3.330	-3.330	-3.330	-3.330	-3.330	-3.330	-3.330	-3.330
		Vz	0.000	0.000	0.000	0.000	0.000	0.000	0.000	0.000	0.000
		Mt	0.00	0.00	0.00	0.00	0.00	0.00	0.00	0.00	0.00
		My	0.00	0.00	0.00	0.00	0.00	0.00	0.00	0.00	0.00
		Mz	-16.70	-14.62	-12.54	-10.46	-8.37	-6.29	-4.21	-2.13	-0.05
	T 2	N	-0.025	-0.025	-0.025	-0.025	-0.025	-0.025	-0.025	-0.025	-0.025
		Vy	3.330	3.330	3.330	3.330	3.330	3.330	3.330	3.330	3.330
		Vz	0.000	0.000	0.000	0.000	0.000	0.000	0.000	0.000	0.000
		Mt	0.00	0.00	0.00	0.00	0.00	0.00	0.00	0.00	0.00

Esfuerzos en barras, por hipótesis										
Barra	Hipótesis	Esfuerzo	Posiciones en la barra							
			0.000 m	0.625 m	1.250 m	1.875 m	2.500 m	3.125 m	3.750 m	4.375 m	5.000 m
		My	0.00	0.00	0.00	0.00	0.00	0.00	0.00	0.00	0.00
		Mz	16.70	14.62	12.54	10.46	8.37	6.29	4.21	2.13	0.05
	T 3	N	0.074	0.074	0.074	0.074	0.074	0.074	0.074	0.074	0.074
		Vy	-9.990	-9.990	-9.990	-9.990	-9.990	-9.990	-9.990	-9.990	-9.990
		Vz	0.000	0.000	0.000	0.000	0.000	0.000	0.000	0.000	0.000
		Mt	0.00	0.00	0.00	0.00	0.00	0.00	0.00	0.00	0.00
		My	0.00	0.00	0.00	0.00	0.00	0.00	0.00	0.00	0.00
		Mz	-50.10	-43.85	-37.61	-31.37	-25.12	-18.88	-12.64	-6.39	-0.15
	T 4	N	-0.074	-0.074	-0.074	-0.074	-0.074	-0.074	-0.074	-0.074	-0.074
		Vy	9.990	9.990	9.990	9.990	9.990	9.990	9.990	9.990	9.990
		Vz	0.000	0.000	0.000	0.000	0.000	0.000	0.000	0.000	0.000
		Mt	0.00	0.00	0.00	0.00	0.00	0.00	0.00	0.00	0.00
		My	0.00	0.00	0.00	0.00	0.00	0.00	0.00	0.00	0.00
		Mz	50.10	43.85	37.61	31.37	25.12	18.88	12.64	6.39	0.15

Esfuerzos en barras, por hipótesis										
Barra	Hipótesis	Esfuerzo	Posiciones en la barra							
			0.000 m	0.875 m	1.750 m	2.625 m	3.500 m	4.375 m	5.250 m	6.125 m	7.000 m
N21/N22	Peso propio	N	-27.721	-24.287	-20.854	-17.420	-13.987	-10.553	-7.120	-3.686	-0.253
		Vy	-0.010	-0.010	-0.010	-0.010	-0.010	-0.010	-0.010	-0.010	-0.010
		Vz	0.000	0.000	0.000	0.000	0.000	0.000	0.000	0.000	0.000
		Mt	0.00	0.00	0.00	0.00	0.00	0.00	0.00	0.00	0.00
		My	0.00	0.00	0.00	0.00	0.00	0.00	0.00	0.00	0.00
		Mz	-0.07	-0.07	-0.06	-0.05	-0.04	-0.03	-0.02	-0.02	-0.01
	T 1	N	0.039	0.039	0.039	0.039	0.039	0.039	0.039	0.039	0.039
		Vy	1.355	1.355	1.355	1.355	1.355	1.355	1.355	1.355	1.355
		Vz	0.000	0.000	0.000	0.000	0.000	0.000	0.000	0.000	0.000
		Mt	0.00	0.00	0.00	0.00	0.00	0.00	0.00	0.00	0.00
		My	0.00	0.00	0.00	0.00	0.00	0.00	0.00	0.00	0.00
		Mz	9.27	8.08	6.89	5.71	4.52	3.34	2.15	0.96	-0.22
	T 2	N	-0.039	-0.039	-0.039	-0.039	-0.039	-0.039	-0.039	-0.039	-0.039
		Vy	-1.355	-1.355	-1.355	-1.355	-1.355	-1.355	-1.355	-1.355	-1.355
		Vz	0.000	0.000	0.000	0.000	0.000	0.000	0.000	0.000	0.000
		Mt	0.00	0.00	0.00	0.00	0.00	0.00	0.00	0.00	0.00
		My	0.00	0.00	0.00	0.00	0.00	0.00	0.00	0.00	0.00
		Mz	-9.27	-8.08	-6.89	-5.71	-4.52	-3.34	-2.15	-0.96	0.22
	T 3	N	0.117	0.117	0.117	0.117	0.117	0.117	0.117	0.117	0.117
		Vy	4.066	4.066	4.066	4.066	4.066	4.066	4.066	4.066	4.066
		Vz	0.000	0.000	0.000	0.000	0.000	0.000	0.000	0.000	0.000
		Mt	0.00	0.00	0.00	0.00	0.00	0.00	0.00	0.00	0.00
		My	0.00	0.00	0.00	0.00	0.00	0.00	0.00	0.00	0.00
		Mz	27.80	24.24	20.68	17.13	13.57	10.01	6.45	2.89	-0.67
	T 4	N	-0.117	-0.117	-0.117	-0.117	-0.117	-0.117	-0.117	-0.117	-0.117
		Vy	-4.066	-4.066	-4.066	-4.066	-4.066	-4.066	-4.066	-4.066	-4.066
		Vz	0.000	0.000	0.000	0.000	0.000	0.000	0.000	0.000	0.000
		Mt	0.00	0.00	0.00	0.00	0.00	0.00	0.00	0.00	0.00
		My	0.00	0.00	0.00	0.00	0.00	0.00	0.00	0.00	0.00
		Mz	-27.80	-24.24	-20.68	-17.13	-13.57	-10.01	-6.45	-2.89	0.67

Esfuerzos en barras, por hipótesis										
Barra	Hipótesis	Esfuerzo	Posiciones en la barra							
			0.000 m	0.875 m	1.750 m	2.625 m	3.500 m	4.375 m	5.250 m	6.125 m	7.000 m
N23/N24	Peso propio	N	-27.590	-24.157	-20.723	-17.290	-13.856	-10.423	-6.989	-3.556	-0.122
		Vy	0.007	0.007	0.007	0.007	0.007	0.007	0.007	0.007	0.007
		Vz	0.000	0.000	0.000	0.000	0.000	0.000	0.000	0.000	0.000
		Mt	0.00	0.00	0.00	0.00	0.00	0.00	0.00	0.00	0.00

Esfuerzos en barras, por hipótesis										
Barra	Hipótesis	Esfuerzo	Posiciones en la barra							
			0.000 m	0.875 m	1.750 m	2.625 m	3.500 m	4.375 m	5.250 m	6.125 m	7.000 m
		My	0.00	0.00	0.00	0.00	0.00	0.00	0.00	0.00	0.00
		Mz	-0.04	-0.04	-0.05	-0.05	-0.06	-0.07	-0.07	-0.08	-0.08
	T 1	N	-0.068	-0.068	-0.068	-0.068	-0.068	-0.068	-0.068	-0.068	-0.068
		Vy	1.574	1.574	1.574	1.574	1.574	1.574	1.574	1.574	1.574
		Vz	0.000	0.000	0.000	0.000	0.000	0.000	0.000	0.000	0.000
		Mt	0.00	0.00	0.00	0.00	0.00	0.00	0.00	0.00	0.00
		My	0.00	0.00	0.00	0.00	0.00	0.00	0.00	0.00	0.00
		Mz	10.87	9.50	8.12	6.74	5.36	3.99	2.61	1.23	-0.15
	T 2	N	0.068	0.068	0.068	0.068	0.068	0.068	0.068	0.068	0.068
		Vy	-1.574	-1.574	-1.574	-1.574	-1.574	-1.574	-1.574	-1.574	-1.574
		Vz	0.000	0.000	0.000	0.000	0.000	0.000	0.000	0.000	0.000
		Mt	0.00	0.00	0.00	0.00	0.00	0.00	0.00	0.00	0.00
		My	0.00	0.00	0.00	0.00	0.00	0.00	0.00	0.00	0.00
		Mz	-10.87	-9.50	-8.12	-6.74	-5.36	-3.99	-2.61	-1.23	0.15
	T 3	N	-0.203	-0.203	-0.203	-0.203	-0.203	-0.203	-0.203	-0.203	-0.203
		Vy	4.722	4.722	4.722	4.722	4.722	4.722	4.722	4.722	4.722
		Vz	0.000	0.000	0.000	0.000	0.000	0.000	0.000	0.000	0.000
		Mt	0.00	0.00	0.00	0.00	0.00	0.00	0.00	0.00	0.00
		My	0.00	0.00	0.00	0.00	0.00	0.00	0.00	0.00	0.00
		Mz	32.62	28.49	24.35	20.22	16.09	11.96	7.83	3.69	-0.44
	T 4	N	0.203	0.203	0.203	0.203	0.203	0.203	0.203	0.203	0.203
		Vy	-4.722	-4.722	-4.722	-4.722	-4.722	-4.722	-4.722	-4.722	-4.722
		Vz	0.000	0.000	0.000	0.000	0.000	0.000	0.000	0.000	0.000
		Mt	0.00	0.00	0.00	0.00	0.00	0.00	0.00	0.00	0.00
		My	0.00	0.00	0.00	0.00	0.00	0.00	0.00	0.00	0.00
		Mz	-32.62	-28.49	-24.35	-20.22	-16.09	-11.96	-7.83	-3.69	0.44

Esfuerzos en barras, por hipótesis										
Barra	Hipótesis	Esfuerzo	Posiciones en la barra							
			0.000 m	0.763 m	1.525 m	2.288 m	3.050 m	3.813 m	4.575 m	5.338 m	6.100 m
N2/N4	Peso propio	N	-0.012	-0.012	-0.012	-0.012	-0.012	-0.012	-0.012	-0.012	-0.012
		Vy	0.000	0.000	0.000	0.000	0.000	0.000	0.000	0.000	0.000
		Vz	-0.178	-0.133	-0.089	-0.044	0.001	0.045	0.090	0.135	0.179
		Mt	0.00	0.00	0.00	0.00	0.00	0.00	0.00	0.00	0.00
		My	-0.18	-0.06	0.02	0.07	0.09	0.07	0.02	-0.06	-0.18
		Mz	0.00	0.00	0.00	0.00	0.00	0.00	0.00	0.00	0.00
	T 1	N	-1.960	-1.960	-1.960	-1.960	-1.960	-1.960	-1.960	-1.960	-1.960
		Vy	0.000	0.000	0.000	0.000	0.000	0.000	0.000	0.000	0.000
		Vz	-0.040	-0.040	-0.040	-0.040	-0.040	-0.040	-0.040	-0.040	-0.040
		Mt	0.00	0.00	0.00	0.00	0.00	0.00	0.00	0.00	0.00
		My	-0.13	-0.10	-0.06	-0.03	0.00	0.03	0.06	0.09	0.12
		Mz	0.00	0.00	0.00	0.00	0.00	0.00	0.00	0.00	0.00
	T 2	N	1.960	1.960	1.960	1.960	1.960	1.960	1.960	1.960	1.960
		Vy	0.000	0.000	0.000	0.000	0.000	0.000	0.000	0.000	0.000
		Vz	0.040	0.040	0.040	0.040	0.040	0.040	0.040	0.040	0.040
		Mt	0.00	0.00	0.00	0.00	0.00	0.00	0.00	0.00	0.00
		My	0.13	0.10	0.06	0.03	0.00	-0.03	-0.06	-0.09	-0.12
		Mz	0.00	0.00	0.00	0.00	0.00	0.00	0.00	0.00	0.00
	T 3	N	-5.880	-5.880	-5.880	-5.880	-5.880	-5.880	-5.880	-5.880	-5.880
		Vy	0.000	0.000	0.000	0.000	0.000	0.000	0.000	0.000	0.000
		Vz	-0.120	-0.120	-0.120	-0.120	-0.120	-0.120	-0.120	-0.120	-0.120
		Mt	0.00	0.00	0.00	0.00	0.00	0.00	0.00	0.00	0.00
		My	-0.38	-0.29	-0.19	-0.10	-0.01	0.08	0.17	0.26	0.35
		Mz	0.00	0.00	0.00	0.00	0.00	0.00	0.00	0.00	0.00
	T 4	N	5.880	5.880	5.880	5.880	5.880	5.880	5.880	5.880	5.880
		Vy	0.000	0.000	0.000	0.000	0.000	0.000	0.000	0.000	0.000
		Vz	0.120	0.120	0.120	0.120	0.120	0.120	0.120	0.120	0.120

Esfuerzos en barras, por hipótesis										
Barra	Hipótesis	Esfuerzo	Posiciones en la barra							
			0.000 m	0.763 m	1.525 m	2.288 m	3.050 m	3.813 m	4.575 m	5.338 m	6.100 m
		Mt	0.00	0.00	0.00	0.00	0.00	0.00	0.00	0.00	0.00
		My	0.38	0.29	0.19	0.10	0.01	-0.08	-0.17	-0.26	-0.35
		Mz	0.00	0.00	0.00	0.00	0.00	0.00	0.00	0.00	0.00

Esfuerzos en barras, por hipótesis										
Barra	Hipótesis	Esfuerzo	Posiciones en la barra							
			0.000 m	0.737 m	1.475 m	2.212 m	2.950 m	3.687 m	4.425 m	5.162 m	5.900 m
N4/N6	Peso propio	N	0.016	0.016	0.016	0.016	0.016	0.016	0.016	0.016	0.016
		Vy	0.000	0.000	0.000	0.000	0.000	0.000	0.000	0.000	0.000
		Vz	-0.173	-0.130	-0.087	-0.043	0.000	0.043	0.086	0.129	0.172
		Mt	0.00	0.00	0.00	0.00	0.00	0.00	0.00	0.00	0.00
		My	-0.17	-0.06	0.02	0.07	0.09	0.07	0.02	-0.06	-0.17
		Mz	0.00	0.00	0.00	0.00	0.00	0.00	0.00	0.00	0.00
	T 1	N	-3.601	-3.601	-3.601	-3.601	-3.601	-3.601	-3.601	-3.601	-3.601
		Vy	0.000	0.000	0.000	0.000	0.000	0.000	0.000	0.000	0.000
		Vz	-0.019	-0.019	-0.019	-0.019	-0.019	-0.019	-0.019	-0.019	-0.019
		Mt	0.00	0.00	0.00	0.00	0.00	0.00	0.00	0.00	0.00
		My	-0.08	-0.06	-0.05	-0.03	-0.02	0.00	0.01	0.02	0.04
		Mz	0.00	0.00	0.00	0.00	0.00	0.00	0.00	0.00	0.00
	T 2	N	3.601	3.601	3.601	3.601	3.601	3.601	3.601	3.601	3.601
		Vy	0.000	0.000	0.000	0.000	0.000	0.000	0.000	0.000	0.000
		Vz	0.019	0.019	0.019	0.019	0.019	0.019	0.019	0.019	0.019
		Mt	0.00	0.00	0.00	0.00	0.00	0.00	0.00	0.00	0.00
		My	0.08	0.06	0.05	0.03	0.02	0.00	-0.01	-0.02	-0.04
		Mz	0.00	0.00	0.00	0.00	0.00	0.00	0.00	0.00	0.00
	T 3	N	-10.804	-10.804	-10.804	-10.804	-10.804	-10.804	-10.804	-10.804	-10.804
		Vy	0.000	0.000	0.000	0.000	0.000	0.000	0.000	0.000	0.000
		Vz	-0.058	-0.058	-0.058	-0.058	-0.058	-0.058	-0.058	-0.058	-0.058
		Mt	0.00	0.00	0.00	0.00	0.00	0.00	0.00	0.00	0.00
		My	-0.23	-0.19	-0.14	-0.10	-0.06	-0.01	0.03	0.07	0.11
		Mz	0.00	0.00	0.00	0.00	0.00	0.00	0.00	0.00	0.00
	T 4	N	10.804	10.804	10.804	10.804	10.804	10.804	10.804	10.804	10.804
		Vy	0.000	0.000	0.000	0.000	0.000	0.000	0.000	0.000	0.000
		Vz	0.058	0.058	0.058	0.058	0.058	0.058	0.058	0.058	0.058
		Mt	0.00	0.00	0.00	0.00	0.00	0.00	0.00	0.00	0.00
		My	0.23	0.19	0.14	0.10	0.06	0.01	-0.03	-0.07	-0.11
		Mz	0.00	0.00	0.00	0.00	0.00	0.00	0.00	0.00	0.00

Esfuerzos en barras, por hipótesis										
Barra	Hipótesis	Esfuerzo	Posiciones en la barra							
			0.000 m	0.800 m	1.600 m	2.400 m	3.200 m	4.000 m	4.800 m	5.600 m	6.400 m
N6/N8	Peso propio	N	-0.476	-0.476	-0.476	-0.476	-0.476	-0.476	-0.476	-0.476	-0.476
		Vy	0.000	0.000	0.000	0.000	0.000	0.000	0.000	0.000	0.000
		Vz	-0.188	-0.141	-0.094	-0.047	0.000	0.046	0.093	0.140	0.187
		Mt	0.00	0.00	0.00	0.00	0.00	0.00	0.00	0.00	0.00
		My	-0.20	-0.07	0.02	0.08	0.10	0.08	0.03	-0.07	-0.20
		Mz	0.00	0.00	0.00	0.00	0.00	0.00	0.00	0.00	0.00
	T 1	N	0.607	0.607	0.607	0.607	0.607	0.607	0.607	0.607	0.607
		Vy	0.000	0.000	0.000	0.000	0.000	0.000	0.000	0.000	0.000
		Vz	-0.002	-0.002	-0.002	-0.002	-0.002	-0.002	-0.002	-0.002	-0.002
		Mt	0.00	0.00	0.00	0.00	0.00	0.00	0.00	0.00	0.00
		My	0.00	0.00	0.00	0.00	0.00	0.00	0.01	0.01	0.01
		Mz	0.00	0.00	0.00	0.00	0.00	0.00	0.00	0.00	0.00
	T 2	N	-0.607	-0.607	-0.607	-0.607	-0.607	-0.607	-0.607	-0.607	-0.607
		Vy	0.000	0.000	0.000	0.000	0.000	0.000	0.000	0.000	0.000
		Vz	0.002	0.002	0.002	0.002	0.002	0.002	0.002	0.002	0.002

Esfuerzos en barras, por hipótesis										
Barra	Hipótesis	Esfuerzo	Posiciones en la barra							
			0.000 m	0.800 m	1.600 m	2.400 m	3.200 m	4.000 m	4.800 m	5.600 m	6.400 m
		Mt	0.00	0.00	0.00	0.00	0.00	0.00	0.00	0.00	0.00
		My	0.00	0.00	0.00	0.00	0.00	0.00	-0.01	-0.01	-0.01
		Mz	0.00	0.00	0.00	0.00	0.00	0.00	0.00	0.00	0.00
	T 3	N	1.822	1.822	1.822	1.822	1.822	1.822	1.822	1.822	1.822
		Vy	0.000	0.000	0.000	0.000	0.000	0.000	0.000	0.000	0.000
		Vz	-0.007	-0.007	-0.007	-0.007	-0.007	-0.007	-0.007	-0.007	-0.007
		Mt	0.00	0.00	0.00	0.00	0.00	0.00	0.00	0.00	0.00
		My	-0.01	-0.01	0.00	0.00	0.01	0.01	0.02	0.02	0.03
		Mz	0.00	0.00	0.00	0.00	0.00	0.00	0.00	0.00	0.00
	T 4	N	-1.822	-1.822	-1.822	-1.822	-1.822	-1.822	-1.822	-1.822	-1.822
		Vy	0.000	0.000	0.000	0.000	0.000	0.000	0.000	0.000	0.000
		Vz	0.007	0.007	0.007	0.007	0.007	0.007	0.007	0.007	0.007
		Mt	0.00	0.00	0.00	0.00	0.00	0.00	0.00	0.00	0.00
		My	0.01	0.01	0.00	0.00	-0.01	-0.01	-0.02	-0.02	-0.03
		Mz	0.00	0.00	0.00	0.00	0.00	0.00	0.00	0.00	0.00

Esfuerzos en barras, por hipótesis										
Barra	Hipótesis	Esfuerzo	Posiciones en la barra							
			0.000 m	0.806 m	1.612 m	2.419 m	3.225 m	4.031 m	4.837 m	5.644 m	6.450 m
N8/N10	Peso propio	N	-0.477	-0.477	-0.477	-0.477	-0.477	-0.477	-0.477	-0.477	-0.477
		Vy	0.000	0.000	0.000	0.000	0.000	0.000	0.000	0.000	0.000
		Vz	-0.188	-0.141	-0.094	-0.047	0.000	0.048	0.095	0.142	0.189
		Mt	0.00	0.00	0.00	0.00	0.00	0.00	0.00	0.00	0.00
		My	-0.20	-0.07	0.03	0.08	0.10	0.08	0.02	-0.07	-0.20
		Mz	0.00	0.00	0.00	0.00	0.00	0.00	0.00	0.00	0.00
	T 1	N	1.956	1.956	1.956	1.956	1.956	1.956	1.956	1.956	1.956
		Vy	0.000	0.000	0.000	0.000	0.000	0.000	0.000	0.000	0.000
		Vz	-0.004	-0.004	-0.004	-0.004	-0.004	-0.004	-0.004	-0.004	-0.004
		Mt	0.00	0.00	0.00	0.00	0.00	0.00	0.00	0.00	0.00
		My	-0.01	-0.01	-0.01	0.00	0.00	0.00	0.01	0.01	0.01
		Mz	0.00	0.00	0.00	0.00	0.00	0.00	0.00	0.00	0.00
	T 2	N	-1.956	-1.956	-1.956	-1.956	-1.956	-1.956	-1.956	-1.956	-1.956
		Vy	0.000	0.000	0.000	0.000	0.000	0.000	0.000	0.000	0.000
		Vz	0.004	0.004	0.004	0.004	0.004	0.004	0.004	0.004	0.004
		Mt	0.00	0.00	0.00	0.00	0.00	0.00	0.00	0.00	0.00
		My	0.01	0.01	0.01	0.00	0.00	0.00	-0.01	-0.01	-0.01
		Mz	0.00	0.00	0.00	0.00	0.00	0.00	0.00	0.00	0.00
	T 3	N	5.868	5.868	5.868	5.868	5.868	5.868	5.868	5.868	5.868
		Vy	0.000	0.000	0.000	0.000	0.000	0.000	0.000	0.000	0.000
		Vz	-0.011	-0.011	-0.011	-0.011	-0.011	-0.011	-0.011	-0.011	-0.011
		Mt	0.00	0.00	0.00	0.00	0.00	0.00	0.00	0.00	0.00
		My	-0.04	-0.03	-0.02	-0.01	0.00	0.01	0.02	0.02	0.03
		Mz	0.00	0.00	0.00	0.00	0.00	0.00	0.00	0.00	0.00
	T 4	N	-5.868	-5.868	-5.868	-5.868	-5.868	-5.868	-5.868	-5.868	-5.868
		Vy	0.000	0.000	0.000	0.000	0.000	0.000	0.000	0.000	0.000
		Vz	0.011	0.011	0.011	0.011	0.011	0.011	0.011	0.011	0.011
		Mt	0.00	0.00	0.00	0.00	0.00	0.00	0.00	0.00	0.00
		My	0.04	0.03	0.02	0.01	0.00	-0.01	-0.02	-0.02	-0.03
		Mz	0.00	0.00	0.00	0.00	0.00	0.00	0.00	0.00	0.00

Esfuerzos en barras, por hipótesis										
Barra	Hipótesis	Esfuerzo	Posiciones en la barra							
			0.000 m	0.575 m	1.150 m	1.725 m	2.300 m	2.875 m	3.450 m	4.025 m	4.600 m
N10/N12	Peso propio	N	-0.239	-0.239	-0.239	-0.239	-0.239	-0.239	-0.239	-0.239	-0.239
		Vy	0.000	0.000	0.000	0.000	0.000	0.000	0.000	0.000	0.000

Esfuerzos en barras, por hipótesis										
Barra	Hipótesis	Esfuerzo	Posiciones en la barra							
			0.000 m	0.575 m	1.150 m	1.725 m	2.300 m	2.875 m	3.450 m	4.025 m	4.600 m
		Vz	-0.134	-0.100	-0.067	-0.033	0.001	0.034	0.068	0.102	0.135
		Mt	0.00	0.00	0.00	0.00	0.00	0.00	0.00	0.00	0.00
		My	-0.10	-0.03	0.01	0.04	0.05	0.04	0.01	-0.04	-0.10
		Mz	0.00	0.00	0.00	0.00	0.00	0.00	0.00	0.00	0.00
	T 1	N	2.704	2.704	2.704	2.704	2.704	2.704	2.704	2.704	2.704
		Vy	0.000	0.000	0.000	0.000	0.000	0.000	0.000	0.000	0.000
		Vz	-0.004	-0.004	-0.004	-0.004	-0.004	-0.004	-0.004	-0.004	-0.004
		Mt	0.00	0.00	0.00	0.00	0.00	0.00	0.00	0.00	0.00
		My	-0.01	-0.01	-0.01	0.00	0.00	0.00	0.00	0.01	0.01
		Mz	0.00	0.00	0.00	0.00	0.00	0.00	0.00	0.00	0.00
	T 2	N	-2.704	-2.704	-2.704	-2.704	-2.704	-2.704	-2.704	-2.704	-2.704
		Vy	0.000	0.000	0.000	0.000	0.000	0.000	0.000	0.000	0.000
		Vz	0.004	0.004	0.004	0.004	0.004	0.004	0.004	0.004	0.004
		Mt	0.00	0.00	0.00	0.00	0.00	0.00	0.00	0.00	0.00
		My	0.01	0.01	0.01	0.00	0.00	0.00	0.00	-0.01	-0.01
		Mz	0.00	0.00	0.00	0.00	0.00	0.00	0.00	0.00	0.00
	T 3	N	8.113	8.113	8.113	8.113	8.113	8.113	8.113	8.113	8.113
		Vy	0.000	0.000	0.000	0.000	0.000	0.000	0.000	0.000	0.000
		Vz	-0.012	-0.012	-0.012	-0.012	-0.012	-0.012	-0.012	-0.012	-0.012
		Mt	0.00	0.00	0.00	0.00	0.00	0.00	0.00	0.00	0.00
		My	-0.03	-0.03	-0.02	-0.01	0.00	0.00	0.01	0.02	0.02
		Mz	0.00	0.00	0.00	0.00	0.00	0.00	0.00	0.00	0.00
	T 4	N	-8.113	-8.113	-8.113	-8.113	-8.113	-8.113	-8.113	-8.113	-8.113
		Vy	0.000	0.000	0.000	0.000	0.000	0.000	0.000	0.000	0.000
		Vz	0.012	0.012	0.012	0.012	0.012	0.012	0.012	0.012	0.012
		Mt	0.00	0.00	0.00	0.00	0.00	0.00	0.00	0.00	0.00
		My	0.03	0.03	0.02	0.01	0.00	0.00	-0.01	-0.02	-0.02
		Mz	0.00	0.00	0.00	0.00	0.00	0.00	0.00	0.00	0.00

Esfuerzos en barras, por hipótesis										
Barra	Hipótesis	Esfuerzo	Posiciones en la barra							
			0.000 m	0.575 m	1.150 m	1.725 m	2.300 m	2.875 m	3.450 m	4.025 m	4.600 m
N12/N14	Peso propio	N	-0.244	-0.244	-0.244	-0.244	-0.244	-0.244	-0.244	-0.244	-0.244
		Vy	0.000	0.000	0.000	0.000	0.000	0.000	0.000	0.000	0.000
		Vz	-0.135	-0.101	-0.067	-0.034	0.000	0.034	0.067	0.101	0.135
		Mt	0.00	0.00	0.00	0.00	0.00	0.00	0.00	0.00	0.00
		My	-0.10	-0.04	0.01	0.04	0.05	0.04	0.01	-0.04	-0.10
		Mz	0.00	0.00	0.00	0.00	0.00	0.00	0.00	0.00	0.00
	T 1	N	2.885	2.885	2.885	2.885	2.885	2.885	2.885	2.885	2.885
		Vy	0.000	0.000	0.000	0.000	0.000	0.000	0.000	0.000	0.000
		Vz	0.000	0.000	0.000	0.000	0.000	0.000	0.000	0.000	0.000
		Mt	0.00	0.00	0.00	0.00	0.00	0.00	0.00	0.00	0.00
		My	0.00	0.00	0.00	0.00	0.00	0.00	0.00	0.00	0.00
		Mz	0.00	0.00	0.00	0.00	0.00	0.00	0.00	0.00	0.00
	T 2	N	-2.885	-2.885	-2.885	-2.885	-2.885	-2.885	-2.885	-2.885	-2.885
		Vy	0.000	0.000	0.000	0.000	0.000	0.000	0.000	0.000	0.000
		Vz	0.000	0.000	0.000	0.000	0.000	0.000	0.000	0.000	0.000
		Mt	0.00	0.00	0.00	0.00	0.00	0.00	0.00	0.00	0.00
		My	0.00	0.00	0.00	0.00	0.00	0.00	0.00	0.00	0.00
		Mz	0.00	0.00	0.00	0.00	0.00	0.00	0.00	0.00	0.00
	T 3	N	8.655	8.655	8.655	8.655	8.655	8.655	8.655	8.655	8.655
		Vy	0.000	0.000	0.000	0.000	0.000	0.000	0.000	0.000	0.000
		Vz	0.000	0.000	0.000	0.000	0.000	0.000	0.000	0.000	0.000
		Mt	0.00	0.00	0.00	0.00	0.00	0.00	0.00	0.00	0.00
		My	-0.01	-0.01	-0.01	-0.01	-0.01	0.00	0.00	0.00	0.00
		Mz	0.00	0.00	0.00	0.00	0.00	0.00	0.00	0.00	0.00
	T 4	N	-8.655	-8.655	-8.655	-8.655	-8.655	-8.655	-8.655	-8.655	-8.655

Esfuerzos en barras, por hipótesis										
Barra	Hipótesis	Esfuerzo	Posiciones en la barra							
			0.000 m	0.575 m	1.150 m	1.725 m	2.300 m	2.875 m	3.450 m	4.025 m	4.600 m
		Vy	0.000	0.000	0.000	0.000	0.000	0.000	0.000	0.000	0.000
		Vz	0.000	0.000	0.000	0.000	0.000	0.000	0.000	0.000	0.000
		Mt	0.00	0.00	0.00	0.00	0.00	0.00	0.00	0.00	0.00
		My	0.01	0.01	0.01	0.01	0.01	0.00	0.00	0.00	0.00
		Mz	0.00	0.00	0.00	0.00	0.00	0.00	0.00	0.00	0.00

Esfuerzos en barras, por hipótesis										
Barra	Hipótesis	Esfuerzo	Posiciones en la barra							
			0.000 m	0.575 m	1.150 m	1.725 m	2.300 m	2.875 m	3.450 m	4.025 m	4.600 m
N14/N16	Peso propio	N	-0.241	-0.241	-0.241	-0.241	-0.241	-0.241	-0.241	-0.241	-0.241
		Vy	0.000	0.000	0.000	0.000	0.000	0.000	0.000	0.000	0.000
		Vz	-0.135	-0.101	-0.067	-0.034	0.000	0.034	0.067	0.101	0.135
		Mt	0.00	0.00	0.00	0.00	0.00	0.00	0.00	0.00	0.00
		My	-0.10	-0.04	0.01	0.04	0.05	0.04	0.01	-0.04	-0.10
		Mz	0.00	0.00	0.00	0.00	0.00	0.00	0.00	0.00	0.00
	T 1	N	2.625	2.625	2.625	2.625	2.625	2.625	2.625	2.625	2.625
		Vy	0.000	0.000	0.000	0.000	0.000	0.000	0.000	0.000	0.000
		Vz	0.004	0.004	0.004	0.004	0.004	0.004	0.004	0.004	0.004
		Mt	0.00	0.00	0.00	0.00	0.00	0.00	0.00	0.00	0.00
		My	0.01	0.01	0.00	0.00	0.00	0.00	-0.01	-0.01	-0.01
		Mz	0.00	0.00	0.00	0.00	0.00	0.00	0.00	0.00	0.00
	T 2	N	-2.625	-2.625	-2.625	-2.625	-2.625	-2.625	-2.625	-2.625	-2.625
		Vy	0.000	0.000	0.000	0.000	0.000	0.000	0.000	0.000	0.000
		Vz	-0.004	-0.004	-0.004	-0.004	-0.004	-0.004	-0.004	-0.004	-0.004
		Mt	0.00	0.00	0.00	0.00	0.00	0.00	0.00	0.00	0.00
		My	-0.01	-0.01	0.00	0.00	0.00	0.00	0.01	0.01	0.01
		Mz	0.00	0.00	0.00	0.00	0.00	0.00	0.00	0.00	0.00
	T 3	N	7.876	7.876	7.876	7.876	7.876	7.876	7.876	7.876	7.876
		Vy	0.000	0.000	0.000	0.000	0.000	0.000	0.000	0.000	0.000
		Vz	0.012	0.012	0.012	0.012	0.012	0.012	0.012	0.012	0.012
		Mt	0.00	0.00	0.00	0.00	0.00	0.00	0.00	0.00	0.00
		My	0.02	0.02	0.01	0.00	0.00	-0.01	-0.02	-0.02	-0.03
		Mz	0.00	0.00	0.00	0.00	0.00	0.00	0.00	0.00	0.00
	T 4	N	-7.876	-7.876	-7.876	-7.876	-7.876	-7.876	-7.876	-7.876	-7.876
		Vy	0.000	0.000	0.000	0.000	0.000	0.000	0.000	0.000	0.000
		Vz	-0.012	-0.012	-0.012	-0.012	-0.012	-0.012	-0.012	-0.012	-0.012
		Mt	0.00	0.00	0.00	0.00	0.00	0.00	0.00	0.00	0.00
		My	-0.02	-0.02	-0.01	0.00	0.00	0.01	0.02	0.02	0.03
		Mz	0.00	0.00	0.00	0.00	0.00	0.00	0.00	0.00	0.00

Esfuerzos en barras, por hipótesis										
Barra	Hipótesis	Esfuerzo	Posiciones en la barra							
			0.000 m	0.575 m	1.150 m	1.725 m	2.300 m	2.875 m	3.450 m	4.025 m	4.600 m
N16/N18	Peso propio	N	-0.237	-0.237	-0.237	-0.237	-0.237	-0.237	-0.237	-0.237	-0.237
		Vy	0.000	0.000	0.000	0.000	0.000	0.000	0.000	0.000	0.000
		Vz	-0.135	-0.101	-0.067	-0.034	0.000	0.034	0.067	0.101	0.134
		Mt	0.00	0.00	0.00	0.00	0.00	0.00	0.00	0.00	0.00
		My	-0.10	-0.04	0.01	0.04	0.05	0.04	0.01	-0.04	-0.10
		Mz	0.00	0.00	0.00	0.00	0.00	0.00	0.00	0.00	0.00
	T 1	N	1.852	1.852	1.852	1.852	1.852	1.852	1.852	1.852	1.852
		Vy	0.000	0.000	0.000	0.000	0.000	0.000	0.000	0.000	0.000
		Vz	0.007	0.007	0.007	0.007	0.007	0.007	0.007	0.007	0.007
		Mt	0.00	0.00	0.00	0.00	0.00	0.00	0.00	0.00	0.00
		My	0.01	0.01	0.01	0.00	0.00	0.00	-0.01	-0.01	-0.02
		Mz	0.00	0.00	0.00	0.00	0.00	0.00	0.00	0.00	0.00
	T 2	N	-1.852	-1.852	-1.852	-1.852	-1.852	-1.852	-1.852	-1.852	-1.852

Esfuerzos en barras, por hipótesis										
Barra	Hipótesis	Esfuerzo	Posiciones en la barra							
			0.000 m	0.575 m	1.150 m	1.725 m	2.300 m	2.875 m	3.450 m	4.025 m	4.600 m
		Vy	0.000	0.000	0.000	0.000	0.000	0.000	0.000	0.000	0.000
		Vz	-0.007	-0.007	-0.007	-0.007	-0.007	-0.007	-0.007	-0.007	-0.007
		Mt	0.00	0.00	0.00	0.00	0.00	0.00	0.00	0.00	0.00
		My	-0.01	-0.01	-0.01	0.00	0.00	0.00	0.01	0.01	0.02
		Mz	0.00	0.00	0.00	0.00	0.00	0.00	0.00	0.00	0.00
	T 3	N	5.555	5.555	5.555	5.555	5.555	5.555	5.555	5.555	5.555
		Vy	0.000	0.000	0.000	0.000	0.000	0.000	0.000	0.000	0.000
		Vz	0.020	0.020	0.020	0.020	0.020	0.020	0.020	0.020	0.020
		Mt	0.00	0.00	0.00	0.00	0.00	0.00	0.00	0.00	0.00
		My	0.04	0.03	0.02	0.01	0.00	-0.01	-0.02	-0.04	-0.05
		Mz	0.00	0.00	0.00	0.00	0.00	0.00	0.00	0.00	0.00
	T 4	N	-5.555	-5.555	-5.555	-5.555	-5.555	-5.555	-5.555	-5.555	-5.555
		Vy	0.000	0.000	0.000	0.000	0.000	0.000	0.000	0.000	0.000
		Vz	-0.020	-0.020	-0.020	-0.020	-0.020	-0.020	-0.020	-0.020	-0.020
		Mt	0.00	0.00	0.00	0.00	0.00	0.00	0.00	0.00	0.00
		My	-0.04	-0.03	-0.02	-0.01	0.00	0.01	0.02	0.04	0.05
		Mz	0.00	0.00	0.00	0.00	0.00	0.00	0.00	0.00	0.00

Esfuerzos en barras, por hipótesis										
Barra	Hipótesis	Esfuerzo	Posiciones en la barra							
			0.000 m	0.575 m	1.150 m	1.725 m	2.300 m	2.875 m	3.450 m	4.025 m	4.600 m
N18/N20	Peso propio	N	-0.243	-0.243	-0.243	-0.243	-0.243	-0.243	-0.243	-0.243	-0.243
		Vy	0.000	0.000	0.000	0.000	0.000	0.000	0.000	0.000	0.000
		Vz	-0.134	-0.101	-0.067	-0.033	0.000	0.034	0.068	0.101	0.135
		Mt	0.00	0.00	0.00	0.00	0.00	0.00	0.00	0.00	0.00
		My	-0.10	-0.04	0.01	0.04	0.05	0.04	0.01	-0.04	-0.10
		Mz	0.00	0.00	0.00	0.00	0.00	0.00	0.00	0.00	0.00
	T 1	N	0.400	0.400	0.400	0.400	0.400	0.400	0.400	0.400	0.400
		Vy	0.000	0.000	0.000	0.000	0.000	0.000	0.000	0.000	0.000
		Vz	0.004	0.004	0.004	0.004	0.004	0.004	0.004	0.004	0.004
		Mt	0.00	0.00	0.00	0.00	0.00	0.00	0.00	0.00	0.00
		My	0.01	0.01	0.01	0.00	0.00	0.00	0.00	0.00	-0.01
		Mz	0.00	0.00	0.00	0.00	0.00	0.00	0.00	0.00	0.00
	T 2	N	-0.400	-0.400	-0.400	-0.400	-0.400	-0.400	-0.400	-0.400	-0.400
		Vy	0.000	0.000	0.000	0.000	0.000	0.000	0.000	0.000	0.000
		Vz	-0.004	-0.004	-0.004	-0.004	-0.004	-0.004	-0.004	-0.004	-0.004
		Mt	0.00	0.00	0.00	0.00	0.00	0.00	0.00	0.00	0.00
		My	-0.01	-0.01	-0.01	0.00	0.00	0.00	0.00	0.00	0.01
		Mz	0.00	0.00	0.00	0.00	0.00	0.00	0.00	0.00	0.00
	T 3	N	1.201	1.201	1.201	1.201	1.201	1.201	1.201	1.201	1.201
		Vy	0.000	0.000	0.000	0.000	0.000	0.000	0.000	0.000	0.000
		Vz	0.012	0.012	0.012	0.012	0.012	0.012	0.012	0.012	0.012
		Mt	0.00	0.00	0.00	0.00	0.00	0.00	0.00	0.00	0.00
		My	0.04	0.03	0.02	0.01	0.01	0.00	-0.01	-0.01	-0.02
		Mz	0.00	0.00	0.00	0.00	0.00	0.00	0.00	0.00	0.00
	T 4	N	-1.201	-1.201	-1.201	-1.201	-1.201	-1.201	-1.201	-1.201	-1.201
		Vy	0.000	0.000	0.000	0.000	0.000	0.000	0.000	0.000	0.000
		Vz	-0.012	-0.012	-0.012	-0.012	-0.012	-0.012	-0.012	-0.012	-0.012
		Mt	0.00	0.00	0.00	0.00	0.00	0.00	0.00	0.00	0.00
		My	-0.04	-0.03	-0.02	-0.01	-0.01	0.00	0.01	0.01	0.02
		Mz	0.00	0.00	0.00	0.00	0.00	0.00	0.00	0.00	0.00

Esfuerzos en barras, por hipótesis										
Barra	Hipótesis	Esfuerzo	Posiciones en la barra							
			0.000 m	0.550 m	1.100 m	1.650 m	2.200 m	2.750 m	3.300 m	3.850 m	4.400 m
N20/N22	Peso propio	N	0.003	0.003	0.003	0.003	0.003	0.003	0.003	0.003	0.003
		Vy	0.000	0.000	0.000	0.000	0.000	0.000	0.000	0.000	0.000
		Vz	-0.128	-0.096	-0.064	-0.032	0.000	0.033	0.065	0.097	0.129
		Mt	0.00	0.00	0.00	0.00	0.00	0.00	0.00	0.00	0.00
		My	-0.09	-0.03	0.01	0.04	0.05	0.04	0.01	-0.03	-0.09
		Mz	0.00	0.00	0.00	0.00	0.00	0.00	0.00	0.00	0.00
	T 1	N	-2.930	-2.930	-2.930	-2.930	-2.930	-2.930	-2.930	-2.930	-2.930
		Vy	0.000	0.000	0.000	0.000	0.000	0.000	0.000	0.000	0.000
		Vz	0.029	0.029	0.029	0.029	0.029	0.029	0.029	0.029	0.029
		Mt	0.00	0.00	0.00	0.00	0.00	0.00	0.00	0.00	0.00
		My	0.04	0.03	0.01	0.00	-0.02	-0.04	-0.05	-0.07	-0.08
		Mz	0.00	0.00	0.00	0.00	0.00	0.00	0.00	0.00	0.00
	T 2	N	2.930	2.930	2.930	2.930	2.930	2.930	2.930	2.930	2.930
		Vy	0.000	0.000	0.000	0.000	0.000	0.000	0.000	0.000	0.000
		Vz	-0.029	-0.029	-0.029	-0.029	-0.029	-0.029	-0.029	-0.029	-0.029
		Mt	0.00	0.00	0.00	0.00	0.00	0.00	0.00	0.00	0.00
		My	-0.04	-0.03	-0.01	0.00	0.02	0.04	0.05	0.07	0.08
		Mz	0.00	0.00	0.00	0.00	0.00	0.00	0.00	0.00	0.00
	T 3	N	-8.789	-8.789	-8.789	-8.789	-8.789	-8.789	-8.789	-8.789	-8.789
		Vy	0.000	0.000	0.000	0.000	0.000	0.000	0.000	0.000	0.000
		Vz	0.086	0.086	0.086	0.086	0.086	0.086	0.086	0.086	0.086
		Mt	0.00	0.00	0.00	0.00	0.00	0.00	0.00	0.00	0.00
		My	0.13	0.08	0.03	-0.01	-0.06	-0.11	-0.16	-0.20	-0.25
		Mz	0.00	0.00	0.00	0.00	0.00	0.00	0.00	0.00	0.00
	T 4	N	8.789	8.789	8.789	8.789	8.789	8.789	8.789	8.789	8.789
		Vy	0.000	0.000	0.000	0.000	0.000	0.000	0.000	0.000	0.000
		Vz	-0.086	-0.086	-0.086	-0.086	-0.086	-0.086	-0.086	-0.086	-0.086
		Mt	0.00	0.00	0.00	0.00	0.00	0.00	0.00	0.00	0.00
		My	-0.13	-0.08	-0.03	0.01	0.06	0.11	0.16	0.20	0.25
		Mz	0.00	0.00	0.00	0.00	0.00	0.00	0.00	0.00	0.00

Esfuerzos en barras, por hipótesis										
Barra	Hipótesis	Esfuerzo	Posiciones en la barra							
			0.000 m	0.525 m	1.050 m	1.575 m	2.100 m	2.625 m	3.150 m	3.675 m	4.200 m
N22/N24	Peso propio	N	-0.007	-0.007	-0.007	-0.007	-0.007	-0.007	-0.007	-0.007	-0.007
		Vy	0.000	0.000	0.000	0.000	0.000	0.000	0.000	0.000	0.000
		Vz	-0.124	-0.093	-0.062	-0.031	-0.001	0.030	0.061	0.091	0.122
		Mt	0.00	0.00	0.00	0.00	0.00	0.00	0.00	0.00	0.00
		My	-0.09	-0.03	0.01	0.03	0.04	0.04	0.01	-0.03	-0.08
		Mz	0.00	0.00	0.00	0.00	0.00	0.00	0.00	0.00	0.00
	T 1	N	-1.574	-1.574	-1.574	-1.574	-1.574	-1.574	-1.574	-1.574	-1.574
		Vy	0.000	0.000	0.000	0.000	0.000	0.000	0.000	0.000	0.000
		Vz	0.068	0.068	0.068	0.068	0.068	0.068	0.068	0.068	0.068
		Mt	0.00	0.00	0.00	0.00	0.00	0.00	0.00	0.00	0.00
		My	0.14	0.10	0.07	0.03	0.00	-0.04	-0.08	-0.11	-0.15
		Mz	0.00	0.00	0.00	0.00	0.00	0.00	0.00	0.00	0.00
	T 2	N	1.574	1.574	1.574	1.574	1.574	1.574	1.574	1.574	1.574
		Vy	0.000	0.000	0.000	0.000	0.000	0.000	0.000	0.000	0.000
		Vz	-0.068	-0.068	-0.068	-0.068	-0.068	-0.068	-0.068	-0.068	-0.068
		Mt	0.00	0.00	0.00	0.00	0.00	0.00	0.00	0.00	0.00
		My	-0.14	-0.10	-0.07	-0.03	0.00	0.04	0.08	0.11	0.15
		Mz	0.00	0.00	0.00	0.00	0.00	0.00	0.00	0.00	0.00
	T 3	N	-4.722	-4.722	-4.722	-4.722	-4.722	-4.722	-4.722	-4.722	-4.722
		Vy	0.000	0.000	0.000	0.000	0.000	0.000	0.000	0.000	0.000
		Vz	0.203	0.203	0.203	0.203	0.203	0.203	0.203	0.203	0.203
		Mt	0.00	0.00	0.00	0.00	0.00	0.00	0.00	0.00	0.00
		My	0.41	0.31	0.20	0.09	-0.01	-0.12	-0.23	-0.33	-0.44

Esfuerzos en barras, por hipótesis										
Barra	Hipótesis	Esfuerzo	Posiciones en la barra								
			0.000 m	0.525 m	1.050 m	1.575 m	2.100 m	2.625 m	3.150 m	3.675 m	4.200 m
		Mz	0.00	0.00	0.00	0.00	0.00	0.00	0.00	0.00	0.00
	T 4	N	4.722	4.722	4.722	4.722	4.722	4.722	4.722	4.722	4.722
		Vy	0.000	0.000	0.000	0.000	0.000	0.000	0.000	0.000	0.000
		Vz	-0.203	-0.203	-0.203	-0.203	-0.203	-0.203	-0.203	-0.203	-0.203
		Mt	0.00	0.00	0.00	0.00	0.00	0.00	0.00	0.00	0.00
		My	-0.41	-0.31	-0.20	-0.09	0.01	0.12	0.23	0.33	0.44
		Mz	0.00	0.00	0.00	0.00	0.00	0.00	0.00	0.00	0.00

Esfuerzos en barras, por hipótesis										
Barra	Hipótesis	Esfuerzo	Posiciones en la barra								
			0.000 m	0.800 m	1.600 m	2.400 m	3.200 m	4.000 m	4.800 m	5.600 m	6.400 m
N25/N27	Peso propio	N	-3.900	-3.900	-3.900	-3.900	-3.900	-3.900	-3.900	-3.900	-3.900
		Vy	0.000	0.000	0.000	0.000	0.000	0.000	0.000	0.000	0.000
		Vz	-9.185	-6.831	-4.477	-2.122	0.232	2.587	4.941	7.295	9.650
		Mt	0.00	0.00	0.00	0.00	0.00	0.00	0.00	0.00	0.00
		My	-9.08	-2.67	1.85	4.49	5.24	4.12	1.11	-3.79	-10.57
		Mz	0.00	0.00	0.00	0.00	0.00	0.00	0.00	0.00	0.00
	T 1	N	-65.845	-65.845	-65.845	-65.845	-65.845	-65.845	-65.845	-65.845	-65.845
		Vy	0.000	0.000	0.000	0.000	0.000	0.000	0.000	0.000	0.000
		Vz	-3.968	-3.968	-3.968	-3.968	-3.968	-3.968	-3.968	-3.968	-3.968
		Mt	0.00	0.00	0.00	0.00	0.00	0.00	0.00	0.00	0.00
		My	-14.03	-10.86	-7.68	-4.51	-1.33	1.84	5.02	8.19	11.37
		Mz	0.00	0.00	0.00	0.00	0.00	0.00	0.00	0.00	0.00
	T 2	N	65.845	65.845	65.845	65.845	65.845	65.845	65.845	65.845	65.845
		Vy	0.000	0.000	0.000	0.000	0.000	0.000	0.000	0.000	0.000
		Vz	3.968	3.968	3.968	3.968	3.968	3.968	3.968	3.968	3.968
		Mt	0.00	0.00	0.00	0.00	0.00	0.00	0.00	0.00	0.00
		My	14.03	10.86	7.68	4.51	1.33	-1.84	-5.02	-8.19	-11.37
		Mz	0.00	0.00	0.00	0.00	0.00	0.00	0.00	0.00	0.00
	T 3	N	-197.535	-197.535	-197.535	-197.535	-197.535	-197.535	-197.535	-197.535	-197.535
		Vy	0.000	0.000	0.000	0.000	0.000	0.000	0.000	0.000	0.000
		Vz	-11.905	-11.905	-11.905	-11.905	-11.905	-11.905	-11.905	-11.905	-11.905
		Mt	0.00	0.00	0.00	0.00	0.00	0.00	0.00	0.00	0.00
		My	-42.09	-32.57	-23.04	-13.52	-3.99	5.53	15.05	24.58	34.10
		Mz	0.00	0.00	0.00	0.00	0.00	0.00	0.00	0.00	0.00
	T 4	N	197.535	197.535	197.535	197.535	197.535	197.535	197.535	197.535	197.535
		Vy	0.000	0.000	0.000	0.000	0.000	0.000	0.000	0.000	0.000
		Vz	11.905	11.905	11.905	11.905	11.905	11.905	11.905	11.905	11.905
		Mt	0.00	0.00	0.00	0.00	0.00	0.00	0.00	0.00	0.00
		My	42.09	32.57	23.04	13.52	3.99	-5.53	-15.05	-24.58	-34.10
		Mz	0.00	0.00	0.00	0.00	0.00	0.00	0.00	0.00	0.00

Esfuerzos en barras, por hipótesis										
Barra	Hipótesis	Esfuerzo	Posiciones en la barra								
			0.000 m	0.806 m	1.612 m	2.419 m	3.225 m	4.031 m	4.837 m	5.644 m	6.450 m
N27/N28	Peso propio	N	-3.491	-3.491	-3.491	-3.491	-3.491	-3.491	-3.491	-3.491	-3.491
		Vy	0.000	0.000	0.000	0.000	0.000	0.000	0.000	0.000	0.000
		Vz	-9.549	-7.176	-4.804	-2.431	-0.058	2.315	4.688	7.060	9.433
		Mt	0.00	0.00	0.00	0.00	0.00	0.00	0.00	0.00	0.00
		My	-10.29	-3.55	1.28	4.20	5.20	4.29	1.47	-3.27	-9.92
		Mz	0.00	0.00	0.00	0.00	0.00	0.00	0.00	0.00	0.00
	T 1	N	-103.679	-103.679	-103.679	-103.679	-103.679	-103.679	-103.679	-103.679	-103.679
		Vy	0.000	0.000	0.000	0.000	0.000	0.000	0.000	0.000	0.000
		Vz	-2.019	-2.019	-2.019	-2.019	-2.019	-2.019	-2.019	-2.019	-2.019
		Mt	0.00	0.00	0.00	0.00	0.00	0.00	0.00	0.00	0.00
		My	-7.24	-5.61	-3.98	-2.35	-0.73	0.90	2.53	4.16	5.79
		Mz	0.00	0.00	0.00	0.00	0.00	0.00	0.00	0.00	0.00
	T 2	N	103.679	103.679	103.679	103.679	103.679	103.679	103.679	103.679	103.679
		Vy	0.000	0.000	0.000	0.000	0.000	0.000	0.000	0.000	0.000
		Vz	2.019	2.019	2.019	2.019	2.019	2.019	2.019	2.019	2.019
		Mt	0.00	0.00	0.00	0.00	0.00	0.00	0.00	0.00	0.00

Esfuerzos en barras, por hipótesis										
Barra	Hipótesis	Esfuerzo	Posiciones en la barra							
			0.000 m	0.806 m	1.612 m	2.419 m	3.225 m	4.031 m	4.837 m	5.644 m	6.450 m
		My	7.24	5.61	3.98	2.35	0.73	-0.90	-2.53	-4.16	-5.79
		Mz	0.00	0.00	0.00	0.00	0.00	0.00	0.00	0.00	0.00
	T 3	N	-311.038	-311.038	-311.038	-311.038	-311.038	-311.038	-311.038	-311.038	-311.038
		Vy	0.000	0.000	0.000	0.000	0.000	0.000	0.000	0.000	0.000
		Vz	-6.058	-6.058	-6.058	-6.058	-6.058	-6.058	-6.058	-6.058	-6.058
		Mt	0.00	0.00	0.00	0.00	0.00	0.00	0.00	0.00	0.00
		My	-21.71	-16.83	-11.94	-7.06	-2.18	2.71	7.59	12.48	17.36
		Mz	0.00	0.00	0.00	0.00	0.00	0.00	0.00	0.00	0.00
	T 4	N	311.038	311.038	311.038	311.038	311.038	311.038	311.038	311.038	311.038
		Vy	0.000	0.000	0.000	0.000	0.000	0.000	0.000	0.000	0.000
		Vz	6.058	6.058	6.058	6.058	6.058	6.058	6.058	6.058	6.058
		Mt	0.00	0.00	0.00	0.00	0.00	0.00	0.00	0.00	0.00
		My	21.71	16.83	11.94	7.06	2.18	-2.71	-7.59	-12.48	-17.36
		Mz	0.00	0.00	0.00	0.00	0.00	0.00	0.00	0.00	0.00

Esfuerzos en barras, por hipótesis										
Barra	Hipótesis	Esfuerzo	Posiciones en la barra							
			0.000 m	0.575 m	1.150 m	1.725 m	2.300 m	2.875 m	3.450 m	4.025 m	4.600 m
N28/N29	Peso propio	N	-1.317	-1.317	-1.317	-1.317	-1.317	-1.317	-1.317	-1.317	-1.317
		Vy	0.000	0.000	0.000	0.000	0.000	0.000	0.000	0.000	0.000
		Vz	-6.904	-5.212	-3.520	-1.828	-0.135	1.557	3.249	4.941	6.634
		Mt	0.00	0.00	0.00	0.00	0.00	0.00	0.00	0.00	0.00
		My	-5.63	-2.14	0.37	1.91	2.47	2.06	0.68	-1.68	-5.00
		Mz	0.00	0.00	0.00	0.00	0.00	0.00	0.00	0.00	0.00
	T 1	N	-125.587	-125.587	-125.587	-125.587	-125.587	-125.587	-125.587	-125.587	-125.587
		Vy	0.000	0.000	0.000	0.000	0.000	0.000	0.000	0.000	0.000
		Vz	-1.704	-1.704	-1.704	-1.704	-1.704	-1.704	-1.704	-1.704	-1.704
		Mt	0.00	0.00	0.00	0.00	0.00	0.00	0.00	0.00	0.00
		My	-4.64	-3.66	-2.68	-1.70	-0.72	0.26	1.24	2.22	3.20
		Mz	0.00	0.00	0.00	0.00	0.00	0.00	0.00	0.00	0.00
	T 2	N	125.587	125.587	125.587	125.587	125.587	125.587	125.587	125.587	125.587
		Vy	0.000	0.000	0.000	0.000	0.000	0.000	0.000	0.000	0.000
		Vz	1.704	1.704	1.704	1.704	1.704	1.704	1.704	1.704	1.704
		Mt	0.00	0.00	0.00	0.00	0.00	0.00	0.00	0.00	0.00
		My	4.64	3.66	2.68	1.70	0.72	-0.26	-1.24	-2.22	-3.20
		Mz	0.00	0.00	0.00	0.00	0.00	0.00	0.00	0.00	0.00
	T 3	N	-376.761	-376.761	-376.761	-376.761	-376.761	-376.761	-376.761	-376.761	-376.761
		Vy	0.000	0.000	0.000	0.000	0.000	0.000	0.000	0.000	0.000
		Vz	-5.113	-5.113	-5.113	-5.113	-5.113	-5.113	-5.113	-5.113	-5.113
		Mt	0.00	0.00	0.00	0.00	0.00	0.00	0.00	0.00	0.00
		My	-13.92	-10.98	-8.04	-5.10	-2.16	0.78	3.72	6.66	9.60
		Mz	0.00	0.00	0.00	0.00	0.00	0.00	0.00	0.00	0.00
	T 4	N	376.761	376.761	376.761	376.761	376.761	376.761	376.761	376.761	376.761
		Vy	0.000	0.000	0.000	0.000	0.000	0.000	0.000	0.000	0.000
		Vz	5.113	5.113	5.113	5.113	5.113	5.113	5.113	5.113	5.113
		Mt	0.00	0.00	0.00	0.00	0.00	0.00	0.00	0.00	0.00
		My	13.92	10.98	8.04	5.10	2.16	-0.78	-3.72	-6.66	-9.60
		Mz	0.00	0.00	0.00	0.00	0.00	0.00	0.00	0.00	0.00

Esfuerzos en barras, por hipótesis										
Barra	Hipótesis	Esfuerzo	Posiciones en la barra							
			0.000 m	0.575 m	1.150 m	1.725 m	2.300 m	2.875 m	3.450 m	4.025 m	4.600 m
N29/N30	Peso propio	N	-1.379	-1.379	-1.379	-1.379	-1.379	-1.379	-1.379	-1.379	-1.379
		Vy	0.000	0.000	0.000	0.000	0.000	0.000	0.000	0.000	0.000
		Vz	-6.761	-5.069	-3.376	-1.684	0.008	1.700	3.393	5.085	6.777
		Mt	0.00	0.00	0.00	0.00	0.00	0.00	0.00	0.00	0.00
		My	-5.16	-1.76	0.67	2.12	2.61	2.11	0.65	-1.79	-5.20
		Mz	0.00	0.00	0.00	0.00	0.00	0.00	0.00	0.00	0.00
	T 1	N	-132.425	-132.425	-132.425	-132.425	-132.425	-132.425	-132.425	-132.425	-132.425
		Vy	0.000	0.000	0.000	0.000	0.000	0.000	0.000	0.000	0.000
		Vz	0.072	0.072	0.072	0.072	0.072	0.072	0.072	0.072	0.072
		Mt	0.00	0.00	0.00	0.00	0.00	0.00	0.00	0.00	0.00

Esfuerzos en barras, por hipótesis										
Barra	Hipótesis	Esfuerzo	Posiciones en la barra							
			0.000 m	0.575 m	1.150 m	1.725 m	2.300 m	2.875 m	3.450 m	4.025 m	4.600 m
		My	-0.49	-0.53	-0.58	-0.62	-0.66	-0.70	-0.74	-0.78	-0.83
		Mz	0.00	0.00	0.00	0.00	0.00	0.00	0.00	0.00	0.00
	T 2	N	132.425	132.425	132.425	132.425	132.425	132.425	132.425	132.425	132.425
		Vy	0.000	0.000	0.000	0.000	0.000	0.000	0.000	0.000	0.000
		Vz	-0.072	-0.072	-0.072	-0.072	-0.072	-0.072	-0.072	-0.072	-0.072
		Mt	0.00	0.00	0.00	0.00	0.00	0.00	0.00	0.00	0.00
		My	0.49	0.53	0.58	0.62	0.66	0.70	0.74	0.78	0.83
		Mz	0.00	0.00	0.00	0.00	0.00	0.00	0.00	0.00	0.00
	T 3	N	-397.276	-397.276	-397.276	-397.276	-397.276	-397.276	-397.276	-397.276	-397.276
		Vy	0.000	0.000	0.000	0.000	0.000	0.000	0.000	0.000	0.000
		Vz	0.217	0.217	0.217	0.217	0.217	0.217	0.217	0.217	0.217
		Mt	0.00	0.00	0.00	0.00	0.00	0.00	0.00	0.00	0.00
		My	-1.48	-1.60	-1.73	-1.85	-1.98	-2.10	-2.23	-2.35	-2.48
		Mz	0.00	0.00	0.00	0.00	0.00	0.00	0.00	0.00	0.00
	T 4	N	397.276	397.276	397.276	397.276	397.276	397.276	397.276	397.276	397.276
		Vy	0.000	0.000	0.000	0.000	0.000	0.000	0.000	0.000	0.000
		Vz	-0.217	-0.217	-0.217	-0.217	-0.217	-0.217	-0.217	-0.217	-0.217
		Mt	0.00	0.00	0.00	0.00	0.00	0.00	0.00	0.00	0.00
		My	1.48	1.60	1.73	1.85	1.98	2.10	2.23	2.35	2.48
		Mz	0.00	0.00	0.00	0.00	0.00	0.00	0.00	0.00	0.00

Esfuerzos en barras, por hipótesis										
Barra	Hipótesis	Esfuerzo	Posiciones en la barra							
			0.000 m	0.575 m	1.150 m	1.725 m	2.300 m	2.875 m	3.450 m	4.025 m	4.600 m
N30/N31	Peso propio	N	-1.434	-1.434	-1.434	-1.434	-1.434	-1.434	-1.434	-1.434	-1.434
		Vy	0.000	0.000	0.000	0.000	0.000	0.000	0.000	0.000	0.000
		Vz	-6.782	-5.090	-3.397	-1.705	-0.013	1.679	3.371	5.064	6.756
		Mt	0.00	0.00	0.00	0.00	0.00	0.00	0.00	0.00	0.00
		My	-5.21	-1.80	0.64	2.11	2.60	2.12	0.67	-1.76	-5.15
		Mz	0.00	0.00	0.00	0.00	0.00	0.00	0.00	0.00	0.00
	T 1	N	-124.132	-124.132	-124.132	-124.132	-124.132	-124.132	-124.132	-124.132	-124.132
		Vy	0.000	0.000	0.000	0.000	0.000	0.000	0.000	0.000	0.000
		Vz	1.803	1.803	1.803	1.803	1.803	1.803	1.803	1.803	1.803
		Mt	0.00	0.00	0.00	0.00	0.00	0.00	0.00	0.00	0.00
		My	3.46	2.43	1.39	0.35	-0.68	-1.72	-2.76	-3.79	-4.83
		Mz	0.00	0.00	0.00	0.00	0.00	0.00	0.00	0.00	0.00
	T 2	N	124.132	124.132	124.132	124.132	124.132	124.132	124.132	124.132	124.132
		Vy	0.000	0.000	0.000	0.000	0.000	0.000	0.000	0.000	0.000
		Vz	-1.803	-1.803	-1.803	-1.803	-1.803	-1.803	-1.803	-1.803	-1.803
		Mt	0.00	0.00	0.00	0.00	0.00	0.00	0.00	0.00	0.00
		My	-3.46	-2.43	-1.39	-0.35	0.68	1.72	2.76	3.79	4.83
		Mz	0.00	0.00	0.00	0.00	0.00	0.00	0.00	0.00	0.00
	T 3	N	-372.397	-372.397	-372.397	-372.397	-372.397	-372.397	-372.397	-372.397	-372.397
		Vy	0.000	0.000	0.000	0.000	0.000	0.000	0.000	0.000	0.000
		Vz	5.409	5.409	5.409	5.409	5.409	5.409	5.409	5.409	5.409
		Mt	0.00	0.00	0.00	0.00	0.00	0.00	0.00	0.00	0.00
		My	10.39	7.28	4.17	1.06	-2.05	-5.16	-8.27	-11.38	-14.49
		Mz	0.00	0.00	0.00	0.00	0.00	0.00	0.00	0.00	0.00
	T 4	N	372.397	372.397	372.397	372.397	372.397	372.397	372.397	372.397	372.397
		Vy	0.000	0.000	0.000	0.000	0.000	0.000	0.000	0.000	0.000
		Vz	-5.409	-5.409	-5.409	-5.409	-5.409	-5.409	-5.409	-5.409	-5.409
		Mt	0.00	0.00	0.00	0.00	0.00	0.00	0.00	0.00	0.00
		My	-10.39	-7.28	-4.17	-1.06	2.05	5.16	8.27	11.38	14.49
		Mz	0.00	0.00	0.00	0.00	0.00	0.00	0.00	0.00	0.00

Esfuerzos en barras, por hipótesis										
Barra	Hipótesis	Esfuerzo	Posiciones en la barra							
			0.000 m	0.575 m	1.150 m	1.725 m	2.300 m	2.875 m	3.450 m	4.025 m	4.600 m
N31/N32	Peso propio	N	-1.589	-1.589	-1.589	-1.589	-1.589	-1.589	-1.589	-1.589	-1.589
		Vy	0.000	0.000	0.000	0.000	0.000	0.000	0.000	0.000	0.000
		Vz	-6.788	-5.095	-3.403	-1.711	-0.019	1.673	3.366	5.058	6.750
		Mt	0.00	0.00	0.00	0.00	0.00	0.00	0.00	0.00	0.00

Esfuerzos en barras, por hipótesis										
Barra	Hipótesis	Esfuerzo	Posiciones en la barra							
			0.000 m	0.575 m	1.150 m	1.725 m	2.300 m	2.875 m	3.450 m	4.025 m	4.600 m
		My	-5.23	-1.82	0.63	2.10	2.59	2.12	0.67	-1.75	-5.15
		Mz	0.00	0.00	0.00	0.00	0.00	0.00	0.00	0.00	0.00
	T 1	N	-99.945	-99.945	-99.945	-99.945	-99.945	-99.945	-99.945	-99.945	-99.945
		Vy	0.000	0.000	0.000	0.000	0.000	0.000	0.000	0.000	0.000
		Vz	3.615	3.615	3.615	3.615	3.615	3.615	3.615	3.615	3.615
		Mt	0.00	0.00	0.00	0.00	0.00	0.00	0.00	0.00	0.00
		My	7.59	5.51	3.44	1.36	-0.72	-2.80	-4.88	-6.96	-9.04
		Mz	0.00	0.00	0.00	0.00	0.00	0.00	0.00	0.00	0.00
	T 2	N	99.945	99.945	99.945	99.945	99.945	99.945	99.945	99.945	99.945
		Vy	0.000	0.000	0.000	0.000	0.000	0.000	0.000	0.000	0.000
		Vz	-3.615	-3.615	-3.615	-3.615	-3.615	-3.615	-3.615	-3.615	-3.615
		Mt	0.00	0.00	0.00	0.00	0.00	0.00	0.00	0.00	0.00
		My	-7.59	-5.51	-3.44	-1.36	0.72	2.80	4.88	6.96	9.04
		Mz	0.00	0.00	0.00	0.00	0.00	0.00	0.00	0.00	0.00
	T 3	N	-299.834	-299.834	-299.834	-299.834	-299.834	-299.834	-299.834	-299.834	-299.834
		Vy	0.000	0.000	0.000	0.000	0.000	0.000	0.000	0.000	0.000
		Vz	10.845	10.845	10.845	10.845	10.845	10.845	10.845	10.845	10.845
		Mt	0.00	0.00	0.00	0.00	0.00	0.00	0.00	0.00	0.00
		My	22.78	16.54	10.31	4.07	-2.17	-8.40	-14.64	-20.87	-27.11
		Mz	0.00	0.00	0.00	0.00	0.00	0.00	0.00	0.00	0.00
	T 4	N	299.834	299.834	299.834	299.834	299.834	299.834	299.834	299.834	299.834
		Vy	0.000	0.000	0.000	0.000	0.000	0.000	0.000	0.000	0.000
		Vz	-10.845	-10.845	-10.845	-10.845	-10.845	-10.845	-10.845	-10.845	-10.845
		Mt	0.00	0.00	0.00	0.00	0.00	0.00	0.00	0.00	0.00
		My	-22.78	-16.54	-10.31	-4.07	2.17	8.40	14.64	20.87	27.11
		Mz	0.00	0.00	0.00	0.00	0.00	0.00	0.00	0.00	0.00

Esfuerzos en barras, por hipótesis										
Barra	Hipótesis	Esfuerzo	Posiciones en la barra							
			0.000 m	0.575 m	1.150 m	1.725 m	2.300 m	2.875 m	3.450 m	4.025 m	4.600 m
N32/N26	Peso propio	N	-1.971	-1.971	-1.971	-1.971	-1.971	-1.971	-1.971	-1.971	-1.971
		Vy	0.000	0.000	0.000	0.000	0.000	0.000	0.000	0.000	0.000
		Vz	-6.980	-5.288	-3.596	-1.904	-0.211	1.481	3.173	4.865	6.557
		Mt	0.00	0.00	0.00	0.00	0.00	0.00	0.00	0.00	0.00
		My	-5.52	-1.99	0.56	2.14	2.75	2.39	1.05	-1.26	-4.55
		Mz	0.00	0.00	0.00	0.00	0.00	0.00	0.00	0.00	0.00
	T 1	N	-57.069	-57.069	-57.069	-57.069	-57.069	-57.069	-57.069	-57.069	-57.069
		Vy	0.000	0.000	0.000	0.000	0.000	0.000	0.000	0.000	0.000
		Vz	6.279	6.279	6.279	6.279	6.279	6.279	6.279	6.279	6.279
		Mt	0.00	0.00	0.00	0.00	0.00	0.00	0.00	0.00	0.00
		My	13.09	9.48	5.87	2.26	-1.35	-4.96	-8.57	-12.19	-15.80
		Mz	0.00	0.00	0.00	0.00	0.00	0.00	0.00	0.00	0.00
	T 2	N	57.069	57.069	57.069	57.069	57.069	57.069	57.069	57.069	57.069
		Vy	0.000	0.000	0.000	0.000	0.000	0.000	0.000	0.000	0.000
		Vz	-6.279	-6.279	-6.279	-6.279	-6.279	-6.279	-6.279	-6.279	-6.279
		Mt	0.00	0.00	0.00	0.00	0.00	0.00	0.00	0.00	0.00
		My	-13.09	-9.48	-5.87	-2.26	1.35	4.96	8.57	12.19	15.80
		Mz	0.00	0.00	0.00	0.00	0.00	0.00	0.00	0.00	0.00
	T 3	N	-171.207	-171.207	-171.207	-171.207	-171.207	-171.207	-171.207	-171.207	-171.207
		Vy	0.000	0.000	0.000	0.000	0.000	0.000	0.000	0.000	0.000
		Vz	18.837	18.837	18.837	18.837	18.837	18.837	18.837	18.837	18.837
		Mt	0.00	0.00	0.00	0.00	0.00	0.00	0.00	0.00	0.00
		My	39.26	28.43	17.60	6.77	-4.06	-14.89	-25.72	-36.56	-47.39
		Mz	0.00	0.00	0.00	0.00	0.00	0.00	0.00	0.00	0.00
	T 4	N	171.207	171.207	171.207	171.207	171.207	171.207	171.207	171.207	171.207
		Vy	0.000	0.000	0.000	0.000	0.000	0.000	0.000	0.000	0.000
		Vz	-18.837	-18.837	-18.837	-18.837	-18.837	-18.837	-18.837	-18.837	-18.837
		Mt	0.00	0.00	0.00	0.00	0.00	0.00	0.00	0.00	0.00
		My	-39.26	-28.43	-17.60	-6.77	4.06	14.89	25.72	36.56	47.39
		Mz	0.00	0.00	0.00	0.00	0.00	0.00	0.00	0.00	0.00

2.3.2.1.2. Combinaciones

Esfuerzos en barras, por combinación

Barra	Combinación		Esfuerzo	Posiciones en la barra								
	Tipo	Descripción		0.000 m	0.875 m	1.750 m	2.625 m	3.500 m	4.375 m	5.250 m	6.125 m	7.000 m
N1/N2	Hormigón	PP	N	-27.646	-24.212	-20.779	-17.345	-13.912	-10.478	-7.045	-3.611	-0.178
			Vy	-0.012	-0.012	-0.012	-0.012	-0.012	-0.012	-0.012	-0.012	-0.012
			Vz	0.000	0.000	0.000	0.000	0.000	0.000	0.000	0.000	0.000
			Mt	0.00	0.00	0.00	0.00	0.00	0.00	0.00	0.00	0.00
			My	0.00	0.00	0.00	0.00	0.00	0.00	0.00	0.00	0.00
			Mz	0.09	0.10	0.11	0.12	0.14	0.15	0.16	0.17	0.18
		1.35·PP	N	-37.322	-32.687	-28.051	-23.416	-18.781	-14.146	-9.510	-4.875	-0.240
			Vy	-0.017	-0.017	-0.017	-0.017	-0.017	-0.017	-0.017	-0.017	-0.017
			Vz	0.000	0.000	0.000	0.000	0.000	0.000	0.000	0.000	0.000
			Mt	0.00	0.00	0.00	0.00	0.00	0.00	0.00	0.00	0.00
			My	0.00	0.00	0.00	0.00	0.00	0.00	0.00	0.00	0.00
			Mz	0.12	0.14	0.15	0.17	0.18	0.20	0.21	0.23	0.24
		PP+1.5·T1	N	-27.706	-24.272	-20.839	-17.405	-13.972	-10.538	-7.105	-3.671	-0.238
			Vy	-2.952	-2.952	-2.952	-2.952	-2.952	-2.952	-2.952	-2.952	-2.952
			Vz	0.000	0.000	0.000	0.000	0.000	0.000	0.000	0.000	0.000
			Mt	0.00	0.00	0.00	0.00	0.00	0.00	0.00	0.00	0.00
			My	0.00	0.00	0.00	0.00	0.00	0.00	0.00	0.00	0.00
			Mz	-20.30	-17.72	-15.13	-12.55	-9.97	-7.38	-4.80	-2.22	0.37
		1.35·PP+1.5·T1	N	-37.382	-32.747	-28.111	-23.476	-18.841	-14.206	-9.570	-4.935	-0.300
			Vy	-2.957	-2.957	-2.957	-2.957	-2.957	-2.957	-2.957	-2.957	-2.957
			Vz	0.000	0.000	0.000	0.000	0.000	0.000	0.000	0.000	0.000
			Mt	0.00	0.00	0.00	0.00	0.00	0.00	0.00	0.00	0.00
			My	0.00	0.00	0.00	0.00	0.00	0.00	0.00	0.00	0.00
			Mz	-20.27	-17.68	-15.09	-12.51	-9.92	-7.33	-4.74	-2.16	0.43
		PP+1.5·T2	N	-27.586	-24.152	-20.719	-17.285	-13.852	-10.418	-6.985	-3.551	-0.118
			Vy	2.928	2.928	2.928	2.928	2.928	2.928	2.928	2.928	2.928
			Vz	0.000	0.000	0.000	0.000	0.000	0.000	0.000	0.000	0.000
			Mt	0.00	0.00	0.00	0.00	0.00	0.00	0.00	0.00	0.00
			My	0.00	0.00	0.00	0.00	0.00	0.00	0.00	0.00	0.00
			Mz	20.48	17.92	15.36	12.80	10.24	7.68	5.11	2.55	-0.01
		1.35·PP+1.5·T2	N	-37.262	-32.627	-27.991	-23.356	-18.721	-14.086	-9.450	-4.815	-0.180
			Vy	2.923	2.923	2.923	2.923	2.923	2.923	2.923	2.923	2.923
			Vz	0.000	0.000	0.000	0.000	0.000	0.000	0.000	0.000	0.000
			Mt	0.00	0.00	0.00	0.00	0.00	0.00	0.00	0.00	0.00
			My	0.00	0.00	0.00	0.00	0.00	0.00	0.00	0.00	0.00
			Mz	20.52	17.96	15.40	12.84	10.28	7.73	5.17	2.61	0.05
		PP+1.5·T1+1.5·T2	N	-27.646	-24.212	-20.779	-17.345	-13.912	-10.478	-7.045	-3.611	-0.178
			Vy	-0.012	-0.012	-0.012	-0.012	-0.012	-0.012	-0.012	-0.012	-0.012
			Vz	0.000	0.000	0.000	0.000	0.000	0.000	0.000	0.000	0.000
			Mt	0.00	0.00	0.00	0.00	0.00	0.00	0.00	0.00	0.00
			My	0.00	0.00	0.00	0.00	0.00	0.00	0.00	0.00	0.00
			Mz	0.09	0.10	0.11	0.12	0.14	0.15	0.16	0.17	0.18
		1.35·PP+1.5·T1+1.5·T2	N	-37.322	-32.687	-28.051	-23.416	-18.781	-14.146	-9.510	-4.875	-0.240
			Vy	-0.017	-0.017	-0.017	-0.017	-0.017	-0.017	-0.017	-0.017	-0.017
			Vz	0.000	0.000	0.000	0.000	0.000	0.000	0.000	0.000	0.000
			Mt	0.00	0.00	0.00	0.00	0.00	0.00	0.00	0.00	0.00
			My	0.00	0.00	0.00	0.00	0.00	0.00	0.00	0.00	0.00
			Mz	0.12	0.14	0.15	0.17	0.18	0.20	0.21	0.23	0.24
		PP+1.5·T3	N	-27.826	-24.392	-20.959	-17.525	-14.092	-10.658	-7.225	-3.791	-0.358
			Vy	-8.833	-8.833	-8.833	-8.833	-8.833	-8.833	-8.833	-8.833	-8.833
			Vz	0.000	0.000	0.000	0.000	0.000	0.000	0.000	0.000	0.000
			Mt	0.00	0.00	0.00	0.00	0.00	0.00	0.00	0.00	0.00
			My	0.00	0.00	0.00	0.00	0.00	0.00	0.00	0.00	0.00
			Mz	-61.08	-53.35	-45.63	-37.90	-30.17	-22.44	-14.71	-6.98	0.75
		1.35·PP+1.5·T3	N	-37.502	-32.867	-28.231	-23.596	-18.961	-14.326	-9.690	-5.055	-0.420
			Vy	-8.837	-8.837	-8.837	-8.837	-8.837	-8.837	-8.837	-8.837	-8.837
			Vz	0.000	0.000	0.000	0.000	0.000	0.000	0.000	0.000	0.000
			Mt	0.00	0.00	0.00	0.00	0.00	0.00	0.00	0.00	0.00
			My	0.00	0.00	0.00	0.00	0.00	0.00	0.00	0.00	0.00
			Mz	-61.05	-53.32	-45.59	-37.85	-30.12	-22.39	-14.66	-6.92	0.81
		PP+1.5·T1+1.5·T3	N	-27.886	-24.452	-21.019	-17.585	-14.152	-10.718	-7.285	-3.851	-0.418
			Vy	-11.773	-11.773	-11.773	-11.773	-11.773	-11.773	-11.773	-11.773	-11.773
			Vz	0.000	0.000	0.000	0.000	0.000	0.000	0.000	0.000	0.000
			Mt	0.00	0.00	0.00	0.00	0.00	0.00	0.00	0.00	0.00
			My	0.00	0.00	0.00	0.00	0.00	0.00	0.00	0.00	0.00
			Mz	-81.47	-71.17	-60.87	-50.57	-40.27	-29.97	-19.67	-9.37	0.93
		1.35·PP+1.5·T1+1.5·T3	N	-37.562	-32.926	-28.291	-23.656	-19.021	-14.386	-9.750	-5.115	-0.480
			Vy	-11.777	-11.777	-11.777	-11.777	-11.777	-11.777	-11.777	-11.777	-11.777
			Vz	0.000	0.000	0.000	0.000	0.000	0.000	0.000	0.000	0.000
			Mt	0.00	0.00	0.00	0.00	0.00	0.00	0.00	0.00	0.00
			My	0.00	0.00	0.00	0.00	0.00	0.00	0.00	0.00	0.00
			Mz	-81.44	-71.14	-60.83	-50.53	-40.22	-29.92	-19.61	-9.31	1.00
		PP+1.5·T2+1.5·T3	N	-27.766	-24.332	-20.899	-17.465	-14.032	-10.598	-7.165	-3.731	-0.298
			Vy	-5.892	-5.892	-5.892	-5.892	-5.892	-5.892	-5.892	-5.892	-5.892
			Vz	0.000	0.000	0.000	0.000	0.000	0.000	0.000	0.000	0.000
			Mt	0.00	0.00	0.00	0.00	0.00	0.00	0.00	0.00	0.00
			My	0.00	0.00	0.00	0.00	0.00	0.00	0.00	0.00	0.00

Esfuerzos en barras, por combinación

Barra	Combinación		Esfuerzo	Posiciones en la barra								
	Tipo	Descripción		0.000 m	0.875 m	1.750 m	2.625 m	3.500 m	4.375 m	5.250 m	6.125 m	7.000 m
			Mz	-40.69	-35.53	-30.38	-25.22	-20.07	-14.91	-9.76	-4.60	0.56
		1.35·PP+1.5·T2+1.5·T3	N	-37.442	-32.807	-28.171	-23.536	-18.901	-14.266	-9.630	-4.995	-0.360
			Vy	-5.897	-5.897	-5.897	-5.897	-5.897	-5.897	-5.897	-5.897	-5.897
			Vz	0.000	0.000	0.000	0.000	0.000	0.000	0.000	0.000	0.000
			Mt	0.00	0.00	0.00	0.00	0.00	0.00	0.00	0.00	0.00
			My	0.00	0.00	0.00	0.00	0.00	0.00	0.00	0.00	0.00
			Mz	-40.66	-35.50	-30.34	-25.18	-20.02	-14.86	-9.70	-4.54	0.62
		PP+1.5·T1+1.5·T2+1.5·T3	N	-27.826	-24.392	-20.959	-17.525	-14.092	-10.658	-7.225	-3.791	-0.358
			Vy	-8.833	-8.833	-8.833	-8.833	-8.833	-8.833	-8.833	-8.833	-8.833
			Vz	0.000	0.000	0.000	0.000	0.000	0.000	0.000	0.000	0.000
			Mt	0.00	0.00	0.00	0.00	0.00	0.00	0.00	0.00	0.00
			My	0.00	0.00	0.00	0.00	0.00	0.00	0.00	0.00	0.00
			Mz	-61.08	-53.35	-45.63	-37.90	-30.17	-22.44	-14.71	-6.98	0.75
		1.35·PP+1.5·T1+1.5·T2+1.5·T3	N	-37.502	-32.867	-28.231	-23.596	-18.961	-14.326	-9.690	-5.055	-0.420
			Vy	-8.837	-8.837	-8.837	-8.837	-8.837	-8.837	-8.837	-8.837	-8.837
			Vz	0.000	0.000	0.000	0.000	0.000	0.000	0.000	0.000	0.000
			Mt	0.00	0.00	0.00	0.00	0.00	0.00	0.00	0.00	0.00
			My	0.00	0.00	0.00	0.00	0.00	0.00	0.00	0.00	0.00
			Mz	-61.05	-53.32	-45.59	-37.85	-30.12	-22.39	-14.66	-6.92	0.81
		PP+1.5·T4	N	-27.466	-24.032	-20.599	-17.165	-13.732	-10.298	-6.865	-3.431	0.002
			Vy	8.808	8.808	8.808	8.808	8.808	8.808	8.808	8.808	8.808
			Vz	0.000	0.000	0.000	0.000	0.000	0.000	0.000	0.000	0.000
			Mt	0.00	0.00	0.00	0.00	0.00	0.00	0.00	0.00	0.00
			My	0.00	0.00	0.00	0.00	0.00	0.00	0.00	0.00	0.00
			Mz	61.27	53.56	45.85	38.15	30.44	22.73	15.03	7.32	-0.39
		1.35·PP+1.5·T4	N	-37.142	-32.507	-27.871	-23.236	-18.601	-13.966	-9.331	-4.695	-0.060
			Vy	8.803	8.803	8.803	8.803	8.803	8.803	8.803	8.803	8.803
			Vz	0.000	0.000	0.000	0.000	0.000	0.000	0.000	0.000	0.000
			Mt	0.00	0.00	0.00	0.00	0.00	0.00	0.00	0.00	0.00
			My	0.00	0.00	0.00	0.00	0.00	0.00	0.00	0.00	0.00
			Mz	61.30	53.60	45.89	38.19	30.49	22.78	15.08	7.38	-0.32
		PP+1.5·T1+1.5·T4	N	-27.526	-24.092	-20.659	-17.225	-13.792	-10.358	-6.925	-3.491	-0.058
			Vy	5.868	5.868	5.868	5.868	5.868	5.868	5.868	5.868	5.868
			Vz	0.000	0.000	0.000	0.000	0.000	0.000	0.000	0.000	0.000
			Mt	0.00	0.00	0.00	0.00	0.00	0.00	0.00	0.00	0.00
			My	0.00	0.00	0.00	0.00	0.00	0.00	0.00	0.00	0.00
			Mz	40.88	35.74	30.61	25.47	20.34	15.20	10.07	4.94	-0.20
		1.35·PP+1.5·T1+1.5·T4	N	-37.202	-32.567	-27.931	-23.296	-18.661	-14.026	-9.391	-4.755	-0.120
			Vy	5.863	5.863	5.863	5.863	5.863	5.863	5.863	5.863	5.863
			Vz	0.000	0.000	0.000	0.000	0.000	0.000	0.000	0.000	0.000
			Mt	0.00	0.00	0.00	0.00	0.00	0.00	0.00	0.00	0.00
			My	0.00	0.00	0.00	0.00	0.00	0.00	0.00	0.00	0.00
			Mz	40.91	35.78	30.65	25.52	20.39	15.26	10.13	4.99	-0.14
		PP+1.5·T2+1.5·T4	N	-27.406	-23.972	-20.539	-17.105	-13.672	-10.238	-6.805	-3.371	0.062
			Vy	11.748	11.748	11.748	11.748	11.748	11.748	11.748	11.748	11.748
			Vz	0.000	0.000	0.000	0.000	0.000	0.000	0.000	0.000	0.000
			Mt	0.00	0.00	0.00	0.00	0.00	0.00	0.00	0.00	0.00
			My	0.00	0.00	0.00	0.00	0.00	0.00	0.00	0.00	0.00
			Mz	81.66	71.38	61.10	50.82	40.54	30.26	19.98	9.70	-0.58
		1.35·PP+1.5·T2+1.5·T4	N	-37.082	-32.447	-27.811	-23.176	-18.541	-13.906	-9.271	-4.635	0.000
			Vy	11.743	11.743	11.743	11.743	11.743	11.743	11.743	11.743	11.743
			Vz	0.000	0.000	0.000	0.000	0.000	0.000	0.000	0.000	0.000
			Mt	0.00	0.00	0.00	0.00	0.00	0.00	0.00	0.00	0.00
			My	0.00	0.00	0.00	0.00	0.00	0.00	0.00	0.00	0.00
			Mz	81.69	71.41	61.14	50.86	40.59	30.31	20.04	9.76	-0.51
		PP+1.5·T1+1.5·T2+1.5·T4	N	-27.466	-24.032	-20.599	-17.165	-13.732	-10.298	-6.865	-3.431	0.002
			Vy	8.808	8.808	8.808	8.808	8.808	8.808	8.808	8.808	8.808
			Vz	0.000	0.000	0.000	0.000	0.000	0.000	0.000	0.000	0.000
			Mt	0.00	0.00	0.00	0.00	0.00	0.00	0.00	0.00	0.00
			My	0.00	0.00	0.00	0.00	0.00	0.00	0.00	0.00	0.00
			Mz	61.27	53.56	45.85	38.15	30.44	22.73	15.03	7.32	-0.39
		1.35·PP+1.5·T1+1.5·T2+1.5·T4	N	-37.142	-32.507	-27.871	-23.236	-18.601	-13.966	-9.331	-4.695	-0.060
			Vy	8.803	8.803	8.803	8.803	8.803	8.803	8.803	8.803	8.803
			Vz	0.000	0.000	0.000	0.000	0.000	0.000	0.000	0.000	0.000
			Mt	0.00	0.00	0.00	0.00	0.00	0.00	0.00	0.00	0.00
			My	0.00	0.00	0.00	0.00	0.00	0.00	0.00	0.00	0.00
			Mz	61.30	53.60	45.89	38.19	30.49	22.78	15.08	7.38	-0.32
		PP+1.5·T3+1.5·T4	N	-27.646	-24.212	-20.779	-17.345	-13.912	-10.478	-7.045	-3.611	-0.178
			Vy	-0.012	-0.012	-0.012	-0.012	-0.012	-0.012	-0.012	-0.012	-0.012
			Vz	0.000	0.000	0.000	0.000	0.000	0.000	0.000	0.000	0.000
			Mt	0.00	0.00	0.00	0.00	0.00	0.00	0.00	0.00	0.00
			My	0.00	0.00	0.00	0.00	0.00	0.00	0.00	0.00	0.00
			Mz	0.09	0.10	0.11	0.12	0.14	0.15	0.16	0.17	0.18
		1.35·PP+1.5·T3+1.5·T4	N	-37.322	-32.687	-28.051	-23.416	-18.781	-14.146	-9.510	-4.875	-0.240
			Vy	-0.017	-0.017	-0.017	-0.017	-0.017	-0.017	-0.017	-0.017	-0.017
			Vz	0.000	0.000	0.000	0.000	0.000	0.000	0.000	0.000	0.000
			Mt	0.00	0.00	0.00	0.00	0.00	0.00	0.00	0.00	0.00
			My	0.00	0.00	0.00	0.00	0.00	0.00	0.00	0.00	0.00
			Mz	0.12	0.14	0.15	0.17	0.18	0.20	0.21	0.23	0.24

Esfuerzos en barras, por combinación

Barra	Combinación		Esfuerzo	Posiciones en la barra								
	Tipo	Descripción		0.000 m	0.875 m	1.750 m	2.625 m	3.500 m	4.375 m	5.250 m	6.125 m	7.000 m
		PP+1.5·T1+1.5·T3+1.5·T4	N	-27.706	-24.272	-20.839	-17.405	-13.972	-10.538	-7.105	-3.671	-0.238
			Vy	-2.952	-2.952	-2.952	-2.952	-2.952	-2.952	-2.952	-2.952	-2.952
			Vz	0.000	0.000	0.000	0.000	0.000	0.000	0.000	0.000	0.000
			Mt	0.00	0.00	0.00	0.00	0.00	0.00	0.00	0.00	0.00
			My	0.00	0.00	0.00	0.00	0.00	0.00	0.00	0.00	0.00
			Mz	-20.30	-17.72	-15.13	-12.55	-9.97	-7.38	-4.80	-2.22	0.37
		1.35·PP+1.5·T1+1.5·T3+1.5·T4	N	-37.382	-32.747	-28.111	-23.476	-18.841	-14.206	-9.570	-4.935	-0.300
			Vy	-2.957	-2.957	-2.957	-2.957	-2.957	-2.957	-2.957	-2.957	-2.957
			Vz	0.000	0.000	0.000	0.000	0.000	0.000	0.000	0.000	0.000
			Mt	0.00	0.00	0.00	0.00	0.00	0.00	0.00	0.00	0.00
			My	0.00	0.00	0.00	0.00	0.00	0.00	0.00	0.00	0.00
			Mz	-20.27	-17.68	-15.09	-12.51	-9.92	-7.33	-4.74	-2.16	0.43
		PP+1.5·T2+1.5·T3+1.5·T4	N	-27.586	-24.152	-20.719	-17.285	-13.852	-10.418	-6.985	-3.551	-0.118
			Vy	2.928	2.928	2.928	2.928	2.928	2.928	2.928	2.928	2.928
			Vz	0.000	0.000	0.000	0.000	0.000	0.000	0.000	0.000	0.000
			Mt	0.00	0.00	0.00	0.00	0.00	0.00	0.00	0.00	0.00
			My	0.00	0.00	0.00	0.00	0.00	0.00	0.00	0.00	0.00
			Mz	20.48	17.92	15.36	12.80	10.24	7.68	5.11	2.55	-0.01
		1.35·PP+1.5·T2+1.5·T3+1.5·T4	N	-37.262	-32.627	-27.991	-23.356	-18.721	-14.086	-9.450	-4.815	-0.180
			Vy	2.923	2.923	2.923	2.923	2.923	2.923	2.923	2.923	2.923
			Vz	0.000	0.000	0.000	0.000	0.000	0.000	0.000	0.000	0.000
			Mt	0.00	0.00	0.00	0.00	0.00	0.00	0.00	0.00	0.00
			My	0.00	0.00	0.00	0.00	0.00	0.00	0.00	0.00	0.00
			Mz	20.52	17.96	15.40	12.84	10.28	7.73	5.17	2.61	0.05
		PP+1.5·T1+1.5·T2+1.5·T3+1.5·T4	N	-27.646	-24.212	-20.779	-17.345	-13.912	-10.478	-7.045	-3.611	-0.178
			Vy	-0.012	-0.012	-0.012	-0.012	-0.012	-0.012	-0.012	-0.012	-0.012
			Vz	0.000	0.000	0.000	0.000	0.000	0.000	0.000	0.000	0.000
			Mt	0.00	0.00	0.00	0.00	0.00	0.00	0.00	0.00	0.00
			My	0.00	0.00	0.00	0.00	0.00	0.00	0.00	0.00	0.00
			Mz	0.09	0.10	0.11	0.12	0.14	0.15	0.16	0.17	0.18
		1.35·PP+1.5·T1+1.5·T2+1.5·T3+1.5·T4	N	-37.322	-32.687	-28.051	-23.416	-18.781	-14.146	-9.510	-4.875	-0.240
			Vy	-0.017	-0.017	-0.017	-0.017	-0.017	-0.017	-0.017	-0.017	-0.017
			Vz	0.000	0.000	0.000	0.000	0.000	0.000	0.000	0.000	0.000
			Mt	0.00	0.00	0.00	0.00	0.00	0.00	0.00	0.00	0.00
			My	0.00	0.00	0.00	0.00	0.00	0.00	0.00	0.00	0.00
			Mz	0.12	0.14	0.15	0.17	0.18	0.20	0.21	0.23	0.24

Esfuerzos en barras, por combinación

Barra	Combinación		Esfuerzo	Posiciones en la barra								
	Tipo	Descripción		0.000 m	0.875 m	1.750 m	2.625 m	3.500 m	4.375 m	5.250 m	6.125 m	7.000 m
N3/N4	Hormigón	PP	N	-27.820	-24.387	-20.953	-17.520	-14.086	-10.653	-7.219	-3.786	-0.352
			Vy	0.029	0.029	0.029	0.029	0.029	0.029	0.029	0.029	0.029
			Vz	0.000	0.000	0.000	0.000	0.000	0.000	0.000	0.000	0.000
			Mt	0.00	0.00	0.00	0.00	0.00	0.00	0.00	0.00	0.00
			My	0.00	0.00	0.00	0.00	0.00	0.00	0.00	0.00	0.00
			Mz	0.19	0.16	0.14	0.11	0.09	0.06	0.04	0.01	-0.01
		1.35·PP	N	-37.557	-32.922	-28.287	-23.652	-19.016	-14.381	-9.746	-5.111	-0.475
			Vy	0.039	0.039	0.039	0.039	0.039	0.039	0.039	0.039	0.039
			Vz	0.000	0.000	0.000	0.000	0.000	0.000	0.000	0.000	0.000
			Mt	0.00	0.00	0.00	0.00	0.00	0.00	0.00	0.00	0.00
			My	0.00	0.00	0.00	0.00	0.00	0.00	0.00	0.00	0.00
			Mz	0.25	0.22	0.18	0.15	0.12	0.08	0.05	0.02	-0.02
		PP+1.5·T1	N	-27.789	-24.356	-20.922	-17.489	-14.055	-10.622	-7.188	-3.755	-0.321
			Vy	-2.433	-2.433	-2.433	-2.433	-2.433	-2.433	-2.433	-2.433	-2.433
			Vz	0.000	0.000	0.000	0.000	0.000	0.000	0.000	0.000	0.000
			Mt	0.00	0.00	0.00	0.00	0.00	0.00	0.00	0.00	0.00
			My	0.00	0.00	0.00	0.00	0.00	0.00	0.00	0.00	0.00
			Mz	-16.75	-14.63	-12.50	-10.37	-8.24	-6.11	-3.98	-1.85	0.28
		1.35·PP+1.5·T1	N	-37.526	-32.891	-28.256	-23.621	-18.985	-14.350	-9.715	-5.080	-0.445
			Vy	-2.423	-2.423	-2.423	-2.423	-2.423	-2.423	-2.423	-2.423	-2.423
			Vz	0.000	0.000	0.000	0.000	0.000	0.000	0.000	0.000	0.000
			Mt	0.00	0.00	0.00	0.00	0.00	0.00	0.00	0.00	0.00
			My	0.00	0.00	0.00	0.00	0.00	0.00	0.00	0.00	0.00
			Mz	-16.69	-14.57	-12.45	-10.33	-8.21	-6.09	-3.97	-1.85	0.27
		PP+1.5·T2	N	-27.851	-24.418	-20.984	-17.551	-14.117	-10.684	-7.250	-3.817	-0.383
			Vy	2.490	2.490	2.490	2.490	2.490	2.490	2.490	2.490	2.490
			Vz	0.000	0.000	0.000	0.000	0.000	0.000	0.000	0.000	0.000
			Mt	0.00	0.00	0.00	0.00	0.00	0.00	0.00	0.00	0.00
			My	0.00	0.00	0.00	0.00	0.00	0.00	0.00	0.00	0.00
			Mz	17.13	14.95	12.77	10.59	8.41	6.23	4.05	1.87	-0.31
		1.35·PP+1.5·T2	N	-37.588	-32.953	-28.318	-23.682	-19.047	-14.412	-9.777	-5.142	-0.506
			Vy	2.500	2.500	2.500	2.500	2.500	2.500	2.500	2.500	2.500
			Vz	0.000	0.000	0.000	0.000	0.000	0.000	0.000	0.000	0.000
			Mt	0.00	0.00	0.00	0.00	0.00	0.00	0.00	0.00	0.00
			My	0.00	0.00	0.00	0.00	0.00	0.00	0.00	0.00	0.00
			Mz	17.19	15.00	12.82	10.63	8.44	6.25	4.07	1.88	-0.31
		PP+1.5·T1+1.5·T2	N	-27.820	-24.387	-20.953	-17.520	-14.086	-10.653	-7.219	-3.786	-0.352
			Vy	0.029	0.029	0.029	0.029	0.029	0.029	0.029	0.029	0.029

Esfuerzos en barras, por combinación

Barra	Combinación		Esfuerzo	Posiciones en la barra								
	Tipo	Descripción		0.000 m	0.875 m	1.750 m	2.625 m	3.500 m	4.375 m	5.250 m	6.125 m	7.000 m
			Vz	0.000	0.000	0.000	0.000	0.000	0.000	0.000	0.000	0.000
			Mt	0.00	0.00	0.00	0.00	0.00	0.00	0.00	0.00	0.00
			My	0.00	0.00	0.00	0.00	0.00	0.00	0.00	0.00	0.00
			Mz	0.19	0.16	0.14	0.11	0.09	0.06	0.04	0.01	-0.01
		1.35·PP+1.5·T1+1.5·T2	N	-37.557	-32.922	-28.287	-23.652	-19.016	-14.381	-9.746	-5.111	-0.475
			Vy	0.039	0.039	0.039	0.039	0.039	0.039	0.039	0.039	0.039
			Vz	0.000	0.000	0.000	0.000	0.000	0.000	0.000	0.000	0.000
			Mt	0.00	0.00	0.00	0.00	0.00	0.00	0.00	0.00	0.00
			My	0.00	0.00	0.00	0.00	0.00	0.00	0.00	0.00	0.00
			Mz	0.25	0.22	0.18	0.15	0.12	0.08	0.05	0.02	-0.02
		PP+1.5·T3	N	-27.728	-24.294	-20.861	-17.427	-13.994	-10.560	-7.127	-3.693	-0.260
			Vy	-7.357	-7.357	-7.357	-7.357	-7.357	-7.357	-7.357	-7.357	-7.357
			Vz	0.000	0.000	0.000	0.000	0.000	0.000	0.000	0.000	0.000
			Mt	0.00	0.00	0.00	0.00	0.00	0.00	0.00	0.00	0.00
			My	0.00	0.00	0.00	0.00	0.00	0.00	0.00	0.00	0.00
			Mz	-50.64	-44.20	-37.76	-31.32	-24.89	-18.45	-12.01	-5.58	0.86
		1.35·PP+1.5·T3	N	-37.465	-32.829	-28.194	-23.559	-18.924	-14.289	-9.653	-5.018	-0.383
			Vy	-7.347	-7.347	-7.347	-7.347	-7.347	-7.347	-7.347	-7.347	-7.347
			Vz	0.000	0.000	0.000	0.000	0.000	0.000	0.000	0.000	0.000
			Mt	0.00	0.00	0.00	0.00	0.00	0.00	0.00	0.00	0.00
			My	0.00	0.00	0.00	0.00	0.00	0.00	0.00	0.00	0.00
			Mz	-50.57	-44.14	-37.71	-31.29	-24.86	-18.43	-12.00	-5.57	0.86
		PP+1.5·T1+1.5·T3	N	-27.697	-24.263	-20.830	-17.396	-13.963	-10.529	-7.096	-3.662	-0.229
			Vy	-9.818	-9.818	-9.818	-9.818	-9.818	-9.818	-9.818	-9.818	-9.818
			Vz	0.000	0.000	0.000	0.000	0.000	0.000	0.000	0.000	0.000
			Mt	0.00	0.00	0.00	0.00	0.00	0.00	0.00	0.00	0.00
			My	0.00	0.00	0.00	0.00	0.00	0.00	0.00	0.00	0.00
			Mz	-67.58	-58.99	-50.39	-41.80	-33.21	-24.62	-16.03	-7.44	1.15
		1.35·PP+1.5·T1+1.5·T3	N	-37.434	-32.799	-28.163	-23.528	-18.893	-14.258	-9.622	-4.987	-0.352
			Vy	-9.808	-9.808	-9.808	-9.808	-9.808	-9.808	-9.808	-9.808	-9.808
			Vz	0.000	0.000	0.000	0.000	0.000	0.000	0.000	0.000	0.000
			Mt	0.00	0.00	0.00	0.00	0.00	0.00	0.00	0.00	0.00
			My	0.00	0.00	0.00	0.00	0.00	0.00	0.00	0.00	0.00
			Mz	-67.51	-58.93	-50.35	-41.76	-33.18	-24.60	-16.02	-7.44	1.15
		PP+1.5·T2+1.5·T3	N	-27.758	-24.325	-20.891	-17.458	-14.024	-10.591	-7.157	-3.724	-0.290
			Vy	-4.895	-4.895	-4.895	-4.895	-4.895	-4.895	-4.895	-4.895	-4.895
			Vz	0.000	0.000	0.000	0.000	0.000	0.000	0.000	0.000	0.000
			Mt	0.00	0.00	0.00	0.00	0.00	0.00	0.00	0.00	0.00
			My	0.00	0.00	0.00	0.00	0.00	0.00	0.00	0.00	0.00
			Mz	-33.70	-29.41	-25.13	-20.85	-16.56	-12.28	-8.00	-3.71	0.57
		1.35·PP+1.5·T2+1.5·T3	N	-37.496	-32.860	-28.225	-23.590	-18.955	-14.319	-9.684	-5.049	-0.414
			Vy	-4.885	-4.885	-4.885	-4.885	-4.885	-4.885	-4.885	-4.885	-4.885
			Vz	0.000	0.000	0.000	0.000	0.000	0.000	0.000	0.000	0.000
			Mt	0.00	0.00	0.00	0.00	0.00	0.00	0.00	0.00	0.00
			My	0.00	0.00	0.00	0.00	0.00	0.00	0.00	0.00	0.00
			Mz	-33.63	-29.36	-25.08	-20.81	-16.53	-12.26	-7.98	-3.71	0.56
		PP+1.5·T1+1.5·T2+1.5·T3	N	-27.728	-24.294	-20.861	-17.427	-13.994	-10.560	-7.127	-3.693	-0.260
			Vy	-7.357	-7.357	-7.357	-7.357	-7.357	-7.357	-7.357	-7.357	-7.357
			Vz	0.000	0.000	0.000	0.000	0.000	0.000	0.000	0.000	0.000
			Mt	0.00	0.00	0.00	0.00	0.00	0.00	0.00	0.00	0.00
			My	0.00	0.00	0.00	0.00	0.00	0.00	0.00	0.00	0.00
			Mz	-50.64	-44.20	-37.76	-31.32	-24.89	-18.45	-12.01	-5.58	0.86
		1.35·PP+1.5·T1+1.5·T2+1.5·T3	N	-37.465	-32.829	-28.194	-23.559	-18.924	-14.289	-9.653	-5.018	-0.383
			Vy	-7.347	-7.347	-7.347	-7.347	-7.347	-7.347	-7.347	-7.347	-7.347
			Vz	0.000	0.000	0.000	0.000	0.000	0.000	0.000	0.000	0.000
			Mt	0.00	0.00	0.00	0.00	0.00	0.00	0.00	0.00	0.00
			My	0.00	0.00	0.00	0.00	0.00	0.00	0.00	0.00	0.00
			Mz	-50.57	-44.14	-37.71	-31.29	-24.86	-18.43	-12.00	-5.57	0.86
		PP+1.5·T4	N	-27.913	-24.479	-21.046	-17.612	-14.179	-10.745	-7.312	-3.878	-0.445
			Vy	7.414	7.414	7.414	7.414	7.414	7.414	7.414	7.414	7.414
			Vz	0.000	0.000	0.000	0.000	0.000	0.000	0.000	0.000	0.000
			Mt	0.00	0.00	0.00	0.00	0.00	0.00	0.00	0.00	0.00
			My	0.00	0.00	0.00	0.00	0.00	0.00	0.00	0.00	0.00
			Mz	51.01	44.52	38.03	31.55	25.06	18.57	12.09	5.60	-0.89
		1.35·PP+1.5·T4	N	-37.650	-33.015	-28.379	-23.744	-19.109	-14.474	-9.839	-5.203	-0.568
			Vy	7.424	7.424	7.424	7.424	7.424	7.424	7.424	7.424	7.424
			Vz	0.000	0.000	0.000	0.000	0.000	0.000	0.000	0.000	0.000
			Mt	0.00	0.00	0.00	0.00	0.00	0.00	0.00	0.00	0.00
			My	0.00	0.00	0.00	0.00	0.00	0.00	0.00	0.00	0.00
			Mz	51.07	44.58	38.08	31.59	25.09	18.59	12.10	5.60	-0.89
		PP+1.5·T1+1.5·T4	N	-27.882	-24.448	-21.015	-17.581	-14.148	-10.714	-7.281	-3.847	-0.414
			Vy	4.952	4.952	4.952	4.952	4.952	4.952	4.952	4.952	4.952
			Vz	0.000	0.000	0.000	0.000	0.000	0.000	0.000	0.000	0.000
			Mt	0.00	0.00	0.00	0.00	0.00	0.00	0.00	0.00	0.00
			My	0.00	0.00	0.00	0.00	0.00	0.00	0.00	0.00	0.00
			Mz	34.07	29.73	25.40	21.07	16.74	12.40	8.07	3.74	-0.60
		1.35·PP+1.5·T1+1.5·T4	N	-37.619	-32.984	-28.349	-23.713	-19.078	-14.443	-9.808	-5.172	-0.537
			Vy	4.962	4.962	4.962	4.962	4.962	4.962	4.962	4.962	4.962
			Vz	0.000	0.000	0.000	0.000	0.000	0.000	0.000	0.000	0.000

Esfuerzos en barras, por combinación												
Barra	Combinación		Esfuerzo	Posiciones en la barra								
	Tipo	Descripción		0.000 m	0.875 m	1.750 m	2.625 m	3.500 m	4.375 m	5.250 m	6.125 m	7.000 m
			Mt	0.00	0.00	0.00	0.00	0.00	0.00	0.00	0.00	0.00
			My	0.00	0.00	0.00	0.00	0.00	0.00	0.00	0.00	0.00
			Mz	34.13	29.79	25.45	21.11	16.77	12.42	8.08	3.74	-0.60
		PP+1.5·T2+1.5·T4	N	-27.944	-24.510	-21.077	-17.643	-14.210	-10.776	-7.343	-3.909	-0.476
			Vy	9.875	9.875	9.875	9.875	9.875	9.875	9.875	9.875	9.875
			Vz	0.000	0.000	0.000	0.000	0.000	0.000	0.000	0.000	0.000
			Mt	0.00	0.00	0.00	0.00	0.00	0.00	0.00	0.00	0.00
			My	0.00	0.00	0.00	0.00	0.00	0.00	0.00	0.00	0.00
			Mz	67.95	59.31	50.67	42.03	33.39	24.74	16.10	7.46	-1.18
		1.35·PP+1.5·T2+1.5·T4	N	-37.681	-33.045	-28.410	-23.775	-19.140	-14.505	-9.869	-5.234	-0.599
			Vy	9.885	9.885	9.885	9.885	9.885	9.885	9.885	9.885	9.885
			Vz	0.000	0.000	0.000	0.000	0.000	0.000	0.000	0.000	0.000
			Mt	0.00	0.00	0.00	0.00	0.00	0.00	0.00	0.00	0.00
			My	0.00	0.00	0.00	0.00	0.00	0.00	0.00	0.00	0.00
			Mz	68.01	59.36	50.71	42.07	33.42	24.77	16.12	7.47	-1.18
		PP+1.5·T1+1.5·T2+1.5·T4	N	-27.913	-24.479	-21.046	-17.612	-14.179	-10.745	-7.312	-3.878	-0.445
			Vy	7.414	7.414	7.414	7.414	7.414	7.414	7.414	7.414	7.414
			Vz	0.000	0.000	0.000	0.000	0.000	0.000	0.000	0.000	0.000
			Mt	0.00	0.00	0.00	0.00	0.00	0.00	0.00	0.00	0.00
			My	0.00	0.00	0.00	0.00	0.00	0.00	0.00	0.00	0.00
			Mz	51.01	44.52	38.03	31.55	25.06	18.57	12.09	5.60	-0.89
		1.35·PP+1.5·T1+1.5·T2+1.5·T4	N	-37.650	-33.015	-28.379	-23.744	-19.109	-14.474	-9.839	-5.203	-0.568
			Vy	7.424	7.424	7.424	7.424	7.424	7.424	7.424	7.424	7.424
			Vz	0.000	0.000	0.000	0.000	0.000	0.000	0.000	0.000	0.000
			Mt	0.00	0.00	0.00	0.00	0.00	0.00	0.00	0.00	0.00
			My	0.00	0.00	0.00	0.00	0.00	0.00	0.00	0.00	0.00
			Mz	51.07	44.58	38.08	31.59	25.09	18.59	12.10	5.60	-0.89
		PP+1.5·T3+1.5·T4	N	-27.820	-24.387	-20.953	-17.520	-14.086	-10.653	-7.219	-3.786	-0.352
			Vy	0.029	0.029	0.029	0.029	0.029	0.029	0.029	0.029	0.029
			Vz	0.000	0.000	0.000	0.000	0.000	0.000	0.000	0.000	0.000
			Mt	0.00	0.00	0.00	0.00	0.00	0.00	0.00	0.00	0.00
			My	0.00	0.00	0.00	0.00	0.00	0.00	0.00	0.00	0.00
			Mz	0.19	0.16	0.14	0.11	0.09	0.06	0.04	0.01	-0.01
		1.35·PP+1.5·T3+1.5·T4	N	-37.557	-32.922	-28.287	-23.652	-19.016	-14.381	-9.746	-5.111	-0.475
			Vy	0.039	0.039	0.039	0.039	0.039	0.039	0.039	0.039	0.039
			Vz	0.000	0.000	0.000	0.000	0.000	0.000	0.000	0.000	0.000
			Mt	0.00	0.00	0.00	0.00	0.00	0.00	0.00	0.00	0.00
			My	0.00	0.00	0.00	0.00	0.00	0.00	0.00	0.00	0.00
			Mz	0.25	0.22	0.18	0.15	0.12	0.08	0.05	0.02	-0.02
		PP+1.5·T1+1.5·T3+1.5·T4	N	-27.789	-24.356	-20.922	-17.489	-14.055	-10.622	-7.188	-3.755	-0.321
			Vy	-2.433	-2.433	-2.433	-2.433	-2.433	-2.433	-2.433	-2.433	-2.433
			Vz	0.000	0.000	0.000	0.000	0.000	0.000	0.000	0.000	0.000
			Mt	0.00	0.00	0.00	0.00	0.00	0.00	0.00	0.00	0.00
			My	0.00	0.00	0.00	0.00	0.00	0.00	0.00	0.00	0.00
			Mz	-16.75	-14.63	-12.50	-10.37	-8.24	-6.11	-3.98	-1.85	0.28
		1.35·PP+1.5·T1+1.5·T3+1.5·T4	N	-37.526	-32.891	-28.256	-23.621	-18.985	-14.350	-9.715	-5.080	-0.445
			Vy	-2.423	-2.423	-2.423	-2.423	-2.423	-2.423	-2.423	-2.423	-2.423
			Vz	0.000	0.000	0.000	0.000	0.000	0.000	0.000	0.000	0.000
			Mt	0.00	0.00	0.00	0.00	0.00	0.00	0.00	0.00	0.00
			My	0.00	0.00	0.00	0.00	0.00	0.00	0.00	0.00	0.00
			Mz	-16.69	-14.57	-12.45	-10.33	-8.21	-6.09	-3.97	-1.85	0.27
		PP+1.5·T2+1.5·T3+1.5·T4	N	-27.851	-24.418	-20.984	-17.551	-14.117	-10.684	-7.250	-3.817	-0.383
			Vy	2.490	2.490	2.490	2.490	2.490	2.490	2.490	2.490	2.490
			Vz	0.000	0.000	0.000	0.000	0.000	0.000	0.000	0.000	0.000
			Mt	0.00	0.00	0.00	0.00	0.00	0.00	0.00	0.00	0.00
			My	0.00	0.00	0.00	0.00	0.00	0.00	0.00	0.00	0.00
			Mz	17.13	14.95	12.77	10.59	8.41	6.23	4.05	1.87	-0.31
		1.35·PP+1.5·T2+1.5·T3+1.5·T4	N	-37.588	-32.953	-28.318	-23.682	-19.047	-14.412	-9.777	-5.142	-0.506
			Vy	2.500	2.500	2.500	2.500	2.500	2.500	2.500	2.500	2.500
			Vz	0.000	0.000	0.000	0.000	0.000	0.000	0.000	0.000	0.000
			Mt	0.00	0.00	0.00	0.00	0.00	0.00	0.00	0.00	0.00
			My	0.00	0.00	0.00	0.00	0.00	0.00	0.00	0.00	0.00
			Mz	17.19	15.00	12.82	10.63	8.44	6.25	4.07	1.88	-0.31
		PP+1.5·T1+1.5·T2+1.5·T3+1.5·T4	N	-27.820	-24.387	-20.953	-17.520	-14.086	-10.653	-7.219	-3.786	-0.352
			Vy	0.029	0.029	0.029	0.029	0.029	0.029	0.029	0.029	0.029
			Vz	0.000	0.000	0.000	0.000	0.000	0.000	0.000	0.000	0.000
			Mt	0.00	0.00	0.00	0.00	0.00	0.00	0.00	0.00	0.00
			My	0.00	0.00	0.00	0.00	0.00	0.00	0.00	0.00	0.00
			Mz	0.19	0.16	0.14	0.11	0.09	0.06	0.04	0.01	-0.01
		1.35·PP+1.5·T1+1.5·T2+1.5·T3+1.5·T4	N	-37.557	-32.922	-28.287	-23.652	-19.016	-14.381	-9.746	-5.111	-0.475
			Vy	0.039	0.039	0.039	0.039	0.039	0.039	0.039	0.039	0.039
			Vz	0.000	0.000	0.000	0.000	0.000	0.000	0.000	0.000	0.000
			Mt	0.00	0.00	0.00	0.00	0.00	0.00	0.00	0.00	0.00
			My	0.00	0.00	0.00	0.00	0.00	0.00	0.00	0.00	0.00
			Mz	0.25	0.22	0.18	0.15	0.12	0.08	0.05	0.02	-0.02

Esfuerzos en barras, por combinación

Barra	Combinación		Esfuerzo	Posiciones en la barra								
	Tipo	Descripción		0.000 m	0.200 m	0.400 m	0.800 m	1.000 m	1.200 m	1.600 m	1.800 m	2.000 m
N5/N25	Hormigón	PP	N	-43.880	-42.899	-41.918	-39.956	-38.975	-37.994	-36.032	-35.051	-34.070
			Vy	-4.392	-4.392	-4.392	-4.392	-4.392	-4.392	-4.392	-4.392	-4.392
			Vz	0.000	0.000	0.000	0.000	0.000	0.000	0.000	0.000	0.000
			Mt	0.00	0.00	0.00	0.00	0.00	0.00	0.00	0.00	0.00
			My	0.00	0.00	0.00	0.00	0.00	0.00	0.00	0.00	0.00
			Mz	-2.13	-1.25	-0.37	1.38	2.26	3.14	4.90	5.78	6.65
		1.35·PP	N	-59.239	-57.914	-56.590	-53.941	-52.617	-51.292	-48.644	-47.319	-45.995
			Vy	-5.929	-5.929	-5.929	-5.929	-5.929	-5.929	-5.929	-5.929	-5.929
			Vz	0.000	0.000	0.000	0.000	0.000	0.000	0.000	0.000	0.000
			Mt	0.00	0.00	0.00	0.00	0.00	0.00	0.00	0.00	0.00
			My	0.00	0.00	0.00	0.00	0.00	0.00	0.00	0.00	0.00
			Mz	-2.87	-1.69	-0.50	1.87	3.05	4.24	6.61	7.80	8.98
		PP+1.5·T1	N	-49.807	-48.826	-47.845	-45.883	-44.902	-43.921	-41.959	-40.978	-39.997
			Vy	-96.847	-96.847	-96.847	-96.847	-96.847	-96.847	-96.847	-96.847	-96.847
			Vz	0.000	0.000	0.000	0.000	0.000	0.000	0.000	0.000	0.000
			Mt	0.00	0.00	0.00	0.00	0.00	0.00	0.00	0.00	0.00
			My	0.00	0.00	0.00	0.00	0.00	0.00	0.00	0.00	0.00
			Mz	-134.36	-114.99	-95.63	-56.89	-37.52	-18.15	20.59	39.96	59.33
		1.35·PP+1.5·T1	N	-65.166	-63.841	-62.517	-59.868	-58.544	-57.219	-54.571	-53.246	-51.922
			Vy	-98.384	-98.384	-98.384	-98.384	-98.384	-98.384	-98.384	-98.384	-98.384
			Vz	0.000	0.000	0.000	0.000	0.000	0.000	0.000	0.000	0.000
			Mt	0.00	0.00	0.00	0.00	0.00	0.00	0.00	0.00	0.00
			My	0.00	0.00	0.00	0.00	0.00	0.00	0.00	0.00	0.00
			Mz	-135.11	-115.43	-95.76	-56.40	-36.73	-17.05	22.31	41.98	61.66
		PP+1.5·T2	N	-37.954	-36.973	-35.992	-34.030	-33.049	-32.068	-30.106	-29.125	-28.144
			Vy	88.063	88.063	88.063	88.063	88.063	88.063	88.063	88.063	88.063
			Vz	0.000	0.000	0.000	0.000	0.000	0.000	0.000	0.000	0.000
			Mt	0.00	0.00	0.00	0.00	0.00	0.00	0.00	0.00	0.00
			My	0.00	0.00	0.00	0.00	0.00	0.00	0.00	0.00	0.00
			Mz	130.11	112.49	94.88	59.66	42.04	24.43	-10.79	-28.41	-46.02
		1.35·PP+1.5·T2	N	-53.312	-51.987	-50.663	-48.014	-46.690	-45.366	-42.717	-41.393	-40.068
			Vy	86.525	86.525	86.525	86.525	86.525	86.525	86.525	86.525	86.525
			Vz	0.000	0.000	0.000	0.000	0.000	0.000	0.000	0.000	0.000
			Mt	0.00	0.00	0.00	0.00	0.00	0.00	0.00	0.00	0.00
			My	0.00	0.00	0.00	0.00	0.00	0.00	0.00	0.00	0.00
			Mz	129.36	112.05	94.75	60.14	42.83	25.53	-9.08	-26.39	-43.69
		PP+1.5·T1+1.5·T2	N	-43.880	-42.899	-41.918	-39.956	-38.975	-37.994	-36.032	-35.051	-34.070
			Vy	-4.392	-4.392	-4.392	-4.392	-4.392	-4.392	-4.392	-4.392	-4.392
			Vz	0.000	0.000	0.000	0.000	0.000	0.000	0.000	0.000	0.000
			Mt	0.00	0.00	0.00	0.00	0.00	0.00	0.00	0.00	0.00
			My	0.00	0.00	0.00	0.00	0.00	0.00	0.00	0.00	0.00
			Mz	-2.13	-1.25	-0.37	1.38	2.26	3.14	4.90	5.78	6.65
		1.35·PP+1.5·T1+1.5·T2	N	-59.239	-57.914	-56.590	-53.941	-52.617	-51.292	-48.644	-47.319	-45.995
			Vy	-5.929	-5.929	-5.929	-5.929	-5.929	-5.929	-5.929	-5.929	-5.929
			Vz	0.000	0.000	0.000	0.000	0.000	0.000	0.000	0.000	0.000
			Mt	0.00	0.00	0.00	0.00	0.00	0.00	0.00	0.00	0.00
			My	0.00	0.00	0.00	0.00	0.00	0.00	0.00	0.00	0.00
			Mz	-2.87	-1.69	-0.50	1.87	3.05	4.24	6.61	7.80	8.98
		PP+1.5·T3	N	-61.661	-60.680	-59.699	-57.737	-56.756	-55.775	-53.813	-52.832	-51.851
			Vy	-281.756	-281.756	-281.756	-281.756	-281.756	-281.756	-281.756	-281.756	-281.756
			Vz	0.000	0.000	0.000	0.000	0.000	0.000	0.000	0.000	0.000
			Mt	0.00	0.00	0.00	0.00	0.00	0.00	0.00	0.00	0.00
			My	0.00	0.00	0.00	0.00	0.00	0.00	0.00	0.00	0.00
			Mz	-398.83	-342.48	-286.13	-173.43	-117.08	-60.73	51.98	108.33	164.68
		1.35·PP+1.5·T3	N	-77.019	-75.695	-74.371	-71.722	-70.398	-69.073	-66.425	-65.100	-63.776
			Vy	-283.294	-283.294	-283.294	-283.294	-283.294	-283.294	-283.294	-283.294	-283.294
			Vz	0.000	0.000	0.000	0.000	0.000	0.000	0.000	0.000	0.000
			Mt	0.00	0.00	0.00	0.00	0.00	0.00	0.00	0.00	0.00
			My	0.00	0.00	0.00	0.00	0.00	0.00	0.00	0.00	0.00
			Mz	-399.58	-342.92	-286.26	-172.94	-116.28	-59.63	53.69	110.35	167.01
		PP+1.5·T1+1.5·T3	N	-67.588	-66.607	-65.626	-63.664	-62.683	-61.702	-59.740	-58.759	-57.778
			Vy	-374.211	-374.211	-374.211	-374.211	-374.211	-374.211	-374.211	-374.211	-374.211
			Vz	0.000	0.000	0.000	0.000	0.000	0.000	0.000	0.000	0.000
			Mt	0.00	0.00	0.00	0.00	0.00	0.00	0.00	0.00	0.00
			My	0.00	0.00	0.00	0.00	0.00	0.00	0.00	0.00	0.00
			Mz	-531.07	-456.23	-381.38	-231.70	-156.86	-82.01	67.67	142.51	217.35
		1.35·PP+1.5·T1+1.5·T3	N	-82.946	-81.622	-80.298	-77.649	-76.325	-75.000	-72.351	-71.027	-69.703
			Vy	-375.748	-375.748	-375.748	-375.748	-375.748	-375.748	-375.748	-375.748	-375.748
			Vz	0.000	0.000	0.000	0.000	0.000	0.000	0.000	0.000	0.000
			Mt	0.00	0.00	0.00	0.00	0.00	0.00	0.00	0.00	0.00
			My	0.00	0.00	0.00	0.00	0.00	0.00	0.00	0.00	0.00
			Mz	-531.81	-456.66	-381.51	-231.21	-156.06	-80.91	69.38	144.53	219.68
		PP+1.5·T2+1.5·T3	N	-55.734	-54.753	-53.772	-51.810	-50.829	-49.848	-47.886	-46.905	-45.924
			Vy	-189.302	-189.302	-189.302	-189.302	-189.302	-189.302	-189.302	-189.302	-189.302
			Vz	0.000	0.000	0.000	0.000	0.000	0.000	0.000	0.000	0.000
			Mt	0.00	0.00	0.00	0.00	0.00	0.00	0.00	0.00	0.00
			My	0.00	0.00	0.00	0.00	0.00	0.00	0.00	0.00	0.00
			Mz	-266.60	-228.74	-190.88	-115.16	-77.30	-39.44	36.28	74.14	112.00
		1.35·PP+1.5·T2+1.5·T3	N	-71.092	-69.768	-68.444	-65.795	-64.471	-63.146	-60.498	-59.173	-57.849
			Vy	-190.839	-190.839	-190.839	-190.839	-190.839	-190.839	-190.839	-190.839	-190.839
			Vz	0.000	0.000	0.000	0.000	0.000	0.000	0.000	0.000	0.000
			Mt	0.00	0.00	0.00	0.00	0.00	0.00	0.00	0.00	0.00
			My	0.00	0.00	0.00	0.00	0.00	0.00	0.00	0.00	0.00

Esfuerzos en barras, por combinación													
Barra	Combinación		Esfuerzo	Posiciones en la barra									
	Tipo	Descripción		0.000 m	0.200 m	0.400 m	0.800 m	1.000 m	1.200 m	1.600 m	1.800 m	2.000 m
			Mz	-267.34	-229.18	-191.01	-114.67	-76.50	-38.34	38.00	76.17	114.33
		PP+1.5·T1+1.5·T2+1.5·T3	N	-61.661	-60.680	-59.699	-57.737	-56.756	-55.775	-53.813	-52.832	-51.851
			Vy	-281.756	-281.756	-281.756	-281.756	-281.756	-281.756	-281.756	-281.756	-281.756
			Vz	0.000	0.000	0.000	0.000	0.000	0.000	0.000	0.000	0.000
			Mt	0.00	0.00	0.00	0.00	0.00	0.00	0.00	0.00	0.00
			My	0.00	0.00	0.00	0.00	0.00	0.00	0.00	0.00	0.00
			Mz	-398.83	-342.48	-286.13	-173.43	-117.08	-60.73	51.98	108.33	164.68
		1.35·PP+1.5·T1+1.5·T2+1.5·T3	N	-77.019	-75.695	-74.371	-71.722	-70.398	-69.073	-66.425	-65.100	-63.776
			Vy	-283.294	-283.294	-283.294	-283.294	-283.294	-283.294	-283.294	-283.294	-283.294
			Vz	0.000	0.000	0.000	0.000	0.000	0.000	0.000	0.000	0.000
			Mt	0.00	0.00	0.00	0.00	0.00	0.00	0.00	0.00	0.00
			My	0.00	0.00	0.00	0.00	0.00	0.00	0.00	0.00	0.00
			Mz	-399.58	-342.92	-286.26	-172.94	-116.28	-59.63	53.69	110.35	167.01
		PP+1.5·T4	N	-26.100	-25.119	-24.138	-22.176	-21.195	-20.214	-18.252	-17.271	-16.290
			Vy	272.972	272.972	272.972	272.972	272.972	272.972	272.972	272.972	272.972
			Vz	0.000	0.000	0.000	0.000	0.000	0.000	0.000	0.000	0.000
			Mt	0.00	0.00	0.00	0.00	0.00	0.00	0.00	0.00	0.00
			My	0.00	0.00	0.00	0.00	0.00	0.00	0.00	0.00	0.00
			Mz	394.57	339.98	285.39	176.20	121.60	67.01	-42.18	-96.78	-151.37
		1.35·PP+1.5·T4	N	-41.458	-40.134	-38.809	-36.160	-34.836	-33.512	-30.863	-29.539	-28.214
			Vy	271.435	271.435	271.435	271.435	271.435	271.435	271.435	271.435	271.435
			Vz	0.000	0.000	0.000	0.000	0.000	0.000	0.000	0.000	0.000
			Mt	0.00	0.00	0.00	0.00	0.00	0.00	0.00	0.00	0.00
			My	0.00	0.00	0.00	0.00	0.00	0.00	0.00	0.00	0.00
			Mz	393.83	339.54	285.25	176.68	122.39	68.11	-40.47	-94.75	-149.04
		PP+1.5·T1+1.5·T4	N	-32.027	-31.046	-30.065	-28.103	-27.122	-26.141	-24.179	-23.198	-22.217
			Vy	180.517	180.517	180.517	180.517	180.517	180.517	180.517	180.517	180.517
			Vz	0.000	0.000	0.000	0.000	0.000	0.000	0.000	0.000	0.000
			Mt	0.00	0.00	0.00	0.00	0.00	0.00	0.00	0.00	0.00
			My	0.00	0.00	0.00	0.00	0.00	0.00	0.00	0.00	0.00
			Mz	262.34	226.24	190.13	117.93	81.82	45.72	-26.49	-62.59	-98.69
		1.35·PP+1.5·T1+1.5·T4	N	-47.385	-46.060	-44.736	-42.087	-40.763	-39.439	-36.790	-35.466	-34.141
			Vy	178.980	178.980	178.980	178.980	178.980	178.980	178.980	178.980	178.980
			Vz	0.000	0.000	0.000	0.000	0.000	0.000	0.000	0.000	0.000
			Mt	0.00	0.00	0.00	0.00	0.00	0.00	0.00	0.00	0.00
			My	0.00	0.00	0.00	0.00	0.00	0.00	0.00	0.00	0.00
			Mz	261.59	225.80	190.00	118.41	82.61	46.82	-24.77	-60.57	-96.37
		PP+1.5·T2+1.5·T4	N	-20.173	-19.192	-18.211	-16.249	-15.268	-14.287	-12.325	-11.344	-10.363
			Vy	365.427	365.427	365.427	365.427	365.427	365.427	365.427	365.427	365.427
			Vz	0.000	0.000	0.000	0.000	0.000	0.000	0.000	0.000	0.000
			Mt	0.00	0.00	0.00	0.00	0.00	0.00	0.00	0.00	0.00
			My	0.00	0.00	0.00	0.00	0.00	0.00	0.00	0.00	0.00
			Mz	526.81	453.72	380.64	234.47	161.38	88.30	-57.87	-130.96	-204.04
		1.35·PP+1.5·T2+1.5·T4	N	-35.531	-34.207	-32.882	-30.234	-28.909	-27.585	-24.936	-23.612	-22.287
			Vy	363.889	363.889	363.889	363.889	363.889	363.889	363.889	363.889	363.889
			Vz	0.000	0.000	0.000	0.000	0.000	0.000	0.000	0.000	0.000
			Mt	0.00	0.00	0.00	0.00	0.00	0.00	0.00	0.00	0.00
			My	0.00	0.00	0.00	0.00	0.00	0.00	0.00	0.00	0.00
			Mz	526.06	453.29	380.51	234.95	162.17	89.40	-56.16	-128.94	-201.72
		PP+1.5·T1+1.5·T2+1.5·T4	N	-26.100	-25.119	-24.138	-22.176	-21.195	-20.214	-18.252	-17.271	-16.290
			Vy	272.972	272.972	272.972	272.972	272.972	272.972	272.972	272.972	272.972
			Vz	0.000	0.000	0.000	0.000	0.000	0.000	0.000	0.000	0.000
			Mt	0.00	0.00	0.00	0.00	0.00	0.00	0.00	0.00	0.00
			My	0.00	0.00	0.00	0.00	0.00	0.00	0.00	0.00	0.00
			Mz	394.57	339.98	285.39	176.20	121.60	67.01	-42.18	-96.78	-151.37
		1.35·PP+1.5·T1+1.5·T2+1.5·T4	N	-41.458	-40.134	-38.809	-36.160	-34.836	-33.512	-30.863	-29.539	-28.214
			Vy	271.435	271.435	271.435	271.435	271.435	271.435	271.435	271.435	271.435
			Vz	0.000	0.000	0.000	0.000	0.000	0.000	0.000	0.000	0.000
			Mt	0.00	0.00	0.00	0.00	0.00	0.00	0.00	0.00	0.00
			My	0.00	0.00	0.00	0.00	0.00	0.00	0.00	0.00	0.00
			Mz	393.83	339.54	285.25	176.68	122.39	68.11	-40.47	-94.75	-149.04
		PP+1.5·T3+1.5·T4	N	-43.880	-42.899	-41.918	-39.956	-38.975	-37.994	-36.032	-35.051	-34.070
			Vy	-4.392	-4.392	-4.392	-4.392	-4.392	-4.392	-4.392	-4.392	-4.392
			Vz	0.000	0.000	0.000	0.000	0.000	0.000	0.000	0.000	0.000
			Mt	0.00	0.00	0.00	0.00	0.00	0.00	0.00	0.00	0.00
			My	0.00	0.00	0.00	0.00	0.00	0.00	0.00	0.00	0.00
			Mz	-2.13	-1.25	-0.37	1.38	2.26	3.14	4.90	5.78	6.65
		1.35·PP+1.5·T3+1.5·T4	N	-59.239	-57.914	-56.590	-53.941	-52.617	-51.292	-48.644	-47.319	-45.995
			Vy	-5.929	-5.929	-5.929	-5.929	-5.929	-5.929	-5.929	-5.929	-5.929
			Vz	0.000	0.000	0.000	0.000	0.000	0.000	0.000	0.000	0.000
			Mt	0.00	0.00	0.00	0.00	0.00	0.00	0.00	0.00	0.00
			My	0.00	0.00	0.00	0.00	0.00	0.00	0.00	0.00	0.00
			Mz	-2.87	-1.69	-0.50	1.87	3.05	4.24	6.61	7.80	8.98
		PP+1.5·T1+1.5·T3+1.5·T4	N	-49.807	-48.826	-47.845	-45.883	-44.902	-43.921	-41.959	-40.978	-39.997
			Vy	-96.847	-96.847	-96.847	-96.847	-96.847	-96.847	-96.847	-96.847	-96.847
			Vz	0.000	0.000	0.000	0.000	0.000	0.000	0.000	0.000	0.000
			Mt	0.00	0.00	0.00	0.00	0.00	0.00	0.00	0.00	0.00
			My	0.00	0.00	0.00	0.00	0.00	0.00	0.00	0.00	0.00
			Mz	-134.36	-114.99	-95.63	-56.89	-37.52	-18.15	20.59	39.96	59.33
		1.35·PP+1.5·T1+1.5·T3+1.5·T4	N	-65.166	-63.841	-62.517	-59.868	-58.544	-57.219	-54.571	-53.246	-51.922
			Vy	-98.384	-98.384	-98.384	-98.384	-98.384	-98.384	-98.384	-98.384	-98.384
			Vz	0.000	0.000	0.000	0.000	0.000	0.000	0.000	0.000	0.000
			Mt	0.00	0.00	0.00	0.00	0.00	0.00	0.00	0.00	0.00

Esfuerzos en barras, por combinación

Barra	Combinación		Esfuerzo	Posiciones en la barra								
	Tipo	Descripción		0.000 m	0.200 m	0.400 m	0.800 m	1.000 m	1.200 m	1.600 m	1.800 m	2.000 m
			My	0.00	0.00	0.00	0.00	0.00	0.00	0.00	0.00	0.00
			Mz	-135.11	-115.43	-95.76	-56.40	-36.73	-17.05	22.31	41.98	61.66
		PP+1.5·T2+1.5·T3+1.5·T4	N	-37.954	-36.973	-35.992	-34.030	-33.049	-32.068	-30.106	-29.125	-28.144
			Vy	88.063	88.063	88.063	88.063	88.063	88.063	88.063	88.063	88.063
			Vz	0.000	0.000	0.000	0.000	0.000	0.000	0.000	0.000	0.000
			Mt	0.00	0.00	0.00	0.00	0.00	0.00	0.00	0.00	0.00
			My	0.00	0.00	0.00	0.00	0.00	0.00	0.00	0.00	0.00
			Mz	130.11	112.49	94.88	59.66	42.04	24.43	-10.79	-28.41	-46.02
		1.35·PP+1.5·T2+1.5·T3+1.5·T4	N	-53.312	-51.987	-50.663	-48.014	-46.690	-45.366	-42.717	-41.393	-40.068
			Vy	86.525	86.525	86.525	86.525	86.525	86.525	86.525	86.525	86.525
			Vz	0.000	0.000	0.000	0.000	0.000	0.000	0.000	0.000	0.000
			Mt	0.00	0.00	0.00	0.00	0.00	0.00	0.00	0.00	0.00
			My	0.00	0.00	0.00	0.00	0.00	0.00	0.00	0.00	0.00
			Mz	129.36	112.05	94.75	60.14	42.83	25.53	-9.08	-26.39	-43.69
		PP+1.5·T1+1.5·T2+1.5·T3+1.5·T4	N	-43.880	-42.899	-41.918	-39.956	-38.975	-37.994	-36.032	-35.051	-34.070
			Vy	-4.392	-4.392	-4.392	-4.392	-4.392	-4.392	-4.392	-4.392	-4.392
			Vz	0.000	0.000	0.000	0.000	0.000	0.000	0.000	0.000	0.000
			Mt	0.00	0.00	0.00	0.00	0.00	0.00	0.00	0.00	0.00
			My	0.00	0.00	0.00	0.00	0.00	0.00	0.00	0.00	0.00
			Mz	-2.13	-1.25	-0.37	1.38	2.26	3.14	4.90	5.78	6.65
		1.35·PP+1.5·T1+1.5·T2+1.5·T3+1.5·T4	N	-59.239	-57.914	-56.590	-53.941	-52.617	-51.292	-48.644	-47.319	-45.995
			Vy	-5.929	-5.929	-5.929	-5.929	-5.929	-5.929	-5.929	-5.929	-5.929
			Vz	0.000	0.000	0.000	0.000	0.000	0.000	0.000	0.000	0.000
			Mt	0.00	0.00	0.00	0.00	0.00	0.00	0.00	0.00	0.00
			My	0.00	0.00	0.00	0.00	0.00	0.00	0.00	0.00	0.00
			Mz	-2.87	-1.69	-0.50	1.87	3.05	4.24	6.61	7.80	8.98

Esfuerzos en barras, por combinación

Barra	Combinación		Esfuerzo	Posiciones en la barra								
	Tipo	Descripción		0.000 m	0.625 m	1.250 m	1.875 m	2.500 m	3.125 m	3.750 m	4.375 m	5.000 m
N25/N6	Hormigón	PP	N	-24.885	-21.819	-18.754	-15.688	-12.623	-9.557	-6.491	-3.426	-0.360
			Vy	-0.492	-0.492	-0.492	-0.492	-0.492	-0.492	-0.492	-0.492	-0.492
			Vz	0.000	0.000	0.000	0.000	0.000	0.000	0.000	0.000	0.000
			Mt	0.00	0.00	0.00	0.00	0.00	0.00	0.00	0.00	0.00
			My	0.00	0.00	0.00	0.00	0.00	0.00	0.00	0.00	0.00
			Mz	-2.43	-2.12	-1.81	-1.50	-1.20	-0.89	-0.58	-0.27	0.03
		1.35·PP	N	-33.595	-29.456	-25.318	-21.179	-17.040	-12.902	-8.763	-4.625	-0.486
			Vy	-0.664	-0.664	-0.664	-0.664	-0.664	-0.664	-0.664	-0.664	-0.664
			Vz	0.000	0.000	0.000	0.000	0.000	0.000	0.000	0.000	0.000
			Mt	0.00	0.00	0.00	0.00	0.00	0.00	0.00	0.00	0.00
			My	0.00	0.00	0.00	0.00	0.00	0.00	0.00	0.00	0.00
			Mz	-3.27	-2.86	-2.44	-2.03	-1.61	-1.20	-0.78	-0.37	0.05
		PP+1.5·T1	N	-24.859	-21.794	-18.728	-15.662	-12.597	-9.531	-6.466	-3.400	-0.334
			Vy	5.821	5.821	5.821	5.821	5.821	5.821	5.821	5.821	5.821
			Vz	0.000	0.000	0.000	0.000	0.000	0.000	0.000	0.000	0.000
			Mt	0.00	0.00	0.00	0.00	0.00	0.00	0.00	0.00	0.00
			My	0.00	0.00	0.00	0.00	0.00	0.00	0.00	0.00	0.00
			Mz	29.20	25.57	21.93	18.29	14.65	11.01	7.37	3.74	0.10
		1.35·PP+1.5·T1	N	-33.569	-29.431	-25.292	-21.153	-17.015	-12.876	-8.738	-4.599	-0.460
			Vy	5.649	5.649	5.649	5.649	5.649	5.649	5.649	5.649	5.649
			Vz	0.000	0.000	0.000	0.000	0.000	0.000	0.000	0.000	0.000
			Mt	0.00	0.00	0.00	0.00	0.00	0.00	0.00	0.00	0.00
			My	0.00	0.00	0.00	0.00	0.00	0.00	0.00	0.00	0.00
			Mz	28.35	24.82	21.29	17.76	14.23	10.70	7.17	3.64	0.11
		PP+1.5·T2	N	-24.911	-21.845	-18.779	-15.714	-12.648	-9.583	-6.517	-3.451	-0.386
			Vy	-6.805	-6.805	-6.805	-6.805	-6.805	-6.805	-6.805	-6.805	-6.805
			Vz	0.000	0.000	0.000	0.000	0.000	0.000	0.000	0.000	0.000
			Mt	0.00	0.00	0.00	0.00	0.00	0.00	0.00	0.00	0.00
			My	0.00	0.00	0.00	0.00	0.00	0.00	0.00	0.00	0.00
			Mz	-34.06	-29.80	-25.55	-21.30	-17.04	-12.79	-8.54	-4.28	-0.03
		1.35·PP+1.5·T2	N	-33.621	-29.482	-25.343	-21.205	-17.066	-12.928	-8.789	-4.650	-0.512
			Vy	-6.977	-6.977	-6.977	-6.977	-6.977	-6.977	-6.977	-6.977	-6.977
			Vz	0.000	0.000	0.000	0.000	0.000	0.000	0.000	0.000	0.000
			Mt	0.00	0.00	0.00	0.00	0.00	0.00	0.00	0.00	0.00
			My	0.00	0.00	0.00	0.00	0.00	0.00	0.00	0.00	0.00
			Mz	-34.90	-30.54	-26.18	-21.82	-17.46	-13.10	-8.74	-4.38	-0.02
		PP+1.5·T1+1.5·T2	N	-24.885	-21.819	-18.754	-15.688	-12.623	-9.557	-6.491	-3.426	-0.360
			Vy	-0.492	-0.492	-0.492	-0.492	-0.492	-0.492	-0.492	-0.492	-0.492
			Vz	0.000	0.000	0.000	0.000	0.000	0.000	0.000	0.000	0.000
			Mt	0.00	0.00	0.00	0.00	0.00	0.00	0.00	0.00	0.00
			My	0.00	0.00	0.00	0.00	0.00	0.00	0.00	0.00	0.00
			Mz	-2.43	-2.12	-1.81	-1.50	-1.20	-0.89	-0.58	-0.27	0.03
		1.35·PP+1.5·T1+1.5·T2	N	-33.595	-29.456	-25.318	-21.179	-17.040	-12.902	-8.763	-4.625	-0.486
			Vy	-0.664	-0.664	-0.664	-0.664	-0.664	-0.664	-0.664	-0.664	-0.664
			Vz	0.000	0.000	0.000	0.000	0.000	0.000	0.000	0.000	0.000
			Mt	0.00	0.00	0.00	0.00	0.00	0.00	0.00	0.00	0.00
			My	0.00	0.00	0.00	0.00	0.00	0.00	0.00	0.00	0.00
			Mz	-3.27	-2.86	-2.44	-2.03	-1.61	-1.20	-0.78	-0.37	0.05
		PP+1.5·T3	N	-24.808	-21.742	-18.677	-15.611	-12.545	-9.480	-6.414	-3.349	-0.283
			Vy	18.447	18.447	18.447	18.447	18.447	18.447	18.447	18.447	18.447

Esfuerzos en barras, por combinación

Barra	Combinación		Esfuerzo	Posiciones en la barra								
	Tipo	Descripción		0.000 m	0.625 m	1.250 m	1.875 m	2.500 m	3.125 m	3.750 m	4.375 m	5.000 m
			Vz	0.000	0.000	0.000	0.000	0.000	0.000	0.000	0.000	0.000
			Mt	0.00	0.00	0.00	0.00	0.00	0.00	0.00	0.00	0.00
			My	0.00	0.00	0.00	0.00	0.00	0.00	0.00	0.00	0.00
			Mz	92.46	80.93	69.40	57.87	46.35	34.82	23.29	11.76	0.23
		1.35·PP+1.5·T3	N	-33.518	-29.379	-25.241	-21.102	-16.963	-12.825	-8.686	-4.548	-0.409
			Vy	18.275	18.275	18.275	18.275	18.275	18.275	18.275	18.275	18.275
			Vz	0.000	0.000	0.000	0.000	0.000	0.000	0.000	0.000	0.000
			Mt	0.00	0.00	0.00	0.00	0.00	0.00	0.00	0.00	0.00
			My	0.00	0.00	0.00	0.00	0.00	0.00	0.00	0.00	0.00
			Mz	91.61	80.19	68.77	57.35	45.93	34.51	23.08	11.66	0.24
		PP+1.5·T1+1.5·T3	N	-24.782	-21.717	-18.651	-15.585	-12.520	-9.454	-6.389	-3.323	-0.257
			Vy	24.760	24.760	24.760	24.760	24.760	24.760	24.760	24.760	24.760
			Vz	0.000	0.000	0.000	0.000	0.000	0.000	0.000	0.000	0.000
			Mt	0.00	0.00	0.00	0.00	0.00	0.00	0.00	0.00	0.00
			My	0.00	0.00	0.00	0.00	0.00	0.00	0.00	0.00	0.00
			Mz	124.09	108.62	93.14	77.67	62.19	46.72	31.24	15.77	0.29
		1.35·PP+1.5·T1+1.5·T3	N	-33.492	-29.353	-25.215	-21.076	-16.938	-12.799	-8.660	-4.522	-0.383
			Vy	24.587	24.587	24.587	24.587	24.587	24.587	24.587	24.587	24.587
			Vz	0.000	0.000	0.000	0.000	0.000	0.000	0.000	0.000	0.000
			Mt	0.00	0.00	0.00	0.00	0.00	0.00	0.00	0.00	0.00
			My	0.00	0.00	0.00	0.00	0.00	0.00	0.00	0.00	0.00
			Mz	123.24	107.88	92.51	77.14	61.77	46.41	31.04	15.67	0.31
		PP+1.5·T2+1.5·T3	N	-24.834	-21.768	-18.702	-15.637	-12.571	-9.506	-6.440	-3.374	-0.309
			Vy	12.134	12.134	12.134	12.134	12.134	12.134	12.134	12.134	12.134
			Vz	0.000	0.000	0.000	0.000	0.000	0.000	0.000	0.000	0.000
			Mt	0.00	0.00	0.00	0.00	0.00	0.00	0.00	0.00	0.00
			My	0.00	0.00	0.00	0.00	0.00	0.00	0.00	0.00	0.00
			Mz	60.83	53.25	45.67	38.08	30.50	22.91	15.33	7.75	0.16
		1.35·PP+1.5·T2+1.5·T3	N	-33.543	-29.405	-25.266	-21.128	-16.989	-12.850	-8.712	-4.573	-0.435
			Vy	11.962	11.962	11.962	11.962	11.962	11.962	11.962	11.962	11.962
			Vz	0.000	0.000	0.000	0.000	0.000	0.000	0.000	0.000	0.000
			Mt	0.00	0.00	0.00	0.00	0.00	0.00	0.00	0.00	0.00
			My	0.00	0.00	0.00	0.00	0.00	0.00	0.00	0.00	0.00
			Mz	59.98	52.51	45.03	37.56	30.08	22.60	15.13	7.65	0.18
		PP+1.5·T1+1.5·T2+1.5·T3	N	-24.808	-21.742	-18.677	-15.611	-12.545	-9.480	-6.414	-3.349	-0.283
			Vy	18.447	18.447	18.447	18.447	18.447	18.447	18.447	18.447	18.447
			Vz	0.000	0.000	0.000	0.000	0.000	0.000	0.000	0.000	0.000
			Mt	0.00	0.00	0.00	0.00	0.00	0.00	0.00	0.00	0.00
			My	0.00	0.00	0.00	0.00	0.00	0.00	0.00	0.00	0.00
			Mz	92.46	80.93	69.40	57.87	46.35	34.82	23.29	11.76	0.23
		1.35·PP+1.5·T1+1.5·T2+1.5·T3	N	-33.518	-29.379	-25.241	-21.102	-16.963	-12.825	-8.686	-4.548	-0.409
			Vy	18.275	18.275	18.275	18.275	18.275	18.275	18.275	18.275	18.275
			Vz	0.000	0.000	0.000	0.000	0.000	0.000	0.000	0.000	0.000
			Mt	0.00	0.00	0.00	0.00	0.00	0.00	0.00	0.00	0.00
			My	0.00	0.00	0.00	0.00	0.00	0.00	0.00	0.00	0.00
			Mz	91.61	80.19	68.77	57.35	45.93	34.51	23.08	11.66	0.24
		PP+1.5·T4	N	-24.962	-21.896	-18.831	-15.765	-12.700	-9.634	-6.568	-3.503	-0.437
			Vy	-19.431	-19.431	-19.431	-19.431	-19.431	-19.431	-19.431	-19.431	-19.431
			Vz	0.000	0.000	0.000	0.000	0.000	0.000	0.000	0.000	0.000
			Mt	0.00	0.00	0.00	0.00	0.00	0.00	0.00	0.00	0.00
			My	0.00	0.00	0.00	0.00	0.00	0.00	0.00	0.00	0.00
			Mz	-97.31	-85.17	-73.03	-60.88	-48.74	-36.59	-24.45	-12.31	-0.16
		1.35·PP+1.5·T4	N	-33.672	-29.533	-25.395	-21.256	-17.118	-12.979	-8.840	-4.702	-0.563
			Vy	-19.603	-19.603	-19.603	-19.603	-19.603	-19.603	-19.603	-19.603	-19.603
			Vz	0.000	0.000	0.000	0.000	0.000	0.000	0.000	0.000	0.000
			Mt	0.00	0.00	0.00	0.00	0.00	0.00	0.00	0.00	0.00
			My	0.00	0.00	0.00	0.00	0.00	0.00	0.00	0.00	0.00
			Mz	-98.16	-85.91	-73.66	-61.41	-49.16	-36.90	-24.65	-12.40	-0.15
		PP+1.5·T1+1.5·T4	N	-24.936	-21.871	-18.805	-15.740	-12.674	-9.608	-6.543	-3.477	-0.411
			Vy	-13.118	-13.118	-13.118	-13.118	-13.118	-13.118	-13.118	-13.118	-13.118
			Vz	0.000	0.000	0.000	0.000	0.000	0.000	0.000	0.000	0.000
			Mt	0.00	0.00	0.00	0.00	0.00	0.00	0.00	0.00	0.00
			My	0.00	0.00	0.00	0.00	0.00	0.00	0.00	0.00	0.00
			Mz	-65.68	-57.49	-49.29	-41.09	-32.89	-24.69	-16.49	-8.29	-0.10
		1.35·PP+1.5·T1+1.5·T4	N	-33.646	-29.508	-25.369	-21.230	-17.092	-12.953	-8.815	-4.676	-0.537
			Vy	-13.290	-13.290	-13.290	-13.290	-13.290	-13.290	-13.290	-13.290	-13.290
			Vz	0.000	0.000	0.000	0.000	0.000	0.000	0.000	0.000	0.000
			Mt	0.00	0.00	0.00	0.00	0.00	0.00	0.00	0.00	0.00
			My	0.00	0.00	0.00	0.00	0.00	0.00	0.00	0.00	0.00
			Mz	-66.53	-58.23	-49.92	-41.62	-33.31	-25.00	-16.70	-8.39	-0.08
		PP+1.5·T2+1.5·T4	N	-24.988	-21.922	-18.857	-15.791	-12.725	-9.660	-6.594	-3.528	-0.463
			Vy	-25.744	-25.744	-25.744	-25.744	-25.744	-25.744	-25.744	-25.744	-25.744
			Vz	0.000	0.000	0.000	0.000	0.000	0.000	0.000	0.000	0.000
			Mt	0.00	0.00	0.00	0.00	0.00	0.00	0.00	0.00	0.00
			My	0.00	0.00	0.00	0.00	0.00	0.00	0.00	0.00	0.00
			Mz	-128.94	-112.85	-96.76	-80.67	-64.58	-48.50	-32.41	-16.32	-0.23
		1.35·PP+1.5·T2+1.5·T4	N	-33.698	-29.559	-25.420	-21.282	-17.143	-13.005	-8.866	-4.727	-0.589
			Vy	-25.916	-25.916	-25.916	-25.916	-25.916	-25.916	-25.916	-25.916	-25.916
			Vz	0.000	0.000	0.000	0.000	0.000	0.000	0.000	0.000	0.000

Esfuerzos en barras, por combinación												
Barra	Combinación		Esfuerzo	Posiciones en la barra								
	Tipo	Descripción		0.000 m	0.625 m	1.250 m	1.875 m	2.500 m	3.125 m	3.750 m	4.375 m	5.000 m
			Mt	0.00	0.00	0.00	0.00	0.00	0.00	0.00	0.00	0.00
			My	0.00	0.00	0.00	0.00	0.00	0.00	0.00	0.00	0.00
			Mz	-129.79	-113.60	-97.40	-81.20	-65.00	-48.81	-32.61	-16.41	-0.21
		PP+1.5·T1+1.5·T2+1.5·T4	N	-24.962	-21.896	-18.831	-15.765	-12.700	-9.634	-6.568	-3.503	-0.437
			Vy	-19.431	-19.431	-19.431	-19.431	-19.431	-19.431	-19.431	-19.431	-19.431
			Vz	0.000	0.000	0.000	0.000	0.000	0.000	0.000	0.000	0.000
			Mt	0.00	0.00	0.00	0.00	0.00	0.00	0.00	0.00	0.00
			My	0.00	0.00	0.00	0.00	0.00	0.00	0.00	0.00	0.00
			Mz	-97.31	-85.17	-73.03	-60.88	-48.74	-36.59	-24.45	-12.31	-0.16
		1.35·PP+1.5·T1+1.5·T2+1.5·T4	N	-33.672	-29.533	-25.395	-21.256	-17.118	-12.979	-8.840	-4.702	-0.563
			Vy	-19.603	-19.603	-19.603	-19.603	-19.603	-19.603	-19.603	-19.603	-19.603
			Vz	0.000	0.000	0.000	0.000	0.000	0.000	0.000	0.000	0.000
			Mt	0.00	0.00	0.00	0.00	0.00	0.00	0.00	0.00	0.00
			My	0.00	0.00	0.00	0.00	0.00	0.00	0.00	0.00	0.00
			Mz	-98.16	-85.91	-73.66	-61.41	-49.16	-36.90	-24.65	-12.40	-0.15
		PP+1.5·T3+1.5·T4	N	-24.885	-21.819	-18.754	-15.688	-12.623	-9.557	-6.491	-3.426	-0.360
			Vy	-0.492	-0.492	-0.492	-0.492	-0.492	-0.492	-0.492	-0.492	-0.492
			Vz	0.000	0.000	0.000	0.000	0.000	0.000	0.000	0.000	0.000
			Mt	0.00	0.00	0.00	0.00	0.00	0.00	0.00	0.00	0.00
			My	0.00	0.00	0.00	0.00	0.00	0.00	0.00	0.00	0.00
			Mz	-2.43	-2.12	-1.81	-1.50	-1.20	-0.89	-0.58	-0.27	0.03
		1.35·PP+1.5·T3+1.5·T4	N	-33.595	-29.456	-25.318	-21.179	-17.040	-12.902	-8.763	-4.625	-0.486
			Vy	-0.664	-0.664	-0.664	-0.664	-0.664	-0.664	-0.664	-0.664	-0.664
			Vz	0.000	0.000	0.000	0.000	0.000	0.000	0.000	0.000	0.000
			Mt	0.00	0.00	0.00	0.00	0.00	0.00	0.00	0.00	0.00
			My	0.00	0.00	0.00	0.00	0.00	0.00	0.00	0.00	0.00
			Mz	-3.27	-2.86	-2.44	-2.03	-1.61	-1.20	-0.78	-0.37	0.05
		PP+1.5·T1+1.5·T3+1.5·T4	N	-24.859	-21.794	-18.728	-15.662	-12.597	-9.531	-6.466	-3.400	-0.334
			Vy	5.821	5.821	5.821	5.821	5.821	5.821	5.821	5.821	5.821
			Vz	0.000	0.000	0.000	0.000	0.000	0.000	0.000	0.000	0.000
			Mt	0.00	0.00	0.00	0.00	0.00	0.00	0.00	0.00	0.00
			My	0.00	0.00	0.00	0.00	0.00	0.00	0.00	0.00	0.00
			Mz	29.20	25.57	21.93	18.29	14.65	11.01	7.37	3.74	0.10
		1.35·PP+1.5·T1+1.5·T3+1.5·T4	N	-33.569	-29.431	-25.292	-21.153	-17.015	-12.876	-8.738	-4.599	-0.460
			Vy	5.649	5.649	5.649	5.649	5.649	5.649	5.649	5.649	5.649
			Vz	0.000	0.000	0.000	0.000	0.000	0.000	0.000	0.000	0.000
			Mt	0.00	0.00	0.00	0.00	0.00	0.00	0.00	0.00	0.00
			My	0.00	0.00	0.00	0.00	0.00	0.00	0.00	0.00	0.00
			Mz	28.35	24.82	21.29	17.76	14.23	10.70	7.17	3.64	0.11
		PP+1.5·T2+1.5·T3+1.5·T4	N	-24.911	-21.845	-18.779	-15.714	-12.648	-9.583	-6.517	-3.451	-0.386
			Vy	-6.805	-6.805	-6.805	-6.805	-6.805	-6.805	-6.805	-6.805	-6.805
			Vz	0.000	0.000	0.000	0.000	0.000	0.000	0.000	0.000	0.000
			Mt	0.00	0.00	0.00	0.00	0.00	0.00	0.00	0.00	0.00
			My	0.00	0.00	0.00	0.00	0.00	0.00	0.00	0.00	0.00
			Mz	-34.06	-29.80	-25.55	-21.30	-17.04	-12.79	-8.54	-4.28	-0.03
		1.35·PP+1.5·T2+1.5·T3+1.5·T4	N	-33.621	-29.482	-25.343	-21.205	-17.066	-12.928	-8.789	-4.650	-0.512
			Vy	-6.977	-6.977	-6.977	-6.977	-6.977	-6.977	-6.977	-6.977	-6.977
			Vz	0.000	0.000	0.000	0.000	0.000	0.000	0.000	0.000	0.000
			Mt	0.00	0.00	0.00	0.00	0.00	0.00	0.00	0.00	0.00
			My	0.00	0.00	0.00	0.00	0.00	0.00	0.00	0.00	0.00
			Mz	-34.90	-30.54	-26.18	-21.82	-17.46	-13.10	-8.74	-4.38	-0.02
		PP+1.5·T1+1.5·T2+1.5·T3+1.5·T4	N	-24.885	-21.819	-18.754	-15.688	-12.623	-9.557	-6.491	-3.426	-0.360
			Vy	-0.492	-0.492	-0.492	-0.492	-0.492	-0.492	-0.492	-0.492	-0.492
			Vz	0.000	0.000	0.000	0.000	0.000	0.000	0.000	0.000	0.000
			Mt	0.00	0.00	0.00	0.00	0.00	0.00	0.00	0.00	0.00
			My	0.00	0.00	0.00	0.00	0.00	0.00	0.00	0.00	0.00
			Mz	-2.43	-2.12	-1.81	-1.50	-1.20	-0.89	-0.58	-0.27	0.03
		1.35·PP+1.5·T1+1.5·T2+1.5·T3+1.5·T4	N	-33.595	-29.456	-25.318	-21.179	-17.040	-12.902	-8.763	-4.625	-0.486
			Vy	-0.664	-0.664	-0.664	-0.664	-0.664	-0.664	-0.664	-0.664	-0.664
			Vz	0.000	0.000	0.000	0.000	0.000	0.000	0.000	0.000	0.000
			Mt	0.00	0.00	0.00	0.00	0.00	0.00	0.00	0.00	0.00
			My	0.00	0.00	0.00	0.00	0.00	0.00	0.00	0.00	0.00
			Mz	-3.27	-2.86	-2.44	-2.03	-1.61	-1.20	-0.78	-0.37	0.05

Esfuerzos en barras, por combinación												
Barra	Combinación		Esfuerzo	Posiciones en la barra								
	Tipo	Descripción		0.000 m	0.200 m	0.400 m	0.800 m	1.000 m	1.200 m	1.600 m	1.800 m	2.000 m
N7/N27	Hormigón	PP	N	-47.042	-46.257	-45.472	-43.903	-43.118	-42.333	-40.764	-39.979	-39.194
			Vy	0.409	0.409	0.409	0.409	0.409	0.409	0.409	0.409	0.409
			Vz	0.000	0.000	0.000	0.000	0.000	0.000	0.000	0.000	0.000
			Mt	0.00	0.00	0.00	0.00	0.00	0.00	0.00	0.00	0.00
			My	0.00	0.00	0.00	0.00	0.00	0.00	0.00	0.00	0.00
			Mz	0.54	0.46	0.38	0.21	0.13	0.05	-0.12	-0.20	-0.28
		1.35·PP	N	-63.507	-62.447	-61.388	-59.269	-58.209	-57.150	-55.031	-53.971	-52.912
			Vy	0.552	0.552	0.552	0.552	0.552	0.552	0.552	0.552	0.552
			Vz	0.000	0.000	0.000	0.000	0.000	0.000	0.000	0.000	0.000
			Mt	0.00	0.00	0.00	0.00	0.00	0.00	0.00	0.00	0.00
			My	0.00	0.00	0.00	0.00	0.00	0.00	0.00	0.00	0.00
			Mz	0.73	0.62	0.51	0.29	0.18	0.07	-0.16	-0.27	-0.38

Esfuerzos en barras, por combinación												
Barra	Combinación		Esfuerzo	Posiciones en la barra								
	Tipo	Descripción		0.000 m	0.200 m	0.400 m	0.800 m	1.000 m	1.200 m	1.600 m	1.800 m	2.000 m
		PP+1.5·T1	N	-44.120	-43.336	-42.551	-40.981	-40.196	-39.412	-37.842	-37.057	-36.272
			Vy	-54.320	-54.320	-54.320	-54.320	-54.320	-54.320	-54.320	-54.320	-54.320
			Vz	0.000	0.000	0.000	0.000	0.000	0.000	0.000	0.000	0.000
			Mt	0.00	0.00	0.00	0.00	0.00	0.00	0.00	0.00	0.00
			My	0.00	0.00	0.00	0.00	0.00	0.00	0.00	0.00	0.00
			Mz	-70.86	-60.00	-49.14	-27.41	-16.54	-5.68	16.05	26.91	37.78
		1.35·PP+1.5·T1	N	-60.585	-59.526	-58.466	-56.347	-55.288	-54.228	-52.109	-51.050	-49.990
			Vy	-54.177	-54.177	-54.177	-54.177	-54.177	-54.177	-54.177	-54.177	-54.177
			Vz	0.000	0.000	0.000	0.000	0.000	0.000	0.000	0.000	0.000
			Mt	0.00	0.00	0.00	0.00	0.00	0.00	0.00	0.00	0.00
			My	0.00	0.00	0.00	0.00	0.00	0.00	0.00	0.00	0.00
			Mz	-70.68	-59.84	-49.00	-27.33	-16.50	-5.66	16.01	26.84	37.68
		PP+1.5·T2	N	-49.964	-49.179	-48.394	-46.825	-46.040	-45.255	-43.685	-42.901	-42.116
			Vy	55.137	55.137	55.137	55.137	55.137	55.137	55.137	55.137	55.137
			Vz	0.000	0.000	0.000	0.000	0.000	0.000	0.000	0.000	0.000
			Mt	0.00	0.00	0.00	0.00	0.00	0.00	0.00	0.00	0.00
			My	0.00	0.00	0.00	0.00	0.00	0.00	0.00	0.00	0.00
			Mz	71.94	60.91	49.89	27.83	16.80	5.78	-16.28	-27.31	-38.33
		1.35·PP+1.5·T2	N	-66.428	-65.369	-64.310	-62.191	-61.131	-60.072	-57.953	-56.893	-55.834
			Vy	55.281	55.281	55.281	55.281	55.281	55.281	55.281	55.281	55.281
			Vz	0.000	0.000	0.000	0.000	0.000	0.000	0.000	0.000	0.000
			Mt	0.00	0.00	0.00	0.00	0.00	0.00	0.00	0.00	0.00
			My	0.00	0.00	0.00	0.00	0.00	0.00	0.00	0.00	0.00
			Mz	72.13	61.07	50.02	27.91	16.85	5.79	-16.32	-27.37	-38.43
		PP+1.5·T1+1.5·T2	N	-47.042	-46.257	-45.472	-43.903	-43.118	-42.333	-40.764	-39.979	-39.194
			Vy	0.409	0.409	0.409	0.409	0.409	0.409	0.409	0.409	0.409
			Vz	0.000	0.000	0.000	0.000	0.000	0.000	0.000	0.000	0.000
			Mt	0.00	0.00	0.00	0.00	0.00	0.00	0.00	0.00	0.00
			My	0.00	0.00	0.00	0.00	0.00	0.00	0.00	0.00	0.00
			Mz	0.54	0.46	0.38	0.21	0.13	0.05	-0.12	-0.20	-0.28
		1.35·PP+1.5·T1+1.5·T2	N	-63.507	-62.447	-61.388	-59.269	-58.209	-57.150	-55.031	-53.971	-52.912
			Vy	0.552	0.552	0.552	0.552	0.552	0.552	0.552	0.552	0.552
			Vz	0.000	0.000	0.000	0.000	0.000	0.000	0.000	0.000	0.000
			Mt	0.00	0.00	0.00	0.00	0.00	0.00	0.00	0.00	0.00
			My	0.00	0.00	0.00	0.00	0.00	0.00	0.00	0.00	0.00
			Mz	0.73	0.62	0.51	0.29	0.18	0.07	-0.16	-0.27	-0.38
		PP+1.5·T3	N	-38.277	-37.492	-36.708	-35.138	-34.353	-33.568	-31.999	-31.214	-30.429
			Vy	-163.777	-163.777	-163.777	-163.777	-163.777	-163.777	-163.777	-163.777	-163.777
			Vz	0.000	0.000	0.000	0.000	0.000	0.000	0.000	0.000	0.000
			Mt	0.00	0.00	0.00	0.00	0.00	0.00	0.00	0.00	0.00
			My	0.00	0.00	0.00	0.00	0.00	0.00	0.00	0.00	0.00
			Mz	-213.67	-180.92	-148.16	-82.65	-49.89	-17.14	48.37	81.13	113.88
		1.35·PP+1.5·T3	N	-54.742	-53.682	-52.623	-50.504	-49.444	-48.385	-46.266	-45.207	-44.147
			Vy	-163.634	-163.634	-163.634	-163.634	-163.634	-163.634	-163.634	-163.634	-163.634
			Vz	0.000	0.000	0.000	0.000	0.000	0.000	0.000	0.000	0.000
			Mt	0.00	0.00	0.00	0.00	0.00	0.00	0.00	0.00	0.00
			My	0.00	0.00	0.00	0.00	0.00	0.00	0.00	0.00	0.00
			Mz	-213.48	-180.76	-148.03	-82.57	-49.85	-17.12	48.33	81.06	113.79
		PP+1.5·T1+1.5·T3	N	-35.355	-34.571	-33.786	-32.216	-31.431	-30.647	-29.077	-28.292	-27.507
			Vy	-218.505	-218.505	-218.505	-218.505	-218.505	-218.505	-218.505	-218.505	-218.505
			Vz	0.000	0.000	0.000	0.000	0.000	0.000	0.000	0.000	0.000
			Mt	0.00	0.00	0.00	0.00	0.00	0.00	0.00	0.00	0.00
			My	0.00	0.00	0.00	0.00	0.00	0.00	0.00	0.00	0.00
			Mz	-285.07	-241.37	-197.67	-110.27	-66.57	-22.87	64.53	108.24	151.94
		1.35·PP+1.5·T1+1.5·T3	N	-51.820	-50.761	-49.701	-47.582	-46.523	-45.463	-43.344	-42.285	-41.225
			Vy	-218.362	-218.362	-218.362	-218.362	-218.362	-218.362	-218.362	-218.362	-218.362
			Vz	0.000	0.000	0.000	0.000	0.000	0.000	0.000	0.000	0.000
			Mt	0.00	0.00	0.00	0.00	0.00	0.00	0.00	0.00	0.00
			My	0.00	0.00	0.00	0.00	0.00	0.00	0.00	0.00	0.00
			Mz	-284.89	-241.21	-197.54	-110.20	-66.52	-22.85	64.49	108.17	151.84
		PP+1.5·T2+1.5·T3	N	-41.199	-40.414	-39.629	-38.060	-37.275	-36.490	-34.920	-34.136	-33.351
			Vy	-109.048	-109.048	-109.048	-109.048	-109.048	-109.048	-109.048	-109.048	-109.048
			Vz	0.000	0.000	0.000	0.000	0.000	0.000	0.000	0.000	0.000
			Mt	0.00	0.00	0.00	0.00	0.00	0.00	0.00	0.00	0.00
			My	0.00	0.00	0.00	0.00	0.00	0.00	0.00	0.00	0.00
			Mz	-142.27	-120.46	-98.65	-55.03	-33.22	-11.41	32.21	54.02	75.83
		1.35·PP+1.5·T2+1.5·T3	N	-57.664	-56.604	-55.545	-53.426	-52.366	-51.307	-49.188	-48.128	-47.069
			Vy	-108.905	-108.905	-108.905	-108.905	-108.905	-108.905	-108.905	-108.905	-108.905
			Vz	0.000	0.000	0.000	0.000	0.000	0.000	0.000	0.000	0.000
			Mt	0.00	0.00	0.00	0.00	0.00	0.00	0.00	0.00	0.00
			My	0.00	0.00	0.00	0.00	0.00	0.00	0.00	0.00	0.00
			Mz	-142.08	-120.30	-98.52	-54.95	-33.17	-11.39	32.17	53.95	75.73
		PP+1.5·T1+1.5·T2+1.5·T3	N	-38.277	-37.492	-36.708	-35.138	-34.353	-33.568	-31.999	-31.214	-30.429
			Vy	-163.777	-163.777	-163.777	-163.777	-163.777	-163.777	-163.777	-163.777	-163.777
			Vz	0.000	0.000	0.000	0.000	0.000	0.000	0.000	0.000	0.000
			Mt	0.00	0.00	0.00	0.00	0.00	0.00	0.00	0.00	0.00
			My	0.00	0.00	0.00	0.00	0.00	0.00	0.00	0.00	0.00
			Mz	-213.67	-180.92	-148.16	-82.65	-49.89	-17.14	48.37	81.13	113.88
		1.35·PP+1.5·T1+1.5·T2+1.5·T3	N	-54.742	-53.682	-52.623	-50.504	-49.444	-48.385	-46.266	-45.207	-44.147
			Vy	-163.634	-163.634	-163.634	-163.634	-163.634	-163.634	-163.634	-163.634	-163.634
			Vz	0.000	0.000	0.000	0.000	0.000	0.000	0.000	0.000	0.000
			Mt	0.00	0.00	0.00	0.00	0.00	0.00	0.00	0.00	0.00
			My	0.00	0.00	0.00	0.00	0.00	0.00	0.00	0.00	0.00

Esfuerzos en barras, por combinación												
Barra	Combinación		Esfuerzo	Posiciones en la barra								
	Tipo	Descripción		0.000 m	0.200 m	0.400 m	0.800 m	1.000 m	1.200 m	1.600 m	1.800 m	2.000 m
			Mz	-213.48	-180.76	-148.03	-82.57	-49.85	-17.12	48.33	81.06	113.79
		PP+1.5·T4	N	-55.807	-55.022	-54.237	-52.668	-51.883	-51.098	-49.529	-48.744	-47.959
			Vy	164.595	164.595	164.595	164.595	164.595	164.595	164.595	164.595	164.595
			Vz	0.000	0.000	0.000	0.000	0.000	0.000	0.000	0.000	0.000
			Mt	0.00	0.00	0.00	0.00	0.00	0.00	0.00	0.00	0.00
			My	0.00	0.00	0.00	0.00	0.00	0.00	0.00	0.00	0.00
			Mz	214.75	181.83	148.91	83.07	50.15	17.24	-48.60	-81.52	-114.44
		1.35·PP+1.5·T4	N	-72.272	-71.212	-70.153	-68.034	-66.974	-65.915	-63.796	-62.736	-61.677
			Vy	164.738	164.738	164.738	164.738	164.738	164.738	164.738	164.738	164.738
			Vz	0.000	0.000	0.000	0.000	0.000	0.000	0.000	0.000	0.000
			Mt	0.00	0.00	0.00	0.00	0.00	0.00	0.00	0.00	0.00
			My	0.00	0.00	0.00	0.00	0.00	0.00	0.00	0.00	0.00
			Mz	214.94	181.99	149.04	83.15	50.20	17.25	-48.64	-81.59	-114.54
		PP+1.5·T1+1.5·T4	N	-52.885	-52.101	-51.316	-49.746	-48.961	-48.177	-46.607	-45.822	-45.037
			Vy	109.866	109.866	109.866	109.866	109.866	109.866	109.866	109.866	109.866
			Vz	0.000	0.000	0.000	0.000	0.000	0.000	0.000	0.000	0.000
			Mt	0.00	0.00	0.00	0.00	0.00	0.00	0.00	0.00	0.00
			My	0.00	0.00	0.00	0.00	0.00	0.00	0.00	0.00	0.00
			Mz	143.35	121.37	99.40	55.45	33.48	11.51	-32.44	-54.41	-76.39
		1.35·PP+1.5·T1+1.5·T4	N	-69.350	-68.291	-67.231	-65.112	-64.053	-62.993	-60.874	-59.815	-58.755
			Vy	110.009	110.009	110.009	110.009	110.009	110.009	110.009	110.009	110.009
			Vz	0.000	0.000	0.000	0.000	0.000	0.000	0.000	0.000	0.000
			Mt	0.00	0.00	0.00	0.00	0.00	0.00	0.00	0.00	0.00
			My	0.00	0.00	0.00	0.00	0.00	0.00	0.00	0.00	0.00
			Mz	143.53	121.53	99.53	55.53	33.52	11.52	-32.48	-54.48	-76.48
		PP+1.5·T2+1.5·T4	N	-58.729	-57.944	-57.159	-55.589	-54.805	-54.020	-52.450	-51.665	-50.881
			Vy	219.323	219.323	219.323	219.323	219.323	219.323	219.323	219.323	219.323
			Vz	0.000	0.000	0.000	0.000	0.000	0.000	0.000	0.000	0.000
			Mt	0.00	0.00	0.00	0.00	0.00	0.00	0.00	0.00	0.00
			My	0.00	0.00	0.00	0.00	0.00	0.00	0.00	0.00	0.00
			Mz	286.15	242.29	198.42	110.69	66.83	22.96	-64.77	-108.63	-152.49
		1.35·PP+1.5·T2+1.5·T4	N	-75.193	-74.134	-73.074	-70.955	-69.896	-68.837	-66.718	-65.658	-64.599
			Vy	219.466	219.466	219.466	219.466	219.466	219.466	219.466	219.466	219.466
			Vz	0.000	0.000	0.000	0.000	0.000	0.000	0.000	0.000	0.000
			Mt	0.00	0.00	0.00	0.00	0.00	0.00	0.00	0.00	0.00
			My	0.00	0.00	0.00	0.00	0.00	0.00	0.00	0.00	0.00
			Mz	286.34	242.45	198.55	110.77	66.87	22.98	-64.81	-108.70	-152.59
		PP+1.5·T1+1.5·T2+1.5·T4	N	-55.807	-55.022	-54.237	-52.668	-51.883	-51.098	-49.529	-48.744	-47.959
			Vy	164.595	164.595	164.595	164.595	164.595	164.595	164.595	164.595	164.595
			Vz	0.000	0.000	0.000	0.000	0.000	0.000	0.000	0.000	0.000
			Mt	0.00	0.00	0.00	0.00	0.00	0.00	0.00	0.00	0.00
			My	0.00	0.00	0.00	0.00	0.00	0.00	0.00	0.00	0.00
			Mz	214.75	181.83	148.91	83.07	50.15	17.24	-48.60	-81.52	-114.44
		1.35·PP+1.5·T1+1.5·T2+1.5·T4	N	-72.272	-71.212	-70.153	-68.034	-66.974	-65.915	-63.796	-62.736	-61.677
			Vy	164.738	164.738	164.738	164.738	164.738	164.738	164.738	164.738	164.738
			Vz	0.000	0.000	0.000	0.000	0.000	0.000	0.000	0.000	0.000
			Mt	0.00	0.00	0.00	0.00	0.00	0.00	0.00	0.00	0.00
			My	0.00	0.00	0.00	0.00	0.00	0.00	0.00	0.00	0.00
			Mz	214.94	181.99	149.04	83.15	50.20	17.25	-48.64	-81.59	-114.54
		PP+1.5·T3+1.5·T4	N	-47.042	-46.257	-45.472	-43.903	-43.118	-42.333	-40.764	-39.979	-39.194
			Vy	0.409	0.409	0.409	0.409	0.409	0.409	0.409	0.409	0.409
			Vz	0.000	0.000	0.000	0.000	0.000	0.000	0.000	0.000	0.000
			Mt	0.00	0.00	0.00	0.00	0.00	0.00	0.00	0.00	0.00
			My	0.00	0.00	0.00	0.00	0.00	0.00	0.00	0.00	0.00
			Mz	0.54	0.46	0.38	0.21	0.13	0.05	-0.12	-0.20	-0.28
		1.35·PP+1.5·T3+1.5·T4	N	-63.507	-62.447	-61.388	-59.269	-58.209	-57.150	-55.031	-53.971	-52.912
			Vy	0.552	0.552	0.552	0.552	0.552	0.552	0.552	0.552	0.552
			Vz	0.000	0.000	0.000	0.000	0.000	0.000	0.000	0.000	0.000
			Mt	0.00	0.00	0.00	0.00	0.00	0.00	0.00	0.00	0.00
			My	0.00	0.00	0.00	0.00	0.00	0.00	0.00	0.00	0.00
			Mz	0.73	0.62	0.51	0.29	0.18	0.07	-0.16	-0.27	-0.38
		PP+1.5·T1+1.5·T3+1.5·T4	N	-44.120	-43.336	-42.551	-40.981	-40.196	-39.412	-37.842	-37.057	-36.272
			Vy	-54.320	-54.320	-54.320	-54.320	-54.320	-54.320	-54.320	-54.320	-54.320
			Vz	0.000	0.000	0.000	0.000	0.000	0.000	0.000	0.000	0.000
			Mt	0.00	0.00	0.00	0.00	0.00	0.00	0.00	0.00	0.00
			My	0.00	0.00	0.00	0.00	0.00	0.00	0.00	0.00	0.00
			Mz	-70.86	-60.00	-49.14	-27.41	-16.54	-5.68	16.05	26.91	37.78
		1.35·PP+1.5·T1+1.5·T3+1.5·T4	N	-60.585	-59.526	-58.466	-56.347	-55.288	-54.228	-52.109	-51.050	-49.990
			Vy	-54.177	-54.177	-54.177	-54.177	-54.177	-54.177	-54.177	-54.177	-54.177
			Vz	0.000	0.000	0.000	0.000	0.000	0.000	0.000	0.000	0.000
			Mt	0.00	0.00	0.00	0.00	0.00	0.00	0.00	0.00	0.00
			My	0.00	0.00	0.00	0.00	0.00	0.00	0.00	0.00	0.00
			Mz	-70.68	-59.84	-49.00	-27.33	-16.50	-5.66	16.01	26.84	37.68
		PP+1.5·T2+1.5·T3+1.5·T4	N	-49.964	-49.179	-48.394	-46.825	-46.040	-45.255	-43.685	-42.901	-42.116
			Vy	55.137	55.137	55.137	55.137	55.137	55.137	55.137	55.137	55.137
			Vz	0.000	0.000	0.000	0.000	0.000	0.000	0.000	0.000	0.000
			Mt	0.00	0.00	0.00	0.00	0.00	0.00	0.00	0.00	0.00
			My	0.00	0.00	0.00	0.00	0.00	0.00	0.00	0.00	0.00
			Mz	71.94	60.91	49.89	27.83	16.80	5.78	-16.28	-27.31	-38.33
		1.35·PP+1.5·T2+1.5·T3+1.5·T4	N	-66.428	-65.369	-64.310	-62.191	-61.131	-60.072	-57.953	-56.893	-55.834
			Vy	55.281	55.281	55.281	55.281	55.281	55.281	55.281	55.281	55.281
			Vz	0.000	0.000	0.000	0.000	0.000	0.000	0.000	0.000	0.000
			Mt	0.00	0.00	0.00	0.00	0.00	0.00	0.00	0.00	0.00

Esfuerzos en barras, por combinación												
Barra	Combinación		Esfuerzo	Posiciones en la barra								
	Tipo	Descripción		0.000 m	0.200 m	0.400 m	0.800 m	1.000 m	1.200 m	1.600 m	1.800 m	2.000 m
			My	0.00	0.00	0.00	0.00	0.00	0.00	0.00	0.00	0.00
			Mz	72.13	61.07	50.02	27.91	16.85	5.79	-16.32	-27.37	-38.43
		PP+1.5·T1+1.5·T2+1.5·T3+1.5·T4	N	-47.042	-46.257	-45.472	-43.903	-43.118	-42.333	-40.764	-39.979	-39.194
			Vy	0.409	0.409	0.409	0.409	0.409	0.409	0.409	0.409	0.409
			Vz	0.000	0.000	0.000	0.000	0.000	0.000	0.000	0.000	0.000
			Mt	0.00	0.00	0.00	0.00	0.00	0.00	0.00	0.00	0.00
			My	0.00	0.00	0.00	0.00	0.00	0.00	0.00	0.00	0.00
			Mz	0.54	0.46	0.38	0.21	0.13	0.05	-0.12	-0.20	-0.28
		1.35·PP+1.5·T1+1.5·T2+1.5·T3+1.5·T4	N	-63.507	-62.447	-61.388	-59.269	-58.209	-57.150	-55.031	-53.971	-52.912
			Vy	0.552	0.552	0.552	0.552	0.552	0.552	0.552	0.552	0.552
			Vz	0.000	0.000	0.000	0.000	0.000	0.000	0.000	0.000	0.000
			Mt	0.00	0.00	0.00	0.00	0.00	0.00	0.00	0.00	0.00
			My	0.00	0.00	0.00	0.00	0.00	0.00	0.00	0.00	0.00
			Mz	0.73	0.62	0.51	0.29	0.18	0.07	-0.16	-0.27	-0.38

Esfuerzos en barras, por combinación												
Barra	Combinación		Esfuerzo	Posiciones en la barra								
	Tipo	Descripción		0.000 m	0.625 m	1.250 m	1.875 m	2.500 m	3.125 m	3.750 m	4.375 m	5.000 m
N27/N8	Hormigón	PP	N	-19.995	-17.543	-15.090	-12.638	-10.185	-7.733	-5.280	-2.828	-0.375
			Vy	0.000	0.000	0.000	0.000	0.000	0.000	0.000	0.000	0.000
			Vz	0.000	0.000	0.000	0.000	0.000	0.000	0.000	0.000	0.000
			Mt	0.00	0.00	0.00	0.00	0.00	0.00	0.00	0.00	0.00
			My	0.00	0.00	0.00	0.00	0.00	0.00	0.00	0.00	0.00
			Mz	0.00	0.00	0.00	0.00	0.00	0.00	0.00	0.00	0.00
		1.35·PP	N	-26.994	-23.683	-20.372	-17.061	-13.750	-10.439	-7.128	-3.817	-0.507
			Vy	0.000	0.000	0.000	0.000	0.000	0.000	0.000	0.000	0.000
			Vz	0.000	0.000	0.000	0.000	0.000	0.000	0.000	0.000	0.000
			Mt	0.00	0.00	0.00	0.00	0.00	0.00	0.00	0.00	0.00
			My	0.00	0.00	0.00	0.00	0.00	0.00	0.00	0.00	0.00
			Mz	0.00	0.00	0.00	0.00	0.00	0.00	0.00	0.00	0.00
		PP+1.5·T1	N	-19.997	-17.545	-15.092	-12.640	-10.187	-7.735	-5.282	-2.830	-0.377
			Vy	2.023	2.023	2.023	2.023	2.023	2.023	2.023	2.023	2.023
			Vz	0.000	0.000	0.000	0.000	0.000	0.000	0.000	0.000	0.000
			Mt	0.00	0.00	0.00	0.00	0.00	0.00	0.00	0.00	0.00
			My	0.00	0.00	0.00	0.00	0.00	0.00	0.00	0.00	0.00
			Mz	10.15	8.88	7.62	6.35	5.09	3.83	2.56	1.30	0.04
		1.35·PP+1.5·T1	N	-26.996	-23.685	-20.374	-17.063	-13.752	-10.441	-7.130	-3.819	-0.509
			Vy	2.023	2.023	2.023	2.023	2.023	2.023	2.023	2.023	2.023
			Vz	0.000	0.000	0.000	0.000	0.000	0.000	0.000	0.000	0.000
			Mt	0.00	0.00	0.00	0.00	0.00	0.00	0.00	0.00	0.00
			My	0.00	0.00	0.00	0.00	0.00	0.00	0.00	0.00	0.00
			Mz	10.15	8.88	7.62	6.35	5.09	3.83	2.56	1.30	0.04
		PP+1.5·T2	N	-19.993	-17.541	-15.088	-12.636	-10.183	-7.731	-5.278	-2.826	-0.373
			Vy	-2.023	-2.023	-2.023	-2.023	-2.023	-2.023	-2.023	-2.023	-2.023
			Vz	0.000	0.000	0.000	0.000	0.000	0.000	0.000	0.000	0.000
			Mt	0.00	0.00	0.00	0.00	0.00	0.00	0.00	0.00	0.00
			My	0.00	0.00	0.00	0.00	0.00	0.00	0.00	0.00	0.00
			Mz	-10.15	-8.88	-7.62	-6.35	-5.09	-3.82	-2.56	-1.30	-0.03
		1.35·PP+1.5·T2	N	-26.991	-23.681	-20.370	-17.059	-13.748	-10.437	-7.126	-3.815	-0.504
			Vy	-2.023	-2.023	-2.023	-2.023	-2.023	-2.023	-2.023	-2.023	-2.023
			Vz	0.000	0.000	0.000	0.000	0.000	0.000	0.000	0.000	0.000
			Mt	0.00	0.00	0.00	0.00	0.00	0.00	0.00	0.00	0.00
			My	0.00	0.00	0.00	0.00	0.00	0.00	0.00	0.00	0.00
			Mz	-10.15	-8.88	-7.62	-6.35	-5.09	-3.82	-2.56	-1.29	-0.03
		PP+1.5·T1+1.5·T2	N	-19.995	-17.543	-15.090	-12.638	-10.185	-7.733	-5.280	-2.828	-0.375
			Vy	0.000	0.000	0.000	0.000	0.000	0.000	0.000	0.000	0.000
			Vz	0.000	0.000	0.000	0.000	0.000	0.000	0.000	0.000	0.000
			Mt	0.00	0.00	0.00	0.00	0.00	0.00	0.00	0.00	0.00
			My	0.00	0.00	0.00	0.00	0.00	0.00	0.00	0.00	0.00
			Mz	0.00	0.00	0.00	0.00	0.00	0.00	0.00	0.00	0.00
		1.35·PP+1.5·T1+1.5·T2	N	-26.994	-23.683	-20.372	-17.061	-13.750	-10.439	-7.128	-3.817	-0.507
			Vy	0.000	0.000	0.000	0.000	0.000	0.000	0.000	0.000	0.000
			Vz	0.000	0.000	0.000	0.000	0.000	0.000	0.000	0.000	0.000
			Mt	0.00	0.00	0.00	0.00	0.00	0.00	0.00	0.00	0.00
			My	0.00	0.00	0.00	0.00	0.00	0.00	0.00	0.00	0.00
			Mz	0.00	0.00	0.00	0.00	0.00	0.00	0.00	0.00	0.00
		PP+1.5·T3	N	-20.002	-17.549	-15.097	-12.644	-10.192	-7.739	-5.287	-2.834	-0.382
			Vy	6.068	6.068	6.068	6.068	6.068	6.068	6.068	6.068	6.068
			Vz	0.000	0.000	0.000	0.000	0.000	0.000	0.000	0.000	0.000
			Mt	0.00	0.00	0.00	0.00	0.00	0.00	0.00	0.00	0.00
			My	0.00	0.00	0.00	0.00	0.00	0.00	0.00	0.00	0.00
			Mz	30.44	26.65	22.86	19.06	15.27	11.48	7.69	3.89	0.10
		1.35·PP+1.5·T3	N	-27.000	-23.689	-20.378	-17.067	-13.756	-10.445	-7.135	-3.824	-0.513
			Vy	6.068	6.068	6.068	6.068	6.068	6.068	6.068	6.068	6.068
			Vz	0.000	0.000	0.000	0.000	0.000	0.000	0.000	0.000	0.000
			Mt	0.00	0.00	0.00	0.00	0.00	0.00	0.00	0.00	0.00
			My	0.00	0.00	0.00	0.00	0.00	0.00	0.00	0.00	0.00
			Mz	30.44	26.65	22.86	19.06	15.27	11.48	7.69	3.90	0.10
		PP+1.5·T1+1.5·T3	N	-20.004	-17.551	-15.099	-12.646	-10.194	-7.741	-5.289	-2.836	-0.384

Esfuerzos en barras, por combinación

Barra	Combinación		Esfuerzo	Posiciones en la barra								
	Tipo	Descripción		0.000 m	0.625 m	1.250 m	1.875 m	2.500 m	3.125 m	3.750 m	4.375 m	5.000 m
			Vy	8.091	8.091	8.091	8.091	8.091	8.091	8.091	8.091	8.091
			Vz	0.000	0.000	0.000	0.000	0.000	0.000	0.000	0.000	0.000
			Mt	0.00	0.00	0.00	0.00	0.00	0.00	0.00	0.00	0.00
			My	0.00	0.00	0.00	0.00	0.00	0.00	0.00	0.00	0.00
			Mz	40.59	35.53	30.47	25.42	20.36	15.31	10.25	5.19	0.14
		1.35·PP+1.5·T1+1.5·T3	N	-27.002	-23.691	-20.380	-17.069	-13.758	-10.448	-7.137	-3.826	-0.515
			Vy	8.091	8.091	8.091	8.091	8.091	8.091	8.091	8.091	8.091
			Vz	0.000	0.000	0.000	0.000	0.000	0.000	0.000	0.000	0.000
			Mt	0.00	0.00	0.00	0.00	0.00	0.00	0.00	0.00	0.00
			My	0.00	0.00	0.00	0.00	0.00	0.00	0.00	0.00	0.00
			Mz	40.59	35.53	30.47	25.42	20.36	15.31	10.25	5.19	0.14
		PP+1.5·T2+1.5·T3	N	-19.999	-17.547	-15.094	-12.642	-10.189	-7.737	-5.284	-2.832	-0.379
			Vy	4.046	4.046	4.046	4.046	4.046	4.046	4.046	4.046	4.046
			Vz	0.000	0.000	0.000	0.000	0.000	0.000	0.000	0.000	0.000
			Mt	0.00	0.00	0.00	0.00	0.00	0.00	0.00	0.00	0.00
			My	0.00	0.00	0.00	0.00	0.00	0.00	0.00	0.00	0.00
			Mz	20.29	17.77	15.24	12.71	10.18	7.65	5.13	2.60	0.07
		1.35·PP+1.5·T2+1.5·T3	N	-26.998	-23.687	-20.376	-17.065	-13.754	-10.443	-7.132	-3.822	-0.511
			Vy	4.046	4.046	4.046	4.046	4.046	4.046	4.046	4.046	4.046
			Vz	0.000	0.000	0.000	0.000	0.000	0.000	0.000	0.000	0.000
			Mt	0.00	0.00	0.00	0.00	0.00	0.00	0.00	0.00	0.00
			My	0.00	0.00	0.00	0.00	0.00	0.00	0.00	0.00	0.00
			Mz	20.29	17.77	15.24	12.71	10.18	7.65	5.13	2.60	0.07
		PP+1.5·T1+1.5·T2+1.5·T3	N	-20.002	-17.549	-15.097	-12.644	-10.192	-7.739	-5.287	-2.834	-0.382
			Vy	6.068	6.068	6.068	6.068	6.068	6.068	6.068	6.068	6.068
			Vz	0.000	0.000	0.000	0.000	0.000	0.000	0.000	0.000	0.000
			Mt	0.00	0.00	0.00	0.00	0.00	0.00	0.00	0.00	0.00
			My	0.00	0.00	0.00	0.00	0.00	0.00	0.00	0.00	0.00
			Mz	30.44	26.65	22.86	19.06	15.27	11.48	7.69	3.89	0.10
		1.35·PP+1.5·T1+1.5·T2+1.5·T3	N	-27.000	-23.689	-20.378	-17.067	-13.756	-10.445	-7.135	-3.824	-0.513
			Vy	6.068	6.068	6.068	6.068	6.068	6.068	6.068	6.068	6.068
			Vz	0.000	0.000	0.000	0.000	0.000	0.000	0.000	0.000	0.000
			Mt	0.00	0.00	0.00	0.00	0.00	0.00	0.00	0.00	0.00
			My	0.00	0.00	0.00	0.00	0.00	0.00	0.00	0.00	0.00
			Mz	30.44	26.65	22.86	19.06	15.27	11.48	7.69	3.90	0.10
		PP+1.5·T4	N	-19.989	-17.536	-15.084	-12.631	-10.179	-7.726	-5.274	-2.821	-0.369
			Vy	-6.068	-6.068	-6.068	-6.068	-6.068	-6.068	-6.068	-6.068	-6.068
			Vz	0.000	0.000	0.000	0.000	0.000	0.000	0.000	0.000	0.000
			Mt	0.00	0.00	0.00	0.00	0.00	0.00	0.00	0.00	0.00
			My	0.00	0.00	0.00	0.00	0.00	0.00	0.00	0.00	0.00
			Mz	-30.44	-26.65	-22.86	-19.06	-15.27	-11.48	-7.68	-3.89	-0.10
		1.35·PP+1.5·T4	N	-26.987	-23.676	-20.365	-17.055	-13.744	-10.433	-7.122	-3.811	-0.500
			Vy	-6.068	-6.068	-6.068	-6.068	-6.068	-6.068	-6.068	-6.068	-6.068
			Vz	0.000	0.000	0.000	0.000	0.000	0.000	0.000	0.000	0.000
			Mt	0.00	0.00	0.00	0.00	0.00	0.00	0.00	0.00	0.00
			My	0.00	0.00	0.00	0.00	0.00	0.00	0.00	0.00	0.00
			Mz	-30.44	-26.65	-22.86	-19.06	-15.27	-11.48	-7.68	-3.89	-0.10
		PP+1.5·T1+1.5·T4	N	-19.991	-17.538	-15.086	-12.633	-10.181	-7.728	-5.276	-2.823	-0.371
			Vy	-4.046	-4.046	-4.046	-4.046	-4.046	-4.046	-4.046	-4.046	-4.046
			Vz	0.000	0.000	0.000	0.000	0.000	0.000	0.000	0.000	0.000
			Mt	0.00	0.00	0.00	0.00	0.00	0.00	0.00	0.00	0.00
			My	0.00	0.00	0.00	0.00	0.00	0.00	0.00	0.00	0.00
			Mz	-20.30	-17.77	-15.24	-12.71	-10.18	-7.65	-5.12	-2.59	-0.06
		1.35·PP+1.5·T1+1.5·T4	N	-26.989	-23.678	-20.368	-17.057	-13.746	-10.435	-7.124	-3.813	-0.502
			Vy	-4.046	-4.046	-4.046	-4.046	-4.046	-4.046	-4.046	-4.046	-4.046
			Vz	0.000	0.000	0.000	0.000	0.000	0.000	0.000	0.000	0.000
			Mt	0.00	0.00	0.00	0.00	0.00	0.00	0.00	0.00	0.00
			My	0.00	0.00	0.00	0.00	0.00	0.00	0.00	0.00	0.00
			Mz	-20.30	-17.77	-15.24	-12.71	-10.18	-7.65	-5.12	-2.59	-0.06
		PP+1.5·T2+1.5·T4	N	-19.987	-17.534	-15.082	-12.629	-10.177	-7.724	-5.272	-2.819	-0.367
			Vy	-8.091	-8.091	-8.091	-8.091	-8.091	-8.091	-8.091	-8.091	-8.091
			Vz	0.000	0.000	0.000	0.000	0.000	0.000	0.000	0.000	0.000
			Mt	0.00	0.00	0.00	0.00	0.00	0.00	0.00	0.00	0.00
			My	0.00	0.00	0.00	0.00	0.00	0.00	0.00	0.00	0.00
			Mz	-40.59	-35.53	-30.47	-25.42	-20.36	-15.30	-10.25	-5.19	-0.13
		1.35·PP+1.5·T2+1.5·T4	N	-26.985	-23.674	-20.363	-17.052	-13.742	-10.431	-7.120	-3.809	-0.498
			Vy	-8.091	-8.091	-8.091	-8.091	-8.091	-8.091	-8.091	-8.091	-8.091
			Vz	0.000	0.000	0.000	0.000	0.000	0.000	0.000	0.000	0.000
			Mt	0.00	0.00	0.00	0.00	0.00	0.00	0.00	0.00	0.00
			My	0.00	0.00	0.00	0.00	0.00	0.00	0.00	0.00	0.00
			Mz	-40.59	-35.53	-30.47	-25.42	-20.36	-15.30	-10.24	-5.19	-0.13
		PP+1.5·T1+1.5·T2+1.5·T4	N	-19.989	-17.536	-15.084	-12.631	-10.179	-7.726	-5.274	-2.821	-0.369
			Vy	-6.068	-6.068	-6.068	-6.068	-6.068	-6.068	-6.068	-6.068	-6.068
			Vz	0.000	0.000	0.000	0.000	0.000	0.000	0.000	0.000	0.000
			Mt	0.00	0.00	0.00	0.00	0.00	0.00	0.00	0.00	0.00
			My	0.00	0.00	0.00	0.00	0.00	0.00	0.00	0.00	0.00
			Mz	-30.44	-26.65	-22.86	-19.06	-15.27	-11.48	-7.68	-3.89	-0.10
		1.35·PP+1.5·T1+1.5·T2+1.5·T4	N	-26.987	-23.676	-20.365	-17.055	-13.744	-10.433	-7.122	-3.811	-0.500
			Vy	-6.068	-6.068	-6.068	-6.068	-6.068	-6.068	-6.068	-6.068	-6.068

Esfuerzos en barras, por combinación												
Barra	Combinación		Esfuerzo	Posiciones en la barra								
	Tipo	Descripción		0.000 m	0.625 m	1.250 m	1.875 m	2.500 m	3.125 m	3.750 m	4.375 m	5.000 m
			Vz	0.000	0.000	0.000	0.000	0.000	0.000	0.000	0.000	0.000
			Mt	0.00	0.00	0.00	0.00	0.00	0.00	0.00	0.00	0.00
			My	0.00	0.00	0.00	0.00	0.00	0.00	0.00	0.00	0.00
			Mz	-30.44	-26.65	-22.86	-19.06	-15.27	-11.48	-7.68	-3.89	-0.10
		PP+1.5·T3+1.5·T4	N	-19.995	-17.543	-15.090	-12.638	-10.185	-7.733	-5.280	-2.828	-0.375
			Vy	0.000	0.000	0.000	0.000	0.000	0.000	0.000	0.000	0.000
			Vz	0.000	0.000	0.000	0.000	0.000	0.000	0.000	0.000	0.000
			Mt	0.00	0.00	0.00	0.00	0.00	0.00	0.00	0.00	0.00
			My	0.00	0.00	0.00	0.00	0.00	0.00	0.00	0.00	0.00
			Mz	0.00	0.00	0.00	0.00	0.00	0.00	0.00	0.00	0.00
		1.35·PP+1.5·T3+1.5·T4	N	-26.994	-23.683	-20.372	-17.061	-13.750	-10.439	-7.128	-3.817	-0.507
			Vy	0.000	0.000	0.000	0.000	0.000	0.000	0.000	0.000	0.000
			Vz	0.000	0.000	0.000	0.000	0.000	0.000	0.000	0.000	0.000
			Mt	0.00	0.00	0.00	0.00	0.00	0.00	0.00	0.00	0.00
			My	0.00	0.00	0.00	0.00	0.00	0.00	0.00	0.00	0.00
			Mz	0.00	0.00	0.00	0.00	0.00	0.00	0.00	0.00	0.00
		PP+1.5·T1+1.5·T3+1.5·T4	N	-19.997	-17.545	-15.092	-12.640	-10.187	-7.735	-5.282	-2.830	-0.377
			Vy	2.023	2.023	2.023	2.023	2.023	2.023	2.023	2.023	2.023
			Vz	0.000	0.000	0.000	0.000	0.000	0.000	0.000	0.000	0.000
			Mt	0.00	0.00	0.00	0.00	0.00	0.00	0.00	0.00	0.00
			My	0.00	0.00	0.00	0.00	0.00	0.00	0.00	0.00	0.00
			Mz	10.15	8.88	7.62	6.35	5.09	3.83	2.56	1.30	0.04
		1.35·PP+1.5·T1+1.5·T3+1.5·T4	N	-26.996	-23.685	-20.374	-17.063	-13.752	-10.441	-7.130	-3.819	-0.509
			Vy	2.023	2.023	2.023	2.023	2.023	2.023	2.023	2.023	2.023
			Vz	0.000	0.000	0.000	0.000	0.000	0.000	0.000	0.000	0.000
			Mt	0.00	0.00	0.00	0.00	0.00	0.00	0.00	0.00	0.00
			My	0.00	0.00	0.00	0.00	0.00	0.00	0.00	0.00	0.00
			Mz	10.15	8.88	7.62	6.35	5.09	3.83	2.56	1.30	0.04
		PP+1.5·T2+1.5·T3+1.5·T4	N	-19.993	-17.541	-15.088	-12.636	-10.183	-7.731	-5.278	-2.826	-0.373
			Vy	-2.023	-2.023	-2.023	-2.023	-2.023	-2.023	-2.023	-2.023	-2.023
			Vz	0.000	0.000	0.000	0.000	0.000	0.000	0.000	0.000	0.000
			Mt	0.00	0.00	0.00	0.00	0.00	0.00	0.00	0.00	0.00
			My	0.00	0.00	0.00	0.00	0.00	0.00	0.00	0.00	0.00
			Mz	-10.15	-8.88	-7.62	-6.35	-5.09	-3.82	-2.56	-1.30	-0.03
		1.35·PP+1.5·T2+1.5·T3+1.5·T4	N	-26.991	-23.681	-20.370	-17.059	-13.748	-10.437	-7.126	-3.815	-0.504
			Vy	-2.023	-2.023	-2.023	-2.023	-2.023	-2.023	-2.023	-2.023	-2.023
			Vz	0.000	0.000	0.000	0.000	0.000	0.000	0.000	0.000	0.000
			Mt	0.00	0.00	0.00	0.00	0.00	0.00	0.00	0.00	0.00
			My	0.00	0.00	0.00	0.00	0.00	0.00	0.00	0.00	0.00
			Mz	-10.15	-8.88	-7.62	-6.35	-5.09	-3.82	-2.56	-1.29	-0.03
		PP+1.5·T1+1.5·T2+1.5·T3+1.5·T4	N	-19.995	-17.543	-15.090	-12.638	-10.185	-7.733	-5.280	-2.828	-0.375
			Vy	0.000	0.000	0.000	0.000	0.000	0.000	0.000	0.000	0.000
			Vz	0.000	0.000	0.000	0.000	0.000	0.000	0.000	0.000	0.000
			Mt	0.00	0.00	0.00	0.00	0.00	0.00	0.00	0.00	0.00
			My	0.00	0.00	0.00	0.00	0.00	0.00	0.00	0.00	0.00
			Mz	0.00	0.00	0.00	0.00	0.00	0.00	0.00	0.00	0.00
		1.35·PP+1.5·T1+1.5·T2+1.5·T3+1.5·T4	N	-26.994	-23.683	-20.372	-17.061	-13.750	-10.439	-7.128	-3.817	-0.507
			Vy	0.000	0.000	0.000	0.000	0.000	0.000	0.000	0.000	0.000
			Vz	0.000	0.000	0.000	0.000	0.000	0.000	0.000	0.000	0.000
			Mt	0.00	0.00	0.00	0.00	0.00	0.00	0.00	0.00	0.00
			My	0.00	0.00	0.00	0.00	0.00	0.00	0.00	0.00	0.00
			Mz	0.00	0.00	0.00	0.00	0.00	0.00	0.00	0.00	0.00

Esfuerzos en barras, por combinación												
Barra	Combinación		Esfuerzo	Posiciones en la barra								
	Tipo	Descripción		0.000 m	0.200 m	0.400 m	0.800 m	1.000 m	1.200 m	1.600 m	1.800 m	2.000 m
N9/N28	Hormigón	PP	N	-50.996	-50.015	-49.034	-47.072	-46.091	-45.110	-43.148	-42.167	-41.186
			Vy	2.411	2.411	2.411	2.411	2.411	2.411	2.411	2.411	2.411
			Vz	0.000	0.000	0.000	0.000	0.000	0.000	0.000	0.000	0.000
			Mt	0.00	0.00	0.00	0.00	0.00	0.00	0.00	0.00	0.00
			My	0.00	0.00	0.00	0.00	0.00	0.00	0.00	0.00	0.00
			Mz	1.62	1.14	0.65	-0.31	-0.79	-1.28	-2.24	-2.72	-3.20
		1.35·PP	N	-68.844	-67.520	-66.195	-63.547	-62.222	-60.898	-58.249	-56.925	-55.601
			Vy	3.255	3.255	3.255	3.255	3.255	3.255	3.255	3.255	3.255
			Vz	0.000	0.000	0.000	0.000	0.000	0.000	0.000	0.000	0.000
			Mt	0.00	0.00	0.00	0.00	0.00	0.00	0.00	0.00	0.00
			My	0.00	0.00	0.00	0.00	0.00	0.00	0.00	0.00	0.00
			Mz	2.18	1.53	0.88	-0.42	-1.07	-1.72	-3.02	-3.68	-4.33
		PP+1.5·T1	N	-50.524	-49.543	-48.562	-46.600	-45.619	-44.638	-42.676	-41.695	-40.714
			Vy	-29.328	-29.328	-29.328	-29.328	-29.328	-29.328	-29.328	-29.328	-29.328
			Vz	0.000	0.000	0.000	0.000	0.000	0.000	0.000	0.000	0.000
			Mt	0.00	0.00	0.00	0.00	0.00	0.00	0.00	0.00	0.00
			My	0.00	0.00	0.00	0.00	0.00	0.00	0.00	0.00	0.00
			Mz	-40.57	-34.71	-28.84	-17.11	-11.24	-5.38	6.35	12.22	18.08
		1.35·PP+1.5·T1	N	-68.372	-67.048	-65.724	-63.075	-61.750	-60.426	-57.777	-56.453	-55.129
			Vy	-28.484	-28.484	-28.484	-28.484	-28.484	-28.484	-28.484	-28.484	-28.484
			Vz	0.000	0.000	0.000	0.000	0.000	0.000	0.000	0.000	0.000
			Mt	0.00	0.00	0.00	0.00	0.00	0.00	0.00	0.00	0.00
			My	0.00	0.00	0.00	0.00	0.00	0.00	0.00	0.00	0.00
			Mz	-40.01	-34.31	-28.61	-17.22	-11.52	-5.83	5.57	11.27	16.96

Esfuerzos en barras, por combinación

Barra	Combinación		Esfuerzo	Posiciones en la barra								
	Tipo	Descripción		0.000 m	0.200 m	0.400 m	0.800 m	1.000 m	1.200 m	1.600 m	1.800 m	2.000 m
		PP+1.5·T2	N	-51.468	-50.487	-49.506	-47.544	-46.563	-45.582	-43.620	-42.639	-41.658
			Vy	34.149	34.149	34.149	34.149	34.149	34.149	34.149	34.149	34.149
			Vz	0.000	0.000	0.000	0.000	0.000	0.000	0.000	0.000	0.000
			Mt	0.00	0.00	0.00	0.00	0.00	0.00	0.00	0.00	0.00
			My	0.00	0.00	0.00	0.00	0.00	0.00	0.00	0.00	0.00
			Mz	43.81	36.98	30.15	16.49	9.66	2.83	-10.83	-17.66	-24.49
		1.35·PP+1.5·T2	N	-69.316	-67.992	-66.667	-64.019	-62.694	-61.370	-58.721	-57.397	-56.073
			Vy	34.993	34.993	34.993	34.993	34.993	34.993	34.993	34.993	34.993
			Vz	0.000	0.000	0.000	0.000	0.000	0.000	0.000	0.000	0.000
			Mt	0.00	0.00	0.00	0.00	0.00	0.00	0.00	0.00	0.00
			My	0.00	0.00	0.00	0.00	0.00	0.00	0.00	0.00	0.00
			Mz	44.37	37.37	30.38	16.38	9.38	2.38	-11.62	-18.62	-25.61
		PP+1.5·T1+1.5·T2	N	-50.996	-50.015	-49.034	-47.072	-46.091	-45.110	-43.148	-42.167	-41.186
			Vy	2.411	2.411	2.411	2.411	2.411	2.411	2.411	2.411	2.411
			Vz	0.000	0.000	0.000	0.000	0.000	0.000	0.000	0.000	0.000
			Mt	0.00	0.00	0.00	0.00	0.00	0.00	0.00	0.00	0.00
			My	0.00	0.00	0.00	0.00	0.00	0.00	0.00	0.00	0.00
			Mz	1.62	1.14	0.65	-0.31	-0.79	-1.28	-2.24	-2.72	-3.20
		1.35·PP+1.5·T1+1.5·T2	N	-68.844	-67.520	-66.195	-63.547	-62.222	-60.898	-58.249	-56.925	-55.601
			Vy	3.255	3.255	3.255	3.255	3.255	3.255	3.255	3.255	3.255
			Vz	0.000	0.000	0.000	0.000	0.000	0.000	0.000	0.000	0.000
			Mt	0.00	0.00	0.00	0.00	0.00	0.00	0.00	0.00	0.00
			My	0.00	0.00	0.00	0.00	0.00	0.00	0.00	0.00	0.00
			Mz	2.18	1.53	0.88	-0.42	-1.07	-1.72	-3.02	-3.68	-4.33
		PP+1.5·T3	N	-49.580	-48.599	-47.618	-45.656	-44.675	-43.694	-41.732	-40.751	-39.770
			Vy	-92.805	-92.805	-92.805	-92.805	-92.805	-92.805	-92.805	-92.805	-92.805
			Vz	0.000	0.000	0.000	0.000	0.000	0.000	0.000	0.000	0.000
			Mt	0.00	0.00	0.00	0.00	0.00	0.00	0.00	0.00	0.00
			My	0.00	0.00	0.00	0.00	0.00	0.00	0.00	0.00	0.00
			Mz	-124.95	-106.39	-87.83	-50.71	-32.15	-13.58	23.54	42.10	60.66
		1.35·PP+1.5·T3	N	-67.428	-66.104	-64.780	-62.131	-60.807	-59.482	-56.834	-55.509	-54.185
			Vy	-91.961	-91.961	-91.961	-91.961	-91.961	-91.961	-91.961	-91.961	-91.961
			Vz	0.000	0.000	0.000	0.000	0.000	0.000	0.000	0.000	0.000
			Mt	0.00	0.00	0.00	0.00	0.00	0.00	0.00	0.00	0.00
			My	0.00	0.00	0.00	0.00	0.00	0.00	0.00	0.00	0.00
			Mz	-124.38	-105.99	-87.60	-50.82	-32.42	-14.03	22.75	41.15	59.54
		PP+1.5·T1+1.5·T3	N	-49.108	-48.127	-47.146	-45.184	-44.203	-43.222	-41.260	-40.279	-39.298
			Vy	-124.544	-124.544	-124.544	-124.544	-124.544	-124.544	-124.544	-124.544	-124.544
			Vz	0.000	0.000	0.000	0.000	0.000	0.000	0.000	0.000	0.000
			Mt	0.00	0.00	0.00	0.00	0.00	0.00	0.00	0.00	0.00
			My	0.00	0.00	0.00	0.00	0.00	0.00	0.00	0.00	0.00
			Mz	-167.14	-142.23	-117.32	-67.50	-42.60	-17.69	32.13	57.04	81.95
		1.35·PP+1.5·T1+1.5·T3	N	-66.956	-65.632	-64.308	-61.659	-60.335	-59.010	-56.362	-55.037	-53.713
			Vy	-123.700	-123.700	-123.700	-123.700	-123.700	-123.700	-123.700	-123.700	-123.700
			Vz	0.000	0.000	0.000	0.000	0.000	0.000	0.000	0.000	0.000
			Mt	0.00	0.00	0.00	0.00	0.00	0.00	0.00	0.00	0.00
			My	0.00	0.00	0.00	0.00	0.00	0.00	0.00	0.00	0.00
			Mz	-166.57	-141.83	-117.09	-67.61	-42.87	-18.13	31.35	56.09	80.83
		PP+1.5·T2+1.5·T3	N	-50.052	-49.071	-48.090	-46.128	-45.147	-44.166	-42.204	-41.223	-40.242
			Vy	-61.067	-61.067	-61.067	-61.067	-61.067	-61.067	-61.067	-61.067	-61.067
			Vz	0.000	0.000	0.000	0.000	0.000	0.000	0.000	0.000	0.000
			Mt	0.00	0.00	0.00	0.00	0.00	0.00	0.00	0.00	0.00
			My	0.00	0.00	0.00	0.00	0.00	0.00	0.00	0.00	0.00
			Mz	-82.76	-70.55	-58.33	-33.91	-21.69	-9.48	14.95	27.16	39.37
		1.35·PP+1.5·T2+1.5·T3	N	-67.900	-66.576	-65.252	-62.603	-61.279	-59.954	-57.305	-55.981	-54.657
			Vy	-60.223	-60.223	-60.223	-60.223	-60.223	-60.223	-60.223	-60.223	-60.223
			Vz	0.000	0.000	0.000	0.000	0.000	0.000	0.000	0.000	0.000
			Mt	0.00	0.00	0.00	0.00	0.00	0.00	0.00	0.00	0.00
			My	0.00	0.00	0.00	0.00	0.00	0.00	0.00	0.00	0.00
			Mz	-82.20	-70.15	-58.11	-34.02	-21.97	-9.93	14.16	26.21	38.25
		PP+1.5·T1+1.5·T2+1.5·T3	N	-49.580	-48.599	-47.618	-45.656	-44.675	-43.694	-41.732	-40.751	-39.770
			Vy	-92.805	-92.805	-92.805	-92.805	-92.805	-92.805	-92.805	-92.805	-92.805
			Vz	0.000	0.000	0.000	0.000	0.000	0.000	0.000	0.000	0.000
			Mt	0.00	0.00	0.00	0.00	0.00	0.00	0.00	0.00	0.00
			My	0.00	0.00	0.00	0.00	0.00	0.00	0.00	0.00	0.00
			Mz	-124.95	-106.39	-87.83	-50.71	-32.15	-13.58	23.54	42.10	60.66
		1.35·PP+1.5·T1+1.5·T2+1.5·T3	N	-67.428	-66.104	-64.780	-62.131	-60.807	-59.482	-56.834	-55.509	-54.185
			Vy	-91.961	-91.961	-91.961	-91.961	-91.961	-91.961	-91.961	-91.961	-91.961
			Vz	0.000	0.000	0.000	0.000	0.000	0.000	0.000	0.000	0.000
			Mt	0.00	0.00	0.00	0.00	0.00	0.00	0.00	0.00	0.00
			My	0.00	0.00	0.00	0.00	0.00	0.00	0.00	0.00	0.00
			Mz	-124.38	-105.99	-87.60	-50.82	-32.42	-14.03	22.75	41.15	59.54
		PP+1.5·T4	N	-52.412	-51.431	-50.450	-48.488	-47.507	-46.526	-44.564	-43.583	-42.602
			Vy	97.627	97.627	97.627	97.627	97.627	97.627	97.627	97.627	97.627
			Vz	0.000	0.000	0.000	0.000	0.000	0.000	0.000	0.000	0.000
			Mt	0.00	0.00	0.00	0.00	0.00	0.00	0.00	0.00	0.00
			My	0.00	0.00	0.00	0.00	0.00	0.00	0.00	0.00	0.00
			Mz	128.18	108.66	89.13	50.08	30.56	11.03	-28.02	-47.54	-67.07
		1.35·PP+1.5·T4	N	-70.260	-68.936	-67.611	-64.963	-63.638	-62.314	-59.665	-58.341	-57.017
			Vy	98.471	98.471	98.471	98.471	98.471	98.471	98.471	98.471	98.471
			Vz	0.000	0.000	0.000	0.000	0.000	0.000	0.000	0.000	0.000
			Mt	0.00	0.00	0.00	0.00	0.00	0.00	0.00	0.00	0.00
			My	0.00	0.00	0.00	0.00	0.00	0.00	0.00	0.00	0.00

Esfuerzos en barras, por combinación												
Barra	Combinación		Esfuerzo	Posiciones en la barra								
	Tipo	Descripción		0.000 m	0.200 m	0.400 m	0.800 m	1.000 m	1.200 m	1.600 m	1.800 m	2.000 m
			Mz	128.75	109.06	89.36	49.97	30.28	10.59	-28.80	-48.50	-68.19
		PP+1.5·T1+1.5·T4	N	-51.940	-50.959	-49.978	-48.016	-47.035	-46.054	-44.092	-43.111	-42.130
			Vy	65.888	65.888	65.888	65.888	65.888	65.888	65.888	65.888	65.888
			Vz	0.000	0.000	0.000	0.000	0.000	0.000	0.000	0.000	0.000
			Mt	0.00	0.00	0.00	0.00	0.00	0.00	0.00	0.00	0.00
			My	0.00	0.00	0.00	0.00	0.00	0.00	0.00	0.00	0.00
			Mz	86.00	72.82	59.64	33.28	20.11	6.93	-19.43	-32.60	-45.78
		1.35·PP+1.5·T1+1.5·T4	N	-69.788	-68.464	-67.139	-64.491	-63.166	-61.842	-59.193	-57.869	-56.545
			Vy	66.732	66.732	66.732	66.732	66.732	66.732	66.732	66.732	66.732
			Vz	0.000	0.000	0.000	0.000	0.000	0.000	0.000	0.000	0.000
			Mt	0.00	0.00	0.00	0.00	0.00	0.00	0.00	0.00	0.00
			My	0.00	0.00	0.00	0.00	0.00	0.00	0.00	0.00	0.00
			Mz	86.56	73.22	59.87	33.18	19.83	6.48	-20.21	-33.56	-46.90
		PP+1.5·T2+1.5·T4	N	-52.883	-51.902	-50.921	-48.959	-47.978	-46.997	-45.035	-44.054	-43.073
			Vy	129.365	129.365	129.365	129.365	129.365	129.365	129.365	129.365	129.365
			Vz	0.000	0.000	0.000	0.000	0.000	0.000	0.000	0.000	0.000
			Mt	0.00	0.00	0.00	0.00	0.00	0.00	0.00	0.00	0.00
			My	0.00	0.00	0.00	0.00	0.00	0.00	0.00	0.00	0.00
			Mz	170.37	144.50	118.63	66.88	41.01	15.14	-36.61	-62.48	-88.36
		1.35·PP+1.5·T2+1.5·T4	N	-70.732	-69.408	-68.083	-65.435	-64.110	-62.786	-60.137	-58.813	-57.488
			Vy	130.209	130.209	130.209	130.209	130.209	130.209	130.209	130.209	130.209
			Vz	0.000	0.000	0.000	0.000	0.000	0.000	0.000	0.000	0.000
			Mt	0.00	0.00	0.00	0.00	0.00	0.00	0.00	0.00	0.00
			My	0.00	0.00	0.00	0.00	0.00	0.00	0.00	0.00	0.00
			Mz	170.94	144.90	118.86	66.77	40.73	14.69	-37.40	-63.44	-89.48
		PP+1.5·T1+1.5·T2+1.5·T4	N	-52.412	-51.431	-50.450	-48.488	-47.507	-46.526	-44.564	-43.583	-42.602
			Vy	97.627	97.627	97.627	97.627	97.627	97.627	97.627	97.627	97.627
			Vz	0.000	0.000	0.000	0.000	0.000	0.000	0.000	0.000	0.000
			Mt	0.00	0.00	0.00	0.00	0.00	0.00	0.00	0.00	0.00
			My	0.00	0.00	0.00	0.00	0.00	0.00	0.00	0.00	0.00
			Mz	128.18	108.66	89.13	50.08	30.56	11.03	-28.02	-47.54	-67.07
		1.35·PP+1.5·T1+1.5·T2+1.5·T4	N	-70.260	-68.936	-67.611	-64.963	-63.638	-62.314	-59.665	-58.341	-57.017
			Vy	98.471	98.471	98.471	98.471	98.471	98.471	98.471	98.471	98.471
			Vz	0.000	0.000	0.000	0.000	0.000	0.000	0.000	0.000	0.000
			Mt	0.00	0.00	0.00	0.00	0.00	0.00	0.00	0.00	0.00
			My	0.00	0.00	0.00	0.00	0.00	0.00	0.00	0.00	0.00
			Mz	128.75	109.06	89.36	49.97	30.28	10.59	-28.80	-48.50	-68.19
		PP+1.5·T3+1.5·T4	N	-50.996	-50.015	-49.034	-47.072	-46.091	-45.110	-43.148	-42.167	-41.186
			Vy	2.411	2.411	2.411	2.411	2.411	2.411	2.411	2.411	2.411
			Vz	0.000	0.000	0.000	0.000	0.000	0.000	0.000	0.000	0.000
			Mt	0.00	0.00	0.00	0.00	0.00	0.00	0.00	0.00	0.00
			My	0.00	0.00	0.00	0.00	0.00	0.00	0.00	0.00	0.00
			Mz	1.62	1.14	0.65	-0.31	-0.79	-1.28	-2.24	-2.72	-3.20
		1.35·PP+1.5·T3+1.5·T4	N	-68.844	-67.520	-66.195	-63.547	-62.222	-60.898	-58.249	-56.925	-55.601
			Vy	3.255	3.255	3.255	3.255	3.255	3.255	3.255	3.255	3.255
			Vz	0.000	0.000	0.000	0.000	0.000	0.000	0.000	0.000	0.000
			Mt	0.00	0.00	0.00	0.00	0.00	0.00	0.00	0.00	0.00
			My	0.00	0.00	0.00	0.00	0.00	0.00	0.00	0.00	0.00
			Mz	2.18	1.53	0.88	-0.42	-1.07	-1.72	-3.02	-3.68	-4.33
		PP+1.5·T1+1.5·T3+1.5·T4	N	-50.524	-49.543	-48.562	-46.600	-45.619	-44.638	-42.676	-41.695	-40.714
			Vy	-29.328	-29.328	-29.328	-29.328	-29.328	-29.328	-29.328	-29.328	-29.328
			Vz	0.000	0.000	0.000	0.000	0.000	0.000	0.000	0.000	0.000
			Mt	0.00	0.00	0.00	0.00	0.00	0.00	0.00	0.00	0.00
			My	0.00	0.00	0.00	0.00	0.00	0.00	0.00	0.00	0.00
			Mz	-40.57	-34.71	-28.84	-17.11	-11.24	-5.38	6.35	12.22	18.08
		1.35·PP+1.5·T1+1.5·T3+1.5·T4	N	-68.372	-67.048	-65.724	-63.075	-61.750	-60.426	-57.777	-56.453	-55.129
			Vy	-28.484	-28.484	-28.484	-28.484	-28.484	-28.484	-28.484	-28.484	-28.484
			Vz	0.000	0.000	0.000	0.000	0.000	0.000	0.000	0.000	0.000
			Mt	0.00	0.00	0.00	0.00	0.00	0.00	0.00	0.00	0.00
			My	0.00	0.00	0.00	0.00	0.00	0.00	0.00	0.00	0.00
			Mz	-40.01	-34.31	-28.61	-17.22	-11.52	-5.83	5.57	11.27	16.96
		PP+1.5·T2+1.5·T3+1.5·T4	N	-51.468	-50.487	-49.506	-47.544	-46.563	-45.582	-43.620	-42.639	-41.658
			Vy	34.149	34.149	34.149	34.149	34.149	34.149	34.149	34.149	34.149
			Vz	0.000	0.000	0.000	0.000	0.000	0.000	0.000	0.000	0.000
			Mt	0.00	0.00	0.00	0.00	0.00	0.00	0.00	0.00	0.00
			My	0.00	0.00	0.00	0.00	0.00	0.00	0.00	0.00	0.00
			Mz	43.81	36.98	30.15	16.49	9.66	2.83	-10.83	-17.66	-24.49
		1.35·PP+1.5·T2+1.5·T3+1.5·T4	N	-69.316	-67.992	-66.667	-64.019	-62.694	-61.370	-58.721	-57.397	-56.073
			Vy	34.993	34.993	34.993	34.993	34.993	34.993	34.993	34.993	34.993
			Vz	0.000	0.000	0.000	0.000	0.000	0.000	0.000	0.000	0.000
			Mt	0.00	0.00	0.00	0.00	0.00	0.00	0.00	0.00	0.00
			My	0.00	0.00	0.00	0.00	0.00	0.00	0.00	0.00	0.00
			Mz	44.37	37.37	30.38	16.38	9.38	2.38	-11.62	-18.62	-25.61
		PP+1.5·T1+1.5·T2+1.5·T3+1.5·T4	N	-50.996	-50.015	-49.034	-47.072	-46.091	-45.110	-43.148	-42.167	-41.186
			Vy	2.411	2.411	2.411	2.411	2.411	2.411	2.411	2.411	2.411
			Vz	0.000	0.000	0.000	0.000	0.000	0.000	0.000	0.000	0.000
			Mt	0.00	0.00	0.00	0.00	0.00	0.00	0.00	0.00	0.00
			My	0.00	0.00	0.00	0.00	0.00	0.00	0.00	0.00	0.00
			Mz	1.62	1.14	0.65	-0.31	-0.79	-1.28	-2.24	-2.72	-3.20
		1.35·PP+1.5·T1+1.5·T2+1.5·T3+1.5·T4	N	-68.844	-67.520	-66.195	-63.547	-62.222	-60.898	-58.249	-56.925	-55.601
			Vy	3.255	3.255	3.255	3.255	3.255	3.255	3.255	3.255	3.255
			Vz	0.000	0.000	0.000	0.000	0.000	0.000	0.000	0.000	0.000
			Mt	0.00	0.00	0.00	0.00	0.00	0.00	0.00	0.00	0.00

Esfuerzos en barras, por combinación												
Barra	Combinación		Esfuerzo	Posiciones en la barra								
	Tipo	Descripción		0.000 m	0.200 m	0.400 m	0.800 m	1.000 m	1.200 m	1.600 m	1.800 m	2.000 m
			My	0.00	0.00	0.00	0.00	0.00	0.00	0.00	0.00	0.00
			Mz	2.18	1.53	0.88	-0.42	-1.07	-1.72	-3.02	-3.68	-4.33

Esfuerzos en barras, por combinación												
Barra	Combinación		Esfuerzo	Posiciones en la barra								
	Tipo	Descripción		0.000 m	0.625 m	1.250 m	1.875 m	2.500 m	3.125 m	3.750 m	4.375 m	5.000 m
N28/N10	Hormigón	PP	N	-24.848	-21.783	-18.717	-15.651	-12.586	-9.520	-6.454	-3.389	-0.323
			Vy	0.238	0.238	0.238	0.238	0.238	0.238	0.238	0.238	0.238
			Vz	0.000	0.000	0.000	0.000	0.000	0.000	0.000	0.000	0.000
			Mt	0.00	0.00	0.00	0.00	0.00	0.00	0.00	0.00	0.00
			My	0.00	0.00	0.00	0.00	0.00	0.00	0.00	0.00	0.00
			Mz	1.09	0.94	0.79	0.64	0.49	0.34	0.19	0.05	-0.10
		1.35·PP	N	-33.545	-29.406	-25.268	-21.129	-16.991	-12.852	-8.713	-4.575	-0.436
			Vy	0.321	0.321	0.321	0.321	0.321	0.321	0.321	0.321	0.321
			Vz	0.000	0.000	0.000	0.000	0.000	0.000	0.000	0.000	0.000
			Mt	0.00	0.00	0.00	0.00	0.00	0.00	0.00	0.00	0.00
			My	0.00	0.00	0.00	0.00	0.00	0.00	0.00	0.00	0.00
			Mz	1.47	1.26	1.06	0.86	0.66	0.46	0.26	0.06	-0.14
		PP+1.5·T1	N	-24.848	-21.783	-18.717	-15.651	-12.586	-9.520	-6.454	-3.389	-0.323
			Vy	1.361	1.361	1.361	1.361	1.361	1.361	1.361	1.361	1.361
			Vz	0.000	0.000	0.000	0.000	0.000	0.000	0.000	0.000	0.000
			Mt	0.00	0.00	0.00	0.00	0.00	0.00	0.00	0.00	0.00
			My	0.00	0.00	0.00	0.00	0.00	0.00	0.00	0.00	0.00
			Mz	6.73	5.88	5.03	4.18	3.33	2.48	1.63	0.78	-0.07
		1.35·PP+1.5·T1	N	-33.545	-29.406	-25.268	-21.129	-16.991	-12.852	-8.713	-4.575	-0.436
			Vy	1.444	1.444	1.444	1.444	1.444	1.444	1.444	1.444	1.444
			Vz	0.000	0.000	0.000	0.000	0.000	0.000	0.000	0.000	0.000
			Mt	0.00	0.00	0.00	0.00	0.00	0.00	0.00	0.00	0.00
			My	0.00	0.00	0.00	0.00	0.00	0.00	0.00	0.00	0.00
			Mz	7.11	6.21	5.31	4.41	3.50	2.60	1.70	0.80	-0.11
		PP+1.5·T2	N	-24.848	-21.783	-18.717	-15.651	-12.586	-9.520	-6.454	-3.389	-0.323
			Vy	-0.885	-0.885	-0.885	-0.885	-0.885	-0.885	-0.885	-0.885	-0.885
			Vz	0.000	0.000	0.000	0.000	0.000	0.000	0.000	0.000	0.000
			Mt	0.00	0.00	0.00	0.00	0.00	0.00	0.00	0.00	0.00
			My	0.00	0.00	0.00	0.00	0.00	0.00	0.00	0.00	0.00
			Mz	-4.56	-4.01	-3.46	-2.90	-2.35	-1.80	-1.24	-0.69	-0.14
		1.35·PP+1.5·T2	N	-33.545	-29.406	-25.268	-21.129	-16.991	-12.852	-8.713	-4.575	-0.436
			Vy	-0.802	-0.802	-0.802	-0.802	-0.802	-0.802	-0.802	-0.802	-0.802
			Vz	0.000	0.000	0.000	0.000	0.000	0.000	0.000	0.000	0.000
			Mt	0.00	0.00	0.00	0.00	0.00	0.00	0.00	0.00	0.00
			My	0.00	0.00	0.00	0.00	0.00	0.00	0.00	0.00	0.00
			Mz	-4.18	-3.68	-3.18	-2.68	-2.18	-1.68	-1.17	-0.67	-0.17
		PP+1.5·T1+1.5·T2	N	-24.848	-21.783	-18.717	-15.651	-12.586	-9.520	-6.454	-3.389	-0.323
			Vy	0.238	0.238	0.238	0.238	0.238	0.238	0.238	0.238	0.238
			Vz	0.000	0.000	0.000	0.000	0.000	0.000	0.000	0.000	0.000
			Mt	0.00	0.00	0.00	0.00	0.00	0.00	0.00	0.00	0.00
			My	0.00	0.00	0.00	0.00	0.00	0.00	0.00	0.00	0.00
			Mz	1.09	0.94	0.79	0.64	0.49	0.34	0.19	0.05	-0.10
		1.35·PP+1.5·T1+1.5·T2	N	-33.545	-29.406	-25.268	-21.129	-16.991	-12.852	-8.713	-4.575	-0.436
			Vy	0.321	0.321	0.321	0.321	0.321	0.321	0.321	0.321	0.321
			Vz	0.000	0.000	0.000	0.000	0.000	0.000	0.000	0.000	0.000
			Mt	0.00	0.00	0.00	0.00	0.00	0.00	0.00	0.00	0.00
			My	0.00	0.00	0.00	0.00	0.00	0.00	0.00	0.00	0.00
			Mz	1.47	1.26	1.06	0.86	0.66	0.46	0.26	0.06	-0.14
		PP+1.5·T3	N	-24.850	-21.784	-18.719	-15.653	-12.587	-9.522	-6.456	-3.391	-0.325
			Vy	3.606	3.606	3.606	3.606	3.606	3.606	3.606	3.606	3.606
			Vz	0.000	0.000	0.000	0.000	0.000	0.000	0.000	0.000	0.000
			Mt	0.00	0.00	0.00	0.00	0.00	0.00	0.00	0.00	0.00
			My	0.00	0.00	0.00	0.00	0.00	0.00	0.00	0.00	0.00
			Mz	18.03	15.77	13.52	11.26	9.01	6.76	4.50	2.25	0.00
		1.35·PP+1.5·T3	N	-33.547	-29.408	-25.270	-21.131	-16.992	-12.854	-8.715	-4.577	-0.438
			Vy	3.689	3.689	3.689	3.689	3.689	3.689	3.689	3.689	3.689
			Vz	0.000	0.000	0.000	0.000	0.000	0.000	0.000	0.000	0.000
			Mt	0.00	0.00	0.00	0.00	0.00	0.00	0.00	0.00	0.00
			My	0.00	0.00	0.00	0.00	0.00	0.00	0.00	0.00	0.00
			Mz	18.41	16.10	13.79	11.49	9.18	6.88	4.57	2.27	-0.04
		PP+1.5·T1+1.5·T3	N	-24.850	-21.784	-18.719	-15.653	-12.587	-9.522	-6.456	-3.391	-0.325
			Vy	4.729	4.729	4.729	4.729	4.729	4.729	4.729	4.729	4.729
			Vz	0.000	0.000	0.000	0.000	0.000	0.000	0.000	0.000	0.000
			Mt	0.00	0.00	0.00	0.00	0.00	0.00	0.00	0.00	0.00
			My	0.00	0.00	0.00	0.00	0.00	0.00	0.00	0.00	0.00
			Mz	23.67	20.72	17.76	14.81	11.85	8.90	5.94	2.98	0.03
		1.35·PP+1.5·T1+1.5·T3	N	-33.547	-29.408	-25.270	-21.131	-16.992	-12.854	-8.715	-4.577	-0.438
			Vy	4.812	4.812	4.812	4.812	4.812	4.812	4.812	4.812	4.812
			Vz	0.000	0.000	0.000	0.000	0.000	0.000	0.000	0.000	0.000
			Mt	0.00	0.00	0.00	0.00	0.00	0.00	0.00	0.00	0.00
			My	0.00	0.00	0.00	0.00	0.00	0.00	0.00	0.00	0.00
			Mz	24.05	21.05	18.04	15.03	12.02	9.01	6.01	3.00	-0.01
		PP+1.5·T2+1.5·T3	N	-24.850	-21.784	-18.719	-15.653	-12.587	-9.522	-6.456	-3.391	-0.325
			Vy	2.483	2.483	2.483	2.483	2.483	2.483	2.483	2.483	2.483

Esfuerzos en barras, por combinación

Barra	Combinación		Esfuerzo	Posiciones en la barra								
	Tipo	Descripción		0.000 m	0.625 m	1.250 m	1.875 m	2.500 m	3.125 m	3.750 m	4.375 m	5.000 m
			Vz	0.000	0.000	0.000	0.000	0.000	0.000	0.000	0.000	0.000
			Mt	0.00	0.00	0.00	0.00	0.00	0.00	0.00	0.00	0.00
			My	0.00	0.00	0.00	0.00	0.00	0.00	0.00	0.00	0.00
			Mz	12.38	10.83	9.28	7.72	6.17	4.62	3.07	1.51	-0.04
		1.35·PP+1.5·T2+1.5·T3	N	-33.547	-29.408	-25.270	-21.131	-16.992	-12.854	-8.715	-4.577	-0.438
			Vy	2.567	2.567	2.567	2.567	2.567	2.567	2.567	2.567	2.567
			Vz	0.000	0.000	0.000	0.000	0.000	0.000	0.000	0.000	0.000
			Mt	0.00	0.00	0.00	0.00	0.00	0.00	0.00	0.00	0.00
			My	0.00	0.00	0.00	0.00	0.00	0.00	0.00	0.00	0.00
			Mz	12.76	11.16	9.55	7.95	6.34	4.74	3.13	1.53	-0.07
		PP+1.5·T1+1.5·T2+1.5·T3	N	-24.850	-21.784	-18.719	-15.653	-12.587	-9.522	-6.456	-3.391	-0.325
			Vy	3.606	3.606	3.606	3.606	3.606	3.606	3.606	3.606	3.606
			Vz	0.000	0.000	0.000	0.000	0.000	0.000	0.000	0.000	0.000
			Mt	0.00	0.00	0.00	0.00	0.00	0.00	0.00	0.00	0.00
			My	0.00	0.00	0.00	0.00	0.00	0.00	0.00	0.00	0.00
			Mz	18.03	15.77	13.52	11.26	9.01	6.76	4.50	2.25	0.00
		1.35·PP+1.5·T1+1.5·T2+1.5·T3	N	-33.547	-29.408	-25.270	-21.131	-16.992	-12.854	-8.715	-4.577	-0.438
			Vy	3.689	3.689	3.689	3.689	3.689	3.689	3.689	3.689	3.689
			Vz	0.000	0.000	0.000	0.000	0.000	0.000	0.000	0.000	0.000
			Mt	0.00	0.00	0.00	0.00	0.00	0.00	0.00	0.00	0.00
			My	0.00	0.00	0.00	0.00	0.00	0.00	0.00	0.00	0.00
			Mz	18.41	16.10	13.79	11.49	9.18	6.88	4.57	2.27	-0.04
		PP+1.5·T4	N	-24.846	-21.781	-18.715	-15.649	-12.584	-9.518	-6.453	-3.387	-0.321
			Vy	-3.131	-3.131	-3.131	-3.131	-3.131	-3.131	-3.131	-3.131	-3.131
			Vz	0.000	0.000	0.000	0.000	0.000	0.000	0.000	0.000	0.000
			Mt	0.00	0.00	0.00	0.00	0.00	0.00	0.00	0.00	0.00
			My	0.00	0.00	0.00	0.00	0.00	0.00	0.00	0.00	0.00
			Mz	-15.86	-13.90	-11.94	-9.99	-8.03	-6.07	-4.11	-2.16	-0.20
		1.35·PP+1.5·T4	N	-33.543	-29.405	-25.266	-21.127	-16.989	-12.850	-8.712	-4.573	-0.434
			Vy	-3.048	-3.048	-3.048	-3.048	-3.048	-3.048	-3.048	-3.048	-3.048
			Vz	0.000	0.000	0.000	0.000	0.000	0.000	0.000	0.000	0.000
			Mt	0.00	0.00	0.00	0.00	0.00	0.00	0.00	0.00	0.00
			My	0.00	0.00	0.00	0.00	0.00	0.00	0.00	0.00	0.00
			Mz	-15.48	-13.57	-11.67	-9.76	-7.86	-5.95	-4.05	-2.14	-0.24
		PP+1.5·T1+1.5·T4	N	-24.846	-21.781	-18.715	-15.649	-12.584	-9.518	-6.453	-3.387	-0.321
			Vy	-2.008	-2.008	-2.008	-2.008	-2.008	-2.008	-2.008	-2.008	-2.008
			Vz	0.000	0.000	0.000	0.000	0.000	0.000	0.000	0.000	0.000
			Mt	0.00	0.00	0.00	0.00	0.00	0.00	0.00	0.00	0.00
			My	0.00	0.00	0.00	0.00	0.00	0.00	0.00	0.00	0.00
			Mz	-10.21	-8.95	-7.70	-6.44	-5.19	-3.93	-2.68	-1.42	-0.17
		1.35·PP+1.5·T1+1.5·T4	N	-33.543	-29.405	-25.266	-21.127	-16.989	-12.850	-8.712	-4.573	-0.434
			Vy	-1.925	-1.925	-1.925	-1.925	-1.925	-1.925	-1.925	-1.925	-1.925
			Vz	0.000	0.000	0.000	0.000	0.000	0.000	0.000	0.000	0.000
			Mt	0.00	0.00	0.00	0.00	0.00	0.00	0.00	0.00	0.00
			My	0.00	0.00	0.00	0.00	0.00	0.00	0.00	0.00	0.00
			Mz	-9.83	-8.63	-7.42	-6.22	-5.02	-3.81	-2.61	-1.41	-0.20
		PP+1.5·T2+1.5·T4	N	-24.846	-21.781	-18.715	-15.649	-12.584	-9.518	-6.453	-3.387	-0.321
			Vy	-4.254	-4.254	-4.254	-4.254	-4.254	-4.254	-4.254	-4.254	-4.254
			Vz	0.000	0.000	0.000	0.000	0.000	0.000	0.000	0.000	0.000
			Mt	0.00	0.00	0.00	0.00	0.00	0.00	0.00	0.00	0.00
			My	0.00	0.00	0.00	0.00	0.00	0.00	0.00	0.00	0.00
			Mz	-21.50	-18.84	-16.19	-13.53	-10.87	-8.21	-5.55	-2.89	-0.23
		1.35·PP+1.5·T2+1.5·T4	N	-33.543	-29.405	-25.266	-21.127	-16.989	-12.850	-8.712	-4.573	-0.434
			Vy	-4.170	-4.170	-4.170	-4.170	-4.170	-4.170	-4.170	-4.170	-4.170
			Vz	0.000	0.000	0.000	0.000	0.000	0.000	0.000	0.000	0.000
			Mt	0.00	0.00	0.00	0.00	0.00	0.00	0.00	0.00	0.00
			My	0.00	0.00	0.00	0.00	0.00	0.00	0.00	0.00	0.00
			Mz	-21.12	-18.52	-15.91	-13.30	-10.70	-8.09	-5.48	-2.88	-0.27
		PP+1.5·T1+1.5·T2+1.5·T4	N	-24.846	-21.781	-18.715	-15.649	-12.584	-9.518	-6.453	-3.387	-0.321
			Vy	-3.131	-3.131	-3.131	-3.131	-3.131	-3.131	-3.131	-3.131	-3.131
			Vz	0.000	0.000	0.000	0.000	0.000	0.000	0.000	0.000	0.000
			Mt	0.00	0.00	0.00	0.00	0.00	0.00	0.00	0.00	0.00
			My	0.00	0.00	0.00	0.00	0.00	0.00	0.00	0.00	0.00
			Mz	-15.86	-13.90	-11.94	-9.99	-8.03	-6.07	-4.11	-2.16	-0.20
		1.35·PP+1.5·T1+1.5·T2+1.5·T4	N	-33.543	-29.405	-25.266	-21.127	-16.989	-12.850	-8.712	-4.573	-0.434
			Vy	-3.048	-3.048	-3.048	-3.048	-3.048	-3.048	-3.048	-3.048	-3.048
			Vz	0.000	0.000	0.000	0.000	0.000	0.000	0.000	0.000	0.000
			Mt	0.00	0.00	0.00	0.00	0.00	0.00	0.00	0.00	0.00
			My	0.00	0.00	0.00	0.00	0.00	0.00	0.00	0.00	0.00
			Mz	-15.48	-13.57	-11.67	-9.76	-7.86	-5.95	-4.05	-2.14	-0.24
		PP+1.5·T3+1.5·T4	N	-24.848	-21.783	-18.717	-15.651	-12.586	-9.520	-6.454	-3.389	-0.323
			Vy	0.238	0.238	0.238	0.238	0.238	0.238	0.238	0.238	0.238
			Vz	0.000	0.000	0.000	0.000	0.000	0.000	0.000	0.000	0.000
			Mt	0.00	0.00	0.00	0.00	0.00	0.00	0.00	0.00	0.00
			My	0.00	0.00	0.00	0.00	0.00	0.00	0.00	0.00	0.00
			Mz	1.09	0.94	0.79	0.64	0.49	0.34	0.19	0.05	-0.10
		1.35·PP+1.5·T3+1.5·T4	N	-33.545	-29.406	-25.268	-21.129	-16.991	-12.852	-8.713	-4.575	-0.436
			Vy	0.321	0.321	0.321	0.321	0.321	0.321	0.321	0.321	0.321
			Vz	0.000	0.000	0.000	0.000	0.000	0.000	0.000	0.000	0.000
			Mt	0.00	0.00	0.00	0.00	0.00	0.00	0.00	0.00	0.00
			My	0.00	0.00	0.00	0.00	0.00	0.00	0.00	0.00	0.00

Esfuerzos en barras, por combinación												
Barra	Combinación		Esfuerzo	Posiciones en la barra								
	Tipo	Descripción		0.000 m	0.625 m	1.250 m	1.875 m	2.500 m	3.125 m	3.750 m	4.375 m	5.000 m
			Mz	1.47	1.26	1.06	0.86	0.66	0.46	0.26	0.06	-0.14
		PP+1.5·T1+1.5·T3+1.5·T4	N	-24.848	-21.783	-18.717	-15.651	-12.586	-9.520	-6.454	-3.389	-0.323
			Vy	1.361	1.361	1.361	1.361	1.361	1.361	1.361	1.361	1.361
			Vz	0.000	0.000	0.000	0.000	0.000	0.000	0.000	0.000	0.000
			Mt	0.00	0.00	0.00	0.00	0.00	0.00	0.00	0.00	0.00
			My	0.00	0.00	0.00	0.00	0.00	0.00	0.00	0.00	0.00
			Mz	6.73	5.88	5.03	4.18	3.33	2.48	1.63	0.78	-0.07
		1.35·PP+1.5·T1+1.5·T3+1.5·T4	N	-33.545	-29.406	-25.268	-21.129	-16.991	-12.852	-8.713	-4.575	-0.436
			Vy	1.444	1.444	1.444	1.444	1.444	1.444	1.444	1.444	1.444
			Vz	0.000	0.000	0.000	0.000	0.000	0.000	0.000	0.000	0.000
			Mt	0.00	0.00	0.00	0.00	0.00	0.00	0.00	0.00	0.00
			My	0.00	0.00	0.00	0.00	0.00	0.00	0.00	0.00	0.00
			Mz	7.11	6.21	5.31	4.41	3.50	2.60	1.70	0.80	-0.11
		PP+1.5·T2+1.5·T3+1.5·T4	N	-24.848	-21.783	-18.717	-15.651	-12.586	-9.520	-6.454	-3.389	-0.323
			Vy	-0.885	-0.885	-0.885	-0.885	-0.885	-0.885	-0.885	-0.885	-0.885
			Vz	0.000	0.000	0.000	0.000	0.000	0.000	0.000	0.000	0.000
			Mt	0.00	0.00	0.00	0.00	0.00	0.00	0.00	0.00	0.00
			My	0.00	0.00	0.00	0.00	0.00	0.00	0.00	0.00	0.00
			Mz	-4.56	-4.01	-3.46	-2.90	-2.35	-1.80	-1.24	-0.69	-0.14
		1.35·PP+1.5·T2+1.5·T3+1.5·T4	N	-33.545	-29.406	-25.268	-21.129	-16.991	-12.852	-8.713	-4.575	-0.436
			Vy	-0.802	-0.802	-0.802	-0.802	-0.802	-0.802	-0.802	-0.802	-0.802
			Vz	0.000	0.000	0.000	0.000	0.000	0.000	0.000	0.000	0.000
			Mt	0.00	0.00	0.00	0.00	0.00	0.00	0.00	0.00	0.00
			My	0.00	0.00	0.00	0.00	0.00	0.00	0.00	0.00	0.00
			Mz	-4.18	-3.68	-3.18	-2.68	-2.18	-1.68	-1.17	-0.67	-0.17
		PP+1.5·T1+1.5·T2+1.5·T3+1.5·T4	N	-24.848	-21.783	-18.717	-15.651	-12.586	-9.520	-6.454	-3.389	-0.323
			Vy	0.238	0.238	0.238	0.238	0.238	0.238	0.238	0.238	0.238
			Vz	0.000	0.000	0.000	0.000	0.000	0.000	0.000	0.000	0.000
			Mt	0.00	0.00	0.00	0.00	0.00	0.00	0.00	0.00	0.00
			My	0.00	0.00	0.00	0.00	0.00	0.00	0.00	0.00	0.00
			Mz	1.09	0.94	0.79	0.64	0.49	0.34	0.19	0.05	-0.10
		1.35·PP+1.5·T1+1.5·T2+1.5·T3+1.5·T4	N	-33.545	-29.406	-25.268	-21.129	-16.991	-12.852	-8.713	-4.575	-0.436
			Vy	0.321	0.321	0.321	0.321	0.321	0.321	0.321	0.321	0.321
			Vz	0.000	0.000	0.000	0.000	0.000	0.000	0.000	0.000	0.000
			Mt	0.00	0.00	0.00	0.00	0.00	0.00	0.00	0.00	0.00
			My	0.00	0.00	0.00	0.00	0.00	0.00	0.00	0.00	0.00
			Mz	1.47	1.26	1.06	0.86	0.66	0.46	0.26	0.06	-0.14

Esfuerzos en barras, por combinación												
Barra	Combinación		Esfuerzo	Posiciones en la barra								
	Tipo	Descripción		0.000 m	0.200 m	0.400 m	0.800 m	1.000 m	1.200 m	1.600 m	1.800 m	2.000 m
N11/N29	Hormigón	PP	N	-47.999	-47.018	-46.037	-44.075	-43.094	-42.113	-40.151	-39.170	-38.189
			Vy	-0.067	-0.067	-0.067	-0.067	-0.067	-0.067	-0.067	-0.067	-0.067
			Vz	0.000	0.000	0.000	0.000	0.000	0.000	0.000	0.000	0.000
			Mt	0.00	0.00	0.00	0.00	0.00	0.00	0.00	0.00	0.00
			My	0.00	0.00	0.00	0.00	0.00	0.00	0.00	0.00	0.00
			Mz	-0.01	0.01	0.02	0.05	0.06	0.07	0.10	0.11	0.13
		1.35·PP	N	-64.799	-63.474	-62.150	-59.501	-58.177	-56.853	-54.204	-52.880	-51.555
			Vy	-0.091	-0.091	-0.091	-0.091	-0.091	-0.091	-0.091	-0.091	-0.091
			Vz	0.000	0.000	0.000	0.000	0.000	0.000	0.000	0.000	0.000
			Mt	0.00	0.00	0.00	0.00	0.00	0.00	0.00	0.00	0.00
			My	0.00	0.00	0.00	0.00	0.00	0.00	0.00	0.00	0.00
			Mz	-0.01	0.01	0.03	0.06	0.08	0.10	0.14	0.15	0.17
		PP+1.5·T1	N	-45.328	-44.347	-43.366	-41.404	-40.423	-39.442	-37.480	-36.499	-35.518
			Vy	-10.054	-10.054	-10.054	-10.054	-10.054	-10.054	-10.054	-10.054	-10.054
			Vz	0.000	0.000	0.000	0.000	0.000	0.000	0.000	0.000	0.000
			Mt	0.00	0.00	0.00	0.00	0.00	0.00	0.00	0.00	0.00
			My	0.00	0.00	0.00	0.00	0.00	0.00	0.00	0.00	0.00
			Mz	-13.08	-11.06	-9.05	-5.03	-3.02	-1.01	3.01	5.02	7.03
		1.35·PP+1.5·T1	N	-62.128	-60.804	-59.479	-56.831	-55.506	-54.182	-51.533	-50.209	-48.884
			Vy	-10.078	-10.078	-10.078	-10.078	-10.078	-10.078	-10.078	-10.078	-10.078
			Vz	0.000	0.000	0.000	0.000	0.000	0.000	0.000	0.000	0.000
			Mt	0.00	0.00	0.00	0.00	0.00	0.00	0.00	0.00	0.00
			My	0.00	0.00	0.00	0.00	0.00	0.00	0.00	0.00	0.00
			Mz	-13.08	-11.06	-9.05	-5.02	-3.00	-0.98	3.05	5.06	7.08
		PP+1.5·T2	N	-50.670	-49.689	-48.708	-46.746	-45.765	-44.784	-42.822	-41.841	-40.860
			Vy	9.919	9.919	9.919	9.919	9.919	9.919	9.919	9.919	9.919
			Vz	0.000	0.000	0.000	0.000	0.000	0.000	0.000	0.000	0.000
			Mt	0.00	0.00	0.00	0.00	0.00	0.00	0.00	0.00	0.00
			My	0.00	0.00	0.00	0.00	0.00	0.00	0.00	0.00	0.00
			Mz	13.06	11.08	9.09	5.13	3.14	1.16	-2.81	-4.79	-6.78
		1.35·PP+1.5·T2	N	-67.470	-66.145	-64.821	-62.172	-60.848	-59.523	-56.875	-55.550	-54.226
			Vy	9.896	9.896	9.896	9.896	9.896	9.896	9.896	9.896	9.896
			Vz	0.000	0.000	0.000	0.000	0.000	0.000	0.000	0.000	0.000
			Mt	0.00	0.00	0.00	0.00	0.00	0.00	0.00	0.00	0.00
			My	0.00	0.00	0.00	0.00	0.00	0.00	0.00	0.00	0.00
			Mz	13.06	11.08	9.10	5.14	3.16	1.18	-2.77	-4.75	-6.73
		PP+1.5·T1+1.5·T2	N	-47.999	-47.018	-46.037	-44.075	-43.094	-42.113	-40.151	-39.170	-38.189
			Vy	-0.067	-0.067	-0.067	-0.067	-0.067	-0.067	-0.067	-0.067	-0.067
			Vz	0.000	0.000	0.000	0.000	0.000	0.000	0.000	0.000	0.000

Esfuerzos en barras, por combinación

Barra	Combinación		Esfuerzo	Posiciones en la barra								
	Tipo	Descripción		0.000 m	0.200 m	0.400 m	0.800 m	1.000 m	1.200 m	1.600 m	1.800 m	2.000 m
			Mt	0.00	0.00	0.00	0.00	0.00	0.00	0.00	0.00	0.00
			My	0.00	0.00	0.00	0.00	0.00	0.00	0.00	0.00	0.00
			Mz	-0.01	0.01	0.02	0.05	0.06	0.07	0.10	0.11	0.13
		1.35·PP+1.5·T1+1.5·T2	N	-64.799	-63.474	-62.150	-59.501	-58.177	-56.853	-54.204	-52.880	-51.555
			Vy	-0.091	-0.091	-0.091	-0.091	-0.091	-0.091	-0.091	-0.091	-0.091
			Vz	0.000	0.000	0.000	0.000	0.000	0.000	0.000	0.000	0.000
			Mt	0.00	0.00	0.00	0.00	0.00	0.00	0.00	0.00	0.00
			My	0.00	0.00	0.00	0.00	0.00	0.00	0.00	0.00	0.00
			Mz	-0.01	0.01	0.03	0.06	0.08	0.10	0.14	0.15	0.17
		PP+1.5·T3	N	-39.987	-39.006	-38.025	-36.063	-35.082	-34.101	-32.139	-31.158	-30.177
			Vy	-30.028	-30.028	-30.028	-30.028	-30.028	-30.028	-30.028	-30.028	-30.028
			Vz	0.000	0.000	0.000	0.000	0.000	0.000	0.000	0.000	0.000
			Mt	0.00	0.00	0.00	0.00	0.00	0.00	0.00	0.00	0.00
			My	0.00	0.00	0.00	0.00	0.00	0.00	0.00	0.00	0.00
			Mz	-39.21	-33.21	-27.20	-15.19	-9.19	-3.18	8.83	14.84	20.84
		1.35·PP+1.5·T3	N	-56.786	-55.462	-54.138	-51.489	-50.165	-48.840	-46.191	-44.867	-43.543
			Vy	-30.052	-30.052	-30.052	-30.052	-30.052	-30.052	-30.052	-30.052	-30.052
			Vz	0.000	0.000	0.000	0.000	0.000	0.000	0.000	0.000	0.000
			Mt	0.00	0.00	0.00	0.00	0.00	0.00	0.00	0.00	0.00
			My	0.00	0.00	0.00	0.00	0.00	0.00	0.00	0.00	0.00
			Mz	-39.22	-33.21	-27.19	-15.17	-9.16	-3.15	8.87	14.88	20.89
		PP+1.5·T1+1.5·T3	N	-37.316	-36.335	-35.354	-33.392	-32.411	-31.430	-29.468	-28.487	-27.506
			Vy	-40.015	-40.015	-40.015	-40.015	-40.015	-40.015	-40.015	-40.015	-40.015
			Vz	0.000	0.000	0.000	0.000	0.000	0.000	0.000	0.000	0.000
			Mt	0.00	0.00	0.00	0.00	0.00	0.00	0.00	0.00	0.00
			My	0.00	0.00	0.00	0.00	0.00	0.00	0.00	0.00	0.00
			Mz	-52.28	-44.28	-36.28	-20.27	-12.27	-4.26	11.74	19.75	27.75
		1.35·PP+1.5·T1+1.5·T3	N	-54.115	-52.791	-51.467	-48.818	-47.494	-46.169	-43.521	-42.196	-40.872
			Vy	-40.039	-40.039	-40.039	-40.039	-40.039	-40.039	-40.039	-40.039	-40.039
			Vz	0.000	0.000	0.000	0.000	0.000	0.000	0.000	0.000	0.000
			Mt	0.00	0.00	0.00	0.00	0.00	0.00	0.00	0.00	0.00
			My	0.00	0.00	0.00	0.00	0.00	0.00	0.00	0.00	0.00
			Mz	-52.28	-44.28	-36.27	-20.25	-12.25	-4.24	11.78	19.79	27.79
		PP+1.5·T2+1.5·T3	N	-42.657	-41.676	-40.695	-38.733	-37.752	-36.771	-34.809	-33.828	-32.847
			Vy	-20.041	-20.041	-20.041	-20.041	-20.041	-20.041	-20.041	-20.041	-20.041
			Vz	0.000	0.000	0.000	0.000	0.000	0.000	0.000	0.000	0.000
			Mt	0.00	0.00	0.00	0.00	0.00	0.00	0.00	0.00	0.00
			My	0.00	0.00	0.00	0.00	0.00	0.00	0.00	0.00	0.00
			Mz	-26.14	-22.14	-18.13	-10.11	-6.10	-2.10	5.92	9.93	13.94
		1.35·PP+1.5·T2+1.5·T3	N	-59.457	-58.133	-56.808	-54.160	-52.835	-51.511	-48.862	-47.538	-46.214
			Vy	-20.065	-20.065	-20.065	-20.065	-20.065	-20.065	-20.065	-20.065	-20.065
			Vz	0.000	0.000	0.000	0.000	0.000	0.000	0.000	0.000	0.000
			Mt	0.00	0.00	0.00	0.00	0.00	0.00	0.00	0.00	0.00
			My	0.00	0.00	0.00	0.00	0.00	0.00	0.00	0.00	0.00
			Mz	-26.15	-22.13	-18.12	-10.10	-6.08	-2.07	5.96	9.97	13.98
		PP+1.5·T1+1.5·T2+1.5·T3	N	-39.987	-39.006	-38.025	-36.063	-35.082	-34.101	-32.139	-31.158	-30.177
			Vy	-30.028	-30.028	-30.028	-30.028	-30.028	-30.028	-30.028	-30.028	-30.028
			Vz	0.000	0.000	0.000	0.000	0.000	0.000	0.000	0.000	0.000
			Mt	0.00	0.00	0.00	0.00	0.00	0.00	0.00	0.00	0.00
			My	0.00	0.00	0.00	0.00	0.00	0.00	0.00	0.00	0.00
			Mz	-39.21	-33.21	-27.20	-15.19	-9.19	-3.18	8.83	14.84	20.84
		1.35·PP+1.5·T1+1.5·T2+1.5·T3	N	-56.786	-55.462	-54.138	-51.489	-50.165	-48.840	-46.191	-44.867	-43.543
			Vy	-30.052	-30.052	-30.052	-30.052	-30.052	-30.052	-30.052	-30.052	-30.052
			Vz	0.000	0.000	0.000	0.000	0.000	0.000	0.000	0.000	0.000
			Mt	0.00	0.00	0.00	0.00	0.00	0.00	0.00	0.00	0.00
			My	0.00	0.00	0.00	0.00	0.00	0.00	0.00	0.00	0.00
			Mz	-39.22	-33.21	-27.19	-15.17	-9.16	-3.15	8.87	14.88	20.89
		PP+1.5·T4	N	-56.012	-55.031	-54.050	-52.088	-51.107	-50.126	-48.164	-47.183	-46.202
			Vy	29.893	29.893	29.893	29.893	29.893	29.893	29.893	29.893	29.893
			Vz	0.000	0.000	0.000	0.000	0.000	0.000	0.000	0.000	0.000
			Mt	0.00	0.00	0.00	0.00	0.00	0.00	0.00	0.00	0.00
			My	0.00	0.00	0.00	0.00	0.00	0.00	0.00	0.00	0.00
			Mz	39.20	33.22	27.24	15.28	9.31	3.33	-8.63	-14.61	-20.59
		1.35·PP+1.5·T4	N	-72.811	-71.487	-70.163	-67.514	-66.189	-64.865	-62.216	-60.892	-59.568
			Vy	29.870	29.870	29.870	29.870	29.870	29.870	29.870	29.870	29.870
			Vz	0.000	0.000	0.000	0.000	0.000	0.000	0.000	0.000	0.000
			Mt	0.00	0.00	0.00	0.00	0.00	0.00	0.00	0.00	0.00
			My	0.00	0.00	0.00	0.00	0.00	0.00	0.00	0.00	0.00
			Mz	39.20	33.22	27.25	15.30	9.33	3.35	-8.60	-14.57	-20.54
		PP+1.5·T1+1.5·T4	N	-53.341	-52.360	-51.379	-49.417	-48.436	-47.455	-45.493	-44.512	-43.531
			Vy	19.906	19.906	19.906	19.906	19.906	19.906	19.906	19.906	19.906
			Vz	0.000	0.000	0.000	0.000	0.000	0.000	0.000	0.000	0.000
			Mt	0.00	0.00	0.00	0.00	0.00	0.00	0.00	0.00	0.00
			My	0.00	0.00	0.00	0.00	0.00	0.00	0.00	0.00	0.00
			Mz	26.13	22.15	18.17	10.21	6.22	2.24	-5.72	-9.70	-13.68
		1.35·PP+1.5·T1+1.5·T4	N	-70.140	-68.816	-67.492	-64.843	-63.519	-62.194	-59.546	-58.221	-56.897
			Vy	19.883	19.883	19.883	19.883	19.883	19.883	19.883	19.883	19.883
			Vz	0.000	0.000	0.000	0.000	0.000	0.000	0.000	0.000	0.000
			Mt	0.00	0.00	0.00	0.00	0.00	0.00	0.00	0.00	0.00
			My	0.00	0.00	0.00	0.00	0.00	0.00	0.00	0.00	0.00
			Mz	26.13	22.15	18.17	10.22	6.24	2.27	-5.68	-9.66	-13.64

Esfuerzos en barras, por combinación

Barra	Combinación		Esfuerzo	Posiciones en la barra								
	Tipo	Descripción		0.000 m	0.200 m	0.400 m	0.800 m	1.000 m	1.200 m	1.600 m	1.800 m	2.000 m
		PP+1.5·T2+1.5·T4	N	-58.682	-57.701	-56.720	-54.758	-53.777	-52.796	-50.834	-49.853	-48.872
			Vy	39.880	39.880	39.880	39.880	39.880	39.880	39.880	39.880	39.880
			Vz	0.000	0.000	0.000	0.000	0.000	0.000	0.000	0.000	0.000
			Mt	0.00	0.00	0.00	0.00	0.00	0.00	0.00	0.00	0.00
			My	0.00	0.00	0.00	0.00	0.00	0.00	0.00	0.00	0.00
			Mz	52.27	44.29	36.32	20.36	12.39	4.41	-11.54	-19.52	-27.49
		1.35·PP+1.5·T2+1.5·T4	N	-75.482	-74.158	-72.833	-70.185	-68.860	-67.536	-64.887	-63.563	-62.239
			Vy	39.857	39.857	39.857	39.857	39.857	39.857	39.857	39.857	39.857
			Vz	0.000	0.000	0.000	0.000	0.000	0.000	0.000	0.000	0.000
			Mt	0.00	0.00	0.00	0.00	0.00	0.00	0.00	0.00	0.00
			My	0.00	0.00	0.00	0.00	0.00	0.00	0.00	0.00	0.00
			Mz	52.27	44.29	36.32	20.38	12.41	4.44	-11.51	-19.48	-27.45
		PP+1.5·T1+1.5·T2+1.5·T4	N	-56.012	-55.031	-54.050	-52.088	-51.107	-50.126	-48.164	-47.183	-46.202
			Vy	29.893	29.893	29.893	29.893	29.893	29.893	29.893	29.893	29.893
			Vz	0.000	0.000	0.000	0.000	0.000	0.000	0.000	0.000	0.000
			Mt	0.00	0.00	0.00	0.00	0.00	0.00	0.00	0.00	0.00
			My	0.00	0.00	0.00	0.00	0.00	0.00	0.00	0.00	0.00
			Mz	39.20	33.22	27.24	15.28	9.31	3.33	-8.63	-14.61	-20.59
		1.35·PP+1.5·T1+1.5·T2+1.5·T4	N	-72.811	-71.487	-70.163	-67.514	-66.189	-64.865	-62.216	-60.892	-59.568
			Vy	29.870	29.870	29.870	29.870	29.870	29.870	29.870	29.870	29.870
			Vz	0.000	0.000	0.000	0.000	0.000	0.000	0.000	0.000	0.000
			Mt	0.00	0.00	0.00	0.00	0.00	0.00	0.00	0.00	0.00
			My	0.00	0.00	0.00	0.00	0.00	0.00	0.00	0.00	0.00
			Mz	39.20	33.22	27.25	15.30	9.33	3.35	-8.60	-14.57	-20.54
		PP+1.5·T3+1.5·T4	N	-47.999	-47.018	-46.037	-44.075	-43.094	-42.113	-40.151	-39.170	-38.189
			Vy	-0.067	-0.067	-0.067	-0.067	-0.067	-0.067	-0.067	-0.067	-0.067
			Vz	0.000	0.000	0.000	0.000	0.000	0.000	0.000	0.000	0.000
			Mt	0.00	0.00	0.00	0.00	0.00	0.00	0.00	0.00	0.00
			My	0.00	0.00	0.00	0.00	0.00	0.00	0.00	0.00	0.00
			Mz	-0.01	0.01	0.02	0.05	0.06	0.07	0.10	0.11	0.13
		1.35·PP+1.5·T3+1.5·T4	N	-64.799	-63.474	-62.150	-59.501	-58.177	-56.853	-54.204	-52.880	-51.555
			Vy	-0.091	-0.091	-0.091	-0.091	-0.091	-0.091	-0.091	-0.091	-0.091
			Vz	0.000	0.000	0.000	0.000	0.000	0.000	0.000	0.000	0.000
			Mt	0.00	0.00	0.00	0.00	0.00	0.00	0.00	0.00	0.00
			My	0.00	0.00	0.00	0.00	0.00	0.00	0.00	0.00	0.00
			Mz	-0.01	0.01	0.03	0.06	0.08	0.10	0.14	0.15	0.17
		PP+1.5·T1+1.5·T3+1.5·T4	N	-45.328	-44.347	-43.366	-41.404	-40.423	-39.442	-37.480	-36.499	-35.518
			Vy	-10.054	-10.054	-10.054	-10.054	-10.054	-10.054	-10.054	-10.054	-10.054
			Vz	0.000	0.000	0.000	0.000	0.000	0.000	0.000	0.000	0.000
			Mt	0.00	0.00	0.00	0.00	0.00	0.00	0.00	0.00	0.00
			My	0.00	0.00	0.00	0.00	0.00	0.00	0.00	0.00	0.00
			Mz	-13.08	-11.06	-9.05	-5.03	-3.02	-1.01	3.01	5.02	7.03
		1.35·PP+1.5·T1+1.5·T3+1.5·T4	N	-62.128	-60.804	-59.479	-56.831	-55.506	-54.182	-51.533	-50.209	-48.884
			Vy	-10.078	-10.078	-10.078	-10.078	-10.078	-10.078	-10.078	-10.078	-10.078
			Vz	0.000	0.000	0.000	0.000	0.000	0.000	0.000	0.000	0.000
			Mt	0.00	0.00	0.00	0.00	0.00	0.00	0.00	0.00	0.00
			My	0.00	0.00	0.00	0.00	0.00	0.00	0.00	0.00	0.00
			Mz	-13.08	-11.06	-9.05	-5.02	-3.00	-0.98	3.05	5.06	7.08
		PP+1.5·T2+1.5·T3+1.5·T4	N	-50.670	-49.689	-48.708	-46.746	-45.765	-44.784	-42.822	-41.841	-40.860
			Vy	9.919	9.919	9.919	9.919	9.919	9.919	9.919	9.919	9.919
			Vz	0.000	0.000	0.000	0.000	0.000	0.000	0.000	0.000	0.000
			Mt	0.00	0.00	0.00	0.00	0.00	0.00	0.00	0.00	0.00
			My	0.00	0.00	0.00	0.00	0.00	0.00	0.00	0.00	0.00
			Mz	13.06	11.08	9.09	5.13	3.14	1.16	-2.81	-4.79	-6.78
		1.35·PP+1.5·T2+1.5·T3+1.5·T4	N	-67.470	-66.145	-64.821	-62.172	-60.848	-59.523	-56.875	-55.550	-54.226
			Vy	9.896	9.896	9.896	9.896	9.896	9.896	9.896	9.896	9.896
			Vz	0.000	0.000	0.000	0.000	0.000	0.000	0.000	0.000	0.000
			Mt	0.00	0.00	0.00	0.00	0.00	0.00	0.00	0.00	0.00
			My	0.00	0.00	0.00	0.00	0.00	0.00	0.00	0.00	0.00
			Mz	13.06	11.08	9.10	5.14	3.16	1.18	-2.77	-4.75	-6.73
		PP+1.5·T1+1.5·T2+1.5·T3+1.5·T4	N	-47.999	-47.018	-46.037	-44.075	-43.094	-42.113	-40.151	-39.170	-38.189
			Vy	-0.067	-0.067	-0.067	-0.067	-0.067	-0.067	-0.067	-0.067	-0.067
			Vz	0.000	0.000	0.000	0.000	0.000	0.000	0.000	0.000	0.000
			Mt	0.00	0.00	0.00	0.00	0.00	0.00	0.00	0.00	0.00
			My	0.00	0.00	0.00	0.00	0.00	0.00	0.00	0.00	0.00
			Mz	-0.01	0.01	0.02	0.05	0.06	0.07	0.10	0.11	0.13
		1.35·PP+1.5·T1+1.5·T2+1.5·T3+1.5·T4	N	-64.799	-63.474	-62.150	-59.501	-58.177	-56.853	-54.204	-52.880	-51.555
			Vy	-0.091	-0.091	-0.091	-0.091	-0.091	-0.091	-0.091	-0.091	-0.091
			Vz	0.000	0.000	0.000	0.000	0.000	0.000	0.000	0.000	0.000
			Mt	0.00	0.00	0.00	0.00	0.00	0.00	0.00	0.00	0.00
			My	0.00	0.00	0.00	0.00	0.00	0.00	0.00	0.00	0.00
			Mz	-0.01	0.01	0.03	0.06	0.08	0.10	0.14	0.15	0.17

Esfuerzos en barras, por combinación

Barra	Combinación		Esfuerzo	Posiciones en la barra								
	Tipo	Descripción		0.000 m	0.625 m	1.250 m	1.875 m	2.500 m	3.125 m	3.750 m	4.375 m	5.000 m
N29/N12	Hormigón	PP	N	-24.795	-21.729	-18.664	-15.598	-12.532	-9.467	-6.401	-3.335	-0.270
			Vy	-0.005	-0.005	-0.005	-0.005	-0.005	-0.005	-0.005	-0.005	-0.005
			Vz	0.000	0.000	0.000	0.000	0.000	0.000	0.000	0.000	0.000
			Mt	0.00	0.00	0.00	0.00	0.00	0.00	0.00	0.00	0.00

Esfuerzos en barras, por combinación

Barra	Combinación		Esfuerzo	Posiciones en la barra								
	Tipo	Descripción		0.000 m	0.625 m	1.250 m	1.875 m	2.500 m	3.125 m	3.750 m	4.375 m	5.000 m
			My	0.00	0.00	0.00	0.00	0.00	0.00	0.00	0.00	0.00
			Mz	-0.03	-0.03	-0.02	-0.02	-0.01	-0.01	-0.01	0.00	0.00
		1.35·PP	N	-33.473	-29.334	-25.196	-21.057	-16.919	-12.780	-8.641	-4.503	-0.364
			Vy	-0.007	-0.007	-0.007	-0.007	-0.007	-0.007	-0.007	-0.007	-0.007
			Vz	0.000	0.000	0.000	0.000	0.000	0.000	0.000	0.000	0.000
			Mt	0.00	0.00	0.00	0.00	0.00	0.00	0.00	0.00	0.00
			My	0.00	0.00	0.00	0.00	0.00	0.00	0.00	0.00	0.00
			Mz	-0.04	-0.03	-0.03	-0.02	-0.02	-0.02	-0.01	-0.01	0.00
		PP+1.5·T1	N	-24.789	-21.723	-18.658	-15.592	-12.526	-9.461	-6.395	-3.330	-0.264
			Vy	0.265	0.265	0.265	0.265	0.265	0.265	0.265	0.265	0.265
			Vz	0.000	0.000	0.000	0.000	0.000	0.000	0.000	0.000	0.000
			Mt	0.00	0.00	0.00	0.00	0.00	0.00	0.00	0.00	0.00
			My	0.00	0.00	0.00	0.00	0.00	0.00	0.00	0.00	0.00
			Mz	1.34	1.17	1.01	0.84	0.68	0.51	0.35	0.18	0.01
		1.35·PP+1.5·T1	N	-33.467	-29.328	-25.190	-21.051	-16.913	-12.774	-8.636	-4.497	-0.358
			Vy	0.263	0.263	0.263	0.263	0.263	0.263	0.263	0.263	0.263
			Vz	0.000	0.000	0.000	0.000	0.000	0.000	0.000	0.000	0.000
			Mt	0.00	0.00	0.00	0.00	0.00	0.00	0.00	0.00	0.00
			My	0.00	0.00	0.00	0.00	0.00	0.00	0.00	0.00	0.00
			Mz	1.33	1.17	1.00	0.84	0.67	0.51	0.34	0.18	0.01
		PP+1.5·T2	N	-24.801	-21.735	-18.669	-15.604	-12.538	-9.473	-6.407	-3.341	-0.276
			Vy	-0.276	-0.276	-0.276	-0.276	-0.276	-0.276	-0.276	-0.276	-0.276
			Vz	0.000	0.000	0.000	0.000	0.000	0.000	0.000	0.000	0.000
			Mt	0.00	0.00	0.00	0.00	0.00	0.00	0.00	0.00	0.00
			My	0.00	0.00	0.00	0.00	0.00	0.00	0.00	0.00	0.00
			Mz	-1.40	-1.22	-1.05	-0.88	-0.71	-0.53	-0.36	-0.19	-0.02
		1.35·PP+1.5·T2	N	-33.479	-29.340	-25.202	-21.063	-16.925	-12.786	-8.647	-4.509	-0.370
			Vy	-0.278	-0.278	-0.278	-0.278	-0.278	-0.278	-0.278	-0.278	-0.278
			Vz	0.000	0.000	0.000	0.000	0.000	0.000	0.000	0.000	0.000
			Mt	0.00	0.00	0.00	0.00	0.00	0.00	0.00	0.00	0.00
			My	0.00	0.00	0.00	0.00	0.00	0.00	0.00	0.00	0.00
			Mz	-1.41	-1.23	-1.06	-0.89	-0.71	-0.54	-0.36	-0.19	-0.02
		PP+1.5·T1+1.5·T2	N	-24.795	-21.729	-18.664	-15.598	-12.532	-9.467	-6.401	-3.335	-0.270
			Vy	-0.005	-0.005	-0.005	-0.005	-0.005	-0.005	-0.005	-0.005	-0.005
			Vz	0.000	0.000	0.000	0.000	0.000	0.000	0.000	0.000	0.000
			Mt	0.00	0.00	0.00	0.00	0.00	0.00	0.00	0.00	0.00
			My	0.00	0.00	0.00	0.00	0.00	0.00	0.00	0.00	0.00
			Mz	-0.03	-0.03	-0.02	-0.02	-0.01	-0.01	-0.01	0.00	0.00
		1.35·PP+1.5·T1+1.5·T2	N	-33.473	-29.334	-25.196	-21.057	-16.919	-12.780	-8.641	-4.503	-0.364
			Vy	-0.007	-0.007	-0.007	-0.007	-0.007	-0.007	-0.007	-0.007	-0.007
			Vz	0.000	0.000	0.000	0.000	0.000	0.000	0.000	0.000	0.000
			Mt	0.00	0.00	0.00	0.00	0.00	0.00	0.00	0.00	0.00
			My	0.00	0.00	0.00	0.00	0.00	0.00	0.00	0.00	0.00
			Mz	-0.04	-0.03	-0.03	-0.02	-0.02	-0.02	-0.01	-0.01	0.00
		PP+1.5·T3	N	-24.777	-21.711	-18.646	-15.580	-12.515	-9.449	-6.383	-3.318	-0.252
			Vy	0.806	0.806	0.806	0.806	0.806	0.806	0.806	0.806	0.806
			Vz	0.000	0.000	0.000	0.000	0.000	0.000	0.000	0.000	0.000
			Mt	0.00	0.00	0.00	0.00	0.00	0.00	0.00	0.00	0.00
			My	0.00	0.00	0.00	0.00	0.00	0.00	0.00	0.00	0.00
			Mz	4.08	3.57	3.07	2.56	2.06	1.56	1.05	0.55	0.04
		1.35·PP+1.5·T3	N	-33.455	-29.317	-25.178	-21.039	-16.901	-12.762	-8.624	-4.485	-0.347
			Vy	0.804	0.804	0.804	0.804	0.804	0.804	0.804	0.804	0.804
			Vz	0.000	0.000	0.000	0.000	0.000	0.000	0.000	0.000	0.000
			Mt	0.00	0.00	0.00	0.00	0.00	0.00	0.00	0.00	0.00
			My	0.00	0.00	0.00	0.00	0.00	0.00	0.00	0.00	0.00
			Mz	4.07	3.56	3.06	2.56	2.05	1.55	1.05	0.55	0.04
		PP+1.5·T1+1.5·T3	N	-24.771	-21.706	-18.640	-15.574	-12.509	-9.443	-6.377	-3.312	-0.246
			Vy	1.077	1.077	1.077	1.077	1.077	1.077	1.077	1.077	1.077
			Vz	0.000	0.000	0.000	0.000	0.000	0.000	0.000	0.000	0.000
			Mt	0.00	0.00	0.00	0.00	0.00	0.00	0.00	0.00	0.00
			My	0.00	0.00	0.00	0.00	0.00	0.00	0.00	0.00	0.00
			Mz	5.44	4.77	4.10	3.42	2.75	2.08	1.41	0.73	0.06
		1.35·PP+1.5·T1+1.5·T3	N	-33.449	-29.311	-25.172	-21.034	-16.895	-12.756	-8.618	-4.479	-0.341
			Vy	1.075	1.075	1.075	1.075	1.075	1.075	1.075	1.075	1.075
			Vz	0.000	0.000	0.000	0.000	0.000	0.000	0.000	0.000	0.000
			Mt	0.00	0.00	0.00	0.00	0.00	0.00	0.00	0.00	0.00
			My	0.00	0.00	0.00	0.00	0.00	0.00	0.00	0.00	0.00
			Mz	5.43	4.76	4.09	3.42	2.75	2.07	1.40	0.73	0.06
		PP+1.5·T2+1.5·T3	N	-24.783	-21.717	-18.652	-15.586	-12.520	-9.455	-6.389	-3.324	-0.258
			Vy	0.536	0.536	0.536	0.536	0.536	0.536	0.536	0.536	0.536
			Vz	0.000	0.000	0.000	0.000	0.000	0.000	0.000	0.000	0.000
			Mt	0.00	0.00	0.00	0.00	0.00	0.00	0.00	0.00	0.00
			My	0.00	0.00	0.00	0.00	0.00	0.00	0.00	0.00	0.00
			Mz	2.71	2.37	2.04	1.70	1.37	1.03	0.70	0.36	0.03
		1.35·PP+1.5·T2+1.5·T3	N	-33.461	-29.323	-25.184	-21.045	-16.907	-12.768	-8.630	-4.491	-0.352
			Vy	0.534	0.534	0.534	0.534	0.534	0.534	0.534	0.534	0.534
			Vz	0.000	0.000	0.000	0.000	0.000	0.000	0.000	0.000	0.000
			Mt	0.00	0.00	0.00	0.00	0.00	0.00	0.00	0.00	0.00
			My	0.00	0.00	0.00	0.00	0.00	0.00	0.00	0.00	0.00
			Mz	2.70	2.36	2.03	1.70	1.36	1.03	0.70	0.36	0.03
		PP+1.5·T1+1.5·T2+1.5·T3	N	-24.777	-21.711	-18.646	-15.580	-12.515	-9.449	-6.383	-3.318	-0.252

Esfuerzos en barras, por combinación

Barra	Combinación		Esfuerzo	Posiciones en la barra								
	Tipo	Descripción		0.000 m	0.625 m	1.250 m	1.875 m	2.500 m	3.125 m	3.750 m	4.375 m	5.000 m
			Vy	0.806	0.806	0.806	0.806	0.806	0.806	0.806	0.806	0.806
			Vz	0.000	0.000	0.000	0.000	0.000	0.000	0.000	0.000	0.000
			Mt	0.00	0.00	0.00	0.00	0.00	0.00	0.00	0.00	0.00
			My	0.00	0.00	0.00	0.00	0.00	0.00	0.00	0.00	0.00
			Mz	4.08	3.57	3.07	2.56	2.06	1.56	1.05	0.55	0.04
		1.35·PP+1.5·T1+1.5·T2+1.5·T3	N	-33.455	-29.317	-25.178	-21.039	-16.901	-12.762	-8.624	-4.485	-0.347
			Vy	0.804	0.804	0.804	0.804	0.804	0.804	0.804	0.804	0.804
			Vz	0.000	0.000	0.000	0.000	0.000	0.000	0.000	0.000	0.000
			Mt	0.00	0.00	0.00	0.00	0.00	0.00	0.00	0.00	0.00
			My	0.00	0.00	0.00	0.00	0.00	0.00	0.00	0.00	0.00
			Mz	4.07	3.56	3.06	2.56	2.05	1.55	1.05	0.55	0.04
		PP+1.5·T4	N	-24.813	-21.747	-18.681	-15.616	-12.550	-9.484	-6.419	-3.353	-0.288
			Vy	-0.817	-0.817	-0.817	-0.817	-0.817	-0.817	-0.817	-0.817	-0.817
			Vz	0.000	0.000	0.000	0.000	0.000	0.000	0.000	0.000	0.000
			Mt	0.00	0.00	0.00	0.00	0.00	0.00	0.00	0.00	0.00
			My	0.00	0.00	0.00	0.00	0.00	0.00	0.00	0.00	0.00
			Mz	-4.13	-3.62	-3.11	-2.60	-2.09	-1.58	-1.07	-0.56	-0.05
		1.35·PP+1.5·T4	N	-33.491	-29.352	-25.214	-21.075	-16.936	-12.798	-8.659	-4.521	-0.382
			Vy	-0.819	-0.819	-0.819	-0.819	-0.819	-0.819	-0.819	-0.819	-0.819
			Vz	0.000	0.000	0.000	0.000	0.000	0.000	0.000	0.000	0.000
			Mt	0.00	0.00	0.00	0.00	0.00	0.00	0.00	0.00	0.00
			My	0.00	0.00	0.00	0.00	0.00	0.00	0.00	0.00	0.00
			Mz	-4.14	-3.63	-3.12	-2.61	-2.09	-1.58	-1.07	-0.56	-0.05
		PP+1.5·T1+1.5·T4	N	-24.807	-21.741	-18.675	-15.610	-12.544	-9.479	-6.413	-3.347	-0.282
			Vy	-0.547	-0.547	-0.547	-0.547	-0.547	-0.547	-0.547	-0.547	-0.547
			Vz	0.000	0.000	0.000	0.000	0.000	0.000	0.000	0.000	0.000
			Mt	0.00	0.00	0.00	0.00	0.00	0.00	0.00	0.00	0.00
			My	0.00	0.00	0.00	0.00	0.00	0.00	0.00	0.00	0.00
			Mz	-2.76	-2.42	-2.08	-1.74	-1.40	-1.06	-0.71	-0.37	-0.03
		1.35·PP+1.5·T1+1.5·T4	N	-33.485	-29.346	-25.208	-21.069	-16.930	-12.792	-8.653	-4.515	-0.376
			Vy	-0.548	-0.548	-0.548	-0.548	-0.548	-0.548	-0.548	-0.548	-0.548
			Vz	0.000	0.000	0.000	0.000	0.000	0.000	0.000	0.000	0.000
			Mt	0.00	0.00	0.00	0.00	0.00	0.00	0.00	0.00	0.00
			My	0.00	0.00	0.00	0.00	0.00	0.00	0.00	0.00	0.00
			Mz	-2.77	-2.43	-2.09	-1.75	-1.40	-1.06	-0.72	-0.37	-0.03
		PP+1.5·T2+1.5·T4	N	-24.818	-21.753	-18.687	-15.622	-12.556	-9.490	-6.425	-3.359	-0.293
			Vy	-1.088	-1.088	-1.088	-1.088	-1.088	-1.088	-1.088	-1.088	-1.088
			Vz	0.000	0.000	0.000	0.000	0.000	0.000	0.000	0.000	0.000
			Mt	0.00	0.00	0.00	0.00	0.00	0.00	0.00	0.00	0.00
			My	0.00	0.00	0.00	0.00	0.00	0.00	0.00	0.00	0.00
			Mz	-5.50	-4.82	-4.14	-3.46	-2.78	-2.10	-1.42	-0.74	-0.06
		1.35·PP+1.5·T2+1.5·T4	N	-33.497	-29.358	-25.219	-21.081	-16.942	-12.804	-8.665	-4.526	-0.388
			Vy	-1.090	-1.090	-1.090	-1.090	-1.090	-1.090	-1.090	-1.090	-1.090
			Vz	0.000	0.000	0.000	0.000	0.000	0.000	0.000	0.000	0.000
			Mt	0.00	0.00	0.00	0.00	0.00	0.00	0.00	0.00	0.00
			My	0.00	0.00	0.00	0.00	0.00	0.00	0.00	0.00	0.00
			Mz	-5.51	-4.83	-4.15	-3.47	-2.79	-2.10	-1.42	-0.74	-0.06
		PP+1.5·T1+1.5·T2+1.5·T4	N	-24.813	-21.747	-18.681	-15.616	-12.550	-9.484	-6.419	-3.353	-0.288
			Vy	-0.817	-0.817	-0.817	-0.817	-0.817	-0.817	-0.817	-0.817	-0.817
			Vz	0.000	0.000	0.000	0.000	0.000	0.000	0.000	0.000	0.000
			Mt	0.00	0.00	0.00	0.00	0.00	0.00	0.00	0.00	0.00
			My	0.00	0.00	0.00	0.00	0.00	0.00	0.00	0.00	0.00
			Mz	-4.13	-3.62	-3.11	-2.60	-2.09	-1.58	-1.07	-0.56	-0.05
		1.35·PP+1.5·T1+1.5·T2+1.5·T4	N	-33.491	-29.352	-25.214	-21.075	-16.936	-12.798	-8.659	-4.521	-0.382
			Vy	-0.819	-0.819	-0.819	-0.819	-0.819	-0.819	-0.819	-0.819	-0.819
			Vz	0.000	0.000	0.000	0.000	0.000	0.000	0.000	0.000	0.000
			Mt	0.00	0.00	0.00	0.00	0.00	0.00	0.00	0.00	0.00
			My	0.00	0.00	0.00	0.00	0.00	0.00	0.00	0.00	0.00
			Mz	-4.14	-3.63	-3.12	-2.61	-2.09	-1.58	-1.07	-0.56	-0.05
		PP+1.5·T3+1.5·T4	N	-24.795	-21.729	-18.664	-15.598	-12.532	-9.467	-6.401	-3.335	-0.270
			Vy	-0.005	-0.005	-0.005	-0.005	-0.005	-0.005	-0.005	-0.005	-0.005
			Vz	0.000	0.000	0.000	0.000	0.000	0.000	0.000	0.000	0.000
			Mt	0.00	0.00	0.00	0.00	0.00	0.00	0.00	0.00	0.00
			My	0.00	0.00	0.00	0.00	0.00	0.00	0.00	0.00	0.00
			Mz	-0.03	-0.03	-0.02	-0.02	-0.01	-0.01	-0.01	0.00	0.00
		1.35·PP+1.5·T3+1.5·T4	N	-33.473	-29.334	-25.196	-21.057	-16.919	-12.780	-8.641	-4.503	-0.364
			Vy	-0.007	-0.007	-0.007	-0.007	-0.007	-0.007	-0.007	-0.007	-0.007
			Vz	0.000	0.000	0.000	0.000	0.000	0.000	0.000	0.000	0.000
			Mt	0.00	0.00	0.00	0.00	0.00	0.00	0.00	0.00	0.00
			My	0.00	0.00	0.00	0.00	0.00	0.00	0.00	0.00	0.00
			Mz	-0.04	-0.03	-0.03	-0.02	-0.02	-0.02	-0.01	-0.01	0.00
		PP+1.5·T1+1.5·T3+1.5·T4	N	-24.789	-21.723	-18.658	-15.592	-12.526	-9.461	-6.395	-3.330	-0.264
			Vy	0.265	0.265	0.265	0.265	0.265	0.265	0.265	0.265	0.265
			Vz	0.000	0.000	0.000	0.000	0.000	0.000	0.000	0.000	0.000
			Mt	0.00	0.00	0.00	0.00	0.00	0.00	0.00	0.00	0.00
			My	0.00	0.00	0.00	0.00	0.00	0.00	0.00	0.00	0.00
			Mz	1.34	1.17	1.01	0.84	0.68	0.51	0.35	0.18	0.01
		1.35·PP+1.5·T1+1.5·T3+1.5·T4	N	-33.467	-29.328	-25.190	-21.051	-16.913	-12.774	-8.636	-4.497	-0.358
			Vy	0.263	0.263	0.263	0.263	0.263	0.263	0.263	0.263	0.263
			Vz	0.000	0.000	0.000	0.000	0.000	0.000	0.000	0.000	0.000
			Mt	0.00	0.00	0.00	0.00	0.00	0.00	0.00	0.00	0.00

Esfuerzos en barras, por combinación												
Barra	Combinación		Esfuerzo	Posiciones en la barra								
	Tipo	Descripción		0.000 m	0.625 m	1.250 m	1.875 m	2.500 m	3.125 m	3.750 m	4.375 m	5.000 m
			My	0.00	0.00	0.00	0.00	0.00	0.00	0.00	0.00	0.00
			Mz	1.33	1.17	1.00	0.84	0.67	0.51	0.34	0.18	0.01
		PP+1.5·T2+1.5·T3+1.5·T4	N	-24.801	-21.735	-18.669	-15.604	-12.538	-9.473	-6.407	-3.341	-0.276
			Vy	-0.276	-0.276	-0.276	-0.276	-0.276	-0.276	-0.276	-0.276	-0.276
			Vz	0.000	0.000	0.000	0.000	0.000	0.000	0.000	0.000	0.000
			Mt	0.00	0.00	0.00	0.00	0.00	0.00	0.00	0.00	0.00
			My	0.00	0.00	0.00	0.00	0.00	0.00	0.00	0.00	0.00
			Mz	-1.40	-1.22	-1.05	-0.88	-0.71	-0.53	-0.36	-0.19	-0.02
		1.35·PP+1.5·T2+1.5·T3+1.5·T4	N	-33.479	-29.340	-25.202	-21.063	-16.925	-12.786	-8.647	-4.509	-0.370
			Vy	-0.278	-0.278	-0.278	-0.278	-0.278	-0.278	-0.278	-0.278	-0.278
			Vz	0.000	0.000	0.000	0.000	0.000	0.000	0.000	0.000	0.000
			Mt	0.00	0.00	0.00	0.00	0.00	0.00	0.00	0.00	0.00
			My	0.00	0.00	0.00	0.00	0.00	0.00	0.00	0.00	0.00
			Mz	-1.41	-1.23	-1.06	-0.89	-0.71	-0.54	-0.36	-0.19	-0.02
		PP+1.5·T1+1.5·T2+1.5·T3+1.5·T4	N	-24.795	-21.729	-18.664	-15.598	-12.532	-9.467	-6.401	-3.335	-0.270
			Vy	-0.005	-0.005	-0.005	-0.005	-0.005	-0.005	-0.005	-0.005	-0.005
			Vz	0.000	0.000	0.000	0.000	0.000	0.000	0.000	0.000	0.000
			Mt	0.00	0.00	0.00	0.00	0.00	0.00	0.00	0.00	0.00
			My	0.00	0.00	0.00	0.00	0.00	0.00	0.00	0.00	0.00
			Mz	-0.03	-0.03	-0.02	-0.02	-0.01	-0.01	-0.01	0.00	0.00
		1.35·PP+1.5·T1+1.5·T2+1.5·T3+1.5·T4	N	-33.473	-29.334	-25.196	-21.057	-16.919	-12.780	-8.641	-4.503	-0.364
			Vy	-0.007	-0.007	-0.007	-0.007	-0.007	-0.007	-0.007	-0.007	-0.007
			Vz	0.000	0.000	0.000	0.000	0.000	0.000	0.000	0.000	0.000
			Mt	0.00	0.00	0.00	0.00	0.00	0.00	0.00	0.00	0.00
			My	0.00	0.00	0.00	0.00	0.00	0.00	0.00	0.00	0.00
			Mz	-0.04	-0.03	-0.03	-0.02	-0.02	-0.02	-0.01	-0.01	0.00

Esfuerzos en barras, por combinación												
Barra	Combinación		Esfuerzo	Posiciones en la barra								
	Tipo	Descripción		0.000 m	0.200 m	0.400 m	0.800 m	1.000 m	1.200 m	1.600 m	1.800 m	2.000 m
N13/N30	Hormigón	PP	N	-48.163	-47.182	-46.201	-44.239	-43.258	-42.277	-40.315	-39.334	-38.353
			Vy	-0.051	-0.051	-0.051	-0.051	-0.051	-0.051	-0.051	-0.051	-0.051
			Vz	0.000	0.000	0.000	0.000	0.000	0.000	0.000	0.000	0.000
			Mt	0.00	0.00	0.00	0.00	0.00	0.00	0.00	0.00	0.00
			My	0.00	0.00	0.00	0.00	0.00	0.00	0.00	0.00	0.00
			Mz	-0.07	-0.06	-0.05	-0.03	-0.02	-0.01	0.01	0.02	0.04
		1.35·PP	N	-65.020	-63.696	-62.372	-59.723	-58.399	-57.074	-54.426	-53.101	-51.777
			Vy	-0.069	-0.069	-0.069	-0.069	-0.069	-0.069	-0.069	-0.069	-0.069
			Vz	0.000	0.000	0.000	0.000	0.000	0.000	0.000	0.000	0.000
			Mt	0.00	0.00	0.00	0.00	0.00	0.00	0.00	0.00	0.00
			My	0.00	0.00	0.00	0.00	0.00	0.00	0.00	0.00	0.00
			Mz	-0.09	-0.08	-0.06	-0.04	-0.02	-0.01	0.02	0.03	0.05
		PP+1.5·T1	N	-45.561	-44.580	-43.599	-41.637	-40.656	-39.675	-37.713	-36.732	-35.751
			Vy	11.999	11.999	11.999	11.999	11.999	11.999	11.999	11.999	11.999
			Vz	0.000	0.000	0.000	0.000	0.000	0.000	0.000	0.000	0.000
			Mt	0.00	0.00	0.00	0.00	0.00	0.00	0.00	0.00	0.00
			My	0.00	0.00	0.00	0.00	0.00	0.00	0.00	0.00	0.00
			Mz	15.64	13.24	10.84	6.04	3.64	1.24	-3.56	-5.96	-8.36
		1.35·PP+1.5·T1	N	-62.418	-61.094	-59.770	-57.121	-55.797	-54.472	-51.824	-50.499	-49.175
			Vy	11.981	11.981	11.981	11.981	11.981	11.981	11.981	11.981	11.981
			Vz	0.000	0.000	0.000	0.000	0.000	0.000	0.000	0.000	0.000
			Mt	0.00	0.00	0.00	0.00	0.00	0.00	0.00	0.00	0.00
			My	0.00	0.00	0.00	0.00	0.00	0.00	0.00	0.00	0.00
			Mz	15.62	13.22	10.82	6.03	3.63	1.24	-3.55	-5.95	-8.35
		PP+1.5·T2	N	-50.765	-49.784	-48.803	-46.841	-45.860	-44.879	-42.917	-41.936	-40.955
			Vy	-12.101	-12.101	-12.101	-12.101	-12.101	-12.101	-12.101	-12.101	-12.101
			Vz	0.000	0.000	0.000	0.000	0.000	0.000	0.000	0.000	0.000
			Mt	0.00	0.00	0.00	0.00	0.00	0.00	0.00	0.00	0.00
			My	0.00	0.00	0.00	0.00	0.00	0.00	0.00	0.00	0.00
			Mz	-15.77	-13.35	-10.93	-6.09	-3.67	-1.25	3.59	6.01	8.43
		1.35·PP+1.5·T2	N	-67.622	-66.298	-64.974	-62.325	-61.001	-59.676	-57.028	-55.703	-54.379
			Vy	-12.119	-12.119	-12.119	-12.119	-12.119	-12.119	-12.119	-12.119	-12.119
			Vz	0.000	0.000	0.000	0.000	0.000	0.000	0.000	0.000	0.000
			Mt	0.00	0.00	0.00	0.00	0.00	0.00	0.00	0.00	0.00
			My	0.00	0.00	0.00	0.00	0.00	0.00	0.00	0.00	0.00
			Mz	-15.80	-13.37	-10.95	-6.10	-3.68	-1.25	3.59	6.02	8.44
		PP+1.5·T1+1.5·T2	N	-48.163	-47.182	-46.201	-44.239	-43.258	-42.277	-40.315	-39.334	-38.353
			Vy	-0.051	-0.051	-0.051	-0.051	-0.051	-0.051	-0.051	-0.051	-0.051
			Vz	0.000	0.000	0.000	0.000	0.000	0.000	0.000	0.000	0.000
			Mt	0.00	0.00	0.00	0.00	0.00	0.00	0.00	0.00	0.00
			My	0.00	0.00	0.00	0.00	0.00	0.00	0.00	0.00	0.00
			Mz	-0.07	-0.06	-0.05	-0.03	-0.02	-0.01	0.01	0.02	0.04
		1.35·PP+1.5·T1+1.5·T2	N	-65.020	-63.696	-62.372	-59.723	-58.399	-57.074	-54.426	-53.101	-51.777
			Vy	-0.069	-0.069	-0.069	-0.069	-0.069	-0.069	-0.069	-0.069	-0.069
			Vz	0.000	0.000	0.000	0.000	0.000	0.000	0.000	0.000	0.000
			Mt	0.00	0.00	0.00	0.00	0.00	0.00	0.00	0.00	0.00
			My	0.00	0.00	0.00	0.00	0.00	0.00	0.00	0.00	0.00
			Mz	-0.09	-0.08	-0.06	-0.04	-0.02	-0.01	0.02	0.03	0.05
		PP+1.5·T3	N	-40.357	-39.376	-38.395	-36.433	-35.452	-34.471	-32.509	-31.528	-30.547
			Vy	36.099	36.099	36.099	36.099	36.099	36.099	36.099	36.099	36.099

Esfuerzos en barras, por combinación

Barra	Combinación		Esfuerzo	Posiciones en la barra								
	Tipo	Descripción		0.000 m	0.200 m	0.400 m	0.800 m	1.000 m	1.200 m	1.600 m	1.800 m	2.000 m
			Vz	0.000	0.000	0.000	0.000	0.000	0.000	0.000	0.000	0.000
			Mt	0.00	0.00	0.00	0.00	0.00	0.00	0.00	0.00	0.00
			My	0.00	0.00	0.00	0.00	0.00	0.00	0.00	0.00	0.00
			Mz	47.05	39.83	32.61	18.17	10.95	3.73	-10.71	-17.93	-25.15
		1.35·PP+1.5·T3	N	-57.214	-55.890	-54.566	-51.917	-50.593	-49.268	-46.619	-45.295	-43.971
			Vy	36.081	36.081	36.081	36.081	36.081	36.081	36.081	36.081	36.081
			Vz	0.000	0.000	0.000	0.000	0.000	0.000	0.000	0.000	0.000
			Mt	0.00	0.00	0.00	0.00	0.00	0.00	0.00	0.00	0.00
			My	0.00	0.00	0.00	0.00	0.00	0.00	0.00	0.00	0.00
			Mz	47.03	39.81	32.60	18.16	10.95	3.73	-10.70	-17.92	-25.13
		PP+1.5·T1+1.5·T3	N	-37.755	-36.774	-35.793	-33.831	-32.850	-31.869	-29.907	-28.926	-27.945
			Vy	48.149	48.149	48.149	48.149	48.149	48.149	48.149	48.149	48.149
			Vz	0.000	0.000	0.000	0.000	0.000	0.000	0.000	0.000	0.000
			Mt	0.00	0.00	0.00	0.00	0.00	0.00	0.00	0.00	0.00
			My	0.00	0.00	0.00	0.00	0.00	0.00	0.00	0.00	0.00
			Mz	62.76	53.13	43.50	24.24	14.61	4.98	-14.28	-23.91	-33.54
		1.35·PP+1.5·T1+1.5·T3	N	-54.612	-53.288	-51.964	-49.315	-47.990	-46.666	-44.017	-42.693	-41.369
			Vy	48.131	48.131	48.131	48.131	48.131	48.131	48.131	48.131	48.131
			Vz	0.000	0.000	0.000	0.000	0.000	0.000	0.000	0.000	0.000
			Mt	0.00	0.00	0.00	0.00	0.00	0.00	0.00	0.00	0.00
			My	0.00	0.00	0.00	0.00	0.00	0.00	0.00	0.00	0.00
			Mz	62.74	53.11	43.48	24.23	14.60	4.98	-14.27	-23.90	-33.53
		PP+1.5·T2+1.5·T3	N	-42.959	-41.978	-40.997	-39.035	-38.054	-37.073	-35.111	-34.130	-33.149
			Vy	24.049	24.049	24.049	24.049	24.049	24.049	24.049	24.049	24.049
			Vz	0.000	0.000	0.000	0.000	0.000	0.000	0.000	0.000	0.000
			Mt	0.00	0.00	0.00	0.00	0.00	0.00	0.00	0.00	0.00
			My	0.00	0.00	0.00	0.00	0.00	0.00	0.00	0.00	0.00
			Mz	31.35	26.54	21.73	12.11	7.30	2.49	-7.13	-11.94	-16.75
		1.35·PP+1.5·T2+1.5·T3	N	-59.816	-58.492	-57.168	-54.519	-53.195	-51.870	-49.221	-47.897	-46.573
			Vy	24.031	24.031	24.031	24.031	24.031	24.031	24.031	24.031	24.031
			Vz	0.000	0.000	0.000	0.000	0.000	0.000	0.000	0.000	0.000
			Mt	0.00	0.00	0.00	0.00	0.00	0.00	0.00	0.00	0.00
			My	0.00	0.00	0.00	0.00	0.00	0.00	0.00	0.00	0.00
			Mz	31.32	26.52	21.71	12.10	7.29	2.49	-7.13	-11.93	-16.74
		PP+1.5·T1+1.5·T2+1.5·T3	N	-40.357	-39.376	-38.395	-36.433	-35.452	-34.471	-32.509	-31.528	-30.547
			Vy	36.099	36.099	36.099	36.099	36.099	36.099	36.099	36.099	36.099
			Vz	0.000	0.000	0.000	0.000	0.000	0.000	0.000	0.000	0.000
			Mt	0.00	0.00	0.00	0.00	0.00	0.00	0.00	0.00	0.00
			My	0.00	0.00	0.00	0.00	0.00	0.00	0.00	0.00	0.00
			Mz	47.05	39.83	32.61	18.17	10.95	3.73	-10.71	-17.93	-25.15
		1.35·PP+1.5·T1+1.5·T2+1.5·T3	N	-57.214	-55.890	-54.566	-51.917	-50.593	-49.268	-46.619	-45.295	-43.971
			Vy	36.081	36.081	36.081	36.081	36.081	36.081	36.081	36.081	36.081
			Vz	0.000	0.000	0.000	0.000	0.000	0.000	0.000	0.000	0.000
			Mt	0.00	0.00	0.00	0.00	0.00	0.00	0.00	0.00	0.00
			My	0.00	0.00	0.00	0.00	0.00	0.00	0.00	0.00	0.00
			Mz	47.03	39.81	32.60	18.16	10.95	3.73	-10.70	-17.92	-25.13
		PP+1.5·T4	N	-55.969	-54.988	-54.007	-52.045	-51.064	-50.083	-48.121	-47.140	-46.159
			Vy	-36.201	-36.201	-36.201	-36.201	-36.201	-36.201	-36.201	-36.201	-36.201
			Vz	0.000	0.000	0.000	0.000	0.000	0.000	0.000	0.000	0.000
			Mt	0.00	0.00	0.00	0.00	0.00	0.00	0.00	0.00	0.00
			My	0.00	0.00	0.00	0.00	0.00	0.00	0.00	0.00	0.00
			Mz	-47.19	-39.95	-32.71	-18.23	-10.99	-3.75	10.73	17.98	25.22
		1.35·PP+1.5·T4	N	-72.826	-71.502	-70.178	-67.529	-66.205	-64.880	-62.232	-60.907	-59.583
			Vy	-36.219	-36.219	-36.219	-36.219	-36.219	-36.219	-36.219	-36.219	-36.219
			Vz	0.000	0.000	0.000	0.000	0.000	0.000	0.000	0.000	0.000
			Mt	0.00	0.00	0.00	0.00	0.00	0.00	0.00	0.00	0.00
			My	0.00	0.00	0.00	0.00	0.00	0.00	0.00	0.00	0.00
			Mz	-47.21	-39.97	-32.72	-18.24	-10.99	-3.75	10.74	17.98	25.23
		PP+1.5·T1+1.5·T4	N	-53.367	-52.386	-51.405	-49.443	-48.462	-47.481	-45.519	-44.538	-43.557
			Vy	-24.151	-24.151	-24.151	-24.151	-24.151	-24.151	-24.151	-24.151	-24.151
			Vz	0.000	0.000	0.000	0.000	0.000	0.000	0.000	0.000	0.000
			Mt	0.00	0.00	0.00	0.00	0.00	0.00	0.00	0.00	0.00
			My	0.00	0.00	0.00	0.00	0.00	0.00	0.00	0.00	0.00
			Mz	-31.48	-26.65	-21.82	-12.16	-7.33	-2.50	7.16	11.99	16.82
		1.35·PP+1.5·T1+1.5·T4	N	-70.224	-68.900	-67.576	-64.927	-63.603	-62.278	-59.630	-58.305	-56.981
			Vy	-24.169	-24.169	-24.169	-24.169	-24.169	-24.169	-24.169	-24.169	-24.169
			Vz	0.000	0.000	0.000	0.000	0.000	0.000	0.000	0.000	0.000
			Mt	0.00	0.00	0.00	0.00	0.00	0.00	0.00	0.00	0.00
			My	0.00	0.00	0.00	0.00	0.00	0.00	0.00	0.00	0.00
			Mz	-31.50	-26.67	-21.84	-12.17	-7.34	-2.50	7.17	12.00	16.83
		PP+1.5·T2+1.5·T4	N	-58.571	-57.590	-56.609	-54.647	-53.666	-52.685	-50.723	-49.742	-48.761
			Vy	-48.252	-48.252	-48.252	-48.252	-48.252	-48.252	-48.252	-48.252	-48.252
			Vz	0.000	0.000	0.000	0.000	0.000	0.000	0.000	0.000	0.000
			Mt	0.00	0.00	0.00	0.00	0.00	0.00	0.00	0.00	0.00
			My	0.00	0.00	0.00	0.00	0.00	0.00	0.00	0.00	0.00
			Mz	-62.89	-53.24	-43.59	-24.29	-14.64	-4.99	14.31	23.96	33.61
		1.35·PP+1.5·T2+1.5·T4	N	-75.429	-74.104	-72.780	-70.131	-68.807	-67.482	-64.834	-63.509	-62.185
			Vy	-48.269	-48.269	-48.269	-48.269	-48.269	-48.269	-48.269	-48.269	-48.269
			Vz	0.000	0.000	0.000	0.000	0.000	0.000	0.000	0.000	0.000
			Mt	0.00	0.00	0.00	0.00	0.00	0.00	0.00	0.00	0.00
			My	0.00	0.00	0.00	0.00	0.00	0.00	0.00	0.00	0.00

Esfuerzos en barras, por combinación

Barra	Combinación		Esfuerzo	Posiciones en la barra								
	Tipo	Descripción		0.000 m	0.200 m	0.400 m	0.800 m	1.000 m	1.200 m	1.600 m	1.800 m	2.000 m
			Mz	-62.92	-53.26	-43.61	-24.30	-14.65	-4.99	14.31	23.97	33.62
		PP+1.5·T1+1.5·T2+1.5·T4	N	-55.969	-54.988	-54.007	-52.045	-51.064	-50.083	-48.121	-47.140	-46.159
			Vy	-36.201	-36.201	-36.201	-36.201	-36.201	-36.201	-36.201	-36.201	-36.201
			Vz	0.000	0.000	0.000	0.000	0.000	0.000	0.000	0.000	0.000
			Mt	0.00	0.00	0.00	0.00	0.00	0.00	0.00	0.00	0.00
			My	0.00	0.00	0.00	0.00	0.00	0.00	0.00	0.00	0.00
			Mz	-47.19	-39.95	-32.71	-18.23	-10.99	-3.75	10.73	17.98	25.22
		1.35·PP+1.5·T1+1.5·T2+1.5·T4	N	-72.826	-71.502	-70.178	-67.529	-66.205	-64.880	-62.232	-60.907	-59.583
			Vy	-36.219	-36.219	-36.219	-36.219	-36.219	-36.219	-36.219	-36.219	-36.219
			Vz	0.000	0.000	0.000	0.000	0.000	0.000	0.000	0.000	0.000
			Mt	0.00	0.00	0.00	0.00	0.00	0.00	0.00	0.00	0.00
			My	0.00	0.00	0.00	0.00	0.00	0.00	0.00	0.00	0.00
			Mz	-47.21	-39.97	-32.72	-18.24	-10.99	-3.75	10.74	17.98	25.23
		PP+1.5·T3+1.5·T4	N	-48.163	-47.182	-46.201	-44.239	-43.258	-42.277	-40.315	-39.334	-38.353
			Vy	-0.051	-0.051	-0.051	-0.051	-0.051	-0.051	-0.051	-0.051	-0.051
			Vz	0.000	0.000	0.000	0.000	0.000	0.000	0.000	0.000	0.000
			Mt	0.00	0.00	0.00	0.00	0.00	0.00	0.00	0.00	0.00
			My	0.00	0.00	0.00	0.00	0.00	0.00	0.00	0.00	0.00
			Mz	-0.07	-0.06	-0.05	-0.03	-0.02	-0.01	0.01	0.02	0.04
		1.35·PP+1.5·T3+1.5·T4	N	-65.020	-63.696	-62.372	-59.723	-58.399	-57.074	-54.426	-53.101	-51.777
			Vy	-0.069	-0.069	-0.069	-0.069	-0.069	-0.069	-0.069	-0.069	-0.069
			Vz	0.000	0.000	0.000	0.000	0.000	0.000	0.000	0.000	0.000
			Mt	0.00	0.00	0.00	0.00	0.00	0.00	0.00	0.00	0.00
			My	0.00	0.00	0.00	0.00	0.00	0.00	0.00	0.00	0.00
			Mz	-0.09	-0.08	-0.06	-0.04	-0.02	-0.01	0.02	0.03	0.05
		PP+1.5·T1+1.5·T3+1.5·T4	N	-45.561	-44.580	-43.599	-41.637	-40.656	-39.675	-37.713	-36.732	-35.751
			Vy	11.999	11.999	11.999	11.999	11.999	11.999	11.999	11.999	11.999
			Vz	0.000	0.000	0.000	0.000	0.000	0.000	0.000	0.000	0.000
			Mt	0.00	0.00	0.00	0.00	0.00	0.00	0.00	0.00	0.00
			My	0.00	0.00	0.00	0.00	0.00	0.00	0.00	0.00	0.00
			Mz	15.64	13.24	10.84	6.04	3.64	1.24	-3.56	-5.96	-8.36
		1.35·PP+1.5·T1+1.5·T3+1.5·T4	N	-62.418	-61.094	-59.770	-57.121	-55.797	-54.472	-51.824	-50.499	-49.175
			Vy	11.981	11.981	11.981	11.981	11.981	11.981	11.981	11.981	11.981
			Vz	0.000	0.000	0.000	0.000	0.000	0.000	0.000	0.000	0.000
			Mt	0.00	0.00	0.00	0.00	0.00	0.00	0.00	0.00	0.00
			My	0.00	0.00	0.00	0.00	0.00	0.00	0.00	0.00	0.00
			Mz	15.62	13.22	10.82	6.03	3.63	1.24	-3.55	-5.95	-8.35
		PP+1.5·T2+1.5·T3+1.5·T4	N	-50.765	-49.784	-48.803	-46.841	-45.860	-44.879	-42.917	-41.936	-40.955
			Vy	-12.101	-12.101	-12.101	-12.101	-12.101	-12.101	-12.101	-12.101	-12.101
			Vz	0.000	0.000	0.000	0.000	0.000	0.000	0.000	0.000	0.000
			Mt	0.00	0.00	0.00	0.00	0.00	0.00	0.00	0.00	0.00
			My	0.00	0.00	0.00	0.00	0.00	0.00	0.00	0.00	0.00
			Mz	-15.77	-13.35	-10.93	-6.09	-3.67	-1.25	3.59	6.01	8.43
		1.35·PP+1.5·T2+1.5·T3+1.5·T4	N	-67.622	-66.298	-64.974	-62.325	-61.001	-59.676	-57.028	-55.703	-54.379
			Vy	-12.119	-12.119	-12.119	-12.119	-12.119	-12.119	-12.119	-12.119	-12.119
			Vz	0.000	0.000	0.000	0.000	0.000	0.000	0.000	0.000	0.000
			Mt	0.00	0.00	0.00	0.00	0.00	0.00	0.00	0.00	0.00
			My	0.00	0.00	0.00	0.00	0.00	0.00	0.00	0.00	0.00
			Mz	-15.80	-13.37	-10.95	-6.10	-3.68	-1.25	3.59	6.02	8.44
		PP+1.5·T1+1.5·T2+1.5·T3+1.5·T4	N	-48.163	-47.182	-46.201	-44.239	-43.258	-42.277	-40.315	-39.334	-38.353
			Vy	-0.051	-0.051	-0.051	-0.051	-0.051	-0.051	-0.051	-0.051	-0.051
			Vz	0.000	0.000	0.000	0.000	0.000	0.000	0.000	0.000	0.000
			Mt	0.00	0.00	0.00	0.00	0.00	0.00	0.00	0.00	0.00
			My	0.00	0.00	0.00	0.00	0.00	0.00	0.00	0.00	0.00
			Mz	-0.07	-0.06	-0.05	-0.03	-0.02	-0.01	0.01	0.02	0.04
		1.35·PP+1.5·T1+1.5·T2+1.5·T3+1.5·T4	N	-65.020	-63.696	-62.372	-59.723	-58.399	-57.074	-54.426	-53.101	-51.777
			Vy	-0.069	-0.069	-0.069	-0.069	-0.069	-0.069	-0.069	-0.069	-0.069
			Vz	0.000	0.000	0.000	0.000	0.000	0.000	0.000	0.000	0.000
			Mt	0.00	0.00	0.00	0.00	0.00	0.00	0.00	0.00	0.00
			My	0.00	0.00	0.00	0.00	0.00	0.00	0.00	0.00	0.00
			Mz	-0.09	-0.08	-0.06	-0.04	-0.02	-0.01	0.02	0.03	0.05

Esfuerzos en barras, por combinación

Barra	Combinación		Esfuerzo	Posiciones en la barra								
	Tipo	Descripción		0.000 m	0.625 m	1.250 m	1.875 m	2.500 m	3.125 m	3.750 m	4.375 m	5.000 m
N30/N14	Hormigón	PP	N	-24.794	-21.729	-18.663	-15.597	-12.532	-9.466	-6.401	-3.335	-0.269
			Vy	0.004	0.004	0.004	0.004	0.004	0.004	0.004	0.004	0.004
			Vz	0.000	0.000	0.000	0.000	0.000	0.000	0.000	0.000	0.000
			Mt	0.00	0.00	0.00	0.00	0.00	0.00	0.00	0.00	0.00
			My	0.00	0.00	0.00	0.00	0.00	0.00	0.00	0.00	0.00
			Mz	0.02	0.02	0.01	0.01	0.01	0.01	0.00	0.00	0.00
		1.35·PP	N	-33.472	-29.334	-25.195	-21.057	-16.918	-12.779	-8.641	-4.502	-0.364
			Vy	0.005	0.005	0.005	0.005	0.005	0.005	0.005	0.005	0.005
			Vz	0.000	0.000	0.000	0.000	0.000	0.000	0.000	0.000	0.000
			Mt	0.00	0.00	0.00	0.00	0.00	0.00	0.00	0.00	0.00
			My	0.00	0.00	0.00	0.00	0.00	0.00	0.00	0.00	0.00
			Mz	0.02	0.02	0.02	0.02	0.01	0.01	0.01	0.00	0.00
		PP+1.5·T1	N	-24.788	-21.723	-18.657	-15.591	-12.526	-9.460	-6.394	-3.329	-0.263
			Vy	-0.386	-0.386	-0.386	-0.386	-0.386	-0.386	-0.386	-0.386	-0.386
			Vz	0.000	0.000	0.000	0.000	0.000	0.000	0.000	0.000	0.000

Esfuerzos en barras, por combinación

Barra	Combinación		Esfuerzo	Posiciones en la barra								
	Tipo	Descripción		0.000 m	0.625 m	1.250 m	1.875 m	2.500 m	3.125 m	3.750 m	4.375 m	5.000 m
			Mt	0.00	0.00	0.00	0.00	0.00	0.00	0.00	0.00	0.00
			My	0.00	0.00	0.00	0.00	0.00	0.00	0.00	0.00	0.00
			Mz	-1.94	-1.70	-1.46	-1.22	-0.98	-0.74	-0.50	-0.25	-0.01
		1.35·PP+1.5·T1	N	-33.466	-29.328	-25.189	-21.050	-16.912	-12.773	-8.635	-4.496	-0.357
			Vy	-0.384	-0.384	-0.384	-0.384	-0.384	-0.384	-0.384	-0.384	-0.384
			Vz	0.000	0.000	0.000	0.000	0.000	0.000	0.000	0.000	0.000
			Mt	0.00	0.00	0.00	0.00	0.00	0.00	0.00	0.00	0.00
			My	0.00	0.00	0.00	0.00	0.00	0.00	0.00	0.00	0.00
			Mz	-1.94	-1.70	-1.46	-1.21	-0.97	-0.73	-0.49	-0.25	-0.01
		PP+1.5·T2	N	-24.800	-21.735	-18.669	-15.603	-12.538	-9.472	-6.407	-3.341	-0.275
			Vy	0.393	0.393	0.393	0.393	0.393	0.393	0.393	0.393	0.393
			Vz	0.000	0.000	0.000	0.000	0.000	0.000	0.000	0.000	0.000
			Mt	0.00	0.00	0.00	0.00	0.00	0.00	0.00	0.00	0.00
			My	0.00	0.00	0.00	0.00	0.00	0.00	0.00	0.00	0.00
			Mz	1.98	1.73	1.49	1.24	1.00	0.75	0.50	0.26	0.01
		1.35·PP+1.5·T2	N	-33.478	-29.340	-25.201	-21.063	-16.924	-12.785	-8.647	-4.508	-0.370
			Vy	0.394	0.394	0.394	0.394	0.394	0.394	0.394	0.394	0.394
			Vz	0.000	0.000	0.000	0.000	0.000	0.000	0.000	0.000	0.000
			Mt	0.00	0.00	0.00	0.00	0.00	0.00	0.00	0.00	0.00
			My	0.00	0.00	0.00	0.00	0.00	0.00	0.00	0.00	0.00
			Mz	1.98	1.74	1.49	1.25	1.00	0.75	0.51	0.26	0.01
		PP+1.5·T1+1.5·T2	N	-24.794	-21.729	-18.663	-15.597	-12.532	-9.466	-6.401	-3.335	-0.269
			Vy	0.004	0.004	0.004	0.004	0.004	0.004	0.004	0.004	0.004
			Vz	0.000	0.000	0.000	0.000	0.000	0.000	0.000	0.000	0.000
			Mt	0.00	0.00	0.00	0.00	0.00	0.00	0.00	0.00	0.00
			My	0.00	0.00	0.00	0.00	0.00	0.00	0.00	0.00	0.00
			Mz	0.02	0.02	0.01	0.01	0.01	0.01	0.00	0.00	0.00
		1.35·PP+1.5·T1+1.5·T2	N	-33.472	-29.334	-25.195	-21.057	-16.918	-12.779	-8.641	-4.502	-0.364
			Vy	0.005	0.005	0.005	0.005	0.005	0.005	0.005	0.005	0.005
			Vz	0.000	0.000	0.000	0.000	0.000	0.000	0.000	0.000	0.000
			Mt	0.00	0.00	0.00	0.00	0.00	0.00	0.00	0.00	0.00
			My	0.00	0.00	0.00	0.00	0.00	0.00	0.00	0.00	0.00
			Mz	0.02	0.02	0.02	0.02	0.01	0.01	0.01	0.00	0.00
		PP+1.5·T3	N	-24.776	-21.710	-18.645	-15.579	-12.514	-9.448	-6.382	-3.317	-0.251
			Vy	-1.164	-1.164	-1.164	-1.164	-1.164	-1.164	-1.164	-1.164	-1.164
			Vz	0.000	0.000	0.000	0.000	0.000	0.000	0.000	0.000	0.000
			Mt	0.00	0.00	0.00	0.00	0.00	0.00	0.00	0.00	0.00
			My	0.00	0.00	0.00	0.00	0.00	0.00	0.00	0.00	0.00
			Mz	-5.86	-5.13	-4.41	-3.68	-2.95	-2.22	-1.50	-0.77	-0.04
		1.35·PP+1.5·T3	N	-33.454	-29.315	-25.177	-21.038	-16.900	-12.761	-8.622	-4.484	-0.345
			Vy	-1.163	-1.163	-1.163	-1.163	-1.163	-1.163	-1.163	-1.163	-1.163
			Vz	0.000	0.000	0.000	0.000	0.000	0.000	0.000	0.000	0.000
			Mt	0.00	0.00	0.00	0.00	0.00	0.00	0.00	0.00	0.00
			My	0.00	0.00	0.00	0.00	0.00	0.00	0.00	0.00	0.00
			Mz	-5.86	-5.13	-4.40	-3.67	-2.95	-2.22	-1.49	-0.77	-0.04
		PP+1.5·T1+1.5·T3	N	-24.770	-21.704	-18.639	-15.573	-12.507	-9.442	-6.376	-3.311	-0.245
			Vy	-1.554	-1.554	-1.554	-1.554	-1.554	-1.554	-1.554	-1.554	-1.554
			Vz	0.000	0.000	0.000	0.000	0.000	0.000	0.000	0.000	0.000
			Mt	0.00	0.00	0.00	0.00	0.00	0.00	0.00	0.00	0.00
			My	0.00	0.00	0.00	0.00	0.00	0.00	0.00	0.00	0.00
			Mz	-7.82	-6.85	-5.88	-4.91	-3.94	-2.97	-2.00	-1.02	-0.05
		1.35·PP+1.5·T1+1.5·T3	N	-33.448	-29.309	-25.171	-21.032	-16.894	-12.755	-8.616	-4.478	-0.339
			Vy	-1.552	-1.552	-1.552	-1.552	-1.552	-1.552	-1.552	-1.552	-1.552
			Vz	0.000	0.000	0.000	0.000	0.000	0.000	0.000	0.000	0.000
			Mt	0.00	0.00	0.00	0.00	0.00	0.00	0.00	0.00	0.00
			My	0.00	0.00	0.00	0.00	0.00	0.00	0.00	0.00	0.00
			Mz	-7.82	-6.85	-5.88	-4.90	-3.93	-2.96	-1.99	-1.02	-0.05
		PP+1.5·T2+1.5·T3	N	-24.782	-21.717	-18.651	-15.585	-12.520	-9.454	-6.388	-3.323	-0.257
			Vy	-0.775	-0.775	-0.775	-0.775	-0.775	-0.775	-0.775	-0.775	-0.775
			Vz	0.000	0.000	0.000	0.000	0.000	0.000	0.000	0.000	0.000
			Mt	0.00	0.00	0.00	0.00	0.00	0.00	0.00	0.00	0.00
			My	0.00	0.00	0.00	0.00	0.00	0.00	0.00	0.00	0.00
			Mz	-3.90	-3.42	-2.93	-2.45	-1.96	-1.48	-1.00	-0.51	-0.03
		1.35·PP+1.5·T2+1.5·T3	N	-33.460	-29.322	-25.183	-21.044	-16.906	-12.767	-8.629	-4.490	-0.351
			Vy	-0.774	-0.774	-0.774	-0.774	-0.774	-0.774	-0.774	-0.774	-0.774
			Vz	0.000	0.000	0.000	0.000	0.000	0.000	0.000	0.000	0.000
			Mt	0.00	0.00	0.00	0.00	0.00	0.00	0.00	0.00	0.00
			My	0.00	0.00	0.00	0.00	0.00	0.00	0.00	0.00	0.00
			Mz	-3.90	-3.41	-2.93	-2.44	-1.96	-1.48	-0.99	-0.51	-0.03
		PP+1.5·T1+1.5·T2+1.5·T3	N	-24.776	-21.710	-18.645	-15.579	-12.514	-9.448	-6.382	-3.317	-0.251
			Vy	-1.164	-1.164	-1.164	-1.164	-1.164	-1.164	-1.164	-1.164	-1.164
			Vz	0.000	0.000	0.000	0.000	0.000	0.000	0.000	0.000	0.000
			Mt	0.00	0.00	0.00	0.00	0.00	0.00	0.00	0.00	0.00
			My	0.00	0.00	0.00	0.00	0.00	0.00	0.00	0.00	0.00
			Mz	-5.86	-5.13	-4.41	-3.68	-2.95	-2.22	-1.50	-0.77	-0.04
		1.35·PP+1.5·T1+1.5·T2+1.5·T3	N	-33.454	-29.315	-25.177	-21.038	-16.900	-12.761	-8.622	-4.484	-0.345
			Vy	-1.163	-1.163	-1.163	-1.163	-1.163	-1.163	-1.163	-1.163	-1.163
			Vz	0.000	0.000	0.000	0.000	0.000	0.000	0.000	0.000	0.000
			Mt	0.00	0.00	0.00	0.00	0.00	0.00	0.00	0.00	0.00
			My	0.00	0.00	0.00	0.00	0.00	0.00	0.00	0.00	0.00
			Mz	-5.86	-5.13	-4.40	-3.67	-2.95	-2.22	-1.49	-0.77	-0.04

Esfuerzos en barras, por combinación

Barra	Combinación		Esfuerzo	Posiciones en la barra								
	Tipo	Descripción		0.000 m	0.625 m	1.250 m	1.875 m	2.500 m	3.125 m	3.750 m	4.375 m	5.000 m
		PP+1.5·T4	N	-24.813	-21.747	-18.681	-15.616	-12.550	-9.484	-6.419	-3.353	-0.288
			Vy	1.172	1.172	1.172	1.172	1.172	1.172	1.172	1.172	1.172
			Vz	0.000	0.000	0.000	0.000	0.000	0.000	0.000	0.000	0.000
			Mt	0.00	0.00	0.00	0.00	0.00	0.00	0.00	0.00	0.00
			My	0.00	0.00	0.00	0.00	0.00	0.00	0.00	0.00	0.00
			Mz	5.90	5.17	4.43	3.70	2.97	2.24	1.50	0.77	0.04
		1.35·PP+1.5·T4	N	-33.491	-29.352	-25.213	-21.075	-16.936	-12.798	-8.659	-4.520	-0.382
			Vy	1.173	1.173	1.173	1.173	1.173	1.173	1.173	1.173	1.173
			Vz	0.000	0.000	0.000	0.000	0.000	0.000	0.000	0.000	0.000
			Mt	0.00	0.00	0.00	0.00	0.00	0.00	0.00	0.00	0.00
			My	0.00	0.00	0.00	0.00	0.00	0.00	0.00	0.00	0.00
			Mz	5.90	5.17	4.44	3.71	2.97	2.24	1.51	0.77	0.04
		PP+1.5·T1+1.5·T4	N	-24.806	-21.741	-18.675	-15.610	-12.544	-9.478	-6.413	-3.347	-0.281
			Vy	0.782	0.782	0.782	0.782	0.782	0.782	0.782	0.782	0.782
			Vz	0.000	0.000	0.000	0.000	0.000	0.000	0.000	0.000	0.000
			Mt	0.00	0.00	0.00	0.00	0.00	0.00	0.00	0.00	0.00
			My	0.00	0.00	0.00	0.00	0.00	0.00	0.00	0.00	0.00
			Mz	3.94	3.45	2.96	2.47	1.98	1.49	1.00	0.52	0.03
		1.35·PP+1.5·T1+1.5·T4	N	-33.484	-29.346	-25.207	-21.069	-16.930	-12.791	-8.653	-4.514	-0.376
			Vy	0.784	0.784	0.784	0.784	0.784	0.784	0.784	0.784	0.784
			Vz	0.000	0.000	0.000	0.000	0.000	0.000	0.000	0.000	0.000
			Mt	0.00	0.00	0.00	0.00	0.00	0.00	0.00	0.00	0.00
			My	0.00	0.00	0.00	0.00	0.00	0.00	0.00	0.00	0.00
			Mz	3.94	3.45	2.96	2.48	1.99	1.50	1.01	0.52	0.03
		PP+1.5·T2+1.5·T4	N	-24.819	-21.753	-18.687	-15.622	-12.556	-9.490	-6.425	-3.359	-0.294
			Vy	1.561	1.561	1.561	1.561	1.561	1.561	1.561	1.561	1.561
			Vz	0.000	0.000	0.000	0.000	0.000	0.000	0.000	0.000	0.000
			Mt	0.00	0.00	0.00	0.00	0.00	0.00	0.00	0.00	0.00
			My	0.00	0.00	0.00	0.00	0.00	0.00	0.00	0.00	0.00
			Mz	7.86	6.88	5.91	4.93	3.96	2.98	2.00	1.03	0.05
		1.35·PP+1.5·T2+1.5·T4	N	-33.497	-29.358	-25.219	-21.081	-16.942	-12.804	-8.665	-4.526	-0.388
			Vy	1.562	1.562	1.562	1.562	1.562	1.562	1.562	1.562	1.562
			Vz	0.000	0.000	0.000	0.000	0.000	0.000	0.000	0.000	0.000
			Mt	0.00	0.00	0.00	0.00	0.00	0.00	0.00	0.00	0.00
			My	0.00	0.00	0.00	0.00	0.00	0.00	0.00	0.00	0.00
			Mz	7.86	6.89	5.91	4.94	3.96	2.98	2.01	1.03	0.05
		PP+1.5·T1+1.5·T2+1.5·T4	N	-24.813	-21.747	-18.681	-15.616	-12.550	-9.484	-6.419	-3.353	-0.288
			Vy	1.172	1.172	1.172	1.172	1.172	1.172	1.172	1.172	1.172
			Vz	0.000	0.000	0.000	0.000	0.000	0.000	0.000	0.000	0.000
			Mt	0.00	0.00	0.00	0.00	0.00	0.00	0.00	0.00	0.00
			My	0.00	0.00	0.00	0.00	0.00	0.00	0.00	0.00	0.00
			Mz	5.90	5.17	4.43	3.70	2.97	2.24	1.50	0.77	0.04
		1.35·PP+1.5·T1+1.5·T2+1.5·T4	N	-33.491	-29.352	-25.213	-21.075	-16.936	-12.798	-8.659	-4.520	-0.382
			Vy	1.173	1.173	1.173	1.173	1.173	1.173	1.173	1.173	1.173
			Vz	0.000	0.000	0.000	0.000	0.000	0.000	0.000	0.000	0.000
			Mt	0.00	0.00	0.00	0.00	0.00	0.00	0.00	0.00	0.00
			My	0.00	0.00	0.00	0.00	0.00	0.00	0.00	0.00	0.00
			Mz	5.90	5.17	4.44	3.71	2.97	2.24	1.51	0.77	0.04
		PP+1.5·T3+1.5·T4	N	-24.794	-21.729	-18.663	-15.597	-12.532	-9.466	-6.401	-3.335	-0.269
			Vy	0.004	0.004	0.004	0.004	0.004	0.004	0.004	0.004	0.004
			Vz	0.000	0.000	0.000	0.000	0.000	0.000	0.000	0.000	0.000
			Mt	0.00	0.00	0.00	0.00	0.00	0.00	0.00	0.00	0.00
			My	0.00	0.00	0.00	0.00	0.00	0.00	0.00	0.00	0.00
			Mz	0.02	0.02	0.01	0.01	0.01	0.01	0.00	0.00	0.00
		1.35·PP+1.5·T3+1.5·T4	N	-33.472	-29.334	-25.195	-21.057	-16.918	-12.779	-8.641	-4.502	-0.364
			Vy	0.005	0.005	0.005	0.005	0.005	0.005	0.005	0.005	0.005
			Vz	0.000	0.000	0.000	0.000	0.000	0.000	0.000	0.000	0.000
			Mt	0.00	0.00	0.00	0.00	0.00	0.00	0.00	0.00	0.00
			My	0.00	0.00	0.00	0.00	0.00	0.00	0.00	0.00	0.00
			Mz	0.02	0.02	0.02	0.02	0.01	0.01	0.01	0.00	0.00
		PP+1.5·T1+1.5·T3+1.5·T4	N	-24.788	-21.723	-18.657	-15.591	-12.526	-9.460	-6.394	-3.329	-0.263
			Vy	-0.386	-0.386	-0.386	-0.386	-0.386	-0.386	-0.386	-0.386	-0.386
			Vz	0.000	0.000	0.000	0.000	0.000	0.000	0.000	0.000	0.000
			Mt	0.00	0.00	0.00	0.00	0.00	0.00	0.00	0.00	0.00
			My	0.00	0.00	0.00	0.00	0.00	0.00	0.00	0.00	0.00
			Mz	-1.94	-1.70	-1.46	-1.22	-0.98	-0.74	-0.50	-0.25	-0.01
		1.35·PP+1.5·T1+1.5·T3+1.5·T4	N	-33.466	-29.328	-25.189	-21.050	-16.912	-12.773	-8.635	-4.496	-0.357
			Vy	-0.384	-0.384	-0.384	-0.384	-0.384	-0.384	-0.384	-0.384	-0.384
			Vz	0.000	0.000	0.000	0.000	0.000	0.000	0.000	0.000	0.000
			Mt	0.00	0.00	0.00	0.00	0.00	0.00	0.00	0.00	0.00
			My	0.00	0.00	0.00	0.00	0.00	0.00	0.00	0.00	0.00
			Mz	-1.94	-1.70	-1.46	-1.21	-0.97	-0.73	-0.49	-0.25	-0.01
		PP+1.5·T2+1.5·T3+1.5·T4	N	-24.800	-21.735	-18.669	-15.603	-12.538	-9.472	-6.407	-3.341	-0.275
			Vy	0.393	0.393	0.393	0.393	0.393	0.393	0.393	0.393	0.393
			Vz	0.000	0.000	0.000	0.000	0.000	0.000	0.000	0.000	0.000
			Mt	0.00	0.00	0.00	0.00	0.00	0.00	0.00	0.00	0.00
			My	0.00	0.00	0.00	0.00	0.00	0.00	0.00	0.00	0.00
			Mz	1.98	1.73	1.49	1.24	1.00	0.75	0.50	0.26	0.01
		1.35·PP+1.5·T2+1.5·T3+1.5·T4	N	-33.478	-29.340	-25.201	-21.063	-16.924	-12.785	-8.647	-4.508	-0.370
			Vy	0.394	0.394	0.394	0.394	0.394	0.394	0.394	0.394	0.394
			Vz	0.000	0.000	0.000	0.000	0.000	0.000	0.000	0.000	0.000

Esfuerzos en barras, por combinación												
Barra	Combinación		Esfuerzo	Posiciones en la barra								
	Tipo	Descripción		0.000 m	0.625 m	1.250 m	1.875 m	2.500 m	3.125 m	3.750 m	4.375 m	5.000 m
			Mt	0.00	0.00	0.00	0.00	0.00	0.00	0.00	0.00	0.00
			My	0.00	0.00	0.00	0.00	0.00	0.00	0.00	0.00	0.00
			Mz	1.98	1.74	1.49	1.25	1.00	0.75	0.51	0.26	0.01
		PP+1.5·T1+1.5·T2+1.5·T3+1.5·T4	N	-24.794	-21.729	-18.663	-15.597	-12.532	-9.466	-6.401	-3.335	-0.269
			Vy	0.004	0.004	0.004	0.004	0.004	0.004	0.004	0.004	0.004
			Vz	0.000	0.000	0.000	0.000	0.000	0.000	0.000	0.000	0.000
			Mt	0.00	0.00	0.00	0.00	0.00	0.00	0.00	0.00	0.00
			My	0.00	0.00	0.00	0.00	0.00	0.00	0.00	0.00	0.00
			Mz	0.02	0.02	0.01	0.01	0.01	0.01	0.00	0.00	0.00
		1.35·PP+1.5·T1+1.5·T2+1.5·T3+1.5·T4	N	-33.472	-29.334	-25.195	-21.057	-16.918	-12.779	-8.641	-4.502	-0.364
			Vy	0.005	0.005	0.005	0.005	0.005	0.005	0.005	0.005	0.005
			Vz	0.000	0.000	0.000	0.000	0.000	0.000	0.000	0.000	0.000
			Mt	0.00	0.00	0.00	0.00	0.00	0.00	0.00	0.00	0.00
			My	0.00	0.00	0.00	0.00	0.00	0.00	0.00	0.00	0.00
			Mz	0.02	0.02	0.02	0.02	0.01	0.01	0.01	0.00	0.00

Esfuerzos en barras, por combinación												
Barra	Combinación		Esfuerzo	Posiciones en la barra								
	Tipo	Descripción		0.000 m	0.200 m	0.400 m	0.800 m	1.000 m	1.200 m	1.600 m	1.800 m	2.000 m
N15/N31	Hormigón	PP	N	-48.148	-47.167	-46.186	-44.224	-43.243	-42.262	-40.300	-39.319	-38.338
			Vy	-0.151	-0.151	-0.151	-0.151	-0.151	-0.151	-0.151	-0.151	-0.151
			Vz	0.000	0.000	0.000	0.000	0.000	0.000	0.000	0.000	0.000
			Mt	0.00	0.00	0.00	0.00	0.00	0.00	0.00	0.00	0.00
			My	0.00	0.00	0.00	0.00	0.00	0.00	0.00	0.00	0.00
			Mz	-0.20	-0.17	-0.14	-0.08	-0.05	-0.02	0.04	0.07	0.10
		1.35·PP	N	-65.000	-63.675	-62.351	-59.702	-58.378	-57.054	-54.405	-53.081	-51.756
			Vy	-0.203	-0.203	-0.203	-0.203	-0.203	-0.203	-0.203	-0.203	-0.203
			Vz	0.000	0.000	0.000	0.000	0.000	0.000	0.000	0.000	0.000
			Mt	0.00	0.00	0.00	0.00	0.00	0.00	0.00	0.00	0.00
			My	0.00	0.00	0.00	0.00	0.00	0.00	0.00	0.00	0.00
			Mz	-0.27	-0.23	-0.19	-0.11	-0.07	-0.03	0.05	0.09	0.13
		PP+1.5·T1	N	-45.426	-44.445	-43.464	-41.502	-40.521	-39.540	-37.578	-36.597	-35.616
			Vy	34.971	34.971	34.971	34.971	34.971	34.971	34.971	34.971	34.971
			Vz	0.000	0.000	0.000	0.000	0.000	0.000	0.000	0.000	0.000
			Mt	0.00	0.00	0.00	0.00	0.00	0.00	0.00	0.00	0.00
			My	0.00	0.00	0.00	0.00	0.00	0.00	0.00	0.00	0.00
			Mz	45.56	38.57	31.58	17.59	10.59	3.60	-10.39	-17.38	-24.38
		1.35·PP+1.5·T1	N	-62.278	-60.953	-59.629	-56.980	-55.656	-54.332	-51.683	-50.359	-49.034
			Vy	34.918	34.918	34.918	34.918	34.918	34.918	34.918	34.918	34.918
			Vz	0.000	0.000	0.000	0.000	0.000	0.000	0.000	0.000	0.000
			Mt	0.00	0.00	0.00	0.00	0.00	0.00	0.00	0.00	0.00
			My	0.00	0.00	0.00	0.00	0.00	0.00	0.00	0.00	0.00
			Mz	45.49	38.51	31.53	17.56	10.58	3.59	-10.38	-17.36	-24.34
		PP+1.5·T2	N	-50.870	-49.889	-48.908	-46.946	-45.965	-44.984	-43.022	-42.041	-41.060
			Vy	-35.272	-35.272	-35.272	-35.272	-35.272	-35.272	-35.272	-35.272	-35.272
			Vz	0.000	0.000	0.000	0.000	0.000	0.000	0.000	0.000	0.000
			Mt	0.00	0.00	0.00	0.00	0.00	0.00	0.00	0.00	0.00
			My	0.00	0.00	0.00	0.00	0.00	0.00	0.00	0.00	0.00
			Mz	-45.97	-38.92	-31.86	-17.75	-10.70	-3.64	10.46	17.52	24.57
		1.35·PP+1.5·T2	N	-67.722	-66.397	-65.073	-62.424	-61.100	-59.776	-57.127	-55.803	-54.478
			Vy	-35.325	-35.325	-35.325	-35.325	-35.325	-35.325	-35.325	-35.325	-35.325
			Vz	0.000	0.000	0.000	0.000	0.000	0.000	0.000	0.000	0.000
			Mt	0.00	0.00	0.00	0.00	0.00	0.00	0.00	0.00	0.00
			My	0.00	0.00	0.00	0.00	0.00	0.00	0.00	0.00	0.00
			Mz	-46.04	-38.98	-31.91	-17.78	-10.72	-3.65	10.48	17.54	24.61
		PP+1.5·T1+1.5·T2	N	-48.148	-47.167	-46.186	-44.224	-43.243	-42.262	-40.300	-39.319	-38.338
			Vy	-0.151	-0.151	-0.151	-0.151	-0.151	-0.151	-0.151	-0.151	-0.151
			Vz	0.000	0.000	0.000	0.000	0.000	0.000	0.000	0.000	0.000
			Mt	0.00	0.00	0.00	0.00	0.00	0.00	0.00	0.00	0.00
			My	0.00	0.00	0.00	0.00	0.00	0.00	0.00	0.00	0.00
			Mz	-0.20	-0.17	-0.14	-0.08	-0.05	-0.02	0.04	0.07	0.10
		1.35·PP+1.5·T1+1.5·T2	N	-65.000	-63.675	-62.351	-59.702	-58.378	-57.054	-54.405	-53.081	-51.756
			Vy	-0.203	-0.203	-0.203	-0.203	-0.203	-0.203	-0.203	-0.203	-0.203
			Vz	0.000	0.000	0.000	0.000	0.000	0.000	0.000	0.000	0.000
			Mt	0.00	0.00	0.00	0.00	0.00	0.00	0.00	0.00	0.00
			My	0.00	0.00	0.00	0.00	0.00	0.00	0.00	0.00	0.00
			Mz	-0.27	-0.23	-0.19	-0.11	-0.07	-0.03	0.05	0.09	0.13
		PP+1.5·T3	N	-39.982	-39.001	-38.020	-36.058	-35.077	-34.096	-32.134	-31.153	-30.172
			Vy	105.213	105.213	105.213	105.213	105.213	105.213	105.213	105.213	105.213
			Vz	0.000	0.000	0.000	0.000	0.000	0.000	0.000	0.000	0.000
			Mt	0.00	0.00	0.00	0.00	0.00	0.00	0.00	0.00	0.00
			My	0.00	0.00	0.00	0.00	0.00	0.00	0.00	0.00	0.00
			Mz	137.10	116.06	95.01	52.93	31.89	10.84	-31.24	-52.28	-73.33
		1.35·PP+1.5·T3	N	-56.834	-55.509	-54.185	-51.536	-50.212	-48.888	-46.239	-44.914	-43.590
			Vy	105.161	105.161	105.161	105.161	105.161	105.161	105.161	105.161	105.161
			Vz	0.000	0.000	0.000	0.000	0.000	0.000	0.000	0.000	0.000
			Mt	0.00	0.00	0.00	0.00	0.00	0.00	0.00	0.00	0.00
			My	0.00	0.00	0.00	0.00	0.00	0.00	0.00	0.00	0.00
			Mz	137.03	116.00	94.96	52.90	31.87	10.84	-31.23	-52.26	-73.29
		PP+1.5·T1+1.5·T3	N	-37.260	-36.279	-35.298	-33.336	-32.355	-31.374	-29.412	-28.431	-27.450
			Vy	140.335	140.335	140.335	140.335	140.335	140.335	140.335	140.335	140.335
			Vz	0.000	0.000	0.000	0.000	0.000	0.000	0.000	0.000	0.000

Esfuerzos en barras, por combinación												
Barra	Combinación		Esfuerzo	Posiciones en la barra								
	Tipo	Descripción		0.000 m	0.200 m	0.400 m	0.800 m	1.000 m	1.200 m	1.600 m	1.800 m	2.000 m
			Mt	0.00	0.00	0.00	0.00	0.00	0.00	0.00	0.00	0.00
			My	0.00	0.00	0.00	0.00	0.00	0.00	0.00	0.00	0.00
			Mz	182.87	154.80	126.73	70.60	42.53	14.47	-41.67	-69.73	-97.80
		1.35·PP+1.5·T1+1.5·T3	N	-54.112	-52.787	-51.463	-48.814	-47.490	-46.165	-43.517	-42.192	-40.868
			Vy	140.282	140.282	140.282	140.282	140.282	140.282	140.282	140.282	140.282
			Vz	0.000	0.000	0.000	0.000	0.000	0.000	0.000	0.000	0.000
			Mt	0.00	0.00	0.00	0.00	0.00	0.00	0.00	0.00	0.00
			My	0.00	0.00	0.00	0.00	0.00	0.00	0.00	0.00	0.00
			Mz	182.80	154.74	126.68	70.57	42.51	14.46	-41.65	-69.71	-97.77
		PP+1.5·T2+1.5·T3	N	-42.704	-41.723	-40.742	-38.780	-37.799	-36.818	-34.856	-33.875	-32.894
			Vy	70.092	70.092	70.092	70.092	70.092	70.092	70.092	70.092	70.092
			Vz	0.000	0.000	0.000	0.000	0.000	0.000	0.000	0.000	0.000
			Mt	0.00	0.00	0.00	0.00	0.00	0.00	0.00	0.00	0.00
			My	0.00	0.00	0.00	0.00	0.00	0.00	0.00	0.00	0.00
			Mz	91.33	77.31	63.30	35.26	21.24	7.22	-20.82	-34.83	-48.85
		1.35·PP+1.5·T2+1.5·T3	N	-59.556	-58.231	-56.907	-54.258	-52.934	-51.610	-48.961	-47.636	-46.312
			Vy	70.039	70.039	70.039	70.039	70.039	70.039	70.039	70.039	70.039
			Vz	0.000	0.000	0.000	0.000	0.000	0.000	0.000	0.000	0.000
			Mt	0.00	0.00	0.00	0.00	0.00	0.00	0.00	0.00	0.00
			My	0.00	0.00	0.00	0.00	0.00	0.00	0.00	0.00	0.00
			Mz	91.26	77.25	63.25	35.23	21.22	7.21	-20.80	-34.81	-48.82
		PP+1.5·T1+1.5·T2+1.5·T3	N	-39.982	-39.001	-38.020	-36.058	-35.077	-34.096	-32.134	-31.153	-30.172
			Vy	105.213	105.213	105.213	105.213	105.213	105.213	105.213	105.213	105.213
			Vz	0.000	0.000	0.000	0.000	0.000	0.000	0.000	0.000	0.000
			Mt	0.00	0.00	0.00	0.00	0.00	0.00	0.00	0.00	0.00
			My	0.00	0.00	0.00	0.00	0.00	0.00	0.00	0.00	0.00
			Mz	137.10	116.06	95.01	52.93	31.89	10.84	-31.24	-52.28	-73.33
		1.35·PP+1.5·T1+1.5·T2+1.5·T3	N	-56.834	-55.509	-54.185	-51.536	-50.212	-48.888	-46.239	-44.914	-43.590
			Vy	105.161	105.161	105.161	105.161	105.161	105.161	105.161	105.161	105.161
			Vz	0.000	0.000	0.000	0.000	0.000	0.000	0.000	0.000	0.000
			Mt	0.00	0.00	0.00	0.00	0.00	0.00	0.00	0.00	0.00
			My	0.00	0.00	0.00	0.00	0.00	0.00	0.00	0.00	0.00
			Mz	137.03	116.00	94.96	52.90	31.87	10.84	-31.23	-52.26	-73.29
		PP+1.5·T4	N	-56.314	-55.333	-54.352	-52.390	-51.409	-50.428	-48.466	-47.485	-46.504
			Vy	-105.514	-105.514	-105.514	-105.514	-105.514	-105.514	-105.514	-105.514	-105.514
			Vz	0.000	0.000	0.000	0.000	0.000	0.000	0.000	0.000	0.000
			Mt	0.00	0.00	0.00	0.00	0.00	0.00	0.00	0.00	0.00
			My	0.00	0.00	0.00	0.00	0.00	0.00	0.00	0.00	0.00
			Mz	-137.51	-116.40	-95.30	-53.09	-31.99	-10.89	31.32	52.42	73.52
		1.35·PP+1.5·T4	N	-73.166	-71.841	-70.517	-67.868	-66.544	-65.220	-62.571	-61.247	-59.922
			Vy	-105.567	-105.567	-105.567	-105.567	-105.567	-105.567	-105.567	-105.567	-105.567
			Vz	0.000	0.000	0.000	0.000	0.000	0.000	0.000	0.000	0.000
			Mt	0.00	0.00	0.00	0.00	0.00	0.00	0.00	0.00	0.00
			My	0.00	0.00	0.00	0.00	0.00	0.00	0.00	0.00	0.00
			Mz	-137.58	-116.46	-95.35	-53.12	-32.01	-10.90	31.33	52.44	73.56
		PP+1.5·T1+1.5·T4	N	-53.592	-52.611	-51.630	-49.668	-48.687	-47.706	-45.744	-44.763	-43.782
			Vy	-70.393	-70.393	-70.393	-70.393	-70.393	-70.393	-70.393	-70.393	-70.393
			Vz	0.000	0.000	0.000	0.000	0.000	0.000	0.000	0.000	0.000
			Mt	0.00	0.00	0.00	0.00	0.00	0.00	0.00	0.00	0.00
			My	0.00	0.00	0.00	0.00	0.00	0.00	0.00	0.00	0.00
			Mz	-91.74	-77.66	-63.58	-35.42	-21.35	-7.27	20.89	34.97	49.05
		1.35·PP+1.5·T1+1.5·T4	N	-70.444	-69.119	-67.795	-65.146	-63.822	-62.498	-59.849	-58.525	-57.200
			Vy	-70.446	-70.446	-70.446	-70.446	-70.446	-70.446	-70.446	-70.446	-70.446
			Vz	0.000	0.000	0.000	0.000	0.000	0.000	0.000	0.000	0.000
			Mt	0.00	0.00	0.00	0.00	0.00	0.00	0.00	0.00	0.00
			My	0.00	0.00	0.00	0.00	0.00	0.00	0.00	0.00	0.00
			Mz	-91.81	-77.72	-63.63	-35.45	-21.36	-7.27	20.90	34.99	49.08
		PP+1.5·T2+1.5·T4	N	-59.036	-58.055	-57.074	-55.112	-54.131	-53.150	-51.188	-50.207	-49.226
			Vy	-140.636	-140.636	-140.636	-140.636	-140.636	-140.636	-140.636	-140.636	-140.636
			Vz	0.000	0.000	0.000	0.000	0.000	0.000	0.000	0.000	0.000
			Mt	0.00	0.00	0.00	0.00	0.00	0.00	0.00	0.00	0.00
			My	0.00	0.00	0.00	0.00	0.00	0.00	0.00	0.00	0.00
			Mz	-183.27	-155.15	-127.02	-70.77	-42.64	-14.51	41.74	69.87	98.00
		1.35·PP+1.5·T2+1.5·T4	N	-75.888	-74.563	-73.239	-70.590	-69.266	-67.942	-65.293	-63.969	-62.644
			Vy	-140.688	-140.688	-140.688	-140.688	-140.688	-140.688	-140.688	-140.688	-140.688
			Vz	0.000	0.000	0.000	0.000	0.000	0.000	0.000	0.000	0.000
			Mt	0.00	0.00	0.00	0.00	0.00	0.00	0.00	0.00	0.00
			My	0.00	0.00	0.00	0.00	0.00	0.00	0.00	0.00	0.00
			Mz	-183.34	-155.21	-127.07	-70.79	-42.66	-14.52	41.76	69.89	98.03
		PP+1.5·T1+1.5·T2+1.5·T4	N	-56.314	-55.333	-54.352	-52.390	-51.409	-50.428	-48.466	-47.485	-46.504
			Vy	-105.514	-105.514	-105.514	-105.514	-105.514	-105.514	-105.514	-105.514	-105.514
			Vz	0.000	0.000	0.000	0.000	0.000	0.000	0.000	0.000	0.000
			Mt	0.00	0.00	0.00	0.00	0.00	0.00	0.00	0.00	0.00
			My	0.00	0.00	0.00	0.00	0.00	0.00	0.00	0.00	0.00
			Mz	-137.51	-116.40	-95.30	-53.09	-31.99	-10.89	31.32	52.42	73.52
		1.35·PP+1.5·T1+1.5·T2+1.5·T4	N	-73.166	-71.841	-70.517	-67.868	-66.544	-65.220	-62.571	-61.247	-59.922
			Vy	-105.567	-105.567	-105.567	-105.567	-105.567	-105.567	-105.567	-105.567	-105.567
			Vz	0.000	0.000	0.000	0.000	0.000	0.000	0.000	0.000	0.000
			Mt	0.00	0.00	0.00	0.00	0.00	0.00	0.00	0.00	0.00
			My	0.00	0.00	0.00	0.00	0.00	0.00	0.00	0.00	0.00
			Mz	-137.58	-116.46	-95.35	-53.12	-32.01	-10.90	31.33	52.44	73.56
		PP+1.5·T3+1.5·T4	N	-48.148	-47.167	-46.186	-44.224	-43.243	-42.262	-40.300	-39.319	-38.338
			Vy	-0.151	-0.151	-0.151	-0.151	-0.151	-0.151	-0.151	-0.151	-0.151

Esfuerzos en barras, por combinación

Barra	Combinación		Esfuerzo	Posiciones en la barra								
	Tipo	Descripción		0.000 m	0.200 m	0.400 m	0.800 m	1.000 m	1.200 m	1.600 m	1.800 m	2.000 m
			Vz	0.000	0.000	0.000	0.000	0.000	0.000	0.000	0.000	0.000
			Mt	0.00	0.00	0.00	0.00	0.00	0.00	0.00	0.00	0.00
			My	0.00	0.00	0.00	0.00	0.00	0.00	0.00	0.00	0.00
			Mz	-0.20	-0.17	-0.14	-0.08	-0.05	-0.02	0.04	0.07	0.10
		1.35·PP+1.5·T3+1.5·T4	N	-65.000	-63.675	-62.351	-59.702	-58.378	-57.054	-54.405	-53.081	-51.756
			Vy	-0.203	-0.203	-0.203	-0.203	-0.203	-0.203	-0.203	-0.203	-0.203
			Vz	0.000	0.000	0.000	0.000	0.000	0.000	0.000	0.000	0.000
			Mt	0.00	0.00	0.00	0.00	0.00	0.00	0.00	0.00	0.00
			My	0.00	0.00	0.00	0.00	0.00	0.00	0.00	0.00	0.00
			Mz	-0.27	-0.23	-0.19	-0.11	-0.07	-0.03	0.05	0.09	0.13
		PP+1.5·T1+1.5·T3+1.5·T4	N	-45.426	-44.445	-43.464	-41.502	-40.521	-39.540	-37.578	-36.597	-35.616
			Vy	34.971	34.971	34.971	34.971	34.971	34.971	34.971	34.971	34.971
			Vz	0.000	0.000	0.000	0.000	0.000	0.000	0.000	0.000	0.000
			Mt	0.00	0.00	0.00	0.00	0.00	0.00	0.00	0.00	0.00
			My	0.00	0.00	0.00	0.00	0.00	0.00	0.00	0.00	0.00
			Mz	45.56	38.57	31.58	17.59	10.59	3.60	-10.39	-17.38	-24.38
		1.35·PP+1.5·T1+1.5·T3+1.5·T4	N	-62.278	-60.953	-59.629	-56.980	-55.656	-54.332	-51.683	-50.359	-49.034
			Vy	34.918	34.918	34.918	34.918	34.918	34.918	34.918	34.918	34.918
			Vz	0.000	0.000	0.000	0.000	0.000	0.000	0.000	0.000	0.000
			Mt	0.00	0.00	0.00	0.00	0.00	0.00	0.00	0.00	0.00
			My	0.00	0.00	0.00	0.00	0.00	0.00	0.00	0.00	0.00
			Mz	45.49	38.51	31.53	17.56	10.58	3.59	-10.38	-17.36	-24.34
		PP+1.5·T2+1.5·T3+1.5·T4	N	-50.870	-49.889	-48.908	-46.946	-45.965	-44.984	-43.022	-42.041	-41.060
			Vy	-35.272	-35.272	-35.272	-35.272	-35.272	-35.272	-35.272	-35.272	-35.272
			Vz	0.000	0.000	0.000	0.000	0.000	0.000	0.000	0.000	0.000
			Mt	0.00	0.00	0.00	0.00	0.00	0.00	0.00	0.00	0.00
			My	0.00	0.00	0.00	0.00	0.00	0.00	0.00	0.00	0.00
			Mz	-45.97	-38.92	-31.86	-17.75	-10.70	-3.64	10.46	17.52	24.57
		1.35·PP+1.5·T2+1.5·T3+1.5·T4	N	-67.722	-66.397	-65.073	-62.424	-61.100	-59.776	-57.127	-55.803	-54.478
			Vy	-35.325	-35.325	-35.325	-35.325	-35.325	-35.325	-35.325	-35.325	-35.325
			Vz	0.000	0.000	0.000	0.000	0.000	0.000	0.000	0.000	0.000
			Mt	0.00	0.00	0.00	0.00	0.00	0.00	0.00	0.00	0.00
			My	0.00	0.00	0.00	0.00	0.00	0.00	0.00	0.00	0.00
			Mz	-46.04	-38.98	-31.91	-17.78	-10.72	-3.65	10.48	17.54	24.61
		PP+1.5·T1+1.5·T2+1.5·T3+1.5·T4	N	-48.148	-47.167	-46.186	-44.224	-43.243	-42.262	-40.300	-39.319	-38.338
			Vy	-0.151	-0.151	-0.151	-0.151	-0.151	-0.151	-0.151	-0.151	-0.151
			Vz	0.000	0.000	0.000	0.000	0.000	0.000	0.000	0.000	0.000
			Mt	0.00	0.00	0.00	0.00	0.00	0.00	0.00	0.00	0.00
			My	0.00	0.00	0.00	0.00	0.00	0.00	0.00	0.00	0.00
			Mz	-0.20	-0.17	-0.14	-0.08	-0.05	-0.02	0.04	0.07	0.10
		1.35·PP+1.5·T1+1.5·T2+1.5·T3+1.5·T4	N	-65.000	-63.675	-62.351	-59.702	-58.378	-57.054	-54.405	-53.081	-51.756
			Vy	-0.203	-0.203	-0.203	-0.203	-0.203	-0.203	-0.203	-0.203	-0.203
			Vz	0.000	0.000	0.000	0.000	0.000	0.000	0.000	0.000	0.000
			Mt	0.00	0.00	0.00	0.00	0.00	0.00	0.00	0.00	0.00
			My	0.00	0.00	0.00	0.00	0.00	0.00	0.00	0.00	0.00
			Mz	-0.27	-0.23	-0.19	-0.11	-0.07	-0.03	0.05	0.09	0.13

Esfuerzos en barras, por combinación

Barra	Combinación		Esfuerzo	Posiciones en la barra								
	Tipo	Descripción		0.000 m	0.625 m	1.250 m	1.875 m	2.500 m	3.125 m	3.750 m	4.375 m	5.000 m
N31/N16	Hormigón	PP	N	-24.794	-21.729	-18.663	-15.597	-12.532	-9.466	-6.401	-3.335	-0.269
			Vy	0.004	0.004	0.004	0.004	0.004	0.004	0.004	0.004	0.004
			Vz	0.000	0.000	0.000	0.000	0.000	0.000	0.000	0.000	0.000
			Mt	0.00	0.00	0.00	0.00	0.00	0.00	0.00	0.00	0.00
			My	0.00	0.00	0.00	0.00	0.00	0.00	0.00	0.00	0.00
			Mz	0.02	0.02	0.01	0.01	0.01	0.01	0.00	0.00	0.00
		1.35·PP	N	-33.472	-29.334	-25.195	-21.057	-16.918	-12.779	-8.641	-4.502	-0.364
			Vy	0.005	0.005	0.005	0.005	0.005	0.005	0.005	0.005	0.005
			Vz	0.000	0.000	0.000	0.000	0.000	0.000	0.000	0.000	0.000
			Mt	0.00	0.00	0.00	0.00	0.00	0.00	0.00	0.00	0.00
			My	0.00	0.00	0.00	0.00	0.00	0.00	0.00	0.00	0.00
			Mz	0.03	0.02	0.02	0.02	0.01	0.01	0.01	0.00	0.00
		PP+1.5·T1	N	-24.790	-21.725	-18.659	-15.593	-12.528	-9.462	-6.397	-3.331	-0.265
			Vy	-1.157	-1.157	-1.157	-1.157	-1.157	-1.157	-1.157	-1.157	-1.157
			Vz	0.000	0.000	0.000	0.000	0.000	0.000	0.000	0.000	0.000
			Mt	0.00	0.00	0.00	0.00	0.00	0.00	0.00	0.00	0.00
			My	0.00	0.00	0.00	0.00	0.00	0.00	0.00	0.00	0.00
			Mz	-5.82	-5.10	-4.38	-3.65	-2.93	-2.21	-1.48	-0.76	-0.04
		1.35·PP+1.5·T1	N	-33.468	-29.330	-25.191	-21.052	-16.914	-12.775	-8.637	-4.498	-0.360
			Vy	-1.156	-1.156	-1.156	-1.156	-1.156	-1.156	-1.156	-1.156	-1.156
			Vz	0.000	0.000	0.000	0.000	0.000	0.000	0.000	0.000	0.000
			Mt	0.00	0.00	0.00	0.00	0.00	0.00	0.00	0.00	0.00
			My	0.00	0.00	0.00	0.00	0.00	0.00	0.00	0.00	0.00
			Mz	-5.81	-5.09	-4.37	-3.65	-2.93	-2.20	-1.48	-0.76	-0.04
		PP+1.5·T2	N	-24.798	-21.733	-18.667	-15.602	-12.536	-9.470	-6.405	-3.339	-0.273
			Vy	1.164	1.164	1.164	1.164	1.164	1.164	1.164	1.164	1.164
			Vz	0.000	0.000	0.000	0.000	0.000	0.000	0.000	0.000	0.000
			Mt	0.00	0.00	0.00	0.00	0.00	0.00	0.00	0.00	0.00
			My	0.00	0.00	0.00	0.00	0.00	0.00	0.00	0.00	0.00
			Mz	5.86	5.13	4.40	3.68	2.95	2.22	1.49	0.77	0.04
		1.35·PP+1.5·T2	N	-33.476	-29.338	-25.199	-21.061	-16.922	-12.783	-8.645	-4.506	-0.368

Esfuerzos en barras, por combinación

Barra	Combinación		Esfuerzo	Posiciones en la barra								
	Tipo	Descripción		0.000 m	0.625 m	1.250 m	1.875 m	2.500 m	3.125 m	3.750 m	4.375 m	5.000 m
			Vy	1.165	1.165	1.165	1.165	1.165	1.165	1.165	1.165	1.165
			Vz	0.000	0.000	0.000	0.000	0.000	0.000	0.000	0.000	0.000
			Mt	0.00	0.00	0.00	0.00	0.00	0.00	0.00	0.00	0.00
			My	0.00	0.00	0.00	0.00	0.00	0.00	0.00	0.00	0.00
			Mz	5.86	5.14	4.41	3.68	2.95	2.22	1.49	0.77	0.04
		PP+1.5·T1+1.5·T2	N	-24.794	-21.729	-18.663	-15.597	-12.532	-9.466	-6.401	-3.335	-0.269
			Vy	0.004	0.004	0.004	0.004	0.004	0.004	0.004	0.004	0.004
			Vz	0.000	0.000	0.000	0.000	0.000	0.000	0.000	0.000	0.000
			Mt	0.00	0.00	0.00	0.00	0.00	0.00	0.00	0.00	0.00
			My	0.00	0.00	0.00	0.00	0.00	0.00	0.00	0.00	0.00
			Mz	0.02	0.02	0.01	0.01	0.01	0.01	0.00	0.00	0.00
		1.35·PP+1.5·T1+1.5·T2	N	-33.472	-29.334	-25.195	-21.057	-16.918	-12.779	-8.641	-4.502	-0.364
			Vy	0.005	0.005	0.005	0.005	0.005	0.005	0.005	0.005	0.005
			Vz	0.000	0.000	0.000	0.000	0.000	0.000	0.000	0.000	0.000
			Mt	0.00	0.00	0.00	0.00	0.00	0.00	0.00	0.00	0.00
			My	0.00	0.00	0.00	0.00	0.00	0.00	0.00	0.00	0.00
			Mz	0.03	0.02	0.02	0.02	0.01	0.01	0.01	0.00	0.00
		PP+1.5·T3	N	-24.782	-21.716	-18.651	-15.585	-12.520	-9.454	-6.388	-3.323	-0.257
			Vy	-3.478	-3.478	-3.478	-3.478	-3.478	-3.478	-3.478	-3.478	-3.478
			Vz	0.000	0.000	0.000	0.000	0.000	0.000	0.000	0.000	0.000
			Mt	0.00	0.00	0.00	0.00	0.00	0.00	0.00	0.00	0.00
			My	0.00	0.00	0.00	0.00	0.00	0.00	0.00	0.00	0.00
			Mz	-17.50	-15.33	-13.15	-10.98	-8.81	-6.63	-4.46	-2.29	-0.11
		1.35·PP+1.5·T3	N	-33.460	-29.322	-25.183	-21.044	-16.906	-12.767	-8.629	-4.490	-0.351
			Vy	-3.476	-3.476	-3.476	-3.476	-3.476	-3.476	-3.476	-3.476	-3.476
			Vz	0.000	0.000	0.000	0.000	0.000	0.000	0.000	0.000	0.000
			Mt	0.00	0.00	0.00	0.00	0.00	0.00	0.00	0.00	0.00
			My	0.00	0.00	0.00	0.00	0.00	0.00	0.00	0.00	0.00
			Mz	-17.49	-15.32	-13.15	-10.98	-8.80	-6.63	-4.46	-2.28	-0.11
		PP+1.5·T1+1.5·T3	N	-24.778	-21.712	-18.647	-15.581	-12.515	-9.450	-6.384	-3.319	-0.253
			Vy	-4.638	-4.638	-4.638	-4.638	-4.638	-4.638	-4.638	-4.638	-4.638
			Vz	0.000	0.000	0.000	0.000	0.000	0.000	0.000	0.000	0.000
			Mt	0.00	0.00	0.00	0.00	0.00	0.00	0.00	0.00	0.00
			My	0.00	0.00	0.00	0.00	0.00	0.00	0.00	0.00	0.00
			Mz	-23.34	-20.44	-17.54	-14.64	-11.74	-8.85	-5.95	-3.05	-0.15
		1.35·PP+1.5·T1+1.5·T3	N	-33.456	-29.317	-25.179	-21.040	-16.902	-12.763	-8.624	-4.486	-0.347
			Vy	-4.637	-4.637	-4.637	-4.637	-4.637	-4.637	-4.637	-4.637	-4.637
			Vz	0.000	0.000	0.000	0.000	0.000	0.000	0.000	0.000	0.000
			Mt	0.00	0.00	0.00	0.00	0.00	0.00	0.00	0.00	0.00
			My	0.00	0.00	0.00	0.00	0.00	0.00	0.00	0.00	0.00
			Mz	-23.33	-20.44	-17.54	-14.64	-11.74	-8.84	-5.95	-3.05	-0.15
		PP+1.5·T2+1.5·T3	N	-24.786	-21.721	-18.655	-15.589	-12.524	-9.458	-6.392	-3.327	-0.261
			Vy	-2.317	-2.317	-2.317	-2.317	-2.317	-2.317	-2.317	-2.317	-2.317
			Vz	0.000	0.000	0.000	0.000	0.000	0.000	0.000	0.000	0.000
			Mt	0.00	0.00	0.00	0.00	0.00	0.00	0.00	0.00	0.00
			My	0.00	0.00	0.00	0.00	0.00	0.00	0.00	0.00	0.00
			Mz	-11.66	-10.21	-8.76	-7.32	-5.87	-4.42	-2.97	-1.52	-0.07
		1.35·PP+1.5·T2+1.5·T3	N	-33.464	-29.326	-25.187	-21.048	-16.910	-12.771	-8.633	-4.494	-0.355
			Vy	-2.316	-2.316	-2.316	-2.316	-2.316	-2.316	-2.316	-2.316	-2.316
			Vz	0.000	0.000	0.000	0.000	0.000	0.000	0.000	0.000	0.000
			Mt	0.00	0.00	0.00	0.00	0.00	0.00	0.00	0.00	0.00
			My	0.00	0.00	0.00	0.00	0.00	0.00	0.00	0.00	0.00
			Mz	-11.65	-10.21	-8.76	-7.31	-5.86	-4.42	-2.97	-1.52	-0.07
		PP+1.5·T1+1.5·T2+1.5·T3	N	-24.782	-21.716	-18.651	-15.585	-12.520	-9.454	-6.388	-3.323	-0.257
			Vy	-3.478	-3.478	-3.478	-3.478	-3.478	-3.478	-3.478	-3.478	-3.478
			Vz	0.000	0.000	0.000	0.000	0.000	0.000	0.000	0.000	0.000
			Mt	0.00	0.00	0.00	0.00	0.00	0.00	0.00	0.00	0.00
			My	0.00	0.00	0.00	0.00	0.00	0.00	0.00	0.00	0.00
			Mz	-17.50	-15.33	-13.15	-10.98	-8.81	-6.63	-4.46	-2.29	-0.11
		1.35·PP+1.5·T1+1.5·T2+1.5·T3	N	-33.460	-29.322	-25.183	-21.044	-16.906	-12.767	-8.629	-4.490	-0.351
			Vy	-3.476	-3.476	-3.476	-3.476	-3.476	-3.476	-3.476	-3.476	-3.476
			Vz	0.000	0.000	0.000	0.000	0.000	0.000	0.000	0.000	0.000
			Mt	0.00	0.00	0.00	0.00	0.00	0.00	0.00	0.00	0.00
			My	0.00	0.00	0.00	0.00	0.00	0.00	0.00	0.00	0.00
			Mz	-17.49	-15.32	-13.15	-10.98	-8.80	-6.63	-4.46	-2.28	-0.11
		PP+1.5·T4	N	-24.807	-21.741	-18.675	-15.610	-12.544	-9.478	-6.413	-3.347	-0.282
			Vy	3.485	3.485	3.485	3.485	3.485	3.485	3.485	3.485	3.485
			Vz	0.000	0.000	0.000	0.000	0.000	0.000	0.000	0.000	0.000
			Mt	0.00	0.00	0.00	0.00	0.00	0.00	0.00	0.00	0.00
			My	0.00	0.00	0.00	0.00	0.00	0.00	0.00	0.00	0.00
			Mz	17.54	15.36	13.18	11.00	8.83	6.65	4.47	2.29	0.11
		1.35·PP+1.5·T4	N	-33.485	-29.346	-25.207	-21.069	-16.930	-12.792	-8.653	-4.514	-0.376
			Vy	3.486	3.486	3.486	3.486	3.486	3.486	3.486	3.486	3.486
			Vz	0.000	0.000	0.000	0.000	0.000	0.000	0.000	0.000	0.000
			Mt	0.00	0.00	0.00	0.00	0.00	0.00	0.00	0.00	0.00
			My	0.00	0.00	0.00	0.00	0.00	0.00	0.00	0.00	0.00
			Mz	17.54	15.37	13.19	11.01	8.83	6.65	4.47	2.29	0.11
		PP+1.5·T1+1.5·T4	N	-24.803	-21.737	-18.671	-15.606	-12.540	-9.474	-6.409	-3.343	-0.278
			Vy	2.324	2.324	2.324	2.324	2.324	2.324	2.324	2.324	2.324
			Vz	0.000	0.000	0.000	0.000	0.000	0.000	0.000	0.000	0.000
			Mt	0.00	0.00	0.00	0.00	0.00	0.00	0.00	0.00	0.00

Esfuerzos en barras, por combinación

Barra	Combinación		Esfuerzo	Posiciones en la barra								
	Tipo	Descripción		0.000 m	0.625 m	1.250 m	1.875 m	2.500 m	3.125 m	3.750 m	4.375 m	5.000 m
			My	0.00	0.00	0.00	0.00	0.00	0.00	0.00	0.00	0.00
			Mz	11.70	10.25	8.79	7.34	5.89	4.43	2.98	1.53	0.07
		1.35·PP+1.5·T1+1.5·T4	N	-33.481	-29.342	-25.203	-21.065	-16.926	-12.788	-8.649	-4.510	-0.372
			Vy	2.326	2.326	2.326	2.326	2.326	2.326	2.326	2.326	2.326
			Vz	0.000	0.000	0.000	0.000	0.000	0.000	0.000	0.000	0.000
			Mt	0.00	0.00	0.00	0.00	0.00	0.00	0.00	0.00	0.00
			My	0.00	0.00	0.00	0.00	0.00	0.00	0.00	0.00	0.00
			Mz	11.70	10.25	8.80	7.34	5.89	4.44	2.98	1.53	0.07
		PP+1.5·T2+1.5·T4	N	-24.811	-21.745	-18.679	-15.614	-12.548	-9.483	-6.417	-3.351	-0.286
			Vy	4.645	4.645	4.645	4.645	4.645	4.645	4.645	4.645	4.645
			Vz	0.000	0.000	0.000	0.000	0.000	0.000	0.000	0.000	0.000
			Mt	0.00	0.00	0.00	0.00	0.00	0.00	0.00	0.00	0.00
			My	0.00	0.00	0.00	0.00	0.00	0.00	0.00	0.00	0.00
			Mz	23.38	20.47	17.57	14.67	11.76	8.86	5.96	3.05	0.15
		1.35·PP+1.5·T2+1.5·T4	N	-33.489	-29.350	-25.212	-21.073	-16.934	-12.796	-8.657	-4.519	-0.380
			Vy	4.647	4.647	4.647	4.647	4.647	4.647	4.647	4.647	4.647
			Vz	0.000	0.000	0.000	0.000	0.000	0.000	0.000	0.000	0.000
			Mt	0.00	0.00	0.00	0.00	0.00	0.00	0.00	0.00	0.00
			My	0.00	0.00	0.00	0.00	0.00	0.00	0.00	0.00	0.00
			Mz	23.38	20.48	17.58	14.67	11.77	8.86	5.96	3.05	0.15
		PP+1.5·T1+1.5·T2+1.5·T4	N	-24.807	-21.741	-18.675	-15.610	-12.544	-9.478	-6.413	-3.347	-0.282
			Vy	3.485	3.485	3.485	3.485	3.485	3.485	3.485	3.485	3.485
			Vz	0.000	0.000	0.000	0.000	0.000	0.000	0.000	0.000	0.000
			Mt	0.00	0.00	0.00	0.00	0.00	0.00	0.00	0.00	0.00
			My	0.00	0.00	0.00	0.00	0.00	0.00	0.00	0.00	0.00
			Mz	17.54	15.36	13.18	11.00	8.83	6.65	4.47	2.29	0.11
		1.35·PP+1.5·T1+1.5·T2+1.5·T4	N	-33.485	-29.346	-25.207	-21.069	-16.930	-12.792	-8.653	-4.514	-0.376
			Vy	3.486	3.486	3.486	3.486	3.486	3.486	3.486	3.486	3.486
			Vz	0.000	0.000	0.000	0.000	0.000	0.000	0.000	0.000	0.000
			Mt	0.00	0.00	0.00	0.00	0.00	0.00	0.00	0.00	0.00
			My	0.00	0.00	0.00	0.00	0.00	0.00	0.00	0.00	0.00
			Mz	17.54	15.37	13.19	11.01	8.83	6.65	4.47	2.29	0.11
		PP+1.5·T3+1.5·T4	N	-24.794	-21.729	-18.663	-15.597	-12.532	-9.466	-6.401	-3.335	-0.269
			Vy	0.004	0.004	0.004	0.004	0.004	0.004	0.004	0.004	0.004
			Vz	0.000	0.000	0.000	0.000	0.000	0.000	0.000	0.000	0.000
			Mt	0.00	0.00	0.00	0.00	0.00	0.00	0.00	0.00	0.00
			My	0.00	0.00	0.00	0.00	0.00	0.00	0.00	0.00	0.00
			Mz	0.02	0.02	0.01	0.01	0.01	0.01	0.00	0.00	0.00
		1.35·PP+1.5·T3+1.5·T4	N	-33.472	-29.334	-25.195	-21.057	-16.918	-12.779	-8.641	-4.502	-0.364
			Vy	0.005	0.005	0.005	0.005	0.005	0.005	0.005	0.005	0.005
			Vz	0.000	0.000	0.000	0.000	0.000	0.000	0.000	0.000	0.000
			Mt	0.00	0.00	0.00	0.00	0.00	0.00	0.00	0.00	0.00
			My	0.00	0.00	0.00	0.00	0.00	0.00	0.00	0.00	0.00
			Mz	0.03	0.02	0.02	0.02	0.01	0.01	0.01	0.00	0.00
		PP+1.5·T1+1.5·T3+1.5·T4	N	-24.790	-21.725	-18.659	-15.593	-12.528	-9.462	-6.397	-3.331	-0.265
			Vy	-1.157	-1.157	-1.157	-1.157	-1.157	-1.157	-1.157	-1.157	-1.157
			Vz	0.000	0.000	0.000	0.000	0.000	0.000	0.000	0.000	0.000
			Mt	0.00	0.00	0.00	0.00	0.00	0.00	0.00	0.00	0.00
			My	0.00	0.00	0.00	0.00	0.00	0.00	0.00	0.00	0.00
			Mz	-5.82	-5.10	-4.38	-3.65	-2.93	-2.21	-1.48	-0.76	-0.04
		1.35·PP+1.5·T1+1.5·T3+1.5·T4	N	-33.468	-29.330	-25.191	-21.052	-16.914	-12.775	-8.637	-4.498	-0.360
			Vy	-1.156	-1.156	-1.156	-1.156	-1.156	-1.156	-1.156	-1.156	-1.156
			Vz	0.000	0.000	0.000	0.000	0.000	0.000	0.000	0.000	0.000
			Mt	0.00	0.00	0.00	0.00	0.00	0.00	0.00	0.00	0.00
			My	0.00	0.00	0.00	0.00	0.00	0.00	0.00	0.00	0.00
			Mz	-5.81	-5.09	-4.37	-3.65	-2.93	-2.20	-1.48	-0.76	-0.04
		PP+1.5·T2+1.5·T3+1.5·T4	N	-24.798	-21.733	-18.667	-15.602	-12.536	-9.470	-6.405	-3.339	-0.273
			Vy	1.164	1.164	1.164	1.164	1.164	1.164	1.164	1.164	1.164
			Vz	0.000	0.000	0.000	0.000	0.000	0.000	0.000	0.000	0.000
			Mt	0.00	0.00	0.00	0.00	0.00	0.00	0.00	0.00	0.00
			My	0.00	0.00	0.00	0.00	0.00	0.00	0.00	0.00	0.00
			Mz	5.86	5.13	4.40	3.68	2.95	2.22	1.49	0.77	0.04
		1.35·PP+1.5·T2+1.5·T3+1.5·T4	N	-33.476	-29.338	-25.199	-21.061	-16.922	-12.783	-8.645	-4.506	-0.368
			Vy	1.165	1.165	1.165	1.165	1.165	1.165	1.165	1.165	1.165
			Vz	0.000	0.000	0.000	0.000	0.000	0.000	0.000	0.000	0.000
			Mt	0.00	0.00	0.00	0.00	0.00	0.00	0.00	0.00	0.00
			My	0.00	0.00	0.00	0.00	0.00	0.00	0.00	0.00	0.00
			Mz	5.86	5.14	4.41	3.68	2.95	2.22	1.49	0.77	0.04
		PP+1.5·T1+1.5·T2+1.5·T3+1.5·T4	N	-24.794	-21.729	-18.663	-15.597	-12.532	-9.466	-6.401	-3.335	-0.269
			Vy	0.004	0.004	0.004	0.004	0.004	0.004	0.004	0.004	0.004
			Vz	0.000	0.000	0.000	0.000	0.000	0.000	0.000	0.000	0.000
			Mt	0.00	0.00	0.00	0.00	0.00	0.00	0.00	0.00	0.00
			My	0.00	0.00	0.00	0.00	0.00	0.00	0.00	0.00	0.00
			Mz	0.02	0.02	0.01	0.01	0.01	0.01	0.00	0.00	0.00
		1.35·PP+1.5·T1+1.5·T2+1.5·T3+1.5·T4	N	-33.472	-29.334	-25.195	-21.057	-16.918	-12.779	-8.641	-4.502	-0.364
			Vy	0.005	0.005	0.005	0.005	0.005	0.005	0.005	0.005	0.005
			Vz	0.000	0.000	0.000	0.000	0.000	0.000	0.000	0.000	0.000
			Mt	0.00	0.00	0.00	0.00	0.00	0.00	0.00	0.00	0.00
			My	0.00	0.00	0.00	0.00	0.00	0.00	0.00	0.00	0.00
			Mz	0.03	0.02	0.02	0.02	0.01	0.01	0.01	0.00	0.00

Esfuerzos en barras, por combinación

Barra	Combinación		Esfuerzo	Posiciones en la barra								
	Tipo	Descripción		0.000 m	0.200 m	0.400 m	0.800 m	1.000 m	1.200 m	1.600 m	1.800 m	2.000 m
N17/N32	Hormigón	PP	N	-48.334	-47.353	-46.372	-44.410	-43.429	-42.448	-40.486	-39.505	-38.524
			Vy	-0.388	-0.388	-0.388	-0.388	-0.388	-0.388	-0.388	-0.388	-0.388
			Vz	0.000	0.000	0.000	0.000	0.000	0.000	0.000	0.000	0.000
			Mt	0.00	0.00	0.00	0.00	0.00	0.00	0.00	0.00	0.00
			My	0.00	0.00	0.00	0.00	0.00	0.00	0.00	0.00	0.00
			Mz	-0.43	-0.36	-0.28	-0.12	-0.05	0.03	0.19	0.26	0.34
		1.35·PP	N	-65.251	-63.927	-62.602	-59.954	-58.629	-57.305	-54.656	-53.332	-52.008
			Vy	-0.524	-0.524	-0.524	-0.524	-0.524	-0.524	-0.524	-0.524	-0.524
			Vz	0.000	0.000	0.000	0.000	0.000	0.000	0.000	0.000	0.000
			Mt	0.00	0.00	0.00	0.00	0.00	0.00	0.00	0.00	0.00
			My	0.00	0.00	0.00	0.00	0.00	0.00	0.00	0.00	0.00
			Mz	-0.59	-0.48	-0.38	-0.17	-0.06	0.04	0.25	0.36	0.46
		PP+1.5·T1	N	-44.342	-43.361	-42.380	-40.418	-39.437	-38.456	-36.494	-35.513	-34.532
			Vy	61.749	61.749	61.749	61.749	61.749	61.749	61.749	61.749	61.749
			Vz	0.000	0.000	0.000	0.000	0.000	0.000	0.000	0.000	0.000
			Mt	0.00	0.00	0.00	0.00	0.00	0.00	0.00	0.00	0.00
			My	0.00	0.00	0.00	0.00	0.00	0.00	0.00	0.00	0.00
			Mz	79.73	67.38	55.03	30.33	17.98	5.63	-19.07	-31.42	-43.77
		1.35·PP+1.5·T1	N	-61.259	-59.934	-58.610	-55.961	-54.637	-53.313	-50.664	-49.340	-48.015
			Vy	61.613	61.613	61.613	61.613	61.613	61.613	61.613	61.613	61.613
			Vz	0.000	0.000	0.000	0.000	0.000	0.000	0.000	0.000	0.000
			Mt	0.00	0.00	0.00	0.00	0.00	0.00	0.00	0.00	0.00
			My	0.00	0.00	0.00	0.00	0.00	0.00	0.00	0.00	0.00
			Mz	79.58	67.25	54.93	30.29	17.96	5.64	-19.01	-31.33	-43.65
		PP+1.5·T2	N	-52.326	-51.345	-50.364	-48.402	-47.421	-46.440	-44.478	-43.497	-42.516
			Vy	-62.524	-62.524	-62.524	-62.524	-62.524	-62.524	-62.524	-62.524	-62.524
			Vz	0.000	0.000	0.000	0.000	0.000	0.000	0.000	0.000	0.000
			Mt	0.00	0.00	0.00	0.00	0.00	0.00	0.00	0.00	0.00
			My	0.00	0.00	0.00	0.00	0.00	0.00	0.00	0.00	0.00
			Mz	-80.59	-68.09	-55.58	-30.57	-18.07	-5.57	19.44	31.95	44.45
		1.35·PP+1.5·T2	N	-69.243	-67.919	-66.595	-63.946	-62.622	-61.297	-58.648	-57.324	-56.000
			Vy	-62.660	-62.660	-62.660	-62.660	-62.660	-62.660	-62.660	-62.660	-62.660
			Vz	0.000	0.000	0.000	0.000	0.000	0.000	0.000	0.000	0.000
			Mt	0.00	0.00	0.00	0.00	0.00	0.00	0.00	0.00	0.00
			My	0.00	0.00	0.00	0.00	0.00	0.00	0.00	0.00	0.00
			Mz	-80.75	-68.21	-55.68	-30.62	-18.09	-5.55	19.51	32.04	44.57
		PP+1.5·T1+1.5·T2	N	-48.334	-47.353	-46.372	-44.410	-43.429	-42.448	-40.486	-39.505	-38.524
			Vy	-0.388	-0.388	-0.388	-0.388	-0.388	-0.388	-0.388	-0.388	-0.388
			Vz	0.000	0.000	0.000	0.000	0.000	0.000	0.000	0.000	0.000
			Mt	0.00	0.00	0.00	0.00	0.00	0.00	0.00	0.00	0.00
			My	0.00	0.00	0.00	0.00	0.00	0.00	0.00	0.00	0.00
			Mz	-0.43	-0.36	-0.28	-0.12	-0.05	0.03	0.19	0.26	0.34
		1.35·PP+1.5·T1+1.5·T2	N	-65.251	-63.927	-62.602	-59.954	-58.629	-57.305	-54.656	-53.332	-52.008
			Vy	-0.524	-0.524	-0.524	-0.524	-0.524	-0.524	-0.524	-0.524	-0.524
			Vz	0.000	0.000	0.000	0.000	0.000	0.000	0.000	0.000	0.000
			Mt	0.00	0.00	0.00	0.00	0.00	0.00	0.00	0.00	0.00
			My	0.00	0.00	0.00	0.00	0.00	0.00	0.00	0.00	0.00
			Mz	-0.59	-0.48	-0.38	-0.17	-0.06	0.04	0.25	0.36	0.46
		PP+1.5·T3	N	-36.357	-35.376	-34.395	-32.433	-31.452	-30.471	-28.509	-27.528	-26.547
			Vy	186.022	186.022	186.022	186.022	186.022	186.022	186.022	186.022	186.022
			Vz	0.000	0.000	0.000	0.000	0.000	0.000	0.000	0.000	0.000
			Mt	0.00	0.00	0.00	0.00	0.00	0.00	0.00	0.00	0.00
			My	0.00	0.00	0.00	0.00	0.00	0.00	0.00	0.00	0.00
			Mz	240.05	202.84	165.64	91.23	54.03	16.82	-57.59	-94.79	-131.99
		1.35·PP+1.5·T3	N	-53.274	-51.950	-50.625	-47.977	-46.652	-45.328	-42.679	-41.355	-40.031
			Vy	185.886	185.886	185.886	185.886	185.886	185.886	185.886	185.886	185.886
			Vz	0.000	0.000	0.000	0.000	0.000	0.000	0.000	0.000	0.000
			Mt	0.00	0.00	0.00	0.00	0.00	0.00	0.00	0.00	0.00
			My	0.00	0.00	0.00	0.00	0.00	0.00	0.00	0.00	0.00
			Mz	239.90	202.72	165.54	91.19	54.01	16.83	-57.52	-94.70	-131.88
		PP+1.5·T1+1.5·T3	N	-32.365	-31.384	-30.403	-28.441	-27.460	-26.479	-24.517	-23.536	-22.555
			Vy	248.159	248.159	248.159	248.159	248.159	248.159	248.159	248.159	248.159
			Vz	0.000	0.000	0.000	0.000	0.000	0.000	0.000	0.000	0.000
			Mt	0.00	0.00	0.00	0.00	0.00	0.00	0.00	0.00	0.00
			My	0.00	0.00	0.00	0.00	0.00	0.00	0.00	0.00	0.00
			Mz	320.21	270.58	220.95	121.68	72.05	22.42	-76.84	-126.48	-176.11
		1.35·PP+1.5·T1+1.5·T3	N	-49.282	-47.958	-46.633	-43.985	-42.660	-41.336	-38.687	-37.363	-36.038
			Vy	248.023	248.023	248.023	248.023	248.023	248.023	248.023	248.023	248.023
			Vz	0.000	0.000	0.000	0.000	0.000	0.000	0.000	0.000	0.000
			Mt	0.00	0.00	0.00	0.00	0.00	0.00	0.00	0.00	0.00
			My	0.00	0.00	0.00	0.00	0.00	0.00	0.00	0.00	0.00
			Mz	320.06	270.45	220.85	121.64	72.04	22.43	-76.78	-126.38	-175.99
		PP+1.5·T2+1.5·T3	N	-40.350	-39.369	-38.388	-36.426	-35.445	-34.464	-32.502	-31.521	-30.540
			Vy	123.885	123.885	123.885	123.885	123.885	123.885	123.885	123.885	123.885
			Vz	0.000	0.000	0.000	0.000	0.000	0.000	0.000	0.000	0.000
			Mt	0.00	0.00	0.00	0.00	0.00	0.00	0.00	0.00	0.00
			My	0.00	0.00	0.00	0.00	0.00	0.00	0.00	0.00	0.00
			Mz	159.89	135.11	110.33	60.78	36.00	11.23	-38.33	-63.11	-87.88
		1.35·PP+1.5·T2+1.5·T3	N	-57.266	-55.942	-54.618	-51.969	-50.645	-49.320	-46.672	-45.347	-44.023
			Vy	123.750	123.750	123.750	123.750	123.750	123.750	123.750	123.750	123.750
			Vz	0.000	0.000	0.000	0.000	0.000	0.000	0.000	0.000	0.000
			Mt	0.00	0.00	0.00	0.00	0.00	0.00	0.00	0.00	0.00
			My	0.00	0.00	0.00	0.00	0.00	0.00	0.00	0.00	0.00

Esfuerzos en barras, por combinación

Barra	Combinación		Esfuerzo	Posiciones en la barra								
	Tipo	Descripción		0.000 m	0.200 m	0.400 m	0.800 m	1.000 m	1.200 m	1.600 m	1.800 m	2.000 m
			Mz	159.74	134.99	110.24	60.74	35.99	11.24	-38.26	-63.01	-87.76
		PP+1.5·T1+1.5·T2+1.5·T3	N	-36.357	-35.376	-34.395	-32.433	-31.452	-30.471	-28.509	-27.528	-26.547
			Vy	186.022	186.022	186.022	186.022	186.022	186.022	186.022	186.022	186.022
			Vz	0.000	0.000	0.000	0.000	0.000	0.000	0.000	0.000	0.000
			Mt	0.00	0.00	0.00	0.00	0.00	0.00	0.00	0.00	0.00
			My	0.00	0.00	0.00	0.00	0.00	0.00	0.00	0.00	0.00
			Mz	240.05	202.84	165.64	91.23	54.03	16.82	-57.59	-94.79	-131.99
		1.35·PP+1.5·T1+1.5·T2+1.5·T3	N	-53.274	-51.950	-50.625	-47.977	-46.652	-45.328	-42.679	-41.355	-40.031
			Vy	185.886	185.886	185.886	185.886	185.886	185.886	185.886	185.886	185.886
			Vz	0.000	0.000	0.000	0.000	0.000	0.000	0.000	0.000	0.000
			Mt	0.00	0.00	0.00	0.00	0.00	0.00	0.00	0.00	0.00
			My	0.00	0.00	0.00	0.00	0.00	0.00	0.00	0.00	0.00
			Mz	239.90	202.72	165.54	91.19	54.01	16.83	-57.52	-94.70	-131.88
		PP+1.5·T4	N	-60.311	-59.330	-58.349	-56.387	-55.406	-54.425	-52.463	-51.482	-50.501
			Vy	-186.798	-186.798	-186.798	-186.798	-186.798	-186.798	-186.798	-186.798	-186.798
			Vz	0.000	0.000	0.000	0.000	0.000	0.000	0.000	0.000	0.000
			Mt	0.00	0.00	0.00	0.00	0.00	0.00	0.00	0.00	0.00
			My	0.00	0.00	0.00	0.00	0.00	0.00	0.00	0.00	0.00
			Mz	-240.92	-203.56	-166.20	-91.48	-54.12	-16.76	57.96	95.32	132.68
		1.35·PP+1.5·T4	N	-77.228	-75.904	-74.579	-71.930	-70.606	-69.282	-66.633	-65.309	-63.984
			Vy	-186.933	-186.933	-186.933	-186.933	-186.933	-186.933	-186.933	-186.933	-186.933
			Vz	0.000	0.000	0.000	0.000	0.000	0.000	0.000	0.000	0.000
			Mt	0.00	0.00	0.00	0.00	0.00	0.00	0.00	0.00	0.00
			My	0.00	0.00	0.00	0.00	0.00	0.00	0.00	0.00	0.00
			Mz	-241.07	-203.68	-166.29	-91.52	-54.13	-16.75	58.03	95.41	132.80
		PP+1.5·T1+1.5·T4	N	-56.319	-55.338	-54.357	-52.395	-51.414	-50.433	-48.471	-47.490	-46.509
			Vy	-124.661	-124.661	-124.661	-124.661	-124.661	-124.661	-124.661	-124.661	-124.661
			Vz	0.000	0.000	0.000	0.000	0.000	0.000	0.000	0.000	0.000
			Mt	0.00	0.00	0.00	0.00	0.00	0.00	0.00	0.00	0.00
			My	0.00	0.00	0.00	0.00	0.00	0.00	0.00	0.00	0.00
			Mz	-160.76	-135.82	-110.89	-61.03	-36.09	-11.16	38.70	63.63	88.57
		1.35·PP+1.5·T1+1.5·T4	N	-73.236	-71.911	-70.587	-67.938	-66.614	-65.289	-62.641	-61.316	-59.992
			Vy	-124.797	-124.797	-124.797	-124.797	-124.797	-124.797	-124.797	-124.797	-124.797
			Vz	0.000	0.000	0.000	0.000	0.000	0.000	0.000	0.000	0.000
			Mt	0.00	0.00	0.00	0.00	0.00	0.00	0.00	0.00	0.00
			My	0.00	0.00	0.00	0.00	0.00	0.00	0.00	0.00	0.00
			Mz	-160.91	-135.95	-110.99	-61.07	-36.11	-11.15	38.77	63.73	88.69
		PP+1.5·T2+1.5·T4	N	-64.303	-63.322	-62.341	-60.379	-59.398	-58.417	-56.455	-55.474	-54.493
			Vy	-248.934	-248.934	-248.934	-248.934	-248.934	-248.934	-248.934	-248.934	-248.934
			Vz	0.000	0.000	0.000	0.000	0.000	0.000	0.000	0.000	0.000
			Mt	0.00	0.00	0.00	0.00	0.00	0.00	0.00	0.00	0.00
			My	0.00	0.00	0.00	0.00	0.00	0.00	0.00	0.00	0.00
			Mz	-321.08	-271.29	-221.50	-121.93	-72.14	-22.36	77.22	127.00	176.79
		1.35·PP+1.5·T2+1.5·T4	N	-81.220	-79.896	-78.571	-75.923	-74.598	-73.274	-70.625	-69.301	-67.977
			Vy	-249.070	-249.070	-249.070	-249.070	-249.070	-249.070	-249.070	-249.070	-249.070
			Vz	0.000	0.000	0.000	0.000	0.000	0.000	0.000	0.000	0.000
			Mt	0.00	0.00	0.00	0.00	0.00	0.00	0.00	0.00	0.00
			My	0.00	0.00	0.00	0.00	0.00	0.00	0.00	0.00	0.00
			Mz	-321.23	-271.41	-221.60	-121.97	-72.16	-22.34	77.28	127.10	176.91
		PP+1.5·T1+1.5·T2+1.5·T4	N	-60.311	-59.330	-58.349	-56.387	-55.406	-54.425	-52.463	-51.482	-50.501
			Vy	-186.798	-186.798	-186.798	-186.798	-186.798	-186.798	-186.798	-186.798	-186.798
			Vz	0.000	0.000	0.000	0.000	0.000	0.000	0.000	0.000	0.000
			Mt	0.00	0.00	0.00	0.00	0.00	0.00	0.00	0.00	0.00
			My	0.00	0.00	0.00	0.00	0.00	0.00	0.00	0.00	0.00
			Mz	-240.92	-203.56	-166.20	-91.48	-54.12	-16.76	57.96	95.32	132.68
		1.35·PP+1.5·T1+1.5·T2+1.5·T4	N	-77.228	-75.904	-74.579	-71.930	-70.606	-69.282	-66.633	-65.309	-63.984
			Vy	-186.933	-186.933	-186.933	-186.933	-186.933	-186.933	-186.933	-186.933	-186.933
			Vz	0.000	0.000	0.000	0.000	0.000	0.000	0.000	0.000	0.000
			Mt	0.00	0.00	0.00	0.00	0.00	0.00	0.00	0.00	0.00
			My	0.00	0.00	0.00	0.00	0.00	0.00	0.00	0.00	0.00
			Mz	-241.07	-203.68	-166.29	-91.52	-54.13	-16.75	58.03	95.41	132.80
		PP+1.5·T3+1.5·T4	N	-48.334	-47.353	-46.372	-44.410	-43.429	-42.448	-40.486	-39.505	-38.524
			Vy	-0.388	-0.388	-0.388	-0.388	-0.388	-0.388	-0.388	-0.388	-0.388
			Vz	0.000	0.000	0.000	0.000	0.000	0.000	0.000	0.000	0.000
			Mt	0.00	0.00	0.00	0.00	0.00	0.00	0.00	0.00	0.00
			My	0.00	0.00	0.00	0.00	0.00	0.00	0.00	0.00	0.00
			Mz	-0.43	-0.36	-0.28	-0.12	-0.05	0.03	0.19	0.26	0.34
		1.35·PP+1.5·T3+1.5·T4	N	-65.251	-63.927	-62.602	-59.954	-58.629	-57.305	-54.656	-53.332	-52.008
			Vy	-0.524	-0.524	-0.524	-0.524	-0.524	-0.524	-0.524	-0.524	-0.524
			Vz	0.000	0.000	0.000	0.000	0.000	0.000	0.000	0.000	0.000
			Mt	0.00	0.00	0.00	0.00	0.00	0.00	0.00	0.00	0.00
			My	0.00	0.00	0.00	0.00	0.00	0.00	0.00	0.00	0.00
			Mz	-0.59	-0.48	-0.38	-0.17	-0.06	0.04	0.25	0.36	0.46
		PP+1.5·T1+1.5·T3+1.5·T4	N	-44.342	-43.361	-42.380	-40.418	-39.437	-38.456	-36.494	-35.513	-34.532
			Vy	61.749	61.749	61.749	61.749	61.749	61.749	61.749	61.749	61.749
			Vz	0.000	0.000	0.000	0.000	0.000	0.000	0.000	0.000	0.000
			Mt	0.00	0.00	0.00	0.00	0.00	0.00	0.00	0.00	0.00
			My	0.00	0.00	0.00	0.00	0.00	0.00	0.00	0.00	0.00
			Mz	79.73	67.38	55.03	30.33	17.98	5.63	-19.07	-31.42	-43.77
		1.35·PP+1.5·T1+1.5·T3+1.5·T4	N	-61.259	-59.934	-58.610	-55.961	-54.637	-53.313	-50.664	-49.340	-48.015
			Vy	61.613	61.613	61.613	61.613	61.613	61.613	61.613	61.613	61.613
			Vz	0.000	0.000	0.000	0.000	0.000	0.000	0.000	0.000	0.000
			Mt	0.00	0.00	0.00	0.00	0.00	0.00	0.00	0.00	0.00

Esfuerzos en barras, por combinación												
Barra	Combinación		Esfuerzo	Posiciones en la barra								
	Tipo	Descripción		0.000 m	0.200 m	0.400 m	0.800 m	1.000 m	1.200 m	1.600 m	1.800 m	2.000 m
			My	0.00	0.00	0.00	0.00	0.00	0.00	0.00	0.00	0.00
			Mz	79.58	67.25	54.93	30.29	17.96	5.64	-19.01	-31.33	-43.65
		PP+1.5·T2+1.5·T3+1.5·T4	N	-52.326	-51.345	-50.364	-48.402	-47.421	-46.440	-44.478	-43.497	-42.516
			Vy	-62.524	-62.524	-62.524	-62.524	-62.524	-62.524	-62.524	-62.524	-62.524
			Vz	0.000	0.000	0.000	0.000	0.000	0.000	0.000	0.000	0.000
			Mt	0.00	0.00	0.00	0.00	0.00	0.00	0.00	0.00	0.00
			My	0.00	0.00	0.00	0.00	0.00	0.00	0.00	0.00	0.00
			Mz	-80.59	-68.09	-55.58	-30.57	-18.07	-5.57	19.44	31.95	44.45
		1.35·PP+1.5·T2+1.5·T3+1.5·T4	N	-69.243	-67.919	-66.595	-63.946	-62.622	-61.297	-58.648	-57.324	-56.000
			Vy	-62.660	-62.660	-62.660	-62.660	-62.660	-62.660	-62.660	-62.660	-62.660
			Vz	0.000	0.000	0.000	0.000	0.000	0.000	0.000	0.000	0.000
			Mt	0.00	0.00	0.00	0.00	0.00	0.00	0.00	0.00	0.00
			My	0.00	0.00	0.00	0.00	0.00	0.00	0.00	0.00	0.00
			Mz	-80.75	-68.21	-55.68	-30.62	-18.09	-5.55	19.51	32.04	44.57
		PP+1.5·T1+1.5·T2+1.5·T3+1.5·T4	N	-48.334	-47.353	-46.372	-44.410	-43.429	-42.448	-40.486	-39.505	-38.524
			Vy	-0.388	-0.388	-0.388	-0.388	-0.388	-0.388	-0.388	-0.388	-0.388
			Vz	0.000	0.000	0.000	0.000	0.000	0.000	0.000	0.000	0.000
			Mt	0.00	0.00	0.00	0.00	0.00	0.00	0.00	0.00	0.00
			My	0.00	0.00	0.00	0.00	0.00	0.00	0.00	0.00	0.00
			Mz	-0.43	-0.36	-0.28	-0.12	-0.05	0.03	0.19	0.26	0.34
		1.35·PP+1.5·T1+1.5·T2+1.5·T3+1.5·T4	N	-65.251	-63.927	-62.602	-59.954	-58.629	-57.305	-54.656	-53.332	-52.008
			Vy	-0.524	-0.524	-0.524	-0.524	-0.524	-0.524	-0.524	-0.524	-0.524
			Vz	0.000	0.000	0.000	0.000	0.000	0.000	0.000	0.000	0.000
			Mt	0.00	0.00	0.00	0.00	0.00	0.00	0.00	0.00	0.00
			My	0.00	0.00	0.00	0.00	0.00	0.00	0.00	0.00	0.00
			Mz	-0.59	-0.48	-0.38	-0.17	-0.06	0.04	0.25	0.36	0.46

Esfuerzos en barras, por combinación												
Barra	Combinación		Esfuerzo	Posiciones en la barra								
	Tipo	Descripción		0.000 m	0.625 m	1.250 m	1.875 m	2.500 m	3.125 m	3.750 m	4.375 m	5.000 m
N32/N18	Hormigón	PP	N	-24.794	-21.728	-18.662	-15.597	-12.531	-9.465	-6.400	-3.334	-0.269
			Vy	-0.006	-0.006	-0.006	-0.006	-0.006	-0.006	-0.006	-0.006	-0.006
			Vz	0.000	0.000	0.000	0.000	0.000	0.000	0.000	0.000	0.000
			Mt	0.00	0.00	0.00	0.00	0.00	0.00	0.00	0.00	0.00
			My	0.00	0.00	0.00	0.00	0.00	0.00	0.00	0.00	0.00
			Mz	-0.03	-0.03	-0.02	-0.02	-0.01	-0.01	-0.01	0.00	0.00
		1.35·PP	N	-33.471	-29.333	-25.194	-21.056	-16.917	-12.778	-8.640	-4.501	-0.363
			Vy	-0.008	-0.008	-0.008	-0.008	-0.008	-0.008	-0.008	-0.008	-0.008
			Vz	0.000	0.000	0.000	0.000	0.000	0.000	0.000	0.000	0.000
			Mt	0.00	0.00	0.00	0.00	0.00	0.00	0.00	0.00	0.00
			My	0.00	0.00	0.00	0.00	0.00	0.00	0.00	0.00	0.00
			Mz	-0.04	-0.03	-0.03	-0.02	-0.02	-0.02	-0.01	-0.01	0.00
		PP+1.5·T1	N	-24.797	-21.732	-18.666	-15.601	-12.535	-9.469	-6.404	-3.338	-0.272
			Vy	-2.183	-2.183	-2.183	-2.183	-2.183	-2.183	-2.183	-2.183	-2.183
			Vz	0.000	0.000	0.000	0.000	0.000	0.000	0.000	0.000	0.000
			Mt	0.00	0.00	0.00	0.00	0.00	0.00	0.00	0.00	0.00
			My	0.00	0.00	0.00	0.00	0.00	0.00	0.00	0.00	0.00
			Mz	-10.96	-9.59	-8.23	-6.86	-5.50	-4.13	-2.77	-1.41	-0.04
		1.35·PP+1.5·T1	N	-33.475	-29.337	-25.198	-21.059	-16.921	-12.782	-8.644	-4.505	-0.366
			Vy	-2.185	-2.185	-2.185	-2.185	-2.185	-2.185	-2.185	-2.185	-2.185
			Vz	0.000	0.000	0.000	0.000	0.000	0.000	0.000	0.000	0.000
			Mt	0.00	0.00	0.00	0.00	0.00	0.00	0.00	0.00	0.00
			My	0.00	0.00	0.00	0.00	0.00	0.00	0.00	0.00	0.00
			Mz	-10.97	-9.60	-8.23	-6.87	-5.50	-4.14	-2.77	-1.41	-0.04
		PP+1.5·T2	N	-24.790	-21.724	-18.659	-15.593	-12.527	-9.462	-6.396	-3.330	-0.265
			Vy	2.171	2.171	2.171	2.171	2.171	2.171	2.171	2.171	2.171
			Vz	0.000	0.000	0.000	0.000	0.000	0.000	0.000	0.000	0.000
			Mt	0.00	0.00	0.00	0.00	0.00	0.00	0.00	0.00	0.00
			My	0.00	0.00	0.00	0.00	0.00	0.00	0.00	0.00	0.00
			Mz	10.90	9.54	8.18	6.83	5.47	4.11	2.76	1.40	0.04
		1.35·PP+1.5·T2	N	-33.468	-29.329	-25.190	-21.052	-16.913	-12.775	-8.636	-4.497	-0.359
			Vy	2.169	2.169	2.169	2.169	2.169	2.169	2.169	2.169	2.169
			Vz	0.000	0.000	0.000	0.000	0.000	0.000	0.000	0.000	0.000
			Mt	0.00	0.00	0.00	0.00	0.00	0.00	0.00	0.00	0.00
			My	0.00	0.00	0.00	0.00	0.00	0.00	0.00	0.00	0.00
			Mz	10.89	9.53	8.18	6.82	5.46	4.11	2.75	1.40	0.04
		PP+1.5·T1+1.5·T2	N	-24.794	-21.728	-18.662	-15.597	-12.531	-9.465	-6.400	-3.334	-0.269
			Vy	-0.006	-0.006	-0.006	-0.006	-0.006	-0.006	-0.006	-0.006	-0.006
			Vz	0.000	0.000	0.000	0.000	0.000	0.000	0.000	0.000	0.000
			Mt	0.00	0.00	0.00	0.00	0.00	0.00	0.00	0.00	0.00
			My	0.00	0.00	0.00	0.00	0.00	0.00	0.00	0.00	0.00
			Mz	-0.03	-0.03	-0.02	-0.02	-0.01	-0.01	-0.01	0.00	0.00
		1.35·PP+1.5·T1+1.5·T2	N	-33.471	-29.333	-25.194	-21.056	-16.917	-12.778	-8.640	-4.501	-0.363
			Vy	-0.008	-0.008	-0.008	-0.008	-0.008	-0.008	-0.008	-0.008	-0.008
			Vz	0.000	0.000	0.000	0.000	0.000	0.000	0.000	0.000	0.000
			Mt	0.00	0.00	0.00	0.00	0.00	0.00	0.00	0.00	0.00
			My	0.00	0.00	0.00	0.00	0.00	0.00	0.00	0.00	0.00
			Mz	-0.04	-0.03	-0.03	-0.02	-0.02	-0.02	-0.01	-0.01	0.00
		PP+1.5·T3	N	-24.805	-21.739	-18.674	-15.608	-12.543	-9.477	-6.411	-3.346	-0.280
			Vy	-6.536	-6.536	-6.536	-6.536	-6.536	-6.536	-6.536	-6.536	-6.536

Esfuerzos en barras, por combinación

Barra	Combinación		Esfuerzo	Posiciones en la barra								
	Tipo	Descripción		0.000 m	0.625 m	1.250 m	1.875 m	2.500 m	3.125 m	3.750 m	4.375 m	5.000 m
			Vz	0.000	0.000	0.000	0.000	0.000	0.000	0.000	0.000	0.000
			Mt	0.00	0.00	0.00	0.00	0.00	0.00	0.00	0.00	0.00
			My	0.00	0.00	0.00	0.00	0.00	0.00	0.00	0.00	0.00
			Mz	-32.81	-28.72	-24.64	-20.55	-16.47	-12.38	-8.30	-4.21	-0.13
		1.35·PP+1.5·T3	N	-33.483	-29.344	-25.206	-21.067	-16.928	-12.790	-8.651	-4.513	-0.374
			Vy	-6.538	-6.538	-6.538	-6.538	-6.538	-6.538	-6.538	-6.538	-6.538
			Vz	0.000	0.000	0.000	0.000	0.000	0.000	0.000	0.000	0.000
			Mt	0.00	0.00	0.00	0.00	0.00	0.00	0.00	0.00	0.00
			My	0.00	0.00	0.00	0.00	0.00	0.00	0.00	0.00	0.00
			Mz	-32.82	-28.73	-24.65	-20.56	-16.47	-12.39	-8.30	-4.21	-0.13
		PP+1.5·T1+1.5·T3	N	-24.809	-21.743	-18.678	-15.612	-12.546	-9.481	-6.415	-3.350	-0.284
			Vy	-8.713	-8.713	-8.713	-8.713	-8.713	-8.713	-8.713	-8.713	-8.713
			Vz	0.000	0.000	0.000	0.000	0.000	0.000	0.000	0.000	0.000
			Mt	0.00	0.00	0.00	0.00	0.00	0.00	0.00	0.00	0.00
			My	0.00	0.00	0.00	0.00	0.00	0.00	0.00	0.00	0.00
			Mz	-43.73	-38.29	-32.84	-27.40	-21.95	-16.51	-11.06	-5.61	-0.17
		1.35·PP+1.5·T1+1.5·T3	N	-33.487	-29.348	-25.209	-21.071	-16.932	-12.794	-8.655	-4.516	-0.378
			Vy	-8.715	-8.715	-8.715	-8.715	-8.715	-8.715	-8.715	-8.715	-8.715
			Vz	0.000	0.000	0.000	0.000	0.000	0.000	0.000	0.000	0.000
			Mt	0.00	0.00	0.00	0.00	0.00	0.00	0.00	0.00	0.00
			My	0.00	0.00	0.00	0.00	0.00	0.00	0.00	0.00	0.00
			Mz	-43.74	-38.30	-32.85	-27.40	-21.96	-16.51	-11.06	-5.61	-0.17
		PP+1.5·T2+1.5·T3	N	-24.801	-21.736	-18.670	-15.604	-12.539	-9.473	-6.408	-3.342	-0.276
			Vy	-4.360	-4.360	-4.360	-4.360	-4.360	-4.360	-4.360	-4.360	-4.360
			Vz	0.000	0.000	0.000	0.000	0.000	0.000	0.000	0.000	0.000
			Mt	0.00	0.00	0.00	0.00	0.00	0.00	0.00	0.00	0.00
			My	0.00	0.00	0.00	0.00	0.00	0.00	0.00	0.00	0.00
			Mz	-21.88	-19.16	-16.43	-13.71	-10.98	-8.26	-5.53	-2.81	-0.08
		1.35·PP+1.5·T2+1.5·T3	N	-33.479	-29.340	-25.202	-21.063	-16.925	-12.786	-8.647	-4.509	-0.370
			Vy	-4.362	-4.362	-4.362	-4.362	-4.362	-4.362	-4.362	-4.362	-4.362
			Vz	0.000	0.000	0.000	0.000	0.000	0.000	0.000	0.000	0.000
			Mt	0.00	0.00	0.00	0.00	0.00	0.00	0.00	0.00	0.00
			My	0.00	0.00	0.00	0.00	0.00	0.00	0.00	0.00	0.00
			Mz	-21.89	-19.17	-16.44	-13.71	-10.99	-8.26	-5.54	-2.81	-0.08
		PP+1.5·T1+1.5·T2+1.5·T3	N	-24.805	-21.739	-18.674	-15.608	-12.543	-9.477	-6.411	-3.346	-0.280
			Vy	-6.536	-6.536	-6.536	-6.536	-6.536	-6.536	-6.536	-6.536	-6.536
			Vz	0.000	0.000	0.000	0.000	0.000	0.000	0.000	0.000	0.000
			Mt	0.00	0.00	0.00	0.00	0.00	0.00	0.00	0.00	0.00
			My	0.00	0.00	0.00	0.00	0.00	0.00	0.00	0.00	0.00
			Mz	-32.81	-28.72	-24.64	-20.55	-16.47	-12.38	-8.30	-4.21	-0.13
		1.35·PP+1.5·T1+1.5·T2+1.5·T3	N	-33.483	-29.344	-25.206	-21.067	-16.928	-12.790	-8.651	-4.513	-0.374
			Vy	-6.538	-6.538	-6.538	-6.538	-6.538	-6.538	-6.538	-6.538	-6.538
			Vz	0.000	0.000	0.000	0.000	0.000	0.000	0.000	0.000	0.000
			Mt	0.00	0.00	0.00	0.00	0.00	0.00	0.00	0.00	0.00
			My	0.00	0.00	0.00	0.00	0.00	0.00	0.00	0.00	0.00
			Mz	-32.82	-28.73	-24.65	-20.56	-16.47	-12.39	-8.30	-4.21	-0.13
		PP+1.5·T4	N	-24.782	-21.717	-18.651	-15.585	-12.520	-9.454	-6.388	-3.323	-0.257
			Vy	6.525	6.525	6.525	6.525	6.525	6.525	6.525	6.525	6.525
			Vz	0.000	0.000	0.000	0.000	0.000	0.000	0.000	0.000	0.000
			Mt	0.00	0.00	0.00	0.00	0.00	0.00	0.00	0.00	0.00
			My	0.00	0.00	0.00	0.00	0.00	0.00	0.00	0.00	0.00
			Mz	32.75	28.67	24.59	20.52	16.44	12.36	8.28	4.20	0.13
		1.35·PP+1.5·T4	N	-33.460	-29.321	-25.183	-21.044	-16.906	-12.767	-8.628	-4.490	-0.351
			Vy	6.523	6.523	6.523	6.523	6.523	6.523	6.523	6.523	6.523
			Vz	0.000	0.000	0.000	0.000	0.000	0.000	0.000	0.000	0.000
			Mt	0.00	0.00	0.00	0.00	0.00	0.00	0.00	0.00	0.00
			My	0.00	0.00	0.00	0.00	0.00	0.00	0.00	0.00	0.00
			Mz	32.74	28.66	24.59	20.51	16.43	12.36	8.28	4.20	0.13
		PP+1.5·T1+1.5·T4	N	-24.786	-21.720	-18.655	-15.589	-12.523	-9.458	-6.392	-3.327	-0.261
			Vy	4.348	4.348	4.348	4.348	4.348	4.348	4.348	4.348	4.348
			Vz	0.000	0.000	0.000	0.000	0.000	0.000	0.000	0.000	0.000
			Mt	0.00	0.00	0.00	0.00	0.00	0.00	0.00	0.00	0.00
			My	0.00	0.00	0.00	0.00	0.00	0.00	0.00	0.00	0.00
			Mz	21.82	19.11	16.39	13.67	10.95	8.24	5.52	2.80	0.08
		1.35·PP+1.5·T1+1.5·T4	N	-33.464	-29.325	-25.187	-21.048	-16.909	-12.771	-8.632	-4.494	-0.355
			Vy	4.346	4.346	4.346	4.346	4.346	4.346	4.346	4.346	4.346
			Vz	0.000	0.000	0.000	0.000	0.000	0.000	0.000	0.000	0.000
			Mt	0.00	0.00	0.00	0.00	0.00	0.00	0.00	0.00	0.00
			My	0.00	0.00	0.00	0.00	0.00	0.00	0.00	0.00	0.00
			Mz	21.81	19.10	16.38	13.66	10.95	8.23	5.52	2.80	0.08
		PP+1.5·T2+1.5·T4	N	-24.778	-21.713	-18.647	-15.581	-12.516	-9.450	-6.385	-3.319	-0.253
			Vy	8.702	8.702	8.702	8.702	8.702	8.702	8.702	8.702	8.702
			Vz	0.000	0.000	0.000	0.000	0.000	0.000	0.000	0.000	0.000
			Mt	0.00	0.00	0.00	0.00	0.00	0.00	0.00	0.00	0.00
			My	0.00	0.00	0.00	0.00	0.00	0.00	0.00	0.00	0.00
			Mz	43.68	38.24	32.80	27.36	21.92	16.48	11.04	5.61	0.17
		1.35·PP+1.5·T2+1.5·T4	N	-33.456	-29.318	-25.179	-21.040	-16.902	-12.763	-8.625	-4.486	-0.347
			Vy	8.700	8.700	8.700	8.700	8.700	8.700	8.700	8.700	8.700
			Vz	0.000	0.000	0.000	0.000	0.000	0.000	0.000	0.000	0.000
			Mt	0.00	0.00	0.00	0.00	0.00	0.00	0.00	0.00	0.00
			My	0.00	0.00	0.00	0.00	0.00	0.00	0.00	0.00	0.00

Esfuerzos en barras, por combinación

Barra	Combinación		Esfuerzo	Posiciones en la barra								
	Tipo	Descripción		0.000 m	0.625 m	1.250 m	1.875 m	2.500 m	3.125 m	3.750 m	4.375 m	5.000 m
			Mz	43.66	38.23	32.79	27.35	21.92	16.48	11.04	5.60	0.17
		PP+1.5·T1+1.5·T2+1.5·T4	N	-24.782	-21.717	-18.651	-15.585	-12.520	-9.454	-6.388	-3.323	-0.257
			Vy	6.525	6.525	6.525	6.525	6.525	6.525	6.525	6.525	6.525
			Vz	0.000	0.000	0.000	0.000	0.000	0.000	0.000	0.000	0.000
			Mt	0.00	0.00	0.00	0.00	0.00	0.00	0.00	0.00	0.00
			My	0.00	0.00	0.00	0.00	0.00	0.00	0.00	0.00	0.00
			Mz	32.75	28.67	24.59	20.52	16.44	12.36	8.28	4.20	0.13
		1.35·PP+1.5·T1+1.5·T2+1.5·T4	N	-33.460	-29.321	-25.183	-21.044	-16.906	-12.767	-8.628	-4.490	-0.351
			Vy	6.523	6.523	6.523	6.523	6.523	6.523	6.523	6.523	6.523
			Vz	0.000	0.000	0.000	0.000	0.000	0.000	0.000	0.000	0.000
			Mt	0.00	0.00	0.00	0.00	0.00	0.00	0.00	0.00	0.00
			My	0.00	0.00	0.00	0.00	0.00	0.00	0.00	0.00	0.00
			Mz	32.74	28.66	24.59	20.51	16.43	12.36	8.28	4.20	0.13
		PP+1.5·T3+1.5·T4	N	-24.794	-21.728	-18.662	-15.597	-12.531	-9.465	-6.400	-3.334	-0.269
			Vy	-0.006	-0.006	-0.006	-0.006	-0.006	-0.006	-0.006	-0.006	-0.006
			Vz	0.000	0.000	0.000	0.000	0.000	0.000	0.000	0.000	0.000
			Mt	0.00	0.00	0.00	0.00	0.00	0.00	0.00	0.00	0.00
			My	0.00	0.00	0.00	0.00	0.00	0.00	0.00	0.00	0.00
			Mz	-0.03	-0.03	-0.02	-0.02	-0.01	-0.01	-0.01	0.00	0.00
		1.35·PP+1.5·T3+1.5·T4	N	-33.471	-29.333	-25.194	-21.056	-16.917	-12.778	-8.640	-4.501	-0.363
			Vy	-0.008	-0.008	-0.008	-0.008	-0.008	-0.008	-0.008	-0.008	-0.008
			Vz	0.000	0.000	0.000	0.000	0.000	0.000	0.000	0.000	0.000
			Mt	0.00	0.00	0.00	0.00	0.00	0.00	0.00	0.00	0.00
			My	0.00	0.00	0.00	0.00	0.00	0.00	0.00	0.00	0.00
			Mz	-0.04	-0.03	-0.03	-0.02	-0.02	-0.02	-0.01	-0.01	0.00
		PP+1.5·T1+1.5·T3+1.5·T4	N	-24.797	-21.732	-18.666	-15.601	-12.535	-9.469	-6.404	-3.338	-0.272
			Vy	-2.183	-2.183	-2.183	-2.183	-2.183	-2.183	-2.183	-2.183	-2.183
			Vz	0.000	0.000	0.000	0.000	0.000	0.000	0.000	0.000	0.000
			Mt	0.00	0.00	0.00	0.00	0.00	0.00	0.00	0.00	0.00
			My	0.00	0.00	0.00	0.00	0.00	0.00	0.00	0.00	0.00
			Mz	-10.96	-9.59	-8.23	-6.86	-5.50	-4.13	-2.77	-1.41	-0.04
		1.35·PP+1.5·T1+1.5·T3+1.5·T4	N	-33.475	-29.337	-25.198	-21.059	-16.921	-12.782	-8.644	-4.505	-0.366
			Vy	-2.185	-2.185	-2.185	-2.185	-2.185	-2.185	-2.185	-2.185	-2.185
			Vz	0.000	0.000	0.000	0.000	0.000	0.000	0.000	0.000	0.000
			Mt	0.00	0.00	0.00	0.00	0.00	0.00	0.00	0.00	0.00
			My	0.00	0.00	0.00	0.00	0.00	0.00	0.00	0.00	0.00
			Mz	-10.97	-9.60	-8.23	-6.87	-5.50	-4.14	-2.77	-1.41	-0.04
		PP+1.5·T2+1.5·T3+1.5·T4	N	-24.790	-21.724	-18.659	-15.593	-12.527	-9.462	-6.396	-3.330	-0.265
			Vy	2.171	2.171	2.171	2.171	2.171	2.171	2.171	2.171	2.171
			Vz	0.000	0.000	0.000	0.000	0.000	0.000	0.000	0.000	0.000
			Mt	0.00	0.00	0.00	0.00	0.00	0.00	0.00	0.00	0.00
			My	0.00	0.00	0.00	0.00	0.00	0.00	0.00	0.00	0.00
			Mz	10.90	9.54	8.18	6.83	5.47	4.11	2.76	1.40	0.04
		1.35·PP+1.5·T2+1.5·T3+1.5·T4	N	-33.468	-29.329	-25.190	-21.052	-16.913	-12.775	-8.636	-4.497	-0.359
			Vy	2.169	2.169	2.169	2.169	2.169	2.169	2.169	2.169	2.169
			Vz	0.000	0.000	0.000	0.000	0.000	0.000	0.000	0.000	0.000
			Mt	0.00	0.00	0.00	0.00	0.00	0.00	0.00	0.00	0.00
			My	0.00	0.00	0.00	0.00	0.00	0.00	0.00	0.00	0.00
			Mz	10.89	9.53	8.18	6.82	5.46	4.11	2.75	1.40	0.04
		PP+1.5·T1+1.5·T2+1.5·T3+1.5·T4	N	-24.794	-21.728	-18.662	-15.597	-12.531	-9.465	-6.400	-3.334	-0.269
			Vy	-0.006	-0.006	-0.006	-0.006	-0.006	-0.006	-0.006	-0.006	-0.006
			Vz	0.000	0.000	0.000	0.000	0.000	0.000	0.000	0.000	0.000
			Mt	0.00	0.00	0.00	0.00	0.00	0.00	0.00	0.00	0.00
			My	0.00	0.00	0.00	0.00	0.00	0.00	0.00	0.00	0.00
			Mz	-0.03	-0.03	-0.02	-0.02	-0.01	-0.01	-0.01	0.00	0.00
		1.35·PP+1.5·T1+1.5·T2+1.5·T3+1.5·T4	N	-33.471	-29.333	-25.194	-21.056	-16.917	-12.778	-8.640	-4.501	-0.363
			Vy	-0.008	-0.008	-0.008	-0.008	-0.008	-0.008	-0.008	-0.008	-0.008
			Vz	0.000	0.000	0.000	0.000	0.000	0.000	0.000	0.000	0.000
			Mt	0.00	0.00	0.00	0.00	0.00	0.00	0.00	0.00	0.00
			My	0.00	0.00	0.00	0.00	0.00	0.00	0.00	0.00	0.00
			Mz	-0.04	-0.03	-0.03	-0.02	-0.02	-0.02	-0.01	-0.01	0.00

Esfuerzos en barras, por combinación

Barra	Combinación		Esfuerzo	Posiciones en la barra								
	Tipo	Descripción		0.000 m	0.200 m	0.400 m	0.800 m	1.000 m	1.200 m	1.600 m	1.800 m	2.000 m
N19/N26	Hormigón	PP	N	-41.156	-40.175	-39.194	-37.232	-36.251	-35.270	-33.308	-32.327	-31.346
			Vy	2.216	2.216	2.216	2.216	2.216	2.216	2.216	2.216	2.216
			Vz	0.000	0.000	0.000	0.000	0.000	0.000	0.000	0.000	0.000
			Mt	0.00	0.00	0.00	0.00	0.00	0.00	0.00	0.00	0.00
			My	0.00	0.00	0.00	0.00	0.00	0.00	0.00	0.00	0.00
			Mz	1.10	0.66	0.22	-0.67	-1.11	-1.56	-2.44	-2.89	-3.33
		1.35·PP	N	-55.560	-54.236	-52.912	-50.263	-48.939	-47.614	-44.966	-43.641	-42.317
			Vy	2.992	2.992	2.992	2.992	2.992	2.992	2.992	2.992	2.992
			Vz	0.000	0.000	0.000	0.000	0.000	0.000	0.000	0.000	0.000
			Mt	0.00	0.00	0.00	0.00	0.00	0.00	0.00	0.00	0.00
			My	0.00	0.00	0.00	0.00	0.00	0.00	0.00	0.00	0.00
			Mz	1.49	0.89	0.29	-0.91	-1.50	-2.10	-3.30	-3.90	-4.50
		PP+1.5·T1	N	-50.538	-49.557	-48.576	-46.614	-45.633	-44.652	-42.690	-41.709	-40.728
			Vy	82.824	82.824	82.824	82.824	82.824	82.824	82.824	82.824	82.824
			Vz	0.000	0.000	0.000	0.000	0.000	0.000	0.000	0.000	0.000

Esfuerzos en barras, por combinación

Barra	Combinación		Esfuerzo	Posiciones en la barra								
	Tipo	Descripción		0.000 m	0.200 m	0.400 m	0.800 m	1.000 m	1.200 m	1.600 m	1.800 m	2.000 m
			Mt	0.00	0.00	0.00	0.00	0.00	0.00	0.00	0.00	0.00
			My	0.00	0.00	0.00	0.00	0.00	0.00	0.00	0.00	0.00
			Mz	113.58	97.01	80.45	47.32	30.75	14.19	-18.94	-35.51	-52.07
		1.35·PP+1.5·T1	N	-64.942	-63.618	-62.293	-59.645	-58.320	-56.996	-54.347	-53.023	-51.699
			Vy	83.600	83.600	83.600	83.600	83.600	83.600	83.600	83.600	83.600
			Vz	0.000	0.000	0.000	0.000	0.000	0.000	0.000	0.000	0.000
			Mt	0.00	0.00	0.00	0.00	0.00	0.00	0.00	0.00	0.00
			My	0.00	0.00	0.00	0.00	0.00	0.00	0.00	0.00	0.00
			Mz	113.96	97.24	80.52	47.08	30.36	13.64	-19.80	-36.52	-53.24
		PP+1.5·T2	N	-31.774	-30.793	-29.812	-27.850	-26.869	-25.888	-23.926	-22.945	-21.964
			Vy	-78.392	-78.392	-78.392	-78.392	-78.392	-78.392	-78.392	-78.392	-78.392
			Vz	0.000	0.000	0.000	0.000	0.000	0.000	0.000	0.000	0.000
			Mt	0.00	0.00	0.00	0.00	0.00	0.00	0.00	0.00	0.00
			My	0.00	0.00	0.00	0.00	0.00	0.00	0.00	0.00	0.00
			Mz	-111.37	-95.69	-80.01	-48.66	-32.98	-17.30	14.06	29.73	45.41
		1.35·PP+1.5·T2	N	-46.179	-44.854	-43.530	-40.881	-39.557	-38.233	-35.584	-34.260	-32.935
			Vy	-77.617	-77.617	-77.617	-77.617	-77.617	-77.617	-77.617	-77.617	-77.617
			Vz	0.000	0.000	0.000	0.000	0.000	0.000	0.000	0.000	0.000
			Mt	0.00	0.00	0.00	0.00	0.00	0.00	0.00	0.00	0.00
			My	0.00	0.00	0.00	0.00	0.00	0.00	0.00	0.00	0.00
			Mz	-110.99	-95.46	-79.94	-48.89	-33.37	-17.85	13.20	28.72	44.25
		PP+1.5·T1+1.5·T2	N	-41.156	-40.175	-39.194	-37.232	-36.251	-35.270	-33.308	-32.327	-31.346
			Vy	2.216	2.216	2.216	2.216	2.216	2.216	2.216	2.216	2.216
			Vz	0.000	0.000	0.000	0.000	0.000	0.000	0.000	0.000	0.000
			Mt	0.00	0.00	0.00	0.00	0.00	0.00	0.00	0.00	0.00
			My	0.00	0.00	0.00	0.00	0.00	0.00	0.00	0.00	0.00
			Mz	1.10	0.66	0.22	-0.67	-1.11	-1.56	-2.44	-2.89	-3.33
		1.35·PP+1.5·T1+1.5·T2	N	-55.560	-54.236	-52.912	-50.263	-48.939	-47.614	-44.966	-43.641	-42.317
			Vy	2.992	2.992	2.992	2.992	2.992	2.992	2.992	2.992	2.992
			Vz	0.000	0.000	0.000	0.000	0.000	0.000	0.000	0.000	0.000
			Mt	0.00	0.00	0.00	0.00	0.00	0.00	0.00	0.00	0.00
			My	0.00	0.00	0.00	0.00	0.00	0.00	0.00	0.00	0.00
			Mz	1.49	0.89	0.29	-0.91	-1.50	-2.10	-3.30	-3.90	-4.50
		PP+1.5·T3	N	-69.301	-68.320	-67.339	-65.377	-64.396	-63.415	-61.453	-60.472	-59.491
			Vy	244.041	244.041	244.041	244.041	244.041	244.041	244.041	244.041	244.041
			Vz	0.000	0.000	0.000	0.000	0.000	0.000	0.000	0.000	0.000
			Mt	0.00	0.00	0.00	0.00	0.00	0.00	0.00	0.00	0.00
			My	0.00	0.00	0.00	0.00	0.00	0.00	0.00	0.00	0.00
			Mz	338.52	289.71	240.91	143.29	94.48	45.67	-51.94	-100.75	-149.56
		1.35·PP+1.5·T3	N	-83.706	-82.381	-81.057	-78.408	-77.084	-75.759	-73.111	-71.786	-70.462
			Vy	244.817	244.817	244.817	244.817	244.817	244.817	244.817	244.817	244.817
			Vz	0.000	0.000	0.000	0.000	0.000	0.000	0.000	0.000	0.000
			Mt	0.00	0.00	0.00	0.00	0.00	0.00	0.00	0.00	0.00
			My	0.00	0.00	0.00	0.00	0.00	0.00	0.00	0.00	0.00
			Mz	338.91	289.95	240.98	143.06	94.09	45.13	-52.80	-101.76	-150.72
		PP+1.5·T1+1.5·T3	N	-78.683	-77.702	-76.721	-74.759	-73.778	-72.797	-70.835	-69.854	-68.873
			Vy	324.649	324.649	324.649	324.649	324.649	324.649	324.649	324.649	324.649
			Vz	0.000	0.000	0.000	0.000	0.000	0.000	0.000	0.000	0.000
			Mt	0.00	0.00	0.00	0.00	0.00	0.00	0.00	0.00	0.00
			My	0.00	0.00	0.00	0.00	0.00	0.00	0.00	0.00	0.00
			Mz	451.00	386.07	321.14	191.28	126.35	61.42	-68.44	-133.37	-198.30
		1.35·PP+1.5·T1+1.5·T3	N	-93.087	-91.763	-90.438	-87.790	-86.465	-85.141	-82.492	-81.168	-79.844
			Vy	325.425	325.425	325.425	325.425	325.425	325.425	325.425	325.425	325.425
			Vz	0.000	0.000	0.000	0.000	0.000	0.000	0.000	0.000	0.000
			Mt	0.00	0.00	0.00	0.00	0.00	0.00	0.00	0.00	0.00
			My	0.00	0.00	0.00	0.00	0.00	0.00	0.00	0.00	0.00
			Mz	451.38	386.30	321.21	191.04	125.96	60.87	-69.30	-134.38	-199.47
		PP+1.5·T2+1.5·T3	N	-59.919	-58.938	-57.957	-55.995	-55.014	-54.033	-52.071	-51.090	-50.109
			Vy	163.433	163.433	163.433	163.433	163.433	163.433	163.433	163.433	163.433
			Vz	0.000	0.000	0.000	0.000	0.000	0.000	0.000	0.000	0.000
			Mt	0.00	0.00	0.00	0.00	0.00	0.00	0.00	0.00	0.00
			My	0.00	0.00	0.00	0.00	0.00	0.00	0.00	0.00	0.00
			Mz	226.05	193.36	160.68	95.30	62.62	29.93	-35.44	-68.13	-100.82
		1.35·PP+1.5·T2+1.5·T3	N	-74.324	-72.999	-71.675	-69.026	-67.702	-66.378	-63.729	-62.405	-61.080
			Vy	164.208	164.208	164.208	164.208	164.208	164.208	164.208	164.208	164.208
			Vz	0.000	0.000	0.000	0.000	0.000	0.000	0.000	0.000	0.000
			Mt	0.00	0.00	0.00	0.00	0.00	0.00	0.00	0.00	0.00
			My	0.00	0.00	0.00	0.00	0.00	0.00	0.00	0.00	0.00
			Mz	226.43	193.59	160.75	95.07	62.23	29.38	-36.30	-69.14	-101.98
		PP+1.5·T1+1.5·T2+1.5·T3	N	-69.301	-68.320	-67.339	-65.377	-64.396	-63.415	-61.453	-60.472	-59.491
			Vy	244.041	244.041	244.041	244.041	244.041	244.041	244.041	244.041	244.041
			Vz	0.000	0.000	0.000	0.000	0.000	0.000	0.000	0.000	0.000
			Mt	0.00	0.00	0.00	0.00	0.00	0.00	0.00	0.00	0.00
			My	0.00	0.00	0.00	0.00	0.00	0.00	0.00	0.00	0.00
			Mz	338.52	289.71	240.91	143.29	94.48	45.67	-51.94	-100.75	-149.56
		1.35·PP+1.5·T1+1.5·T2+1.5·T3	N	-83.706	-82.381	-81.057	-78.408	-77.084	-75.759	-73.111	-71.786	-70.462
			Vy	244.817	244.817	244.817	244.817	244.817	244.817	244.817	244.817	244.817
			Vz	0.000	0.000	0.000	0.000	0.000	0.000	0.000	0.000	0.000
			Mt	0.00	0.00	0.00	0.00	0.00	0.00	0.00	0.00	0.00
			My	0.00	0.00	0.00	0.00	0.00	0.00	0.00	0.00	0.00
			Mz	338.91	289.95	240.98	143.06	94.09	45.13	-52.80	-101.76	-150.72
		PP+1.5·T4	N	-13.011	-12.030	-11.049	-9.087	-8.106	-7.125	-5.163	-4.182	-3.201
			Vy	-239.609	-239.609	-239.609	-239.609	-239.609	-239.609	-239.609	-239.609	-239.609

Esfuerzos en barras, por combinación

Barra	Combinación		Esfuerzo	Posiciones en la barra								
	Tipo	Descripción		0.000 m	0.200 m	0.400 m	0.800 m	1.000 m	1.200 m	1.600 m	1.800 m	2.000 m
			Vz	0.000	0.000	0.000	0.000	0.000	0.000	0.000	0.000	0.000
			Mt	0.00	0.00	0.00	0.00	0.00	0.00	0.00	0.00	0.00
			My	0.00	0.00	0.00	0.00	0.00	0.00	0.00	0.00	0.00
			Mz	-336.32	-288.40	-240.48	-144.63	-96.71	-48.79	47.06	94.98	142.90
		1.35·PP+1.5·T4	N	-27.415	-26.091	-24.767	-22.118	-20.794	-19.469	-16.821	-15.496	-14.172
			Vy	-238.833	-238.833	-238.833	-238.833	-238.833	-238.833	-238.833	-238.833	-238.833
			Vz	0.000	0.000	0.000	0.000	0.000	0.000	0.000	0.000	0.000
			Mt	0.00	0.00	0.00	0.00	0.00	0.00	0.00	0.00	0.00
			My	0.00	0.00	0.00	0.00	0.00	0.00	0.00	0.00	0.00
			Mz	-335.93	-288.17	-240.40	-144.87	-97.10	-49.33	46.20	93.97	141.73
		PP+1.5·T1+1.5·T4	N	-22.393	-21.412	-20.431	-18.469	-17.488	-16.507	-14.545	-13.564	-12.583
			Vy	-159.001	-159.001	-159.001	-159.001	-159.001	-159.001	-159.001	-159.001	-159.001
			Vz	0.000	0.000	0.000	0.000	0.000	0.000	0.000	0.000	0.000
			Mt	0.00	0.00	0.00	0.00	0.00	0.00	0.00	0.00	0.00
			My	0.00	0.00	0.00	0.00	0.00	0.00	0.00	0.00	0.00
			Mz	-223.85	-192.05	-160.25	-96.65	-64.84	-33.04	30.56	62.36	94.16
		1.35·PP+1.5·T1+1.5·T4	N	-36.797	-35.473	-34.148	-31.500	-30.175	-28.851	-26.202	-24.878	-23.554
			Vy	-158.225	-158.225	-158.225	-158.225	-158.225	-158.225	-158.225	-158.225	-158.225
			Vz	0.000	0.000	0.000	0.000	0.000	0.000	0.000	0.000	0.000
			Mt	0.00	0.00	0.00	0.00	0.00	0.00	0.00	0.00	0.00
			My	0.00	0.00	0.00	0.00	0.00	0.00	0.00	0.00	0.00
			Mz	-223.46	-191.81	-160.17	-96.88	-65.23	-33.59	29.70	61.35	92.99
		PP+1.5·T2+1.5·T4	N	-3.629	-2.648	-1.667	0.295	1.276	2.257	4.219	5.200	6.181
			Vy	-320.217	-320.217	-320.217	-320.217	-320.217	-320.217	-320.217	-320.217	-320.217
			Vz	0.000	0.000	0.000	0.000	0.000	0.000	0.000	0.000	0.000
			Mt	0.00	0.00	0.00	0.00	0.00	0.00	0.00	0.00	0.00
			My	0.00	0.00	0.00	0.00	0.00	0.00	0.00	0.00	0.00
			Mz	-448.79	-384.75	-320.71	-192.62	-128.58	-64.53	63.55	127.60	191.64
		1.35·PP+1.5·T2+1.5·T4	N	-18.034	-16.709	-15.385	-12.736	-11.412	-10.088	-7.439	-6.115	-4.790
			Vy	-319.442	-319.442	-319.442	-319.442	-319.442	-319.442	-319.442	-319.442	-319.442
			Vz	0.000	0.000	0.000	0.000	0.000	0.000	0.000	0.000	0.000
			Mt	0.00	0.00	0.00	0.00	0.00	0.00	0.00	0.00	0.00
			My	0.00	0.00	0.00	0.00	0.00	0.00	0.00	0.00	0.00
			Mz	-448.41	-384.52	-320.63	-192.85	-128.97	-65.08	62.70	126.59	190.48
		PP+1.5·T1+1.5·T2+1.5·T4	N	-13.011	-12.030	-11.049	-9.087	-8.106	-7.125	-5.163	-4.182	-3.201
			Vy	-239.609	-239.609	-239.609	-239.609	-239.609	-239.609	-239.609	-239.609	-239.609
			Vz	0.000	0.000	0.000	0.000	0.000	0.000	0.000	0.000	0.000
			Mt	0.00	0.00	0.00	0.00	0.00	0.00	0.00	0.00	0.00
			My	0.00	0.00	0.00	0.00	0.00	0.00	0.00	0.00	0.00
			Mz	-336.32	-288.40	-240.48	-144.63	-96.71	-48.79	47.06	94.98	142.90
		1.35·PP+1.5·T1+1.5·T2+1.5·T4	N	-27.415	-26.091	-24.767	-22.118	-20.794	-19.469	-16.821	-15.496	-14.172
			Vy	-238.833	-238.833	-238.833	-238.833	-238.833	-238.833	-238.833	-238.833	-238.833
			Vz	0.000	0.000	0.000	0.000	0.000	0.000	0.000	0.000	0.000
			Mt	0.00	0.00	0.00	0.00	0.00	0.00	0.00	0.00	0.00
			My	0.00	0.00	0.00	0.00	0.00	0.00	0.00	0.00	0.00
			Mz	-335.93	-288.17	-240.40	-144.87	-97.10	-49.33	46.20	93.97	141.73
		PP+1.5·T3+1.5·T4	N	-41.156	-40.175	-39.194	-37.232	-36.251	-35.270	-33.308	-32.327	-31.346
			Vy	2.216	2.216	2.216	2.216	2.216	2.216	2.216	2.216	2.216
			Vz	0.000	0.000	0.000	0.000	0.000	0.000	0.000	0.000	0.000
			Mt	0.00	0.00	0.00	0.00	0.00	0.00	0.00	0.00	0.00
			My	0.00	0.00	0.00	0.00	0.00	0.00	0.00	0.00	0.00
			Mz	1.10	0.66	0.22	-0.67	-1.11	-1.56	-2.44	-2.89	-3.33
		1.35·PP+1.5·T3+1.5·T4	N	-55.560	-54.236	-52.912	-50.263	-48.939	-47.614	-44.966	-43.641	-42.317
			Vy	2.992	2.992	2.992	2.992	2.992	2.992	2.992	2.992	2.992
			Vz	0.000	0.000	0.000	0.000	0.000	0.000	0.000	0.000	0.000
			Mt	0.00	0.00	0.00	0.00	0.00	0.00	0.00	0.00	0.00
			My	0.00	0.00	0.00	0.00	0.00	0.00	0.00	0.00	0.00
			Mz	1.49	0.89	0.29	-0.91	-1.50	-2.10	-3.30	-3.90	-4.50
		PP+1.5·T1+1.5·T3+1.5·T4	N	-50.538	-49.557	-48.576	-46.614	-45.633	-44.652	-42.690	-41.709	-40.728
			Vy	82.824	82.824	82.824	82.824	82.824	82.824	82.824	82.824	82.824
			Vz	0.000	0.000	0.000	0.000	0.000	0.000	0.000	0.000	0.000
			Mt	0.00	0.00	0.00	0.00	0.00	0.00	0.00	0.00	0.00
			My	0.00	0.00	0.00	0.00	0.00	0.00	0.00	0.00	0.00
			Mz	113.58	97.01	80.45	47.32	30.75	14.19	-18.94	-35.51	-52.07
		1.35·PP+1.5·T1+1.5·T3+1.5·T4	N	-64.942	-63.618	-62.293	-59.645	-58.320	-56.996	-54.347	-53.023	-51.699
			Vy	83.600	83.600	83.600	83.600	83.600	83.600	83.600	83.600	83.600
			Vz	0.000	0.000	0.000	0.000	0.000	0.000	0.000	0.000	0.000
			Mt	0.00	0.00	0.00	0.00	0.00	0.00	0.00	0.00	0.00
			My	0.00	0.00	0.00	0.00	0.00	0.00	0.00	0.00	0.00
			Mz	113.96	97.24	80.52	47.08	30.36	13.64	-19.80	-36.52	-53.24
		PP+1.5·T2+1.5·T3+1.5·T4	N	-31.774	-30.793	-29.812	-27.850	-26.869	-25.888	-23.926	-22.945	-21.964
			Vy	-78.392	-78.392	-78.392	-78.392	-78.392	-78.392	-78.392	-78.392	-78.392
			Vz	0.000	0.000	0.000	0.000	0.000	0.000	0.000	0.000	0.000
			Mt	0.00	0.00	0.00	0.00	0.00	0.00	0.00	0.00	0.00
			My	0.00	0.00	0.00	0.00	0.00	0.00	0.00	0.00	0.00
			Mz	-111.37	-95.69	-80.01	-48.66	-32.98	-17.30	14.06	29.73	45.41
		1.35·PP+1.5·T2+1.5·T3+1.5·T4	N	-46.179	-44.854	-43.530	-40.881	-39.557	-38.233	-35.584	-34.260	-32.935
			Vy	-77.617	-77.617	-77.617	-77.617	-77.617	-77.617	-77.617	-77.617	-77.617
			Vz	0.000	0.000	0.000	0.000	0.000	0.000	0.000	0.000	0.000
			Mt	0.00	0.00	0.00	0.00	0.00	0.00	0.00	0.00	0.00
			My	0.00	0.00	0.00	0.00	0.00	0.00	0.00	0.00	0.00
			Mz	-110.99	-95.46	-79.94	-48.89	-33.37	-17.85	13.20	28.72	44.25
		PP+1.5·T1+1.5·T2+1.5·T3+1.5·T4	N	-41.156	-40.175	-39.194	-37.232	-36.251	-35.270	-33.308	-32.327	-31.346

Esfuerzos en barras, por combinación												
Barra	Combinación		Esfuerzo	Posiciones en la barra								
	Tipo	Descripción		0.000 m	0.200 m	0.400 m	0.800 m	1.000 m	1.200 m	1.600 m	1.800 m	2.000 m
			Vy	2.216	2.216	2.216	2.216	2.216	2.216	2.216	2.216	2.216
			Vz	0.000	0.000	0.000	0.000	0.000	0.000	0.000	0.000	0.000
			Mt	0.00	0.00	0.00	0.00	0.00	0.00	0.00	0.00	0.00
			My	0.00	0.00	0.00	0.00	0.00	0.00	0.00	0.00	0.00
			Mz	1.10	0.66	0.22	-0.67	-1.11	-1.56	-2.44	-2.89	-3.33
		1.35·PP+1.5·T1+1.5·T2+1.5·T3+1.5·T4	N	-55.560	-54.236	-52.912	-50.263	-48.939	-47.614	-44.966	-43.641	-42.317
			Vy	2.992	2.992	2.992	2.992	2.992	2.992	2.992	2.992	2.992
			Vz	0.000	0.000	0.000	0.000	0.000	0.000	0.000	0.000	0.000
			Mt	0.00	0.00	0.00	0.00	0.00	0.00	0.00	0.00	0.00
			My	0.00	0.00	0.00	0.00	0.00	0.00	0.00	0.00	0.00
			Mz	1.49	0.89	0.29	-0.91	-1.50	-2.10	-3.30	-3.90	-4.50

Esfuerzos en barras, por combinación												
Barra	Combinación		Esfuerzo	Posiciones en la barra								
	Tipo	Descripción		0.000 m	0.625 m	1.250 m	1.875 m	2.500 m	3.125 m	3.750 m	4.375 m	5.000 m
N26/N20	Hormigón	PP	N	-24.788	-21.723	-18.657	-15.592	-12.526	-9.460	-6.395	-3.329	-0.263
			Vy	0.246	0.246	0.246	0.246	0.246	0.246	0.246	0.246	0.246
			Vz	0.000	0.000	0.000	0.000	0.000	0.000	0.000	0.000	0.000
			Mt	0.00	0.00	0.00	0.00	0.00	0.00	0.00	0.00	0.00
			My	0.00	0.00	0.00	0.00	0.00	0.00	0.00	0.00	0.00
			Mz	1.22	1.06	0.91	0.76	0.60	0.45	0.30	0.14	-0.01
		1.35·PP	N	-33.464	-29.326	-25.187	-21.049	-16.910	-12.771	-8.633	-4.494	-0.356
			Vy	0.331	0.331	0.331	0.331	0.331	0.331	0.331	0.331	0.331
			Vz	0.000	0.000	0.000	0.000	0.000	0.000	0.000	0.000	0.000
			Mt	0.00	0.00	0.00	0.00	0.00	0.00	0.00	0.00	0.00
			My	0.00	0.00	0.00	0.00	0.00	0.00	0.00	0.00	0.00
			Mz	1.64	1.43	1.23	1.02	0.81	0.61	0.40	0.19	-0.02
		PP+1.5·T1	N	-24.752	-21.686	-18.620	-15.555	-12.489	-9.423	-6.358	-3.292	-0.227
			Vy	-4.749	-4.749	-4.749	-4.749	-4.749	-4.749	-4.749	-4.749	-4.749
			Vz	0.000	0.000	0.000	0.000	0.000	0.000	0.000	0.000	0.000
			Mt	0.00	0.00	0.00	0.00	0.00	0.00	0.00	0.00	0.00
			My	0.00	0.00	0.00	0.00	0.00	0.00	0.00	0.00	0.00
			Mz	-23.83	-20.86	-17.90	-14.93	-11.96	-8.99	-6.02	-3.05	-0.09
		1.35·PP+1.5·T1	N	-33.427	-29.289	-25.150	-21.012	-16.873	-12.735	-8.596	-4.457	-0.319
			Vy	-4.664	-4.664	-4.664	-4.664	-4.664	-4.664	-4.664	-4.664	-4.664
			Vz	0.000	0.000	0.000	0.000	0.000	0.000	0.000	0.000	0.000
			Mt	0.00	0.00	0.00	0.00	0.00	0.00	0.00	0.00	0.00
			My	0.00	0.00	0.00	0.00	0.00	0.00	0.00	0.00	0.00
			Mz	-23.41	-20.49	-17.58	-14.66	-11.75	-8.83	-5.92	-3.00	-0.09
		PP+1.5·T2	N	-24.825	-21.760	-18.694	-15.629	-12.563	-9.497	-6.432	-3.366	-0.300
			Vy	5.241	5.241	5.241	5.241	5.241	5.241	5.241	5.241	5.241
			Vz	0.000	0.000	0.000	0.000	0.000	0.000	0.000	0.000	0.000
			Mt	0.00	0.00	0.00	0.00	0.00	0.00	0.00	0.00	0.00
			My	0.00	0.00	0.00	0.00	0.00	0.00	0.00	0.00	0.00
			Mz	26.27	22.99	19.71	16.44	13.16	9.89	6.61	3.34	0.06
		1.35·PP+1.5·T2	N	-33.501	-29.363	-25.224	-21.086	-16.947	-12.808	-8.670	-4.531	-0.393
			Vy	5.326	5.326	5.326	5.326	5.326	5.326	5.326	5.326	5.326
			Vz	0.000	0.000	0.000	0.000	0.000	0.000	0.000	0.000	0.000
			Mt	0.00	0.00	0.00	0.00	0.00	0.00	0.00	0.00	0.00
			My	0.00	0.00	0.00	0.00	0.00	0.00	0.00	0.00	0.00
			Mz	26.69	23.36	20.03	16.70	13.37	10.05	6.72	3.39	0.06
		PP+1.5·T1+1.5·T2	N	-24.788	-21.723	-18.657	-15.592	-12.526	-9.460	-6.395	-3.329	-0.263
			Vy	0.246	0.246	0.246	0.246	0.246	0.246	0.246	0.246	0.246
			Vz	0.000	0.000	0.000	0.000	0.000	0.000	0.000	0.000	0.000
			Mt	0.00	0.00	0.00	0.00	0.00	0.00	0.00	0.00	0.00
			My	0.00	0.00	0.00	0.00	0.00	0.00	0.00	0.00	0.00
			Mz	1.22	1.06	0.91	0.76	0.60	0.45	0.30	0.14	-0.01
		1.35·PP+1.5·T1+1.5·T2	N	-33.464	-29.326	-25.187	-21.049	-16.910	-12.771	-8.633	-4.494	-0.356
			Vy	0.331	0.331	0.331	0.331	0.331	0.331	0.331	0.331	0.331
			Vz	0.000	0.000	0.000	0.000	0.000	0.000	0.000	0.000	0.000
			Mt	0.00	0.00	0.00	0.00	0.00	0.00	0.00	0.00	0.00
			My	0.00	0.00	0.00	0.00	0.00	0.00	0.00	0.00	0.00
			Mz	1.64	1.43	1.23	1.02	0.81	0.61	0.40	0.19	-0.02
		PP+1.5·T3	N	-24.678	-21.612	-18.546	-15.481	-12.415	-9.350	-6.284	-3.218	-0.153
			Vy	-14.739	-14.739	-14.739	-14.739	-14.739	-14.739	-14.739	-14.739	-14.739
			Vz	0.000	0.000	0.000	0.000	0.000	0.000	0.000	0.000	0.000
			Mt	0.00	0.00	0.00	0.00	0.00	0.00	0.00	0.00	0.00
			My	0.00	0.00	0.00	0.00	0.00	0.00	0.00	0.00	0.00
			Mz	-73.93	-64.72	-55.51	-46.30	-37.08	-27.87	-18.66	-9.45	-0.23
		1.35·PP+1.5·T3	N	-33.354	-29.215	-25.076	-20.938	-16.799	-12.661	-8.522	-4.383	-0.245
			Vy	-14.653	-14.653	-14.653	-14.653	-14.653	-14.653	-14.653	-14.653	-14.653
			Vz	0.000	0.000	0.000	0.000	0.000	0.000	0.000	0.000	0.000
			Mt	0.00	0.00	0.00	0.00	0.00	0.00	0.00	0.00	0.00
			My	0.00	0.00	0.00	0.00	0.00	0.00	0.00	0.00	0.00
			Mz	-73.51	-64.35	-55.19	-46.03	-36.87	-27.71	-18.56	-9.40	-0.24
		PP+1.5·T1+1.5·T3	N	-24.641	-21.575	-18.509	-15.444	-12.378	-9.313	-6.247	-3.181	-0.116
			Vy	-19.734	-19.734	-19.734	-19.734	-19.734	-19.734	-19.734	-19.734	-19.734
			Vz	0.000	0.000	0.000	0.000	0.000	0.000	0.000	0.000	0.000
			Mt	0.00	0.00	0.00	0.00	0.00	0.00	0.00	0.00	0.00
			My	0.00	0.00	0.00	0.00	0.00	0.00	0.00	0.00	0.00

Esfuerzos en barras, por combinación

Barra	Combinación		Esfuerzo	Posiciones en la barra								
	Tipo	Descripción		0.000 m	0.625 m	1.250 m	1.875 m	2.500 m	3.125 m	3.750 m	4.375 m	5.000 m
			Mz	-98.98	-86.65	-74.31	-61.98	-49.64	-37.31	-24.98	-12.64	-0.31
		1.35·PP+1.5·T1+1.5·T3	N	-33.317	-29.178	-25.039	-20.901	-16.762	-12.624	-8.485	-4.347	-0.208
			Vy	-19.648	-19.648	-19.648	-19.648	-19.648	-19.648	-19.648	-19.648	-19.648
			Vz	0.000	0.000	0.000	0.000	0.000	0.000	0.000	0.000	0.000
			Mt	0.00	0.00	0.00	0.00	0.00	0.00	0.00	0.00	0.00
			My	0.00	0.00	0.00	0.00	0.00	0.00	0.00	0.00	0.00
			Mz	-98.56	-86.27	-73.99	-61.71	-49.43	-37.15	-24.87	-12.59	-0.31
		PP+1.5·T2+1.5·T3	N	-24.715	-21.649	-18.583	-15.518	-12.452	-9.386	-6.321	-3.255	-0.190
			Vy	-9.744	-9.744	-9.744	-9.744	-9.744	-9.744	-9.744	-9.744	-9.744
			Vz	0.000	0.000	0.000	0.000	0.000	0.000	0.000	0.000	0.000
			Mt	0.00	0.00	0.00	0.00	0.00	0.00	0.00	0.00	0.00
			My	0.00	0.00	0.00	0.00	0.00	0.00	0.00	0.00	0.00
			Mz	-48.88	-42.79	-36.70	-30.61	-24.52	-18.43	-12.34	-6.25	-0.16
		1.35·PP+1.5·T2+1.5·T3	N	-33.391	-29.252	-25.113	-20.975	-16.836	-12.698	-8.559	-4.420	-0.282
			Vy	-9.658	-9.658	-9.658	-9.658	-9.658	-9.658	-9.658	-9.658	-9.658
			Vz	0.000	0.000	0.000	0.000	0.000	0.000	0.000	0.000	0.000
			Mt	0.00	0.00	0.00	0.00	0.00	0.00	0.00	0.00	0.00
			My	0.00	0.00	0.00	0.00	0.00	0.00	0.00	0.00	0.00
			Mz	-48.46	-42.42	-36.38	-30.35	-24.31	-18.27	-12.24	-6.20	-0.16
		PP+1.5·T1+1.5·T2+1.5·T3	N	-24.678	-21.612	-18.546	-15.481	-12.415	-9.350	-6.284	-3.218	-0.153
			Vy	-14.739	-14.739	-14.739	-14.739	-14.739	-14.739	-14.739	-14.739	-14.739
			Vz	0.000	0.000	0.000	0.000	0.000	0.000	0.000	0.000	0.000
			Mt	0.00	0.00	0.00	0.00	0.00	0.00	0.00	0.00	0.00
			My	0.00	0.00	0.00	0.00	0.00	0.00	0.00	0.00	0.00
			Mz	-73.93	-64.72	-55.51	-46.30	-37.08	-27.87	-18.66	-9.45	-0.23
		1.35·PP+1.5·T1+1.5·T2+1.5·T3	N	-33.354	-29.215	-25.076	-20.938	-16.799	-12.661	-8.522	-4.383	-0.245
			Vy	-14.653	-14.653	-14.653	-14.653	-14.653	-14.653	-14.653	-14.653	-14.653
			Vz	0.000	0.000	0.000	0.000	0.000	0.000	0.000	0.000	0.000
			Mt	0.00	0.00	0.00	0.00	0.00	0.00	0.00	0.00	0.00
			My	0.00	0.00	0.00	0.00	0.00	0.00	0.00	0.00	0.00
			Mz	-73.51	-64.35	-55.19	-46.03	-36.87	-27.71	-18.56	-9.40	-0.24
		PP+1.5·T4	N	-24.899	-21.834	-18.768	-15.702	-12.637	-9.571	-6.506	-3.440	-0.374
			Vy	15.231	15.231	15.231	15.231	15.231	15.231	15.231	15.231	15.231
			Vz	0.000	0.000	0.000	0.000	0.000	0.000	0.000	0.000	0.000
			Mt	0.00	0.00	0.00	0.00	0.00	0.00	0.00	0.00	0.00
			My	0.00	0.00	0.00	0.00	0.00	0.00	0.00	0.00	0.00
			Mz	76.36	66.84	57.33	47.81	38.29	28.77	19.25	9.73	0.21
		1.35·PP+1.5·T4	N	-33.575	-29.437	-25.298	-21.159	-17.021	-12.882	-8.744	-4.605	-0.466
			Vy	15.316	15.316	15.316	15.316	15.316	15.316	15.316	15.316	15.316
			Vz	0.000	0.000	0.000	0.000	0.000	0.000	0.000	0.000	0.000
			Mt	0.00	0.00	0.00	0.00	0.00	0.00	0.00	0.00	0.00
			My	0.00	0.00	0.00	0.00	0.00	0.00	0.00	0.00	0.00
			Mz	76.79	67.22	57.64	48.07	38.50	28.93	19.35	9.78	0.21
		PP+1.5·T1+1.5·T4	N	-24.862	-21.797	-18.731	-15.665	-12.600	-9.534	-6.469	-3.403	-0.337
			Vy	10.236	10.236	10.236	10.236	10.236	10.236	10.236	10.236	10.236
			Vz	0.000	0.000	0.000	0.000	0.000	0.000	0.000	0.000	0.000
			Mt	0.00	0.00	0.00	0.00	0.00	0.00	0.00	0.00	0.00
			My	0.00	0.00	0.00	0.00	0.00	0.00	0.00	0.00	0.00
			Mz	51.31	44.92	38.52	32.12	25.73	19.33	12.93	6.53	0.14
		1.35·PP+1.5·T1+1.5·T4	N	-33.538	-29.400	-25.261	-21.123	-16.984	-12.845	-8.707	-4.568	-0.430
			Vy	10.321	10.321	10.321	10.321	10.321	10.321	10.321	10.321	10.321
			Vz	0.000	0.000	0.000	0.000	0.000	0.000	0.000	0.000	0.000
			Mt	0.00	0.00	0.00	0.00	0.00	0.00	0.00	0.00	0.00
			My	0.00	0.00	0.00	0.00	0.00	0.00	0.00	0.00	0.00
			Mz	51.74	45.29	38.84	32.39	25.94	19.49	13.03	6.58	0.13
		PP+1.5·T2+1.5·T4	N	-24.936	-21.871	-18.805	-15.739	-12.674	-9.608	-6.542	-3.477	-0.411
			Vy	20.225	20.225	20.225	20.225	20.225	20.225	20.225	20.225	20.225
			Vz	0.000	0.000	0.000	0.000	0.000	0.000	0.000	0.000	0.000
			Mt	0.00	0.00	0.00	0.00	0.00	0.00	0.00	0.00	0.00
			My	0.00	0.00	0.00	0.00	0.00	0.00	0.00	0.00	0.00
			Mz	101.41	88.77	76.13	63.49	50.85	38.21	25.57	12.93	0.29
		1.35·PP+1.5·T2+1.5·T4	N	-33.612	-29.474	-25.335	-21.196	-17.058	-12.919	-8.781	-4.642	-0.503
			Vy	20.311	20.311	20.311	20.311	20.311	20.311	20.311	20.311	20.311
			Vz	0.000	0.000	0.000	0.000	0.000	0.000	0.000	0.000	0.000
			Mt	0.00	0.00	0.00	0.00	0.00	0.00	0.00	0.00	0.00
			My	0.00	0.00	0.00	0.00	0.00	0.00	0.00	0.00	0.00
			Mz	101.84	89.14	76.45	63.75	51.06	38.37	25.67	12.98	0.28
		PP+1.5·T1+1.5·T2+1.5·T4	N	-24.899	-21.834	-18.768	-15.702	-12.637	-9.571	-6.506	-3.440	-0.374
			Vy	15.231	15.231	15.231	15.231	15.231	15.231	15.231	15.231	15.231
			Vz	0.000	0.000	0.000	0.000	0.000	0.000	0.000	0.000	0.000
			Mt	0.00	0.00	0.00	0.00	0.00	0.00	0.00	0.00	0.00
			My	0.00	0.00	0.00	0.00	0.00	0.00	0.00	0.00	0.00
			Mz	76.36	66.84	57.33	47.81	38.29	28.77	19.25	9.73	0.21
		1.35·PP+1.5·T1+1.5·T2+1.5·T4	N	-33.575	-29.437	-25.298	-21.159	-17.021	-12.882	-8.744	-4.605	-0.466
			Vy	15.316	15.316	15.316	15.316	15.316	15.316	15.316	15.316	15.316
			Vz	0.000	0.000	0.000	0.000	0.000	0.000	0.000	0.000	0.000
			Mt	0.00	0.00	0.00	0.00	0.00	0.00	0.00	0.00	0.00
			My	0.00	0.00	0.00	0.00	0.00	0.00	0.00	0.00	0.00
			Mz	76.79	67.22	57.64	48.07	38.50	28.93	19.35	9.78	0.21
		PP+1.5·T3+1.5·T4	N	-24.788	-21.723	-18.657	-15.592	-12.526	-9.460	-6.395	-3.329	-0.263
			Vy	0.246	0.246	0.246	0.246	0.246	0.246	0.246	0.246	0.246

Esfuerzos en barras, por combinación												
Barra	Combinación		Esfuerzo	Posiciones en la barra								
	Tipo	Descripción		0.000 m	0.625 m	1.250 m	1.875 m	2.500 m	3.125 m	3.750 m	4.375 m	5.000 m
			Vz	0.000	0.000	0.000	0.000	0.000	0.000	0.000	0.000	0.000
			Mt	0.00	0.00	0.00	0.00	0.00	0.00	0.00	0.00	0.00
			My	0.00	0.00	0.00	0.00	0.00	0.00	0.00	0.00	0.00
			Mz	1.22	1.06	0.91	0.76	0.60	0.45	0.30	0.14	-0.01
		1.35·PP+1.5·T3+1.5·T4	N	-33.464	-29.326	-25.187	-21.049	-16.910	-12.771	-8.633	-4.494	-0.356
			Vy	0.331	0.331	0.331	0.331	0.331	0.331	0.331	0.331	0.331
			Vz	0.000	0.000	0.000	0.000	0.000	0.000	0.000	0.000	0.000
			Mt	0.00	0.00	0.00	0.00	0.00	0.00	0.00	0.00	0.00
			My	0.00	0.00	0.00	0.00	0.00	0.00	0.00	0.00	0.00
			Mz	1.64	1.43	1.23	1.02	0.81	0.61	0.40	0.19	-0.02
		PP+1.5·T1+1.5·T3+1.5·T4	N	-24.752	-21.686	-18.620	-15.555	-12.489	-9.423	-6.358	-3.292	-0.227
			Vy	-4.749	-4.749	-4.749	-4.749	-4.749	-4.749	-4.749	-4.749	-4.749
			Vz	0.000	0.000	0.000	0.000	0.000	0.000	0.000	0.000	0.000
			Mt	0.00	0.00	0.00	0.00	0.00	0.00	0.00	0.00	0.00
			My	0.00	0.00	0.00	0.00	0.00	0.00	0.00	0.00	0.00
			Mz	-23.83	-20.86	-17.90	-14.93	-11.96	-8.99	-6.02	-3.05	-0.09
		1.35·PP+1.5·T1+1.5·T3+1.5·T4	N	-33.427	-29.289	-25.150	-21.012	-16.873	-12.735	-8.596	-4.457	-0.319
			Vy	-4.664	-4.664	-4.664	-4.664	-4.664	-4.664	-4.664	-4.664	-4.664
			Vz	0.000	0.000	0.000	0.000	0.000	0.000	0.000	0.000	0.000
			Mt	0.00	0.00	0.00	0.00	0.00	0.00	0.00	0.00	0.00
			My	0.00	0.00	0.00	0.00	0.00	0.00	0.00	0.00	0.00
			Mz	-23.41	-20.49	-17.58	-14.66	-11.75	-8.83	-5.92	-3.00	-0.09
		PP+1.5·T2+1.5·T3+1.5·T4	N	-24.825	-21.760	-18.694	-15.629	-12.563	-9.497	-6.432	-3.366	-0.300
			Vy	5.241	5.241	5.241	5.241	5.241	5.241	5.241	5.241	5.241
			Vz	0.000	0.000	0.000	0.000	0.000	0.000	0.000	0.000	0.000
			Mt	0.00	0.00	0.00	0.00	0.00	0.00	0.00	0.00	0.00
			My	0.00	0.00	0.00	0.00	0.00	0.00	0.00	0.00	0.00
			Mz	26.27	22.99	19.71	16.44	13.16	9.89	6.61	3.34	0.06
		1.35·PP+1.5·T2+1.5·T3+1.5·T4	N	-33.501	-29.363	-25.224	-21.086	-16.947	-12.808	-8.670	-4.531	-0.393
			Vy	5.326	5.326	5.326	5.326	5.326	5.326	5.326	5.326	5.326
			Vz	0.000	0.000	0.000	0.000	0.000	0.000	0.000	0.000	0.000
			Mt	0.00	0.00	0.00	0.00	0.00	0.00	0.00	0.00	0.00
			My	0.00	0.00	0.00	0.00	0.00	0.00	0.00	0.00	0.00
			Mz	26.69	23.36	20.03	16.70	13.37	10.05	6.72	3.39	0.06
		PP+1.5·T1+1.5·T2+1.5·T3+1.5·T4	N	-24.788	-21.723	-18.657	-15.592	-12.526	-9.460	-6.395	-3.329	-0.263
			Vy	0.246	0.246	0.246	0.246	0.246	0.246	0.246	0.246	0.246
			Vz	0.000	0.000	0.000	0.000	0.000	0.000	0.000	0.000	0.000
			Mt	0.00	0.00	0.00	0.00	0.00	0.00	0.00	0.00	0.00
			My	0.00	0.00	0.00	0.00	0.00	0.00	0.00	0.00	0.00
			Mz	1.22	1.06	0.91	0.76	0.60	0.45	0.30	0.14	-0.01
		1.35·PP+1.5·T1+1.5·T2+1.5·T3+1.5·T4	N	-33.464	-29.326	-25.187	-21.049	-16.910	-12.771	-8.633	-4.494	-0.356
			Vy	0.331	0.331	0.331	0.331	0.331	0.331	0.331	0.331	0.331
			Vz	0.000	0.000	0.000	0.000	0.000	0.000	0.000	0.000	0.000
			Mt	0.00	0.00	0.00	0.00	0.00	0.00	0.00	0.00	0.00
			My	0.00	0.00	0.00	0.00	0.00	0.00	0.00	0.00	0.00
			Mz	1.64	1.43	1.23	1.02	0.81	0.61	0.40	0.19	-0.02

Esfuerzos en barras, por combinación												
Barra	Combinación		Esfuerzo	Posiciones en la barra								
	Tipo	Descripción		0.000 m	0.875 m	1.750 m	2.625 m	3.500 m	4.375 m	5.250 m	6.125 m	7.000 m
N21/N22	Hormigón	PP	N	-27.721	-24.287	-20.854	-17.420	-13.987	-10.553	-7.120	-3.686	-0.253
			Vy	-0.010	-0.010	-0.010	-0.010	-0.010	-0.010	-0.010	-0.010	-0.010
			Vz	0.000	0.000	0.000	0.000	0.000	0.000	0.000	0.000	0.000
			Mt	0.00	0.00	0.00	0.00	0.00	0.00	0.00	0.00	0.00
			My	0.00	0.00	0.00	0.00	0.00	0.00	0.00	0.00	0.00
			Mz	-0.07	-0.07	-0.06	-0.05	-0.04	-0.03	-0.02	-0.02	-0.01
		1.35·PP	N	-37.423	-32.788	-28.153	-23.517	-18.882	-14.247	-9.612	-4.976	-0.341
			Vy	-0.013	-0.013	-0.013	-0.013	-0.013	-0.013	-0.013	-0.013	-0.013
			Vz	0.000	0.000	0.000	0.000	0.000	0.000	0.000	0.000	0.000
			Mt	0.00	0.00	0.00	0.00	0.00	0.00	0.00	0.00	0.00
			My	0.00	0.00	0.00	0.00	0.00	0.00	0.00	0.00	0.00
			Mz	-0.10	-0.09	-0.08	-0.07	-0.05	-0.04	-0.03	-0.02	-0.01
		PP+1.5·T1	N	-27.662	-24.229	-20.795	-17.362	-13.928	-10.495	-7.061	-3.628	-0.194
			Vy	2.024	2.024	2.024	2.024	2.024	2.024	2.024	2.024	2.024
			Vz	0.000	0.000	0.000	0.000	0.000	0.000	0.000	0.000	0.000
			Mt	0.00	0.00	0.00	0.00	0.00	0.00	0.00	0.00	0.00
			My	0.00	0.00	0.00	0.00	0.00	0.00	0.00	0.00	0.00
			Mz	13.83	12.06	10.28	8.51	6.74	4.97	3.20	1.43	-0.34
		1.35·PP+1.5·T1	N	-37.365	-32.729	-28.094	-23.459	-18.824	-14.188	-9.553	-4.918	-0.283
			Vy	2.020	2.020	2.020	2.020	2.020	2.020	2.020	2.020	2.020
			Vz	0.000	0.000	0.000	0.000	0.000	0.000	0.000	0.000	0.000
			Mt	0.00	0.00	0.00	0.00	0.00	0.00	0.00	0.00	0.00
			My	0.00	0.00	0.00	0.00	0.00	0.00	0.00	0.00	0.00
			Mz	13.80	12.03	10.26	8.50	6.73	4.96	3.19	1.43	-0.34
		PP+1.5·T2	N	-27.779	-24.346	-20.912	-17.479	-14.045	-10.612	-7.178	-3.745	-0.311
			Vy	-2.043	-2.043	-2.043	-2.043	-2.043	-2.043	-2.043	-2.043	-2.043
			Vz	0.000	0.000	0.000	0.000	0.000	0.000	0.000	0.000	0.000
			Mt	0.00	0.00	0.00	0.00	0.00	0.00	0.00	0.00	0.00
			My	0.00	0.00	0.00	0.00	0.00	0.00	0.00	0.00	0.00
			Mz	-13.97	-12.19	-10.40	-8.61	-6.82	-5.04	-3.25	-1.46	0.33

Esfuerzos en barras, por combinación

Barra	Combinación		Esfuerzo	Posiciones en la barra								
	Tipo	Descripción		0.000 m	0.875 m	1.750 m	2.625 m	3.500 m	4.375 m	5.250 m	6.125 m	7.000 m
		1.35·PP+1.5·T2	N	-37.481	-32.846	-28.211	-23.576	-18.940	-14.305	-9.670	-5.035	-0.400
			Vy	-2.046	-2.046	-2.046	-2.046	-2.046	-2.046	-2.046	-2.046	-2.046
			Vz	0.000	0.000	0.000	0.000	0.000	0.000	0.000	0.000	0.000
			Mt	0.00	0.00	0.00	0.00	0.00	0.00	0.00	0.00	0.00
			My	0.00	0.00	0.00	0.00	0.00	0.00	0.00	0.00	0.00
			Mz	-14.00	-12.21	-10.42	-8.63	-6.84	-5.05	-3.26	-1.47	0.32
		PP+1.5·T1+1.5·T2	N	-27.721	-24.287	-20.854	-17.420	-13.987	-10.553	-7.120	-3.686	-0.253
			Vy	-0.010	-0.010	-0.010	-0.010	-0.010	-0.010	-0.010	-0.010	-0.010
			Vz	0.000	0.000	0.000	0.000	0.000	0.000	0.000	0.000	0.000
			Mt	0.00	0.00	0.00	0.00	0.00	0.00	0.00	0.00	0.00
			My	0.00	0.00	0.00	0.00	0.00	0.00	0.00	0.00	0.00
			Mz	-0.07	-0.07	-0.06	-0.05	-0.04	-0.03	-0.02	-0.02	-0.01
		1.35·PP+1.5·T1+1.5·T2	N	-37.423	-32.788	-28.153	-23.517	-18.882	-14.247	-9.612	-4.976	-0.341
			Vy	-0.013	-0.013	-0.013	-0.013	-0.013	-0.013	-0.013	-0.013	-0.013
			Vz	0.000	0.000	0.000	0.000	0.000	0.000	0.000	0.000	0.000
			Mt	0.00	0.00	0.00	0.00	0.00	0.00	0.00	0.00	0.00
			My	0.00	0.00	0.00	0.00	0.00	0.00	0.00	0.00	0.00
			Mz	-0.10	-0.09	-0.08	-0.07	-0.05	-0.04	-0.03	-0.02	-0.01
		PP+1.5·T3	N	-27.545	-24.112	-20.678	-17.245	-13.811	-10.378	-6.944	-3.511	-0.077
			Vy	6.090	6.090	6.090	6.090	6.090	6.090	6.090	6.090	6.090
			Vz	0.000	0.000	0.000	0.000	0.000	0.000	0.000	0.000	0.000
			Mt	0.00	0.00	0.00	0.00	0.00	0.00	0.00	0.00	0.00
			My	0.00	0.00	0.00	0.00	0.00	0.00	0.00	0.00	0.00
			Mz	41.63	36.30	30.97	25.64	20.31	14.98	9.65	4.32	-1.00
		1.35·PP+1.5·T3	N	-37.248	-32.612	-27.977	-23.342	-18.707	-14.072	-9.436	-4.801	-0.166
			Vy	6.087	6.087	6.087	6.087	6.087	6.087	6.087	6.087	6.087
			Vz	0.000	0.000	0.000	0.000	0.000	0.000	0.000	0.000	0.000
			Mt	0.00	0.00	0.00	0.00	0.00	0.00	0.00	0.00	0.00
			My	0.00	0.00	0.00	0.00	0.00	0.00	0.00	0.00	0.00
			Mz	41.60	36.27	30.95	25.62	20.30	14.97	9.64	4.32	-1.01
		PP+1.5·T1+1.5·T3	N	-27.487	-24.054	-20.620	-17.187	-13.753	-10.320	-6.886	-3.453	-0.019
			Vy	8.123	8.123	8.123	8.123	8.123	8.123	8.123	8.123	8.123
			Vz	0.000	0.000	0.000	0.000	0.000	0.000	0.000	0.000	0.000
			Mt	0.00	0.00	0.00	0.00	0.00	0.00	0.00	0.00	0.00
			My	0.00	0.00	0.00	0.00	0.00	0.00	0.00	0.00	0.00
			Mz	55.53	48.42	41.31	34.20	27.09	19.99	12.88	5.77	-1.34
		1.35·PP+1.5·T1+1.5·T3	N	-37.189	-32.554	-27.919	-23.284	-18.648	-14.013	-9.378	-4.743	-0.107
			Vy	8.120	8.120	8.120	8.120	8.120	8.120	8.120	8.120	8.120
			Vz	0.000	0.000	0.000	0.000	0.000	0.000	0.000	0.000	0.000
			Mt	0.00	0.00	0.00	0.00	0.00	0.00	0.00	0.00	0.00
			My	0.00	0.00	0.00	0.00	0.00	0.00	0.00	0.00	0.00
			Mz	55.50	48.39	41.29	34.18	27.08	19.97	12.87	5.76	-1.34
		PP+1.5·T2+1.5·T3	N	-27.604	-24.170	-20.737	-17.303	-13.870	-10.436	-7.003	-3.569	-0.136
			Vy	4.057	4.057	4.057	4.057	4.057	4.057	4.057	4.057	4.057
			Vz	0.000	0.000	0.000	0.000	0.000	0.000	0.000	0.000	0.000
			Mt	0.00	0.00	0.00	0.00	0.00	0.00	0.00	0.00	0.00
			My	0.00	0.00	0.00	0.00	0.00	0.00	0.00	0.00	0.00
			Mz	27.73	24.18	20.63	17.08	13.53	9.98	6.43	2.88	-0.67
		1.35·PP+1.5·T2+1.5·T3	N	-37.306	-32.671	-28.036	-23.400	-18.765	-14.130	-9.495	-4.860	-0.224
			Vy	4.054	4.054	4.054	4.054	4.054	4.054	4.054	4.054	4.054
			Vz	0.000	0.000	0.000	0.000	0.000	0.000	0.000	0.000	0.000
			Mt	0.00	0.00	0.00	0.00	0.00	0.00	0.00	0.00	0.00
			My	0.00	0.00	0.00	0.00	0.00	0.00	0.00	0.00	0.00
			Mz	27.70	24.15	20.61	17.06	13.51	9.97	6.42	2.87	-0.67
		PP+1.5·T1+1.5·T2+1.5·T3	N	-27.545	-24.112	-20.678	-17.245	-13.811	-10.378	-6.944	-3.511	-0.077
			Vy	6.090	6.090	6.090	6.090	6.090	6.090	6.090	6.090	6.090
			Vz	0.000	0.000	0.000	0.000	0.000	0.000	0.000	0.000	0.000
			Mt	0.00	0.00	0.00	0.00	0.00	0.00	0.00	0.00	0.00
			My	0.00	0.00	0.00	0.00	0.00	0.00	0.00	0.00	0.00
			Mz	41.63	36.30	30.97	25.64	20.31	14.98	9.65	4.32	-1.00
		1.35·PP+1.5·T1+1.5·T2+1.5·T3	N	-37.248	-32.612	-27.977	-23.342	-18.707	-14.072	-9.436	-4.801	-0.166
			Vy	6.087	6.087	6.087	6.087	6.087	6.087	6.087	6.087	6.087
			Vz	0.000	0.000	0.000	0.000	0.000	0.000	0.000	0.000	0.000
			Mt	0.00	0.00	0.00	0.00	0.00	0.00	0.00	0.00	0.00
			My	0.00	0.00	0.00	0.00	0.00	0.00	0.00	0.00	0.00
			Mz	41.60	36.27	30.95	25.62	20.30	14.97	9.64	4.32	-1.01
		PP+1.5·T4	N	-27.896	-24.462	-21.029	-17.595	-14.162	-10.728	-7.295	-3.861	-0.428
			Vy	-6.109	-6.109	-6.109	-6.109	-6.109	-6.109	-6.109	-6.109	-6.109
			Vz	0.000	0.000	0.000	0.000	0.000	0.000	0.000	0.000	0.000
			Mt	0.00	0.00	0.00	0.00	0.00	0.00	0.00	0.00	0.00
			My	0.00	0.00	0.00	0.00	0.00	0.00	0.00	0.00	0.00
			Mz	-41.77	-36.43	-31.08	-25.74	-20.39	-15.05	-9.70	-4.36	0.99
		1.35·PP+1.5·T4	N	-37.598	-32.963	-28.328	-23.693	-19.057	-14.422	-9.787	-5.152	-0.516
			Vy	-6.112	-6.112	-6.112	-6.112	-6.112	-6.112	-6.112	-6.112	-6.112
			Vz	0.000	0.000	0.000	0.000	0.000	0.000	0.000	0.000	0.000
			Mt	0.00	0.00	0.00	0.00	0.00	0.00	0.00	0.00	0.00
			My	0.00	0.00	0.00	0.00	0.00	0.00	0.00	0.00	0.00
			Mz	-41.80	-36.45	-31.10	-25.75	-20.41	-15.06	-9.71	-4.36	0.99
		PP+1.5·T1+1.5·T4	N	-27.838	-24.404	-20.971	-17.537	-14.104	-10.670	-7.237	-3.803	-0.370
			Vy	-4.076	-4.076	-4.076	-4.076	-4.076	-4.076	-4.076	-4.076	-4.076
			Vz	0.000	0.000	0.000	0.000	0.000	0.000	0.000	0.000	0.000

Esfuerzos en barras, por combinación

Barra	Combinación		Esfuerzo	Posiciones en la barra								
	Tipo	Descripción		0.000 m	0.875 m	1.750 m	2.625 m	3.500 m	4.375 m	5.250 m	6.125 m	7.000 m
			Mt	0.00	0.00	0.00	0.00	0.00	0.00	0.00	0.00	0.00
			My	0.00	0.00	0.00	0.00	0.00	0.00	0.00	0.00	0.00
			Mz	-27.87	-24.31	-20.74	-17.17	-13.61	-10.04	-6.47	-2.91	0.66
		1.35·PP+1.5·T1+1.5·T4	N	-37.540	-32.905	-28.269	-23.634	-18.999	-14.364	-9.728	-5.093	-0.458
			Vy	-4.079	-4.079	-4.079	-4.079	-4.079	-4.079	-4.079	-4.079	-4.079
			Vz	0.000	0.000	0.000	0.000	0.000	0.000	0.000	0.000	0.000
			Mt	0.00	0.00	0.00	0.00	0.00	0.00	0.00	0.00	0.00
			My	0.00	0.00	0.00	0.00	0.00	0.00	0.00	0.00	0.00
			Mz	-27.90	-24.33	-20.76	-17.19	-13.62	-10.05	-6.48	-2.91	0.66
		PP+1.5·T2+1.5·T4	N	-27.954	-24.521	-21.087	-17.654	-14.220	-10.787	-7.353	-3.920	-0.486
			Vy	-8.142	-8.142	-8.142	-8.142	-8.142	-8.142	-8.142	-8.142	-8.142
			Vz	0.000	0.000	0.000	0.000	0.000	0.000	0.000	0.000	0.000
			Mt	0.00	0.00	0.00	0.00	0.00	0.00	0.00	0.00	0.00
			My	0.00	0.00	0.00	0.00	0.00	0.00	0.00	0.00	0.00
			Mz	-55.67	-48.55	-41.42	-34.30	-27.18	-20.05	-12.93	-5.80	1.32
		1.35·PP+1.5·T2+1.5·T4	N	-37.657	-33.021	-28.386	-23.751	-19.116	-14.481	-9.845	-5.210	-0.575
			Vy	-8.146	-8.146	-8.146	-8.146	-8.146	-8.146	-8.146	-8.146	-8.146
			Vz	0.000	0.000	0.000	0.000	0.000	0.000	0.000	0.000	0.000
			Mt	0.00	0.00	0.00	0.00	0.00	0.00	0.00	0.00	0.00
			My	0.00	0.00	0.00	0.00	0.00	0.00	0.00	0.00	0.00
			Mz	-55.70	-48.57	-41.44	-34.32	-27.19	-20.06	-12.93	-5.81	1.32
		PP+1.5·T1+1.5·T2+1.5·T4	N	-27.896	-24.462	-21.029	-17.595	-14.162	-10.728	-7.295	-3.861	-0.428
			Vy	-6.109	-6.109	-6.109	-6.109	-6.109	-6.109	-6.109	-6.109	-6.109
			Vz	0.000	0.000	0.000	0.000	0.000	0.000	0.000	0.000	0.000
			Mt	0.00	0.00	0.00	0.00	0.00	0.00	0.00	0.00	0.00
			My	0.00	0.00	0.00	0.00	0.00	0.00	0.00	0.00	0.00
			Mz	-41.77	-36.43	-31.08	-25.74	-20.39	-15.05	-9.70	-4.36	0.99
		1.35·PP+1.5·T1+1.5·T2+1.5·T4	N	-37.598	-32.963	-28.328	-23.693	-19.057	-14.422	-9.787	-5.152	-0.516
			Vy	-6.112	-6.112	-6.112	-6.112	-6.112	-6.112	-6.112	-6.112	-6.112
			Vz	0.000	0.000	0.000	0.000	0.000	0.000	0.000	0.000	0.000
			Mt	0.00	0.00	0.00	0.00	0.00	0.00	0.00	0.00	0.00
			My	0.00	0.00	0.00	0.00	0.00	0.00	0.00	0.00	0.00
			Mz	-41.80	-36.45	-31.10	-25.75	-20.41	-15.06	-9.71	-4.36	0.99
		PP+1.5·T3+1.5·T4	N	-27.721	-24.287	-20.854	-17.420	-13.987	-10.553	-7.120	-3.686	-0.253
			Vy	-0.010	-0.010	-0.010	-0.010	-0.010	-0.010	-0.010	-0.010	-0.010
			Vz	0.000	0.000	0.000	0.000	0.000	0.000	0.000	0.000	0.000
			Mt	0.00	0.00	0.00	0.00	0.00	0.00	0.00	0.00	0.00
			My	0.00	0.00	0.00	0.00	0.00	0.00	0.00	0.00	0.00
			Mz	-0.07	-0.07	-0.06	-0.05	-0.04	-0.03	-0.02	-0.02	-0.01
		1.35·PP+1.5·T3+1.5·T4	N	-37.423	-32.788	-28.153	-23.517	-18.882	-14.247	-9.612	-4.976	-0.341
			Vy	-0.013	-0.013	-0.013	-0.013	-0.013	-0.013	-0.013	-0.013	-0.013
			Vz	0.000	0.000	0.000	0.000	0.000	0.000	0.000	0.000	0.000
			Mt	0.00	0.00	0.00	0.00	0.00	0.00	0.00	0.00	0.00
			My	0.00	0.00	0.00	0.00	0.00	0.00	0.00	0.00	0.00
			Mz	-0.10	-0.09	-0.08	-0.07	-0.05	-0.04	-0.03	-0.02	-0.01
		PP+1.5·T1+1.5·T3+1.5·T4	N	-27.662	-24.229	-20.795	-17.362	-13.928	-10.495	-7.061	-3.628	-0.194
			Vy	2.024	2.024	2.024	2.024	2.024	2.024	2.024	2.024	2.024
			Vz	0.000	0.000	0.000	0.000	0.000	0.000	0.000	0.000	0.000
			Mt	0.00	0.00	0.00	0.00	0.00	0.00	0.00	0.00	0.00
			My	0.00	0.00	0.00	0.00	0.00	0.00	0.00	0.00	0.00
			Mz	13.83	12.06	10.28	8.51	6.74	4.97	3.20	1.43	-0.34
		1.35·PP+1.5·T1+1.5·T3+1.5·T4	N	-37.365	-32.729	-28.094	-23.459	-18.824	-14.188	-9.553	-4.918	-0.283
			Vy	2.020	2.020	2.020	2.020	2.020	2.020	2.020	2.020	2.020
			Vz	0.000	0.000	0.000	0.000	0.000	0.000	0.000	0.000	0.000
			Mt	0.00	0.00	0.00	0.00	0.00	0.00	0.00	0.00	0.00
			My	0.00	0.00	0.00	0.00	0.00	0.00	0.00	0.00	0.00
			Mz	13.80	12.03	10.26	8.50	6.73	4.96	3.19	1.43	-0.34
		PP+1.5·T2+1.5·T3+1.5·T4	N	-27.779	-24.346	-20.912	-17.479	-14.045	-10.612	-7.178	-3.745	-0.311
			Vy	-2.043	-2.043	-2.043	-2.043	-2.043	-2.043	-2.043	-2.043	-2.043
			Vz	0.000	0.000	0.000	0.000	0.000	0.000	0.000	0.000	0.000
			Mt	0.00	0.00	0.00	0.00	0.00	0.00	0.00	0.00	0.00
			My	0.00	0.00	0.00	0.00	0.00	0.00	0.00	0.00	0.00
			Mz	-13.97	-12.19	-10.40	-8.61	-6.82	-5.04	-3.25	-1.46	0.33
		1.35·PP+1.5·T2+1.5·T3+1.5·T4	N	-37.481	-32.846	-28.211	-23.576	-18.940	-14.305	-9.670	-5.035	-0.400
			Vy	-2.046	-2.046	-2.046	-2.046	-2.046	-2.046	-2.046	-2.046	-2.046
			Vz	0.000	0.000	0.000	0.000	0.000	0.000	0.000	0.000	0.000
			Mt	0.00	0.00	0.00	0.00	0.00	0.00	0.00	0.00	0.00
			My	0.00	0.00	0.00	0.00	0.00	0.00	0.00	0.00	0.00
			Mz	-14.00	-12.21	-10.42	-8.63	-6.84	-5.05	-3.26	-1.47	0.32
		PP+1.5·T1+1.5·T2+1.5·T3+1.5·T4	N	-27.721	-24.287	-20.854	-17.420	-13.987	-10.553	-7.120	-3.686	-0.253
			Vy	-0.010	-0.010	-0.010	-0.010	-0.010	-0.010	-0.010	-0.010	-0.010
			Vz	0.000	0.000	0.000	0.000	0.000	0.000	0.000	0.000	0.000
			Mt	0.00	0.00	0.00	0.00	0.00	0.00	0.00	0.00	0.00
			My	0.00	0.00	0.00	0.00	0.00	0.00	0.00	0.00	0.00
			Mz	-0.07	-0.07	-0.06	-0.05	-0.04	-0.03	-0.02	-0.02	-0.01
		1.35·PP+1.5·T1+1.5·T2+1.5·T3+1.5·T4	N	-37.423	-32.788	-28.153	-23.517	-18.882	-14.247	-9.612	-4.976	-0.341
			Vy	-0.013	-0.013	-0.013	-0.013	-0.013	-0.013	-0.013	-0.013	-0.013
			Vz	0.000	0.000	0.000	0.000	0.000	0.000	0.000	0.000	0.000
			Mt	0.00	0.00	0.00	0.00	0.00	0.00	0.00	0.00	0.00
			My	0.00	0.00	0.00	0.00	0.00	0.00	0.00	0.00	0.00
			Mz	-0.10	-0.09	-0.08	-0.07	-0.05	-0.04	-0.03	-0.02	-0.01

Esfuerzos en barras, por combinación

Barra	Combinación		Esfuerzo	Posiciones en la barra								
	Tipo	Descripción		0.000 m	0.875 m	1.750 m	2.625 m	3.500 m	4.375 m	5.250 m	6.125 m	7.000 m
N23/N24	Hormigón	PP	N	-27.590	-24.157	-20.723	-17.290	-13.856	-10.423	-6.989	-3.556	-0.122
			Vy	0.007	0.007	0.007	0.007	0.007	0.007	0.007	0.007	0.007
			Vz	0.000	0.000	0.000	0.000	0.000	0.000	0.000	0.000	0.000
			Mt	0.00	0.00	0.00	0.00	0.00	0.00	0.00	0.00	0.00
			My	0.00	0.00	0.00	0.00	0.00	0.00	0.00	0.00	0.00
			Mz	-0.04	-0.04	-0.05	-0.05	-0.06	-0.07	-0.07	-0.08	-0.08
		1.35·PP	N	-37.247	-32.612	-27.976	-23.341	-18.706	-14.071	-9.435	-4.800	-0.165
			Vy	0.009	0.009	0.009	0.009	0.009	0.009	0.009	0.009	0.009
			Vz	0.000	0.000	0.000	0.000	0.000	0.000	0.000	0.000	0.000
			Mt	0.00	0.00	0.00	0.00	0.00	0.00	0.00	0.00	0.00
			My	0.00	0.00	0.00	0.00	0.00	0.00	0.00	0.00	0.00
			Mz	-0.05	-0.06	-0.07	-0.07	-0.08	-0.09	-0.10	-0.11	-0.11
		PP+1.5·T1	N	-27.692	-24.258	-20.825	-17.391	-13.958	-10.524	-7.091	-3.657	-0.224
			Vy	2.368	2.368	2.368	2.368	2.368	2.368	2.368	2.368	2.368
			Vz	0.000	0.000	0.000	0.000	0.000	0.000	0.000	0.000	0.000
			Mt	0.00	0.00	0.00	0.00	0.00	0.00	0.00	0.00	0.00
			My	0.00	0.00	0.00	0.00	0.00	0.00	0.00	0.00	0.00
			Mz	16.27	14.20	12.13	10.06	7.98	5.91	3.84	1.77	-0.30
		1.35·PP+1.5·T1	N	-37.348	-32.713	-28.078	-23.443	-18.807	-14.172	-9.537	-4.902	-0.266
			Vy	2.370	2.370	2.370	2.370	2.370	2.370	2.370	2.370	2.370
			Vz	0.000	0.000	0.000	0.000	0.000	0.000	0.000	0.000	0.000
			Mt	0.00	0.00	0.00	0.00	0.00	0.00	0.00	0.00	0.00
			My	0.00	0.00	0.00	0.00	0.00	0.00	0.00	0.00	0.00
			Mz	16.26	14.19	12.11	10.04	7.96	5.89	3.81	1.74	-0.33
		PP+1.5·T2	N	-27.489	-24.055	-20.622	-17.188	-13.755	-10.321	-6.888	-3.454	-0.021
			Vy	-2.354	-2.354	-2.354	-2.354	-2.354	-2.354	-2.354	-2.354	-2.354
			Vz	0.000	0.000	0.000	0.000	0.000	0.000	0.000	0.000	0.000
			Mt	0.00	0.00	0.00	0.00	0.00	0.00	0.00	0.00	0.00
			My	0.00	0.00	0.00	0.00	0.00	0.00	0.00	0.00	0.00
			Mz	-16.34	-14.28	-12.22	-10.16	-8.11	-6.05	-3.99	-1.93	0.13
		1.35·PP+1.5·T2	N	-37.145	-32.510	-27.875	-23.240	-18.604	-13.969	-9.334	-4.699	-0.064
			Vy	-2.352	-2.352	-2.352	-2.352	-2.352	-2.352	-2.352	-2.352	-2.352
			Vz	0.000	0.000	0.000	0.000	0.000	0.000	0.000	0.000	0.000
			Mt	0.00	0.00	0.00	0.00	0.00	0.00	0.00	0.00	0.00
			My	0.00	0.00	0.00	0.00	0.00	0.00	0.00	0.00	0.00
			Mz	-16.36	-14.30	-12.24	-10.18	-8.13	-6.07	-4.01	-1.95	0.11
		PP+1.5·T1+1.5·T2	N	-27.590	-24.157	-20.723	-17.290	-13.856	-10.423	-6.989	-3.556	-0.122
			Vy	0.007	0.007	0.007	0.007	0.007	0.007	0.007	0.007	0.007
			Vz	0.000	0.000	0.000	0.000	0.000	0.000	0.000	0.000	0.000
			Mt	0.00	0.00	0.00	0.00	0.00	0.00	0.00	0.00	0.00
			My	0.00	0.00	0.00	0.00	0.00	0.00	0.00	0.00	0.00
			Mz	-0.04	-0.04	-0.05	-0.05	-0.06	-0.07	-0.07	-0.08	-0.08
		1.35·PP+1.5·T1+1.5·T2	N	-37.247	-32.612	-27.976	-23.341	-18.706	-14.071	-9.435	-4.800	-0.165
			Vy	0.009	0.009	0.009	0.009	0.009	0.009	0.009	0.009	0.009
			Vz	0.000	0.000	0.000	0.000	0.000	0.000	0.000	0.000	0.000
			Mt	0.00	0.00	0.00	0.00	0.00	0.00	0.00	0.00	0.00
			My	0.00	0.00	0.00	0.00	0.00	0.00	0.00	0.00	0.00
			Mz	-0.05	-0.06	-0.07	-0.07	-0.08	-0.09	-0.10	-0.11	-0.11
		PP+1.5·T3	N	-27.895	-24.461	-21.028	-17.594	-14.161	-10.727	-7.294	-3.860	-0.427
			Vy	7.090	7.090	7.090	7.090	7.090	7.090	7.090	7.090	7.090
			Vz	0.000	0.000	0.000	0.000	0.000	0.000	0.000	0.000	0.000
			Mt	0.00	0.00	0.00	0.00	0.00	0.00	0.00	0.00	0.00
			My	0.00	0.00	0.00	0.00	0.00	0.00	0.00	0.00	0.00
			Mz	48.89	42.69	36.48	30.28	24.07	17.87	11.67	5.46	-0.74
		1.35·PP+1.5·T3	N	-37.551	-32.916	-28.281	-23.646	-19.010	-14.375	-9.740	-5.105	-0.469
			Vy	7.093	7.093	7.093	7.093	7.093	7.093	7.093	7.093	7.093
			Vz	0.000	0.000	0.000	0.000	0.000	0.000	0.000	0.000	0.000
			Mt	0.00	0.00	0.00	0.00	0.00	0.00	0.00	0.00	0.00
			My	0.00	0.00	0.00	0.00	0.00	0.00	0.00	0.00	0.00
			Mz	48.88	42.67	36.46	30.26	24.05	17.85	11.64	5.43	-0.77
		PP+1.5·T1+1.5·T3	N	-27.996	-24.563	-21.129	-17.696	-14.262	-10.829	-7.395	-3.962	-0.528
			Vy	9.451	9.451	9.451	9.451	9.451	9.451	9.451	9.451	9.451
			Vz	0.000	0.000	0.000	0.000	0.000	0.000	0.000	0.000	0.000
			Mt	0.00	0.00	0.00	0.00	0.00	0.00	0.00	0.00	0.00
			My	0.00	0.00	0.00	0.00	0.00	0.00	0.00	0.00	0.00
			Mz	65.20	56.93	48.66	40.39	32.12	23.85	15.58	7.31	-0.96
		1.35·PP+1.5·T1+1.5·T3	N	-37.653	-33.018	-28.382	-23.747	-19.112	-14.477	-9.841	-5.206	-0.571
			Vy	9.454	9.454	9.454	9.454	9.454	9.454	9.454	9.454	9.454
			Vz	0.000	0.000	0.000	0.000	0.000	0.000	0.000	0.000	0.000
			Mt	0.00	0.00	0.00	0.00	0.00	0.00	0.00	0.00	0.00
			My	0.00	0.00	0.00	0.00	0.00	0.00	0.00	0.00	0.00
			Mz	65.19	56.91	48.64	40.37	32.10	23.83	15.55	7.28	-0.99
		PP+1.5·T2+1.5·T3	N	-27.793	-24.360	-20.926	-17.493	-14.059	-10.626	-7.192	-3.759	-0.325
			Vy	4.729	4.729	4.729	4.729	4.729	4.729	4.729	4.729	4.729
			Vz	0.000	0.000	0.000	0.000	0.000	0.000	0.000	0.000	0.000
			Mt	0.00	0.00	0.00	0.00	0.00	0.00	0.00	0.00	0.00
			My	0.00	0.00	0.00	0.00	0.00	0.00	0.00	0.00	0.00
			Mz	32.58	28.44	24.30	20.17	16.03	11.89	7.75	3.62	-0.52
		1.35·PP+1.5·T2+1.5·T3	N	-37.450	-32.815	-28.179	-23.544	-18.909	-14.274	-9.638	-5.003	-0.368
			Vy	4.732	4.732	4.732	4.732	4.732	4.732	4.732	4.732	4.732
			Vz	0.000	0.000	0.000	0.000	0.000	0.000	0.000	0.000	0.000

Esfuerzos en barras, por combinación

Barra	Combinación		Esfuerzo	Posiciones en la barra								
	Tipo	Descripción		0.000 m	0.875 m	1.750 m	2.625 m	3.500 m	4.375 m	5.250 m	6.125 m	7.000 m
			Mt	0.00	0.00	0.00	0.00	0.00	0.00	0.00	0.00	0.00
			My	0.00	0.00	0.00	0.00	0.00	0.00	0.00	0.00	0.00
			Mz	32.57	28.43	24.29	20.15	16.01	11.87	7.73	3.59	-0.55
		PP+1.5·T1+1.5·T2+1.5·T3	N	-27.895	-24.461	-21.028	-17.594	-14.161	-10.727	-7.294	-3.860	-0.427
			Vy	7.090	7.090	7.090	7.090	7.090	7.090	7.090	7.090	7.090
			Vz	0.000	0.000	0.000	0.000	0.000	0.000	0.000	0.000	0.000
			Mt	0.00	0.00	0.00	0.00	0.00	0.00	0.00	0.00	0.00
			My	0.00	0.00	0.00	0.00	0.00	0.00	0.00	0.00	0.00
			Mz	48.89	42.69	36.48	30.28	24.07	17.87	11.67	5.46	-0.74
		1.35·PP+1.5·T1+1.5·T2+1.5·T3	N	-37.551	-32.916	-28.281	-23.646	-19.010	-14.375	-9.740	-5.105	-0.469
			Vy	7.093	7.093	7.093	7.093	7.093	7.093	7.093	7.093	7.093
			Vz	0.000	0.000	0.000	0.000	0.000	0.000	0.000	0.000	0.000
			Mt	0.00	0.00	0.00	0.00	0.00	0.00	0.00	0.00	0.00
			My	0.00	0.00	0.00	0.00	0.00	0.00	0.00	0.00	0.00
			Mz	48.88	42.67	36.46	30.26	24.05	17.85	11.64	5.43	-0.77
		PP+1.5·T4	N	-27.286	-23.852	-20.419	-16.985	-13.552	-10.118	-6.685	-3.251	0.182
			Vy	-7.076	-7.076	-7.076	-7.076	-7.076	-7.076	-7.076	-7.076	-7.076
			Vz	0.000	0.000	0.000	0.000	0.000	0.000	0.000	0.000	0.000
			Mt	0.00	0.00	0.00	0.00	0.00	0.00	0.00	0.00	0.00
			My	0.00	0.00	0.00	0.00	0.00	0.00	0.00	0.00	0.00
			Mz	-48.96	-42.77	-36.58	-30.39	-24.19	-18.00	-11.81	-5.62	0.57
		1.35·PP+1.5·T4	N	-36.942	-32.307	-27.672	-23.037	-18.401	-13.766	-9.131	-4.496	0.139
			Vy	-7.074	-7.074	-7.074	-7.074	-7.074	-7.074	-7.074	-7.074	-7.074
			Vz	0.000	0.000	0.000	0.000	0.000	0.000	0.000	0.000	0.000
			Mt	0.00	0.00	0.00	0.00	0.00	0.00	0.00	0.00	0.00
			My	0.00	0.00	0.00	0.00	0.00	0.00	0.00	0.00	0.00
			Mz	-48.97	-42.78	-36.60	-30.41	-24.22	-18.03	-11.84	-5.65	0.54
		PP+1.5·T1+1.5·T4	N	-27.387	-23.954	-20.520	-17.087	-13.653	-10.220	-6.786	-3.353	0.081
			Vy	-4.715	-4.715	-4.715	-4.715	-4.715	-4.715	-4.715	-4.715	-4.715
			Vz	0.000	0.000	0.000	0.000	0.000	0.000	0.000	0.000	0.000
			Mt	0.00	0.00	0.00	0.00	0.00	0.00	0.00	0.00	0.00
			My	0.00	0.00	0.00	0.00	0.00	0.00	0.00	0.00	0.00
			Mz	-32.65	-28.53	-24.40	-20.28	-16.15	-12.02	-7.90	-3.77	0.35
		1.35·PP+1.5·T1+1.5·T4	N	-37.044	-32.409	-27.773	-23.138	-18.503	-13.868	-9.232	-4.597	0.038
			Vy	-4.713	-4.713	-4.713	-4.713	-4.713	-4.713	-4.713	-4.713	-4.713
			Vz	0.000	0.000	0.000	0.000	0.000	0.000	0.000	0.000	0.000
			Mt	0.00	0.00	0.00	0.00	0.00	0.00	0.00	0.00	0.00
			My	0.00	0.00	0.00	0.00	0.00	0.00	0.00	0.00	0.00
			Mz	-32.67	-28.54	-24.42	-20.29	-16.17	-12.05	-7.92	-3.80	0.32
		PP+1.5·T2+1.5·T4	N	-27.184	-23.751	-20.317	-16.884	-13.450	-10.017	-6.583	-3.150	0.284
			Vy	-9.438	-9.438	-9.438	-9.438	-9.438	-9.438	-9.438	-9.438	-9.438
			Vz	0.000	0.000	0.000	0.000	0.000	0.000	0.000	0.000	0.000
			Mt	0.00	0.00	0.00	0.00	0.00	0.00	0.00	0.00	0.00
			My	0.00	0.00	0.00	0.00	0.00	0.00	0.00	0.00	0.00
			Mz	-65.27	-57.01	-48.75	-40.50	-32.24	-23.98	-15.72	-7.47	0.79
		1.35·PP+1.5·T2+1.5·T4	N	-36.841	-32.206	-27.570	-22.935	-18.300	-13.665	-9.029	-4.394	0.241
			Vy	-9.435	-9.435	-9.435	-9.435	-9.435	-9.435	-9.435	-9.435	-9.435
			Vz	0.000	0.000	0.000	0.000	0.000	0.000	0.000	0.000	0.000
			Mt	0.00	0.00	0.00	0.00	0.00	0.00	0.00	0.00	0.00
			My	0.00	0.00	0.00	0.00	0.00	0.00	0.00	0.00	0.00
			Mz	-65.28	-57.03	-48.77	-40.52	-32.26	-24.00	-15.75	-7.49	0.76
		PP+1.5·T1+1.5·T2+1.5·T4	N	-27.286	-23.852	-20.419	-16.985	-13.552	-10.118	-6.685	-3.251	0.182
			Vy	-7.076	-7.076	-7.076	-7.076	-7.076	-7.076	-7.076	-7.076	-7.076
			Vz	0.000	0.000	0.000	0.000	0.000	0.000	0.000	0.000	0.000
			Mt	0.00	0.00	0.00	0.00	0.00	0.00	0.00	0.00	0.00
			My	0.00	0.00	0.00	0.00	0.00	0.00	0.00	0.00	0.00
			Mz	-48.96	-42.77	-36.58	-30.39	-24.19	-18.00	-11.81	-5.62	0.57
		1.35·PP+1.5·T1+1.5·T2+1.5·T4	N	-36.942	-32.307	-27.672	-23.037	-18.401	-13.766	-9.131	-4.496	0.139
			Vy	-7.074	-7.074	-7.074	-7.074	-7.074	-7.074	-7.074	-7.074	-7.074
			Vz	0.000	0.000	0.000	0.000	0.000	0.000	0.000	0.000	0.000
			Mt	0.00	0.00	0.00	0.00	0.00	0.00	0.00	0.00	0.00
			My	0.00	0.00	0.00	0.00	0.00	0.00	0.00	0.00	0.00
			Mz	-48.97	-42.78	-36.60	-30.41	-24.22	-18.03	-11.84	-5.65	0.54
		PP+1.5·T3+1.5·T4	N	-27.590	-24.157	-20.723	-17.290	-13.856	-10.423	-6.989	-3.556	-0.122
			Vy	0.007	0.007	0.007	0.007	0.007	0.007	0.007	0.007	0.007
			Vz	0.000	0.000	0.000	0.000	0.000	0.000	0.000	0.000	0.000
			Mt	0.00	0.00	0.00	0.00	0.00	0.00	0.00	0.00	0.00
			My	0.00	0.00	0.00	0.00	0.00	0.00	0.00	0.00	0.00
			Mz	-0.04	-0.04	-0.05	-0.05	-0.06	-0.07	-0.07	-0.08	-0.08
		1.35·PP+1.5·T3+1.5·T4	N	-37.247	-32.612	-27.976	-23.341	-18.706	-14.071	-9.435	-4.800	-0.165
			Vy	0.009	0.009	0.009	0.009	0.009	0.009	0.009	0.009	0.009
			Vz	0.000	0.000	0.000	0.000	0.000	0.000	0.000	0.000	0.000
			Mt	0.00	0.00	0.00	0.00	0.00	0.00	0.00	0.00	0.00
			My	0.00	0.00	0.00	0.00	0.00	0.00	0.00	0.00	0.00
			Mz	-0.05	-0.06	-0.07	-0.07	-0.08	-0.09	-0.10	-0.11	-0.11
		PP+1.5·T1+1.5·T3+1.5·T4	N	-27.692	-24.258	-20.825	-17.391	-13.958	-10.524	-7.091	-3.657	-0.224
			Vy	2.368	2.368	2.368	2.368	2.368	2.368	2.368	2.368	2.368
			Vz	0.000	0.000	0.000	0.000	0.000	0.000	0.000	0.000	0.000
			Mt	0.00	0.00	0.00	0.00	0.00	0.00	0.00	0.00	0.00
			My	0.00	0.00	0.00	0.00	0.00	0.00	0.00	0.00	0.00
			Mz	16.27	14.20	12.13	10.06	7.98	5.91	3.84	1.77	-0.30

Esfuerzos en barras, por combinación												
Barra	Combinación		Esfuerzo	Posiciones en la barra								
	Tipo	Descripción		0.000 m	0.875 m	1.750 m	2.625 m	3.500 m	4.375 m	5.250 m	6.125 m	7.000 m
		1.35·PP+1.5·T1+1.5·T3+1.5·T4	N	-37.348	-32.713	-28.078	-23.443	-18.807	-14.172	-9.537	-4.902	-0.266
			Vy	2.370	2.370	2.370	2.370	2.370	2.370	2.370	2.370	2.370
			Vz	0.000	0.000	0.000	0.000	0.000	0.000	0.000	0.000	0.000
			Mt	0.00	0.00	0.00	0.00	0.00	0.00	0.00	0.00	0.00
			My	0.00	0.00	0.00	0.00	0.00	0.00	0.00	0.00	0.00
			Mz	16.26	14.19	12.11	10.04	7.96	5.89	3.81	1.74	-0.33
		PP+1.5·T2+1.5·T3+1.5·T4	N	-27.489	-24.055	-20.622	-17.188	-13.755	-10.321	-6.888	-3.454	-0.021
			Vy	-2.354	-2.354	-2.354	-2.354	-2.354	-2.354	-2.354	-2.354	-2.354
			Vz	0.000	0.000	0.000	0.000	0.000	0.000	0.000	0.000	0.000
			Mt	0.00	0.00	0.00	0.00	0.00	0.00	0.00	0.00	0.00
			My	0.00	0.00	0.00	0.00	0.00	0.00	0.00	0.00	0.00
			Mz	-16.34	-14.28	-12.22	-10.16	-8.11	-6.05	-3.99	-1.93	0.13
		1.35·PP+1.5·T2+1.5·T3+1.5·T4	N	-37.145	-32.510	-27.875	-23.240	-18.604	-13.969	-9.334	-4.699	-0.064
			Vy	-2.352	-2.352	-2.352	-2.352	-2.352	-2.352	-2.352	-2.352	-2.352
			Vz	0.000	0.000	0.000	0.000	0.000	0.000	0.000	0.000	0.000
			Mt	0.00	0.00	0.00	0.00	0.00	0.00	0.00	0.00	0.00
			My	0.00	0.00	0.00	0.00	0.00	0.00	0.00	0.00	0.00
			Mz	-16.36	-14.30	-12.24	-10.18	-8.13	-6.07	-4.01	-1.95	0.11
		PP+1.5·T1+1.5·T2+1.5·T3+1.5·T4	N	-27.590	-24.157	-20.723	-17.290	-13.856	-10.423	-6.989	-3.556	-0.122
			Vy	0.007	0.007	0.007	0.007	0.007	0.007	0.007	0.007	0.007
			Vz	0.000	0.000	0.000	0.000	0.000	0.000	0.000	0.000	0.000
			Mt	0.00	0.00	0.00	0.00	0.00	0.00	0.00	0.00	0.00
			My	0.00	0.00	0.00	0.00	0.00	0.00	0.00	0.00	0.00
			Mz	-0.04	-0.04	-0.05	-0.05	-0.06	-0.07	-0.07	-0.08	-0.08
		1.35·PP+1.5·T1+1.5·T2+1.5·T3+1.5·T4	N	-37.247	-32.612	-27.976	-23.341	-18.706	-14.071	-9.435	-4.800	-0.165
			Vy	0.009	0.009	0.009	0.009	0.009	0.009	0.009	0.009	0.009
			Vz	0.000	0.000	0.000	0.000	0.000	0.000	0.000	0.000	0.000
			Mt	0.00	0.00	0.00	0.00	0.00	0.00	0.00	0.00	0.00
			My	0.00	0.00	0.00	0.00	0.00	0.00	0.00	0.00	0.00
			Mz	-0.05	-0.06	-0.07	-0.07	-0.08	-0.09	-0.10	-0.11	-0.11

Esfuerzos en barras, por combinación												
Barra	Combinación		Esfuerzo	Posiciones en la barra								
	Tipo	Descripción		0.000 m	0.763 m	1.525 m	2.288 m	3.050 m	3.813 m	4.575 m	5.338 m	6.100 m
N2/N4	Acero laminado	0.8·PP	N	-0.010	-0.010	-0.010	-0.010	-0.010	-0.010	-0.010	-0.010	-0.010
			Vy	0.000	0.000	0.000	0.000	0.000	0.000	0.000	0.000	0.000
			Vz	-0.142	-0.107	-0.071	-0.035	0.000	0.036	0.072	0.108	0.143
			Mt	0.00	0.00	0.00	0.00	0.00	0.00	0.00	0.00	0.00
			My	-0.14	-0.05	0.02	0.06	0.07	0.06	0.02	-0.05	-0.15
			Mz	0.00	0.00	0.00	0.00	0.00	0.00	0.00	0.00	0.00
		1.35·PP	N	-0.017	-0.017	-0.017	-0.017	-0.017	-0.017	-0.017	-0.017	-0.017
			Vy	0.000	0.000	0.000	0.000	0.000	0.000	0.000	0.000	0.000
			Vz	-0.240	-0.180	-0.120	-0.059	0.000	0.061	0.121	0.182	0.242
			Mt	0.00	0.00	0.00	0.00	0.00	0.00	0.00	0.00	0.00
			My	-0.24	-0.08	0.03	0.10	0.12	0.10	0.03	-0.09	-0.25
			Mz	0.00	0.00	0.00	0.00	0.00	0.00	0.00	0.00	0.00
		0.8·PP+1.5·T1	N	-2.950	-2.950	-2.950	-2.950	-2.950	-2.950	-2.950	-2.950	-2.950
			Vy	0.000	0.000	0.000	0.000	0.000	0.000	0.000	0.000	0.000
			Vz	-0.202	-0.167	-0.131	-0.095	-0.060	-0.024	0.012	0.048	0.083
			Mt	0.00	0.00	0.00	0.00	0.00	0.00	0.00	0.00	0.00
			My	-0.33	-0.19	-0.08	0.01	0.07	0.10	0.10	0.08	0.03
			Mz	0.00	0.00	0.00	0.00	0.00	0.00	0.00	0.00	0.00
		1.35·PP+1.5·T1	N	-2.957	-2.957	-2.957	-2.957	-2.957	-2.957	-2.957	-2.957	-2.957
			Vy	0.000	0.000	0.000	0.000	0.000	0.000	0.000	0.000	0.000
			Vz	-0.300	-0.240	-0.179	-0.119	-0.060	0.001	0.061	0.122	0.182
			Mt	0.00	0.00	0.00	0.00	0.00	0.00	0.00	0.00	0.00
			My	-0.43	-0.22	-0.07	0.05	0.12	0.14	0.11	0.05	-0.07
			Mz	0.00	0.00	0.00	0.00	0.00	0.00	0.00	0.00	0.00
		0.8·PP+1.5·T2	N	2.930	2.930	2.930	2.930	2.930	2.930	2.930	2.930	2.930
			Vy	0.000	0.000	0.000	0.000	0.000	0.000	0.000	0.000	0.000
			Vz	-0.082	-0.047	-0.011	0.025	0.060	0.096	0.132	0.168	0.203
			Mt	0.00	0.00	0.00	0.00	0.00	0.00	0.00	0.00	0.00
			My	0.05	0.09	0.12	0.11	0.08	0.02	-0.07	-0.18	-0.32
			Mz	0.00	0.00	0.00	0.00	0.00	0.00	0.00	0.00	0.00
		1.35·PP+1.5·T2	N	2.923	2.923	2.923	2.923	2.923	2.923	2.923	2.923	2.923
			Vy	0.000	0.000	0.000	0.000	0.000	0.000	0.000	0.000	0.000
			Vz	-0.180	-0.120	-0.060	0.001	0.060	0.121	0.181	0.242	0.302
			Mt	0.00	0.00	0.00	0.00	0.00	0.00	0.00	0.00	0.00
			My	-0.05	0.06	0.13	0.15	0.13	0.06	-0.06	-0.22	-0.42
			Mz	0.00	0.00	0.00	0.00	0.00	0.00	0.00	0.00	0.00
		0.8·PP+1.5·T1+1.5·T2	N	-0.010	-0.010	-0.010	-0.010	-0.010	-0.010	-0.010	-0.010	-0.010
			Vy	0.000	0.000	0.000	0.000	0.000	0.000	0.000	0.000	0.000
			Vz	-0.142	-0.107	-0.071	-0.035	0.000	0.036	0.072	0.108	0.143
			Mt	0.00	0.00	0.00	0.00	0.00	0.00	0.00	0.00	0.00
			My	-0.14	-0.05	0.02	0.06	0.07	0.06	0.02	-0.05	-0.15
			Mz	0.00	0.00	0.00	0.00	0.00	0.00	0.00	0.00	0.00
		1.35·PP+1.5·T1+1.5·T2	N	-0.017	-0.017	-0.017	-0.017	-0.017	-0.017	-0.017	-0.017	-0.017
			Vy	0.000	0.000	0.000	0.000	0.000	0.000	0.000	0.000	0.000
			Vz	-0.240	-0.180	-0.120	-0.059	0.000	0.061	0.121	0.182	0.242
			Mt	0.00	0.00	0.00	0.00	0.00	0.00	0.00	0.00	0.00

Esfuerzos en barras, por combinación

Barra	Combinación		Esfuerzo	Posiciones en la barra								
	Tipo	Descripción		0.000 m	0.763 m	1.525 m	2.288 m	3.050 m	3.813 m	4.575 m	5.338 m	6.100 m
			My	-0.24	-0.08	0.03	0.10	0.12	0.10	0.03	-0.09	-0.25
			Mz	0.00	0.00	0.00	0.00	0.00	0.00	0.00	0.00	0.00
		0.8·PP+1.5·T3	N	-8.830	-8.830	-8.830	-8.830	-8.830	-8.830	-8.830	-8.830	-8.830
			Vy	0.000	0.000	0.000	0.000	0.000	0.000	0.000	0.000	0.000
			Vz	-0.322	-0.286	-0.251	-0.215	-0.180	-0.144	-0.108	-0.072	-0.037
			Mt	0.00	0.00	0.00	0.00	0.00	0.00	0.00	0.00	0.00
			My	-0.71	-0.48	-0.27	-0.10	0.06	0.18	0.27	0.34	0.38
			Mz	0.00	0.00	0.00	0.00	0.00	0.00	0.00	0.00	0.00
		1.35·PP+1.5·T3	N	-8.837	-8.837	-8.837	-8.837	-8.837	-8.837	-8.837	-8.837	-8.837
			Vy	0.000	0.000	0.000	0.000	0.000	0.000	0.000	0.000	0.000
			Vz	-0.420	-0.360	-0.299	-0.239	-0.180	-0.119	-0.058	0.002	0.062
			Mt	0.00	0.00	0.00	0.00	0.00	0.00	0.00	0.00	0.00
			My	-0.81	-0.51	-0.26	-0.05	0.11	0.22	0.29	0.31	0.28
			Mz	0.00	0.00	0.00	0.00	0.00	0.00	0.00	0.00	0.00
		0.8·PP+1.5·T1+1.5·T3	N	-11.770	-11.770	-11.770	-11.770	-11.770	-11.770	-11.770	-11.770	-11.770
			Vy	0.000	0.000	0.000	0.000	0.000	0.000	0.000	0.000	0.000
			Vz	-0.382	-0.346	-0.311	-0.275	-0.240	-0.204	-0.168	-0.132	-0.097
			Mt	0.00	0.00	0.00	0.00	0.00	0.00	0.00	0.00	0.00
			My	-0.90	-0.62	-0.37	-0.15	0.05	0.22	0.36	0.47	0.56
			Mz	0.00	0.00	0.00	0.00	0.00	0.00	0.00	0.00	0.00
		1.35·PP+1.5·T1+1.5·T3	N	-11.777	-11.777	-11.777	-11.777	-11.777	-11.777	-11.777	-11.777	-11.777
			Vy	0.000	0.000	0.000	0.000	0.000	0.000	0.000	0.000	0.000
			Vz	-0.480	-0.420	-0.359	-0.299	-0.240	-0.179	-0.118	-0.058	0.002
			Mt	0.00	0.00	0.00	0.00	0.00	0.00	0.00	0.00	0.00
			My	-1.00	-0.65	-0.36	-0.11	0.10	0.26	0.37	0.44	0.46
			Mz	0.00	0.00	0.00	0.00	0.00	0.00	0.00	0.00	0.00
		0.8·PP+1.5·T2+1.5·T3	N	-5.890	-5.890	-5.890	-5.890	-5.890	-5.890	-5.890	-5.890	-5.890
			Vy	0.000	0.000	0.000	0.000	0.000	0.000	0.000	0.000	0.000
			Vz	-0.262	-0.226	-0.191	-0.155	-0.120	-0.084	-0.048	-0.012	0.023
			Mt	0.00	0.00	0.00	0.00	0.00	0.00	0.00	0.00	0.00
			My	-0.52	-0.33	-0.18	-0.04	0.06	0.14	0.19	0.21	0.21
			Mz	0.00	0.00	0.00	0.00	0.00	0.00	0.00	0.00	0.00
		1.35·PP+1.5·T2+1.5·T3	N	-5.897	-5.897	-5.897	-5.897	-5.897	-5.897	-5.897	-5.897	-5.897
			Vy	0.000	0.000	0.000	0.000	0.000	0.000	0.000	0.000	0.000
			Vz	-0.360	-0.300	-0.239	-0.179	-0.120	-0.059	0.002	0.062	0.122
			Mt	0.00	0.00	0.00	0.00	0.00	0.00	0.00	0.00	0.00
			My	-0.62	-0.37	-0.16	0.00	0.11	0.18	0.20	0.18	0.11
			Mz	0.00	0.00	0.00	0.00	0.00	0.00	0.00	0.00	0.00
		0.8·PP+1.5·T1+1.5·T2+1.5·T3	N	-8.830	-8.830	-8.830	-8.830	-8.830	-8.830	-8.830	-8.830	-8.830
			Vy	0.000	0.000	0.000	0.000	0.000	0.000	0.000	0.000	0.000
			Vz	-0.322	-0.286	-0.251	-0.215	-0.180	-0.144	-0.108	-0.072	-0.037
			Mt	0.00	0.00	0.00	0.00	0.00	0.00	0.00	0.00	0.00
			My	-0.71	-0.48	-0.27	-0.10	0.06	0.18	0.27	0.34	0.38
			Mz	0.00	0.00	0.00	0.00	0.00	0.00	0.00	0.00	0.00
		1.35·PP+1.5·T1+1.5·T2+1.5·T3	N	-8.837	-8.837	-8.837	-8.837	-8.837	-8.837	-8.837	-8.837	-8.837
			Vy	0.000	0.000	0.000	0.000	0.000	0.000	0.000	0.000	0.000
			Vz	-0.420	-0.360	-0.299	-0.239	-0.180	-0.119	-0.058	0.002	0.062
			Mt	0.00	0.00	0.00	0.00	0.00	0.00	0.00	0.00	0.00
			My	-0.81	-0.51	-0.26	-0.05	0.11	0.22	0.29	0.31	0.28
			Mz	0.00	0.00	0.00	0.00	0.00	0.00	0.00	0.00	0.00
		0.8·PP+1.5·T4	N	8.810	8.810	8.810	8.810	8.810	8.810	8.810	8.810	8.810
			Vy	0.000	0.000	0.000	0.000	0.000	0.000	0.000	0.000	0.000
			Vz	0.038	0.073	0.109	0.145	0.180	0.216	0.252	0.288	0.323
			Mt	0.00	0.00	0.00	0.00	0.00	0.00	0.00	0.00	0.00
			My	0.42	0.38	0.31	0.21	0.09	-0.06	-0.24	-0.45	-0.68
			Mz	0.00	0.00	0.00	0.00	0.00	0.00	0.00	0.00	0.00
		1.35·PP+1.5·T4	N	8.803	8.803	8.803	8.803	8.803	8.803	8.803	8.803	8.803
			Vy	0.000	0.000	0.000	0.000	0.000	0.000	0.000	0.000	0.000
			Vz	-0.060	0.000	0.060	0.121	0.180	0.241	0.301	0.362	0.422
			Mt	0.00	0.00	0.00	0.00	0.00	0.00	0.00	0.00	0.00
			My	0.32	0.35	0.32	0.26	0.14	-0.02	-0.23	-0.48	-0.78
			Mz	0.00	0.00	0.00	0.00	0.00	0.00	0.00	0.00	0.00
		0.8·PP+1.5·T1+1.5·T4	N	5.870	5.870	5.870	5.870	5.870	5.870	5.870	5.870	5.870
			Vy	0.000	0.000	0.000	0.000	0.000	0.000	0.000	0.000	0.000
			Vz	-0.022	0.013	0.049	0.085	0.120	0.156	0.192	0.228	0.263
			Mt	0.00	0.00	0.00	0.00	0.00	0.00	0.00	0.00	0.00
			My	0.23	0.24	0.21	0.16	0.08	-0.02	-0.15	-0.31	-0.50
			Mz	0.00	0.00	0.00	0.00	0.00	0.00	0.00	0.00	0.00
		1.35·PP+1.5·T1+1.5·T4	N	5.863	5.863	5.863	5.863	5.863	5.863	5.863	5.863	5.863
			Vy	0.000	0.000	0.000	0.000	0.000	0.000	0.000	0.000	0.000
			Vz	-0.120	-0.060	0.000	0.061	0.120	0.181	0.241	0.302	0.362
			Mt	0.00	0.00	0.00	0.00	0.00	0.00	0.00	0.00	0.00
			My	0.14	0.20	0.23	0.20	0.13	0.02	-0.14	-0.35	-0.60
			Mz	0.00	0.00	0.00	0.00	0.00	0.00	0.00	0.00	0.00
		0.8·PP+1.5·T2+1.5·T4	N	11.750	11.750	11.750	11.750	11.750	11.750	11.750	11.750	11.750
			Vy	0.000	0.000	0.000	0.000	0.000	0.000	0.000	0.000	0.000
			Vz	0.098	0.133	0.169	0.205	0.240	0.276	0.312	0.348	0.383
			Mt	0.00	0.00	0.00	0.00	0.00	0.00	0.00	0.00	0.00
			My	0.61	0.52	0.41	0.27	0.10	-0.10	-0.32	-0.58	-0.85
			Mz	0.00	0.00	0.00	0.00	0.00	0.00	0.00	0.00	0.00
		1.35·PP+1.5·T2+1.5·T4	N	11.743	11.743	11.743	11.743	11.743	11.743	11.743	11.743	11.743
			Vy	0.000	0.000	0.000	0.000	0.000	0.000	0.000	0.000	0.000

Esfuerzos en barras, por combinación												
Barra	Combinación		Esfuerzo	Posiciones en la barra								
	Tipo	Descripción		0.000 m	0.763 m	1.525 m	2.288 m	3.050 m	3.813 m	4.575 m	5.338 m	6.100 m
			Vz	0.000	0.060	0.120	0.181	0.240	0.301	0.361	0.422	0.482
			Mt	0.00	0.00	0.00	0.00	0.00	0.00	0.00	0.00	0.00
			My	0.51	0.49	0.42	0.31	0.15	-0.06	-0.31	-0.61	-0.96
			Mz	0.00	0.00	0.00	0.00	0.00	0.00	0.00	0.00	0.00
		0.8·PP+1.5·T1+1.5·T2+1.5·T4	N	8.810	8.810	8.810	8.810	8.810	8.810	8.810	8.810	8.810
			Vy	0.000	0.000	0.000	0.000	0.000	0.000	0.000	0.000	0.000
			Vz	0.038	0.073	0.109	0.145	0.180	0.216	0.252	0.288	0.323
			Mt	0.00	0.00	0.00	0.00	0.00	0.00	0.00	0.00	0.00
			My	0.42	0.38	0.31	0.21	0.09	-0.06	-0.24	-0.45	-0.68
			Mz	0.00	0.00	0.00	0.00	0.00	0.00	0.00	0.00	0.00
		1.35·PP+1.5·T1+1.5·T2+1.5·T4	N	8.803	8.803	8.803	8.803	8.803	8.803	8.803	8.803	8.803
			Vy	0.000	0.000	0.000	0.000	0.000	0.000	0.000	0.000	0.000
			Vz	-0.060	0.000	0.060	0.121	0.180	0.241	0.301	0.362	0.422
			Mt	0.00	0.00	0.00	0.00	0.00	0.00	0.00	0.00	0.00
			My	0.32	0.35	0.32	0.26	0.14	-0.02	-0.23	-0.48	-0.78
			Mz	0.00	0.00	0.00	0.00	0.00	0.00	0.00	0.00	0.00
		0.8·PP+1.5·T3+1.5·T4	N	-0.010	-0.010	-0.010	-0.010	-0.010	-0.010	-0.010	-0.010	-0.010
			Vy	0.000	0.000	0.000	0.000	0.000	0.000	0.000	0.000	0.000
			Vz	-0.142	-0.107	-0.071	-0.035	0.000	0.036	0.072	0.108	0.143
			Mt	0.00	0.00	0.00	0.00	0.00	0.00	0.00	0.00	0.00
			My	-0.14	-0.05	0.02	0.06	0.07	0.06	0.02	-0.05	-0.15
			Mz	0.00	0.00	0.00	0.00	0.00	0.00	0.00	0.00	0.00
		1.35·PP+1.5·T3+1.5·T4	N	-0.017	-0.017	-0.017	-0.017	-0.017	-0.017	-0.017	-0.017	-0.017
			Vy	0.000	0.000	0.000	0.000	0.000	0.000	0.000	0.000	0.000
			Vz	-0.240	-0.180	-0.120	-0.059	0.000	0.061	0.121	0.182	0.242
			Mt	0.00	0.00	0.00	0.00	0.00	0.00	0.00	0.00	0.00
			My	-0.24	-0.08	0.03	0.10	0.12	0.10	0.03	-0.09	-0.25
			Mz	0.00	0.00	0.00	0.00	0.00	0.00	0.00	0.00	0.00
		0.8·PP+1.5·T1+1.5·T3+1.5·T4	N	-2.950	-2.950	-2.950	-2.950	-2.950	-2.950	-2.950	-2.950	-2.950
			Vy	0.000	0.000	0.000	0.000	0.000	0.000	0.000	0.000	0.000
			Vz	-0.202	-0.167	-0.131	-0.095	-0.060	-0.024	0.012	0.048	0.083
			Mt	0.00	0.00	0.00	0.00	0.00	0.00	0.00	0.00	0.00
			My	-0.33	-0.19	-0.08	0.01	0.07	0.10	0.10	0.08	0.03
			Mz	0.00	0.00	0.00	0.00	0.00	0.00	0.00	0.00	0.00
		1.35·PP+1.5·T1+1.5·T3+1.5·T4	N	-2.957	-2.957	-2.957	-2.957	-2.957	-2.957	-2.957	-2.957	-2.957
			Vy	0.000	0.000	0.000	0.000	0.000	0.000	0.000	0.000	0.000
			Vz	-0.300	-0.240	-0.179	-0.119	-0.060	0.001	0.061	0.122	0.182
			Mt	0.00	0.00	0.00	0.00	0.00	0.00	0.00	0.00	0.00
			My	-0.43	-0.22	-0.07	0.05	0.12	0.14	0.11	0.05	-0.07
			Mz	0.00	0.00	0.00	0.00	0.00	0.00	0.00	0.00	0.00
		0.8·PP+1.5·T2+1.5·T3+1.5·T4	N	2.930	2.930	2.930	2.930	2.930	2.930	2.930	2.930	2.930
			Vy	0.000	0.000	0.000	0.000	0.000	0.000	0.000	0.000	0.000
			Vz	-0.082	-0.047	-0.011	0.025	0.060	0.096	0.132	0.168	0.203
			Mt	0.00	0.00	0.00	0.00	0.00	0.00	0.00	0.00	0.00
			My	0.05	0.09	0.12	0.11	0.08	0.02	-0.07	-0.18	-0.32
			Mz	0.00	0.00	0.00	0.00	0.00	0.00	0.00	0.00	0.00
		1.35·PP+1.5·T2+1.5·T3+1.5·T4	N	2.923	2.923	2.923	2.923	2.923	2.923	2.923	2.923	2.923
			Vy	0.000	0.000	0.000	0.000	0.000	0.000	0.000	0.000	0.000
			Vz	-0.180	-0.120	-0.060	0.001	0.060	0.121	0.181	0.242	0.302
			Mt	0.00	0.00	0.00	0.00	0.00	0.00	0.00	0.00	0.00
			My	-0.05	0.06	0.13	0.15	0.13	0.06	-0.06	-0.22	-0.42
			Mz	0.00	0.00	0.00	0.00	0.00	0.00	0.00	0.00	0.00
		0.8·PP+1.5·T1+1.5·T2+1.5·T3+1.5·T4	N	-0.010	-0.010	-0.010	-0.010	-0.010	-0.010	-0.010	-0.010	-0.010
			Vy	0.000	0.000	0.000	0.000	0.000	0.000	0.000	0.000	0.000
			Vz	-0.142	-0.107	-0.071	-0.035	0.000	0.036	0.072	0.108	0.143
			Mt	0.00	0.00	0.00	0.00	0.00	0.00	0.00	0.00	0.00
			My	-0.14	-0.05	0.02	0.06	0.07	0.06	0.02	-0.05	-0.15
			Mz	0.00	0.00	0.00	0.00	0.00	0.00	0.00	0.00	0.00
		1.35·PP+1.5·T1+1.5·T2+1.5·T3+1.5·T4	N	-0.017	-0.017	-0.017	-0.017	-0.017	-0.017	-0.017	-0.017	-0.017
			Vy	0.000	0.000	0.000	0.000	0.000	0.000	0.000	0.000	0.000
			Vz	-0.240	-0.180	-0.120	-0.059	0.000	0.061	0.121	0.182	0.242
			Mt	0.00	0.00	0.00	0.00	0.00	0.00	0.00	0.00	0.00
			My	-0.24	-0.08	0.03	0.10	0.12	0.10	0.03	-0.09	-0.25
			Mz	0.00	0.00	0.00	0.00	0.00	0.00	0.00	0.00	0.00

Esfuerzos en barras, por combinación												
Barra	Combinación		Esfuerzo	Posiciones en la barra								
	Tipo	Descripción		0.000 m	0.737 m	1.475 m	2.212 m	2.950 m	3.687 m	4.425 m	5.162 m	5.900 m
N4/N6	Acero laminado	0.8·PP	N	0.013	0.013	0.013	0.013	0.013	0.013	0.013	0.013	0.013
			Vy	0.000	0.000	0.000	0.000	0.000	0.000	0.000	0.000	0.000
			Vz	-0.138	-0.104	-0.069	-0.035	0.000	0.034	0.069	0.103	0.138
			Mt	0.00	0.00	0.00	0.00	0.00	0.00	0.00	0.00	0.00
			My	-0.14	-0.05	0.02	0.06	0.07	0.06	0.02	-0.05	-0.13
			Mz	0.00	0.00	0.00	0.00	0.00	0.00	0.00	0.00	0.00
		1.35·PP	N	0.022	0.022	0.022	0.022	0.022	0.022	0.022	0.022	0.022
			Vy	0.000	0.000	0.000	0.000	0.000	0.000	0.000	0.000	0.000
			Vz	-0.234	-0.175	-0.117	-0.059	0.000	0.058	0.116	0.174	0.233
			Mt	0.00	0.00	0.00	0.00	0.00	0.00	0.00	0.00	0.00
			My	-0.23	-0.08	0.03	0.09	0.12	0.09	0.03	-0.08	-0.23
			Mz	0.00	0.00	0.00	0.00	0.00	0.00	0.00	0.00	0.00
		0.8·PP+1.5·T1	N	-5.389	-5.389	-5.389	-5.389	-5.389	-5.389	-5.389	-5.389	-5.389

Esfuerzos en barras, por combinación

Barra	Combinación		Esfuerzo	Posiciones en la barra								
	Tipo	Descripción		0.000 m	0.737 m	1.475 m	2.212 m	2.950 m	3.687 m	4.425 m	5.162 m	5.900 m
			Vy	0.000	0.000	0.000	0.000	0.000	0.000	0.000	0.000	0.000
			Vz	-0.167	-0.133	-0.098	-0.064	-0.029	0.005	0.040	0.074	0.109
			Mt	0.00	0.00	0.00	0.00	0.00	0.00	0.00	0.00	0.00
			My	-0.25	-0.14	-0.05	0.01	0.04	0.05	0.03	-0.01	-0.08
			Mz	0.00	0.00	0.00	0.00	0.00	0.00	0.00	0.00	0.00
		1.35·PP+1.5·T1	N	-5.380	-5.380	-5.380	-5.380	-5.380	-5.380	-5.380	-5.380	-5.380
			Vy	0.000	0.000	0.000	0.000	0.000	0.000	0.000	0.000	0.000
			Vz	-0.263	-0.204	-0.146	-0.088	-0.029	0.029	0.087	0.145	0.204
			Mt	0.00	0.00	0.00	0.00	0.00	0.00	0.00	0.00	0.00
			My	-0.34	-0.17	-0.04	0.04	0.09	0.09	0.04	-0.04	-0.17
			Mz	0.00	0.00	0.00	0.00	0.00	0.00	0.00	0.00	0.00
		0.8·PP+1.5·T2	N	5.415	5.415	5.415	5.415	5.415	5.415	5.415	5.415	5.415
			Vy	0.000	0.000	0.000	0.000	0.000	0.000	0.000	0.000	0.000
			Vz	-0.109	-0.075	-0.040	-0.006	0.029	0.063	0.098	0.132	0.167
			Mt	0.00	0.00	0.00	0.00	0.00	0.00	0.00	0.00	0.00
			My	-0.02	0.05	0.09	0.11	0.10	0.06	0.00	-0.08	-0.19
			Mz	0.00	0.00	0.00	0.00	0.00	0.00	0.00	0.00	0.00
		1.35·PP+1.5·T2	N	5.424	5.424	5.424	5.424	5.424	5.424	5.424	5.424	5.424
			Vy	0.000	0.000	0.000	0.000	0.000	0.000	0.000	0.000	0.000
			Vz	-0.204	-0.146	-0.088	-0.030	0.029	0.087	0.145	0.204	0.262
			Mt	0.00	0.00	0.00	0.00	0.00	0.00	0.00	0.00	0.00
			My	-0.11	0.01	0.10	0.14	0.14	0.10	0.02	-0.11	-0.28
			Mz	0.00	0.00	0.00	0.00	0.00	0.00	0.00	0.00	0.00
		0.8·PP+1.5·T1+1.5·T2	N	0.013	0.013	0.013	0.013	0.013	0.013	0.013	0.013	0.013
			Vy	0.000	0.000	0.000	0.000	0.000	0.000	0.000	0.000	0.000
			Vz	-0.138	-0.104	-0.069	-0.035	0.000	0.034	0.069	0.103	0.138
			Mt	0.00	0.00	0.00	0.00	0.00	0.00	0.00	0.00	0.00
			My	-0.14	-0.05	0.02	0.06	0.07	0.06	0.02	-0.05	-0.13
			Mz	0.00	0.00	0.00	0.00	0.00	0.00	0.00	0.00	0.00
		1.35·PP+1.5·T1+1.5·T2	N	0.022	0.022	0.022	0.022	0.022	0.022	0.022	0.022	0.022
			Vy	0.000	0.000	0.000	0.000	0.000	0.000	0.000	0.000	0.000
			Vz	-0.234	-0.175	-0.117	-0.059	0.000	0.058	0.116	0.174	0.233
			Mt	0.00	0.00	0.00	0.00	0.00	0.00	0.00	0.00	0.00
			My	-0.23	-0.08	0.03	0.09	0.12	0.09	0.03	-0.08	-0.23
			Mz	0.00	0.00	0.00	0.00	0.00	0.00	0.00	0.00	0.00
		0.8·PP+1.5·T3	N	-16.192	-16.192	-16.192	-16.192	-16.192	-16.192	-16.192	-16.192	-16.192
			Vy	0.000	0.000	0.000	0.000	0.000	0.000	0.000	0.000	0.000
			Vz	-0.226	-0.191	-0.157	-0.122	-0.087	-0.053	-0.019	0.016	0.051
			Mt	0.00	0.00	0.00	0.00	0.00	0.00	0.00	0.00	0.00
			My	-0.48	-0.33	-0.20	-0.09	-0.02	0.04	0.06	0.06	0.04
			Mz	0.00	0.00	0.00	0.00	0.00	0.00	0.00	0.00	0.00
		1.35·PP+1.5·T3	N	-16.183	-16.183	-16.183	-16.183	-16.183	-16.183	-16.183	-16.183	-16.183
			Vy	0.000	0.000	0.000	0.000	0.000	0.000	0.000	0.000	0.000
			Vz	-0.321	-0.263	-0.204	-0.146	-0.087	-0.029	0.029	0.087	0.145
			Mt	0.00	0.00	0.00	0.00	0.00	0.00	0.00	0.00	0.00
			My	-0.57	-0.36	-0.18	-0.06	0.03	0.07	0.07	0.03	-0.05
			Mz	0.00	0.00	0.00	0.00	0.00	0.00	0.00	0.00	0.00
		0.8·PP+1.5·T1+1.5·T3	N	-21.594	-21.594	-21.594	-21.594	-21.594	-21.594	-21.594	-21.594	-21.594
			Vy	0.000	0.000	0.000	0.000	0.000	0.000	0.000	0.000	0.000
			Vz	-0.255	-0.220	-0.186	-0.151	-0.116	-0.082	-0.048	-0.013	0.021
			Mt	0.00	0.00	0.00	0.00	0.00	0.00	0.00	0.00	0.00
			My	-0.59	-0.42	-0.27	-0.14	-0.05	0.03	0.08	0.10	0.10
			Mz	0.00	0.00	0.00	0.00	0.00	0.00	0.00	0.00	0.00
		1.35·PP+1.5·T1+1.5·T3	N	-21.585	-21.585	-21.585	-21.585	-21.585	-21.585	-21.585	-21.585	-21.585
			Vy	0.000	0.000	0.000	0.000	0.000	0.000	0.000	0.000	0.000
			Vz	-0.350	-0.292	-0.233	-0.175	-0.116	-0.059	0.000	0.058	0.116
			Mt	0.00	0.00	0.00	0.00	0.00	0.00	0.00	0.00	0.00
			My	-0.69	-0.45	-0.26	-0.11	0.00	0.07	0.09	0.07	0.00
			Mz	0.00	0.00	0.00	0.00	0.00	0.00	0.00	0.00	0.00
		0.8·PP+1.5·T2+1.5·T3	N	-10.791	-10.791	-10.791	-10.791	-10.791	-10.791	-10.791	-10.791	-10.791
			Vy	0.000	0.000	0.000	0.000	0.000	0.000	0.000	0.000	0.000
			Vz	-0.197	-0.162	-0.128	-0.093	-0.058	-0.024	0.011	0.045	0.080
			Mt	0.00	0.00	0.00	0.00	0.00	0.00	0.00	0.00	0.00
			My	-0.36	-0.23	-0.13	-0.04	0.01	0.04	0.05	0.03	-0.02
			Mz	0.00	0.00	0.00	0.00	0.00	0.00	0.00	0.00	0.00
		1.35·PP+1.5·T2+1.5·T3	N	-10.782	-10.782	-10.782	-10.782	-10.782	-10.782	-10.782	-10.782	-10.782
			Vy	0.000	0.000	0.000	0.000	0.000	0.000	0.000	0.000	0.000
			Vz	-0.292	-0.233	-0.175	-0.117	-0.058	0.000	0.058	0.116	0.174
			Mt	0.00	0.00	0.00	0.00	0.00	0.00	0.00	0.00	0.00
			My	-0.46	-0.26	-0.11	-0.01	0.06	0.08	0.06	0.00	-0.11
			Mz	0.00	0.00	0.00	0.00	0.00	0.00	0.00	0.00	0.00
		0.8·PP+1.5·T1+1.5·T2+1.5·T3	N	-16.192	-16.192	-16.192	-16.192	-16.192	-16.192	-16.192	-16.192	-16.192
			Vy	0.000	0.000	0.000	0.000	0.000	0.000	0.000	0.000	0.000
			Vz	-0.226	-0.191	-0.157	-0.122	-0.087	-0.053	-0.019	0.016	0.051
			Mt	0.00	0.00	0.00	0.00	0.00	0.00	0.00	0.00	0.00
			My	-0.48	-0.33	-0.20	-0.09	-0.02	0.04	0.06	0.06	0.04
			Mz	0.00	0.00	0.00	0.00	0.00	0.00	0.00	0.00	0.00
		1.35·PP+1.5·T1+1.5·T2+1.5·T3	N	-16.183	-16.183	-16.183	-16.183	-16.183	-16.183	-16.183	-16.183	-16.183
			Vy	0.000	0.000	0.000	0.000	0.000	0.000	0.000	0.000	0.000
			Vz	-0.321	-0.263	-0.204	-0.146	-0.087	-0.029	0.029	0.087	0.145
			Mt	0.00	0.00	0.00	0.00	0.00	0.00	0.00	0.00	0.00
			My	-0.57	-0.36	-0.18	-0.06	0.03	0.07	0.07	0.03	-0.05

Esfuerzos en barras, por combinación

Barra	Combinación		Esfuerzo	Posiciones en la barra								
	Tipo	Descripción		0.000 m	0.737 m	1.475 m	2.212 m	2.950 m	3.687 m	4.425 m	5.162 m	5.900 m
			Mz	0.00	0.00	0.00	0.00	0.00	0.00	0.00	0.00	0.00
		0.8·PP+1.5·T4	N	16.218	16.218	16.218	16.218	16.218	16.218	16.218	16.218	16.218
			Vy	0.000	0.000	0.000	0.000	0.000	0.000	0.000	0.000	0.000
			Vz	-0.051	-0.017	0.018	0.053	0.087	0.122	0.156	0.191	0.225
			Mt	0.00	0.00	0.00	0.00	0.00	0.00	0.00	0.00	0.00
			My	0.21	0.23	0.23	0.21	0.15	0.08	-0.03	-0.15	-0.31
			Mz	0.00	0.00	0.00	0.00	0.00	0.00	0.00	0.00	0.00
		1.35·PP+1.5·T4	N	16.227	16.227	16.227	16.227	16.227	16.227	16.227	16.227	16.227
			Vy	0.000	0.000	0.000	0.000	0.000	0.000	0.000	0.000	0.000
			Vz	-0.146	-0.088	-0.030	0.029	0.087	0.145	0.203	0.262	0.320
			Mt	0.00	0.00	0.00	0.00	0.00	0.00	0.00	0.00	0.00
			My	0.11	0.20	0.24	0.24	0.20	0.12	-0.01	-0.18	-0.40
			Mz	0.00	0.00	0.00	0.00	0.00	0.00	0.00	0.00	0.00
		0.8·PP+1.5·T1+1.5·T4	N	10.816	10.816	10.816	10.816	10.816	10.816	10.816	10.816	10.816
			Vy	0.000	0.000	0.000	0.000	0.000	0.000	0.000	0.000	0.000
			Vz	-0.080	-0.046	-0.011	0.023	0.058	0.093	0.127	0.162	0.196
			Mt	0.00	0.00	0.00	0.00	0.00	0.00	0.00	0.00	0.00
			My	0.09	0.14	0.16	0.16	0.13	0.07	-0.01	-0.12	-0.25
			Mz	0.00	0.00	0.00	0.00	0.00	0.00	0.00	0.00	0.00
		1.35·PP+1.5·T1+1.5·T4	N	10.825	10.825	10.825	10.825	10.825	10.825	10.825	10.825	10.825
			Vy	0.000	0.000	0.000	0.000	0.000	0.000	0.000	0.000	0.000
			Vz	-0.175	-0.117	-0.059	0.000	0.058	0.116	0.174	0.233	0.291
			Mt	0.00	0.00	0.00	0.00	0.00	0.00	0.00	0.00	0.00
			My	0.00	0.11	0.17	0.19	0.17	0.11	0.00	-0.15	-0.34
			Mz	0.00	0.00	0.00	0.00	0.00	0.00	0.00	0.00	0.00
		0.8·PP+1.5·T2+1.5·T4	N	21.620	21.620	21.620	21.620	21.620	21.620	21.620	21.620	21.620
			Vy	0.000	0.000	0.000	0.000	0.000	0.000	0.000	0.000	0.000
			Vz	-0.022	0.013	0.047	0.082	0.116	0.151	0.185	0.220	0.254
			Mt	0.00	0.00	0.00	0.00	0.00	0.00	0.00	0.00	0.00
			My	0.32	0.32	0.30	0.26	0.18	0.08	-0.04	-0.19	-0.36
			Mz	0.00	0.00	0.00	0.00	0.00	0.00	0.00	0.00	0.00
		1.35·PP+1.5·T2+1.5·T4	N	21.629	21.629	21.629	21.629	21.629	21.629	21.629	21.629	21.629
			Vy	0.000	0.000	0.000	0.000	0.000	0.000	0.000	0.000	0.000
			Vz	-0.117	-0.059	-0.001	0.058	0.116	0.174	0.233	0.291	0.349
			Mt	0.00	0.00	0.00	0.00	0.00	0.00	0.00	0.00	0.00
			My	0.23	0.29	0.31	0.29	0.23	0.12	-0.03	-0.22	-0.46
			Mz	0.00	0.00	0.00	0.00	0.00	0.00	0.00	0.00	0.00
		0.8·PP+1.5·T1+1.5·T2+1.5·T4	N	16.218	16.218	16.218	16.218	16.218	16.218	16.218	16.218	16.218
			Vy	0.000	0.000	0.000	0.000	0.000	0.000	0.000	0.000	0.000
			Vz	-0.051	-0.017	0.018	0.053	0.087	0.122	0.156	0.191	0.225
			Mt	0.00	0.00	0.00	0.00	0.00	0.00	0.00	0.00	0.00
			My	0.21	0.23	0.23	0.21	0.15	0.08	-0.03	-0.15	-0.31
			Mz	0.00	0.00	0.00	0.00	0.00	0.00	0.00	0.00	0.00
		1.35·PP+1.5·T1+1.5·T2+1.5·T4	N	16.227	16.227	16.227	16.227	16.227	16.227	16.227	16.227	16.227
			Vy	0.000	0.000	0.000	0.000	0.000	0.000	0.000	0.000	0.000
			Vz	-0.146	-0.088	-0.030	0.029	0.087	0.145	0.203	0.262	0.320
			Mt	0.00	0.00	0.00	0.00	0.00	0.00	0.00	0.00	0.00
			My	0.11	0.20	0.24	0.24	0.20	0.12	-0.01	-0.18	-0.40
			Mz	0.00	0.00	0.00	0.00	0.00	0.00	0.00	0.00	0.00
		0.8·PP+1.5·T3+1.5·T4	N	0.013	0.013	0.013	0.013	0.013	0.013	0.013	0.013	0.013
			Vy	0.000	0.000	0.000	0.000	0.000	0.000	0.000	0.000	0.000
			Vz	-0.138	-0.104	-0.069	-0.035	0.000	0.034	0.069	0.103	0.138
			Mt	0.00	0.00	0.00	0.00	0.00	0.00	0.00	0.00	0.00
			My	-0.14	-0.05	0.02	0.06	0.07	0.06	0.02	-0.05	-0.13
			Mz	0.00	0.00	0.00	0.00	0.00	0.00	0.00	0.00	0.00
		1.35·PP+1.5·T3+1.5·T4	N	0.022	0.022	0.022	0.022	0.022	0.022	0.022	0.022	0.022
			Vy	0.000	0.000	0.000	0.000	0.000	0.000	0.000	0.000	0.000
			Vz	-0.234	-0.175	-0.117	-0.059	0.000	0.058	0.116	0.174	0.233
			Mt	0.00	0.00	0.00	0.00	0.00	0.00	0.00	0.00	0.00
			My	-0.23	-0.08	0.03	0.09	0.12	0.09	0.03	-0.08	-0.23
			Mz	0.00	0.00	0.00	0.00	0.00	0.00	0.00	0.00	0.00
		0.8·PP+1.5·T1+1.5·T3+1.5·T4	N	-5.389	-5.389	-5.389	-5.389	-5.389	-5.389	-5.389	-5.389	-5.389
			Vy	0.000	0.000	0.000	0.000	0.000	0.000	0.000	0.000	0.000
			Vz	-0.167	-0.133	-0.098	-0.064	-0.029	0.005	0.040	0.074	0.109
			Mt	0.00	0.00	0.00	0.00	0.00	0.00	0.00	0.00	0.00
			My	-0.25	-0.14	-0.05	0.01	0.04	0.05	0.03	-0.01	-0.08
			Mz	0.00	0.00	0.00	0.00	0.00	0.00	0.00	0.00	0.00
		1.35·PP+1.5·T1+1.5·T3+1.5·T4	N	-5.380	-5.380	-5.380	-5.380	-5.380	-5.380	-5.380	-5.380	-5.380
			Vy	0.000	0.000	0.000	0.000	0.000	0.000	0.000	0.000	0.000
			Vz	-0.263	-0.204	-0.146	-0.088	-0.029	0.029	0.087	0.145	0.204
			Mt	0.00	0.00	0.00	0.00	0.00	0.00	0.00	0.00	0.00
			My	-0.34	-0.17	-0.04	0.04	0.09	0.09	0.04	-0.04	-0.17
			Mz	0.00	0.00	0.00	0.00	0.00	0.00	0.00	0.00	0.00
		0.8·PP+1.5·T2+1.5·T3+1.5·T4	N	5.415	5.415	5.415	5.415	5.415	5.415	5.415	5.415	5.415
			Vy	0.000	0.000	0.000	0.000	0.000	0.000	0.000	0.000	0.000
			Vz	-0.109	-0.075	-0.040	-0.006	0.029	0.063	0.098	0.132	0.167
			Mt	0.00	0.00	0.00	0.00	0.00	0.00	0.00	0.00	0.00
			My	-0.02	0.05	0.09	0.11	0.10	0.06	0.00	-0.08	-0.19
			Mz	0.00	0.00	0.00	0.00	0.00	0.00	0.00	0.00	0.00
		1.35·PP+1.5·T2+1.5·T3+1.5·T4	N	5.424	5.424	5.424	5.424	5.424	5.424	5.424	5.424	5.424
			Vy	0.000	0.000	0.000	0.000	0.000	0.000	0.000	0.000	0.000
			Vz	-0.204	-0.146	-0.088	-0.030	0.029	0.087	0.145	0.204	0.262

Esfuerzos en barras, por combinación												
Barra	Combinación		Esfuerzo	Posiciones en la barra								
	Tipo	Descripción		0.000 m	0.737 m	1.475 m	2.212 m	2.950 m	3.687 m	4.425 m	5.162 m	5.900 m
			Mt	0.00	0.00	0.00	0.00	0.00	0.00	0.00	0.00	0.00
			My	-0.11	0.01	0.10	0.14	0.14	0.10	0.02	-0.11	-0.28
			Mz	0.00	0.00	0.00	0.00	0.00	0.00	0.00	0.00	0.00
		0.8·PP+1.5·T1+1.5·T2+1.5·T3+1.5·T4	N	0.013	0.013	0.013	0.013	0.013	0.013	0.013	0.013	0.013
			Vy	0.000	0.000	0.000	0.000	0.000	0.000	0.000	0.000	0.000
			Vz	-0.138	-0.104	-0.069	-0.035	0.000	0.034	0.069	0.103	0.138
			Mt	0.00	0.00	0.00	0.00	0.00	0.00	0.00	0.00	0.00
			My	-0.14	-0.05	0.02	0.06	0.07	0.06	0.02	-0.05	-0.13
			Mz	0.00	0.00	0.00	0.00	0.00	0.00	0.00	0.00	0.00
		1.35·PP+1.5·T1+1.5·T2+1.5·T3+1.5·T4	N	0.022	0.022	0.022	0.022	0.022	0.022	0.022	0.022	0.022
			Vy	0.000	0.000	0.000	0.000	0.000	0.000	0.000	0.000	0.000
			Vz	-0.234	-0.175	-0.117	-0.059	0.000	0.058	0.116	0.174	0.233
			Mt	0.00	0.00	0.00	0.00	0.00	0.00	0.00	0.00	0.00
			My	-0.23	-0.08	0.03	0.09	0.12	0.09	0.03	-0.08	-0.23
			Mz	0.00	0.00	0.00	0.00	0.00	0.00	0.00	0.00	0.00

Esfuerzos en barras, por combinación												
Barra	Combinación		Esfuerzo	Posiciones en la barra								
	Tipo	Descripción		0.000 m	0.800 m	1.600 m	2.400 m	3.200 m	4.000 m	4.800 m	5.600 m	6.400 m
N6/N8	Acero laminado	0.8·PP	N	-0.381	-0.381	-0.381	-0.381	-0.381	-0.381	-0.381	-0.381	-0.381
			Vy	0.000	0.000	0.000	0.000	0.000	0.000	0.000	0.000	0.000
			Vz	-0.150	-0.113	-0.075	-0.038	0.000	0.037	0.075	0.112	0.149
			Mt	0.00	0.00	0.00	0.00	0.00	0.00	0.00	0.00	0.00
			My	-0.16	-0.06	0.02	0.06	0.08	0.06	0.02	-0.05	-0.16
			Mz	0.00	0.00	0.00	0.00	0.00	0.00	0.00	0.00	0.00
		1.35·PP	N	-0.642	-0.642	-0.642	-0.642	-0.642	-0.642	-0.642	-0.642	-0.642
			Vy	0.000	0.000	0.000	0.000	0.000	0.000	0.000	0.000	0.000
			Vz	-0.253	-0.190	-0.127	-0.064	0.000	0.063	0.126	0.189	0.252
			Mt	0.00	0.00	0.00	0.00	0.00	0.00	0.00	0.00	0.00
			My	-0.27	-0.09	0.03	0.11	0.13	0.11	0.03	-0.09	-0.27
			Mz	0.00	0.00	0.00	0.00	0.00	0.00	0.00	0.00	0.00
		0.8·PP+1.5·T1	N	0.531	0.531	0.531	0.531	0.531	0.531	0.531	0.531	0.531
			Vy	0.000	0.000	0.000	0.000	0.000	0.000	0.000	0.000	0.000
			Vz	-0.154	-0.116	-0.079	-0.041	-0.003	0.034	0.071	0.109	0.146
			Mt	0.00	0.00	0.00	0.00	0.00	0.00	0.00	0.00	0.00
			My	-0.17	-0.06	0.02	0.06	0.08	0.07	0.03	-0.04	-0.14
			Mz	0.00	0.00	0.00	0.00	0.00	0.00	0.00	0.00	0.00
		1.35·PP+1.5·T1	N	0.269	0.269	0.269	0.269	0.269	0.269	0.269	0.269	0.269
			Vy	0.000	0.000	0.000	0.000	0.000	0.000	0.000	0.000	0.000
			Vz	-0.257	-0.194	-0.130	-0.067	-0.003	0.059	0.122	0.186	0.249
			Mt	0.00	0.00	0.00	0.00	0.00	0.00	0.00	0.00	0.00
			My	-0.28	-0.10	0.03	0.11	0.14	0.12	0.04	-0.08	-0.25
			Mz	0.00	0.00	0.00	0.00	0.00	0.00	0.00	0.00	0.00
		0.8·PP+1.5·T2	N	-1.292	-1.292	-1.292	-1.292	-1.292	-1.292	-1.292	-1.292	-1.292
			Vy	0.000	0.000	0.000	0.000	0.000	0.000	0.000	0.000	0.000
			Vz	-0.147	-0.109	-0.072	-0.034	0.003	0.041	0.078	0.115	0.153
			Mt	0.00	0.00	0.00	0.00	0.00	0.00	0.00	0.00	0.00
			My	-0.15	-0.05	0.02	0.06	0.08	0.06	0.01	-0.07	-0.17
			Mz	0.00	0.00	0.00	0.00	0.00	0.00	0.00	0.00	0.00
		1.35·PP+1.5·T2	N	-1.553	-1.553	-1.553	-1.553	-1.553	-1.553	-1.553	-1.553	-1.553
			Vy	0.000	0.000	0.000	0.000	0.000	0.000	0.000	0.000	0.000
			Vz	-0.250	-0.187	-0.124	-0.060	0.003	0.066	0.129	0.192	0.256
			Mt	0.00	0.00	0.00	0.00	0.00	0.00	0.00	0.00	0.00
			My	-0.26	-0.09	0.03	0.11	0.13	0.10	0.02	-0.10	-0.28
			Mz	0.00	0.00	0.00	0.00	0.00	0.00	0.00	0.00	0.00
		0.8·PP+1.5·T1+1.5·T2	N	-0.381	-0.381	-0.381	-0.381	-0.381	-0.381	-0.381	-0.381	-0.381
			Vy	0.000	0.000	0.000	0.000	0.000	0.000	0.000	0.000	0.000
			Vz	-0.150	-0.113	-0.075	-0.038	0.000	0.037	0.075	0.112	0.149
			Mt	0.00	0.00	0.00	0.00	0.00	0.00	0.00	0.00	0.00
			My	-0.16	-0.06	0.02	0.06	0.08	0.06	0.02	-0.05	-0.16
			Mz	0.00	0.00	0.00	0.00	0.00	0.00	0.00	0.00	0.00
		1.35·PP+1.5·T1+1.5·T2	N	-0.642	-0.642	-0.642	-0.642	-0.642	-0.642	-0.642	-0.642	-0.642
			Vy	0.000	0.000	0.000	0.000	0.000	0.000	0.000	0.000	0.000
			Vz	-0.253	-0.190	-0.127	-0.064	0.000	0.063	0.126	0.189	0.252
			Mt	0.00	0.00	0.00	0.00	0.00	0.00	0.00	0.00	0.00
			My	-0.27	-0.09	0.03	0.11	0.13	0.11	0.03	-0.09	-0.27
			Mz	0.00	0.00	0.00	0.00	0.00	0.00	0.00	0.00	0.00
		0.8·PP+1.5·T3	N	2.353	2.353	2.353	2.353	2.353	2.353	2.353	2.353	2.353
			Vy	0.000	0.000	0.000	0.000	0.000	0.000	0.000	0.000	0.000
			Vz	-0.160	-0.123	-0.086	-0.048	-0.010	0.027	0.064	0.102	0.139
			Mt	0.00	0.00	0.00	0.00	0.00	0.00	0.00	0.00	0.00
			My	-0.18	-0.07	0.01	0.07	0.09	0.08	0.05	-0.02	-0.12
			Mz	0.00	0.00	0.00	0.00	0.00	0.00	0.00	0.00	0.00
		1.35·PP+1.5·T3	N	2.091	2.091	2.091	2.091	2.091	2.091	2.091	2.091	2.091
			Vy	0.000	0.000	0.000	0.000	0.000	0.000	0.000	0.000	0.000
			Vz	-0.264	-0.200	-0.137	-0.074	-0.010	0.052	0.116	0.179	0.242
			Mt	0.00	0.00	0.00	0.00	0.00	0.00	0.00	0.00	0.00
			My	-0.29	-0.11	0.03	0.11	0.14	0.13	0.06	-0.06	-0.23
			Mz	0.00	0.00	0.00	0.00	0.00	0.00	0.00	0.00	0.00
		0.8·PP+1.5·T1+1.5·T3	N	3.264	3.264	3.264	3.264	3.264	3.264	3.264	3.264	3.264
			Vy	0.000	0.000	0.000	0.000	0.000	0.000	0.000	0.000	0.000

Esfuerzos en barras, por combinación

Barra	Combinación		Esfuerzo	Posiciones en la barra								
	Tipo	Descripción		0.000 m	0.800 m	1.600 m	2.400 m	3.200 m	4.000 m	4.800 m	5.600 m	6.400 m
			Vz	-0.164	-0.126	-0.089	-0.051	-0.014	0.023	0.061	0.098	0.136
			Mt	0.00	0.00	0.00	0.00	0.00	0.00	0.00	0.00	0.00
			My	-0.19	-0.08	0.01	0.07	0.09	0.09	0.06	-0.01	-0.10
			Mz	0.00	0.00	0.00	0.00	0.00	0.00	0.00	0.00	0.00
		1.35·PP+1.5·T1+1.5·T3	N	3.002	3.002	3.002	3.002	3.002	3.002	3.002	3.002	3.002
			Vy	0.000	0.000	0.000	0.000	0.000	0.000	0.000	0.000	0.000
			Vz	-0.267	-0.204	-0.141	-0.077	-0.014	0.049	0.112	0.175	0.239
			Mt	0.00	0.00	0.00	0.00	0.00	0.00	0.00	0.00	0.00
			My	-0.30	-0.11	0.02	0.11	0.15	0.13	0.07	-0.05	-0.21
			Mz	0.00	0.00	0.00	0.00	0.00	0.00	0.00	0.00	0.00
		0.8·PP+1.5·T2+1.5·T3	N	1.442	1.442	1.442	1.442	1.442	1.442	1.442	1.442	1.442
			Vy	0.000	0.000	0.000	0.000	0.000	0.000	0.000	0.000	0.000
			Vz	-0.157	-0.120	-0.082	-0.045	-0.007	0.030	0.068	0.105	0.143
			Mt	0.00	0.00	0.00	0.00	0.00	0.00	0.00	0.00	0.00
			My	-0.18	-0.07	0.01	0.07	0.09	0.08	0.04	-0.03	-0.13
			Mz	0.00	0.00	0.00	0.00	0.00	0.00	0.00	0.00	0.00
		1.35·PP+1.5·T2+1.5·T3	N	1.180	1.180	1.180	1.180	1.180	1.180	1.180	1.180	1.180
			Vy	0.000	0.000	0.000	0.000	0.000	0.000	0.000	0.000	0.000
			Vz	-0.260	-0.197	-0.134	-0.071	-0.007	0.056	0.119	0.182	0.245
			Mt	0.00	0.00	0.00	0.00	0.00	0.00	0.00	0.00	0.00
			My	-0.29	-0.10	0.03	0.11	0.14	0.12	0.05	-0.07	-0.24
			Mz	0.00	0.00	0.00	0.00	0.00	0.00	0.00	0.00	0.00
		0.8·PP+1.5·T1+1.5·T2+1.5·T3	N	2.353	2.353	2.353	2.353	2.353	2.353	2.353	2.353	2.353
			Vy	0.000	0.000	0.000	0.000	0.000	0.000	0.000	0.000	0.000
			Vz	-0.160	-0.123	-0.086	-0.048	-0.010	0.027	0.064	0.102	0.139
			Mt	0.00	0.00	0.00	0.00	0.00	0.00	0.00	0.00	0.00
			My	-0.18	-0.07	0.01	0.07	0.09	0.08	0.05	-0.02	-0.12
			Mz	0.00	0.00	0.00	0.00	0.00	0.00	0.00	0.00	0.00
		1.35·PP+1.5·T1+1.5·T2+1.5·T3	N	2.091	2.091	2.091	2.091	2.091	2.091	2.091	2.091	2.091
			Vy	0.000	0.000	0.000	0.000	0.000	0.000	0.000	0.000	0.000
			Vz	-0.264	-0.200	-0.137	-0.074	-0.010	0.052	0.116	0.179	0.242
			Mt	0.00	0.00	0.00	0.00	0.00	0.00	0.00	0.00	0.00
			My	-0.29	-0.11	0.03	0.11	0.14	0.13	0.06	-0.06	-0.23
			Mz	0.00	0.00	0.00	0.00	0.00	0.00	0.00	0.00	0.00
		0.8·PP+1.5·T4	N	-3.114	-3.114	-3.114	-3.114	-3.114	-3.114	-3.114	-3.114	-3.114
			Vy	0.000	0.000	0.000	0.000	0.000	0.000	0.000	0.000	0.000
			Vz	-0.140	-0.102	-0.065	-0.028	0.010	0.047	0.085	0.122	0.160
			Mt	0.00	0.00	0.00	0.00	0.00	0.00	0.00	0.00	0.00
			My	-0.14	-0.04	0.02	0.06	0.07	0.05	-0.01	-0.09	-0.20
			Mz	0.00	0.00	0.00	0.00	0.00	0.00	0.00	0.00	0.00
		1.35·PP+1.5·T4	N	-3.376	-3.376	-3.376	-3.376	-3.376	-3.376	-3.376	-3.376	-3.376
			Vy	0.000	0.000	0.000	0.000	0.000	0.000	0.000	0.000	0.000
			Vz	-0.243	-0.180	-0.117	-0.054	0.010	0.073	0.136	0.199	0.263
			Mt	0.00	0.00	0.00	0.00	0.00	0.00	0.00	0.00	0.00
			My	-0.25	-0.08	0.04	0.11	0.12	0.09	0.01	-0.13	-0.31
			Mz	0.00	0.00	0.00	0.00	0.00	0.00	0.00	0.00	0.00
		0.8·PP+1.5·T1+1.5·T4	N	-2.203	-2.203	-2.203	-2.203	-2.203	-2.203	-2.203	-2.203	-2.203
			Vy	0.000	0.000	0.000	0.000	0.000	0.000	0.000	0.000	0.000
			Vz	-0.143	-0.106	-0.068	-0.031	0.007	0.044	0.081	0.119	0.156
			Mt	0.00	0.00	0.00	0.00	0.00	0.00	0.00	0.00	0.00
			My	-0.15	-0.05	0.02	0.06	0.07	0.05	0.00	-0.08	-0.19
			Mz	0.00	0.00	0.00	0.00	0.00	0.00	0.00	0.00	0.00
		1.35·PP+1.5·T1+1.5·T4	N	-2.465	-2.465	-2.465	-2.465	-2.465	-2.465	-2.465	-2.465	-2.465
			Vy	0.000	0.000	0.000	0.000	0.000	0.000	0.000	0.000	0.000
			Vz	-0.247	-0.183	-0.120	-0.057	0.007	0.069	0.133	0.196	0.259
			Mt	0.00	0.00	0.00	0.00	0.00	0.00	0.00	0.00	0.00
			My	-0.26	-0.09	0.04	0.11	0.13	0.10	0.02	-0.12	-0.30
			Mz	0.00	0.00	0.00	0.00	0.00	0.00	0.00	0.00	0.00
		0.8·PP+1.5·T2+1.5·T4	N	-4.025	-4.025	-4.025	-4.025	-4.025	-4.025	-4.025	-4.025	-4.025
			Vy	0.000	0.000	0.000	0.000	0.000	0.000	0.000	0.000	0.000
			Vz	-0.136	-0.099	-0.062	-0.024	0.014	0.051	0.088	0.126	0.163
			Mt	0.00	0.00	0.00	0.00	0.00	0.00	0.00	0.00	0.00
			My	-0.13	-0.04	0.03	0.06	0.07	0.04	-0.02	-0.10	-0.22
			Mz	0.00	0.00	0.00	0.00	0.00	0.00	0.00	0.00	0.00
		1.35·PP+1.5·T2+1.5·T4	N	-4.287	-4.287	-4.287	-4.287	-4.287	-4.287	-4.287	-4.287	-4.287
			Vy	0.000	0.000	0.000	0.000	0.000	0.000	0.000	0.000	0.000
			Vz	-0.240	-0.177	-0.113	-0.050	0.014	0.076	0.140	0.203	0.266
			Mt	0.00	0.00	0.00	0.00	0.00	0.00	0.00	0.00	0.00
			My	-0.24	-0.08	0.04	0.11	0.12	0.08	0.00	-0.14	-0.33
			Mz	0.00	0.00	0.00	0.00	0.00	0.00	0.00	0.00	0.00
		0.8·PP+1.5·T1+1.5·T2+1.5·T4	N	-3.114	-3.114	-3.114	-3.114	-3.114	-3.114	-3.114	-3.114	-3.114
			Vy	0.000	0.000	0.000	0.000	0.000	0.000	0.000	0.000	0.000
			Vz	-0.140	-0.102	-0.065	-0.028	0.010	0.047	0.085	0.122	0.160
			Mt	0.00	0.00	0.00	0.00	0.00	0.00	0.00	0.00	0.00
			My	-0.14	-0.04	0.02	0.06	0.07	0.05	-0.01	-0.09	-0.20
			Mz	0.00	0.00	0.00	0.00	0.00	0.00	0.00	0.00	0.00
		1.35·PP+1.5·T1+1.5·T2+1.5·T4	N	-3.376	-3.376	-3.376	-3.376	-3.376	-3.376	-3.376	-3.376	-3.376
			Vy	0.000	0.000	0.000	0.000	0.000	0.000	0.000	0.000	0.000
			Vz	-0.243	-0.180	-0.117	-0.054	0.010	0.073	0.136	0.199	0.263
			Mt	0.00	0.00	0.00	0.00	0.00	0.00	0.00	0.00	0.00
			My	-0.25	-0.08	0.04	0.11	0.12	0.09	0.01	-0.13	-0.31
			Mz	0.00	0.00	0.00	0.00	0.00	0.00	0.00	0.00	0.00

Esfuerzos en barras, por combinación

Barra	Combinación		Esfuerzo	Posiciones en la barra								
	Tipo	Descripción		0.000 m	0.800 m	1.600 m	2.400 m	3.200 m	4.000 m	4.800 m	5.600 m	6.400 m
		0.8·PP+1.5·T3+1.5·T4	N	-0.381	-0.381	-0.381	-0.381	-0.381	-0.381	-0.381	-0.381	-0.381
			Vy	0.000	0.000	0.000	0.000	0.000	0.000	0.000	0.000	0.000
			Vz	-0.150	-0.113	-0.075	-0.038	0.000	0.037	0.075	0.112	0.149
			Mt	0.00	0.00	0.00	0.00	0.00	0.00	0.00	0.00	0.00
			My	-0.16	-0.06	0.02	0.06	0.08	0.06	0.02	-0.05	-0.16
			Mz	0.00	0.00	0.00	0.00	0.00	0.00	0.00	0.00	0.00
		1.35·PP+1.5·T3+1.5·T4	N	-0.642	-0.642	-0.642	-0.642	-0.642	-0.642	-0.642	-0.642	-0.642
			Vy	0.000	0.000	0.000	0.000	0.000	0.000	0.000	0.000	0.000
			Vz	-0.253	-0.190	-0.127	-0.064	0.000	0.063	0.126	0.189	0.252
			Mt	0.00	0.00	0.00	0.00	0.00	0.00	0.00	0.00	0.00
			My	-0.27	-0.09	0.03	0.11	0.13	0.11	0.03	-0.09	-0.27
			Mz	0.00	0.00	0.00	0.00	0.00	0.00	0.00	0.00	0.00
		0.8·PP+1.5·T1+1.5·T3+1.5·T4	N	0.531	0.531	0.531	0.531	0.531	0.531	0.531	0.531	0.531
			Vy	0.000	0.000	0.000	0.000	0.000	0.000	0.000	0.000	0.000
			Vz	-0.154	-0.116	-0.079	-0.041	-0.003	0.034	0.071	0.109	0.146
			Mt	0.00	0.00	0.00	0.00	0.00	0.00	0.00	0.00	0.00
			My	-0.17	-0.06	0.02	0.06	0.08	0.07	0.03	-0.04	-0.14
			Mz	0.00	0.00	0.00	0.00	0.00	0.00	0.00	0.00	0.00
		1.35·PP+1.5·T1+1.5·T3+1.5·T4	N	0.269	0.269	0.269	0.269	0.269	0.269	0.269	0.269	0.269
			Vy	0.000	0.000	0.000	0.000	0.000	0.000	0.000	0.000	0.000
			Vz	-0.257	-0.194	-0.130	-0.067	-0.003	0.059	0.122	0.186	0.249
			Mt	0.00	0.00	0.00	0.00	0.00	0.00	0.00	0.00	0.00
			My	-0.28	-0.10	0.03	0.11	0.14	0.12	0.04	-0.08	-0.25
			Mz	0.00	0.00	0.00	0.00	0.00	0.00	0.00	0.00	0.00
		0.8·PP+1.5·T2+1.5·T3+1.5·T4	N	-1.292	-1.292	-1.292	-1.292	-1.292	-1.292	-1.292	-1.292	-1.292
			Vy	0.000	0.000	0.000	0.000	0.000	0.000	0.000	0.000	0.000
			Vz	-0.147	-0.109	-0.072	-0.034	0.003	0.041	0.078	0.115	0.153
			Mt	0.00	0.00	0.00	0.00	0.00	0.00	0.00	0.00	0.00
			My	-0.15	-0.05	0.02	0.06	0.08	0.06	0.01	-0.07	-0.17
			Mz	0.00	0.00	0.00	0.00	0.00	0.00	0.00	0.00	0.00
		1.35·PP+1.5·T2+1.5·T3+1.5·T4	N	-1.553	-1.553	-1.553	-1.553	-1.553	-1.553	-1.553	-1.553	-1.553
			Vy	0.000	0.000	0.000	0.000	0.000	0.000	0.000	0.000	0.000
			Vz	-0.250	-0.187	-0.124	-0.060	0.003	0.066	0.129	0.192	0.256
			Mt	0.00	0.00	0.00	0.00	0.00	0.00	0.00	0.00	0.00
			My	-0.26	-0.09	0.03	0.11	0.13	0.10	0.02	-0.10	-0.28
			Mz	0.00	0.00	0.00	0.00	0.00	0.00	0.00	0.00	0.00
		0.8·PP+1.5·T1+1.5·T2+1.5·T3+1.5·T4	N	-0.381	-0.381	-0.381	-0.381	-0.381	-0.381	-0.381	-0.381	-0.381
			Vy	0.000	0.000	0.000	0.000	0.000	0.000	0.000	0.000	0.000
			Vz	-0.150	-0.113	-0.075	-0.038	0.000	0.037	0.075	0.112	0.149
			Mt	0.00	0.00	0.00	0.00	0.00	0.00	0.00	0.00	0.00
			My	-0.16	-0.06	0.02	0.06	0.08	0.06	0.02	-0.05	-0.16
			Mz	0.00	0.00	0.00	0.00	0.00	0.00	0.00	0.00	0.00
		1.35·PP+1.5·T1+1.5·T2+1.5·T3+1.5·T4	N	-0.642	-0.642	-0.642	-0.642	-0.642	-0.642	-0.642	-0.642	-0.642
			Vy	0.000	0.000	0.000	0.000	0.000	0.000	0.000	0.000	0.000
			Vz	-0.253	-0.190	-0.127	-0.064	0.000	0.063	0.126	0.189	0.252
			Mt	0.00	0.00	0.00	0.00	0.00	0.00	0.00	0.00	0.00
			My	-0.27	-0.09	0.03	0.11	0.13	0.11	0.03	-0.09	-0.27
			Mz	0.00	0.00	0.00	0.00	0.00	0.00	0.00	0.00	0.00

Esfuerzos en barras, por combinación

Barra	Combinación		Esfuerzo	Posiciones en la barra								
	Tipo	Descripción		0.000 m	0.806 m	1.612 m	2.419 m	3.225 m	4.031 m	4.837 m	5.644 m	6.450 m
N8/N10	Acero laminado	0.8·PP	N	-0.381	-0.381	-0.381	-0.381	-0.381	-0.381	-0.381	-0.381	-0.381
			Vy	0.000	0.000	0.000	0.000	0.000	0.000	0.000	0.000	0.000
			Vz	-0.151	-0.113	-0.075	-0.037	0.000	0.038	0.076	0.114	0.151
			Mt	0.00	0.00	0.00	0.00	0.00	0.00	0.00	0.00	0.00
			My	-0.16	-0.06	0.02	0.07	0.08	0.07	0.02	-0.06	-0.16
			Mz	0.00	0.00	0.00	0.00	0.00	0.00	0.00	0.00	0.00
		1.35·PP	N	-0.643	-0.643	-0.643	-0.643	-0.643	-0.643	-0.643	-0.643	-0.643
			Vy	0.000	0.000	0.000	0.000	0.000	0.000	0.000	0.000	0.000
			Vz	-0.254	-0.191	-0.127	-0.063	0.000	0.064	0.128	0.192	0.255
			Mt	0.00	0.00	0.00	0.00	0.00	0.00	0.00	0.00	0.00
			My	-0.27	-0.09	0.03	0.11	0.14	0.11	0.03	-0.10	-0.28
			Mz	0.00	0.00	0.00	0.00	0.00	0.00	0.00	0.00	0.00
		0.8·PP+1.5·T1	N	2.553	2.553	2.553	2.553	2.553	2.553	2.553	2.553	2.553
			Vy	0.000	0.000	0.000	0.000	0.000	0.000	0.000	0.000	0.000
			Vz	-0.156	-0.118	-0.081	-0.043	-0.006	0.033	0.070	0.108	0.146
			Mt	0.00	0.00	0.00	0.00	0.00	0.00	0.00	0.00	0.00
			My	-0.18	-0.07	0.01	0.06	0.08	0.07	0.03	-0.04	-0.15
			Mz	0.00	0.00	0.00	0.00	0.00	0.00	0.00	0.00	0.00
		1.35·PP+1.5·T1	N	2.290	2.290	2.290	2.290	2.290	2.290	2.290	2.290	2.290
			Vy	0.000	0.000	0.000	0.000	0.000	0.000	0.000	0.000	0.000
			Vz	-0.260	-0.196	-0.132	-0.069	-0.006	0.059	0.122	0.186	0.250
			Mt	0.00	0.00	0.00	0.00	0.00	0.00	0.00	0.00	0.00
			My	-0.29	-0.11	0.02	0.11	0.14	0.11	0.04	-0.08	-0.26
			Mz	0.00	0.00	0.00	0.00	0.00	0.00	0.00	0.00	0.00
		0.8·PP+1.5·T2	N	-3.315	-3.315	-3.315	-3.315	-3.315	-3.315	-3.315	-3.315	-3.315
			Vy	0.000	0.000	0.000	0.000	0.000	0.000	0.000	0.000	0.000
			Vz	-0.145	-0.107	-0.070	-0.032	0.006	0.044	0.081	0.119	0.157
			Mt	0.00	0.00	0.00	0.00	0.00	0.00	0.00	0.00	0.00
			My	-0.14	-0.04	0.03	0.07	0.08	0.06	0.01	-0.07	-0.18

Esfuerzos en barras, por combinación

Barra	Combinación		Esfuerzo	Posiciones en la barra								
	Tipo	Descripción		0.000 m	0.806 m	1.612 m	2.419 m	3.225 m	4.031 m	4.837 m	5.644 m	6.450 m
			Mz	0.00	0.00	0.00	0.00	0.00	0.00	0.00	0.00	0.00
		1.35·PP+1.5·T2	N	-3.577	-3.577	-3.577	-3.577	-3.577	-3.577	-3.577	-3.577	-3.577
			Vy	0.000	0.000	0.000	0.000	0.000	0.000	0.000	0.000	0.000
			Vz	-0.249	-0.185	-0.121	-0.058	0.006	0.070	0.133	0.197	0.261
			Mt	0.00	0.00	0.00	0.00	0.00	0.00	0.00	0.00	0.00
			My	-0.25	-0.08	0.04	0.12	0.14	0.11	0.03	-0.11	-0.29
			Mz	0.00	0.00	0.00	0.00	0.00	0.00	0.00	0.00	0.00
		0.8·PP+1.5·T1+1.5·T2	N	-0.381	-0.381	-0.381	-0.381	-0.381	-0.381	-0.381	-0.381	-0.381
			Vy	0.000	0.000	0.000	0.000	0.000	0.000	0.000	0.000	0.000
			Vz	-0.151	-0.113	-0.075	-0.037	0.000	0.038	0.076	0.114	0.151
			Mt	0.00	0.00	0.00	0.00	0.00	0.00	0.00	0.00	0.00
			My	-0.16	-0.06	0.02	0.07	0.08	0.07	0.02	-0.06	-0.16
			Mz	0.00	0.00	0.00	0.00	0.00	0.00	0.00	0.00	0.00
		1.35·PP+1.5·T1+1.5·T2	N	-0.643	-0.643	-0.643	-0.643	-0.643	-0.643	-0.643	-0.643	-0.643
			Vy	0.000	0.000	0.000	0.000	0.000	0.000	0.000	0.000	0.000
			Vz	-0.254	-0.191	-0.127	-0.063	0.000	0.064	0.128	0.192	0.255
			Mt	0.00	0.00	0.00	0.00	0.00	0.00	0.00	0.00	0.00
			My	-0.27	-0.09	0.03	0.11	0.14	0.11	0.03	-0.10	-0.28
			Mz	0.00	0.00	0.00	0.00	0.00	0.00	0.00	0.00	0.00
		0.8·PP+1.5·T3	N	8.420	8.420	8.420	8.420	8.420	8.420	8.420	8.420	8.420
			Vy	0.000	0.000	0.000	0.000	0.000	0.000	0.000	0.000	0.000
			Vz	-0.167	-0.129	-0.092	-0.054	-0.017	0.022	0.059	0.097	0.135
			Mt	0.00	0.00	0.00	0.00	0.00	0.00	0.00	0.00	0.00
			My	-0.22	-0.10	-0.01	0.05	0.08	0.08	0.04	-0.02	-0.11
			Mz	0.00	0.00	0.00	0.00	0.00	0.00	0.00	0.00	0.00
		1.35·PP+1.5·T3	N	8.158	8.158	8.158	8.158	8.158	8.158	8.158	8.158	8.158
			Vy	0.000	0.000	0.000	0.000	0.000	0.000	0.000	0.000	0.000
			Vz	-0.271	-0.207	-0.143	-0.080	-0.017	0.048	0.111	0.175	0.239
			Mt	0.00	0.00	0.00	0.00	0.00	0.00	0.00	0.00	0.00
			My	-0.33	-0.14	0.00	0.09	0.13	0.12	0.06	-0.06	-0.23
			Mz	0.00	0.00	0.00	0.00	0.00	0.00	0.00	0.00	0.00
		0.8·PP+1.5·T1+1.5·T3	N	11.354	11.354	11.354	11.354	11.354	11.354	11.354	11.354	11.354
			Vy	0.000	0.000	0.000	0.000	0.000	0.000	0.000	0.000	0.000
			Vz	-0.173	-0.135	-0.097	-0.060	-0.022	0.016	0.054	0.091	0.129
			Mt	0.00	0.00	0.00	0.00	0.00	0.00	0.00	0.00	0.00
			My	-0.24	-0.11	-0.02	0.04	0.08	0.08	0.05	-0.01	-0.10
			Mz	0.00	0.00	0.00	0.00	0.00	0.00	0.00	0.00	0.00
		1.35·PP+1.5·T1+1.5·T3	N	11.092	11.092	11.092	11.092	11.092	11.092	11.092	11.092	11.092
			Vy	0.000	0.000	0.000	0.000	0.000	0.000	0.000	0.000	0.000
			Vz	-0.276	-0.213	-0.149	-0.085	-0.022	0.042	0.106	0.170	0.233
			Mt	0.00	0.00	0.00	0.00	0.00	0.00	0.00	0.00	0.00
			My	-0.35	-0.15	-0.01	0.09	0.13	0.12	0.06	-0.05	-0.21
			Mz	0.00	0.00	0.00	0.00	0.00	0.00	0.00	0.00	0.00
		0.8·PP+1.5·T2+1.5·T3	N	5.487	5.487	5.487	5.487	5.487	5.487	5.487	5.487	5.487
			Vy	0.000	0.000	0.000	0.000	0.000	0.000	0.000	0.000	0.000
			Vz	-0.162	-0.124	-0.086	-0.048	-0.011	0.027	0.065	0.103	0.140
			Mt	0.00	0.00	0.00	0.00	0.00	0.00	0.00	0.00	0.00
			My	-0.20	-0.08	0.00	0.05	0.08	0.07	0.04	-0.03	-0.13
			Mz	0.00	0.00	0.00	0.00	0.00	0.00	0.00	0.00	0.00
		1.35·PP+1.5·T2+1.5·T3	N	5.224	5.224	5.224	5.224	5.224	5.224	5.224	5.224	5.224
			Vy	0.000	0.000	0.000	0.000	0.000	0.000	0.000	0.000	0.000
			Vz	-0.265	-0.202	-0.138	-0.074	-0.011	0.053	0.117	0.181	0.244
			Mt	0.00	0.00	0.00	0.00	0.00	0.00	0.00	0.00	0.00
			My	-0.31	-0.12	0.01	0.10	0.13	0.12	0.05	-0.07	-0.24
			Mz	0.00	0.00	0.00	0.00	0.00	0.00	0.00	0.00	0.00
		0.8·PP+1.5·T1+1.5·T2+1.5·T3	N	8.420	8.420	8.420	8.420	8.420	8.420	8.420	8.420	8.420
			Vy	0.000	0.000	0.000	0.000	0.000	0.000	0.000	0.000	0.000
			Vz	-0.167	-0.129	-0.092	-0.054	-0.017	0.022	0.059	0.097	0.135
			Mt	0.00	0.00	0.00	0.00	0.00	0.00	0.00	0.00	0.00
			My	-0.22	-0.10	-0.01	0.05	0.08	0.08	0.04	-0.02	-0.11
			Mz	0.00	0.00	0.00	0.00	0.00	0.00	0.00	0.00	0.00
		1.35·PP+1.5·T1+1.5·T2+1.5·T3	N	8.158	8.158	8.158	8.158	8.158	8.158	8.158	8.158	8.158
			Vy	0.000	0.000	0.000	0.000	0.000	0.000	0.000	0.000	0.000
			Vz	-0.271	-0.207	-0.143	-0.080	-0.017	0.048	0.111	0.175	0.239
			Mt	0.00	0.00	0.00	0.00	0.00	0.00	0.00	0.00	0.00
			My	-0.33	-0.14	0.00	0.09	0.13	0.12	0.06	-0.06	-0.23
			Mz	0.00	0.00	0.00	0.00	0.00	0.00	0.00	0.00	0.00
		0.8·PP+1.5·T4	N	-9.183	-9.183	-9.183	-9.183	-9.183	-9.183	-9.183	-9.183	-9.183
			Vy	0.000	0.000	0.000	0.000	0.000	0.000	0.000	0.000	0.000
			Vz	-0.134	-0.096	-0.059	-0.021	0.017	0.055	0.092	0.130	0.168
			Mt	0.00	0.00	0.00	0.00	0.00	0.00	0.00	0.00	0.00
			My	-0.10	-0.01	0.05	0.08	0.08	0.06	0.00	-0.09	-0.21
			Mz	0.00	0.00	0.00	0.00	0.00	0.00	0.00	0.00	0.00
		1.35·PP+1.5·T4	N	-9.445	-9.445	-9.445	-9.445	-9.445	-9.445	-9.445	-9.445	-9.445
			Vy	0.000	0.000	0.000	0.000	0.000	0.000	0.000	0.000	0.000
			Vz	-0.238	-0.174	-0.110	-0.047	0.017	0.081	0.145	0.208	0.272
			Mt	0.00	0.00	0.00	0.00	0.00	0.00	0.00	0.00	0.00
			My	-0.22	-0.05	0.07	0.13	0.14	0.10	0.01	-0.13	-0.33
			Mz	0.00	0.00	0.00	0.00	0.00	0.00	0.00	0.00	0.00
		0.8·PP+1.5·T1+1.5·T4	N	-6.249	-6.249	-6.249	-6.249	-6.249	-6.249	-6.249	-6.249	-6.249
			Vy	0.000	0.000	0.000	0.000	0.000	0.000	0.000	0.000	0.000
			Vz	-0.140	-0.102	-0.064	-0.026	0.011	0.049	0.087	0.125	0.162

Esfuerzos en barras, por combinación												
Barra	Combinación		Esfuerzo	Posiciones en la barra								
	Tipo	Descripción		0.000 m	0.806 m	1.612 m	2.419 m	3.225 m	4.031 m	4.837 m	5.644 m	6.450 m
			Mt	0.00	0.00	0.00	0.00	0.00	0.00	0.00	0.00	0.00
			My	-0.12	-0.03	0.04	0.08	0.08	0.06	0.00	-0.08	-0.20
			Mz	0.00	0.00	0.00	0.00	0.00	0.00	0.00	0.00	0.00
		1.35·PP+1.5·T1+1.5·T4	N	-6.511	-6.511	-6.511	-6.511	-6.511	-6.511	-6.511	-6.511	-6.511
			Vy	0.000	0.000	0.000	0.000	0.000	0.000	0.000	0.000	0.000
			Vz	-0.243	-0.179	-0.116	-0.052	0.011	0.075	0.139	0.203	0.266
			Mt	0.00	0.00	0.00	0.00	0.00	0.00	0.00	0.00	0.00
			My	-0.23	-0.06	0.05	0.12	0.14	0.10	0.02	-0.12	-0.31
			Mz	0.00	0.00	0.00	0.00	0.00	0.00	0.00	0.00	0.00
		0.8·PP+1.5·T2+1.5·T4	N	-12.117	-12.117	-12.117	-12.117	-12.117	-12.117	-12.117	-12.117	-12.117
			Vy	0.000	0.000	0.000	0.000	0.000	0.000	0.000	0.000	0.000
			Vz	-0.129	-0.091	-0.053	-0.015	0.022	0.060	0.098	0.136	0.173
			Mt	0.00	0.00	0.00	0.00	0.00	0.00	0.00	0.00	0.00
			My	-0.09	0.00	0.06	0.09	0.08	0.05	-0.01	-0.11	-0.23
			Mz	0.00	0.00	0.00	0.00	0.00	0.00	0.00	0.00	0.00
		1.35·PP+1.5·T2+1.5·T4	N	-12.379	-12.379	-12.379	-12.379	-12.379	-12.379	-12.379	-12.379	-12.379
			Vy	0.000	0.000	0.000	0.000	0.000	0.000	0.000	0.000	0.000
			Vz	-0.232	-0.168	-0.105	-0.041	0.022	0.086	0.150	0.214	0.277
			Mt	0.00	0.00	0.00	0.00	0.00	0.00	0.00	0.00	0.00
			My	-0.20	-0.04	0.08	0.13	0.14	0.10	0.00	-0.14	-0.34
			Mz	0.00	0.00	0.00	0.00	0.00	0.00	0.00	0.00	0.00
		0.8·PP+1.5·T1+1.5·T2+1.5·T4	N	-9.183	-9.183	-9.183	-9.183	-9.183	-9.183	-9.183	-9.183	-9.183
			Vy	0.000	0.000	0.000	0.000	0.000	0.000	0.000	0.000	0.000
			Vz	-0.134	-0.096	-0.059	-0.021	0.017	0.055	0.092	0.130	0.168
			Mt	0.00	0.00	0.00	0.00	0.00	0.00	0.00	0.00	0.00
			My	-0.10	-0.01	0.05	0.08	0.08	0.06	0.00	-0.09	-0.21
			Mz	0.00	0.00	0.00	0.00	0.00	0.00	0.00	0.00	0.00
		1.35·PP+1.5·T1+1.5·T2+1.5·T4	N	-9.445	-9.445	-9.445	-9.445	-9.445	-9.445	-9.445	-9.445	-9.445
			Vy	0.000	0.000	0.000	0.000	0.000	0.000	0.000	0.000	0.000
			Vz	-0.238	-0.174	-0.110	-0.047	0.017	0.081	0.145	0.208	0.272
			Mt	0.00	0.00	0.00	0.00	0.00	0.00	0.00	0.00	0.00
			My	-0.22	-0.05	0.07	0.13	0.14	0.10	0.01	-0.13	-0.33
			Mz	0.00	0.00	0.00	0.00	0.00	0.00	0.00	0.00	0.00
		0.8·PP+1.5·T3+1.5·T4	N	-0.381	-0.381	-0.381	-0.381	-0.381	-0.381	-0.381	-0.381	-0.381
			Vy	0.000	0.000	0.000	0.000	0.000	0.000	0.000	0.000	0.000
			Vz	-0.151	-0.113	-0.075	-0.037	0.000	0.038	0.076	0.114	0.151
			Mt	0.00	0.00	0.00	0.00	0.00	0.00	0.00	0.00	0.00
			My	-0.16	-0.06	0.02	0.07	0.08	0.07	0.02	-0.06	-0.16
			Mz	0.00	0.00	0.00	0.00	0.00	0.00	0.00	0.00	0.00
		1.35·PP+1.5·T3+1.5·T4	N	-0.643	-0.643	-0.643	-0.643	-0.643	-0.643	-0.643	-0.643	-0.643
			Vy	0.000	0.000	0.000	0.000	0.000	0.000	0.000	0.000	0.000
			Vz	-0.254	-0.191	-0.127	-0.063	0.000	0.064	0.128	0.192	0.255
			Mt	0.00	0.00	0.00	0.00	0.00	0.00	0.00	0.00	0.00
			My	-0.27	-0.09	0.03	0.11	0.14	0.11	0.03	-0.10	-0.28
			Mz	0.00	0.00	0.00	0.00	0.00	0.00	0.00	0.00	0.00
		0.8·PP+1.5·T1+1.5·T3+1.5·T4	N	2.553	2.553	2.553	2.553	2.553	2.553	2.553	2.553	2.553
			Vy	0.000	0.000	0.000	0.000	0.000	0.000	0.000	0.000	0.000
			Vz	-0.156	-0.118	-0.081	-0.043	-0.006	0.033	0.070	0.108	0.146
			Mt	0.00	0.00	0.00	0.00	0.00	0.00	0.00	0.00	0.00
			My	-0.18	-0.07	0.01	0.06	0.08	0.07	0.03	-0.04	-0.15
			Mz	0.00	0.00	0.00	0.00	0.00	0.00	0.00	0.00	0.00
		1.35·PP+1.5·T1+1.5·T3+1.5·T4	N	2.290	2.290	2.290	2.290	2.290	2.290	2.290	2.290	2.290
			Vy	0.000	0.000	0.000	0.000	0.000	0.000	0.000	0.000	0.000
			Vz	-0.260	-0.196	-0.132	-0.069	-0.006	0.059	0.122	0.186	0.250
			Mt	0.00	0.00	0.00	0.00	0.00	0.00	0.00	0.00	0.00
			My	-0.29	-0.11	0.02	0.11	0.14	0.11	0.04	-0.08	-0.26
			Mz	0.00	0.00	0.00	0.00	0.00	0.00	0.00	0.00	0.00
		0.8·PP+1.5·T2+1.5·T3+1.5·T4	N	-3.315	-3.315	-3.315	-3.315	-3.315	-3.315	-3.315	-3.315	-3.315
			Vy	0.000	0.000	0.000	0.000	0.000	0.000	0.000	0.000	0.000
			Vz	-0.145	-0.107	-0.070	-0.032	0.006	0.044	0.081	0.119	0.157
			Mt	0.00	0.00	0.00	0.00	0.00	0.00	0.00	0.00	0.00
			My	-0.14	-0.04	0.03	0.07	0.08	0.06	0.01	-0.07	-0.18
			Mz	0.00	0.00	0.00	0.00	0.00	0.00	0.00	0.00	0.00
		1.35·PP+1.5·T2+1.5·T3+1.5·T4	N	-3.577	-3.577	-3.577	-3.577	-3.577	-3.577	-3.577	-3.577	-3.577
			Vy	0.000	0.000	0.000	0.000	0.000	0.000	0.000	0.000	0.000
			Vz	-0.249	-0.185	-0.121	-0.058	0.006	0.070	0.133	0.197	0.261
			Mt	0.00	0.00	0.00	0.00	0.00	0.00	0.00	0.00	0.00
			My	-0.25	-0.08	0.04	0.12	0.14	0.11	0.03	-0.11	-0.29
			Mz	0.00	0.00	0.00	0.00	0.00	0.00	0.00	0.00	0.00
		0.8·PP+1.5·T1+1.5·T2+1.5·T3+1.5·T4	N	-0.381	-0.381	-0.381	-0.381	-0.381	-0.381	-0.381	-0.381	-0.381
			Vy	0.000	0.000	0.000	0.000	0.000	0.000	0.000	0.000	0.000
			Vz	-0.151	-0.113	-0.075	-0.037	0.000	0.038	0.076	0.114	0.151
			Mt	0.00	0.00	0.00	0.00	0.00	0.00	0.00	0.00	0.00
			My	-0.16	-0.06	0.02	0.07	0.08	0.07	0.02	-0.06	-0.16
			Mz	0.00	0.00	0.00	0.00	0.00	0.00	0.00	0.00	0.00
		1.35·PP+1.5·T1+1.5·T2+1.5·T3+1.5·T4	N	-0.643	-0.643	-0.643	-0.643	-0.643	-0.643	-0.643	-0.643	-0.643
			Vy	0.000	0.000	0.000	0.000	0.000	0.000	0.000	0.000	0.000
			Vz	-0.254	-0.191	-0.127	-0.063	0.000	0.064	0.128	0.192	0.255
			Mt	0.00	0.00	0.00	0.00	0.00	0.00	0.00	0.00	0.00
			My	-0.27	-0.09	0.03	0.11	0.14	0.11	0.03	-0.10	-0.28
			Mz	0.00	0.00	0.00	0.00	0.00	0.00	0.00	0.00	0.00

Esfuerzos en barras, por combinación

Barra	Combinación		Esfuerzo	Posiciones en la barra								
	Tipo	Descripción		0.000 m	0.575 m	1.150 m	1.725 m	2.300 m	2.875 m	3.450 m	4.025 m	4.600 m
N10/N12	Acero laminado	0.8·PP	N	-0.191	-0.191	-0.191	-0.191	-0.191	-0.191	-0.191	-0.191	-0.191
			Vy	0.000	0.000	0.000	0.000	0.000	0.000	0.000	0.000	0.000
			Vz	-0.107	-0.080	-0.053	-0.026	0.000	0.027	0.054	0.081	0.108
			Mt	0.00	0.00	0.00	0.00	0.00	0.00	0.00	0.00	0.00
			My	-0.08	-0.03	0.01	0.03	0.04	0.03	0.01	-0.03	-0.08
			Mz	0.00	0.00	0.00	0.00	0.00	0.00	0.00	0.00	0.00
		1.35·PP	N	-0.322	-0.322	-0.322	-0.322	-0.322	-0.322	-0.322	-0.322	-0.322
			Vy	0.000	0.000	0.000	0.000	0.000	0.000	0.000	0.000	0.000
			Vz	-0.181	-0.135	-0.090	-0.045	0.000	0.046	0.092	0.137	0.183
			Mt	0.00	0.00	0.00	0.00	0.00	0.00	0.00	0.00	0.00
			My	-0.14	-0.05	0.02	0.06	0.07	0.06	0.02	-0.05	-0.14
			Mz	0.00	0.00	0.00	0.00	0.00	0.00	0.00	0.00	0.00
		0.8·PP+1.5·T1	N	3.866	3.866	3.866	3.866	3.866	3.866	3.866	3.866	3.866
			Vy	0.000	0.000	0.000	0.000	0.000	0.000	0.000	0.000	0.000
			Vz	-0.113	-0.086	-0.059	-0.033	-0.006	0.021	0.048	0.075	0.102
			Mt	0.00	0.00	0.00	0.00	0.00	0.00	0.00	0.00	0.00
			My	-0.10	-0.04	0.00	0.03	0.04	0.04	0.02	-0.02	-0.07
			Mz	0.00	0.00	0.00	0.00	0.00	0.00	0.00	0.00	0.00
		1.35·PP+1.5·T1	N	3.734	3.734	3.734	3.734	3.734	3.734	3.734	3.734	3.734
			Vy	0.000	0.000	0.000	0.000	0.000	0.000	0.000	0.000	0.000
			Vz	-0.187	-0.142	-0.096	-0.051	-0.006	0.040	0.086	0.131	0.176
			Mt	0.00	0.00	0.00	0.00	0.00	0.00	0.00	0.00	0.00
			My	-0.15	-0.06	0.01	0.05	0.07	0.06	0.02	-0.04	-0.13
			Mz	0.00	0.00	0.00	0.00	0.00	0.00	0.00	0.00	0.00
		0.8·PP+1.5·T2	N	-4.248	-4.248	-4.248	-4.248	-4.248	-4.248	-4.248	-4.248	-4.248
			Vy	0.000	0.000	0.000	0.000	0.000	0.000	0.000	0.000	0.000
			Vz	-0.101	-0.074	-0.047	-0.020	0.006	0.034	0.060	0.087	0.114
			Mt	0.00	0.00	0.00	0.00	0.00	0.00	0.00	0.00	0.00
			My	-0.06	-0.01	0.02	0.04	0.04	0.03	0.01	-0.04	-0.10
			Mz	0.00	0.00	0.00	0.00	0.00	0.00	0.00	0.00	0.00
		1.35·PP+1.5·T2	N	-4.379	-4.379	-4.379	-4.379	-4.379	-4.379	-4.379	-4.379	-4.379
			Vy	0.000	0.000	0.000	0.000	0.000	0.000	0.000	0.000	0.000
			Vz	-0.175	-0.129	-0.084	-0.038	0.006	0.052	0.098	0.143	0.189
			Mt	0.00	0.00	0.00	0.00	0.00	0.00	0.00	0.00	0.00
			My	-0.12	-0.03	0.03	0.06	0.07	0.06	0.01	-0.06	-0.15
			Mz	0.00	0.00	0.00	0.00	0.00	0.00	0.00	0.00	0.00
		0.8·PP+1.5·T1+1.5·T2	N	-0.191	-0.191	-0.191	-0.191	-0.191	-0.191	-0.191	-0.191	-0.191
			Vy	0.000	0.000	0.000	0.000	0.000	0.000	0.000	0.000	0.000
			Vz	-0.107	-0.080	-0.053	-0.026	0.000	0.027	0.054	0.081	0.108
			Mt	0.00	0.00	0.00	0.00	0.00	0.00	0.00	0.00	0.00
			My	-0.08	-0.03	0.01	0.03	0.04	0.03	0.01	-0.03	-0.08
			Mz	0.00	0.00	0.00	0.00	0.00	0.00	0.00	0.00	0.00
		1.35·PP+1.5·T1+1.5·T2	N	-0.322	-0.322	-0.322	-0.322	-0.322	-0.322	-0.322	-0.322	-0.322
			Vy	0.000	0.000	0.000	0.000	0.000	0.000	0.000	0.000	0.000
			Vz	-0.181	-0.135	-0.090	-0.045	0.000	0.046	0.092	0.137	0.183
			Mt	0.00	0.00	0.00	0.00	0.00	0.00	0.00	0.00	0.00
			My	-0.14	-0.05	0.02	0.06	0.07	0.06	0.02	-0.05	-0.14
			Mz	0.00	0.00	0.00	0.00	0.00	0.00	0.00	0.00	0.00
		0.8·PP+1.5·T3	N	11.979	11.979	11.979	11.979	11.979	11.979	11.979	11.979	11.979
			Vy	0.000	0.000	0.000	0.000	0.000	0.000	0.000	0.000	0.000
			Vz	-0.126	-0.099	-0.072	-0.045	-0.018	0.009	0.036	0.063	0.090
			Mt	0.00	0.00	0.00	0.00	0.00	0.00	0.00	0.00	0.00
			My	-0.13	-0.06	-0.02	0.02	0.04	0.04	0.03	0.00	-0.05
			Mz	0.00	0.00	0.00	0.00	0.00	0.00	0.00	0.00	0.00
		1.35·PP+1.5·T3	N	11.848	11.848	11.848	11.848	11.848	11.848	11.848	11.848	11.848
			Vy	0.000	0.000	0.000	0.000	0.000	0.000	0.000	0.000	0.000
			Vz	-0.199	-0.154	-0.108	-0.063	-0.018	0.028	0.073	0.119	0.164
			Mt	0.00	0.00	0.00	0.00	0.00	0.00	0.00	0.00	0.00
			My	-0.19	-0.08	-0.01	0.04	0.06	0.06	0.03	-0.02	-0.10
			Mz	0.00	0.00	0.00	0.00	0.00	0.00	0.00	0.00	0.00
		0.8·PP+1.5·T1+1.5·T3	N	16.036	16.036	16.036	16.036	16.036	16.036	16.036	16.036	16.036
			Vy	0.000	0.000	0.000	0.000	0.000	0.000	0.000	0.000	0.000
			Vz	-0.132	-0.105	-0.078	-0.051	-0.024	0.003	0.030	0.057	0.084
			Mt	0.00	0.00	0.00	0.00	0.00	0.00	0.00	0.00	0.00
			My	-0.15	-0.08	-0.02	0.01	0.03	0.04	0.03	0.01	-0.04
			Mz	0.00	0.00	0.00	0.00	0.00	0.00	0.00	0.00	0.00
		1.35·PP+1.5·T1+1.5·T3	N	15.904	15.904	15.904	15.904	15.904	15.904	15.904	15.904	15.904
			Vy	0.000	0.000	0.000	0.000	0.000	0.000	0.000	0.000	0.000
			Vz	-0.205	-0.160	-0.115	-0.069	-0.024	0.022	0.067	0.113	0.158
			Mt	0.00	0.00	0.00	0.00	0.00	0.00	0.00	0.00	0.00
			My	-0.20	-0.10	-0.02	0.04	0.06	0.06	0.04	-0.01	-0.09
			Mz	0.00	0.00	0.00	0.00	0.00	0.00	0.00	0.00	0.00
		0.8·PP+1.5·T2+1.5·T3	N	7.922	7.922	7.922	7.922	7.922	7.922	7.922	7.922	7.922
			Vy	0.000	0.000	0.000	0.000	0.000	0.000	0.000	0.000	0.000
			Vz	-0.119	-0.093	-0.066	-0.039	-0.012	0.015	0.042	0.069	0.096
			Mt	0.00	0.00	0.00	0.00	0.00	0.00	0.00	0.00	0.00
			My	-0.11	-0.05	-0.01	0.02	0.04	0.04	0.02	-0.01	-0.06
			Mz	0.00	0.00	0.00	0.00	0.00	0.00	0.00	0.00	0.00
		1.35·PP+1.5·T2+1.5·T3	N	7.791	7.791	7.791	7.791	7.791	7.791	7.791	7.791	7.791
			Vy	0.000	0.000	0.000	0.000	0.000	0.000	0.000	0.000	0.000
			Vz	-0.193	-0.148	-0.102	-0.057	-0.012	0.034	0.079	0.125	0.170
			Mt	0.00	0.00	0.00	0.00	0.00	0.00	0.00	0.00	0.00

Esfuerzos en barras, por combinación

Barra	Combinación		Esfuerzo	Posiciones en la barra								
	Tipo	Descripción		0.000 m	0.575 m	1.150 m	1.725 m	2.300 m	2.875 m	3.450 m	4.025 m	4.600 m
			My	-0.17	-0.07	0.00	0.05	0.07	0.06	0.03	-0.03	-0.12
			Mz	0.00	0.00	0.00	0.00	0.00	0.00	0.00	0.00	0.00
		0.8·PP+1.5·T1+1.5·T2+1.5·T3	N	11.979	11.979	11.979	11.979	11.979	11.979	11.979	11.979	11.979
			Vy	0.000	0.000	0.000	0.000	0.000	0.000	0.000	0.000	0.000
			Vz	-0.126	-0.099	-0.072	-0.045	-0.018	0.009	0.036	0.063	0.090
			Mt	0.00	0.00	0.00	0.00	0.00	0.00	0.00	0.00	0.00
			My	-0.13	-0.06	-0.02	0.02	0.04	0.04	0.03	0.00	-0.05
			Mz	0.00	0.00	0.00	0.00	0.00	0.00	0.00	0.00	0.00
		1.35·PP+1.5·T1+1.5·T2+1.5·T3	N	11.848	11.848	11.848	11.848	11.848	11.848	11.848	11.848	11.848
			Vy	0.000	0.000	0.000	0.000	0.000	0.000	0.000	0.000	0.000
			Vz	-0.199	-0.154	-0.108	-0.063	-0.018	0.028	0.073	0.119	0.164
			Mt	0.00	0.00	0.00	0.00	0.00	0.00	0.00	0.00	0.00
			My	-0.19	-0.08	-0.01	0.04	0.06	0.06	0.03	-0.02	-0.10
			Mz	0.00	0.00	0.00	0.00	0.00	0.00	0.00	0.00	0.00
		0.8·PP+1.5·T4	N	-12.361	-12.361	-12.361	-12.361	-12.361	-12.361	-12.361	-12.361	-12.361
			Vy	0.000	0.000	0.000	0.000	0.000	0.000	0.000	0.000	0.000
			Vz	-0.089	-0.062	-0.035	-0.008	0.018	0.046	0.073	0.100	0.127
			Mt	0.00	0.00	0.00	0.00	0.00	0.00	0.00	0.00	0.00
			My	-0.03	0.01	0.04	0.05	0.05	0.03	-0.01	-0.05	-0.12
			Mz	0.00	0.00	0.00	0.00	0.00	0.00	0.00	0.00	0.00
		1.35·PP+1.5·T4	N	-12.493	-12.493	-12.493	-12.493	-12.493	-12.493	-12.493	-12.493	-12.493
			Vy	0.000	0.000	0.000	0.000	0.000	0.000	0.000	0.000	0.000
			Vz	-0.163	-0.117	-0.072	-0.026	0.018	0.065	0.110	0.156	0.201
			Mt	0.00	0.00	0.00	0.00	0.00	0.00	0.00	0.00	0.00
			My	-0.09	-0.01	0.05	0.07	0.08	0.05	0.00	-0.07	-0.18
			Mz	0.00	0.00	0.00	0.00	0.00	0.00	0.00	0.00	0.00
		0.8·PP+1.5·T1+1.5·T4	N	-8.305	-8.305	-8.305	-8.305	-8.305	-8.305	-8.305	-8.305	-8.305
			Vy	0.000	0.000	0.000	0.000	0.000	0.000	0.000	0.000	0.000
			Vz	-0.095	-0.068	-0.041	-0.014	0.012	0.040	0.067	0.094	0.120
			Mt	0.00	0.00	0.00	0.00	0.00	0.00	0.00	0.00	0.00
			My	-0.05	0.00	0.03	0.05	0.05	0.03	0.00	-0.05	-0.11
			Mz	0.00	0.00	0.00	0.00	0.00	0.00	0.00	0.00	0.00
		1.35·PP+1.5·T1+1.5·T4	N	-8.436	-8.436	-8.436	-8.436	-8.436	-8.436	-8.436	-8.436	-8.436
			Vy	0.000	0.000	0.000	0.000	0.000	0.000	0.000	0.000	0.000
			Vz	-0.169	-0.123	-0.078	-0.032	0.012	0.059	0.104	0.149	0.195
			Mt	0.00	0.00	0.00	0.00	0.00	0.00	0.00	0.00	0.00
			My	-0.10	-0.02	0.04	0.07	0.07	0.05	0.01	-0.07	-0.16
			Mz	0.00	0.00	0.00	0.00	0.00	0.00	0.00	0.00	0.00
		0.8·PP+1.5·T2+1.5·T4	N	-16.418	-16.418	-16.418	-16.418	-16.418	-16.418	-16.418	-16.418	-16.418
			Vy	0.000	0.000	0.000	0.000	0.000	0.000	0.000	0.000	0.000
			Vz	-0.083	-0.056	-0.029	-0.002	0.024	0.052	0.079	0.106	0.133
			Mt	0.00	0.00	0.00	0.00	0.00	0.00	0.00	0.00	0.00
			My	-0.02	0.02	0.05	0.06	0.05	0.03	-0.01	-0.06	-0.13
			Mz	0.00	0.00	0.00	0.00	0.00	0.00	0.00	0.00	0.00
		1.35·PP+1.5·T2+1.5·T4	N	-16.549	-16.549	-16.549	-16.549	-16.549	-16.549	-16.549	-16.549	-16.549
			Vy	0.000	0.000	0.000	0.000	0.000	0.000	0.000	0.000	0.000
			Vz	-0.156	-0.111	-0.066	-0.020	0.024	0.071	0.116	0.162	0.207
			Mt	0.00	0.00	0.00	0.00	0.00	0.00	0.00	0.00	0.00
			My	-0.07	0.00	0.06	0.08	0.08	0.05	0.00	-0.08	-0.19
			Mz	0.00	0.00	0.00	0.00	0.00	0.00	0.00	0.00	0.00
		0.8·PP+1.5·T1+1.5·T2+1.5·T4	N	-12.361	-12.361	-12.361	-12.361	-12.361	-12.361	-12.361	-12.361	-12.361
			Vy	0.000	0.000	0.000	0.000	0.000	0.000	0.000	0.000	0.000
			Vz	-0.089	-0.062	-0.035	-0.008	0.018	0.046	0.073	0.100	0.127
			Mt	0.00	0.00	0.00	0.00	0.00	0.00	0.00	0.00	0.00
			My	-0.03	0.01	0.04	0.05	0.05	0.03	-0.01	-0.05	-0.12
			Mz	0.00	0.00	0.00	0.00	0.00	0.00	0.00	0.00	0.00
		1.35·PP+1.5·T1+1.5·T2+1.5·T4	N	-12.493	-12.493	-12.493	-12.493	-12.493	-12.493	-12.493	-12.493	-12.493
			Vy	0.000	0.000	0.000	0.000	0.000	0.000	0.000	0.000	0.000
			Vz	-0.163	-0.117	-0.072	-0.026	0.018	0.065	0.110	0.156	0.201
			Mt	0.00	0.00	0.00	0.00	0.00	0.00	0.00	0.00	0.00
			My	-0.09	-0.01	0.05	0.07	0.08	0.05	0.00	-0.07	-0.18
			Mz	0.00	0.00	0.00	0.00	0.00	0.00	0.00	0.00	0.00
		0.8·PP+1.5·T3+1.5·T4	N	-0.191	-0.191	-0.191	-0.191	-0.191	-0.191	-0.191	-0.191	-0.191
			Vy	0.000	0.000	0.000	0.000	0.000	0.000	0.000	0.000	0.000
			Vz	-0.107	-0.080	-0.053	-0.026	0.000	0.027	0.054	0.081	0.108
			Mt	0.00	0.00	0.00	0.00	0.00	0.00	0.00	0.00	0.00
			My	-0.08	-0.03	0.01	0.03	0.04	0.03	0.01	-0.03	-0.08
			Mz	0.00	0.00	0.00	0.00	0.00	0.00	0.00	0.00	0.00
		1.35·PP+1.5·T3+1.5·T4	N	-0.322	-0.322	-0.322	-0.322	-0.322	-0.322	-0.322	-0.322	-0.322
			Vy	0.000	0.000	0.000	0.000	0.000	0.000	0.000	0.000	0.000
			Vz	-0.181	-0.135	-0.090	-0.045	0.000	0.046	0.092	0.137	0.183
			Mt	0.00	0.00	0.00	0.00	0.00	0.00	0.00	0.00	0.00
			My	-0.14	-0.05	0.02	0.06	0.07	0.06	0.02	-0.05	-0.14
			Mz	0.00	0.00	0.00	0.00	0.00	0.00	0.00	0.00	0.00
		0.8·PP+1.5·T1+1.5·T3+1.5·T4	N	3.866	3.866	3.866	3.866	3.866	3.866	3.866	3.866	3.866
			Vy	0.000	0.000	0.000	0.000	0.000	0.000	0.000	0.000	0.000
			Vz	-0.113	-0.086	-0.059	-0.033	-0.006	0.021	0.048	0.075	0.102
			Mt	0.00	0.00	0.00	0.00	0.00	0.00	0.00	0.00	0.00
			My	-0.10	-0.04	0.00	0.03	0.04	0.04	0.02	-0.02	-0.07
			Mz	0.00	0.00	0.00	0.00	0.00	0.00	0.00	0.00	0.00
		1.35·PP+1.5·T1+1.5·T3+1.5·T4	N	3.734	3.734	3.734	3.734	3.734	3.734	3.734	3.734	3.734
			Vy	0.000	0.000	0.000	0.000	0.000	0.000	0.000	0.000	0.000

Esfuerzos en barras, por combinación												
Barra	Combinación		Esfuerzo	Posiciones en la barra								
	Tipo	Descripción		0.000 m	0.575 m	1.150 m	1.725 m	2.300 m	2.875 m	3.450 m	4.025 m	4.600 m
			Vz	-0.187	-0.142	-0.096	-0.051	-0.006	0.040	0.086	0.131	0.176
			Mt	0.00	0.00	0.00	0.00	0.00	0.00	0.00	0.00	0.00
			My	-0.15	-0.06	0.01	0.05	0.07	0.06	0.02	-0.04	-0.13
			Mz	0.00	0.00	0.00	0.00	0.00	0.00	0.00	0.00	0.00
		0.8·PP+1.5·T2+1.5·T3+1.5·T4	N	-4.248	-4.248	-4.248	-4.248	-4.248	-4.248	-4.248	-4.248	-4.248
			Vy	0.000	0.000	0.000	0.000	0.000	0.000	0.000	0.000	0.000
			Vz	-0.101	-0.074	-0.047	-0.020	0.006	0.034	0.060	0.087	0.114
			Mt	0.00	0.00	0.00	0.00	0.00	0.00	0.00	0.00	0.00
			My	-0.06	-0.01	0.02	0.04	0.04	0.03	0.01	-0.04	-0.10
			Mz	0.00	0.00	0.00	0.00	0.00	0.00	0.00	0.00	0.00
		1.35·PP+1.5·T2+1.5·T3+1.5·T4	N	-4.379	-4.379	-4.379	-4.379	-4.379	-4.379	-4.379	-4.379	-4.379
			Vy	0.000	0.000	0.000	0.000	0.000	0.000	0.000	0.000	0.000
			Vz	-0.175	-0.129	-0.084	-0.038	0.006	0.052	0.098	0.143	0.189
			Mt	0.00	0.00	0.00	0.00	0.00	0.00	0.00	0.00	0.00
			My	-0.12	-0.03	0.03	0.06	0.07	0.06	0.01	-0.06	-0.15
			Mz	0.00	0.00	0.00	0.00	0.00	0.00	0.00	0.00	0.00
		0.8·PP+1.5·T1+1.5·T2+1.5·T3+1.5·T4	N	-0.191	-0.191	-0.191	-0.191	-0.191	-0.191	-0.191	-0.191	-0.191
			Vy	0.000	0.000	0.000	0.000	0.000	0.000	0.000	0.000	0.000
			Vz	-0.107	-0.080	-0.053	-0.026	0.000	0.027	0.054	0.081	0.108
			Mt	0.00	0.00	0.00	0.00	0.00	0.00	0.00	0.00	0.00
			My	-0.08	-0.03	0.01	0.03	0.04	0.03	0.01	-0.03	-0.08
			Mz	0.00	0.00	0.00	0.00	0.00	0.00	0.00	0.00	0.00
		1.35·PP+1.5·T1+1.5·T2+1.5·T3+1.5·T4	N	-0.322	-0.322	-0.322	-0.322	-0.322	-0.322	-0.322	-0.322	-0.322
			Vy	0.000	0.000	0.000	0.000	0.000	0.000	0.000	0.000	0.000
			Vz	-0.181	-0.135	-0.090	-0.045	0.000	0.046	0.092	0.137	0.183
			Mt	0.00	0.00	0.00	0.00	0.00	0.00	0.00	0.00	0.00
			My	-0.14	-0.05	0.02	0.06	0.07	0.06	0.02	-0.05	-0.14
			Mz	0.00	0.00	0.00	0.00	0.00	0.00	0.00	0.00	0.00

Esfuerzos en barras, por combinación												
Barra	Combinación		Esfuerzo	Posiciones en la barra								
	Tipo	Descripción		0.000 m	0.575 m	1.150 m	1.725 m	2.300 m	2.875 m	3.450 m	4.025 m	4.600 m
N12/N14	Acero laminado	0.8·PP	N	-0.195	-0.195	-0.195	-0.195	-0.195	-0.195	-0.195	-0.195	-0.195
			Vy	0.000	0.000	0.000	0.000	0.000	0.000	0.000	0.000	0.000
			Vz	-0.108	-0.081	-0.054	-0.027	0.000	0.027	0.054	0.081	0.108
			Mt	0.00	0.00	0.00	0.00	0.00	0.00	0.00	0.00	0.00
			My	-0.08	-0.03	0.01	0.03	0.04	0.03	0.01	-0.03	-0.08
			Mz	0.00	0.00	0.00	0.00	0.00	0.00	0.00	0.00	0.00
		1.35·PP	N	-0.330	-0.330	-0.330	-0.330	-0.330	-0.330	-0.330	-0.330	-0.330
			Vy	0.000	0.000	0.000	0.000	0.000	0.000	0.000	0.000	0.000
			Vz	-0.182	-0.136	-0.091	-0.045	0.000	0.045	0.091	0.136	0.182
			Mt	0.00	0.00	0.00	0.00	0.00	0.00	0.00	0.00	0.00
			My	-0.14	-0.05	0.02	0.06	0.07	0.06	0.02	-0.05	-0.14
			Mz	0.00	0.00	0.00	0.00	0.00	0.00	0.00	0.00	0.00
		0.8·PP+1.5·T1	N	4.132	4.132	4.132	4.132	4.132	4.132	4.132	4.132	4.132
			Vy	0.000	0.000	0.000	0.000	0.000	0.000	0.000	0.000	0.000
			Vz	-0.108	-0.081	-0.054	-0.027	0.000	0.027	0.054	0.081	0.108
			Mt	0.00	0.00	0.00	0.00	0.00	0.00	0.00	0.00	0.00
			My	-0.09	-0.03	0.01	0.03	0.04	0.03	0.01	-0.03	-0.08
			Mz	0.00	0.00	0.00	0.00	0.00	0.00	0.00	0.00	0.00
		1.35·PP+1.5·T1	N	3.997	3.997	3.997	3.997	3.997	3.997	3.997	3.997	3.997
			Vy	0.000	0.000	0.000	0.000	0.000	0.000	0.000	0.000	0.000
			Vz	-0.182	-0.136	-0.091	-0.045	0.000	0.045	0.091	0.136	0.182
			Mt	0.00	0.00	0.00	0.00	0.00	0.00	0.00	0.00	0.00
			My	-0.14	-0.05	0.01	0.05	0.07	0.05	0.02	-0.05	-0.14
			Mz	0.00	0.00	0.00	0.00	0.00	0.00	0.00	0.00	0.00
		0.8·PP+1.5·T2	N	-4.523	-4.523	-4.523	-4.523	-4.523	-4.523	-4.523	-4.523	-4.523
			Vy	0.000	0.000	0.000	0.000	0.000	0.000	0.000	0.000	0.000
			Vz	-0.108	-0.081	-0.054	-0.027	0.000	0.027	0.054	0.081	0.108
			Mt	0.00	0.00	0.00	0.00	0.00	0.00	0.00	0.00	0.00
			My	-0.08	-0.03	0.01	0.04	0.04	0.04	0.01	-0.03	-0.08
			Mz	0.00	0.00	0.00	0.00	0.00	0.00	0.00	0.00	0.00
		1.35·PP+1.5·T2	N	-4.657	-4.657	-4.657	-4.657	-4.657	-4.657	-4.657	-4.657	-4.657
			Vy	0.000	0.000	0.000	0.000	0.000	0.000	0.000	0.000	0.000
			Vz	-0.182	-0.136	-0.091	-0.045	0.000	0.045	0.091	0.136	0.182
			Mt	0.00	0.00	0.00	0.00	0.00	0.00	0.00	0.00	0.00
			My	-0.14	-0.04	0.02	0.06	0.07	0.06	0.02	-0.05	-0.14
			Mz	0.00	0.00	0.00	0.00	0.00	0.00	0.00	0.00	0.00
		0.8·PP+1.5·T1+1.5·T2	N	-0.195	-0.195	-0.195	-0.195	-0.195	-0.195	-0.195	-0.195	-0.195
			Vy	0.000	0.000	0.000	0.000	0.000	0.000	0.000	0.000	0.000
			Vz	-0.108	-0.081	-0.054	-0.027	0.000	0.027	0.054	0.081	0.108
			Mt	0.00	0.00	0.00	0.00	0.00	0.00	0.00	0.00	0.00
			My	-0.08	-0.03	0.01	0.03	0.04	0.03	0.01	-0.03	-0.08
			Mz	0.00	0.00	0.00	0.00	0.00	0.00	0.00	0.00	0.00
		1.35·PP+1.5·T1+1.5·T2	N	-0.330	-0.330	-0.330	-0.330	-0.330	-0.330	-0.330	-0.330	-0.330
			Vy	0.000	0.000	0.000	0.000	0.000	0.000	0.000	0.000	0.000
			Vz	-0.182	-0.136	-0.091	-0.045	0.000	0.045	0.091	0.136	0.182
			Mt	0.00	0.00	0.00	0.00	0.00	0.00	0.00	0.00	0.00
			My	-0.14	-0.05	0.02	0.06	0.07	0.06	0.02	-0.05	-0.14
			Mz	0.00	0.00	0.00	0.00	0.00	0.00	0.00	0.00	0.00
		0.8·PP+1.5·T3	N	12.786	12.786	12.786	12.786	12.786	12.786	12.786	12.786	12.786

Esfuerzos en barras, por combinación

Barra	Combinación		Esfuerzo	Posiciones en la barra								
	Tipo	Descripción		0.000 m	0.575 m	1.150 m	1.725 m	2.300 m	2.875 m	3.450 m	4.025 m	4.600 m
			Vy	0.000	0.000	0.000	0.000	0.000	0.000	0.000	0.000	0.000
			Vz	-0.108	-0.081	-0.054	-0.027	0.000	0.027	0.054	0.081	0.108
			Mt	0.00	0.00	0.00	0.00	0.00	0.00	0.00	0.00	0.00
			My	-0.09	-0.04	0.00	0.03	0.03	0.03	0.00	-0.03	-0.09
			Mz	0.00	0.00	0.00	0.00	0.00	0.00	0.00	0.00	0.00
		1.35·PP+1.5·T3	N	12.652	12.652	12.652	12.652	12.652	12.652	12.652	12.652	12.652
			Vy	0.000	0.000	0.000	0.000	0.000	0.000	0.000	0.000	0.000
			Vz	-0.182	-0.136	-0.091	-0.045	0.000	0.045	0.091	0.136	0.182
			Mt	0.00	0.00	0.00	0.00	0.00	0.00	0.00	0.00	0.00
			My	-0.15	-0.06	0.01	0.05	0.06	0.05	0.01	-0.05	-0.15
			Mz	0.00	0.00	0.00	0.00	0.00	0.00	0.00	0.00	0.00
		0.8·PP+1.5·T1+1.5·T3	N	17.114	17.114	17.114	17.114	17.114	17.114	17.114	17.114	17.114
			Vy	0.000	0.000	0.000	0.000	0.000	0.000	0.000	0.000	0.000
			Vz	-0.108	-0.081	-0.054	-0.027	0.000	0.027	0.054	0.081	0.108
			Mt	0.00	0.00	0.00	0.00	0.00	0.00	0.00	0.00	0.00
			My	-0.09	-0.04	0.00	0.02	0.03	0.02	0.00	-0.04	-0.09
			Mz	0.00	0.00	0.00	0.00	0.00	0.00	0.00	0.00	0.00
		1.35·PP+1.5·T1+1.5·T3	N	16.979	16.979	16.979	16.979	16.979	16.979	16.979	16.979	16.979
			Vy	0.000	0.000	0.000	0.000	0.000	0.000	0.000	0.000	0.000
			Vz	-0.182	-0.136	-0.091	-0.045	0.000	0.045	0.091	0.136	0.182
			Mt	0.00	0.00	0.00	0.00	0.00	0.00	0.00	0.00	0.00
			My	-0.15	-0.06	0.01	0.05	0.06	0.05	0.01	-0.06	-0.15
			Mz	0.00	0.00	0.00	0.00	0.00	0.00	0.00	0.00	0.00
		0.8·PP+1.5·T2+1.5·T3	N	8.459	8.459	8.459	8.459	8.459	8.459	8.459	8.459	8.459
			Vy	0.000	0.000	0.000	0.000	0.000	0.000	0.000	0.000	0.000
			Vz	-0.108	-0.081	-0.054	-0.027	0.000	0.027	0.054	0.081	0.108
			Mt	0.00	0.00	0.00	0.00	0.00	0.00	0.00	0.00	0.00
			My	-0.09	-0.03	0.00	0.03	0.04	0.03	0.01	-0.03	-0.09
			Mz	0.00	0.00	0.00	0.00	0.00	0.00	0.00	0.00	0.00
		1.35·PP+1.5·T2+1.5·T3	N	8.325	8.325	8.325	8.325	8.325	8.325	8.325	8.325	8.325
			Vy	0.000	0.000	0.000	0.000	0.000	0.000	0.000	0.000	0.000
			Vz	-0.182	-0.136	-0.091	-0.045	0.000	0.045	0.091	0.136	0.182
			Mt	0.00	0.00	0.00	0.00	0.00	0.00	0.00	0.00	0.00
			My	-0.15	-0.05	0.01	0.05	0.06	0.05	0.01	-0.05	-0.14
			Mz	0.00	0.00	0.00	0.00	0.00	0.00	0.00	0.00	0.00
		0.8·PP+1.5·T1+1.5·T2+1.5·T3	N	12.786	12.786	12.786	12.786	12.786	12.786	12.786	12.786	12.786
			Vy	0.000	0.000	0.000	0.000	0.000	0.000	0.000	0.000	0.000
			Vz	-0.108	-0.081	-0.054	-0.027	0.000	0.027	0.054	0.081	0.108
			Mt	0.00	0.00	0.00	0.00	0.00	0.00	0.00	0.00	0.00
			My	-0.09	-0.04	0.00	0.03	0.03	0.03	0.00	-0.03	-0.09
			Mz	0.00	0.00	0.00	0.00	0.00	0.00	0.00	0.00	0.00
		1.35·PP+1.5·T1+1.5·T2+1.5·T3	N	12.652	12.652	12.652	12.652	12.652	12.652	12.652	12.652	12.652
			Vy	0.000	0.000	0.000	0.000	0.000	0.000	0.000	0.000	0.000
			Vz	-0.182	-0.136	-0.091	-0.045	0.000	0.045	0.091	0.136	0.182
			Mt	0.00	0.00	0.00	0.00	0.00	0.00	0.00	0.00	0.00
			My	-0.15	-0.06	0.01	0.05	0.06	0.05	0.01	-0.05	-0.15
			Mz	0.00	0.00	0.00	0.00	0.00	0.00	0.00	0.00	0.00
		0.8·PP+1.5·T4	N	-13.177	-13.177	-13.177	-13.177	-13.177	-13.177	-13.177	-13.177	-13.177
			Vy	0.000	0.000	0.000	0.000	0.000	0.000	0.000	0.000	0.000
			Vz	-0.108	-0.081	-0.054	-0.027	0.000	0.027	0.054	0.081	0.108
			Mt	0.00	0.00	0.00	0.00	0.00	0.00	0.00	0.00	0.00
			My	-0.07	-0.02	0.02	0.04	0.05	0.04	0.02	-0.02	-0.08
			Mz	0.00	0.00	0.00	0.00	0.00	0.00	0.00	0.00	0.00
		1.35·PP+1.5·T4	N	-13.312	-13.312	-13.312	-13.312	-13.312	-13.312	-13.312	-13.312	-13.312
			Vy	0.000	0.000	0.000	0.000	0.000	0.000	0.000	0.000	0.000
			Vz	-0.182	-0.136	-0.091	-0.045	0.000	0.045	0.091	0.136	0.182
			Mt	0.00	0.00	0.00	0.00	0.00	0.00	0.00	0.00	0.00
			My	-0.13	-0.04	0.03	0.06	0.08	0.06	0.02	-0.04	-0.13
			Mz	0.00	0.00	0.00	0.00	0.00	0.00	0.00	0.00	0.00
		0.8·PP+1.5·T1+1.5·T4	N	-8.850	-8.850	-8.850	-8.850	-8.850	-8.850	-8.850	-8.850	-8.850
			Vy	0.000	0.000	0.000	0.000	0.000	0.000	0.000	0.000	0.000
			Vz	-0.108	-0.081	-0.054	-0.027	0.000	0.027	0.054	0.081	0.108
			Mt	0.00	0.00	0.00	0.00	0.00	0.00	0.00	0.00	0.00
			My	-0.08	-0.02	0.02	0.04	0.05	0.04	0.01	-0.02	-0.08
			Mz	0.00	0.00	0.00	0.00	0.00	0.00	0.00	0.00	0.00
		1.35·PP+1.5·T1+1.5·T4	N	-8.984	-8.984	-8.984	-8.984	-8.984	-8.984	-8.984	-8.984	-8.984
			Vy	0.000	0.000	0.000	0.000	0.000	0.000	0.000	0.000	0.000
			Vz	-0.182	-0.136	-0.091	-0.045	0.000	0.045	0.091	0.136	0.182
			Mt	0.00	0.00	0.00	0.00	0.00	0.00	0.00	0.00	0.00
			My	-0.13	-0.04	0.02	0.06	0.07	0.06	0.02	-0.04	-0.14
			Mz	0.00	0.00	0.00	0.00	0.00	0.00	0.00	0.00	0.00
		0.8·PP+1.5·T2+1.5·T4	N	-17.505	-17.505	-17.505	-17.505	-17.505	-17.505	-17.505	-17.505	-17.505
			Vy	0.000	0.000	0.000	0.000	0.000	0.000	0.000	0.000	0.000
			Vz	-0.108	-0.081	-0.054	-0.027	0.000	0.027	0.054	0.081	0.108
			Mt	0.00	0.00	0.00	0.00	0.00	0.00	0.00	0.00	0.00
			My	-0.07	-0.02	0.02	0.04	0.05	0.04	0.02	-0.02	-0.07
			Mz	0.00	0.00	0.00	0.00	0.00	0.00	0.00	0.00	0.00
		1.35·PP+1.5·T2+1.5·T4	N	-17.639	-17.639	-17.639	-17.639	-17.639	-17.639	-17.639	-17.639	-17.639
			Vy	0.000	0.000	0.000	0.000	0.000	0.000	0.000	0.000	0.000
			Vz	-0.182	-0.136	-0.091	-0.045	0.000	0.045	0.091	0.136	0.182
			Mt	0.00	0.00	0.00	0.00	0.00	0.00	0.00	0.00	0.00
			My	-0.13	-0.04	0.03	0.07	0.08	0.07	0.03	-0.04	-0.13

Esfuerzos en barras, por combinación												
Barra	Combinación		Esfuerzo	Posiciones en la barra								
	Tipo	Descripción		0.000 m	0.575 m	1.150 m	1.725 m	2.300 m	2.875 m	3.450 m	4.025 m	4.600 m
			Mz	0.00	0.00	0.00	0.00	0.00	0.00	0.00	0.00	0.00
		0.8·PP+1.5·T1+1.5·T2+1.5·T4	N	-13.177	-13.177	-13.177	-13.177	-13.177	-13.177	-13.177	-13.177	-13.177
			Vy	0.000	0.000	0.000	0.000	0.000	0.000	0.000	0.000	0.000
			Vz	-0.108	-0.081	-0.054	-0.027	0.000	0.027	0.054	0.081	0.108
			Mt	0.00	0.00	0.00	0.00	0.00	0.00	0.00	0.00	0.00
			My	-0.07	-0.02	0.02	0.04	0.05	0.04	0.02	-0.02	-0.08
			Mz	0.00	0.00	0.00	0.00	0.00	0.00	0.00	0.00	0.00
		1.35·PP+1.5·T1+1.5·T2+1.5·T4	N	-13.312	-13.312	-13.312	-13.312	-13.312	-13.312	-13.312	-13.312	-13.312
			Vy	0.000	0.000	0.000	0.000	0.000	0.000	0.000	0.000	0.000
			Vz	-0.182	-0.136	-0.091	-0.045	0.000	0.045	0.091	0.136	0.182
			Mt	0.00	0.00	0.00	0.00	0.00	0.00	0.00	0.00	0.00
			My	-0.13	-0.04	0.03	0.06	0.08	0.06	0.02	-0.04	-0.13
			Mz	0.00	0.00	0.00	0.00	0.00	0.00	0.00	0.00	0.00
		0.8·PP+1.5·T3+1.5·T4	N	-0.195	-0.195	-0.195	-0.195	-0.195	-0.195	-0.195	-0.195	-0.195
			Vy	0.000	0.000	0.000	0.000	0.000	0.000	0.000	0.000	0.000
			Vz	-0.108	-0.081	-0.054	-0.027	0.000	0.027	0.054	0.081	0.108
			Mt	0.00	0.00	0.00	0.00	0.00	0.00	0.00	0.00	0.00
			My	-0.08	-0.03	0.01	0.03	0.04	0.03	0.01	-0.03	-0.08
			Mz	0.00	0.00	0.00	0.00	0.00	0.00	0.00	0.00	0.00
		1.35·PP+1.5·T3+1.5·T4	N	-0.330	-0.330	-0.330	-0.330	-0.330	-0.330	-0.330	-0.330	-0.330
			Vy	0.000	0.000	0.000	0.000	0.000	0.000	0.000	0.000	0.000
			Vz	-0.182	-0.136	-0.091	-0.045	0.000	0.045	0.091	0.136	0.182
			Mt	0.00	0.00	0.00	0.00	0.00	0.00	0.00	0.00	0.00
			My	-0.14	-0.05	0.02	0.06	0.07	0.06	0.02	-0.05	-0.14
			Mz	0.00	0.00	0.00	0.00	0.00	0.00	0.00	0.00	0.00
		0.8·PP+1.5·T1+1.5·T3+1.5·T4	N	4.132	4.132	4.132	4.132	4.132	4.132	4.132	4.132	4.132
			Vy	0.000	0.000	0.000	0.000	0.000	0.000	0.000	0.000	0.000
			Vz	-0.108	-0.081	-0.054	-0.027	0.000	0.027	0.054	0.081	0.108
			Mt	0.00	0.00	0.00	0.00	0.00	0.00	0.00	0.00	0.00
			My	-0.09	-0.03	0.01	0.03	0.04	0.03	0.01	-0.03	-0.08
			Mz	0.00	0.00	0.00	0.00	0.00	0.00	0.00	0.00	0.00
		1.35·PP+1.5·T1+1.5·T3+1.5·T4	N	3.997	3.997	3.997	3.997	3.997	3.997	3.997	3.997	3.997
			Vy	0.000	0.000	0.000	0.000	0.000	0.000	0.000	0.000	0.000
			Vz	-0.182	-0.136	-0.091	-0.045	0.000	0.045	0.091	0.136	0.182
			Mt	0.00	0.00	0.00	0.00	0.00	0.00	0.00	0.00	0.00
			My	-0.14	-0.05	0.01	0.05	0.07	0.05	0.02	-0.05	-0.14
			Mz	0.00	0.00	0.00	0.00	0.00	0.00	0.00	0.00	0.00
		0.8·PP+1.5·T2+1.5·T3+1.5·T4	N	-4.523	-4.523	-4.523	-4.523	-4.523	-4.523	-4.523	-4.523	-4.523
			Vy	0.000	0.000	0.000	0.000	0.000	0.000	0.000	0.000	0.000
			Vz	-0.108	-0.081	-0.054	-0.027	0.000	0.027	0.054	0.081	0.108
			Mt	0.00	0.00	0.00	0.00	0.00	0.00	0.00	0.00	0.00
			My	-0.08	-0.03	0.01	0.04	0.04	0.04	0.01	-0.03	-0.08
			Mz	0.00	0.00	0.00	0.00	0.00	0.00	0.00	0.00	0.00
		1.35·PP+1.5·T2+1.5·T3+1.5·T4	N	-4.657	-4.657	-4.657	-4.657	-4.657	-4.657	-4.657	-4.657	-4.657
			Vy	0.000	0.000	0.000	0.000	0.000	0.000	0.000	0.000	0.000
			Vz	-0.182	-0.136	-0.091	-0.045	0.000	0.045	0.091	0.136	0.182
			Mt	0.00	0.00	0.00	0.00	0.00	0.00	0.00	0.00	0.00
			My	-0.14	-0.04	0.02	0.06	0.07	0.06	0.02	-0.05	-0.14
			Mz	0.00	0.00	0.00	0.00	0.00	0.00	0.00	0.00	0.00
		0.8·PP+1.5·T1+1.5·T2+1.5·T3+1.5·T4	N	-0.195	-0.195	-0.195	-0.195	-0.195	-0.195	-0.195	-0.195	-0.195
			Vy	0.000	0.000	0.000	0.000	0.000	0.000	0.000	0.000	0.000
			Vz	-0.108	-0.081	-0.054	-0.027	0.000	0.027	0.054	0.081	0.108
			Mt	0.00	0.00	0.00	0.00	0.00	0.00	0.00	0.00	0.00
			My	-0.08	-0.03	0.01	0.03	0.04	0.03	0.01	-0.03	-0.08
			Mz	0.00	0.00	0.00	0.00	0.00	0.00	0.00	0.00	0.00
		1.35·PP+1.5·T1+1.5·T2+1.5·T3+1.5·T4	N	-0.330	-0.330	-0.330	-0.330	-0.330	-0.330	-0.330	-0.330	-0.330
			Vy	0.000	0.000	0.000	0.000	0.000	0.000	0.000	0.000	0.000
			Vz	-0.182	-0.136	-0.091	-0.045	0.000	0.045	0.091	0.136	0.182
			Mt	0.00	0.00	0.00	0.00	0.00	0.00	0.00	0.00	0.00
			My	-0.14	-0.05	0.02	0.06	0.07	0.06	0.02	-0.05	-0.14
			Mz	0.00	0.00	0.00	0.00	0.00	0.00	0.00	0.00	0.00

Esfuerzos en barras, por combinación												
Barra	Combinación		Esfuerzo	Posiciones en la barra								
	Tipo	Descripción		0.000 m	0.575 m	1.150 m	1.725 m	2.300 m	2.875 m	3.450 m	4.025 m	4.600 m
N14/N16	Acero laminado	0.8·PP	N	-0.193	-0.193	-0.193	-0.193	-0.193	-0.193	-0.193	-0.193	-0.193
			Vy	0.000	0.000	0.000	0.000	0.000	0.000	0.000	0.000	0.000
			Vz	-0.108	-0.081	-0.054	-0.027	0.000	0.027	0.054	0.081	0.108
			Mt	0.00	0.00	0.00	0.00	0.00	0.00	0.00	0.00	0.00
			My	-0.08	-0.03	0.01	0.03	0.04	0.03	0.01	-0.03	-0.08
			Mz	0.00	0.00	0.00	0.00	0.00	0.00	0.00	0.00	0.00
		1.35·PP	N	-0.325	-0.325	-0.325	-0.325	-0.325	-0.325	-0.325	-0.325	-0.325
			Vy	0.000	0.000	0.000	0.000	0.000	0.000	0.000	0.000	0.000
			Vz	-0.182	-0.136	-0.091	-0.045	0.000	0.045	0.091	0.136	0.182
			Mt	0.00	0.00	0.00	0.00	0.00	0.00	0.00	0.00	0.00
			My	-0.14	-0.05	0.02	0.06	0.07	0.06	0.02	-0.05	-0.14
			Mz	0.00	0.00	0.00	0.00	0.00	0.00	0.00	0.00	0.00
		0.8·PP+1.5·T1	N	3.745	3.745	3.745	3.745	3.745	3.745	3.745	3.745	3.745
			Vy	0.000	0.000	0.000	0.000	0.000	0.000	0.000	0.000	0.000
			Vz	-0.102	-0.075	-0.048	-0.021	0.006	0.033	0.060	0.087	0.114
			Mt	0.00	0.00	0.00	0.00	0.00	0.00	0.00	0.00	0.00

Esfuerzos en barras, por combinación

Barra	Combinación		Esfuerzo	Posiciones en la barra								
	Tipo	Descripción		0.000 m	0.575 m	1.150 m	1.725 m	2.300 m	2.875 m	3.450 m	4.025 m	4.600 m
			My	-0.07	-0.02	0.01	0.03	0.04	0.03	0.00	-0.04	-0.10
			Mz	0.00	0.00	0.00	0.00	0.00	0.00	0.00	0.00	0.00
		1.35·PP+1.5·T1	N	3.613	3.613	3.613	3.613	3.613	3.613	3.613	3.613	3.613
			Vy	0.000	0.000	0.000	0.000	0.000	0.000	0.000	0.000	0.000
			Vz	-0.176	-0.130	-0.085	-0.040	0.006	0.051	0.097	0.142	0.188
			Mt	0.00	0.00	0.00	0.00	0.00	0.00	0.00	0.00	0.00
			My	-0.13	-0.04	0.02	0.06	0.07	0.05	0.01	-0.06	-0.15
			Mz	0.00	0.00	0.00	0.00	0.00	0.00	0.00	0.00	0.00
		0.8·PP+1.5·T2	N	-4.131	-4.131	-4.131	-4.131	-4.131	-4.131	-4.131	-4.131	-4.131
			Vy	0.000	0.000	0.000	0.000	0.000	0.000	0.000	0.000	0.000
			Vz	-0.114	-0.087	-0.060	-0.033	-0.006	0.021	0.048	0.075	0.102
			Mt	0.00	0.00	0.00	0.00	0.00	0.00	0.00	0.00	0.00
			My	-0.09	-0.04	0.01	0.03	0.04	0.04	0.02	-0.02	-0.07
			Mz	0.00	0.00	0.00	0.00	0.00	0.00	0.00	0.00	0.00
		1.35·PP+1.5·T2	N	-4.263	-4.263	-4.263	-4.263	-4.263	-4.263	-4.263	-4.263	-4.263
			Vy	0.000	0.000	0.000	0.000	0.000	0.000	0.000	0.000	0.000
			Vz	-0.188	-0.142	-0.097	-0.051	-0.006	0.040	0.085	0.130	0.176
			Mt	0.00	0.00	0.00	0.00	0.00	0.00	0.00	0.00	0.00
			My	-0.15	-0.06	0.01	0.06	0.07	0.06	0.03	-0.04	-0.12
			Mz	0.00	0.00	0.00	0.00	0.00	0.00	0.00	0.00	0.00
		0.8·PP+1.5·T1+1.5·T2	N	-0.193	-0.193	-0.193	-0.193	-0.193	-0.193	-0.193	-0.193	-0.193
			Vy	0.000	0.000	0.000	0.000	0.000	0.000	0.000	0.000	0.000
			Vz	-0.108	-0.081	-0.054	-0.027	0.000	0.027	0.054	0.081	0.108
			Mt	0.00	0.00	0.00	0.00	0.00	0.00	0.00	0.00	0.00
			My	-0.08	-0.03	0.01	0.03	0.04	0.03	0.01	-0.03	-0.08
			Mz	0.00	0.00	0.00	0.00	0.00	0.00	0.00	0.00	0.00
		1.35·PP+1.5·T1+1.5·T2	N	-0.325	-0.325	-0.325	-0.325	-0.325	-0.325	-0.325	-0.325	-0.325
			Vy	0.000	0.000	0.000	0.000	0.000	0.000	0.000	0.000	0.000
			Vz	-0.182	-0.136	-0.091	-0.045	0.000	0.045	0.091	0.136	0.182
			Mt	0.00	0.00	0.00	0.00	0.00	0.00	0.00	0.00	0.00
			My	-0.14	-0.05	0.02	0.06	0.07	0.06	0.02	-0.05	-0.14
			Mz	0.00	0.00	0.00	0.00	0.00	0.00	0.00	0.00	0.00
		0.8·PP+1.5·T3	N	11.621	11.621	11.621	11.621	11.621	11.621	11.621	11.621	11.621
			Vy	0.000	0.000	0.000	0.000	0.000	0.000	0.000	0.000	0.000
			Vz	-0.090	-0.063	-0.036	-0.009	0.018	0.044	0.071	0.098	0.125
			Mt	0.00	0.00	0.00	0.00	0.00	0.00	0.00	0.00	0.00
			My	-0.05	0.00	0.02	0.04	0.03	0.02	-0.02	-0.07	-0.13
			Mz	0.00	0.00	0.00	0.00	0.00	0.00	0.00	0.00	0.00
		1.35·PP+1.5·T3	N	11.489	11.489	11.489	11.489	11.489	11.489	11.489	11.489	11.489
			Vy	0.000	0.000	0.000	0.000	0.000	0.000	0.000	0.000	0.000
			Vz	-0.164	-0.119	-0.073	-0.028	0.018	0.063	0.108	0.154	0.199
			Mt	0.00	0.00	0.00	0.00	0.00	0.00	0.00	0.00	0.00
			My	-0.11	-0.02	0.03	0.06	0.06	0.04	-0.01	-0.08	-0.19
			Mz	0.00	0.00	0.00	0.00	0.00	0.00	0.00	0.00	0.00
		0.8·PP+1.5·T1+1.5·T3	N	15.559	15.559	15.559	15.559	15.559	15.559	15.559	15.559	15.559
			Vy	0.000	0.000	0.000	0.000	0.000	0.000	0.000	0.000	0.000
			Vz	-0.084	-0.057	-0.030	-0.003	0.023	0.050	0.077	0.104	0.131
			Mt	0.00	0.00	0.00	0.00	0.00	0.00	0.00	0.00	0.00
			My	-0.04	0.00	0.03	0.04	0.03	0.01	-0.03	-0.08	-0.14
			Mz	0.00	0.00	0.00	0.00	0.00	0.00	0.00	0.00	0.00
		1.35·PP+1.5·T1+1.5·T3	N	15.427	15.427	15.427	15.427	15.427	15.427	15.427	15.427	15.427
			Vy	0.000	0.000	0.000	0.000	0.000	0.000	0.000	0.000	0.000
			Vz	-0.158	-0.113	-0.067	-0.022	0.023	0.069	0.114	0.160	0.205
			Mt	0.00	0.00	0.00	0.00	0.00	0.00	0.00	0.00	0.00
			My	-0.09	-0.02	0.04	0.06	0.06	0.03	-0.02	-0.10	-0.20
			Mz	0.00	0.00	0.00	0.00	0.00	0.00	0.00	0.00	0.00
		0.8·PP+1.5·T2+1.5·T3	N	7.683	7.683	7.683	7.683	7.683	7.683	7.683	7.683	7.683
			Vy	0.000	0.000	0.000	0.000	0.000	0.000	0.000	0.000	0.000
			Vz	-0.096	-0.069	-0.042	-0.015	0.012	0.039	0.066	0.092	0.119
			Mt	0.00	0.00	0.00	0.00	0.00	0.00	0.00	0.00	0.00
			My	-0.06	-0.01	0.02	0.04	0.04	0.02	-0.01	-0.05	-0.11
			Mz	0.00	0.00	0.00	0.00	0.00	0.00	0.00	0.00	0.00
		1.35·PP+1.5·T2+1.5·T3	N	7.551	7.551	7.551	7.551	7.551	7.551	7.551	7.551	7.551
			Vy	0.000	0.000	0.000	0.000	0.000	0.000	0.000	0.000	0.000
			Vz	-0.170	-0.125	-0.079	-0.034	0.012	0.057	0.103	0.148	0.193
			Mt	0.00	0.00	0.00	0.00	0.00	0.00	0.00	0.00	0.00
			My	-0.12	-0.03	0.03	0.06	0.07	0.05	0.00	-0.07	-0.17
			Mz	0.00	0.00	0.00	0.00	0.00	0.00	0.00	0.00	0.00
		0.8·PP+1.5·T1+1.5·T2+1.5·T3	N	11.621	11.621	11.621	11.621	11.621	11.621	11.621	11.621	11.621
			Vy	0.000	0.000	0.000	0.000	0.000	0.000	0.000	0.000	0.000
			Vz	-0.090	-0.063	-0.036	-0.009	0.018	0.044	0.071	0.098	0.125
			Mt	0.00	0.00	0.00	0.00	0.00	0.00	0.00	0.00	0.00
			My	-0.05	0.00	0.02	0.04	0.03	0.02	-0.02	-0.07	-0.13
			Mz	0.00	0.00	0.00	0.00	0.00	0.00	0.00	0.00	0.00
		1.35·PP+1.5·T1+1.5·T2+1.5·T3	N	11.489	11.489	11.489	11.489	11.489	11.489	11.489	11.489	11.489
			Vy	0.000	0.000	0.000	0.000	0.000	0.000	0.000	0.000	0.000
			Vz	-0.164	-0.119	-0.073	-0.028	0.018	0.063	0.108	0.154	0.199
			Mt	0.00	0.00	0.00	0.00	0.00	0.00	0.00	0.00	0.00
			My	-0.11	-0.02	0.03	0.06	0.06	0.04	-0.01	-0.08	-0.19
			Mz	0.00	0.00	0.00	0.00	0.00	0.00	0.00	0.00	0.00
		0.8·PP+1.5·T4	N	-12.006	-12.006	-12.006	-12.006	-12.006	-12.006	-12.006	-12.006	-12.006
			Vy	0.000	0.000	0.000	0.000	0.000	0.000	0.000	0.000	0.000

Esfuerzos en barras, por combinación

Barra	Combinación		Esfuerzo	Posiciones en la barra								
	Tipo	Descripción		0.000 m	0.575 m	1.150 m	1.725 m	2.300 m	2.875 m	3.450 m	4.025 m	4.600 m
			Vz	-0.125	-0.098	-0.071	-0.045	-0.018	0.009	0.036	0.063	0.090
			Mt	0.00	0.00	0.00	0.00	0.00	0.00	0.00	0.00	0.00
			My	-0.12	-0.05	0.00	0.03	0.05	0.05	0.04	0.01	-0.04
			Mz	0.00	0.00	0.00	0.00	0.00	0.00	0.00	0.00	0.00
		1.35·PP+1.5·T4	N	-12.139	-12.139	-12.139	-12.139	-12.139	-12.139	-12.139	-12.139	-12.139
			Vy	0.000	0.000	0.000	0.000	0.000	0.000	0.000	0.000	0.000
			Vz	-0.199	-0.154	-0.108	-0.063	-0.018	0.028	0.073	0.119	0.164
			Mt	0.00	0.00	0.00	0.00	0.00	0.00	0.00	0.00	0.00
			My	-0.17	-0.07	0.00	0.05	0.08	0.07	0.04	-0.01	-0.09
			Mz	0.00	0.00	0.00	0.00	0.00	0.00	0.00	0.00	0.00
		0.8·PP+1.5·T1+1.5·T4	N	-8.068	-8.068	-8.068	-8.068	-8.068	-8.068	-8.068	-8.068	-8.068
			Vy	0.000	0.000	0.000	0.000	0.000	0.000	0.000	0.000	0.000
			Vz	-0.119	-0.093	-0.066	-0.039	-0.012	0.015	0.042	0.069	0.096
			Mt	0.00	0.00	0.00	0.00	0.00	0.00	0.00	0.00	0.00
			My	-0.11	-0.04	0.00	0.03	0.05	0.04	0.03	0.00	-0.05
			Mz	0.00	0.00	0.00	0.00	0.00	0.00	0.00	0.00	0.00
		1.35·PP+1.5·T1+1.5·T4	N	-8.201	-8.201	-8.201	-8.201	-8.201	-8.201	-8.201	-8.201	-8.201
			Vy	0.000	0.000	0.000	0.000	0.000	0.000	0.000	0.000	0.000
			Vz	-0.193	-0.148	-0.103	-0.057	-0.012	0.034	0.079	0.125	0.170
			Mt	0.00	0.00	0.00	0.00	0.00	0.00	0.00	0.00	0.00
			My	-0.16	-0.06	0.01	0.05	0.07	0.07	0.04	-0.02	-0.11
			Mz	0.00	0.00	0.00	0.00	0.00	0.00	0.00	0.00	0.00
		0.8·PP+1.5·T2+1.5·T4	N	-15.944	-15.944	-15.944	-15.944	-15.944	-15.944	-15.944	-15.944	-15.944
			Vy	0.000	0.000	0.000	0.000	0.000	0.000	0.000	0.000	0.000
			Vz	-0.131	-0.104	-0.077	-0.050	-0.023	0.003	0.030	0.057	0.084
			Mt	0.00	0.00	0.00	0.00	0.00	0.00	0.00	0.00	0.00
			My	-0.13	-0.06	-0.01	0.03	0.05	0.06	0.05	0.02	-0.02
			Mz	0.00	0.00	0.00	0.00	0.00	0.00	0.00	0.00	0.00
		1.35·PP+1.5·T2+1.5·T4	N	-16.077	-16.077	-16.077	-16.077	-16.077	-16.077	-16.077	-16.077	-16.077
			Vy	0.000	0.000	0.000	0.000	0.000	0.000	0.000	0.000	0.000
			Vz	-0.205	-0.160	-0.114	-0.069	-0.023	0.022	0.067	0.113	0.158
			Mt	0.00	0.00	0.00	0.00	0.00	0.00	0.00	0.00	0.00
			My	-0.18	-0.08	0.00	0.05	0.08	0.08	0.05	0.00	-0.08
			Mz	0.00	0.00	0.00	0.00	0.00	0.00	0.00	0.00	0.00
		0.8·PP+1.5·T1+1.5·T2+1.5·T4	N	-12.006	-12.006	-12.006	-12.006	-12.006	-12.006	-12.006	-12.006	-12.006
			Vy	0.000	0.000	0.000	0.000	0.000	0.000	0.000	0.000	0.000
			Vz	-0.125	-0.098	-0.071	-0.045	-0.018	0.009	0.036	0.063	0.090
			Mt	0.00	0.00	0.00	0.00	0.00	0.00	0.00	0.00	0.00
			My	-0.12	-0.05	0.00	0.03	0.05	0.05	0.04	0.01	-0.04
			Mz	0.00	0.00	0.00	0.00	0.00	0.00	0.00	0.00	0.00
		1.35·PP+1.5·T1+1.5·T2+1.5·T4	N	-12.139	-12.139	-12.139	-12.139	-12.139	-12.139	-12.139	-12.139	-12.139
			Vy	0.000	0.000	0.000	0.000	0.000	0.000	0.000	0.000	0.000
			Vz	-0.199	-0.154	-0.108	-0.063	-0.018	0.028	0.073	0.119	0.164
			Mt	0.00	0.00	0.00	0.00	0.00	0.00	0.00	0.00	0.00
			My	-0.17	-0.07	0.00	0.05	0.08	0.07	0.04	-0.01	-0.09
			Mz	0.00	0.00	0.00	0.00	0.00	0.00	0.00	0.00	0.00
		0.8·PP+1.5·T3+1.5·T4	N	-0.193	-0.193	-0.193	-0.193	-0.193	-0.193	-0.193	-0.193	-0.193
			Vy	0.000	0.000	0.000	0.000	0.000	0.000	0.000	0.000	0.000
			Vz	-0.108	-0.081	-0.054	-0.027	0.000	0.027	0.054	0.081	0.108
			Mt	0.00	0.00	0.00	0.00	0.00	0.00	0.00	0.00	0.00
			My	-0.08	-0.03	0.01	0.03	0.04	0.03	0.01	-0.03	-0.08
			Mz	0.00	0.00	0.00	0.00	0.00	0.00	0.00	0.00	0.00
		1.35·PP+1.5·T3+1.5·T4	N	-0.325	-0.325	-0.325	-0.325	-0.325	-0.325	-0.325	-0.325	-0.325
			Vy	0.000	0.000	0.000	0.000	0.000	0.000	0.000	0.000	0.000
			Vz	-0.182	-0.136	-0.091	-0.045	0.000	0.045	0.091	0.136	0.182
			Mt	0.00	0.00	0.00	0.00	0.00	0.00	0.00	0.00	0.00
			My	-0.14	-0.05	0.02	0.06	0.07	0.06	0.02	-0.05	-0.14
			Mz	0.00	0.00	0.00	0.00	0.00	0.00	0.00	0.00	0.00
		0.8·PP+1.5·T1+1.5·T3+1.5·T4	N	3.745	3.745	3.745	3.745	3.745	3.745	3.745	3.745	3.745
			Vy	0.000	0.000	0.000	0.000	0.000	0.000	0.000	0.000	0.000
			Vz	-0.102	-0.075	-0.048	-0.021	0.006	0.033	0.060	0.087	0.114
			Mt	0.00	0.00	0.00	0.00	0.00	0.00	0.00	0.00	0.00
			My	-0.07	-0.02	0.01	0.03	0.04	0.03	0.00	-0.04	-0.10
			Mz	0.00	0.00	0.00	0.00	0.00	0.00	0.00	0.00	0.00
		1.35·PP+1.5·T1+1.5·T3+1.5·T4	N	3.613	3.613	3.613	3.613	3.613	3.613	3.613	3.613	3.613
			Vy	0.000	0.000	0.000	0.000	0.000	0.000	0.000	0.000	0.000
			Vz	-0.176	-0.130	-0.085	-0.040	0.006	0.051	0.097	0.142	0.188
			Mt	0.00	0.00	0.00	0.00	0.00	0.00	0.00	0.00	0.00
			My	-0.13	-0.04	0.02	0.06	0.07	0.05	0.01	-0.06	-0.15
			Mz	0.00	0.00	0.00	0.00	0.00	0.00	0.00	0.00	0.00
		0.8·PP+1.5·T2+1.5·T3+1.5·T4	N	-4.131	-4.131	-4.131	-4.131	-4.131	-4.131	-4.131	-4.131	-4.131
			Vy	0.000	0.000	0.000	0.000	0.000	0.000	0.000	0.000	0.000
			Vz	-0.114	-0.087	-0.060	-0.033	-0.006	0.021	0.048	0.075	0.102
			Mt	0.00	0.00	0.00	0.00	0.00	0.00	0.00	0.00	0.00
			My	-0.09	-0.04	0.01	0.03	0.04	0.04	0.02	-0.02	-0.07
			Mz	0.00	0.00	0.00	0.00	0.00	0.00	0.00	0.00	0.00
		1.35·PP+1.5·T2+1.5·T3+1.5·T4	N	-4.263	-4.263	-4.263	-4.263	-4.263	-4.263	-4.263	-4.263	-4.263
			Vy	0.000	0.000	0.000	0.000	0.000	0.000	0.000	0.000	0.000
			Vz	-0.188	-0.142	-0.097	-0.051	-0.006	0.040	0.085	0.130	0.176
			Mt	0.00	0.00	0.00	0.00	0.00	0.00	0.00	0.00	0.00
			My	-0.15	-0.06	0.01	0.06	0.07	0.06	0.03	-0.04	-0.12
			Mz	0.00	0.00	0.00	0.00	0.00	0.00	0.00	0.00	0.00

Esfuerzos en barras, por combinación												
Barra	Combinación		Esfuerzo	Posiciones en la barra								
	Tipo	Descripción		0.000 m	0.575 m	1.150 m	1.725 m	2.300 m	2.875 m	3.450 m	4.025 m	4.600 m
		0.8·PP+1.5·T1+1.5·T2+1.5·T3+1.5·T4	N	-0.193	-0.193	-0.193	-0.193	-0.193	-0.193	-0.193	-0.193	-0.193
			Vy	0.000	0.000	0.000	0.000	0.000	0.000	0.000	0.000	0.000
			Vz	-0.108	-0.081	-0.054	-0.027	0.000	0.027	0.054	0.081	0.108
			Mt	0.00	0.00	0.00	0.00	0.00	0.00	0.00	0.00	0.00
			My	-0.08	-0.03	0.01	0.03	0.04	0.03	0.01	-0.03	-0.08
			Mz	0.00	0.00	0.00	0.00	0.00	0.00	0.00	0.00	0.00
		1.35·PP+1.5·T1+1.5·T2+1.5·T3+1.5·T4	N	-0.325	-0.325	-0.325	-0.325	-0.325	-0.325	-0.325	-0.325	-0.325
			Vy	0.000	0.000	0.000	0.000	0.000	0.000	0.000	0.000	0.000
			Vz	-0.182	-0.136	-0.091	-0.045	0.000	0.045	0.091	0.136	0.182
			Mt	0.00	0.00	0.00	0.00	0.00	0.00	0.00	0.00	0.00
			My	-0.14	-0.05	0.02	0.06	0.07	0.06	0.02	-0.05	-0.14
			Mz	0.00	0.00	0.00	0.00	0.00	0.00	0.00	0.00	0.00

Esfuerzos en barras, por combinación												
Barra	Combinación		Esfuerzo	Posiciones en la barra								
	Tipo	Descripción		0.000 m	0.575 m	1.150 m	1.725 m	2.300 m	2.875 m	3.450 m	4.025 m	4.600 m
N16/N18	Acero laminado	0.8·PP	N	-0.190	-0.190	-0.190	-0.190	-0.190	-0.190	-0.190	-0.190	-0.190
			Vy	0.000	0.000	0.000	0.000	0.000	0.000	0.000	0.000	0.000
			Vz	-0.108	-0.081	-0.054	-0.027	0.000	0.027	0.054	0.081	0.108
			Mt	0.00	0.00	0.00	0.00	0.00	0.00	0.00	0.00	0.00
			My	-0.08	-0.03	0.01	0.03	0.04	0.03	0.01	-0.03	-0.08
			Mz	0.00	0.00	0.00	0.00	0.00	0.00	0.00	0.00	0.00
		1.35·PP	N	-0.320	-0.320	-0.320	-0.320	-0.320	-0.320	-0.320	-0.320	-0.320
			Vy	0.000	0.000	0.000	0.000	0.000	0.000	0.000	0.000	0.000
			Vz	-0.182	-0.136	-0.091	-0.046	0.000	0.045	0.091	0.136	0.182
			Mt	0.00	0.00	0.00	0.00	0.00	0.00	0.00	0.00	0.00
			My	-0.14	-0.05	0.02	0.06	0.07	0.06	0.02	-0.05	-0.14
			Mz	0.00	0.00	0.00	0.00	0.00	0.00	0.00	0.00	0.00
		0.8·PP+1.5·T1	N	2.588	2.588	2.588	2.588	2.588	2.588	2.588	2.588	2.588
			Vy	0.000	0.000	0.000	0.000	0.000	0.000	0.000	0.000	0.000
			Vz	-0.098	-0.071	-0.044	-0.017	0.010	0.037	0.064	0.091	0.118
			Mt	0.00	0.00	0.00	0.00	0.00	0.00	0.00	0.00	0.00
			My	-0.06	-0.01	0.02	0.04	0.04	0.03	0.00	-0.05	-0.11
			Mz	0.00	0.00	0.00	0.00	0.00	0.00	0.00	0.00	0.00
		1.35·PP+1.5·T1	N	2.457	2.457	2.457	2.457	2.457	2.457	2.457	2.457	2.457
			Vy	0.000	0.000	0.000	0.000	0.000	0.000	0.000	0.000	0.000
			Vz	-0.172	-0.127	-0.081	-0.036	0.010	0.055	0.101	0.146	0.191
			Mt	0.00	0.00	0.00	0.00	0.00	0.00	0.00	0.00	0.00
			My	-0.12	-0.03	0.03	0.06	0.07	0.05	0.01	-0.07	-0.16
			Mz	0.00	0.00	0.00	0.00	0.00	0.00	0.00	0.00	0.00
		0.8·PP+1.5·T2	N	-2.967	-2.967	-2.967	-2.967	-2.967	-2.967	-2.967	-2.967	-2.967
			Vy	0.000	0.000	0.000	0.000	0.000	0.000	0.000	0.000	0.000
			Vz	-0.118	-0.091	-0.064	-0.037	-0.010	0.017	0.044	0.071	0.098
			Mt	0.00	0.00	0.00	0.00	0.00	0.00	0.00	0.00	0.00
			My	-0.10	-0.04	0.00	0.03	0.04	0.04	0.02	-0.01	-0.06
			Mz	0.00	0.00	0.00	0.00	0.00	0.00	0.00	0.00	0.00
		1.35·PP+1.5·T2	N	-3.098	-3.098	-3.098	-3.098	-3.098	-3.098	-3.098	-3.098	-3.098
			Vy	0.000	0.000	0.000	0.000	0.000	0.000	0.000	0.000	0.000
			Vz	-0.192	-0.146	-0.101	-0.056	-0.010	0.035	0.081	0.126	0.172
			Mt	0.00	0.00	0.00	0.00	0.00	0.00	0.00	0.00	0.00
			My	-0.16	-0.06	0.01	0.05	0.07	0.06	0.03	-0.03	-0.11
			Mz	0.00	0.00	0.00	0.00	0.00	0.00	0.00	0.00	0.00
		0.8·PP+1.5·T1+1.5·T2	N	-0.190	-0.190	-0.190	-0.190	-0.190	-0.190	-0.190	-0.190	-0.190
			Vy	0.000	0.000	0.000	0.000	0.000	0.000	0.000	0.000	0.000
			Vz	-0.108	-0.081	-0.054	-0.027	0.000	0.027	0.054	0.081	0.108
			Mt	0.00	0.00	0.00	0.00	0.00	0.00	0.00	0.00	0.00
			My	-0.08	-0.03	0.01	0.03	0.04	0.03	0.01	-0.03	-0.08
			Mz	0.00	0.00	0.00	0.00	0.00	0.00	0.00	0.00	0.00
		1.35·PP+1.5·T1+1.5·T2	N	-0.320	-0.320	-0.320	-0.320	-0.320	-0.320	-0.320	-0.320	-0.320
			Vy	0.000	0.000	0.000	0.000	0.000	0.000	0.000	0.000	0.000
			Vz	-0.182	-0.136	-0.091	-0.046	0.000	0.045	0.091	0.136	0.182
			Mt	0.00	0.00	0.00	0.00	0.00	0.00	0.00	0.00	0.00
			My	-0.14	-0.05	0.02	0.06	0.07	0.06	0.02	-0.05	-0.14
			Mz	0.00	0.00	0.00	0.00	0.00	0.00	0.00	0.00	0.00
		0.8·PP+1.5·T3	N	8.143	8.143	8.143	8.143	8.143	8.143	8.143	8.143	8.143
			Vy	0.000	0.000	0.000	0.000	0.000	0.000	0.000	0.000	0.000
			Vz	-0.078	-0.051	-0.024	0.003	0.030	0.057	0.084	0.111	0.137
			Mt	0.00	0.00	0.00	0.00	0.00	0.00	0.00	0.00	0.00
			My	-0.02	0.02	0.04	0.05	0.04	0.01	-0.03	-0.08	-0.15
			Mz	0.00	0.00	0.00	0.00	0.00	0.00	0.00	0.00	0.00
		1.35·PP+1.5·T3	N	8.013	8.013	8.013	8.013	8.013	8.013	8.013	8.013	8.013
			Vy	0.000	0.000	0.000	0.000	0.000	0.000	0.000	0.000	0.000
			Vz	-0.152	-0.107	-0.061	-0.016	0.030	0.075	0.121	0.166	0.211
			Mt	0.00	0.00	0.00	0.00	0.00	0.00	0.00	0.00	0.00
			My	-0.07	0.00	0.05	0.07	0.07	0.04	-0.02	-0.10	-0.21
			Mz	0.00	0.00	0.00	0.00	0.00	0.00	0.00	0.00	0.00
		0.8·PP+1.5·T1+1.5·T3	N	10.920	10.920	10.920	10.920	10.920	10.920	10.920	10.920	10.920
			Vy	0.000	0.000	0.000	0.000	0.000	0.000	0.000	0.000	0.000
			Vz	-0.068	-0.041	-0.014	0.013	0.040	0.067	0.094	0.120	0.147
			Mt	0.00	0.00	0.00	0.00	0.00	0.00	0.00	0.00	0.00
			My	0.00	0.04	0.05	0.05	0.04	0.01	-0.04	-0.10	-0.18

Esfuerzos en barras, por combinación

Barra	Combinación		Esfuerzo	Posiciones en la barra								
	Tipo	Descripción		0.000 m	0.575 m	1.150 m	1.725 m	2.300 m	2.875 m	3.450 m	4.025 m	4.600 m
			Mz	0.00	0.00	0.00	0.00	0.00	0.00	0.00	0.00	0.00
		1.35·PP+1.5·T1+1.5·T3	N	10.790	10.790	10.790	10.790	10.790	10.790	10.790	10.790	10.790
			Vy	0.000	0.000	0.000	0.000	0.000	0.000	0.000	0.000	0.000
			Vz	-0.142	-0.097	-0.051	-0.006	0.040	0.085	0.130	0.176	0.221
			Mt	0.00	0.00	0.00	0.00	0.00	0.00	0.00	0.00	0.00
			My	-0.05	0.02	0.06	0.08	0.07	0.03	-0.03	-0.12	-0.23
			Mz	0.00	0.00	0.00	0.00	0.00	0.00	0.00	0.00	0.00
		0.8·PP+1.5·T2+1.5·T3	N	5.365	5.365	5.365	5.365	5.365	5.365	5.365	5.365	5.365
			Vy	0.000	0.000	0.000	0.000	0.000	0.000	0.000	0.000	0.000
			Vz	-0.088	-0.061	-0.034	-0.007	0.020	0.047	0.074	0.101	0.127
			Mt	0.00	0.00	0.00	0.00	0.00	0.00	0.00	0.00	0.00
			My	-0.04	0.00	0.03	0.04	0.04	0.02	-0.01	-0.06	-0.13
			Mz	0.00	0.00	0.00	0.00	0.00	0.00	0.00	0.00	0.00
		1.35·PP+1.5·T2+1.5·T3	N	5.235	5.235	5.235	5.235	5.235	5.235	5.235	5.235	5.235
			Vy	0.000	0.000	0.000	0.000	0.000	0.000	0.000	0.000	0.000
			Vz	-0.162	-0.117	-0.071	-0.026	0.020	0.065	0.111	0.156	0.201
			Mt	0.00	0.00	0.00	0.00	0.00	0.00	0.00	0.00	0.00
			My	-0.10	-0.02	0.04	0.07	0.07	0.04	-0.01	-0.08	-0.19
			Mz	0.00	0.00	0.00	0.00	0.00	0.00	0.00	0.00	0.00
		0.8·PP+1.5·T1+1.5·T2+1.5·T3	N	8.143	8.143	8.143	8.143	8.143	8.143	8.143	8.143	8.143
			Vy	0.000	0.000	0.000	0.000	0.000	0.000	0.000	0.000	0.000
			Vz	-0.078	-0.051	-0.024	0.003	0.030	0.057	0.084	0.111	0.137
			Mt	0.00	0.00	0.00	0.00	0.00	0.00	0.00	0.00	0.00
			My	-0.02	0.02	0.04	0.05	0.04	0.01	-0.03	-0.08	-0.15
			Mz	0.00	0.00	0.00	0.00	0.00	0.00	0.00	0.00	0.00
		1.35·PP+1.5·T1+1.5·T2+1.5·T3	N	8.013	8.013	8.013	8.013	8.013	8.013	8.013	8.013	8.013
			Vy	0.000	0.000	0.000	0.000	0.000	0.000	0.000	0.000	0.000
			Vz	-0.152	-0.107	-0.061	-0.016	0.030	0.075	0.121	0.166	0.211
			Mt	0.00	0.00	0.00	0.00	0.00	0.00	0.00	0.00	0.00
			My	-0.07	0.00	0.05	0.07	0.07	0.04	-0.02	-0.10	-0.21
			Mz	0.00	0.00	0.00	0.00	0.00	0.00	0.00	0.00	0.00
		0.8·PP+1.5·T4	N	-8.522	-8.522	-8.522	-8.522	-8.522	-8.522	-8.522	-8.522	-8.522
			Vy	0.000	0.000	0.000	0.000	0.000	0.000	0.000	0.000	0.000
			Vz	-0.138	-0.111	-0.084	-0.057	-0.030	-0.003	0.024	0.051	0.078
			Mt	0.00	0.00	0.00	0.00	0.00	0.00	0.00	0.00	0.00
			My	-0.15	-0.08	-0.02	0.02	0.04	0.05	0.05	0.03	-0.01
			Mz	0.00	0.00	0.00	0.00	0.00	0.00	0.00	0.00	0.00
		1.35·PP+1.5·T4	N	-8.653	-8.653	-8.653	-8.653	-8.653	-8.653	-8.653	-8.653	-8.653
			Vy	0.000	0.000	0.000	0.000	0.000	0.000	0.000	0.000	0.000
			Vz	-0.212	-0.166	-0.121	-0.075	-0.030	0.015	0.061	0.106	0.152
			Mt	0.00	0.00	0.00	0.00	0.00	0.00	0.00	0.00	0.00
			My	-0.21	-0.10	-0.01	0.04	0.07	0.08	0.06	0.01	-0.07
			Mz	0.00	0.00	0.00	0.00	0.00	0.00	0.00	0.00	0.00
		0.8·PP+1.5·T1+1.5·T4	N	-5.745	-5.745	-5.745	-5.745	-5.745	-5.745	-5.745	-5.745	-5.745
			Vy	0.000	0.000	0.000	0.000	0.000	0.000	0.000	0.000	0.000
			Vz	-0.128	-0.101	-0.074	-0.047	-0.020	0.007	0.034	0.061	0.088
			Mt	0.00	0.00	0.00	0.00	0.00	0.00	0.00	0.00	0.00
			My	-0.13	-0.06	-0.01	0.02	0.04	0.05	0.04	0.01	-0.03
			Mz	0.00	0.00	0.00	0.00	0.00	0.00	0.00	0.00	0.00
		1.35·PP+1.5·T1+1.5·T4	N	-5.875	-5.875	-5.875	-5.875	-5.875	-5.875	-5.875	-5.875	-5.875
			Vy	0.000	0.000	0.000	0.000	0.000	0.000	0.000	0.000	0.000
			Vz	-0.202	-0.156	-0.111	-0.066	-0.020	0.025	0.071	0.116	0.162
			Mt	0.00	0.00	0.00	0.00	0.00	0.00	0.00	0.00	0.00
			My	-0.18	-0.08	0.00	0.05	0.07	0.07	0.04	-0.01	-0.09
			Mz	0.00	0.00	0.00	0.00	0.00	0.00	0.00	0.00	0.00
		0.8·PP+1.5·T2+1.5·T4	N	-11.300	-11.300	-11.300	-11.300	-11.300	-11.300	-11.300	-11.300	-11.300
			Vy	0.000	0.000	0.000	0.000	0.000	0.000	0.000	0.000	0.000
			Vz	-0.148	-0.121	-0.094	-0.067	-0.040	-0.013	0.014	0.041	0.068
			Mt	0.00	0.00	0.00	0.00	0.00	0.00	0.00	0.00	0.00
			My	-0.17	-0.09	-0.03	0.01	0.04	0.06	0.06	0.04	0.01
			Mz	0.00	0.00	0.00	0.00	0.00	0.00	0.00	0.00	0.00
		1.35·PP+1.5·T2+1.5·T4	N	-11.430	-11.430	-11.430	-11.430	-11.430	-11.430	-11.430	-11.430	-11.430
			Vy	0.000	0.000	0.000	0.000	0.000	0.000	0.000	0.000	0.000
			Vz	-0.222	-0.176	-0.131	-0.085	-0.040	0.005	0.051	0.096	0.142
			Mt	0.00	0.00	0.00	0.00	0.00	0.00	0.00	0.00	0.00
			My	-0.23	-0.11	-0.02	0.04	0.07	0.08	0.07	0.03	-0.04
			Mz	0.00	0.00	0.00	0.00	0.00	0.00	0.00	0.00	0.00
		0.8·PP+1.5·T1+1.5·T2+1.5·T4	N	-8.522	-8.522	-8.522	-8.522	-8.522	-8.522	-8.522	-8.522	-8.522
			Vy	0.000	0.000	0.000	0.000	0.000	0.000	0.000	0.000	0.000
			Vz	-0.138	-0.111	-0.084	-0.057	-0.030	-0.003	0.024	0.051	0.078
			Mt	0.00	0.00	0.00	0.00	0.00	0.00	0.00	0.00	0.00
			My	-0.15	-0.08	-0.02	0.02	0.04	0.05	0.05	0.03	-0.01
			Mz	0.00	0.00	0.00	0.00	0.00	0.00	0.00	0.00	0.00
		1.35·PP+1.5·T1+1.5·T2+1.5·T4	N	-8.653	-8.653	-8.653	-8.653	-8.653	-8.653	-8.653	-8.653	-8.653
			Vy	0.000	0.000	0.000	0.000	0.000	0.000	0.000	0.000	0.000
			Vz	-0.212	-0.166	-0.121	-0.075	-0.030	0.015	0.061	0.106	0.152
			Mt	0.00	0.00	0.00	0.00	0.00	0.00	0.00	0.00	0.00
			My	-0.21	-0.10	-0.01	0.04	0.07	0.08	0.06	0.01	-0.07
			Mz	0.00	0.00	0.00	0.00	0.00	0.00	0.00	0.00	0.00
		0.8·PP+1.5·T3+1.5·T4	N	-0.190	-0.190	-0.190	-0.190	-0.190	-0.190	-0.190	-0.190	-0.190
			Vy	0.000	0.000	0.000	0.000	0.000	0.000	0.000	0.000	0.000
			Vz	-0.108	-0.081	-0.054	-0.027	0.000	0.027	0.054	0.081	0.108

Esfuerzos en barras, por combinación

Barra	Combinación		Esfuerzo	Posiciones en la barra								
	Tipo	Descripción		0.000 m	0.575 m	1.150 m	1.725 m	2.300 m	2.875 m	3.450 m	4.025 m	4.600 m
			Mt	0.00	0.00	0.00	0.00	0.00	0.00	0.00	0.00	0.00
			My	-0.08	-0.03	0.01	0.03	0.04	0.03	0.01	-0.03	-0.08
			Mz	0.00	0.00	0.00	0.00	0.00	0.00	0.00	0.00	0.00
		1.35·PP+1.5·T3+1.5·T4	N	-0.320	-0.320	-0.320	-0.320	-0.320	-0.320	-0.320	-0.320	-0.320
			Vy	0.000	0.000	0.000	0.000	0.000	0.000	0.000	0.000	0.000
			Vz	-0.182	-0.136	-0.091	-0.046	0.000	0.045	0.091	0.136	0.182
			Mt	0.00	0.00	0.00	0.00	0.00	0.00	0.00	0.00	0.00
			My	-0.14	-0.05	0.02	0.06	0.07	0.06	0.02	-0.05	-0.14
			Mz	0.00	0.00	0.00	0.00	0.00	0.00	0.00	0.00	0.00
		0.8·PP+1.5·T1+1.5·T3+1.5·T4	N	2.588	2.588	2.588	2.588	2.588	2.588	2.588	2.588	2.588
			Vy	0.000	0.000	0.000	0.000	0.000	0.000	0.000	0.000	0.000
			Vz	-0.098	-0.071	-0.044	-0.017	0.010	0.037	0.064	0.091	0.118
			Mt	0.00	0.00	0.00	0.00	0.00	0.00	0.00	0.00	0.00
			My	-0.06	-0.01	0.02	0.04	0.04	0.03	0.00	-0.05	-0.11
			Mz	0.00	0.00	0.00	0.00	0.00	0.00	0.00	0.00	0.00
		1.35·PP+1.5·T1+1.5·T3+1.5·T4	N	2.457	2.457	2.457	2.457	2.457	2.457	2.457	2.457	2.457
			Vy	0.000	0.000	0.000	0.000	0.000	0.000	0.000	0.000	0.000
			Vz	-0.172	-0.127	-0.081	-0.036	0.010	0.055	0.101	0.146	0.191
			Mt	0.00	0.00	0.00	0.00	0.00	0.00	0.00	0.00	0.00
			My	-0.12	-0.03	0.03	0.06	0.07	0.05	0.01	-0.07	-0.16
			Mz	0.00	0.00	0.00	0.00	0.00	0.00	0.00	0.00	0.00
		0.8·PP+1.5·T2+1.5·T3+1.5·T4	N	-2.967	-2.967	-2.967	-2.967	-2.967	-2.967	-2.967	-2.967	-2.967
			Vy	0.000	0.000	0.000	0.000	0.000	0.000	0.000	0.000	0.000
			Vz	-0.118	-0.091	-0.064	-0.037	-0.010	0.017	0.044	0.071	0.098
			Mt	0.00	0.00	0.00	0.00	0.00	0.00	0.00	0.00	0.00
			My	-0.10	-0.04	0.00	0.03	0.04	0.04	0.02	-0.01	-0.06
			Mz	0.00	0.00	0.00	0.00	0.00	0.00	0.00	0.00	0.00
		1.35·PP+1.5·T2+1.5·T3+1.5·T4	N	-3.098	-3.098	-3.098	-3.098	-3.098	-3.098	-3.098	-3.098	-3.098
			Vy	0.000	0.000	0.000	0.000	0.000	0.000	0.000	0.000	0.000
			Vz	-0.192	-0.146	-0.101	-0.056	-0.010	0.035	0.081	0.126	0.172
			Mt	0.00	0.00	0.00	0.00	0.00	0.00	0.00	0.00	0.00
			My	-0.16	-0.06	0.01	0.05	0.07	0.06	0.03	-0.03	-0.11
			Mz	0.00	0.00	0.00	0.00	0.00	0.00	0.00	0.00	0.00
		0.8·PP+1.5·T1+1.5·T2+1.5·T3+1.5·T4	N	-0.190	-0.190	-0.190	-0.190	-0.190	-0.190	-0.190	-0.190	-0.190
			Vy	0.000	0.000	0.000	0.000	0.000	0.000	0.000	0.000	0.000
			Vz	-0.108	-0.081	-0.054	-0.027	0.000	0.027	0.054	0.081	0.108
			Mt	0.00	0.00	0.00	0.00	0.00	0.00	0.00	0.00	0.00
			My	-0.08	-0.03	0.01	0.03	0.04	0.03	0.01	-0.03	-0.08
			Mz	0.00	0.00	0.00	0.00	0.00	0.00	0.00	0.00	0.00
		1.35·PP+1.5·T1+1.5·T2+1.5·T3+1.5·T4	N	-0.320	-0.320	-0.320	-0.320	-0.320	-0.320	-0.320	-0.320	-0.320
			Vy	0.000	0.000	0.000	0.000	0.000	0.000	0.000	0.000	0.000
			Vz	-0.182	-0.136	-0.091	-0.046	0.000	0.045	0.091	0.136	0.182
			Mt	0.00	0.00	0.00	0.00	0.00	0.00	0.00	0.00	0.00
			My	-0.14	-0.05	0.02	0.06	0.07	0.06	0.02	-0.05	-0.14
			Mz	0.00	0.00	0.00	0.00	0.00	0.00	0.00	0.00	0.00

Esfuerzos en barras, por combinación

Barra	Combinación		Esfuerzo	Posiciones en la barra								
	Tipo	Descripción		0.000 m	0.575 m	1.150 m	1.725 m	2.300 m	2.875 m	3.450 m	4.025 m	4.600 m
N18/N20	Acero laminado	0.8·PP	N	-0.194	-0.194	-0.194	-0.194	-0.194	-0.194	-0.194	-0.194	-0.194
			Vy	0.000	0.000	0.000	0.000	0.000	0.000	0.000	0.000	0.000
			Vz	-0.107	-0.080	-0.053	-0.027	0.000	0.027	0.054	0.081	0.108
			Mt	0.00	0.00	0.00	0.00	0.00	0.00	0.00	0.00	0.00
			My	-0.08	-0.03	0.01	0.03	0.04	0.03	0.01	-0.03	-0.08
			Mz	0.00	0.00	0.00	0.00	0.00	0.00	0.00	0.00	0.00
		1.35·PP	N	-0.328	-0.328	-0.328	-0.328	-0.328	-0.328	-0.328	-0.328	-0.328
			Vy	0.000	0.000	0.000	0.000	0.000	0.000	0.000	0.000	0.000
			Vz	-0.181	-0.136	-0.090	-0.045	0.000	0.046	0.091	0.137	0.182
			Mt	0.00	0.00	0.00	0.00	0.00	0.00	0.00	0.00	0.00
			My	-0.14	-0.05	0.02	0.06	0.07	0.06	0.02	-0.05	-0.14
			Mz	0.00	0.00	0.00	0.00	0.00	0.00	0.00	0.00	0.00
		0.8·PP+1.5·T1	N	0.406	0.406	0.406	0.406	0.406	0.406	0.406	0.406	0.406
			Vy	0.000	0.000	0.000	0.000	0.000	0.000	0.000	0.000	0.000
			Vz	-0.101	-0.074	-0.047	-0.020	0.006	0.033	0.060	0.087	0.114
			Mt	0.00	0.00	0.00	0.00	0.00	0.00	0.00	0.00	0.00
			My	-0.06	-0.01	0.02	0.04	0.04	0.03	0.01	-0.04	-0.09
			Mz	0.00	0.00	0.00	0.00	0.00	0.00	0.00	0.00	0.00
		1.35·PP+1.5·T1	N	0.273	0.273	0.273	0.273	0.273	0.273	0.273	0.273	0.273
			Vy	0.000	0.000	0.000	0.000	0.000	0.000	0.000	0.000	0.000
			Vz	-0.175	-0.130	-0.084	-0.039	0.006	0.052	0.098	0.143	0.188
			Mt	0.00	0.00	0.00	0.00	0.00	0.00	0.00	0.00	0.00
			My	-0.12	-0.03	0.03	0.06	0.07	0.06	0.01	-0.06	-0.15
			Mz	0.00	0.00	0.00	0.00	0.00	0.00	0.00	0.00	0.00
		0.8·PP+1.5·T2	N	-0.795	-0.795	-0.795	-0.795	-0.795	-0.795	-0.795	-0.795	-0.795
			Vy	0.000	0.000	0.000	0.000	0.000	0.000	0.000	0.000	0.000
			Vz	-0.113	-0.087	-0.060	-0.033	-0.006	0.021	0.048	0.075	0.102
			Mt	0.00	0.00	0.00	0.00	0.00	0.00	0.00	0.00	0.00
			My	-0.10	-0.04	0.00	0.03	0.04	0.03	0.01	-0.02	-0.07
			Mz	0.00	0.00	0.00	0.00	0.00	0.00	0.00	0.00	0.00
		1.35·PP+1.5·T2	N	-0.929	-0.929	-0.929	-0.929	-0.929	-0.929	-0.929	-0.929	-0.929
			Vy	0.000	0.000	0.000	0.000	0.000	0.000	0.000	0.000	0.000

Esfuerzos en barras, por combinación

Barra	Combinación		Esfuerzo	Posiciones en la barra								
	Tipo	Descripción		0.000 m	0.575 m	1.150 m	1.725 m	2.300 m	2.875 m	3.450 m	4.025 m	4.600 m
			Vz	-0.187	-0.142	-0.096	-0.051	-0.006	0.040	0.085	0.131	0.176
			Mt	0.00	0.00	0.00	0.00	0.00	0.00	0.00	0.00	0.00
			My	-0.16	-0.06	0.01	0.05	0.07	0.06	0.02	-0.04	-0.13
			Mz	0.00	0.00	0.00	0.00	0.00	0.00	0.00	0.00	0.00
		0.8·PP+1.5·T1+1.5·T2	N	-0.194	-0.194	-0.194	-0.194	-0.194	-0.194	-0.194	-0.194	-0.194
			Vy	0.000	0.000	0.000	0.000	0.000	0.000	0.000	0.000	0.000
			Vz	-0.107	-0.080	-0.053	-0.027	0.000	0.027	0.054	0.081	0.108
			Mt	0.00	0.00	0.00	0.00	0.00	0.00	0.00	0.00	0.00
			My	-0.08	-0.03	0.01	0.03	0.04	0.03	0.01	-0.03	-0.08
			Mz	0.00	0.00	0.00	0.00	0.00	0.00	0.00	0.00	0.00
		1.35·PP+1.5·T1+1.5·T2	N	-0.328	-0.328	-0.328	-0.328	-0.328	-0.328	-0.328	-0.328	-0.328
			Vy	0.000	0.000	0.000	0.000	0.000	0.000	0.000	0.000	0.000
			Vz	-0.181	-0.136	-0.090	-0.045	0.000	0.046	0.091	0.137	0.182
			Mt	0.00	0.00	0.00	0.00	0.00	0.00	0.00	0.00	0.00
			My	-0.14	-0.05	0.02	0.06	0.07	0.06	0.02	-0.05	-0.14
			Mz	0.00	0.00	0.00	0.00	0.00	0.00	0.00	0.00	0.00
		0.8·PP+1.5·T3	N	1.608	1.608	1.608	1.608	1.608	1.608	1.608	1.608	1.608
			Vy	0.000	0.000	0.000	0.000	0.000	0.000	0.000	0.000	0.000
			Vz	-0.089	-0.062	-0.035	-0.008	0.018	0.046	0.073	0.100	0.126
			Mt	0.00	0.00	0.00	0.00	0.00	0.00	0.00	0.00	0.00
			My	-0.03	0.02	0.04	0.06	0.05	0.03	0.00	-0.05	-0.11
			Mz	0.00	0.00	0.00	0.00	0.00	0.00	0.00	0.00	0.00
		1.35·PP+1.5·T3	N	1.474	1.474	1.474	1.474	1.474	1.474	1.474	1.474	1.474
			Vy	0.000	0.000	0.000	0.000	0.000	0.000	0.000	0.000	0.000
			Vz	-0.163	-0.117	-0.072	-0.026	0.018	0.064	0.110	0.155	0.201
			Mt	0.00	0.00	0.00	0.00	0.00	0.00	0.00	0.00	0.00
			My	-0.08	0.00	0.05	0.08	0.08	0.06	0.01	-0.07	-0.17
			Mz	0.00	0.00	0.00	0.00	0.00	0.00	0.00	0.00	0.00
		0.8·PP+1.5·T1+1.5·T3	N	2.208	2.208	2.208	2.208	2.208	2.208	2.208	2.208	2.208
			Vy	0.000	0.000	0.000	0.000	0.000	0.000	0.000	0.000	0.000
			Vz	-0.083	-0.056	-0.029	-0.002	0.025	0.052	0.079	0.106	0.133
			Mt	0.00	0.00	0.00	0.00	0.00	0.00	0.00	0.00	0.00
			My	-0.01	0.03	0.05	0.06	0.06	0.03	0.00	-0.06	-0.12
			Mz	0.00	0.00	0.00	0.00	0.00	0.00	0.00	0.00	0.00
		1.35·PP+1.5·T1+1.5·T3	N	2.075	2.075	2.075	2.075	2.075	2.075	2.075	2.075	2.075
			Vy	0.000	0.000	0.000	0.000	0.000	0.000	0.000	0.000	0.000
			Vz	-0.157	-0.111	-0.066	-0.020	0.025	0.071	0.116	0.161	0.207
			Mt	0.00	0.00	0.00	0.00	0.00	0.00	0.00	0.00	0.00
			My	-0.07	0.01	0.06	0.09	0.08	0.06	0.00	-0.08	-0.18
			Mz	0.00	0.00	0.00	0.00	0.00	0.00	0.00	0.00	0.00
		0.8·PP+1.5·T2+1.5·T3	N	1.007	1.007	1.007	1.007	1.007	1.007	1.007	1.007	1.007
			Vy	0.000	0.000	0.000	0.000	0.000	0.000	0.000	0.000	0.000
			Vz	-0.095	-0.068	-0.041	-0.014	0.012	0.040	0.066	0.093	0.120
			Mt	0.00	0.00	0.00	0.00	0.00	0.00	0.00	0.00	0.00
			My	-0.05	0.00	0.03	0.05	0.05	0.03	0.00	-0.04	-0.10
			Mz	0.00	0.00	0.00	0.00	0.00	0.00	0.00	0.00	0.00
		1.35·PP+1.5·T2+1.5·T3	N	0.873	0.873	0.873	0.873	0.873	0.873	0.873	0.873	0.873
			Vy	0.000	0.000	0.000	0.000	0.000	0.000	0.000	0.000	0.000
			Vz	-0.169	-0.123	-0.078	-0.033	0.012	0.058	0.104	0.149	0.195
			Mt	0.00	0.00	0.00	0.00	0.00	0.00	0.00	0.00	0.00
			My	-0.10	-0.02	0.04	0.07	0.08	0.06	0.01	-0.06	-0.16
			Mz	0.00	0.00	0.00	0.00	0.00	0.00	0.00	0.00	0.00
		0.8·PP+1.5·T1+1.5·T2+1.5·T3	N	1.608	1.608	1.608	1.608	1.608	1.608	1.608	1.608	1.608
			Vy	0.000	0.000	0.000	0.000	0.000	0.000	0.000	0.000	0.000
			Vz	-0.089	-0.062	-0.035	-0.008	0.018	0.046	0.073	0.100	0.126
			Mt	0.00	0.00	0.00	0.00	0.00	0.00	0.00	0.00	0.00
			My	-0.03	0.02	0.04	0.06	0.05	0.03	0.00	-0.05	-0.11
			Mz	0.00	0.00	0.00	0.00	0.00	0.00	0.00	0.00	0.00
		1.35·PP+1.5·T1+1.5·T2+1.5·T3	N	1.474	1.474	1.474	1.474	1.474	1.474	1.474	1.474	1.474
			Vy	0.000	0.000	0.000	0.000	0.000	0.000	0.000	0.000	0.000
			Vz	-0.163	-0.117	-0.072	-0.026	0.018	0.064	0.110	0.155	0.201
			Mt	0.00	0.00	0.00	0.00	0.00	0.00	0.00	0.00	0.00
			My	-0.08	0.00	0.05	0.08	0.08	0.06	0.01	-0.07	-0.17
			Mz	0.00	0.00	0.00	0.00	0.00	0.00	0.00	0.00	0.00
		0.8·PP+1.5·T4	N	-1.996	-1.996	-1.996	-1.996	-1.996	-1.996	-1.996	-1.996	-1.996
			Vy	0.000	0.000	0.000	0.000	0.000	0.000	0.000	0.000	0.000
			Vz	-0.126	-0.099	-0.072	-0.045	-0.018	0.009	0.036	0.063	0.090
			Mt	0.00	0.00	0.00	0.00	0.00	0.00	0.00	0.00	0.00
			My	-0.14	-0.07	-0.02	0.01	0.03	0.03	0.02	-0.01	-0.05
			Mz	0.00	0.00	0.00	0.00	0.00	0.00	0.00	0.00	0.00
		1.35·PP+1.5·T4	N	-2.130	-2.130	-2.130	-2.130	-2.130	-2.130	-2.130	-2.130	-2.130
			Vy	0.000	0.000	0.000	0.000	0.000	0.000	0.000	0.000	0.000
			Vz	-0.200	-0.154	-0.109	-0.063	-0.018	0.028	0.073	0.119	0.164
			Mt	0.00	0.00	0.00	0.00	0.00	0.00	0.00	0.00	0.00
			My	-0.19	-0.09	-0.02	0.03	0.06	0.06	0.03	-0.03	-0.11
			Mz	0.00	0.00	0.00	0.00	0.00	0.00	0.00	0.00	0.00
		0.8·PP+1.5·T1+1.5·T4	N	-1.396	-1.396	-1.396	-1.396	-1.396	-1.396	-1.396	-1.396	-1.396
			Vy	0.000	0.000	0.000	0.000	0.000	0.000	0.000	0.000	0.000
			Vz	-0.120	-0.093	-0.066	-0.039	-0.012	0.015	0.042	0.069	0.096
			Mt	0.00	0.00	0.00	0.00	0.00	0.00	0.00	0.00	0.00
			My	-0.12	-0.06	-0.01	0.02	0.03	0.03	0.02	-0.02	-0.06
			Mz	0.00	0.00	0.00	0.00	0.00	0.00	0.00	0.00	0.00

Esfuerzos en barras, por combinación

Barra	Combinación		Esfuerzo	Posiciones en la barra								
	Tipo	Descripción		0.000 m	0.575 m	1.150 m	1.725 m	2.300 m	2.875 m	3.450 m	4.025 m	4.600 m
		1.35·PP+1.5·T1+1.5·T4	N	-1.529	-1.529	-1.529	-1.529	-1.529	-1.529	-1.529	-1.529	-1.529
			Vy	0.000	0.000	0.000	0.000	0.000	0.000	0.000	0.000	0.000
			Vz	-0.193	-0.148	-0.103	-0.057	-0.012	0.034	0.079	0.125	0.170
			Mt	0.00	0.00	0.00	0.00	0.00	0.00	0.00	0.00	0.00
			My	-0.17	-0.08	0.00	0.04	0.06	0.06	0.02	-0.04	-0.12
			Mz	0.00	0.00	0.00	0.00	0.00	0.00	0.00	0.00	0.00
		0.8·PP+1.5·T2+1.5·T4	N	-2.597	-2.597	-2.597	-2.597	-2.597	-2.597	-2.597	-2.597	-2.597
			Vy	0.000	0.000	0.000	0.000	0.000	0.000	0.000	0.000	0.000
			Vz	-0.132	-0.105	-0.078	-0.051	-0.025	0.003	0.030	0.057	0.084
			Mt	0.00	0.00	0.00	0.00	0.00	0.00	0.00	0.00	0.00
			My	-0.15	-0.09	-0.03	0.00	0.03	0.03	0.02	0.00	-0.04
			Mz	0.00	0.00	0.00	0.00	0.00	0.00	0.00	0.00	0.00
		1.35·PP+1.5·T2+1.5·T4	N	-2.731	-2.731	-2.731	-2.731	-2.731	-2.731	-2.731	-2.731	-2.731
			Vy	0.000	0.000	0.000	0.000	0.000	0.000	0.000	0.000	0.000
			Vz	-0.206	-0.160	-0.115	-0.069	-0.025	0.022	0.067	0.112	0.158
			Mt	0.00	0.00	0.00	0.00	0.00	0.00	0.00	0.00	0.00
			My	-0.21	-0.11	-0.03	0.03	0.05	0.06	0.03	-0.02	-0.10
			Mz	0.00	0.00	0.00	0.00	0.00	0.00	0.00	0.00	0.00
		0.8·PP+1.5·T1+1.5·T2+1.5·T4	N	-1.996	-1.996	-1.996	-1.996	-1.996	-1.996	-1.996	-1.996	-1.996
			Vy	0.000	0.000	0.000	0.000	0.000	0.000	0.000	0.000	0.000
			Vz	-0.126	-0.099	-0.072	-0.045	-0.018	0.009	0.036	0.063	0.090
			Mt	0.00	0.00	0.00	0.00	0.00	0.00	0.00	0.00	0.00
			My	-0.14	-0.07	-0.02	0.01	0.03	0.03	0.02	-0.01	-0.05
			Mz	0.00	0.00	0.00	0.00	0.00	0.00	0.00	0.00	0.00
		1.35·PP+1.5·T1+1.5·T2+1.5·T4	N	-2.130	-2.130	-2.130	-2.130	-2.130	-2.130	-2.130	-2.130	-2.130
			Vy	0.000	0.000	0.000	0.000	0.000	0.000	0.000	0.000	0.000
			Vz	-0.200	-0.154	-0.109	-0.063	-0.018	0.028	0.073	0.119	0.164
			Mt	0.00	0.00	0.00	0.00	0.00	0.00	0.00	0.00	0.00
			My	-0.19	-0.09	-0.02	0.03	0.06	0.06	0.03	-0.03	-0.11
			Mz	0.00	0.00	0.00	0.00	0.00	0.00	0.00	0.00	0.00
		0.8·PP+1.5·T3+1.5·T4	N	-0.194	-0.194	-0.194	-0.194	-0.194	-0.194	-0.194	-0.194	-0.194
			Vy	0.000	0.000	0.000	0.000	0.000	0.000	0.000	0.000	0.000
			Vz	-0.107	-0.080	-0.053	-0.027	0.000	0.027	0.054	0.081	0.108
			Mt	0.00	0.00	0.00	0.00	0.00	0.00	0.00	0.00	0.00
			My	-0.08	-0.03	0.01	0.03	0.04	0.03	0.01	-0.03	-0.08
			Mz	0.00	0.00	0.00	0.00	0.00	0.00	0.00	0.00	0.00
		1.35·PP+1.5·T3+1.5·T4	N	-0.328	-0.328	-0.328	-0.328	-0.328	-0.328	-0.328	-0.328	-0.328
			Vy	0.000	0.000	0.000	0.000	0.000	0.000	0.000	0.000	0.000
			Vz	-0.181	-0.136	-0.090	-0.045	0.000	0.046	0.091	0.137	0.182
			Mt	0.00	0.00	0.00	0.00	0.00	0.00	0.00	0.00	0.00
			My	-0.14	-0.05	0.02	0.06	0.07	0.06	0.02	-0.05	-0.14
			Mz	0.00	0.00	0.00	0.00	0.00	0.00	0.00	0.00	0.00
		0.8·PP+1.5·T1+1.5·T3+1.5·T4	N	0.406	0.406	0.406	0.406	0.406	0.406	0.406	0.406	0.406
			Vy	0.000	0.000	0.000	0.000	0.000	0.000	0.000	0.000	0.000
			Vz	-0.101	-0.074	-0.047	-0.020	0.006	0.033	0.060	0.087	0.114
			Mt	0.00	0.00	0.00	0.00	0.00	0.00	0.00	0.00	0.00
			My	-0.06	-0.01	0.02	0.04	0.04	0.03	0.01	-0.04	-0.09
			Mz	0.00	0.00	0.00	0.00	0.00	0.00	0.00	0.00	0.00
		1.35·PP+1.5·T1+1.5·T3+1.5·T4	N	0.273	0.273	0.273	0.273	0.273	0.273	0.273	0.273	0.273
			Vy	0.000	0.000	0.000	0.000	0.000	0.000	0.000	0.000	0.000
			Vz	-0.175	-0.130	-0.084	-0.039	0.006	0.052	0.098	0.143	0.188
			Mt	0.00	0.00	0.00	0.00	0.00	0.00	0.00	0.00	0.00
			My	-0.12	-0.03	0.03	0.06	0.07	0.06	0.01	-0.06	-0.15
			Mz	0.00	0.00	0.00	0.00	0.00	0.00	0.00	0.00	0.00
		0.8·PP+1.5·T2+1.5·T3+1.5·T4	N	-0.795	-0.795	-0.795	-0.795	-0.795	-0.795	-0.795	-0.795	-0.795
			Vy	0.000	0.000	0.000	0.000	0.000	0.000	0.000	0.000	0.000
			Vz	-0.113	-0.087	-0.060	-0.033	-0.006	0.021	0.048	0.075	0.102
			Mt	0.00	0.00	0.00	0.00	0.00	0.00	0.00	0.00	0.00
			My	-0.10	-0.04	0.00	0.03	0.04	0.03	0.01	-0.02	-0.07
			Mz	0.00	0.00	0.00	0.00	0.00	0.00	0.00	0.00	0.00
		1.35·PP+1.5·T2+1.5·T3+1.5·T4	N	-0.929	-0.929	-0.929	-0.929	-0.929	-0.929	-0.929	-0.929	-0.929
			Vy	0.000	0.000	0.000	0.000	0.000	0.000	0.000	0.000	0.000
			Vz	-0.187	-0.142	-0.096	-0.051	-0.006	0.040	0.085	0.131	0.176
			Mt	0.00	0.00	0.00	0.00	0.00	0.00	0.00	0.00	0.00
			My	-0.16	-0.06	0.01	0.05	0.07	0.06	0.02	-0.04	-0.13
			Mz	0.00	0.00	0.00	0.00	0.00	0.00	0.00	0.00	0.00
		0.8·PP+1.5·T1+1.5·T2+1.5·T3+1.5·T4	N	-0.194	-0.194	-0.194	-0.194	-0.194	-0.194	-0.194	-0.194	-0.194
			Vy	0.000	0.000	0.000	0.000	0.000	0.000	0.000	0.000	0.000
			Vz	-0.107	-0.080	-0.053	-0.027	0.000	0.027	0.054	0.081	0.108
			Mt	0.00	0.00	0.00	0.00	0.00	0.00	0.00	0.00	0.00
			My	-0.08	-0.03	0.01	0.03	0.04	0.03	0.01	-0.03	-0.08
			Mz	0.00	0.00	0.00	0.00	0.00	0.00	0.00	0.00	0.00
		1.35·PP+1.5·T1+1.5·T2+1.5·T3+1.5·T4	N	-0.328	-0.328	-0.328	-0.328	-0.328	-0.328	-0.328	-0.328	-0.328
			Vy	0.000	0.000	0.000	0.000	0.000	0.000	0.000	0.000	0.000
			Vz	-0.181	-0.136	-0.090	-0.045	0.000	0.046	0.091	0.137	0.182
			Mt	0.00	0.00	0.00	0.00	0.00	0.00	0.00	0.00	0.00
			My	-0.14	-0.05	0.02	0.06	0.07	0.06	0.02	-0.05	-0.14
			Mz	0.00	0.00	0.00	0.00	0.00	0.00	0.00	0.00	0.00

Esfuerzos en barras, por combinación

Barra	Combinación		Esfuerzo	Posiciones en la barra								
	Tipo	Descripción		0.000 m	0.550 m	1.100 m	1.650 m	2.200 m	2.750 m	3.300 m	3.850 m	4.400 m
N20/N22	Acero laminado	0.8·PP	N	0.002	0.002	0.002	0.002	0.002	0.002	0.002	0.002	0.002
			Vy	0.000	0.000	0.000	0.000	0.000	0.000	0.000	0.000	0.000
			Vz	-0.103	-0.077	-0.051	-0.025	0.000	0.026	0.052	0.078	0.103
			Mt	0.00	0.00	0.00	0.00	0.00	0.00	0.00	0.00	0.00
			My	-0.07	-0.03	0.01	0.03	0.04	0.03	0.01	-0.03	-0.08
			Mz	0.00	0.00	0.00	0.00	0.00	0.00	0.00	0.00	0.00
		1.35·PP	N	0.004	0.004	0.004	0.004	0.004	0.004	0.004	0.004	0.004
			Vy	0.000	0.000	0.000	0.000	0.000	0.000	0.000	0.000	0.000
			Vz	-0.173	-0.130	-0.086	-0.043	0.000	0.044	0.087	0.131	0.174
			Mt	0.00	0.00	0.00	0.00	0.00	0.00	0.00	0.00	0.00
			My	-0.13	-0.04	0.02	0.05	0.06	0.05	0.02	-0.04	-0.13
			Mz	0.00	0.00	0.00	0.00	0.00	0.00	0.00	0.00	0.00
		0.8·PP+1.5·T1	N	-4.392	-4.392	-4.392	-4.392	-4.392	-4.392	-4.392	-4.392	-4.392
			Vy	0.000	0.000	0.000	0.000	0.000	0.000	0.000	0.000	0.000
			Vz	-0.060	-0.034	-0.008	0.018	0.043	0.069	0.095	0.121	0.146
			Mt	0.00	0.00	0.00	0.00	0.00	0.00	0.00	0.00	0.00
			My	-0.01	0.02	0.03	0.02	0.01	-0.02	-0.07	-0.13	-0.20
			Mz	0.00	0.00	0.00	0.00	0.00	0.00	0.00	0.00	0.00
		1.35·PP+1.5·T1	N	-4.391	-4.391	-4.391	-4.391	-4.391	-4.391	-4.391	-4.391	-4.391
			Vy	0.000	0.000	0.000	0.000	0.000	0.000	0.000	0.000	0.000
			Vz	-0.130	-0.087	-0.043	0.000	0.043	0.087	0.130	0.174	0.217
			Mt	0.00	0.00	0.00	0.00	0.00	0.00	0.00	0.00	0.00
			My	-0.06	0.00	0.03	0.05	0.03	0.00	-0.06	-0.15	-0.25
			Mz	0.00	0.00	0.00	0.00	0.00	0.00	0.00	0.00	0.00
		0.8·PP+1.5·T2	N	4.396	4.396	4.396	4.396	4.396	4.396	4.396	4.396	4.396
			Vy	0.000	0.000	0.000	0.000	0.000	0.000	0.000	0.000	0.000
			Vz	-0.146	-0.120	-0.094	-0.069	-0.043	-0.017	0.009	0.034	0.060
			Mt	0.00	0.00	0.00	0.00	0.00	0.00	0.00	0.00	0.00
			My	-0.14	-0.07	-0.01	0.04	0.07	0.09	0.09	0.08	0.05
			Mz	0.00	0.00	0.00	0.00	0.00	0.00	0.00	0.00	0.00
		1.35·PP+1.5·T2	N	4.398	4.398	4.398	4.398	4.398	4.398	4.398	4.398	4.398
			Vy	0.000	0.000	0.000	0.000	0.000	0.000	0.000	0.000	0.000
			Vz	-0.216	-0.173	-0.129	-0.086	-0.043	0.001	0.044	0.088	0.131
			Mt	0.00	0.00	0.00	0.00	0.00	0.00	0.00	0.00	0.00
			My	-0.19	-0.08	0.00	0.06	0.10	0.11	0.09	0.06	0.00
			Mz	0.00	0.00	0.00	0.00	0.00	0.00	0.00	0.00	0.00
		0.8·PP+1.5·T1+1.5·T2	N	0.002	0.002	0.002	0.002	0.002	0.002	0.002	0.002	0.002
			Vy	0.000	0.000	0.000	0.000	0.000	0.000	0.000	0.000	0.000
			Vz	-0.103	-0.077	-0.051	-0.025	0.000	0.026	0.052	0.078	0.103
			Mt	0.00	0.00	0.00	0.00	0.00	0.00	0.00	0.00	0.00
			My	-0.07	-0.03	0.01	0.03	0.04	0.03	0.01	-0.03	-0.08
			Mz	0.00	0.00	0.00	0.00	0.00	0.00	0.00	0.00	0.00
		1.35·PP+1.5·T1+1.5·T2	N	0.004	0.004	0.004	0.004	0.004	0.004	0.004	0.004	0.004
			Vy	0.000	0.000	0.000	0.000	0.000	0.000	0.000	0.000	0.000
			Vz	-0.173	-0.130	-0.086	-0.043	0.000	0.044	0.087	0.131	0.174
			Mt	0.00	0.00	0.00	0.00	0.00	0.00	0.00	0.00	0.00
			My	-0.13	-0.04	0.02	0.05	0.06	0.05	0.02	-0.04	-0.13
			Mz	0.00	0.00	0.00	0.00	0.00	0.00	0.00	0.00	0.00
		0.8·PP+1.5·T3	N	-13.181	-13.181	-13.181	-13.181	-13.181	-13.181	-13.181	-13.181	-13.181
			Vy	0.000	0.000	0.000	0.000	0.000	0.000	0.000	0.000	0.000
			Vz	0.026	0.052	0.078	0.104	0.129	0.155	0.181	0.207	0.233
			Mt	0.00	0.00	0.00	0.00	0.00	0.00	0.00	0.00	0.00
			My	0.12	0.10	0.06	0.01	-0.05	-0.13	-0.22	-0.33	-0.45
			Mz	0.00	0.00	0.00	0.00	0.00	0.00	0.00	0.00	0.00
		1.35·PP+1.5·T3	N	-13.179	-13.179	-13.179	-13.179	-13.179	-13.179	-13.179	-13.179	-13.179
			Vy	0.000	0.000	0.000	0.000	0.000	0.000	0.000	0.000	0.000
			Vz	-0.044	-0.001	0.043	0.086	0.129	0.173	0.217	0.260	0.304
			Mt	0.00	0.00	0.00	0.00	0.00	0.00	0.00	0.00	0.00
			My	0.07	0.08	0.07	0.03	-0.03	-0.11	-0.22	-0.35	-0.50
			Mz	0.00	0.00	0.00	0.00	0.00	0.00	0.00	0.00	0.00
		0.8·PP+1.5·T1+1.5·T3	N	-17.575	-17.575	-17.575	-17.575	-17.575	-17.575	-17.575	-17.575	-17.575
			Vy	0.000	0.000	0.000	0.000	0.000	0.000	0.000	0.000	0.000
			Vz	0.070	0.095	0.121	0.147	0.172	0.198	0.224	0.250	0.276
			Mt	0.00	0.00	0.00	0.00	0.00	0.00	0.00	0.00	0.00
			My	0.18	0.14	0.08	0.00	-0.08	-0.19	-0.30	-0.43	-0.58
			Mz	0.00	0.00	0.00	0.00	0.00	0.00	0.00	0.00	0.00
		1.35·PP+1.5·T1+1.5·T3	N	-17.574	-17.574	-17.574	-17.574	-17.574	-17.574	-17.574	-17.574	-17.574
			Vy	0.000	0.000	0.000	0.000	0.000	0.000	0.000	0.000	0.000
			Vz	-0.001	0.042	0.086	0.129	0.172	0.216	0.260	0.303	0.347
			Mt	0.00	0.00	0.00	0.00	0.00	0.00	0.00	0.00	0.00
			My	0.13	0.12	0.08	0.02	-0.06	-0.17	-0.30	-0.45	-0.63
			Mz	0.00	0.00	0.00	0.00	0.00	0.00	0.00	0.00	0.00
		0.8·PP+1.5·T2+1.5·T3	N	-8.787	-8.787	-8.787	-8.787	-8.787	-8.787	-8.787	-8.787	-8.787
			Vy	0.000	0.000	0.000	0.000	0.000	0.000	0.000	0.000	0.000
			Vz	-0.017	0.009	0.035	0.061	0.086	0.112	0.138	0.164	0.189
			Mt	0.00	0.00	0.00	0.00	0.00	0.00	0.00	0.00	0.00
			My	0.05	0.06	0.04	0.02	-0.02	-0.08	-0.15	-0.23	-0.33
			Mz	0.00	0.00	0.00	0.00	0.00	0.00	0.00	0.00	0.00
		1.35·PP+1.5·T2+1.5·T3	N	-8.785	-8.785	-8.785	-8.785	-8.785	-8.785	-8.785	-8.785	-8.785
			Vy	0.000	0.000	0.000	0.000	0.000	0.000	0.000	0.000	0.000
			Vz	-0.087	-0.044	0.000	0.043	0.086	0.130	0.174	0.217	0.260
			Mt	0.00	0.00	0.00	0.00	0.00	0.00	0.00	0.00	0.00

Esfuerzos en barras, por combinación

Barra	Combinación		Esfuerzo	Posiciones en la barra								
	Tipo	Descripción		0.000 m	0.550 m	1.100 m	1.650 m	2.200 m	2.750 m	3.300 m	3.850 m	4.400 m
			My	0.00	0.04	0.05	0.04	0.00	-0.06	-0.14	-0.25	-0.38
			Mz	0.00	0.00	0.00	0.00	0.00	0.00	0.00	0.00	0.00
		0.8·PP+1.5·T1+1.5·T2+1.5·T3	N	-13.181	-13.181	-13.181	-13.181	-13.181	-13.181	-13.181	-13.181	-13.181
			Vy	0.000	0.000	0.000	0.000	0.000	0.000	0.000	0.000	0.000
			Vz	0.026	0.052	0.078	0.104	0.129	0.155	0.181	0.207	0.233
			Mt	0.00	0.00	0.00	0.00	0.00	0.00	0.00	0.00	0.00
			My	0.12	0.10	0.06	0.01	-0.05	-0.13	-0.22	-0.33	-0.45
			Mz	0.00	0.00	0.00	0.00	0.00	0.00	0.00	0.00	0.00
		1.35·PP+1.5·T1+1.5·T2+1.5·T3	N	-13.179	-13.179	-13.179	-13.179	-13.179	-13.179	-13.179	-13.179	-13.179
			Vy	0.000	0.000	0.000	0.000	0.000	0.000	0.000	0.000	0.000
			Vz	-0.044	-0.001	0.043	0.086	0.129	0.173	0.217	0.260	0.304
			Mt	0.00	0.00	0.00	0.00	0.00	0.00	0.00	0.00	0.00
			My	0.07	0.08	0.07	0.03	-0.03	-0.11	-0.22	-0.35	-0.50
			Mz	0.00	0.00	0.00	0.00	0.00	0.00	0.00	0.00	0.00
		0.8·PP+1.5·T4	N	13.185	13.185	13.185	13.185	13.185	13.185	13.185	13.185	13.185
			Vy	0.000	0.000	0.000	0.000	0.000	0.000	0.000	0.000	0.000
			Vz	-0.232	-0.206	-0.180	-0.155	-0.129	-0.103	-0.077	-0.052	-0.026
			Mt	0.00	0.00	0.00	0.00	0.00	0.00	0.00	0.00	0.00
			My	-0.27	-0.15	-0.04	0.05	0.13	0.19	0.24	0.28	0.30
			Mz	0.00	0.00	0.00	0.00	0.00	0.00	0.00	0.00	0.00
		1.35·PP+1.5·T4	N	13.186	13.186	13.186	13.186	13.186	13.186	13.186	13.186	13.186
			Vy	0.000	0.000	0.000	0.000	0.000	0.000	0.000	0.000	0.000
			Vz	-0.303	-0.259	-0.216	-0.172	-0.129	-0.085	-0.042	0.002	0.045
			Mt	0.00	0.00	0.00	0.00	0.00	0.00	0.00	0.00	0.00
			My	-0.32	-0.16	-0.03	0.07	0.16	0.22	0.25	0.26	0.25
			Mz	0.00	0.00	0.00	0.00	0.00	0.00	0.00	0.00	0.00
		0.8·PP+1.5·T1+1.5·T4	N	8.791	8.791	8.791	8.791	8.791	8.791	8.791	8.791	8.791
			Vy	0.000	0.000	0.000	0.000	0.000	0.000	0.000	0.000	0.000
			Vz	-0.189	-0.163	-0.137	-0.112	-0.086	-0.060	-0.034	-0.009	0.017
			Mt	0.00	0.00	0.00	0.00	0.00	0.00	0.00	0.00	0.00
			My	-0.20	-0.11	-0.02	0.05	0.10	0.14	0.17	0.18	0.18
			Mz	0.00	0.00	0.00	0.00	0.00	0.00	0.00	0.00	0.00
		1.35·PP+1.5·T1+1.5·T4	N	8.792	8.792	8.792	8.792	8.792	8.792	8.792	8.792	8.792
			Vy	0.000	0.000	0.000	0.000	0.000	0.000	0.000	0.000	0.000
			Vz	-0.259	-0.216	-0.173	-0.129	-0.086	-0.042	0.001	0.045	0.088
			Mt	0.00	0.00	0.00	0.00	0.00	0.00	0.00	0.00	0.00
			My	-0.25	-0.12	-0.02	0.07	0.13	0.16	0.17	0.16	0.12
			Mz	0.00	0.00	0.00	0.00	0.00	0.00	0.00	0.00	0.00
		0.8·PP+1.5·T2+1.5·T4	N	17.579	17.579	17.579	17.579	17.579	17.579	17.579	17.579	17.579
			Vy	0.000	0.000	0.000	0.000	0.000	0.000	0.000	0.000	0.000
			Vz	-0.275	-0.249	-0.224	-0.198	-0.172	-0.146	-0.120	-0.095	-0.069
			Mt	0.00	0.00	0.00	0.00	0.00	0.00	0.00	0.00	0.00
			My	-0.33	-0.19	-0.06	0.06	0.16	0.25	0.32	0.38	0.43
			Mz	0.00	0.00	0.00	0.00	0.00	0.00	0.00	0.00	0.00
		1.35·PP+1.5·T2+1.5·T4	N	17.581	17.581	17.581	17.581	17.581	17.581	17.581	17.581	17.581
			Vy	0.000	0.000	0.000	0.000	0.000	0.000	0.000	0.000	0.000
			Vz	-0.346	-0.302	-0.259	-0.215	-0.172	-0.128	-0.085	-0.041	0.002
			Mt	0.00	0.00	0.00	0.00	0.00	0.00	0.00	0.00	0.00
			My	-0.38	-0.20	-0.05	0.08	0.19	0.27	0.33	0.36	0.37
			Mz	0.00	0.00	0.00	0.00	0.00	0.00	0.00	0.00	0.00
		0.8·PP+1.5·T1+1.5·T2+1.5·T4	N	13.185	13.185	13.185	13.185	13.185	13.185	13.185	13.185	13.185
			Vy	0.000	0.000	0.000	0.000	0.000	0.000	0.000	0.000	0.000
			Vz	-0.232	-0.206	-0.180	-0.155	-0.129	-0.103	-0.077	-0.052	-0.026
			Mt	0.00	0.00	0.00	0.00	0.00	0.00	0.00	0.00	0.00
			My	-0.27	-0.15	-0.04	0.05	0.13	0.19	0.24	0.28	0.30
			Mz	0.00	0.00	0.00	0.00	0.00	0.00	0.00	0.00	0.00
		1.35·PP+1.5·T1+1.5·T2+1.5·T4	N	13.186	13.186	13.186	13.186	13.186	13.186	13.186	13.186	13.186
			Vy	0.000	0.000	0.000	0.000	0.000	0.000	0.000	0.000	0.000
			Vz	-0.303	-0.259	-0.216	-0.172	-0.129	-0.085	-0.042	0.002	0.045
			Mt	0.00	0.00	0.00	0.00	0.00	0.00	0.00	0.00	0.00
			My	-0.32	-0.16	-0.03	0.07	0.16	0.22	0.25	0.26	0.25
			Mz	0.00	0.00	0.00	0.00	0.00	0.00	0.00	0.00	0.00
		0.8·PP+1.5·T3+1.5·T4	N	0.002	0.002	0.002	0.002	0.002	0.002	0.002	0.002	0.002
			Vy	0.000	0.000	0.000	0.000	0.000	0.000	0.000	0.000	0.000
			Vz	-0.103	-0.077	-0.051	-0.025	0.000	0.026	0.052	0.078	0.103
			Mt	0.00	0.00	0.00	0.00	0.00	0.00	0.00	0.00	0.00
			My	-0.07	-0.03	0.01	0.03	0.04	0.03	0.01	-0.03	-0.08
			Mz	0.00	0.00	0.00	0.00	0.00	0.00	0.00	0.00	0.00
		1.35·PP+1.5·T3+1.5·T4	N	0.004	0.004	0.004	0.004	0.004	0.004	0.004	0.004	0.004
			Vy	0.000	0.000	0.000	0.000	0.000	0.000	0.000	0.000	0.000
			Vz	-0.173	-0.130	-0.086	-0.043	0.000	0.044	0.087	0.131	0.174
			Mt	0.00	0.00	0.00	0.00	0.00	0.00	0.00	0.00	0.00
			My	-0.13	-0.04	0.02	0.05	0.06	0.05	0.02	-0.04	-0.13
			Mz	0.00	0.00	0.00	0.00	0.00	0.00	0.00	0.00	0.00
		0.8·PP+1.5·T1+1.5·T3+1.5·T4	N	-4.392	-4.392	-4.392	-4.392	-4.392	-4.392	-4.392	-4.392	-4.392
			Vy	0.000	0.000	0.000	0.000	0.000	0.000	0.000	0.000	0.000
			Vz	-0.060	-0.034	-0.008	0.018	0.043	0.069	0.095	0.121	0.146
			Mt	0.00	0.00	0.00	0.00	0.00	0.00	0.00	0.00	0.00
			My	-0.01	0.02	0.03	0.02	0.01	-0.02	-0.07	-0.13	-0.20
			Mz	0.00	0.00	0.00	0.00	0.00	0.00	0.00	0.00	0.00
		1.35·PP+1.5·T1+1.5·T3+1.5·T4	N	-4.391	-4.391	-4.391	-4.391	-4.391	-4.391	-4.391	-4.391	-4.391
			Vy	0.000	0.000	0.000	0.000	0.000	0.000	0.000	0.000	0.000

Esfuerzos en barras, por combinación												
Barra	Combinación		Esfuerzo	Posiciones en la barra								
	Tipo	Descripción		0.000 m	0.550 m	1.100 m	1.650 m	2.200 m	2.750 m	3.300 m	3.850 m	4.400 m
			Vz	-0.130	-0.087	-0.043	0.000	0.043	0.087	0.130	0.174	0.217
			Mt	0.00	0.00	0.00	0.00	0.00	0.00	0.00	0.00	0.00
			My	-0.06	0.00	0.03	0.05	0.03	0.00	-0.06	-0.15	-0.25
			Mz	0.00	0.00	0.00	0.00	0.00	0.00	0.00	0.00	0.00
		0.8·PP+1.5·T2+1.5·T3+1.5·T4	N	4.396	4.396	4.396	4.396	4.396	4.396	4.396	4.396	4.396
			Vy	0.000	0.000	0.000	0.000	0.000	0.000	0.000	0.000	0.000
			Vz	-0.146	-0.120	-0.094	-0.069	-0.043	-0.017	0.009	0.034	0.060
			Mt	0.00	0.00	0.00	0.00	0.00	0.00	0.00	0.00	0.00
			My	-0.14	-0.07	-0.01	0.04	0.07	0.09	0.09	0.08	0.05
			Mz	0.00	0.00	0.00	0.00	0.00	0.00	0.00	0.00	0.00
		1.35·PP+1.5·T2+1.5·T3+1.5·T4	N	4.398	4.398	4.398	4.398	4.398	4.398	4.398	4.398	4.398
			Vy	0.000	0.000	0.000	0.000	0.000	0.000	0.000	0.000	0.000
			Vz	-0.216	-0.173	-0.129	-0.086	-0.043	0.001	0.044	0.088	0.131
			Mt	0.00	0.00	0.00	0.00	0.00	0.00	0.00	0.00	0.00
			My	-0.19	-0.08	0.00	0.06	0.10	0.11	0.09	0.06	0.00
			Mz	0.00	0.00	0.00	0.00	0.00	0.00	0.00	0.00	0.00
		0.8·PP+1.5·T1+1.5·T2+1.5·T3+1.5·T4	N	0.002	0.002	0.002	0.002	0.002	0.002	0.002	0.002	0.002
			Vy	0.000	0.000	0.000	0.000	0.000	0.000	0.000	0.000	0.000
			Vz	-0.103	-0.077	-0.051	-0.025	0.000	0.026	0.052	0.078	0.103
			Mt	0.00	0.00	0.00	0.00	0.00	0.00	0.00	0.00	0.00
			My	-0.07	-0.03	0.01	0.03	0.04	0.03	0.01	-0.03	-0.08
			Mz	0.00	0.00	0.00	0.00	0.00	0.00	0.00	0.00	0.00
		1.35·PP+1.5·T1+1.5·T2+1.5·T3+1.5·T4	N	0.004	0.004	0.004	0.004	0.004	0.004	0.004	0.004	0.004
			Vy	0.000	0.000	0.000	0.000	0.000	0.000	0.000	0.000	0.000
			Vz	-0.173	-0.130	-0.086	-0.043	0.000	0.044	0.087	0.131	0.174
			Mt	0.00	0.00	0.00	0.00	0.00	0.00	0.00	0.00	0.00
			My	-0.13	-0.04	0.02	0.05	0.06	0.05	0.02	-0.04	-0.13
			Mz	0.00	0.00	0.00	0.00	0.00	0.00	0.00	0.00	0.00

Esfuerzos en barras, por combinación												
Barra	Combinación		Esfuerzo	Posiciones en la barra								
	Tipo	Descripción		0.000 m	0.525 m	1.050 m	1.575 m	2.100 m	2.625 m	3.150 m	3.675 m	4.200 m
N22/N24	Acero laminado	0.8·PP	N	-0.006	-0.006	-0.006	-0.006	-0.006	-0.006	-0.006	-0.006	-0.006
			Vy	0.000	0.000	0.000	0.000	0.000	0.000	0.000	0.000	0.000
			Vz	-0.099	-0.074	-0.050	-0.025	0.000	0.024	0.049	0.073	0.098
			Mt	0.00	0.00	0.00	0.00	0.00	0.00	0.00	0.00	0.00
			My	-0.07	-0.02	0.01	0.03	0.03	0.03	0.01	-0.02	-0.07
			Mz	0.00	0.00	0.00	0.00	0.00	0.00	0.00	0.00	0.00
		1.35·PP	N	-0.009	-0.009	-0.009	-0.009	-0.009	-0.009	-0.009	-0.009	-0.009
			Vy	0.000	0.000	0.000	0.000	0.000	0.000	0.000	0.000	0.000
			Vz	-0.167	-0.125	-0.084	-0.042	0.000	0.041	0.082	0.124	0.165
			Mt	0.00	0.00	0.00	0.00	0.00	0.00	0.00	0.00	0.00
			My	-0.12	-0.04	0.01	0.05	0.06	0.05	0.02	-0.04	-0.11
			Mz	0.00	0.00	0.00	0.00	0.00	0.00	0.00	0.00	0.00
		0.8·PP+1.5·T1	N	-2.367	-2.367	-2.367	-2.367	-2.367	-2.367	-2.367	-2.367	-2.367
			Vy	0.000	0.000	0.000	0.000	0.000	0.000	0.000	0.000	0.000
			Vz	0.003	0.027	0.052	0.076	0.101	0.126	0.150	0.175	0.199
			Mt	0.00	0.00	0.00	0.00	0.00	0.00	0.00	0.00	0.00
			My	0.14	0.13	0.11	0.07	0.03	-0.03	-0.10	-0.19	-0.29
			Mz	0.00	0.00	0.00	0.00	0.00	0.00	0.00	0.00	0.00
		1.35·PP+1.5·T1	N	-2.370	-2.370	-2.370	-2.370	-2.370	-2.370	-2.370	-2.370	-2.370
			Vy	0.000	0.000	0.000	0.000	0.000	0.000	0.000	0.000	0.000
			Vz	-0.065	-0.024	0.018	0.059	0.101	0.142	0.184	0.225	0.266
			Mt	0.00	0.00	0.00	0.00	0.00	0.00	0.00	0.00	0.00
			My	0.09	0.11	0.11	0.09	0.05	-0.01	-0.10	-0.20	-0.33
			Mz	0.00	0.00	0.00	0.00	0.00	0.00	0.00	0.00	0.00
		0.8·PP+1.5·T2	N	2.356	2.356	2.356	2.356	2.356	2.356	2.356	2.356	2.356
			Vy	0.000	0.000	0.000	0.000	0.000	0.000	0.000	0.000	0.000
			Vz	-0.200	-0.176	-0.151	-0.127	-0.101	-0.077	-0.053	-0.028	-0.004
			Mt	0.00	0.00	0.00	0.00	0.00	0.00	0.00	0.00	0.00
			My	-0.28	-0.18	-0.09	-0.02	0.04	0.09	0.12	0.14	0.15
			Mz	0.00	0.00	0.00	0.00	0.00	0.00	0.00	0.00	0.00
		1.35·PP+1.5·T2	N	2.352	2.352	2.352	2.352	2.352	2.352	2.352	2.352	2.352
			Vy	0.000	0.000	0.000	0.000	0.000	0.000	0.000	0.000	0.000
			Vz	-0.268	-0.227	-0.185	-0.144	-0.101	-0.061	-0.019	0.022	0.064
			Mt	0.00	0.00	0.00	0.00	0.00	0.00	0.00	0.00	0.00
			My	-0.33	-0.20	-0.09	0.00	0.06	0.11	0.13	0.13	0.11
			Mz	0.00	0.00	0.00	0.00	0.00	0.00	0.00	0.00	0.00
		0.8·PP+1.5·T1+1.5·T2	N	-0.006	-0.006	-0.006	-0.006	-0.006	-0.006	-0.006	-0.006	-0.006
			Vy	0.000	0.000	0.000	0.000	0.000	0.000	0.000	0.000	0.000
			Vz	-0.099	-0.074	-0.050	-0.025	0.000	0.024	0.049	0.073	0.098
			Mt	0.00	0.00	0.00	0.00	0.00	0.00	0.00	0.00	0.00
			My	-0.07	-0.02	0.01	0.03	0.03	0.03	0.01	-0.02	-0.07
			Mz	0.00	0.00	0.00	0.00	0.00	0.00	0.00	0.00	0.00
		1.35·PP+1.5·T1+1.5·T2	N	-0.009	-0.009	-0.009	-0.009	-0.009	-0.009	-0.009	-0.009	-0.009
			Vy	0.000	0.000	0.000	0.000	0.000	0.000	0.000	0.000	0.000
			Vz	-0.167	-0.125	-0.084	-0.042	0.000	0.041	0.082	0.124	0.165
			Mt	0.00	0.00	0.00	0.00	0.00	0.00	0.00	0.00	0.00
			My	-0.12	-0.04	0.01	0.05	0.06	0.05	0.02	-0.04	-0.11
			Mz	0.00	0.00	0.00	0.00	0.00	0.00	0.00	0.00	0.00
		0.8·PP+1.5·T3	N	-7.089	-7.089	-7.089	-7.089	-7.089	-7.089	-7.089	-7.089	-7.089

Esfuerzos en barras, por combinación

Barra	Combinación		Esfuerzo	Posiciones en la barra								
	Tipo	Descripción		0.000 m	0.525 m	1.050 m	1.575 m	2.100 m	2.625 m	3.150 m	3.675 m	4.200 m
			Vy	0.000	0.000	0.000	0.000	0.000	0.000	0.000	0.000	0.000
			Vz	0.206	0.230	0.255	0.279	0.304	0.329	0.353	0.378	0.402
			Mt	0.00	0.00	0.00	0.00	0.00	0.00	0.00	0.00	0.00
			My	0.55	0.44	0.31	0.17	0.02	-0.15	-0.33	-0.52	-0.73
			Mz	0.00	0.00	0.00	0.00	0.00	0.00	0.00	0.00	0.00
		1.35·PP+1.5·T3	N	-7.093	-7.093	-7.093	-7.093	-7.093	-7.093	-7.093	-7.093	-7.093
			Vy	0.000	0.000	0.000	0.000	0.000	0.000	0.000	0.000	0.000
			Vz	0.138	0.179	0.221	0.262	0.304	0.345	0.387	0.428	0.469
			Mt	0.00	0.00	0.00	0.00	0.00	0.00	0.00	0.00	0.00
			My	0.50	0.42	0.32	0.19	0.04	-0.13	-0.32	-0.54	-0.77
			Mz	0.00	0.00	0.00	0.00	0.00	0.00	0.00	0.00	0.00
		0.8·PP+1.5·T1+1.5·T3	N	-9.450	-9.450	-9.450	-9.450	-9.450	-9.450	-9.450	-9.450	-9.450
			Vy	0.000	0.000	0.000	0.000	0.000	0.000	0.000	0.000	0.000
			Vz	0.307	0.332	0.356	0.381	0.406	0.430	0.455	0.479	0.504
			Mt	0.00	0.00	0.00	0.00	0.00	0.00	0.00	0.00	0.00
			My	0.76	0.59	0.41	0.22	0.01	-0.21	-0.44	-0.69	-0.94
			Mz	0.00	0.00	0.00	0.00	0.00	0.00	0.00	0.00	0.00
		1.35·PP+1.5·T1+1.5·T3	N	-9.454	-9.454	-9.454	-9.454	-9.454	-9.454	-9.454	-9.454	-9.454
			Vy	0.000	0.000	0.000	0.000	0.000	0.000	0.000	0.000	0.000
			Vz	0.239	0.281	0.322	0.364	0.406	0.447	0.488	0.529	0.571
			Mt	0.00	0.00	0.00	0.00	0.00	0.00	0.00	0.00	0.00
			My	0.71	0.57	0.42	0.24	0.03	-0.19	-0.43	-0.70	-0.99
			Mz	0.00	0.00	0.00	0.00	0.00	0.00	0.00	0.00	0.00
		0.8·PP+1.5·T2+1.5·T3	N	-4.728	-4.728	-4.728	-4.728	-4.728	-4.728	-4.728	-4.728	-4.728
			Vy	0.000	0.000	0.000	0.000	0.000	0.000	0.000	0.000	0.000
			Vz	0.104	0.129	0.153	0.178	0.203	0.227	0.252	0.276	0.301
			Mt	0.00	0.00	0.00	0.00	0.00	0.00	0.00	0.00	0.00
			My	0.34	0.28	0.21	0.12	0.02	-0.09	-0.22	-0.35	-0.51
			Mz	0.00	0.00	0.00	0.00	0.00	0.00	0.00	0.00	0.00
		1.35·PP+1.5·T2+1.5·T3	N	-4.732	-4.732	-4.732	-4.732	-4.732	-4.732	-4.732	-4.732	-4.732
			Vy	0.000	0.000	0.000	0.000	0.000	0.000	0.000	0.000	0.000
			Vz	0.036	0.078	0.119	0.161	0.203	0.244	0.285	0.327	0.368
			Mt	0.00	0.00	0.00	0.00	0.00	0.00	0.00	0.00	0.00
			My	0.30	0.27	0.21	0.14	0.05	-0.07	-0.21	-0.37	-0.55
			Mz	0.00	0.00	0.00	0.00	0.00	0.00	0.00	0.00	0.00
		0.8·PP+1.5·T1+1.5·T2+1.5·T3	N	-7.089	-7.089	-7.089	-7.089	-7.089	-7.089	-7.089	-7.089	-7.089
			Vy	0.000	0.000	0.000	0.000	0.000	0.000	0.000	0.000	0.000
			Vz	0.206	0.230	0.255	0.279	0.304	0.329	0.353	0.378	0.402
			Mt	0.00	0.00	0.00	0.00	0.00	0.00	0.00	0.00	0.00
			My	0.55	0.44	0.31	0.17	0.02	-0.15	-0.33	-0.52	-0.73
			Mz	0.00	0.00	0.00	0.00	0.00	0.00	0.00	0.00	0.00
		1.35·PP+1.5·T1+1.5·T2+1.5·T3	N	-7.093	-7.093	-7.093	-7.093	-7.093	-7.093	-7.093	-7.093	-7.093
			Vy	0.000	0.000	0.000	0.000	0.000	0.000	0.000	0.000	0.000
			Vz	0.138	0.179	0.221	0.262	0.304	0.345	0.387	0.428	0.469
			Mt	0.00	0.00	0.00	0.00	0.00	0.00	0.00	0.00	0.00
			My	0.50	0.42	0.32	0.19	0.04	-0.13	-0.32	-0.54	-0.77
			Mz	0.00	0.00	0.00	0.00	0.00	0.00	0.00	0.00	0.00
		0.8·PP+1.5·T4	N	7.078	7.078	7.078	7.078	7.078	7.078	7.078	7.078	7.078
			Vy	0.000	0.000	0.000	0.000	0.000	0.000	0.000	0.000	0.000
			Vz	-0.403	-0.379	-0.354	-0.330	-0.304	-0.280	-0.256	-0.231	-0.207
			Mt	0.00	0.00	0.00	0.00	0.00	0.00	0.00	0.00	0.00
			My	-0.69	-0.49	-0.29	-0.11	0.05	0.21	0.35	0.48	0.59
			Mz	0.00	0.00	0.00	0.00	0.00	0.00	0.00	0.00	0.00
		1.35·PP+1.5·T4	N	7.074	7.074	7.074	7.074	7.074	7.074	7.074	7.074	7.074
			Vy	0.000	0.000	0.000	0.000	0.000	0.000	0.000	0.000	0.000
			Vz	-0.471	-0.430	-0.388	-0.347	-0.304	-0.264	-0.222	-0.181	-0.139
			Mt	0.00	0.00	0.00	0.00	0.00	0.00	0.00	0.00	0.00
			My	-0.74	-0.50	-0.29	-0.09	0.08	0.23	0.35	0.46	0.54
			Mz	0.00	0.00	0.00	0.00	0.00	0.00	0.00	0.00	0.00
		0.8·PP+1.5·T1+1.5·T4	N	4.717	4.717	4.717	4.717	4.717	4.717	4.717	4.717	4.717
			Vy	0.000	0.000	0.000	0.000	0.000	0.000	0.000	0.000	0.000
			Vz	-0.302	-0.277	-0.253	-0.228	-0.203	-0.179	-0.154	-0.130	-0.105
			Mt	0.00	0.00	0.00	0.00	0.00	0.00	0.00	0.00	0.00
			My	-0.48	-0.33	-0.19	-0.07	0.05	0.15	0.23	0.31	0.37
			Mz	0.00	0.00	0.00	0.00	0.00	0.00	0.00	0.00	0.00
		1.35·PP+1.5·T1+1.5·T4	N	4.713	4.713	4.713	4.713	4.713	4.713	4.713	4.713	4.713
			Vy	0.000	0.000	0.000	0.000	0.000	0.000	0.000	0.000	0.000
			Vz	-0.370	-0.328	-0.287	-0.245	-0.203	-0.162	-0.121	-0.079	-0.038
			Mt	0.00	0.00	0.00	0.00	0.00	0.00	0.00	0.00	0.00
			My	-0.53	-0.35	-0.19	-0.05	0.07	0.17	0.24	0.29	0.32
			Mz	0.00	0.00	0.00	0.00	0.00	0.00	0.00	0.00	0.00
		0.8·PP+1.5·T2+1.5·T4	N	9.439	9.439	9.439	9.439	9.439	9.439	9.439	9.439	9.439
			Vy	0.000	0.000	0.000	0.000	0.000	0.000	0.000	0.000	0.000
			Vz	-0.505	-0.480	-0.456	-0.431	-0.406	-0.382	-0.357	-0.333	-0.308
			Mt	0.00	0.00	0.00	0.00	0.00	0.00	0.00	0.00	0.00
			My	-0.90	-0.64	-0.39	-0.16	0.06	0.27	0.46	0.64	0.81
			Mz	0.00	0.00	0.00	0.00	0.00	0.00	0.00	0.00	0.00
		1.35·PP+1.5·T2+1.5·T4	N	9.435	9.435	9.435	9.435	9.435	9.435	9.435	9.435	9.435
			Vy	0.000	0.000	0.000	0.000	0.000	0.000	0.000	0.000	0.000
			Vz	-0.573	-0.531	-0.490	-0.448	-0.406	-0.365	-0.324	-0.282	-0.241
			Mt	0.00	0.00	0.00	0.00	0.00	0.00	0.00	0.00	0.00
			My	-0.95	-0.66	-0.39	-0.14	0.08	0.29	0.47	0.63	0.76

Esfuerzos en barras, por combinación

Barra	Combinación		Esfuerzo	Posiciones en la barra								
	Tipo	Descripción		0.000 m	0.525 m	1.050 m	1.575 m	2.100 m	2.625 m	3.150 m	3.675 m	4.200 m
			Mz	0.00	0.00	0.00	0.00	0.00	0.00	0.00	0.00	0.00
		0.8·PP+1.5·T1+1.5·T2+1.5·T4	N	7.078	7.078	7.078	7.078	7.078	7.078	7.078	7.078	7.078
			Vy	0.000	0.000	0.000	0.000	0.000	0.000	0.000	0.000	0.000
			Vz	-0.403	-0.379	-0.354	-0.330	-0.304	-0.280	-0.256	-0.231	-0.207
			Mt	0.00	0.00	0.00	0.00	0.00	0.00	0.00	0.00	0.00
			My	-0.69	-0.49	-0.29	-0.11	0.05	0.21	0.35	0.48	0.59
			Mz	0.00	0.00	0.00	0.00	0.00	0.00	0.00	0.00	0.00
		1.35·PP+1.5·T1+1.5·T2+1.5·T4	N	7.074	7.074	7.074	7.074	7.074	7.074	7.074	7.074	7.074
			Vy	0.000	0.000	0.000	0.000	0.000	0.000	0.000	0.000	0.000
			Vz	-0.471	-0.430	-0.388	-0.347	-0.304	-0.264	-0.222	-0.181	-0.139
			Mt	0.00	0.00	0.00	0.00	0.00	0.00	0.00	0.00	0.00
			My	-0.74	-0.50	-0.29	-0.09	0.08	0.23	0.35	0.46	0.54
			Mz	0.00	0.00	0.00	0.00	0.00	0.00	0.00	0.00	0.00
		0.8·PP+1.5·T3+1.5·T4	N	-0.006	-0.006	-0.006	-0.006	-0.006	-0.006	-0.006	-0.006	-0.006
			Vy	0.000	0.000	0.000	0.000	0.000	0.000	0.000	0.000	0.000
			Vz	-0.099	-0.074	-0.050	-0.025	0.000	0.024	0.049	0.073	0.098
			Mt	0.00	0.00	0.00	0.00	0.00	0.00	0.00	0.00	0.00
			My	-0.07	-0.02	0.01	0.03	0.03	0.03	0.01	-0.02	-0.07
			Mz	0.00	0.00	0.00	0.00	0.00	0.00	0.00	0.00	0.00
		1.35·PP+1.5·T3+1.5·T4	N	-0.009	-0.009	-0.009	-0.009	-0.009	-0.009	-0.009	-0.009	-0.009
			Vy	0.000	0.000	0.000	0.000	0.000	0.000	0.000	0.000	0.000
			Vz	-0.167	-0.125	-0.084	-0.042	0.000	0.041	0.082	0.124	0.165
			Mt	0.00	0.00	0.00	0.00	0.00	0.00	0.00	0.00	0.00
			My	-0.12	-0.04	0.01	0.05	0.06	0.05	0.02	-0.04	-0.11
			Mz	0.00	0.00	0.00	0.00	0.00	0.00	0.00	0.00	0.00
		0.8·PP+1.5·T1+1.5·T3+1.5·T4	N	-2.367	-2.367	-2.367	-2.367	-2.367	-2.367	-2.367	-2.367	-2.367
			Vy	0.000	0.000	0.000	0.000	0.000	0.000	0.000	0.000	0.000
			Vz	0.003	0.027	0.052	0.076	0.101	0.126	0.150	0.175	0.199
			Mt	0.00	0.00	0.00	0.00	0.00	0.00	0.00	0.00	0.00
			My	0.14	0.13	0.11	0.07	0.03	-0.03	-0.10	-0.19	-0.29
			Mz	0.00	0.00	0.00	0.00	0.00	0.00	0.00	0.00	0.00
		1.35·PP+1.5·T1+1.5·T3+1.5·T4	N	-2.370	-2.370	-2.370	-2.370	-2.370	-2.370	-2.370	-2.370	-2.370
			Vy	0.000	0.000	0.000	0.000	0.000	0.000	0.000	0.000	0.000
			Vz	-0.065	-0.024	0.018	0.059	0.101	0.142	0.184	0.225	0.266
			Mt	0.00	0.00	0.00	0.00	0.00	0.00	0.00	0.00	0.00
			My	0.09	0.11	0.11	0.09	0.05	-0.01	-0.10	-0.20	-0.33
			Mz	0.00	0.00	0.00	0.00	0.00	0.00	0.00	0.00	0.00
		0.8·PP+1.5·T2+1.5·T3+1.5·T4	N	2.356	2.356	2.356	2.356	2.356	2.356	2.356	2.356	2.356
			Vy	0.000	0.000	0.000	0.000	0.000	0.000	0.000	0.000	0.000
			Vz	-0.200	-0.176	-0.151	-0.127	-0.101	-0.077	-0.053	-0.028	-0.004
			Mt	0.00	0.00	0.00	0.00	0.00	0.00	0.00	0.00	0.00
			My	-0.28	-0.18	-0.09	-0.02	0.04	0.09	0.12	0.14	0.15
			Mz	0.00	0.00	0.00	0.00	0.00	0.00	0.00	0.00	0.00
		1.35·PP+1.5·T2+1.5·T3+1.5·T4	N	2.352	2.352	2.352	2.352	2.352	2.352	2.352	2.352	2.352
			Vy	0.000	0.000	0.000	0.000	0.000	0.000	0.000	0.000	0.000
			Vz	-0.268	-0.227	-0.185	-0.144	-0.101	-0.061	-0.019	0.022	0.064
			Mt	0.00	0.00	0.00	0.00	0.00	0.00	0.00	0.00	0.00
			My	-0.33	-0.20	-0.09	0.00	0.06	0.11	0.13	0.13	0.11
			Mz	0.00	0.00	0.00	0.00	0.00	0.00	0.00	0.00	0.00
		0.8·PP+1.5·T1+1.5·T2+1.5·T3+1.5·T4	N	-0.006	-0.006	-0.006	-0.006	-0.006	-0.006	-0.006	-0.006	-0.006
			Vy	0.000	0.000	0.000	0.000	0.000	0.000	0.000	0.000	0.000
			Vz	-0.099	-0.074	-0.050	-0.025	0.000	0.024	0.049	0.073	0.098
			Mt	0.00	0.00	0.00	0.00	0.00	0.00	0.00	0.00	0.00
			My	-0.07	-0.02	0.01	0.03	0.03	0.03	0.01	-0.02	-0.07
			Mz	0.00	0.00	0.00	0.00	0.00	0.00	0.00	0.00	0.00
		1.35·PP+1.5·T1+1.5·T2+1.5·T3+1.5·T4	N	-0.009	-0.009	-0.009	-0.009	-0.009	-0.009	-0.009	-0.009	-0.009
			Vy	0.000	0.000	0.000	0.000	0.000	0.000	0.000	0.000	0.000
			Vz	-0.167	-0.125	-0.084	-0.042	0.000	0.041	0.082	0.124	0.165
			Mt	0.00	0.00	0.00	0.00	0.00	0.00	0.00	0.00	0.00
			My	-0.12	-0.04	0.01	0.05	0.06	0.05	0.02	-0.04	-0.11
			Mz	0.00	0.00	0.00	0.00	0.00	0.00	0.00	0.00	0.00

Esfuerzos en barras, por combinación

Barra	Combinación		Esfuerzo	Posiciones en la barra								
	Tipo	Descripción		0.000 m	0.800 m	1.600 m	2.400 m	3.200 m	4.000 m	4.800 m	5.600 m	6.400 m
N25/N27	Hormigón	PP	N	-3.900	-3.900	-3.900	-3.900	-3.900	-3.900	-3.900	-3.900	-3.900
			Vy	0.000	0.000	0.000	0.000	0.000	0.000	0.000	0.000	0.000
			Vz	-9.185	-6.831	-4.477	-2.122	0.232	2.587	4.941	7.295	9.650
			Mt	0.00	0.00	0.00	0.00	0.00	0.00	0.00	0.00	0.00
			My	-9.08	-2.67	1.85	4.49	5.24	4.12	1.11	-3.79	-10.57
			Mz	0.00	0.00	0.00	0.00	0.00	0.00	0.00	0.00	0.00
		1.35·PP	N	-5.265	-5.265	-5.265	-5.265	-5.265	-5.265	-5.265	-5.265	-5.265
			Vy	0.000	0.000	0.000	0.000	0.000	0.000	0.000	0.000	0.000
			Vz	-12.400	-9.222	-6.043	-2.865	0.313	3.492	6.670	9.849	13.027
			Mt	0.00	0.00	0.00	0.00	0.00	0.00	0.00	0.00	0.00
			My	-12.26	-3.61	2.50	6.06	7.08	5.56	1.49	-5.12	-14.27
			Mz	0.00	0.00	0.00	0.00	0.00	0.00	0.00	0.00	0.00
		PP+1.5·T1	N	-102.668	-102.668	-102.668	-102.668	-102.668	-102.668	-102.668	-102.668	-102.668
			Vy	0.000	0.000	0.000	0.000	0.000	0.000	0.000	0.000	0.000
			Vz	-15.138	-12.784	-10.429	-8.075	-5.720	-3.366	-1.012	1.343	3.697
			Mt	0.00	0.00	0.00	0.00	0.00	0.00	0.00	0.00	0.00

Esfuerzos en barras, por combinación

Barra	Combinación		Esfuerzo	Posiciones en la barra								
	Tipo	Descripción		0.000 m	0.800 m	1.600 m	2.400 m	3.200 m	4.000 m	4.800 m	5.600 m	6.400 m
			My	-30.13	-18.96	-9.67	-2.27	3.25	6.88	8.63	8.50	6.48
			Mz	0.00	0.00	0.00	0.00	0.00	0.00	0.00	0.00	0.00
		1.35·PP+1.5·T1	N	-104.033	-104.033	-104.033	-104.033	-104.033	-104.033	-104.033	-104.033	-104.033
			Vy	0.000	0.000	0.000	0.000	0.000	0.000	0.000	0.000	0.000
			Vz	-18.353	-15.174	-11.996	-8.818	-5.639	-2.461	0.718	3.896	7.075
			Mt	0.00	0.00	0.00	0.00	0.00	0.00	0.00	0.00	0.00
			My	-33.30	-19.89	-9.03	-0.70	5.08	8.32	9.02	7.17	2.79
			Mz	0.00	0.00	0.00	0.00	0.00	0.00	0.00	0.00	0.00
		PP+1.5·T2	N	94.867	94.867	94.867	94.867	94.867	94.867	94.867	94.867	94.867
			Vy	0.000	0.000	0.000	0.000	0.000	0.000	0.000	0.000	0.000
			Vz	-3.233	-0.878	1.476	3.830	6.185	8.539	10.894	13.248	15.602
			Mt	0.00	0.00	0.00	0.00	0.00	0.00	0.00	0.00	0.00
			My	11.96	13.61	13.37	11.25	7.24	1.35	-6.42	-16.08	-27.62
			Mz	0.00	0.00	0.00	0.00	0.00	0.00	0.00	0.00	0.00
		1.35·PP+1.5·T2	N	93.502	93.502	93.502	93.502	93.502	93.502	93.502	93.502	93.502
			Vy	0.000	0.000	0.000	0.000	0.000	0.000	0.000	0.000	0.000
			Vz	-6.448	-3.269	-0.091	3.088	6.266	9.445	12.623	15.801	18.980
			Mt	0.00	0.00	0.00	0.00	0.00	0.00	0.00	0.00	0.00
			My	8.79	12.67	14.02	12.82	9.08	2.79	-6.03	-17.40	-31.32
			Mz	0.00	0.00	0.00	0.00	0.00	0.00	0.00	0.00	0.00
		PP+1.5·T1+1.5·T2	N	-3.900	-3.900	-3.900	-3.900	-3.900	-3.900	-3.900	-3.900	-3.900
			Vy	0.000	0.000	0.000	0.000	0.000	0.000	0.000	0.000	0.000
			Vz	-9.185	-6.831	-4.477	-2.122	0.232	2.587	4.941	7.295	9.650
			Mt	0.00	0.00	0.00	0.00	0.00	0.00	0.00	0.00	0.00
			My	-9.08	-2.67	1.85	4.49	5.24	4.12	1.11	-3.79	-10.57
			Mz	0.00	0.00	0.00	0.00	0.00	0.00	0.00	0.00	0.00
		1.35·PP+1.5·T1+1.5·T2	N	-5.265	-5.265	-5.265	-5.265	-5.265	-5.265	-5.265	-5.265	-5.265
			Vy	0.000	0.000	0.000	0.000	0.000	0.000	0.000	0.000	0.000
			Vz	-12.400	-9.222	-6.043	-2.865	0.313	3.492	6.670	9.849	13.027
			Mt	0.00	0.00	0.00	0.00	0.00	0.00	0.00	0.00	0.00
			My	-12.26	-3.61	2.50	6.06	7.08	5.56	1.49	-5.12	-14.27
			Mz	0.00	0.00	0.00	0.00	0.00	0.00	0.00	0.00	0.00
		PP+1.5·T3	N	-300.203	-300.203	-300.203	-300.203	-300.203	-300.203	-300.203	-300.203	-300.203
			Vy	0.000	0.000	0.000	0.000	0.000	0.000	0.000	0.000	0.000
			Vz	-27.043	-24.689	-22.334	-19.980	-17.626	-15.271	-12.917	-10.562	-8.208
			Mt	0.00	0.00	0.00	0.00	0.00	0.00	0.00	0.00	0.00
			My	-72.22	-51.52	-32.72	-15.79	-0.75	12.41	23.69	33.08	40.59
			Mz	0.00	0.00	0.00	0.00	0.00	0.00	0.00	0.00	0.00
		1.35·PP+1.5·T3	N	-301.568	-301.568	-301.568	-301.568	-301.568	-301.568	-301.568	-301.568	-301.568
			Vy	0.000	0.000	0.000	0.000	0.000	0.000	0.000	0.000	0.000
			Vz	-30.258	-27.080	-23.901	-20.723	-17.544	-14.366	-11.187	-8.009	-4.831
			Mt	0.00	0.00	0.00	0.00	0.00	0.00	0.00	0.00	0.00
			My	-75.40	-52.46	-32.07	-14.22	1.09	13.85	24.07	31.75	36.89
			Mz	0.00	0.00	0.00	0.00	0.00	0.00	0.00	0.00	0.00
		PP+1.5·T1+1.5·T3	N	-398.971	-398.971	-398.971	-398.971	-398.971	-398.971	-398.971	-398.971	-398.971
			Vy	0.000	0.000	0.000	0.000	0.000	0.000	0.000	0.000	0.000
			Vz	-32.996	-30.641	-28.287	-25.933	-23.578	-21.224	-18.869	-16.515	-14.161
			Mt	0.00	0.00	0.00	0.00	0.00	0.00	0.00	0.00	0.00
			My	-93.26	-67.81	-44.24	-22.55	-2.74	15.18	31.21	45.37	57.64
			Mz	0.00	0.00	0.00	0.00	0.00	0.00	0.00	0.00	0.00
		1.35·PP+1.5·T1+1.5·T3	N	-400.336	-400.336	-400.336	-400.336	-400.336	-400.336	-400.336	-400.336	-400.336
			Vy	0.000	0.000	0.000	0.000	0.000	0.000	0.000	0.000	0.000
			Vz	-36.211	-33.032	-29.854	-26.675	-23.497	-20.319	-17.140	-13.962	-10.783
			Mt	0.00	0.00	0.00	0.00	0.00	0.00	0.00	0.00	0.00
			My	-96.44	-68.74	-43.59	-20.98	-0.91	16.62	31.60	44.04	53.94
			Mz	0.00	0.00	0.00	0.00	0.00	0.00	0.00	0.00	0.00
		PP+1.5·T2+1.5·T3	N	-201.436	-201.436	-201.436	-201.436	-201.436	-201.436	-201.436	-201.436	-201.436
			Vy	0.000	0.000	0.000	0.000	0.000	0.000	0.000	0.000	0.000
			Vz	-21.091	-18.736	-16.382	-14.027	-11.673	-9.319	-6.964	-4.610	-2.255
			Mt	0.00	0.00	0.00	0.00	0.00	0.00	0.00	0.00	0.00
			My	-51.17	-35.24	-21.19	-9.03	1.25	9.65	16.16	20.79	23.54
			Mz	0.00	0.00	0.00	0.00	0.00	0.00	0.00	0.00	0.00
		1.35·PP+1.5·T2+1.5·T3	N	-202.801	-202.801	-202.801	-202.801	-202.801	-202.801	-202.801	-202.801	-202.801
			Vy	0.000	0.000	0.000	0.000	0.000	0.000	0.000	0.000	0.000
			Vz	-24.305	-21.127	-17.949	-14.770	-11.592	-8.413	-5.235	-2.056	1.122
			Mt	0.00	0.00	0.00	0.00	0.00	0.00	0.00	0.00	0.00
			My	-54.35	-36.18	-20.55	-7.46	3.09	11.09	16.55	19.46	19.84
			Mz	0.00	0.00	0.00	0.00	0.00	0.00	0.00	0.00	0.00
		PP+1.5·T1+1.5·T2+1.5·T3	N	-300.203	-300.203	-300.203	-300.203	-300.203	-300.203	-300.203	-300.203	-300.203
			Vy	0.000	0.000	0.000	0.000	0.000	0.000	0.000	0.000	0.000
			Vz	-27.043	-24.689	-22.334	-19.980	-17.626	-15.271	-12.917	-10.562	-8.208
			Mt	0.00	0.00	0.00	0.00	0.00	0.00	0.00	0.00	0.00
			My	-72.22	-51.52	-32.72	-15.79	-0.75	12.41	23.69	33.08	40.59
			Mz	0.00	0.00	0.00	0.00	0.00	0.00	0.00	0.00	0.00
		1.35·PP+1.5·T1+1.5·T2+1.5·T3	N	-301.568	-301.568	-301.568	-301.568	-301.568	-301.568	-301.568	-301.568	-301.568
			Vy	0.000	0.000	0.000	0.000	0.000	0.000	0.000	0.000	0.000
			Vz	-30.258	-27.080	-23.901	-20.723	-17.544	-14.366	-11.187	-8.009	-4.831
			Mt	0.00	0.00	0.00	0.00	0.00	0.00	0.00	0.00	0.00
			My	-75.40	-52.46	-32.07	-14.22	1.09	13.85	24.07	31.75	36.89
			Mz	0.00	0.00	0.00	0.00	0.00	0.00	0.00	0.00	0.00
		PP+1.5·T4	N	292.403	292.403	292.403	292.403	292.403	292.403	292.403	292.403	292.403
			Vy	0.000	0.000	0.000	0.000	0.000	0.000	0.000	0.000	0.000
			Vz	8.672	11.027	13.381	15.736	18.090	20.444	22.799	25.153	27.508

Esfuerzos en barras, por combinación

Barra	Combinación		Esfuerzo	Posiciones en la barra								
	Tipo	Descripción		0.000 m	0.800 m	1.600 m	2.400 m	3.200 m	4.000 m	4.800 m	5.600 m	6.400 m
			Mt	0.00	0.00	0.00	0.00	0.00	0.00	0.00	0.00	0.00
			My	54.06	46.18	36.41	24.77	11.24	-4.18	-21.48	-40.66	-61.72
			Mz	0.00	0.00	0.00	0.00	0.00	0.00	0.00	0.00	0.00
		1.35·PP+1.5·T4	N	291.038	291.038	291.038	291.038	291.038	291.038	291.038	291.038	291.038
			Vy	0.000	0.000	0.000	0.000	0.000	0.000	0.000	0.000	0.000
			Vz	5.458	8.636	11.814	14.993	18.171	21.350	24.528	27.707	30.885
			Mt	0.00	0.00	0.00	0.00	0.00	0.00	0.00	0.00	0.00
			My	50.88	45.24	37.06	26.34	13.07	-2.74	-21.09	-41.98	-65.42
			Mz	0.00	0.00	0.00	0.00	0.00	0.00	0.00	0.00	0.00
		PP+1.5·T1+1.5·T4	N	193.635	193.635	193.635	193.635	193.635	193.635	193.635	193.635	193.635
			Vy	0.000	0.000	0.000	0.000	0.000	0.000	0.000	0.000	0.000
			Vz	2.720	5.074	7.429	9.783	12.137	14.492	16.846	19.201	21.555
			Mt	0.00	0.00	0.00	0.00	0.00	0.00	0.00	0.00	0.00
			My	33.01	29.89	24.89	18.01	9.24	-1.41	-13.95	-28.37	-44.67
			Mz	0.00	0.00	0.00	0.00	0.00	0.00	0.00	0.00	0.00
		1.35·PP+1.5·T1+1.5·T4	N	192.270	192.270	192.270	192.270	192.270	192.270	192.270	192.270	192.270
			Vy	0.000	0.000	0.000	0.000	0.000	0.000	0.000	0.000	0.000
			Vz	-0.495	2.683	5.862	9.040	12.219	15.397	18.576	21.754	24.932
			Mt	0.00	0.00	0.00	0.00	0.00	0.00	0.00	0.00	0.00
			My	29.83	28.96	25.54	19.58	11.07	0.03	-13.56	-29.69	-48.37
			Mz	0.00	0.00	0.00	0.00	0.00	0.00	0.00	0.00	0.00
		PP+1.5·T2+1.5·T4	N	391.170	391.170	391.170	391.170	391.170	391.170	391.170	391.170	391.170
			Vy	0.000	0.000	0.000	0.000	0.000	0.000	0.000	0.000	0.000
			Vz	14.625	16.979	19.334	21.688	24.043	26.397	28.751	31.106	33.460
			Mt	0.00	0.00	0.00	0.00	0.00	0.00	0.00	0.00	0.00
			My	75.10	62.46	47.93	31.53	13.23	-6.94	-29.00	-52.95	-78.77
			Mz	0.00	0.00	0.00	0.00	0.00	0.00	0.00	0.00	0.00
		1.35·PP+1.5·T2+1.5·T4	N	389.805	389.805	389.805	389.805	389.805	389.805	389.805	389.805	389.805
			Vy	0.000	0.000	0.000	0.000	0.000	0.000	0.000	0.000	0.000
			Vz	11.410	14.589	17.767	20.945	24.124	27.302	30.481	33.659	36.838
			Mt	0.00	0.00	0.00	0.00	0.00	0.00	0.00	0.00	0.00
			My	71.92	61.52	48.58	33.10	15.07	-5.50	-28.62	-54.27	-82.47
			Mz	0.00	0.00	0.00	0.00	0.00	0.00	0.00	0.00	0.00
		PP+1.5·T1+1.5·T2+1.5·T4	N	292.403	292.403	292.403	292.403	292.403	292.403	292.403	292.403	292.403
			Vy	0.000	0.000	0.000	0.000	0.000	0.000	0.000	0.000	0.000
			Vz	8.672	11.027	13.381	15.736	18.090	20.444	22.799	25.153	27.508
			Mt	0.00	0.00	0.00	0.00	0.00	0.00	0.00	0.00	0.00
			My	54.06	46.18	36.41	24.77	11.24	-4.18	-21.48	-40.66	-61.72
			Mz	0.00	0.00	0.00	0.00	0.00	0.00	0.00	0.00	0.00
		1.35·PP+1.5·T1+1.5·T2+1.5·T4	N	291.038	291.038	291.038	291.038	291.038	291.038	291.038	291.038	291.038
			Vy	0.000	0.000	0.000	0.000	0.000	0.000	0.000	0.000	0.000
			Vz	5.458	8.636	11.814	14.993	18.171	21.350	24.528	27.707	30.885
			Mt	0.00	0.00	0.00	0.00	0.00	0.00	0.00	0.00	0.00
			My	50.88	45.24	37.06	26.34	13.07	-2.74	-21.09	-41.98	-65.42
			Mz	0.00	0.00	0.00	0.00	0.00	0.00	0.00	0.00	0.00
		PP+1.5·T3+1.5·T4	N	-3.900	-3.900	-3.900	-3.900	-3.900	-3.900	-3.900	-3.900	-3.900
			Vy	0.000	0.000	0.000	0.000	0.000	0.000	0.000	0.000	0.000
			Vz	-9.185	-6.831	-4.477	-2.122	0.232	2.587	4.941	7.295	9.650
			Mt	0.00	0.00	0.00	0.00	0.00	0.00	0.00	0.00	0.00
			My	-9.08	-2.67	1.85	4.49	5.24	4.12	1.11	-3.79	-10.57
			Mz	0.00	0.00	0.00	0.00	0.00	0.00	0.00	0.00	0.00
		1.35·PP+1.5·T3+1.5·T4	N	-5.265	-5.265	-5.265	-5.265	-5.265	-5.265	-5.265	-5.265	-5.265
			Vy	0.000	0.000	0.000	0.000	0.000	0.000	0.000	0.000	0.000
			Vz	-12.400	-9.222	-6.043	-2.865	0.313	3.492	6.670	9.849	13.027
			Mt	0.00	0.00	0.00	0.00	0.00	0.00	0.00	0.00	0.00
			My	-12.26	-3.61	2.50	6.06	7.08	5.56	1.49	-5.12	-14.27
			Mz	0.00	0.00	0.00	0.00	0.00	0.00	0.00	0.00	0.00
		PP+1.5·T1+1.5·T3+1.5·T4	N	-102.668	-102.668	-102.668	-102.668	-102.668	-102.668	-102.668	-102.668	-102.668
			Vy	0.000	0.000	0.000	0.000	0.000	0.000	0.000	0.000	0.000
			Vz	-15.138	-12.784	-10.429	-8.075	-5.720	-3.366	-1.012	1.343	3.697
			Mt	0.00	0.00	0.00	0.00	0.00	0.00	0.00	0.00	0.00
			My	-30.13	-18.96	-9.67	-2.27	3.25	6.88	8.63	8.50	6.48
			Mz	0.00	0.00	0.00	0.00	0.00	0.00	0.00	0.00	0.00
		1.35·PP+1.5·T1+1.5·T3+1.5·T4	N	-104.033	-104.033	-104.033	-104.033	-104.033	-104.033	-104.033	-104.033	-104.033
			Vy	0.000	0.000	0.000	0.000	0.000	0.000	0.000	0.000	0.000
			Vz	-18.353	-15.174	-11.996	-8.818	-5.639	-2.461	0.718	3.896	7.075
			Mt	0.00	0.00	0.00	0.00	0.00	0.00	0.00	0.00	0.00
			My	-33.30	-19.89	-9.03	-0.70	5.08	8.32	9.02	7.17	2.79
			Mz	0.00	0.00	0.00	0.00	0.00	0.00	0.00	0.00	0.00
		PP+1.5·T2+1.5·T3+1.5·T4	N	94.867	94.867	94.867	94.867	94.867	94.867	94.867	94.867	94.867
			Vy	0.000	0.000	0.000	0.000	0.000	0.000	0.000	0.000	0.000
			Vz	-3.233	-0.878	1.476	3.830	6.185	8.539	10.894	13.248	15.602
			Mt	0.00	0.00	0.00	0.00	0.00	0.00	0.00	0.00	0.00
			My	11.96	13.61	13.37	11.25	7.24	1.35	-6.42	-16.08	-27.62
			Mz	0.00	0.00	0.00	0.00	0.00	0.00	0.00	0.00	0.00
		1.35·PP+1.5·T2+1.5·T3+1.5·T4	N	93.502	93.502	93.502	93.502	93.502	93.502	93.502	93.502	93.502
			Vy	0.000	0.000	0.000	0.000	0.000	0.000	0.000	0.000	0.000
			Vz	-6.448	-3.269	-0.091	3.088	6.266	9.445	12.623	15.801	18.980
			Mt	0.00	0.00	0.00	0.00	0.00	0.00	0.00	0.00	0.00
			My	8.79	12.67	14.02	12.82	9.08	2.79	-6.03	-17.40	-31.32
			Mz	0.00	0.00	0.00	0.00	0.00	0.00	0.00	0.00	0.00
		PP+1.5·T1+1.5·T2+1.5·T3+1.5·T4	N	-3.900	-3.900	-3.900	-3.900	-3.900	-3.900	-3.900	-3.900	-3.900
			Vy	0.000	0.000	0.000	0.000	0.000	0.000	0.000	0.000	0.000

Esfuerzos en barras, por combinación												
Barra	Combinación		Esfuerzo	Posiciones en la barra								
	Tipo	Descripción		0.000 m	0.800 m	1.600 m	2.400 m	3.200 m	4.000 m	4.800 m	5.600 m	6.400 m
			Vz	-9.185	-6.831	-4.477	-2.122	0.232	2.587	4.941	7.295	9.650
			Mt	0.00	0.00	0.00	0.00	0.00	0.00	0.00	0.00	0.00
			My	-9.08	-2.67	1.85	4.49	5.24	4.12	1.11	-3.79	-10.57
			Mz	0.00	0.00	0.00	0.00	0.00	0.00	0.00	0.00	0.00
		1.35·PP+1.5·T1+1.5·T2+1.5·T3+1.5·T4	N	-5.265	-5.265	-5.265	-5.265	-5.265	-5.265	-5.265	-5.265	-5.265
			Vy	0.000	0.000	0.000	0.000	0.000	0.000	0.000	0.000	0.000
			Vz	-12.400	-9.222	-6.043	-2.865	0.313	3.492	6.670	9.849	13.027
			Mt	0.00	0.00	0.00	0.00	0.00	0.00	0.00	0.00	0.00
			My	-12.26	-3.61	2.50	6.06	7.08	5.56	1.49	-5.12	-14.27
			Mz	0.00	0.00	0.00	0.00	0.00	0.00	0.00	0.00	0.00

Esfuerzos en barras, por combinación												
Barra	Combinación		Esfuerzo	Posiciones en la barra								
	Tipo	Descripción		0.000 m	0.806 m	1.612 m	2.419 m	3.225 m	4.031 m	4.837 m	5.644 m	6.450 m
N27/N28	Hormigón	PP	N	-3.491	-3.491	-3.491	-3.491	-3.491	-3.491	-3.491	-3.491	-3.491
			Vy	0.000	0.000	0.000	0.000	0.000	0.000	0.000	0.000	0.000
			Vz	-9.549	-7.176	-4.804	-2.431	-0.058	2.315	4.688	7.060	9.433
			Mt	0.00	0.00	0.00	0.00	0.00	0.00	0.00	0.00	0.00
			My	-10.29	-3.55	1.28	4.20	5.20	4.29	1.47	-3.27	-9.92
			Mz	0.00	0.00	0.00	0.00	0.00	0.00	0.00	0.00	0.00
		1.35·PP	N	-4.712	-4.712	-4.712	-4.712	-4.712	-4.712	-4.712	-4.712	-4.712
			Vy	0.000	0.000	0.000	0.000	0.000	0.000	0.000	0.000	0.000
			Vz	-12.891	-9.688	-6.485	-3.281	-0.078	3.125	6.328	9.532	12.735
			Mt	0.00	0.00	0.00	0.00	0.00	0.00	0.00	0.00	0.00
			My	-13.89	-4.79	1.73	5.67	7.02	5.79	1.98	-4.41	-13.39
			Mz	0.00	0.00	0.00	0.00	0.00	0.00	0.00	0.00	0.00
		PP+1.5·T1	N	-159.009	-159.009	-159.009	-159.009	-159.009	-159.009	-159.009	-159.009	-159.009
			Vy	0.000	0.000	0.000	0.000	0.000	0.000	0.000	0.000	0.000
			Vz	-12.578	-10.205	-7.832	-5.460	-3.087	-0.714	1.659	4.032	6.404
			Mt	0.00	0.00	0.00	0.00	0.00	0.00	0.00	0.00	0.00
			My	-21.15	-11.96	-4.69	0.67	4.11	5.65	5.27	2.97	-1.24
			Mz	0.00	0.00	0.00	0.00	0.00	0.00	0.00	0.00	0.00
		1.35·PP+1.5·T1	N	-160.231	-160.231	-160.231	-160.231	-160.231	-160.231	-160.231	-160.231	-160.231
			Vy	0.000	0.000	0.000	0.000	0.000	0.000	0.000	0.000	0.000
			Vz	-15.920	-12.717	-9.514	-6.310	-3.107	0.096	3.300	6.503	9.706
			Mt	0.00	0.00	0.00	0.00	0.00	0.00	0.00	0.00	0.00
			My	-24.75	-13.20	-4.24	2.14	5.93	7.15	5.78	1.83	-4.71
			Mz	0.00	0.00	0.00	0.00	0.00	0.00	0.00	0.00	0.00
		PP+1.5·T2	N	152.028	152.028	152.028	152.028	152.028	152.028	152.028	152.028	152.028
			Vy	0.000	0.000	0.000	0.000	0.000	0.000	0.000	0.000	0.000
			Vz	-6.520	-4.147	-1.775	0.598	2.971	5.344	7.717	10.089	12.462
			Mt	0.00	0.00	0.00	0.00	0.00	0.00	0.00	0.00	0.00
			My	0.57	4.87	7.25	7.73	6.29	2.94	-2.33	-9.51	-18.60
			Mz	0.00	0.00	0.00	0.00	0.00	0.00	0.00	0.00	0.00
		1.35·PP+1.5·T2	N	150.807	150.807	150.807	150.807	150.807	150.807	150.807	150.807	150.807
			Vy	0.000	0.000	0.000	0.000	0.000	0.000	0.000	0.000	0.000
			Vz	-9.862	-6.659	-3.456	-0.253	2.951	6.154	9.357	12.560	15.764
			Mt	0.00	0.00	0.00	0.00	0.00	0.00	0.00	0.00	0.00
			My	-3.04	3.62	7.70	9.20	8.11	4.44	-1.81	-10.65	-22.07
			Mz	0.00	0.00	0.00	0.00	0.00	0.00	0.00	0.00	0.00
		PP+1.5·T1+1.5·T2	N	-3.491	-3.491	-3.491	-3.491	-3.491	-3.491	-3.491	-3.491	-3.491
			Vy	0.000	0.000	0.000	0.000	0.000	0.000	0.000	0.000	0.000
			Vz	-9.549	-7.176	-4.804	-2.431	-0.058	2.315	4.688	7.060	9.433
			Mt	0.00	0.00	0.00	0.00	0.00	0.00	0.00	0.00	0.00
			My	-10.29	-3.55	1.28	4.20	5.20	4.29	1.47	-3.27	-9.92
			Mz	0.00	0.00	0.00	0.00	0.00	0.00	0.00	0.00	0.00
		1.35·PP+1.5·T1+1.5·T2	N	-4.712	-4.712	-4.712	-4.712	-4.712	-4.712	-4.712	-4.712	-4.712
			Vy	0.000	0.000	0.000	0.000	0.000	0.000	0.000	0.000	0.000
			Vz	-12.891	-9.688	-6.485	-3.281	-0.078	3.125	6.328	9.532	12.735
			Mt	0.00	0.00	0.00	0.00	0.00	0.00	0.00	0.00	0.00
			My	-13.89	-4.79	1.73	5.67	7.02	5.79	1.98	-4.41	-13.39
			Mz	0.00	0.00	0.00	0.00	0.00	0.00	0.00	0.00	0.00
		PP+1.5·T3	N	-470.047	-470.047	-470.047	-470.047	-470.047	-470.047	-470.047	-470.047	-470.047
			Vy	0.000	0.000	0.000	0.000	0.000	0.000	0.000	0.000	0.000
			Vz	-18.636	-16.263	-13.890	-11.517	-9.144	-6.772	-4.399	-2.026	0.347
			Mt	0.00	0.00	0.00	0.00	0.00	0.00	0.00	0.00	0.00
			My	-42.86	-28.79	-16.63	-6.39	1.94	8.35	12.86	15.45	16.13
			Mz	0.00	0.00	0.00	0.00	0.00	0.00	0.00	0.00	0.00
		1.35·PP+1.5·T3	N	-471.269	-471.269	-471.269	-471.269	-471.269	-471.269	-471.269	-471.269	-471.269
			Vy	0.000	0.000	0.000	0.000	0.000	0.000	0.000	0.000	0.000
			Vz	-21.978	-18.775	-15.571	-12.368	-9.165	-5.961	-2.758	0.445	3.648
			Mt	0.00	0.00	0.00	0.00	0.00	0.00	0.00	0.00	0.00
			My	-46.46	-30.03	-16.18	-4.92	3.76	9.86	13.37	14.30	12.65
			Mz	0.00	0.00	0.00	0.00	0.00	0.00	0.00	0.00	0.00
		PP+1.5·T1+1.5·T3	N	-625.566	-625.566	-625.566	-625.566	-625.566	-625.566	-625.566	-625.566	-625.566
			Vy	0.000	0.000	0.000	0.000	0.000	0.000	0.000	0.000	0.000
			Vz	-21.665	-19.292	-16.919	-14.546	-12.173	-9.801	-7.428	-5.055	-2.682
			Mt	0.00	0.00	0.00	0.00	0.00	0.00	0.00	0.00	0.00
			My	-53.71	-37.20	-22.60	-9.92	0.85	9.71	16.65	21.69	24.81
			Mz	0.00	0.00	0.00	0.00	0.00	0.00	0.00	0.00	0.00
		1.35·PP+1.5·T1+1.5·T3	N	-626.788	-626.788	-626.788	-626.788	-626.788	-626.788	-626.788	-626.788	-626.788
			Vy	0.000	0.000	0.000	0.000	0.000	0.000	0.000	0.000	0.000

Esfuerzos en barras, por combinación

Barra	Combinación		Esfuerzo	Posiciones en la barra								
	Tipo	Descripción		0.000 m	0.806 m	1.612 m	2.419 m	3.225 m	4.031 m	4.837 m	5.644 m	6.450 m
			Vz	-25.007	-21.803	-18.600	-15.397	-12.194	-8.990	-5.787	-2.584	0.619
			Mt	0.00	0.00	0.00	0.00	0.00	0.00	0.00	0.00	0.00
			My	-57.31	-38.44	-22.16	-8.45	2.67	11.21	17.17	20.54	21.33
			Mz	0.00	0.00	0.00	0.00	0.00	0.00	0.00	0.00	0.00
		PP+1.5·T2+1.5·T3	N	-314.528	-314.528	-314.528	-314.528	-314.528	-314.528	-314.528	-314.528	-314.528
			Vy	0.000	0.000	0.000	0.000	0.000	0.000	0.000	0.000	0.000
			Vz	-15.607	-13.234	-10.861	-8.488	-6.116	-3.743	-1.370	1.003	3.376
			Mt	0.00	0.00	0.00	0.00	0.00	0.00	0.00	0.00	0.00
			My	-32.00	-20.37	-10.66	-2.86	3.03	7.00	9.06	9.21	7.44
			Mz	0.00	0.00	0.00	0.00	0.00	0.00	0.00	0.00	0.00
		1.35·PP+1.5·T2+1.5·T3	N	-315.750	-315.750	-315.750	-315.750	-315.750	-315.750	-315.750	-315.750	-315.750
			Vy	0.000	0.000	0.000	0.000	0.000	0.000	0.000	0.000	0.000
			Vz	-18.949	-15.746	-12.542	-9.339	-6.136	-2.933	0.271	3.474	6.677
			Mt	0.00	0.00	0.00	0.00	0.00	0.00	0.00	0.00	0.00
			My	-35.60	-21.62	-10.21	-1.39	4.85	8.50	9.58	8.07	3.97
			Mz	0.00	0.00	0.00	0.00	0.00	0.00	0.00	0.00	0.00
		PP+1.5·T1+1.5·T2+1.5·T3	N	-470.047	-470.047	-470.047	-470.047	-470.047	-470.047	-470.047	-470.047	-470.047
			Vy	0.000	0.000	0.000	0.000	0.000	0.000	0.000	0.000	0.000
			Vz	-18.636	-16.263	-13.890	-11.517	-9.144	-6.772	-4.399	-2.026	0.347
			Mt	0.00	0.00	0.00	0.00	0.00	0.00	0.00	0.00	0.00
			My	-42.86	-28.79	-16.63	-6.39	1.94	8.35	12.86	15.45	16.13
			Mz	0.00	0.00	0.00	0.00	0.00	0.00	0.00	0.00	0.00
		1.35·PP+1.5·T1+1.5·T2+1.5·T3	N	-471.269	-471.269	-471.269	-471.269	-471.269	-471.269	-471.269	-471.269	-471.269
			Vy	0.000	0.000	0.000	0.000	0.000	0.000	0.000	0.000	0.000
			Vz	-21.978	-18.775	-15.571	-12.368	-9.165	-5.961	-2.758	0.445	3.648
			Mt	0.00	0.00	0.00	0.00	0.00	0.00	0.00	0.00	0.00
			My	-46.46	-30.03	-16.18	-4.92	3.76	9.86	13.37	14.30	12.65
			Mz	0.00	0.00	0.00	0.00	0.00	0.00	0.00	0.00	0.00
		PP+1.5·T4	N	463.066	463.066	463.066	463.066	463.066	463.066	463.066	463.066	463.066
			Vy	0.000	0.000	0.000	0.000	0.000	0.000	0.000	0.000	0.000
			Vz	-0.463	1.910	4.283	6.656	9.029	11.401	13.774	16.147	18.520
			Mt	0.00	0.00	0.00	0.00	0.00	0.00	0.00	0.00	0.00
			My	22.28	21.69	19.20	14.79	8.46	0.23	-9.92	-21.98	-35.96
			Mz	0.00	0.00	0.00	0.00	0.00	0.00	0.00	0.00	0.00
		1.35·PP+1.5·T4	N	461.845	461.845	461.845	461.845	461.845	461.845	461.845	461.845	461.845
			Vy	0.000	0.000	0.000	0.000	0.000	0.000	0.000	0.000	0.000
			Vz	-3.805	-0.601	2.602	5.805	9.008	12.212	15.415	18.618	21.821
			Mt	0.00	0.00	0.00	0.00	0.00	0.00	0.00	0.00	0.00
			My	18.68	20.45	19.65	16.26	10.29	1.73	-9.41	-23.13	-39.43
			Mz	0.00	0.00	0.00	0.00	0.00	0.00	0.00	0.00	0.00
		PP+1.5·T1+1.5·T4	N	307.547	307.547	307.547	307.547	307.547	307.547	307.547	307.547	307.547
			Vy	0.000	0.000	0.000	0.000	0.000	0.000	0.000	0.000	0.000
			Vz	-3.491	-1.119	1.254	3.627	6.000	8.373	10.745	13.118	15.491
			Mt	0.00	0.00	0.00	0.00	0.00	0.00	0.00	0.00	0.00
			My	11.42	13.28	13.23	11.26	7.38	1.58	-6.12	-15.74	-27.28
			Mz	0.00	0.00	0.00	0.00	0.00	0.00	0.00	0.00	0.00
		1.35·PP+1.5·T1+1.5·T4	N	306.326	306.326	306.326	306.326	306.326	306.326	306.326	306.326	306.326
			Vy	0.000	0.000	0.000	0.000	0.000	0.000	0.000	0.000	0.000
			Vz	-6.834	-3.630	-0.427	2.776	5.980	9.183	12.386	15.589	18.793
			Mt	0.00	0.00	0.00	0.00	0.00	0.00	0.00	0.00	0.00
			My	7.82	12.04	13.67	12.73	9.20	3.09	-5.61	-16.89	-30.75
			Mz	0.00	0.00	0.00	0.00	0.00	0.00	0.00	0.00	0.00
		PP+1.5·T2+1.5·T4	N	618.585	618.585	618.585	618.585	618.585	618.585	618.585	618.585	618.585
			Vy	0.000	0.000	0.000	0.000	0.000	0.000	0.000	0.000	0.000
			Vz	2.566	4.939	7.312	9.685	12.057	14.430	16.803	19.176	21.549
			Mt	0.00	0.00	0.00	0.00	0.00	0.00	0.00	0.00	0.00
			My	33.13	30.11	25.17	18.32	9.55	-1.13	-13.72	-28.22	-44.64
			Mz	0.00	0.00	0.00	0.00	0.00	0.00	0.00	0.00	0.00
		1.35·PP+1.5·T2+1.5·T4	N	617.364	617.364	617.364	617.364	617.364	617.364	617.364	617.364	617.364
			Vy	0.000	0.000	0.000	0.000	0.000	0.000	0.000	0.000	0.000
			Vz	-0.776	2.427	5.631	8.834	12.037	15.240	18.444	21.647	24.850
			Mt	0.00	0.00	0.00	0.00	0.00	0.00	0.00	0.00	0.00
			My	29.53	28.87	25.62	19.79	11.37	0.38	-13.20	-29.36	-48.11
			Mz	0.00	0.00	0.00	0.00	0.00	0.00	0.00	0.00	0.00
		PP+1.5·T1+1.5·T2+1.5·T4	N	463.066	463.066	463.066	463.066	463.066	463.066	463.066	463.066	463.066
			Vy	0.000	0.000	0.000	0.000	0.000	0.000	0.000	0.000	0.000
			Vz	-0.463	1.910	4.283	6.656	9.029	11.401	13.774	16.147	18.520
			Mt	0.00	0.00	0.00	0.00	0.00	0.00	0.00	0.00	0.00
			My	22.28	21.69	19.20	14.79	8.46	0.23	-9.92	-21.98	-35.96
			Mz	0.00	0.00	0.00	0.00	0.00	0.00	0.00	0.00	0.00
		1.35·PP+1.5·T1+1.5·T2+1.5·T4	N	461.845	461.845	461.845	461.845	461.845	461.845	461.845	461.845	461.845
			Vy	0.000	0.000	0.000	0.000	0.000	0.000	0.000	0.000	0.000
			Vz	-3.805	-0.601	2.602	5.805	9.008	12.212	15.415	18.618	21.821
			Mt	0.00	0.00	0.00	0.00	0.00	0.00	0.00	0.00	0.00
			My	18.68	20.45	19.65	16.26	10.29	1.73	-9.41	-23.13	-39.43
			Mz	0.00	0.00	0.00	0.00	0.00	0.00	0.00	0.00	0.00
		PP+1.5·T3+1.5·T4	N	-3.491	-3.491	-3.491	-3.491	-3.491	-3.491	-3.491	-3.491	-3.491
			Vy	0.000	0.000	0.000	0.000	0.000	0.000	0.000	0.000	0.000
			Vz	-9.549	-7.176	-4.804	-2.431	-0.058	2.315	4.688	7.060	9.433
			Mt	0.00	0.00	0.00	0.00	0.00	0.00	0.00	0.00	0.00
			My	-10.29	-3.55	1.28	4.20	5.20	4.29	1.47	-3.27	-9.92
			Mz	0.00	0.00	0.00	0.00	0.00	0.00	0.00	0.00	0.00
		1.35·PP+1.5·T3+1.5·T4	N	-4.712	-4.712	-4.712	-4.712	-4.712	-4.712	-4.712	-4.712	-4.712

Esfuerzos en barras, por combinación

Barra	Combinación		Esfuerzo	Posiciones en la barra								
	Tipo	Descripción		0.000 m	0.806 m	1.612 m	2.419 m	3.225 m	4.031 m	4.837 m	5.644 m	6.450 m
			Vy	0.000	0.000	0.000	0.000	0.000	0.000	0.000	0.000	0.000
			Vz	-12.891	-9.688	-6.485	-3.281	-0.078	3.125	6.328	9.532	12.735
			Mt	0.00	0.00	0.00	0.00	0.00	0.00	0.00	0.00	0.00
			My	-13.89	-4.79	1.73	5.67	7.02	5.79	1.98	-4.41	-13.39
			Mz	0.00	0.00	0.00	0.00	0.00	0.00	0.00	0.00	0.00
		PP+1.5·T1+1.5·T3+1.5·T4	N	-159.009	-159.009	-159.009	-159.009	-159.009	-159.009	-159.009	-159.009	-159.009
			Vy	0.000	0.000	0.000	0.000	0.000	0.000	0.000	0.000	0.000
			Vz	-12.578	-10.205	-7.832	-5.460	-3.087	-0.714	1.659	4.032	6.404
			Mt	0.00	0.00	0.00	0.00	0.00	0.00	0.00	0.00	0.00
			My	-21.15	-11.96	-4.69	0.67	4.11	5.65	5.27	2.97	-1.24
			Mz	0.00	0.00	0.00	0.00	0.00	0.00	0.00	0.00	0.00
		1.35·PP+1.5·T1+1.5·T3+1.5·T4	N	-160.231	-160.231	-160.231	-160.231	-160.231	-160.231	-160.231	-160.231	-160.231
			Vy	0.000	0.000	0.000	0.000	0.000	0.000	0.000	0.000	0.000
			Vz	-15.920	-12.717	-9.514	-6.310	-3.107	0.096	3.300	6.503	9.706
			Mt	0.00	0.00	0.00	0.00	0.00	0.00	0.00	0.00	0.00
			My	-24.75	-13.20	-4.24	2.14	5.93	7.15	5.78	1.83	-4.71
			Mz	0.00	0.00	0.00	0.00	0.00	0.00	0.00	0.00	0.00
		PP+1.5·T2+1.5·T3+1.5·T4	N	152.028	152.028	152.028	152.028	152.028	152.028	152.028	152.028	152.028
			Vy	0.000	0.000	0.000	0.000	0.000	0.000	0.000	0.000	0.000
			Vz	-6.520	-4.147	-1.775	0.598	2.971	5.344	7.717	10.089	12.462
			Mt	0.00	0.00	0.00	0.00	0.00	0.00	0.00	0.00	0.00
			My	0.57	4.87	7.25	7.73	6.29	2.94	-2.33	-9.51	-18.60
			Mz	0.00	0.00	0.00	0.00	0.00	0.00	0.00	0.00	0.00
		1.35·PP+1.5·T2+1.5·T3+1.5·T4	N	150.807	150.807	150.807	150.807	150.807	150.807	150.807	150.807	150.807
			Vy	0.000	0.000	0.000	0.000	0.000	0.000	0.000	0.000	0.000
			Vz	-9.862	-6.659	-3.456	-0.253	2.951	6.154	9.357	12.560	15.764
			Mt	0.00	0.00	0.00	0.00	0.00	0.00	0.00	0.00	0.00
			My	-3.04	3.62	7.70	9.20	8.11	4.44	-1.81	-10.65	-22.07
			Mz	0.00	0.00	0.00	0.00	0.00	0.00	0.00	0.00	0.00
		PP+1.5·T1+1.5·T2+1.5·T3+1.5·T4	N	-3.491	-3.491	-3.491	-3.491	-3.491	-3.491	-3.491	-3.491	-3.491
			Vy	0.000	0.000	0.000	0.000	0.000	0.000	0.000	0.000	0.000
			Vz	-9.549	-7.176	-4.804	-2.431	-0.058	2.315	4.688	7.060	9.433
			Mt	0.00	0.00	0.00	0.00	0.00	0.00	0.00	0.00	0.00
			My	-10.29	-3.55	1.28	4.20	5.20	4.29	1.47	-3.27	-9.92
			Mz	0.00	0.00	0.00	0.00	0.00	0.00	0.00	0.00	0.00
		1.35·PP+1.5·T1+1.5·T2+1.5·T3+1.5·T4	N	-4.712	-4.712	-4.712	-4.712	-4.712	-4.712	-4.712	-4.712	-4.712
			Vy	0.000	0.000	0.000	0.000	0.000	0.000	0.000	0.000	0.000
			Vz	-12.891	-9.688	-6.485	-3.281	-0.078	3.125	6.328	9.532	12.735
			Mt	0.00	0.00	0.00	0.00	0.00	0.00	0.00	0.00	0.00
			My	-13.89	-4.79	1.73	5.67	7.02	5.79	1.98	-4.41	-13.39
			Mz	0.00	0.00	0.00	0.00	0.00	0.00	0.00	0.00	0.00

Esfuerzos en barras, por combinación

Barra	Combinación		Esfuerzo	Posiciones en la barra								
	Tipo	Descripción		0.000 m	0.575 m	1.150 m	1.725 m	2.300 m	2.875 m	3.450 m	4.025 m	4.600 m
N28/N29	Hormigón	PP	N	-1.317	-1.317	-1.317	-1.317	-1.317	-1.317	-1.317	-1.317	-1.317
			Vy	0.000	0.000	0.000	0.000	0.000	0.000	0.000	0.000	0.000
			Vz	-6.904	-5.212	-3.520	-1.828	-0.135	1.557	3.249	4.941	6.634
			Mt	0.00	0.00	0.00	0.00	0.00	0.00	0.00	0.00	0.00
			My	-5.63	-2.14	0.37	1.91	2.47	2.06	0.68	-1.68	-5.00
			Mz	0.00	0.00	0.00	0.00	0.00	0.00	0.00	0.00	0.00
		1.35·PP	N	-1.779	-1.779	-1.779	-1.779	-1.779	-1.779	-1.779	-1.779	-1.779
			Vy	0.000	0.000	0.000	0.000	0.000	0.000	0.000	0.000	0.000
			Vz	-9.321	-7.036	-4.752	-2.467	-0.183	2.102	4.386	6.671	8.955
			Mt	0.00	0.00	0.00	0.00	0.00	0.00	0.00	0.00	0.00
			My	-7.60	-2.89	0.50	2.57	3.33	2.78	0.92	-2.26	-6.75
			Mz	0.00	0.00	0.00	0.00	0.00	0.00	0.00	0.00	0.00
		PP+1.5·T1	N	-189.698	-189.698	-189.698	-189.698	-189.698	-189.698	-189.698	-189.698	-189.698
			Vy	0.000	0.000	0.000	0.000	0.000	0.000	0.000	0.000	0.000
			Vz	-9.461	-7.768	-6.076	-4.384	-2.692	-0.999	0.693	2.385	4.077
			Mt	0.00	0.00	0.00	0.00	0.00	0.00	0.00	0.00	0.00
			My	-12.59	-7.63	-3.65	-0.65	1.39	2.45	2.54	1.65	-0.21
			Mz	0.00	0.00	0.00	0.00	0.00	0.00	0.00	0.00	0.00
		1.35·PP+1.5·T1	N	-190.159	-190.159	-190.159	-190.159	-190.159	-190.159	-190.159	-190.159	-190.159
			Vy	0.000	0.000	0.000	0.000	0.000	0.000	0.000	0.000	0.000
			Vz	-11.877	-9.593	-7.308	-5.024	-2.739	-0.455	1.830	4.114	6.399
			Mt	0.00	0.00	0.00	0.00	0.00	0.00	0.00	0.00	0.00
			My	-14.56	-8.38	-3.52	0.02	2.25	3.17	2.78	1.07	-1.96
			Mz	0.00	0.00	0.00	0.00	0.00	0.00	0.00	0.00	0.00
		PP+1.5·T2	N	187.063	187.063	187.063	187.063	187.063	187.063	187.063	187.063	187.063
			Vy	0.000	0.000	0.000	0.000	0.000	0.000	0.000	0.000	0.000
			Vz	-4.348	-2.656	-0.964	0.729	2.421	4.113	5.805	7.498	9.190
			Mt	0.00	0.00	0.00	0.00	0.00	0.00	0.00	0.00	0.00
			My	1.33	3.35	4.39	4.46	3.55	1.67	-1.18	-5.00	-9.80
			Mz	0.00	0.00	0.00	0.00	0.00	0.00	0.00	0.00	0.00
		1.35·PP+1.5·T2	N	186.602	186.602	186.602	186.602	186.602	186.602	186.602	186.602	186.602
			Vy	0.000	0.000	0.000	0.000	0.000	0.000	0.000	0.000	0.000
			Vz	-6.764	-4.480	-2.195	0.089	2.374	4.658	6.943	9.227	11.512
			Mt	0.00	0.00	0.00	0.00	0.00	0.00	0.00	0.00	0.00
			My	-0.63	2.60	4.52	5.12	4.42	2.39	-0.94	-5.59	-11.55
			Mz	0.00	0.00	0.00	0.00	0.00	0.00	0.00	0.00	0.00
		PP+1.5·T1+1.5·T2	N	-1.317	-1.317	-1.317	-1.317	-1.317	-1.317	-1.317	-1.317	-1.317

Esfuerzos en barras, por combinación

Barra	Combinación		Esfuerzo	Posiciones en la barra								
	Tipo	Descripción		0.000 m	0.575 m	1.150 m	1.725 m	2.300 m	2.875 m	3.450 m	4.025 m	4.600 m
			Vy	0.000	0.000	0.000	0.000	0.000	0.000	0.000	0.000	0.000
			Vz	-6.904	-5.212	-3.520	-1.828	-0.135	1.557	3.249	4.941	6.634
			Mt	0.00	0.00	0.00	0.00	0.00	0.00	0.00	0.00	0.00
			My	-5.63	-2.14	0.37	1.91	2.47	2.06	0.68	-1.68	-5.00
			Mz	0.00	0.00	0.00	0.00	0.00	0.00	0.00	0.00	0.00
		1.35·PP+1.5·T1+1.5·T2	N	-1.779	-1.779	-1.779	-1.779	-1.779	-1.779	-1.779	-1.779	-1.779
			Vy	0.000	0.000	0.000	0.000	0.000	0.000	0.000	0.000	0.000
			Vz	-9.321	-7.036	-4.752	-2.467	-0.183	2.102	4.386	6.671	8.955
			Mt	0.00	0.00	0.00	0.00	0.00	0.00	0.00	0.00	0.00
			My	-7.60	-2.89	0.50	2.57	3.33	2.78	0.92	-2.26	-6.75
			Mz	0.00	0.00	0.00	0.00	0.00	0.00	0.00	0.00	0.00
		PP+1.5·T3	N	-566.459	-566.459	-566.459	-566.459	-566.459	-566.459	-566.459	-566.459	-566.459
			Vy	0.000	0.000	0.000	0.000	0.000	0.000	0.000	0.000	0.000
			Vz	-14.573	-12.881	-11.189	-9.497	-7.804	-6.112	-4.420	-2.728	-1.035
			Mt	0.00	0.00	0.00	0.00	0.00	0.00	0.00	0.00	0.00
			My	-26.51	-18.62	-11.70	-5.75	-0.77	3.23	6.25	8.31	9.39
			Mz	0.00	0.00	0.00	0.00	0.00	0.00	0.00	0.00	0.00
		1.35·PP+1.5·T3	N	-566.920	-566.920	-566.920	-566.920	-566.920	-566.920	-566.920	-566.920	-566.920
			Vy	0.000	0.000	0.000	0.000	0.000	0.000	0.000	0.000	0.000
			Vz	-16.990	-14.705	-12.421	-10.136	-7.852	-5.567	-3.283	-0.998	1.286
			Mt	0.00	0.00	0.00	0.00	0.00	0.00	0.00	0.00	0.00
			My	-28.48	-19.37	-11.57	-5.08	0.09	3.95	6.49	7.72	7.64
			Mz	0.00	0.00	0.00	0.00	0.00	0.00	0.00	0.00	0.00
		PP+1.5·T1+1.5·T3	N	-754.839	-754.839	-754.839	-754.839	-754.839	-754.839	-754.839	-754.839	-754.839
			Vy	0.000	0.000	0.000	0.000	0.000	0.000	0.000	0.000	0.000
			Vz	-17.130	-15.437	-13.745	-12.053	-10.361	-8.668	-6.976	-5.284	-3.592
			Mt	0.00	0.00	0.00	0.00	0.00	0.00	0.00	0.00	0.00
			My	-33.47	-24.11	-15.72	-8.30	-1.86	3.62	8.11	11.64	14.19
			Mz	0.00	0.00	0.00	0.00	0.00	0.00	0.00	0.00	0.00
		1.35·PP+1.5·T1+1.5·T3	N	-755.300	-755.300	-755.300	-755.300	-755.300	-755.300	-755.300	-755.300	-755.300
			Vy	0.000	0.000	0.000	0.000	0.000	0.000	0.000	0.000	0.000
			Vz	-19.546	-17.262	-14.977	-12.692	-10.408	-8.123	-5.839	-3.554	-1.270
			Mt	0.00	0.00	0.00	0.00	0.00	0.00	0.00	0.00	0.00
			My	-35.44	-24.86	-15.59	-7.63	-0.99	4.34	8.35	11.05	12.44
			Mz	0.00	0.00	0.00	0.00	0.00	0.00	0.00	0.00	0.00
		PP+1.5·T2+1.5·T3	N	-378.078	-378.078	-378.078	-378.078	-378.078	-378.078	-378.078	-378.078	-378.078
			Vy	0.000	0.000	0.000	0.000	0.000	0.000	0.000	0.000	0.000
			Vz	-12.017	-10.325	-8.632	-6.940	-5.248	-3.556	-1.864	-0.171	1.521
			Mt	0.00	0.00	0.00	0.00	0.00	0.00	0.00	0.00	0.00
			My	-19.55	-13.12	-7.67	-3.20	0.31	2.84	4.40	4.98	4.59
			Mz	0.00	0.00	0.00	0.00	0.00	0.00	0.00	0.00	0.00
		1.35·PP+1.5·T2+1.5·T3	N	-378.539	-378.539	-378.539	-378.539	-378.539	-378.539	-378.539	-378.539	-378.539
			Vy	0.000	0.000	0.000	0.000	0.000	0.000	0.000	0.000	0.000
			Vz	-14.433	-12.149	-9.864	-7.580	-5.295	-3.011	-0.726	1.558	3.843
			Mt	0.00	0.00	0.00	0.00	0.00	0.00	0.00	0.00	0.00
			My	-21.52	-13.87	-7.55	-2.53	1.17	3.56	4.63	4.39	2.84
			Mz	0.00	0.00	0.00	0.00	0.00	0.00	0.00	0.00	0.00
		PP+1.5·T1+1.5·T2+1.5·T3	N	-566.459	-566.459	-566.459	-566.459	-566.459	-566.459	-566.459	-566.459	-566.459
			Vy	0.000	0.000	0.000	0.000	0.000	0.000	0.000	0.000	0.000
			Vz	-14.573	-12.881	-11.189	-9.497	-7.804	-6.112	-4.420	-2.728	-1.035
			Mt	0.00	0.00	0.00	0.00	0.00	0.00	0.00	0.00	0.00
			My	-26.51	-18.62	-11.70	-5.75	-0.77	3.23	6.25	8.31	9.39
			Mz	0.00	0.00	0.00	0.00	0.00	0.00	0.00	0.00	0.00
		1.35·PP+1.5·T1+1.5·T2+1.5·T3	N	-566.920	-566.920	-566.920	-566.920	-566.920	-566.920	-566.920	-566.920	-566.920
			Vy	0.000	0.000	0.000	0.000	0.000	0.000	0.000	0.000	0.000
			Vz	-16.990	-14.705	-12.421	-10.136	-7.852	-5.567	-3.283	-0.998	1.286
			Mt	0.00	0.00	0.00	0.00	0.00	0.00	0.00	0.00	0.00
			My	-28.48	-19.37	-11.57	-5.08	0.09	3.95	6.49	7.72	7.64
			Mz	0.00	0.00	0.00	0.00	0.00	0.00	0.00	0.00	0.00
		PP+1.5·T4	N	563.824	563.824	563.824	563.824	563.824	563.824	563.824	563.824	563.824
			Vy	0.000	0.000	0.000	0.000	0.000	0.000	0.000	0.000	0.000
			Vz	0.765	2.457	4.149	5.841	7.534	9.226	10.918	12.610	14.302
			Mt	0.00	0.00	0.00	0.00	0.00	0.00	0.00	0.00	0.00
			My	15.26	14.33	12.43	9.56	5.71	0.89	-4.90	-11.66	-19.40
			Mz	0.00	0.00	0.00	0.00	0.00	0.00	0.00	0.00	0.00
		1.35·PP+1.5·T4	N	563.363	563.363	563.363	563.363	563.363	563.363	563.363	563.363	563.363
			Vy	0.000	0.000	0.000	0.000	0.000	0.000	0.000	0.000	0.000
			Vz	-1.652	0.633	2.917	5.202	7.486	9.771	12.055	14.340	16.624
			Mt	0.00	0.00	0.00	0.00	0.00	0.00	0.00	0.00	0.00
			My	13.29	13.58	12.56	10.23	6.58	1.62	-4.66	-12.25	-21.15
			Mz	0.00	0.00	0.00	0.00	0.00	0.00	0.00	0.00	0.00
		PP+1.5·T1+1.5·T4	N	375.444	375.444	375.444	375.444	375.444	375.444	375.444	375.444	375.444
			Vy	0.000	0.000	0.000	0.000	0.000	0.000	0.000	0.000	0.000
			Vz	-1.792	-0.099	1.593	3.285	4.977	6.669	8.362	10.054	11.746
			Mt	0.00	0.00	0.00	0.00	0.00	0.00	0.00	0.00	0.00
			My	8.30	8.84	8.41	7.01	4.63	1.28	-3.04	-8.33	-14.60
			Mz	0.00	0.00	0.00	0.00	0.00	0.00	0.00	0.00	0.00
		1.35·PP+1.5·T1+1.5·T4	N	374.982	374.982	374.982	374.982	374.982	374.982	374.982	374.982	374.982
			Vy	0.000	0.000	0.000	0.000	0.000	0.000	0.000	0.000	0.000
			Vz	-4.208	-1.924	0.361	2.645	4.930	7.214	9.499	11.783	14.068
			Mt	0.00	0.00	0.00	0.00	0.00	0.00	0.00	0.00	0.00
			My	6.33	8.09	8.54	7.67	5.50	2.00	-2.80	-8.92	-16.35
			Mz	0.00	0.00	0.00	0.00	0.00	0.00	0.00	0.00	0.00

Esfuerzos en barras, por combinación

Barra	Combinación		Esfuerzo	Posiciones en la barra								
	Tipo	Descripción		0.000 m	0.575 m	1.150 m	1.725 m	2.300 m	2.875 m	3.450 m	4.025 m	4.600 m
		PP+1.5·T2+1.5·T4	N	752.204	752.204	752.204	752.204	752.204	752.204	752.204	752.204	752.204
			Vy	0.000	0.000	0.000	0.000	0.000	0.000	0.000	0.000	0.000
			Vz	3.321	5.013	6.705	8.398	10.090	11.782	13.474	15.167	16.859
			Mt	0.00	0.00	0.00	0.00	0.00	0.00	0.00	0.00	0.00
			My	22.22	19.82	16.45	12.11	6.79	0.51	-6.75	-14.99	-24.20
			Mz	0.00	0.00	0.00	0.00	0.00	0.00	0.00	0.00	0.00
		1.35·PP+1.5·T2+1.5·T4	N	751.743	751.743	751.743	751.743	751.743	751.743	751.743	751.743	751.743
			Vy	0.000	0.000	0.000	0.000	0.000	0.000	0.000	0.000	0.000
			Vz	0.904	3.189	5.473	7.758	10.042	12.327	14.611	16.896	19.180
			Mt	0.00	0.00	0.00	0.00	0.00	0.00	0.00	0.00	0.00
			My	20.25	19.07	16.58	12.78	7.66	1.23	-6.52	-15.58	-25.95
			Mz	0.00	0.00	0.00	0.00	0.00	0.00	0.00	0.00	0.00
		PP+1.5·T1+1.5·T2+1.5·T4	N	563.824	563.824	563.824	563.824	563.824	563.824	563.824	563.824	563.824
			Vy	0.000	0.000	0.000	0.000	0.000	0.000	0.000	0.000	0.000
			Vz	0.765	2.457	4.149	5.841	7.534	9.226	10.918	12.610	14.302
			Mt	0.00	0.00	0.00	0.00	0.00	0.00	0.00	0.00	0.00
			My	15.26	14.33	12.43	9.56	5.71	0.89	-4.90	-11.66	-19.40
			Mz	0.00	0.00	0.00	0.00	0.00	0.00	0.00	0.00	0.00
		1.35·PP+1.5·T1+1.5·T2+1.5·T4	N	563.363	563.363	563.363	563.363	563.363	563.363	563.363	563.363	563.363
			Vy	0.000	0.000	0.000	0.000	0.000	0.000	0.000	0.000	0.000
			Vz	-1.652	0.633	2.917	5.202	7.486	9.771	12.055	14.340	16.624
			Mt	0.00	0.00	0.00	0.00	0.00	0.00	0.00	0.00	0.00
			My	13.29	13.58	12.56	10.23	6.58	1.62	-4.66	-12.25	-21.15
			Mz	0.00	0.00	0.00	0.00	0.00	0.00	0.00	0.00	0.00
		PP+1.5·T3+1.5·T4	N	-1.317	-1.317	-1.317	-1.317	-1.317	-1.317	-1.317	-1.317	-1.317
			Vy	0.000	0.000	0.000	0.000	0.000	0.000	0.000	0.000	0.000
			Vz	-6.904	-5.212	-3.520	-1.828	-0.135	1.557	3.249	4.941	6.634
			Mt	0.00	0.00	0.00	0.00	0.00	0.00	0.00	0.00	0.00
			My	-5.63	-2.14	0.37	1.91	2.47	2.06	0.68	-1.68	-5.00
			Mz	0.00	0.00	0.00	0.00	0.00	0.00	0.00	0.00	0.00
		1.35·PP+1.5·T3+1.5·T4	N	-1.779	-1.779	-1.779	-1.779	-1.779	-1.779	-1.779	-1.779	-1.779
			Vy	0.000	0.000	0.000	0.000	0.000	0.000	0.000	0.000	0.000
			Vz	-9.321	-7.036	-4.752	-2.467	-0.183	2.102	4.386	6.671	8.955
			Mt	0.00	0.00	0.00	0.00	0.00	0.00	0.00	0.00	0.00
			My	-7.60	-2.89	0.50	2.57	3.33	2.78	0.92	-2.26	-6.75
			Mz	0.00	0.00	0.00	0.00	0.00	0.00	0.00	0.00	0.00
		PP+1.5·T1+1.5·T3+1.5·T4	N	-189.698	-189.698	-189.698	-189.698	-189.698	-189.698	-189.698	-189.698	-189.698
			Vy	0.000	0.000	0.000	0.000	0.000	0.000	0.000	0.000	0.000
			Vz	-9.461	-7.768	-6.076	-4.384	-2.692	-0.999	0.693	2.385	4.077
			Mt	0.00	0.00	0.00	0.00	0.00	0.00	0.00	0.00	0.00
			My	-12.59	-7.63	-3.65	-0.65	1.39	2.45	2.54	1.65	-0.21
			Mz	0.00	0.00	0.00	0.00	0.00	0.00	0.00	0.00	0.00
		1.35·PP+1.5·T1+1.5·T3+1.5·T4	N	-190.159	-190.159	-190.159	-190.159	-190.159	-190.159	-190.159	-190.159	-190.159
			Vy	0.000	0.000	0.000	0.000	0.000	0.000	0.000	0.000	0.000
			Vz	-11.877	-9.593	-7.308	-5.024	-2.739	-0.455	1.830	4.114	6.399
			Mt	0.00	0.00	0.00	0.00	0.00	0.00	0.00	0.00	0.00
			My	-14.56	-8.38	-3.52	0.02	2.25	3.17	2.78	1.07	-1.96
			Mz	0.00	0.00	0.00	0.00	0.00	0.00	0.00	0.00	0.00
		PP+1.5·T2+1.5·T3+1.5·T4	N	187.063	187.063	187.063	187.063	187.063	187.063	187.063	187.063	187.063
			Vy	0.000	0.000	0.000	0.000	0.000	0.000	0.000	0.000	0.000
			Vz	-4.348	-2.656	-0.964	0.729	2.421	4.113	5.805	7.498	9.190
			Mt	0.00	0.00	0.00	0.00	0.00	0.00	0.00	0.00	0.00
			My	1.33	3.35	4.39	4.46	3.55	1.67	-1.18	-5.00	-9.80
			Mz	0.00	0.00	0.00	0.00	0.00	0.00	0.00	0.00	0.00
		1.35·PP+1.5·T2+1.5·T3+1.5·T4	N	186.602	186.602	186.602	186.602	186.602	186.602	186.602	186.602	186.602
			Vy	0.000	0.000	0.000	0.000	0.000	0.000	0.000	0.000	0.000
			Vz	-6.764	-4.480	-2.195	0.089	2.374	4.658	6.943	9.227	11.512
			Mt	0.00	0.00	0.00	0.00	0.00	0.00	0.00	0.00	0.00
			My	-0.63	2.60	4.52	5.12	4.42	2.39	-0.94	-5.59	-11.55
			Mz	0.00	0.00	0.00	0.00	0.00	0.00	0.00	0.00	0.00
		PP+1.5·T1+1.5·T2+1.5·T3+1.5·T4	N	-1.317	-1.317	-1.317	-1.317	-1.317	-1.317	-1.317	-1.317	-1.317
			Vy	0.000	0.000	0.000	0.000	0.000	0.000	0.000	0.000	0.000
			Vz	-6.904	-5.212	-3.520	-1.828	-0.135	1.557	3.249	4.941	6.634
			Mt	0.00	0.00	0.00	0.00	0.00	0.00	0.00	0.00	0.00
			My	-5.63	-2.14	0.37	1.91	2.47	2.06	0.68	-1.68	-5.00
			Mz	0.00	0.00	0.00	0.00	0.00	0.00	0.00	0.00	0.00
		1.35·PP+1.5·T1+1.5·T2+1.5·T3+1.5·T4	N	-1.779	-1.779	-1.779	-1.779	-1.779	-1.779	-1.779	-1.779	-1.779
			Vy	0.000	0.000	0.000	0.000	0.000	0.000	0.000	0.000	0.000
			Vz	-9.321	-7.036	-4.752	-2.467	-0.183	2.102	4.386	6.671	8.955
			Mt	0.00	0.00	0.00	0.00	0.00	0.00	0.00	0.00	0.00
			My	-7.60	-2.89	0.50	2.57	3.33	2.78	0.92	-2.26	-6.75
			Mz	0.00	0.00	0.00	0.00	0.00	0.00	0.00	0.00	0.00

Esfuerzos en barras, por combinación

Barra	Combinación		Esfuerzo	Posiciones en la barra								
	Tipo	Descripción		0.000 m	0.575 m	1.150 m	1.725 m	2.300 m	2.875 m	3.450 m	4.025 m	4.600 m
N29/N30	Hormigón	PP	N	-1.379	-1.379	-1.379	-1.379	-1.379	-1.379	-1.379	-1.379	-1.379
			Vy	0.000	0.000	0.000	0.000	0.000	0.000	0.000	0.000	0.000
			Vz	-6.761	-5.069	-3.376	-1.684	0.008	1.700	3.393	5.085	6.777
			Mt	0.00	0.00	0.00	0.00	0.00	0.00	0.00	0.00	0.00
			My	-5.16	-1.76	0.67	2.12	2.61	2.11	0.65	-1.79	-5.20
			Mz	0.00	0.00	0.00	0.00	0.00	0.00	0.00	0.00	0.00

Esfuerzos en barras, por combinación

Barra	Combinación		Esfuerzo	Posiciones en la barra								
	Tipo	Descripción		0.000 m	0.575 m	1.150 m	1.725 m	2.300 m	2.875 m	3.450 m	4.025 m	4.600 m
		1.35·PP	N	-1.862	-1.862	-1.862	-1.862	-1.862	-1.862	-1.862	-1.862	-1.862
			Vy	0.000	0.000	0.000	0.000	0.000	0.000	0.000	0.000	0.000
			Vz	-9.127	-6.843	-4.558	-2.274	0.011	2.296	4.580	6.865	9.149
			Mt	0.00	0.00	0.00	0.00	0.00	0.00	0.00	0.00	0.00
			My	-6.97	-2.37	0.90	2.87	3.52	2.85	0.88	-2.41	-7.02
			Mz	0.00	0.00	0.00	0.00	0.00	0.00	0.00	0.00	0.00
		PP+1.5·T1	N	-200.017	-200.017	-200.017	-200.017	-200.017	-200.017	-200.017	-200.017	-200.017
			Vy	0.000	0.000	0.000	0.000	0.000	0.000	0.000	0.000	0.000
			Vz	-6.652	-4.960	-3.268	-1.575	0.117	1.809	3.501	5.193	6.886
			Mt	0.00	0.00	0.00	0.00	0.00	0.00	0.00	0.00	0.00
			My	-5.90	-2.56	-0.19	1.20	1.62	1.06	-0.46	-2.96	-6.44
			Mz	0.00	0.00	0.00	0.00	0.00	0.00	0.00	0.00	0.00
		1.35·PP+1.5·T1	N	-200.500	-200.500	-200.500	-200.500	-200.500	-200.500	-200.500	-200.500	-200.500
			Vy	0.000	0.000	0.000	0.000	0.000	0.000	0.000	0.000	0.000
			Vz	-9.018	-6.734	-4.449	-2.165	0.120	2.404	4.689	6.973	9.258
			Mt	0.00	0.00	0.00	0.00	0.00	0.00	0.00	0.00	0.00
			My	-7.70	-3.18	0.04	1.94	2.53	1.80	-0.24	-3.59	-8.25
			Mz	0.00	0.00	0.00	0.00	0.00	0.00	0.00	0.00	0.00
		PP+1.5·T2	N	197.259	197.259	197.259	197.259	197.259	197.259	197.259	197.259	197.259
			Vy	0.000	0.000	0.000	0.000	0.000	0.000	0.000	0.000	0.000
			Vz	-6.869	-5.177	-3.485	-1.793	-0.100	1.592	3.284	4.976	6.668
			Mt	0.00	0.00	0.00	0.00	0.00	0.00	0.00	0.00	0.00
			My	-4.42	-0.96	1.53	3.05	3.59	3.17	1.76	-0.61	-3.96
			Mz	0.00	0.00	0.00	0.00	0.00	0.00	0.00	0.00	0.00
		1.35·PP+1.5·T2	N	196.776	196.776	196.776	196.776	196.776	196.776	196.776	196.776	196.776
			Vy	0.000	0.000	0.000	0.000	0.000	0.000	0.000	0.000	0.000
			Vz	-9.236	-6.951	-4.667	-2.382	-0.098	2.187	4.471	6.756	9.040
			Mt	0.00	0.00	0.00	0.00	0.00	0.00	0.00	0.00	0.00
			My	-6.23	-1.57	1.77	3.79	4.51	3.91	1.99	-1.24	-5.78
			Mz	0.00	0.00	0.00	0.00	0.00	0.00	0.00	0.00	0.00
		PP+1.5·T1+1.5·T2	N	-1.379	-1.379	-1.379	-1.379	-1.379	-1.379	-1.379	-1.379	-1.379
			Vy	0.000	0.000	0.000	0.000	0.000	0.000	0.000	0.000	0.000
			Vz	-6.761	-5.069	-3.376	-1.684	0.008	1.700	3.393	5.085	6.777
			Mt	0.00	0.00	0.00	0.00	0.00	0.00	0.00	0.00	0.00
			My	-5.16	-1.76	0.67	2.12	2.61	2.11	0.65	-1.79	-5.20
			Mz	0.00	0.00	0.00	0.00	0.00	0.00	0.00	0.00	0.00
		1.35·PP+1.5·T1+1.5·T2	N	-1.862	-1.862	-1.862	-1.862	-1.862	-1.862	-1.862	-1.862	-1.862
			Vy	0.000	0.000	0.000	0.000	0.000	0.000	0.000	0.000	0.000
			Vz	-9.127	-6.843	-4.558	-2.274	0.011	2.296	4.580	6.865	9.149
			Mt	0.00	0.00	0.00	0.00	0.00	0.00	0.00	0.00	0.00
			My	-6.97	-2.37	0.90	2.87	3.52	2.85	0.88	-2.41	-7.02
			Mz	0.00	0.00	0.00	0.00	0.00	0.00	0.00	0.00	0.00
		PP+1.5·T3	N	-597.293	-597.293	-597.293	-597.293	-597.293	-597.293	-597.293	-597.293	-597.293
			Vy	0.000	0.000	0.000	0.000	0.000	0.000	0.000	0.000	0.000
			Vz	-6.435	-4.743	-3.050	-1.358	0.334	2.026	3.718	5.411	7.103
			Mt	0.00	0.00	0.00	0.00	0.00	0.00	0.00	0.00	0.00
			My	-7.38	-4.16	-1.92	-0.65	-0.36	-1.04	-2.69	-5.32	-8.91
			Mz	0.00	0.00	0.00	0.00	0.00	0.00	0.00	0.00	0.00
		1.35·PP+1.5·T3	N	-597.776	-597.776	-597.776	-597.776	-597.776	-597.776	-597.776	-597.776	-597.776
			Vy	0.000	0.000	0.000	0.000	0.000	0.000	0.000	0.000	0.000
			Vz	-8.801	-6.517	-4.232	-1.948	0.337	2.621	4.906	7.190	9.475
			Mt	0.00	0.00	0.00	0.00	0.00	0.00	0.00	0.00	0.00
			My	-9.18	-4.78	-1.69	0.09	0.55	-0.30	-2.46	-5.94	-10.73
			Mz	0.00	0.00	0.00	0.00	0.00	0.00	0.00	0.00	0.00
		PP+1.5·T1+1.5·T3	N	-795.931	-795.931	-795.931	-795.931	-795.931	-795.931	-795.931	-795.931	-795.931
			Vy	0.000	0.000	0.000	0.000	0.000	0.000	0.000	0.000	0.000
			Vz	-6.326	-4.634	-2.942	-1.250	0.443	2.135	3.827	5.519	7.212
			Mt	0.00	0.00	0.00	0.00	0.00	0.00	0.00	0.00	0.00
			My	-8.12	-4.96	-2.79	-1.58	-1.35	-2.09	-3.80	-6.49	-10.15
			Mz	0.00	0.00	0.00	0.00	0.00	0.00	0.00	0.00	0.00
		1.35·PP+1.5·T1+1.5·T3	N	-796.414	-796.414	-796.414	-796.414	-796.414	-796.414	-796.414	-796.414	-796.414
			Vy	0.000	0.000	0.000	0.000	0.000	0.000	0.000	0.000	0.000
			Vz	-8.693	-6.408	-4.124	-1.839	0.445	2.730	5.014	7.299	9.583
			Mt	0.00	0.00	0.00	0.00	0.00	0.00	0.00	0.00	0.00
			My	-9.92	-5.58	-2.55	-0.84	-0.44	-1.35	-3.58	-7.12	-11.97
			Mz	0.00	0.00	0.00	0.00	0.00	0.00	0.00	0.00	0.00
		PP+1.5·T2+1.5·T3	N	-398.655	-398.655	-398.655	-398.655	-398.655	-398.655	-398.655	-398.655	-398.655
			Vy	0.000	0.000	0.000	0.000	0.000	0.000	0.000	0.000	0.000
			Vz	-6.544	-4.851	-3.159	-1.467	0.225	1.918	3.610	5.302	6.994
			Mt	0.00	0.00	0.00	0.00	0.00	0.00	0.00	0.00	0.00
			My	-6.64	-3.36	-1.06	0.27	0.63	0.01	-1.58	-4.14	-7.67
			Mz	0.00	0.00	0.00	0.00	0.00	0.00	0.00	0.00	0.00
		1.35·PP+1.5·T2+1.5·T3	N	-399.138	-399.138	-399.138	-399.138	-399.138	-399.138	-399.138	-399.138	-399.138
			Vy	0.000	0.000	0.000	0.000	0.000	0.000	0.000	0.000	0.000
			Vz	-8.910	-6.625	-4.341	-2.056	0.228	2.513	4.797	7.082	9.366
			Mt	0.00	0.00	0.00	0.00	0.00	0.00	0.00	0.00	0.00
			My	-8.44	-3.98	-0.82	1.01	1.54	0.75	-1.35	-4.76	-9.49
			Mz	0.00	0.00	0.00	0.00	0.00	0.00	0.00	0.00	0.00
		PP+1.5·T1+1.5·T2+1.5·T3	N	-597.293	-597.293	-597.293	-597.293	-597.293	-597.293	-597.293	-597.293	-597.293
			Vy	0.000	0.000	0.000	0.000	0.000	0.000	0.000	0.000	0.000
			Vz	-6.435	-4.743	-3.050	-1.358	0.334	2.026	3.718	5.411	7.103
			Mt	0.00	0.00	0.00	0.00	0.00	0.00	0.00	0.00	0.00
			My	-7.38	-4.16	-1.92	-0.65	-0.36	-1.04	-2.69	-5.32	-8.91

Esfuerzos en barras, por combinación												
Barra	Combinación		Esfuerzo	Posiciones en la barra								
	Tipo	Descripción		0.000 m	0.575 m	1.150 m	1.725 m	2.300 m	2.875 m	3.450 m	4.025 m	4.600 m
			Mz	0.00	0.00	0.00	0.00	0.00	0.00	0.00	0.00	0.00
		1.35·PP+1.5·T1+1.5·T2+1.5·T3	N	-597.776	-597.776	-597.776	-597.776	-597.776	-597.776	-597.776	-597.776	-597.776
			Vy	0.000	0.000	0.000	0.000	0.000	0.000	0.000	0.000	0.000
			Vz	-8.801	-6.517	-4.232	-1.948	0.337	2.621	4.906	7.190	9.475
			Mt	0.00	0.00	0.00	0.00	0.00	0.00	0.00	0.00	0.00
			My	-9.18	-4.78	-1.69	0.09	0.55	-0.30	-2.46	-5.94	-10.73
			Mz	0.00	0.00	0.00	0.00	0.00	0.00	0.00	0.00	0.00
		PP+1.5·T4	N	594.534	594.534	594.534	594.534	594.534	594.534	594.534	594.534	594.534
			Vy	0.000	0.000	0.000	0.000	0.000	0.000	0.000	0.000	0.000
			Vz	-7.087	-5.394	-3.702	-2.010	-0.318	1.375	3.067	4.759	6.451
			Mt	0.00	0.00	0.00	0.00	0.00	0.00	0.00	0.00	0.00
			My	-2.94	0.65	3.26	4.90	5.57	5.27	3.99	1.74	-1.48
			Mz	0.00	0.00	0.00	0.00	0.00	0.00	0.00	0.00	0.00
		1.35·PP+1.5·T4	N	594.052	594.052	594.052	594.052	594.052	594.052	594.052	594.052	594.052
			Vy	0.000	0.000	0.000	0.000	0.000	0.000	0.000	0.000	0.000
			Vz	-9.453	-7.168	-4.884	-2.599	-0.315	1.970	4.254	6.539	8.823
			Mt	0.00	0.00	0.00	0.00	0.00	0.00	0.00	0.00	0.00
			My	-4.75	0.03	3.50	5.65	6.48	6.01	4.22	1.12	-3.30
			Mz	0.00	0.00	0.00	0.00	0.00	0.00	0.00	0.00	0.00
		PP+1.5·T1+1.5·T4	N	395.896	395.896	395.896	395.896	395.896	395.896	395.896	395.896	395.896
			Vy	0.000	0.000	0.000	0.000	0.000	0.000	0.000	0.000	0.000
			Vz	-6.978	-5.286	-3.594	-1.901	-0.209	1.483	3.175	4.868	6.560
			Mt	0.00	0.00	0.00	0.00	0.00	0.00	0.00	0.00	0.00
			My	-3.68	-0.16	2.40	3.98	4.58	4.22	2.88	0.57	-2.72
			Mz	0.00	0.00	0.00	0.00	0.00	0.00	0.00	0.00	0.00
		1.35·PP+1.5·T1+1.5·T4	N	395.414	395.414	395.414	395.414	395.414	395.414	395.414	395.414	395.414
			Vy	0.000	0.000	0.000	0.000	0.000	0.000	0.000	0.000	0.000
			Vz	-9.344	-7.060	-4.775	-2.491	-0.206	2.078	4.363	6.647	8.932
			Mt	0.00	0.00	0.00	0.00	0.00	0.00	0.00	0.00	0.00
			My	-5.49	-0.77	2.63	4.72	5.50	4.96	3.11	-0.06	-4.54
			Mz	0.00	0.00	0.00	0.00	0.00	0.00	0.00	0.00	0.00
		PP+1.5·T2+1.5·T4	N	793.172	793.172	793.172	793.172	793.172	793.172	793.172	793.172	793.172
			Vy	0.000	0.000	0.000	0.000	0.000	0.000	0.000	0.000	0.000
			Vz	-7.195	-5.503	-3.811	-2.119	-0.426	1.266	2.958	4.650	6.343
			Mt	0.00	0.00	0.00	0.00	0.00	0.00	0.00	0.00	0.00
			My	-2.20	1.45	4.12	5.83	6.56	6.32	5.11	2.92	-0.24
			Mz	0.00	0.00	0.00	0.00	0.00	0.00	0.00	0.00	0.00
		1.35·PP+1.5·T2+1.5·T4	N	792.690	792.690	792.690	792.690	792.690	792.690	792.690	792.690	792.690
			Vy	0.000	0.000	0.000	0.000	0.000	0.000	0.000	0.000	0.000
			Vz	-9.561	-7.277	-4.992	-2.708	-0.423	1.861	4.146	6.430	8.715
			Mt	0.00	0.00	0.00	0.00	0.00	0.00	0.00	0.00	0.00
			My	-4.01	0.83	4.36	6.57	7.47	7.06	5.33	2.29	-2.06
			Mz	0.00	0.00	0.00	0.00	0.00	0.00	0.00	0.00	0.00
		PP+1.5·T1+1.5·T2+1.5·T4	N	594.534	594.534	594.534	594.534	594.534	594.534	594.534	594.534	594.534
			Vy	0.000	0.000	0.000	0.000	0.000	0.000	0.000	0.000	0.000
			Vz	-7.087	-5.394	-3.702	-2.010	-0.318	1.375	3.067	4.759	6.451
			Mt	0.00	0.00	0.00	0.00	0.00	0.00	0.00	0.00	0.00
			My	-2.94	0.65	3.26	4.90	5.57	5.27	3.99	1.74	-1.48
			Mz	0.00	0.00	0.00	0.00	0.00	0.00	0.00	0.00	0.00
		1.35·PP+1.5·T1+1.5·T2+1.5·T4	N	594.052	594.052	594.052	594.052	594.052	594.052	594.052	594.052	594.052
			Vy	0.000	0.000	0.000	0.000	0.000	0.000	0.000	0.000	0.000
			Vz	-9.453	-7.168	-4.884	-2.599	-0.315	1.970	4.254	6.539	8.823
			Mt	0.00	0.00	0.00	0.00	0.00	0.00	0.00	0.00	0.00
			My	-4.75	0.03	3.50	5.65	6.48	6.01	4.22	1.12	-3.30
			Mz	0.00	0.00	0.00	0.00	0.00	0.00	0.00	0.00	0.00
		PP+1.5·T3+1.5·T4	N	-1.379	-1.379	-1.379	-1.379	-1.379	-1.379	-1.379	-1.379	-1.379
			Vy	0.000	0.000	0.000	0.000	0.000	0.000	0.000	0.000	0.000
			Vz	-6.761	-5.069	-3.376	-1.684	0.008	1.700	3.393	5.085	6.777
			Mt	0.00	0.00	0.00	0.00	0.00	0.00	0.00	0.00	0.00
			My	-5.16	-1.76	0.67	2.12	2.61	2.11	0.65	-1.79	-5.20
			Mz	0.00	0.00	0.00	0.00	0.00	0.00	0.00	0.00	0.00
		1.35·PP+1.5·T3+1.5·T4	N	-1.862	-1.862	-1.862	-1.862	-1.862	-1.862	-1.862	-1.862	-1.862
			Vy	0.000	0.000	0.000	0.000	0.000	0.000	0.000	0.000	0.000
			Vz	-9.127	-6.843	-4.558	-2.274	0.011	2.296	4.580	6.865	9.149
			Mt	0.00	0.00	0.00	0.00	0.00	0.00	0.00	0.00	0.00
			My	-6.97	-2.37	0.90	2.87	3.52	2.85	0.88	-2.41	-7.02
			Mz	0.00	0.00	0.00	0.00	0.00	0.00	0.00	0.00	0.00
		PP+1.5·T1+1.5·T3+1.5·T4	N	-200.017	-200.017	-200.017	-200.017	-200.017	-200.017	-200.017	-200.017	-200.017
			Vy	0.000	0.000	0.000	0.000	0.000	0.000	0.000	0.000	0.000
			Vz	-6.652	-4.960	-3.268	-1.575	0.117	1.809	3.501	5.193	6.886
			Mt	0.00	0.00	0.00	0.00	0.00	0.00	0.00	0.00	0.00
			My	-5.90	-2.56	-0.19	1.20	1.62	1.06	-0.46	-2.96	-6.44
			Mz	0.00	0.00	0.00	0.00	0.00	0.00	0.00	0.00	0.00
		1.35·PP+1.5·T1+1.5·T3+1.5·T4	N	-200.500	-200.500	-200.500	-200.500	-200.500	-200.500	-200.500	-200.500	-200.500
			Vy	0.000	0.000	0.000	0.000	0.000	0.000	0.000	0.000	0.000
			Vz	-9.018	-6.734	-4.449	-2.165	0.120	2.404	4.689	6.973	9.258
			Mt	0.00	0.00	0.00	0.00	0.00	0.00	0.00	0.00	0.00
			My	-7.70	-3.18	0.04	1.94	2.53	1.80	-0.24	-3.59	-8.25
			Mz	0.00	0.00	0.00	0.00	0.00	0.00	0.00	0.00	0.00
		PP+1.5·T2+1.5·T3+1.5·T4	N	197.259	197.259	197.259	197.259	197.259	197.259	197.259	197.259	197.259
			Vy	0.000	0.000	0.000	0.000	0.000	0.000	0.000	0.000	0.000
			Vz	-6.869	-5.177	-3.485	-1.793	-0.100	1.592	3.284	4.976	6.668
			Mt	0.00	0.00	0.00	0.00	0.00	0.00	0.00	0.00	0.00

Esfuerzos en barras, por combinación												
Barra	Combinación		Esfuerzo	Posiciones en la barra								
	Tipo	Descripción		0.000 m	0.575 m	1.150 m	1.725 m	2.300 m	2.875 m	3.450 m	4.025 m	4.600 m
			My	-4.42	-0.96	1.53	3.05	3.59	3.17	1.76	-0.61	-3.96
			Mz	0.00	0.00	0.00	0.00	0.00	0.00	0.00	0.00	0.00
		1.35·PP+1.5·T2+1.5·T3+1.5·T4	N	196.776	196.776	196.776	196.776	196.776	196.776	196.776	196.776	196.776
			Vy	0.000	0.000	0.000	0.000	0.000	0.000	0.000	0.000	0.000
			Vz	-9.236	-6.951	-4.667	-2.382	-0.098	2.187	4.471	6.756	9.040
			Mt	0.00	0.00	0.00	0.00	0.00	0.00	0.00	0.00	0.00
			My	-6.23	-1.57	1.77	3.79	4.51	3.91	1.99	-1.24	-5.78
			Mz	0.00	0.00	0.00	0.00	0.00	0.00	0.00	0.00	0.00
		PP+1.5·T1+1.5·T2+1.5·T3+1.5·T4	N	-1.379	-1.379	-1.379	-1.379	-1.379	-1.379	-1.379	-1.379	-1.379
			Vy	0.000	0.000	0.000	0.000	0.000	0.000	0.000	0.000	0.000
			Vz	-6.761	-5.069	-3.376	-1.684	0.008	1.700	3.393	5.085	6.777
			Mt	0.00	0.00	0.00	0.00	0.00	0.00	0.00	0.00	0.00
			My	-5.16	-1.76	0.67	2.12	2.61	2.11	0.65	-1.79	-5.20
			Mz	0.00	0.00	0.00	0.00	0.00	0.00	0.00	0.00	0.00
		1.35·PP+1.5·T1+1.5·T2+1.5·T3+1.5·T4	N	-1.862	-1.862	-1.862	-1.862	-1.862	-1.862	-1.862	-1.862	-1.862
			Vy	0.000	0.000	0.000	0.000	0.000	0.000	0.000	0.000	0.000
			Vz	-9.127	-6.843	-4.558	-2.274	0.011	2.296	4.580	6.865	9.149
			Mt	0.00	0.00	0.00	0.00	0.00	0.00	0.00	0.00	0.00
			My	-6.97	-2.37	0.90	2.87	3.52	2.85	0.88	-2.41	-7.02
			Mz	0.00	0.00	0.00	0.00	0.00	0.00	0.00	0.00	0.00

Esfuerzos en barras, por combinación												
Barra	Combinación		Esfuerzo	Posiciones en la barra								
	Tipo	Descripción		0.000 m	0.575 m	1.150 m	1.725 m	2.300 m	2.875 m	3.450 m	4.025 m	4.600 m
N30/N31	Hormigón	PP	N	-1.434	-1.434	-1.434	-1.434	-1.434	-1.434	-1.434	-1.434	-1.434
			Vy	0.000	0.000	0.000	0.000	0.000	0.000	0.000	0.000	0.000
			Vz	-6.782	-5.090	-3.397	-1.705	-0.013	1.679	3.371	5.064	6.756
			Mt	0.00	0.00	0.00	0.00	0.00	0.00	0.00	0.00	0.00
			My	-5.21	-1.80	0.64	2.11	2.60	2.12	0.67	-1.76	-5.15
			Mz	0.00	0.00	0.00	0.00	0.00	0.00	0.00	0.00	0.00
		1.35·PP	N	-1.936	-1.936	-1.936	-1.936	-1.936	-1.936	-1.936	-1.936	-1.936
			Vy	0.000	0.000	0.000	0.000	0.000	0.000	0.000	0.000	0.000
			Vz	-9.156	-6.871	-4.587	-2.302	-0.018	2.267	4.551	6.836	9.120
			Mt	0.00	0.00	0.00	0.00	0.00	0.00	0.00	0.00	0.00
			My	-7.04	-2.43	0.86	2.84	3.51	2.86	0.90	-2.37	-6.96
			Mz	0.00	0.00	0.00	0.00	0.00	0.00	0.00	0.00	0.00
		PP+1.5·T1	N	-187.633	-187.633	-187.633	-187.633	-187.633	-187.633	-187.633	-187.633	-187.633
			Vy	0.000	0.000	0.000	0.000	0.000	0.000	0.000	0.000	0.000
			Vz	-4.077	-2.385	-0.693	0.999	2.692	4.384	6.076	7.768	9.460
			Mt	0.00	0.00	0.00	0.00	0.00	0.00	0.00	0.00	0.00
			My	-0.02	1.84	2.72	2.64	1.57	-0.46	-3.47	-7.45	-12.40
			Mz	0.00	0.00	0.00	0.00	0.00	0.00	0.00	0.00	0.00
		1.35·PP+1.5·T1	N	-188.135	-188.135	-188.135	-188.135	-188.135	-188.135	-188.135	-188.135	-188.135
			Vy	0.000	0.000	0.000	0.000	0.000	0.000	0.000	0.000	0.000
			Vz	-6.451	-4.166	-1.882	0.403	2.687	4.972	7.256	9.541	11.825
			Mt	0.00	0.00	0.00	0.00	0.00	0.00	0.00	0.00	0.00
			My	-1.84	1.21	2.95	3.37	2.48	0.28	-3.23	-8.06	-14.20
			Mz	0.00	0.00	0.00	0.00	0.00	0.00	0.00	0.00	0.00
		PP+1.5·T2	N	184.764	184.764	184.764	184.764	184.764	184.764	184.764	184.764	184.764
			Vy	0.000	0.000	0.000	0.000	0.000	0.000	0.000	0.000	0.000
			Vz	-9.486	-7.794	-6.102	-4.410	-2.718	-1.025	0.667	2.359	4.051
			Mt	0.00	0.00	0.00	0.00	0.00	0.00	0.00	0.00	0.00
			My	-10.41	-5.44	-1.45	1.58	3.63	4.70	4.80	3.93	2.09
			Mz	0.00	0.00	0.00	0.00	0.00	0.00	0.00	0.00	0.00
		1.35·PP+1.5·T2	N	184.262	184.262	184.262	184.262	184.262	184.262	184.262	184.262	184.262
			Vy	0.000	0.000	0.000	0.000	0.000	0.000	0.000	0.000	0.000
			Vz	-11.860	-9.576	-7.291	-5.007	-2.722	-0.438	1.847	4.131	6.416
			Mt	0.00	0.00	0.00	0.00	0.00	0.00	0.00	0.00	0.00
			My	-12.23	-6.07	-1.22	2.31	4.54	5.44	5.04	3.32	0.29
			Mz	0.00	0.00	0.00	0.00	0.00	0.00	0.00	0.00	0.00
		PP+1.5·T1+1.5·T2	N	-1.434	-1.434	-1.434	-1.434	-1.434	-1.434	-1.434	-1.434	-1.434
			Vy	0.000	0.000	0.000	0.000	0.000	0.000	0.000	0.000	0.000
			Vz	-6.782	-5.090	-3.397	-1.705	-0.013	1.679	3.371	5.064	6.756
			Mt	0.00	0.00	0.00	0.00	0.00	0.00	0.00	0.00	0.00
			My	-5.21	-1.80	0.64	2.11	2.60	2.12	0.67	-1.76	-5.15
			Mz	0.00	0.00	0.00	0.00	0.00	0.00	0.00	0.00	0.00
		1.35·PP+1.5·T1+1.5·T2	N	-1.936	-1.936	-1.936	-1.936	-1.936	-1.936	-1.936	-1.936	-1.936
			Vy	0.000	0.000	0.000	0.000	0.000	0.000	0.000	0.000	0.000
			Vz	-9.156	-6.871	-4.587	-2.302	-0.018	2.267	4.551	6.836	9.120
			Mt	0.00	0.00	0.00	0.00	0.00	0.00	0.00	0.00	0.00
			My	-7.04	-2.43	0.86	2.84	3.51	2.86	0.90	-2.37	-6.96
			Mz	0.00	0.00	0.00	0.00	0.00	0.00	0.00	0.00	0.00
		PP+1.5·T3	N	-560.030	-560.030	-560.030	-560.030	-560.030	-560.030	-560.030	-560.030	-560.030
			Vy	0.000	0.000	0.000	0.000	0.000	0.000	0.000	0.000	0.000
			Vz	1.332	3.024	4.716	6.408	8.101	9.793	11.485	13.177	14.870
			Mt	0.00	0.00	0.00	0.00	0.00	0.00	0.00	0.00	0.00
			My	10.37	9.12	6.89	3.69	-0.48	-5.62	-11.74	-18.83	-26.89
			Mz	0.00	0.00	0.00	0.00	0.00	0.00	0.00	0.00	0.00
		1.35·PP+1.5·T3	N	-560.532	-560.532	-560.532	-560.532	-560.532	-560.532	-560.532	-560.532	-560.532
			Vy	0.000	0.000	0.000	0.000	0.000	0.000	0.000	0.000	0.000
			Vz	-1.042	1.243	3.527	5.812	8.096	10.381	12.665	14.950	17.234
			Mt	0.00	0.00	0.00	0.00	0.00	0.00	0.00	0.00	0.00

Esfuerzos en barras, por combinación

Barra	Combinación		Esfuerzo	Posiciones en la barra								
	Tipo	Descripción		0.000 m	0.575 m	1.150 m	1.725 m	2.300 m	2.875 m	3.450 m	4.025 m	4.600 m
			My	8.55	8.49	7.12	4.43	0.43	-4.88	-11.50	-19.44	-28.70
			Mz	0.00	0.00	0.00	0.00	0.00	0.00	0.00	0.00	0.00
		PP+1.5·T1+1.5·T3	N	-746.228	-746.228	-746.228	-746.228	-746.228	-746.228	-746.228	-746.228	-746.228
			Vy	0.000	0.000	0.000	0.000	0.000	0.000	0.000	0.000	0.000
			Vz	4.036	5.729	7.421	9.113	10.805	12.498	14.190	15.882	17.574
			Mt	0.00	0.00	0.00	0.00	0.00	0.00	0.00	0.00	0.00
			My	15.57	12.76	8.98	4.22	-1.50	-8.20	-15.87	-24.52	-34.14
			Mz	0.00	0.00	0.00	0.00	0.00	0.00	0.00	0.00	0.00
		1.35·PP+1.5·T1+1.5·T3	N	-746.730	-746.730	-746.730	-746.730	-746.730	-746.730	-746.730	-746.730	-746.730
			Vy	0.000	0.000	0.000	0.000	0.000	0.000	0.000	0.000	0.000
			Vz	1.663	3.947	6.232	8.516	10.801	13.085	15.370	17.654	19.939
			Mt	0.00	0.00	0.00	0.00	0.00	0.00	0.00	0.00	0.00
			My	13.74	12.13	9.20	4.96	-0.59	-7.46	-15.64	-25.13	-35.94
			Mz	0.00	0.00	0.00	0.00	0.00	0.00	0.00	0.00	0.00
		PP+1.5·T2+1.5·T3	N	-373.831	-373.831	-373.831	-373.831	-373.831	-373.831	-373.831	-373.831	-373.831
			Vy	0.000	0.000	0.000	0.000	0.000	0.000	0.000	0.000	0.000
			Vz	-1.373	0.319	2.012	3.704	5.396	7.088	8.781	10.473	12.165
			Mt	0.00	0.00	0.00	0.00	0.00	0.00	0.00	0.00	0.00
			My	5.18	5.48	4.81	3.17	0.55	-3.04	-7.60	-13.14	-19.65
			Mz	0.00	0.00	0.00	0.00	0.00	0.00	0.00	0.00	0.00
		1.35·PP+1.5·T2+1.5·T3	N	-374.333	-374.333	-374.333	-374.333	-374.333	-374.333	-374.333	-374.333	-374.333
			Vy	0.000	0.000	0.000	0.000	0.000	0.000	0.000	0.000	0.000
			Vz	-3.746	-1.462	0.823	3.107	5.392	7.676	9.961	12.245	14.530
			Mt	0.00	0.00	0.00	0.00	0.00	0.00	0.00	0.00	0.00
			My	3.35	4.85	5.03	3.90	1.46	-2.30	-7.37	-13.75	-21.45
			Mz	0.00	0.00	0.00	0.00	0.00	0.00	0.00	0.00	0.00
		PP+1.5·T1+1.5·T2+1.5·T3	N	-560.030	-560.030	-560.030	-560.030	-560.030	-560.030	-560.030	-560.030	-560.030
			Vy	0.000	0.000	0.000	0.000	0.000	0.000	0.000	0.000	0.000
			Vz	1.332	3.024	4.716	6.408	8.101	9.793	11.485	13.177	14.870
			Mt	0.00	0.00	0.00	0.00	0.00	0.00	0.00	0.00	0.00
			My	10.37	9.12	6.89	3.69	-0.48	-5.62	-11.74	-18.83	-26.89
			Mz	0.00	0.00	0.00	0.00	0.00	0.00	0.00	0.00	0.00
		1.35·PP+1.5·T1+1.5·T2+1.5·T3	N	-560.532	-560.532	-560.532	-560.532	-560.532	-560.532	-560.532	-560.532	-560.532
			Vy	0.000	0.000	0.000	0.000	0.000	0.000	0.000	0.000	0.000
			Vz	-1.042	1.243	3.527	5.812	8.096	10.381	12.665	14.950	17.234
			Mt	0.00	0.00	0.00	0.00	0.00	0.00	0.00	0.00	0.00
			My	8.55	8.49	7.12	4.43	0.43	-4.88	-11.50	-19.44	-28.70
			Mz	0.00	0.00	0.00	0.00	0.00	0.00	0.00	0.00	0.00
		PP+1.5·T4	N	557.161	557.161	557.161	557.161	557.161	557.161	557.161	557.161	557.161
			Vy	0.000	0.000	0.000	0.000	0.000	0.000	0.000	0.000	0.000
			Vz	-14.896	-13.203	-11.511	-9.819	-8.127	-6.434	-4.742	-3.050	-1.358
			Mt	0.00	0.00	0.00	0.00	0.00	0.00	0.00	0.00	0.00
			My	-20.80	-12.72	-5.61	0.52	5.68	9.86	13.08	15.32	16.58
			Mz	0.00	0.00	0.00	0.00	0.00	0.00	0.00	0.00	0.00
		1.35·PP+1.5·T4	N	556.659	556.659	556.659	556.659	556.659	556.659	556.659	556.659	556.659
			Vy	0.000	0.000	0.000	0.000	0.000	0.000	0.000	0.000	0.000
			Vz	-17.269	-14.985	-12.700	-10.416	-8.131	-5.847	-3.562	-1.278	1.007
			Mt	0.00	0.00	0.00	0.00	0.00	0.00	0.00	0.00	0.00
			My	-22.62	-13.35	-5.39	1.25	6.59	10.61	13.31	14.70	14.78
			Mz	0.00	0.00	0.00	0.00	0.00	0.00	0.00	0.00	0.00
		PP+1.5·T1+1.5·T4	N	370.963	370.963	370.963	370.963	370.963	370.963	370.963	370.963	370.963
			Vy	0.000	0.000	0.000	0.000	0.000	0.000	0.000	0.000	0.000
			Vz	-12.191	-10.499	-8.807	-7.114	-5.422	-3.730	-2.038	-0.345	1.347
			Mt	0.00	0.00	0.00	0.00	0.00	0.00	0.00	0.00	0.00
			My	-15.60	-9.08	-3.53	1.05	4.65	7.28	8.94	9.63	9.34
			Mz	0.00	0.00	0.00	0.00	0.00	0.00	0.00	0.00	0.00
		1.35·PP+1.5·T1+1.5·T4	N	370.461	370.461	370.461	370.461	370.461	370.461	370.461	370.461	370.461
			Vy	0.000	0.000	0.000	0.000	0.000	0.000	0.000	0.000	0.000
			Vz	-14.565	-12.280	-9.996	-7.711	-5.427	-3.142	-0.858	1.427	3.711
			Mt	0.00	0.00	0.00	0.00	0.00	0.00	0.00	0.00	0.00
			My	-17.43	-9.71	-3.31	1.78	5.56	8.02	9.17	9.01	7.53
			Mz	0.00	0.00	0.00	0.00	0.00	0.00	0.00	0.00	0.00
		PP+1.5·T2+1.5·T4	N	743.360	743.360	743.360	743.360	743.360	743.360	743.360	743.360	743.360
			Vy	0.000	0.000	0.000	0.000	0.000	0.000	0.000	0.000	0.000
			Vz	-17.600	-15.908	-14.216	-12.524	-10.831	-9.139	-7.447	-5.755	-4.062
			Mt	0.00	0.00	0.00	0.00	0.00	0.00	0.00	0.00	0.00
			My	-25.99	-16.36	-7.70	-0.01	6.70	12.44	17.21	21.01	23.83
			Mz	0.00	0.00	0.00	0.00	0.00	0.00	0.00	0.00	0.00
		1.35·PP+1.5·T2+1.5·T4	N	742.858	742.858	742.858	742.858	742.858	742.858	742.858	742.858	742.858
			Vy	0.000	0.000	0.000	0.000	0.000	0.000	0.000	0.000	0.000
			Vz	-19.974	-17.689	-15.405	-13.120	-10.836	-8.551	-6.267	-3.982	-1.698
			Mt	0.00	0.00	0.00	0.00	0.00	0.00	0.00	0.00	0.00
			My	-27.82	-16.99	-7.48	0.73	7.61	13.19	17.45	20.39	22.03
			Mz	0.00	0.00	0.00	0.00	0.00	0.00	0.00	0.00	0.00
		PP+1.5·T1+1.5·T2+1.5·T4	N	557.161	557.161	557.161	557.161	557.161	557.161	557.161	557.161	557.161
			Vy	0.000	0.000	0.000	0.000	0.000	0.000	0.000	0.000	0.000
			Vz	-14.896	-13.203	-11.511	-9.819	-8.127	-6.434	-4.742	-3.050	-1.358
			Mt	0.00	0.00	0.00	0.00	0.00	0.00	0.00	0.00	0.00
			My	-20.80	-12.72	-5.61	0.52	5.68	9.86	13.08	15.32	16.58
			Mz	0.00	0.00	0.00	0.00	0.00	0.00	0.00	0.00	0.00
		1.35·PP+1.5·T1+1.5·T2+1.5·T4	N	556.659	556.659	556.659	556.659	556.659	556.659	556.659	556.659	556.659
			Vy	0.000	0.000	0.000	0.000	0.000	0.000	0.000	0.000	0.000
			Vz	-17.269	-14.985	-12.700	-10.416	-8.131	-5.847	-3.562	-1.278	1.007

Esfuerzos en barras, por combinación												
Barra	Combinación		Esfuerzo	Posiciones en la barra								
	Tipo	Descripción		0.000 m	0.575 m	1.150 m	1.725 m	2.300 m	2.875 m	3.450 m	4.025 m	4.600 m
			Mt	0.00	0.00	0.00	0.00	0.00	0.00	0.00	0.00	0.00
			My	-22.62	-13.35	-5.39	1.25	6.59	10.61	13.31	14.70	14.78
			Mz	0.00	0.00	0.00	0.00	0.00	0.00	0.00	0.00	0.00
		PP+1.5·T3+1.5·T4	N	-1.434	-1.434	-1.434	-1.434	-1.434	-1.434	-1.434	-1.434	-1.434
			Vy	0.000	0.000	0.000	0.000	0.000	0.000	0.000	0.000	0.000
			Vz	-6.782	-5.090	-3.397	-1.705	-0.013	1.679	3.371	5.064	6.756
			Mt	0.00	0.00	0.00	0.00	0.00	0.00	0.00	0.00	0.00
			My	-5.21	-1.80	0.64	2.11	2.60	2.12	0.67	-1.76	-5.15
			Mz	0.00	0.00	0.00	0.00	0.00	0.00	0.00	0.00	0.00
		1.35·PP+1.5·T3+1.5·T4	N	-1.936	-1.936	-1.936	-1.936	-1.936	-1.936	-1.936	-1.936	-1.936
			Vy	0.000	0.000	0.000	0.000	0.000	0.000	0.000	0.000	0.000
			Vz	-9.156	-6.871	-4.587	-2.302	-0.018	2.267	4.551	6.836	9.120
			Mt	0.00	0.00	0.00	0.00	0.00	0.00	0.00	0.00	0.00
			My	-7.04	-2.43	0.86	2.84	3.51	2.86	0.90	-2.37	-6.96
			Mz	0.00	0.00	0.00	0.00	0.00	0.00	0.00	0.00	0.00
		PP+1.5·T1+1.5·T3+1.5·T4	N	-187.633	-187.633	-187.633	-187.633	-187.633	-187.633	-187.633	-187.633	-187.633
			Vy	0.000	0.000	0.000	0.000	0.000	0.000	0.000	0.000	0.000
			Vz	-4.077	-2.385	-0.693	0.999	2.692	4.384	6.076	7.768	9.460
			Mt	0.00	0.00	0.00	0.00	0.00	0.00	0.00	0.00	0.00
			My	-0.02	1.84	2.72	2.64	1.57	-0.46	-3.47	-7.45	-12.40
			Mz	0.00	0.00	0.00	0.00	0.00	0.00	0.00	0.00	0.00
		1.35·PP+1.5·T1+1.5·T3+1.5·T4	N	-188.135	-188.135	-188.135	-188.135	-188.135	-188.135	-188.135	-188.135	-188.135
			Vy	0.000	0.000	0.000	0.000	0.000	0.000	0.000	0.000	0.000
			Vz	-6.451	-4.166	-1.882	0.403	2.687	4.972	7.256	9.541	11.825
			Mt	0.00	0.00	0.00	0.00	0.00	0.00	0.00	0.00	0.00
			My	-1.84	1.21	2.95	3.37	2.48	0.28	-3.23	-8.06	-14.20
			Mz	0.00	0.00	0.00	0.00	0.00	0.00	0.00	0.00	0.00
		PP+1.5·T2+1.5·T3+1.5·T4	N	184.764	184.764	184.764	184.764	184.764	184.764	184.764	184.764	184.764
			Vy	0.000	0.000	0.000	0.000	0.000	0.000	0.000	0.000	0.000
			Vz	-9.486	-7.794	-6.102	-4.410	-2.718	-1.025	0.667	2.359	4.051
			Mt	0.00	0.00	0.00	0.00	0.00	0.00	0.00	0.00	0.00
			My	-10.41	-5.44	-1.45	1.58	3.63	4.70	4.80	3.93	2.09
			Mz	0.00	0.00	0.00	0.00	0.00	0.00	0.00	0.00	0.00
		1.35·PP+1.5·T2+1.5·T3+1.5·T4	N	184.262	184.262	184.262	184.262	184.262	184.262	184.262	184.262	184.262
			Vy	0.000	0.000	0.000	0.000	0.000	0.000	0.000	0.000	0.000
			Vz	-11.860	-9.576	-7.291	-5.007	-2.722	-0.438	1.847	4.131	6.416
			Mt	0.00	0.00	0.00	0.00	0.00	0.00	0.00	0.00	0.00
			My	-12.23	-6.07	-1.22	2.31	4.54	5.44	5.04	3.32	0.29
			Mz	0.00	0.00	0.00	0.00	0.00	0.00	0.00	0.00	0.00
		PP+1.5·T1+1.5·T2+1.5·T3+1.5·T4	N	-1.434	-1.434	-1.434	-1.434	-1.434	-1.434	-1.434	-1.434	-1.434
			Vy	0.000	0.000	0.000	0.000	0.000	0.000	0.000	0.000	0.000
			Vz	-6.782	-5.090	-3.397	-1.705	-0.013	1.679	3.371	5.064	6.756
			Mt	0.00	0.00	0.00	0.00	0.00	0.00	0.00	0.00	0.00
			My	-5.21	-1.80	0.64	2.11	2.60	2.12	0.67	-1.76	-5.15
			Mz	0.00	0.00	0.00	0.00	0.00	0.00	0.00	0.00	0.00
		1.35·PP+1.5·T1+1.5·T2+1.5·T3+1.5·T4	N	-1.936	-1.936	-1.936	-1.936	-1.936	-1.936	-1.936	-1.936	-1.936
			Vy	0.000	0.000	0.000	0.000	0.000	0.000	0.000	0.000	0.000
			Vz	-9.156	-6.871	-4.587	-2.302	-0.018	2.267	4.551	6.836	9.120
			Mt	0.00	0.00	0.00	0.00	0.00	0.00	0.00	0.00	0.00
			My	-7.04	-2.43	0.86	2.84	3.51	2.86	0.90	-2.37	-6.96
			Mz	0.00	0.00	0.00	0.00	0.00	0.00	0.00	0.00	0.00

Esfuerzos en barras, por combinación												
Barra	Combinación		Esfuerzo	Posiciones en la barra								
	Tipo	Descripción		0.000 m	0.575 m	1.150 m	1.725 m	2.300 m	2.875 m	3.450 m	4.025 m	4.600 m
N31/N32	Hormigón	PP	N	-1.589	-1.589	-1.589	-1.589	-1.589	-1.589	-1.589	-1.589	-1.589
			Vy	0.000	0.000	0.000	0.000	0.000	0.000	0.000	0.000	0.000
			Vz	-6.788	-5.095	-3.403	-1.711	-0.019	1.673	3.366	5.058	6.750
			Mt	0.00	0.00	0.00	0.00	0.00	0.00	0.00	0.00	0.00
			My	-5.23	-1.82	0.63	2.10	2.59	2.12	0.67	-1.75	-5.15
			Mz	0.00	0.00	0.00	0.00	0.00	0.00	0.00	0.00	0.00
		1.35·PP	N	-2.145	-2.145	-2.145	-2.145	-2.145	-2.145	-2.145	-2.145	-2.145
			Vy	0.000	0.000	0.000	0.000	0.000	0.000	0.000	0.000	0.000
			Vz	-9.163	-6.879	-4.594	-2.310	-0.025	2.259	4.544	6.828	9.113
			Mt	0.00	0.00	0.00	0.00	0.00	0.00	0.00	0.00	0.00
			My	-7.07	-2.45	0.85	2.83	3.50	2.86	0.90	-2.37	-6.95
			Mz	0.00	0.00	0.00	0.00	0.00	0.00	0.00	0.00	0.00
		PP+1.5·T1	N	-151.505	-151.505	-151.505	-151.505	-151.505	-151.505	-151.505	-151.505	-151.505
			Vy	0.000	0.000	0.000	0.000	0.000	0.000	0.000	0.000	0.000
			Vz	-1.365	0.327	2.019	3.712	5.404	7.096	8.788	10.480	12.173
			Mt	0.00	0.00	0.00	0.00	0.00	0.00	0.00	0.00	0.00
			My	6.16	6.45	5.78	4.13	1.51	-2.08	-6.65	-12.19	-18.70
			Mz	0.00	0.00	0.00	0.00	0.00	0.00	0.00	0.00	0.00
		1.35·PP+1.5·T1	N	-152.061	-152.061	-152.061	-152.061	-152.061	-152.061	-152.061	-152.061	-152.061
			Vy	0.000	0.000	0.000	0.000	0.000	0.000	0.000	0.000	0.000
			Vz	-3.741	-1.456	0.828	3.113	5.397	7.682	9.966	12.251	14.535
			Mt	0.00	0.00	0.00	0.00	0.00	0.00	0.00	0.00	0.00
			My	4.32	5.82	6.00	4.87	2.42	-1.34	-6.42	-12.80	-20.50
			Mz	0.00	0.00	0.00	0.00	0.00	0.00	0.00	0.00	0.00
		PP+1.5·T2	N	148.328	148.328	148.328	148.328	148.328	148.328	148.328	148.328	148.328
			Vy	0.000	0.000	0.000	0.000	0.000	0.000	0.000	0.000	0.000
			Vz	-12.210	-10.518	-8.826	-7.134	-5.441	-3.749	-2.057	-0.365	1.328

Esfuerzos en barras, por combinación

Barra	Combinación		Esfuerzo	Posiciones en la barra								
	Tipo	Descripción		0.000 m	0.575 m	1.150 m	1.725 m	2.300 m	2.875 m	3.450 m	4.025 m	4.600 m
			Mt	0.00	0.00	0.00	0.00	0.00	0.00	0.00	0.00	0.00
			My	-16.62	-10.09	-4.53	0.06	3.68	6.32	7.99	8.68	8.41
			Mz	0.00	0.00	0.00	0.00	0.00	0.00	0.00	0.00	0.00
		1.35·PP+1.5·T2	N	147.772	147.772	147.772	147.772	147.772	147.772	147.772	147.772	147.772
			Vy	0.000	0.000	0.000	0.000	0.000	0.000	0.000	0.000	0.000
			Vz	-14.586	-12.301	-10.017	-7.732	-5.448	-3.163	-0.879	1.406	3.690
			Mt	0.00	0.00	0.00	0.00	0.00	0.00	0.00	0.00	0.00
			My	-18.45	-10.72	-4.31	0.79	4.58	7.06	8.22	8.07	6.61
			Mz	0.00	0.00	0.00	0.00	0.00	0.00	0.00	0.00	0.00
		PP+1.5·T1+1.5·T2	N	-1.589	-1.589	-1.589	-1.589	-1.589	-1.589	-1.589	-1.589	-1.589
			Vy	0.000	0.000	0.000	0.000	0.000	0.000	0.000	0.000	0.000
			Vz	-6.788	-5.095	-3.403	-1.711	-0.019	1.673	3.366	5.058	6.750
			Mt	0.00	0.00	0.00	0.00	0.00	0.00	0.00	0.00	0.00
			My	-5.23	-1.82	0.63	2.10	2.59	2.12	0.67	-1.75	-5.15
			Mz	0.00	0.00	0.00	0.00	0.00	0.00	0.00	0.00	0.00
		1.35·PP+1.5·T1+1.5·T2	N	-2.145	-2.145	-2.145	-2.145	-2.145	-2.145	-2.145	-2.145	-2.145
			Vy	0.000	0.000	0.000	0.000	0.000	0.000	0.000	0.000	0.000
			Vz	-9.163	-6.879	-4.594	-2.310	-0.025	2.259	4.544	6.828	9.113
			Mt	0.00	0.00	0.00	0.00	0.00	0.00	0.00	0.00	0.00
			My	-7.07	-2.45	0.85	2.83	3.50	2.86	0.90	-2.37	-6.95
			Mz	0.00	0.00	0.00	0.00	0.00	0.00	0.00	0.00	0.00
		PP+1.5·T3	N	-451.339	-451.339	-451.339	-451.339	-451.339	-451.339	-451.339	-451.339	-451.339
			Vy	0.000	0.000	0.000	0.000	0.000	0.000	0.000	0.000	0.000
			Vz	9.480	11.172	12.864	14.557	16.249	17.941	19.633	21.325	23.018
			Mt	0.00	0.00	0.00	0.00	0.00	0.00	0.00	0.00	0.00
			My	28.93	23.00	16.09	8.20	-0.65	-10.48	-21.29	-33.06	-45.81
			Mz	0.00	0.00	0.00	0.00	0.00	0.00	0.00	0.00	0.00
		1.35·PP+1.5·T3	N	-451.895	-451.895	-451.895	-451.895	-451.895	-451.895	-451.895	-451.895	-451.895
			Vy	0.000	0.000	0.000	0.000	0.000	0.000	0.000	0.000	0.000
			Vz	7.104	9.389	11.673	13.958	16.242	18.527	20.811	23.096	25.380
			Mt	0.00	0.00	0.00	0.00	0.00	0.00	0.00	0.00	0.00
			My	27.10	22.36	16.30	8.94	0.25	-9.74	-21.05	-33.68	-47.61
			Mz	0.00	0.00	0.00	0.00	0.00	0.00	0.00	0.00	0.00
		PP+1.5·T1+1.5·T3	N	-601.256	-601.256	-601.256	-601.256	-601.256	-601.256	-601.256	-601.256	-601.256
			Vy	0.000	0.000	0.000	0.000	0.000	0.000	0.000	0.000	0.000
			Vz	14.902	16.595	18.287	19.979	21.671	23.364	25.056	26.748	28.440
			Mt	0.00	0.00	0.00	0.00	0.00	0.00	0.00	0.00	0.00
			My	40.32	31.27	21.24	10.24	-1.74	-14.68	-28.60	-43.50	-59.36
			Mz	0.00	0.00	0.00	0.00	0.00	0.00	0.00	0.00	0.00
		1.35·PP+1.5·T1+1.5·T3	N	-601.812	-601.812	-601.812	-601.812	-601.812	-601.812	-601.812	-601.812	-601.812
			Vy	0.000	0.000	0.000	0.000	0.000	0.000	0.000	0.000	0.000
			Vz	12.527	14.811	17.096	19.380	21.665	23.949	26.234	28.518	30.803
			Mt	0.00	0.00	0.00	0.00	0.00	0.00	0.00	0.00	0.00
			My	38.49	30.63	21.46	10.97	-0.83	-13.94	-28.37	-44.11	-61.17
			Mz	0.00	0.00	0.00	0.00	0.00	0.00	0.00	0.00	0.00
		PP+1.5·T2+1.5·T3	N	-301.422	-301.422	-301.422	-301.422	-301.422	-301.422	-301.422	-301.422	-301.422
			Vy	0.000	0.000	0.000	0.000	0.000	0.000	0.000	0.000	0.000
			Vz	4.057	5.750	7.442	9.134	10.826	12.518	14.211	15.903	17.595
			Mt	0.00	0.00	0.00	0.00	0.00	0.00	0.00	0.00	0.00
			My	17.54	14.73	10.93	6.17	0.43	-6.28	-13.97	-22.63	-32.26
			Mz	0.00	0.00	0.00	0.00	0.00	0.00	0.00	0.00	0.00
		1.35·PP+1.5·T2+1.5·T3	N	-301.978	-301.978	-301.978	-301.978	-301.978	-301.978	-301.978	-301.978	-301.978
			Vy	0.000	0.000	0.000	0.000	0.000	0.000	0.000	0.000	0.000
			Vz	1.682	3.966	6.251	8.535	10.820	13.104	15.389	17.673	19.958
			Mt	0.00	0.00	0.00	0.00	0.00	0.00	0.00	0.00	0.00
			My	15.71	14.09	11.15	6.90	1.34	-5.54	-13.73	-23.24	-34.06
			Mz	0.00	0.00	0.00	0.00	0.00	0.00	0.00	0.00	0.00
		PP+1.5·T1+1.5·T2+1.5·T3	N	-451.339	-451.339	-451.339	-451.339	-451.339	-451.339	-451.339	-451.339	-451.339
			Vy	0.000	0.000	0.000	0.000	0.000	0.000	0.000	0.000	0.000
			Vz	9.480	11.172	12.864	14.557	16.249	17.941	19.633	21.325	23.018
			Mt	0.00	0.00	0.00	0.00	0.00	0.00	0.00	0.00	0.00
			My	28.93	23.00	16.09	8.20	-0.65	-10.48	-21.29	-33.06	-45.81
			Mz	0.00	0.00	0.00	0.00	0.00	0.00	0.00	0.00	0.00
		1.35·PP+1.5·T1+1.5·T2+1.5·T3	N	-451.895	-451.895	-451.895	-451.895	-451.895	-451.895	-451.895	-451.895	-451.895
			Vy	0.000	0.000	0.000	0.000	0.000	0.000	0.000	0.000	0.000
			Vz	7.104	9.389	11.673	13.958	16.242	18.527	20.811	23.096	25.380
			Mt	0.00	0.00	0.00	0.00	0.00	0.00	0.00	0.00	0.00
			My	27.10	22.36	16.30	8.94	0.25	-9.74	-21.05	-33.68	-47.61
			Mz	0.00	0.00	0.00	0.00	0.00	0.00	0.00	0.00	0.00
		PP+1.5·T4	N	448.162	448.162	448.162	448.162	448.162	448.162	448.162	448.162	448.162
			Vy	0.000	0.000	0.000	0.000	0.000	0.000	0.000	0.000	0.000
			Vz	-23.055	-21.363	-19.671	-17.979	-16.286	-14.594	-12.902	-11.210	-9.517
			Mt	0.00	0.00	0.00	0.00	0.00	0.00	0.00	0.00	0.00
			My	-39.40	-26.63	-14.83	-4.01	5.84	14.72	22.62	29.56	35.52
			Mz	0.00	0.00	0.00	0.00	0.00	0.00	0.00	0.00	0.00
		1.35·PP+1.5·T4	N	447.606	447.606	447.606	447.606	447.606	447.606	447.606	447.606	447.606
			Vy	0.000	0.000	0.000	0.000	0.000	0.000	0.000	0.000	0.000
			Vz	-25.431	-23.146	-20.862	-18.577	-16.293	-14.008	-11.724	-9.439	-7.155
			Mt	0.00	0.00	0.00	0.00	0.00	0.00	0.00	0.00	0.00
			My	-41.23	-27.27	-14.61	-3.28	6.75	15.46	22.86	28.94	33.71
			Mz	0.00	0.00	0.00	0.00	0.00	0.00	0.00	0.00	0.00
		PP+1.5·T1+1.5·T4	N	298.245	298.245	298.245	298.245	298.245	298.245	298.245	298.245	298.245
			Vy	0.000	0.000	0.000	0.000	0.000	0.000	0.000	0.000	0.000

Esfuerzos en barras, por combinación

Barra	Combinación		Esfuerzo	Posiciones en la barra								
	Tipo	Descripción		0.000 m	0.575 m	1.150 m	1.725 m	2.300 m	2.875 m	3.450 m	4.025 m	4.600 m
			Vz	-17.633	-15.940	-14.248	-12.556	-10.864	-9.172	-7.479	-5.787	-4.095
			Mt	0.00	0.00	0.00	0.00	0.00	0.00	0.00	0.00	0.00
			My	-28.01	-18.36	-9.68	-1.97	4.76	10.52	15.31	19.12	21.96
			Mz	0.00	0.00	0.00	0.00	0.00	0.00	0.00	0.00	0.00
		1.35·PP+1.5·T1+1.5·T4	N	297.689	297.689	297.689	297.689	297.689	297.689	297.689	297.689	297.689
			Vy	0.000	0.000	0.000	0.000	0.000	0.000	0.000	0.000	0.000
			Vz	-20.008	-17.724	-15.439	-13.155	-10.870	-8.586	-6.301	-4.017	-1.732
			Mt	0.00	0.00	0.00	0.00	0.00	0.00	0.00	0.00	0.00
			My	-29.84	-19.00	-9.46	-1.24	5.67	11.26	15.54	18.51	20.16
			Mz	0.00	0.00	0.00	0.00	0.00	0.00	0.00	0.00	0.00
		PP+1.5·T2+1.5·T4	N	598.079	598.079	598.079	598.079	598.079	598.079	598.079	598.079	598.079
			Vy	0.000	0.000	0.000	0.000	0.000	0.000	0.000	0.000	0.000
			Vz	-28.478	-26.785	-25.093	-23.401	-21.709	-20.017	-18.324	-16.632	-14.940
			Mt	0.00	0.00	0.00	0.00	0.00	0.00	0.00	0.00	0.00
			My	-50.79	-34.90	-19.99	-6.04	6.92	18.92	29.94	39.99	49.07
			Mz	0.00	0.00	0.00	0.00	0.00	0.00	0.00	0.00	0.00
		1.35·PP+1.5·T2+1.5·T4	N	597.523	597.523	597.523	597.523	597.523	597.523	597.523	597.523	597.523
			Vy	0.000	0.000	0.000	0.000	0.000	0.000	0.000	0.000	0.000
			Vz	-30.853	-28.569	-26.284	-24.000	-21.715	-19.431	-17.146	-14.862	-12.577
			Mt	0.00	0.00	0.00	0.00	0.00	0.00	0.00	0.00	0.00
			My	-52.62	-35.54	-19.77	-5.31	7.83	19.66	30.18	39.38	47.27
			Mz	0.00	0.00	0.00	0.00	0.00	0.00	0.00	0.00	0.00
		PP+1.5·T1+1.5·T2+1.5·T4	N	448.162	448.162	448.162	448.162	448.162	448.162	448.162	448.162	448.162
			Vy	0.000	0.000	0.000	0.000	0.000	0.000	0.000	0.000	0.000
			Vz	-23.055	-21.363	-19.671	-17.979	-16.286	-14.594	-12.902	-11.210	-9.517
			Mt	0.00	0.00	0.00	0.00	0.00	0.00	0.00	0.00	0.00
			My	-39.40	-26.63	-14.83	-4.01	5.84	14.72	22.62	29.56	35.52
			Mz	0.00	0.00	0.00	0.00	0.00	0.00	0.00	0.00	0.00
		1.35·PP+1.5·T1+1.5·T2+1.5·T4	N	447.606	447.606	447.606	447.606	447.606	447.606	447.606	447.606	447.606
			Vy	0.000	0.000	0.000	0.000	0.000	0.000	0.000	0.000	0.000
			Vz	-25.431	-23.146	-20.862	-18.577	-16.293	-14.008	-11.724	-9.439	-7.155
			Mt	0.00	0.00	0.00	0.00	0.00	0.00	0.00	0.00	0.00
			My	-41.23	-27.27	-14.61	-3.28	6.75	15.46	22.86	28.94	33.71
			Mz	0.00	0.00	0.00	0.00	0.00	0.00	0.00	0.00	0.00
		PP+1.5·T3+1.5·T4	N	-1.589	-1.589	-1.589	-1.589	-1.589	-1.589	-1.589	-1.589	-1.589
			Vy	0.000	0.000	0.000	0.000	0.000	0.000	0.000	0.000	0.000
			Vz	-6.788	-5.095	-3.403	-1.711	-0.019	1.673	3.366	5.058	6.750
			Mt	0.00	0.00	0.00	0.00	0.00	0.00	0.00	0.00	0.00
			My	-5.23	-1.82	0.63	2.10	2.59	2.12	0.67	-1.75	-5.15
			Mz	0.00	0.00	0.00	0.00	0.00	0.00	0.00	0.00	0.00
		1.35·PP+1.5·T3+1.5·T4	N	-2.145	-2.145	-2.145	-2.145	-2.145	-2.145	-2.145	-2.145	-2.145
			Vy	0.000	0.000	0.000	0.000	0.000	0.000	0.000	0.000	0.000
			Vz	-9.163	-6.879	-4.594	-2.310	-0.025	2.259	4.544	6.828	9.113
			Mt	0.00	0.00	0.00	0.00	0.00	0.00	0.00	0.00	0.00
			My	-7.07	-2.45	0.85	2.83	3.50	2.86	0.90	-2.37	-6.95
			Mz	0.00	0.00	0.00	0.00	0.00	0.00	0.00	0.00	0.00
		PP+1.5·T1+1.5·T3+1.5·T4	N	-151.505	-151.505	-151.505	-151.505	-151.505	-151.505	-151.505	-151.505	-151.505
			Vy	0.000	0.000	0.000	0.000	0.000	0.000	0.000	0.000	0.000
			Vz	-1.365	0.327	2.019	3.712	5.404	7.096	8.788	10.480	12.173
			Mt	0.00	0.00	0.00	0.00	0.00	0.00	0.00	0.00	0.00
			My	6.16	6.45	5.78	4.13	1.51	-2.08	-6.65	-12.19	-18.70
			Mz	0.00	0.00	0.00	0.00	0.00	0.00	0.00	0.00	0.00
		1.35·PP+1.5·T1+1.5·T3+1.5·T4	N	-152.061	-152.061	-152.061	-152.061	-152.061	-152.061	-152.061	-152.061	-152.061
			Vy	0.000	0.000	0.000	0.000	0.000	0.000	0.000	0.000	0.000
			Vz	-3.741	-1.456	0.828	3.113	5.397	7.682	9.966	12.251	14.535
			Mt	0.00	0.00	0.00	0.00	0.00	0.00	0.00	0.00	0.00
			My	4.32	5.82	6.00	4.87	2.42	-1.34	-6.42	-12.80	-20.50
			Mz	0.00	0.00	0.00	0.00	0.00	0.00	0.00	0.00	0.00
		PP+1.5·T2+1.5·T3+1.5·T4	N	148.328	148.328	148.328	148.328	148.328	148.328	148.328	148.328	148.328
			Vy	0.000	0.000	0.000	0.000	0.000	0.000	0.000	0.000	0.000
			Vz	-12.210	-10.518	-8.826	-7.134	-5.441	-3.749	-2.057	-0.365	1.328
			Mt	0.00	0.00	0.00	0.00	0.00	0.00	0.00	0.00	0.00
			My	-16.62	-10.09	-4.53	0.06	3.68	6.32	7.99	8.68	8.41
			Mz	0.00	0.00	0.00	0.00	0.00	0.00	0.00	0.00	0.00
		1.35·PP+1.5·T2+1.5·T3+1.5·T4	N	147.772	147.772	147.772	147.772	147.772	147.772	147.772	147.772	147.772
			Vy	0.000	0.000	0.000	0.000	0.000	0.000	0.000	0.000	0.000
			Vz	-14.586	-12.301	-10.017	-7.732	-5.448	-3.163	-0.879	1.406	3.690
			Mt	0.00	0.00	0.00	0.00	0.00	0.00	0.00	0.00	0.00
			My	-18.45	-10.72	-4.31	0.79	4.58	7.06	8.22	8.07	6.61
			Mz	0.00	0.00	0.00	0.00	0.00	0.00	0.00	0.00	0.00
		PP+1.5·T1+1.5·T2+1.5·T3+1.5·T4	N	-1.589	-1.589	-1.589	-1.589	-1.589	-1.589	-1.589	-1.589	-1.589
			Vy	0.000	0.000	0.000	0.000	0.000	0.000	0.000	0.000	0.000
			Vz	-6.788	-5.095	-3.403	-1.711	-0.019	1.673	3.366	5.058	6.750
			Mt	0.00	0.00	0.00	0.00	0.00	0.00	0.00	0.00	0.00
			My	-5.23	-1.82	0.63	2.10	2.59	2.12	0.67	-1.75	-5.15
			Mz	0.00	0.00	0.00	0.00	0.00	0.00	0.00	0.00	0.00
		1.35·PP+1.5·T1+1.5·T2+1.5·T3+1.5·T4	N	-2.145	-2.145	-2.145	-2.145	-2.145	-2.145	-2.145	-2.145	-2.145
			Vy	0.000	0.000	0.000	0.000	0.000	0.000	0.000	0.000	0.000
			Vz	-9.163	-6.879	-4.594	-2.310	-0.025	2.259	4.544	6.828	9.113
			Mt	0.00	0.00	0.00	0.00	0.00	0.00	0.00	0.00	0.00
			My	-7.07	-2.45	0.85	2.83	3.50	2.86	0.90	-2.37	-6.95
			Mz	0.00	0.00	0.00	0.00	0.00	0.00	0.00	0.00	0.00

Esfuerzos en barras, por combinación

Barra	Combinación		Esfuerzo	Posiciones en la barra								
	Tipo	Descripción		0.000 m	0.575 m	1.150 m	1.725 m	2.300 m	2.875 m	3.450 m	4.025 m	4.600 m
N32/N26	Hormigón	PP	N	-1.971	-1.971	-1.971	-1.971	-1.971	-1.971	-1.971	-1.971	-1.971
			Vy	0.000	0.000	0.000	0.000	0.000	0.000	0.000	0.000	0.000
			Vz	-6.980	-5.288	-3.596	-1.904	-0.211	1.481	3.173	4.865	6.557
			Mt	0.00	0.00	0.00	0.00	0.00	0.00	0.00	0.00	0.00
			My	-5.52	-1.99	0.56	2.14	2.75	2.39	1.05	-1.26	-4.55
			Mz	0.00	0.00	0.00	0.00	0.00	0.00	0.00	0.00	0.00
		1.35·PP	N	-2.660	-2.660	-2.660	-2.660	-2.660	-2.660	-2.660	-2.660	-2.660
			Vy	0.000	0.000	0.000	0.000	0.000	0.000	0.000	0.000	0.000
			Vz	-9.423	-7.139	-4.854	-2.570	-0.285	1.999	4.284	6.568	8.853
			Mt	0.00	0.00	0.00	0.00	0.00	0.00	0.00	0.00	0.00
			My	-7.45	-2.69	0.76	2.89	3.71	3.22	1.42	-1.70	-6.14
			Mz	0.00	0.00	0.00	0.00	0.00	0.00	0.00	0.00	0.00
		PP+1.5·T1	N	-87.574	-87.574	-87.574	-87.574	-87.574	-87.574	-87.574	-87.574	-87.574
			Vy	0.000	0.000	0.000	0.000	0.000	0.000	0.000	0.000	0.000
			Vz	2.438	4.130	5.823	7.515	9.207	10.899	12.592	14.284	15.976
			Mt	0.00	0.00	0.00	0.00	0.00	0.00	0.00	0.00	0.00
			My	14.11	12.22	9.36	5.53	0.72	-5.06	-11.81	-19.54	-28.24
			Mz	0.00	0.00	0.00	0.00	0.00	0.00	0.00	0.00	0.00
		1.35·PP+1.5·T1	N	-88.264	-88.264	-88.264	-88.264	-88.264	-88.264	-88.264	-88.264	-88.264
			Vy	0.000	0.000	0.000	0.000	0.000	0.000	0.000	0.000	0.000
			Vz	-0.005	2.280	4.564	6.849	9.133	11.418	13.702	15.987	18.271
			Mt	0.00	0.00	0.00	0.00	0.00	0.00	0.00	0.00	0.00
			My	12.18	11.53	9.56	6.28	1.68	-4.22	-11.45	-19.98	-29.83
			Mz	0.00	0.00	0.00	0.00	0.00	0.00	0.00	0.00	0.00
		PP+1.5·T2	N	83.633	83.633	83.633	83.633	83.633	83.633	83.633	83.633	83.633
			Vy	0.000	0.000	0.000	0.000	0.000	0.000	0.000	0.000	0.000
			Vz	-16.399	-14.707	-13.015	-11.322	-9.630	-7.938	-6.246	-4.553	-2.861
			Mt	0.00	0.00	0.00	0.00	0.00	0.00	0.00	0.00	0.00
			My	-25.15	-16.21	-8.24	-1.24	4.78	9.83	13.91	17.02	19.15
			Mz	0.00	0.00	0.00	0.00	0.00	0.00	0.00	0.00	0.00
		1.35·PP+1.5·T2	N	82.943	82.943	82.943	82.943	82.943	82.943	82.943	82.943	82.943
			Vy	0.000	0.000	0.000	0.000	0.000	0.000	0.000	0.000	0.000
			Vz	-18.842	-16.558	-14.273	-11.989	-9.704	-7.420	-5.135	-2.851	-0.566
			Mt	0.00	0.00	0.00	0.00	0.00	0.00	0.00	0.00	0.00
			My	-27.08	-16.91	-8.04	-0.49	5.75	10.67	14.28	16.57	17.56
			Mz	0.00	0.00	0.00	0.00	0.00	0.00	0.00	0.00	0.00
		PP+1.5·T1+1.5·T2	N	-1.971	-1.971	-1.971	-1.971	-1.971	-1.971	-1.971	-1.971	-1.971
			Vy	0.000	0.000	0.000	0.000	0.000	0.000	0.000	0.000	0.000
			Vz	-6.980	-5.288	-3.596	-1.904	-0.211	1.481	3.173	4.865	6.557
			Mt	0.00	0.00	0.00	0.00	0.00	0.00	0.00	0.00	0.00
			My	-5.52	-1.99	0.56	2.14	2.75	2.39	1.05	-1.26	-4.55
			Mz	0.00	0.00	0.00	0.00	0.00	0.00	0.00	0.00	0.00
		1.35·PP+1.5·T1+1.5·T2	N	-2.660	-2.660	-2.660	-2.660	-2.660	-2.660	-2.660	-2.660	-2.660
			Vy	0.000	0.000	0.000	0.000	0.000	0.000	0.000	0.000	0.000
			Vz	-9.423	-7.139	-4.854	-2.570	-0.285	1.999	4.284	6.568	8.853
			Mt	0.00	0.00	0.00	0.00	0.00	0.00	0.00	0.00	0.00
			My	-7.45	-2.69	0.76	2.89	3.71	3.22	1.42	-1.70	-6.14
			Mz	0.00	0.00	0.00	0.00	0.00	0.00	0.00	0.00	0.00
		PP+1.5·T3	N	-258.781	-258.781	-258.781	-258.781	-258.781	-258.781	-258.781	-258.781	-258.781
			Vy	0.000	0.000	0.000	0.000	0.000	0.000	0.000	0.000	0.000
			Vz	21.275	22.968	24.660	26.352	28.044	29.737	31.429	33.121	34.813
			Mt	0.00	0.00	0.00	0.00	0.00	0.00	0.00	0.00	0.00
			My	53.38	40.66	26.96	12.30	-3.34	-19.95	-37.54	-56.10	-75.63
			Mz	0.00	0.00	0.00	0.00	0.00	0.00	0.00	0.00	0.00
		1.35·PP+1.5·T3	N	-259.470	-259.470	-259.470	-259.470	-259.470	-259.470	-259.470	-259.470	-259.470
			Vy	0.000	0.000	0.000	0.000	0.000	0.000	0.000	0.000	0.000
			Vz	18.832	21.117	23.401	25.686	27.970	30.255	32.539	34.824	37.108
			Mt	0.00	0.00	0.00	0.00	0.00	0.00	0.00	0.00	0.00
			My	51.44	39.96	27.16	13.05	-2.38	-19.12	-37.17	-56.54	-77.22
			Mz	0.00	0.00	0.00	0.00	0.00	0.00	0.00	0.00	0.00
		PP+1.5·T1+1.5·T3	N	-344.384	-344.384	-344.384	-344.384	-344.384	-344.384	-344.384	-344.384	-344.384
			Vy	0.000	0.000	0.000	0.000	0.000	0.000	0.000	0.000	0.000
			Vz	30.694	32.386	34.079	35.771	37.463	39.155	40.847	42.540	44.232
			Mt	0.00	0.00	0.00	0.00	0.00	0.00	0.00	0.00	0.00
			My	73.01	54.87	35.76	15.68	-5.37	-27.40	-50.40	-74.37	-99.32
			Mz	0.00	0.00	0.00	0.00	0.00	0.00	0.00	0.00	0.00
		1.35·PP+1.5·T1+1.5·T3	N	-345.074	-345.074	-345.074	-345.074	-345.074	-345.074	-345.074	-345.074	-345.074
			Vy	0.000	0.000	0.000	0.000	0.000	0.000	0.000	0.000	0.000
			Vz	28.251	30.535	32.820	35.104	37.389	39.673	41.958	44.242	46.527
			Mt	0.00	0.00	0.00	0.00	0.00	0.00	0.00	0.00	0.00
			My	71.08	54.18	35.96	16.43	-4.41	-26.56	-50.03	-74.82	-100.91
			Mz	0.00	0.00	0.00	0.00	0.00	0.00	0.00	0.00	0.00
		PP+1.5·T2+1.5·T3	N	-173.177	-173.177	-173.177	-173.177	-173.177	-173.177	-173.177	-173.177	-173.177
			Vy	0.000	0.000	0.000	0.000	0.000	0.000	0.000	0.000	0.000
			Vz	11.857	13.549	15.241	16.934	18.626	20.318	22.010	23.702	25.395
			Mt	0.00	0.00	0.00	0.00	0.00	0.00	0.00	0.00	0.00
			My	33.74	26.44	18.16	8.91	-1.31	-12.51	-24.68	-37.82	-51.93
			Mz	0.00	0.00	0.00	0.00	0.00	0.00	0.00	0.00	0.00
		1.35·PP+1.5·T2+1.5·T3	N	-173.867	-173.867	-173.867	-173.867	-173.867	-173.867	-173.867	-173.867	-173.867
			Vy	0.000	0.000	0.000	0.000	0.000	0.000	0.000	0.000	0.000
			Vz	9.414	11.698	13.983	16.267	18.552	20.836	23.121	25.405	27.690
			Mt	0.00	0.00	0.00	0.00	0.00	0.00	0.00	0.00	0.00
			My	31.81	25.74	18.36	9.66	-0.35	-11.67	-24.31	-38.26	-53.53

Esfuerzos en barras, por combinación

Barra	Combinación		Esfuerzo	Posiciones en la barra								
	Tipo	Descripción		0.000 m	0.575 m	1.150 m	1.725 m	2.300 m	2.875 m	3.450 m	4.025 m	4.600 m
			Mz	0.00	0.00	0.00	0.00	0.00	0.00	0.00	0.00	0.00
		PP+1.5·T1+1.5·T2+1.5·T3	N	-258.781	-258.781	-258.781	-258.781	-258.781	-258.781	-258.781	-258.781	-258.781
			Vy	0.000	0.000	0.000	0.000	0.000	0.000	0.000	0.000	0.000
			Vz	21.275	22.968	24.660	26.352	28.044	29.737	31.429	33.121	34.813
			Mt	0.00	0.00	0.00	0.00	0.00	0.00	0.00	0.00	0.00
			My	53.38	40.66	26.96	12.30	-3.34	-19.95	-37.54	-56.10	-75.63
			Mz	0.00	0.00	0.00	0.00	0.00	0.00	0.00	0.00	0.00
		1.35·PP+1.5·T1+1.5·T2+1.5·T3	N	-259.470	-259.470	-259.470	-259.470	-259.470	-259.470	-259.470	-259.470	-259.470
			Vy	0.000	0.000	0.000	0.000	0.000	0.000	0.000	0.000	0.000
			Vz	18.832	21.117	23.401	25.686	27.970	30.255	32.539	34.824	37.108
			Mt	0.00	0.00	0.00	0.00	0.00	0.00	0.00	0.00	0.00
			My	51.44	39.96	27.16	13.05	-2.38	-19.12	-37.17	-56.54	-77.22
			Mz	0.00	0.00	0.00	0.00	0.00	0.00	0.00	0.00	0.00
		PP+1.5·T4	N	254.840	254.840	254.840	254.840	254.840	254.840	254.840	254.840	254.840
			Vy	0.000	0.000	0.000	0.000	0.000	0.000	0.000	0.000	0.000
			Vz	-35.236	-33.544	-31.852	-30.159	-28.467	-26.775	-25.083	-23.391	-21.698
			Mt	0.00	0.00	0.00	0.00	0.00	0.00	0.00	0.00	0.00
			My	-64.41	-44.64	-25.84	-8.01	8.84	24.73	39.64	53.57	66.54
			Mz	0.00	0.00	0.00	0.00	0.00	0.00	0.00	0.00	0.00
		1.35·PP+1.5·T4	N	254.150	254.150	254.150	254.150	254.150	254.150	254.150	254.150	254.150
			Vy	0.000	0.000	0.000	0.000	0.000	0.000	0.000	0.000	0.000
			Vz	-37.679	-35.395	-33.110	-30.826	-28.541	-26.257	-23.972	-21.688	-19.403
			Mt	0.00	0.00	0.00	0.00	0.00	0.00	0.00	0.00	0.00
			My	-66.35	-45.34	-25.64	-7.26	9.81	25.56	40.00	53.13	64.94
			Mz	0.00	0.00	0.00	0.00	0.00	0.00	0.00	0.00	0.00
		PP+1.5·T1+1.5·T4	N	169.236	169.236	169.236	169.236	169.236	169.236	169.236	169.236	169.236
			Vy	0.000	0.000	0.000	0.000	0.000	0.000	0.000	0.000	0.000
			Vz	-25.818	-24.125	-22.433	-20.741	-19.049	-17.356	-15.664	-13.972	-12.280
			Mt	0.00	0.00	0.00	0.00	0.00	0.00	0.00	0.00	0.00
			My	-44.78	-30.42	-17.04	-4.63	6.81	17.28	26.77	35.29	42.84
			Mz	0.00	0.00	0.00	0.00	0.00	0.00	0.00	0.00	0.00
		1.35·PP+1.5·T1+1.5·T4	N	168.547	168.547	168.547	168.547	168.547	168.547	168.547	168.547	168.547
			Vy	0.000	0.000	0.000	0.000	0.000	0.000	0.000	0.000	0.000
			Vz	-28.261	-25.976	-23.692	-21.407	-19.123	-16.838	-14.554	-12.269	-9.985
			Mt	0.00	0.00	0.00	0.00	0.00	0.00	0.00	0.00	0.00
			My	-46.71	-31.12	-16.84	-3.88	7.78	18.12	27.14	34.85	41.25
			Mz	0.00	0.00	0.00	0.00	0.00	0.00	0.00	0.00	0.00
		PP+1.5·T2+1.5·T4	N	340.443	340.443	340.443	340.443	340.443	340.443	340.443	340.443	340.443
			Vy	0.000	0.000	0.000	0.000	0.000	0.000	0.000	0.000	0.000
			Vz	-44.655	-42.963	-41.270	-39.578	-37.886	-36.194	-34.501	-32.809	-31.117
			Mt	0.00	0.00	0.00	0.00	0.00	0.00	0.00	0.00	0.00
			My	-84.05	-58.86	-34.64	-11.40	10.88	32.17	52.50	71.85	90.23
			Mz	0.00	0.00	0.00	0.00	0.00	0.00	0.00	0.00	0.00
		1.35·PP+1.5·T2+1.5·T4	N	339.753	339.753	339.753	339.753	339.753	339.753	339.753	339.753	339.753
			Vy	0.000	0.000	0.000	0.000	0.000	0.000	0.000	0.000	0.000
			Vz	-47.098	-44.813	-42.529	-40.244	-37.960	-35.675	-33.391	-31.106	-28.822
			Mt	0.00	0.00	0.00	0.00	0.00	0.00	0.00	0.00	0.00
			My	-85.98	-59.55	-34.44	-10.65	11.84	33.01	52.87	71.41	88.64
			Mz	0.00	0.00	0.00	0.00	0.00	0.00	0.00	0.00	0.00
		PP+1.5·T1+1.5·T2+1.5·T4	N	254.840	254.840	254.840	254.840	254.840	254.840	254.840	254.840	254.840
			Vy	0.000	0.000	0.000	0.000	0.000	0.000	0.000	0.000	0.000
			Vz	-35.236	-33.544	-31.852	-30.159	-28.467	-26.775	-25.083	-23.391	-21.698
			Mt	0.00	0.00	0.00	0.00	0.00	0.00	0.00	0.00	0.00
			My	-64.41	-44.64	-25.84	-8.01	8.84	24.73	39.64	53.57	66.54
			Mz	0.00	0.00	0.00	0.00	0.00	0.00	0.00	0.00	0.00
		1.35·PP+1.5·T1+1.5·T2+1.5·T4	N	254.150	254.150	254.150	254.150	254.150	254.150	254.150	254.150	254.150
			Vy	0.000	0.000	0.000	0.000	0.000	0.000	0.000	0.000	0.000
			Vz	-37.679	-35.395	-33.110	-30.826	-28.541	-26.257	-23.972	-21.688	-19.403
			Mt	0.00	0.00	0.00	0.00	0.00	0.00	0.00	0.00	0.00
			My	-66.35	-45.34	-25.64	-7.26	9.81	25.56	40.00	53.13	64.94
			Mz	0.00	0.00	0.00	0.00	0.00	0.00	0.00	0.00	0.00
		PP+1.5·T3+1.5·T4	N	-1.971	-1.971	-1.971	-1.971	-1.971	-1.971	-1.971	-1.971	-1.971
			Vy	0.000	0.000	0.000	0.000	0.000	0.000	0.000	0.000	0.000
			Vz	-6.980	-5.288	-3.596	-1.904	-0.211	1.481	3.173	4.865	6.557
			Mt	0.00	0.00	0.00	0.00	0.00	0.00	0.00	0.00	0.00
			My	-5.52	-1.99	0.56	2.14	2.75	2.39	1.05	-1.26	-4.55
			Mz	0.00	0.00	0.00	0.00	0.00	0.00	0.00	0.00	0.00
		1.35·PP+1.5·T3+1.5·T4	N	-2.660	-2.660	-2.660	-2.660	-2.660	-2.660	-2.660	-2.660	-2.660
			Vy	0.000	0.000	0.000	0.000	0.000	0.000	0.000	0.000	0.000
			Vz	-9.423	-7.139	-4.854	-2.570	-0.285	1.999	4.284	6.568	8.853
			Mt	0.00	0.00	0.00	0.00	0.00	0.00	0.00	0.00	0.00
			My	-7.45	-2.69	0.76	2.89	3.71	3.22	1.42	-1.70	-6.14
			Mz	0.00	0.00	0.00	0.00	0.00	0.00	0.00	0.00	0.00
		PP+1.5·T1+1.5·T3+1.5·T4	N	-87.574	-87.574	-87.574	-87.574	-87.574	-87.574	-87.574	-87.574	-87.574
			Vy	0.000	0.000	0.000	0.000	0.000	0.000	0.000	0.000	0.000
			Vz	2.438	4.130	5.823	7.515	9.207	10.899	12.592	14.284	15.976
			Mt	0.00	0.00	0.00	0.00	0.00	0.00	0.00	0.00	0.00
			My	14.11	12.22	9.36	5.53	0.72	-5.06	-11.81	-19.54	-28.24
			Mz	0.00	0.00	0.00	0.00	0.00	0.00	0.00	0.00	0.00
		1.35·PP+1.5·T1+1.5·T3+1.5·T4	N	-88.264	-88.264	-88.264	-88.264	-88.264	-88.264	-88.264	-88.264	-88.264
			Vy	0.000	0.000	0.000	0.000	0.000	0.000	0.000	0.000	0.000
			Vz	-0.005	2.280	4.564	6.849	9.133	11.418	13.702	15.987	18.271
			Mt	0.00	0.00	0.00	0.00	0.00	0.00	0.00	0.00	0.00

Esfuerzos en barras, por combinación												
Barra	Combinación		Esfuerzo	Posiciones en la barra								
	Tipo	Descripción		0.000 m	0.575 m	1.150 m	1.725 m	2.300 m	2.875 m	3.450 m	4.025 m	4.600 m
			My	12.18	11.53	9.56	6.28	1.68	-4.22	-11.45	-19.98	-29.83
			Mz	0.00	0.00	0.00	0.00	0.00	0.00	0.00	0.00	0.00
		PP+1.5·T2+1.5·T3+1.5·T4	N	83.633	83.633	83.633	83.633	83.633	83.633	83.633	83.633	83.633
			Vy	0.000	0.000	0.000	0.000	0.000	0.000	0.000	0.000	0.000
			Vz	-16.399	-14.707	-13.015	-11.322	-9.630	-7.938	-6.246	-4.553	-2.861
			Mt	0.00	0.00	0.00	0.00	0.00	0.00	0.00	0.00	0.00
			My	-25.15	-16.21	-8.24	-1.24	4.78	9.83	13.91	17.02	19.15
			Mz	0.00	0.00	0.00	0.00	0.00	0.00	0.00	0.00	0.00
		1.35·PP+1.5·T2+1.5·T3+1.5·T4	N	82.943	82.943	82.943	82.943	82.943	82.943	82.943	82.943	82.943
			Vy	0.000	0.000	0.000	0.000	0.000	0.000	0.000	0.000	0.000
			Vz	-18.842	-16.558	-14.273	-11.989	-9.704	-7.420	-5.135	-2.851	-0.566
			Mt	0.00	0.00	0.00	0.00	0.00	0.00	0.00	0.00	0.00
			My	-27.08	-16.91	-8.04	-0.49	5.75	10.67	14.28	16.57	17.56
			Mz	0.00	0.00	0.00	0.00	0.00	0.00	0.00	0.00	0.00
		PP+1.5·T1+1.5·T2+1.5·T3+1.5·T4	N	-1.971	-1.971	-1.971	-1.971	-1.971	-1.971	-1.971	-1.971	-1.971
			Vy	0.000	0.000	0.000	0.000	0.000	0.000	0.000	0.000	0.000
			Vz	-6.980	-5.288	-3.596	-1.904	-0.211	1.481	3.173	4.865	6.557
			Mt	0.00	0.00	0.00	0.00	0.00	0.00	0.00	0.00	0.00
			My	-5.52	-1.99	0.56	2.14	2.75	2.39	1.05	-1.26	-4.55
			Mz	0.00	0.00	0.00	0.00	0.00	0.00	0.00	0.00	0.00
		1.35·PP+1.5·T1+1.5·T2+1.5·T3+1.5·T4	N	-2.660	-2.660	-2.660	-2.660	-2.660	-2.660	-2.660	-2.660	-2.660
			Vy	0.000	0.000	0.000	0.000	0.000	0.000	0.000	0.000	0.000
			Vz	-9.423	-7.139	-4.854	-2.570	-0.285	1.999	4.284	6.568	8.853
			Mt	0.00	0.00	0.00	0.00	0.00	0.00	0.00	0.00	0.00
			My	-7.45	-2.69	0.76	2.89	3.71	3.22	1.42	-1.70	-6.14
			Mz	0.00	0.00	0.00	0.00	0.00	0.00	0.00	0.00	0.00

2.3.2.1.3. Envolventes

Envolventes de los esfuerzos en barras										
Barra	Tipo de combinación	Esfuerzo	Posiciones en la barra								
			0.000 m	0.875 m	1.750 m	2.625 m	3.500 m	4.375 m	5.250 m	6.125 m	7.000 m
N1/N2	Hormigón	$N_{mín}$	-37.562	-32.926	-28.291	-23.656	-19.021	-14.386	-9.750	-5.115	-0.480
		$N_{máx}$	-27.406	-23.972	-20.539	-17.105	-13.672	-10.238	-6.805	-3.371	0.062
		$Vy_{mín}$	-11.777	-11.777	-11.777	-11.777	-11.777	-11.777	-11.777	-11.777	-11.777
		$Vy_{máx}$	11.748	11.748	11.748	11.748	11.748	11.748	11.748	11.748	11.748
		$Vz_{mín}$	0.000	0.000	0.000	0.000	0.000	0.000	0.000	0.000	0.000
		$Vz_{máx}$	0.000	0.000	0.000	0.000	0.000	0.000	0.000	0.000	0.000
		$Mt_{mín}$	0.00	0.00	0.00	0.00	0.00	0.00	0.00	0.00	0.00
		$Mt_{máx}$	0.00	0.00	0.00	0.00	0.00	0.00	0.00	0.00	0.00
		$My_{mín}$	0.00	0.00	0.00	0.00	0.00	0.00	0.00	0.00	0.00
		$My_{máx}$	0.00	0.00	0.00	0.00	0.00	0.00	0.00	0.00	0.00
		$Mz_{mín}$	-81.47	-71.17	-60.87	-50.57	-40.27	-29.97	-19.67	-9.37	-0.58
		$Mz_{máx}$	81.69	71.41	61.14	50.86	40.59	30.31	20.04	9.76	1.00

Envolventes de los esfuerzos en barras										
Barra	Tipo de combinación	Esfuerzo	Posiciones en la barra								
			0.000 m	0.875 m	1.750 m	2.625 m	3.500 m	4.375 m	5.250 m	6.125 m	7.000 m
N3/N4	Hormigón	$N_{mín}$	-37.681	-33.045	-28.410	-23.775	-19.140	-14.505	-9.869	-5.234	-0.599
		$N_{máx}$	-27.697	-24.263	-20.830	-17.396	-13.963	-10.529	-7.096	-3.662	-0.229
		$Vy_{mín}$	-9.818	-9.818	-9.818	-9.818	-9.818	-9.818	-9.818	-9.818	-9.818
		$Vy_{máx}$	9.885	9.885	9.885	9.885	9.885	9.885	9.885	9.885	9.885
		$Vz_{mín}$	0.000	0.000	0.000	0.000	0.000	0.000	0.000	0.000	0.000
		$Vz_{máx}$	0.000	0.000	0.000	0.000	0.000	0.000	0.000	0.000	0.000
		$Mt_{mín}$	0.00	0.00	0.00	0.00	0.00	0.00	0.00	0.00	0.00
		$Mt_{máx}$	0.00	0.00	0.00	0.00	0.00	0.00	0.00	0.00	0.00
		$My_{mín}$	0.00	0.00	0.00	0.00	0.00	0.00	0.00	0.00	0.00
		$My_{máx}$	0.00	0.00	0.00	0.00	0.00	0.00	0.00	0.00	0.00
		$Mz_{mín}$	-67.58	-58.99	-50.39	-41.80	-33.21	-24.62	-16.03	-7.44	-1.18
		$Mz_{máx}$	68.01	59.36	50.71	42.07	33.42	24.77	16.12	7.47	1.15

Envolventes de los esfuerzos en barras										
Barra	Tipo de combinación	Esfuerzo	Posiciones en la barra								
			0.000 m	0.200 m	0.400 m	0.800 m	1.000 m	1.200 m	1.600 m	1.800 m	2.000 m
N5/N25	Hormigón	$N_{mín}$	-82.946	-81.622	-80.298	-77.649	-76.325	-75.000	-72.351	-71.027	-69.703
		$N_{máx}$	-20.173	-19.192	-18.211	-16.249	-15.268	-14.287	-12.325	-11.344	-10.363
		$Vy_{mín}$	-375.748	-375.748	-375.748	-375.748	-375.748	-375.748	-375.748	-375.748	-375.748
		$Vy_{máx}$	365.427	365.427	365.427	365.427	365.427	365.427	365.427	365.427	365.427

Envolventes de los esfuerzos en barras										
Barra	Tipo de combinación	Esfuerzo	Posiciones en la barra								
			0.000 m	0.200 m	0.400 m	0.800 m	1.000 m	1.200 m	1.600 m	1.800 m	2.000 m
		$Vz_{mín}$	0.000	0.000	0.000	0.000	0.000	0.000	0.000	0.000	0.000
		$Vz_{máx}$	0.000	0.000	0.000	0.000	0.000	0.000	0.000	0.000	0.000
		$Mt_{mín}$	0.00	0.00	0.00	0.00	0.00	0.00	0.00	0.00	0.00
		$Mt_{máx}$	0.00	0.00	0.00	0.00	0.00	0.00	0.00	0.00	0.00
		$My_{mín}$	0.00	0.00	0.00	0.00	0.00	0.00	0.00	0.00	0.00
		$My_{máx}$	0.00	0.00	0.00	0.00	0.00	0.00	0.00	0.00	0.00
		$Mz_{mín}$	-531.81	-456.66	-381.51	-231.70	-156.86	-82.01	-57.87	-130.96	-204.04
		$Mz_{máx}$	526.81	453.72	380.64	234.95	162.17	89.40	69.38	144.53	219.68

Envolventes de los esfuerzos en barras										
Barra	Tipo de combinación	Esfuerzo	Posiciones en la barra								
			0.000 m	0.625 m	1.250 m	1.875 m	2.500 m	3.125 m	3.750 m	4.375 m	5.000 m
N25/N6	Hormigón	$N_{mín}$	-33.698	-29.559	-25.420	-21.282	-17.143	-13.005	-8.866	-4.727	-0.589
		$N_{máx}$	-24.782	-21.717	-18.651	-15.585	-12.520	-9.454	-6.389	-3.323	-0.257
		$Vy_{mín}$	-25.916	-25.916	-25.916	-25.916	-25.916	-25.916	-25.916	-25.916	-25.916
		$Vy_{máx}$	24.760	24.760	24.760	24.760	24.760	24.760	24.760	24.760	24.760
		$Vz_{mín}$	0.000	0.000	0.000	0.000	0.000	0.000	0.000	0.000	0.000
		$Vz_{máx}$	0.000	0.000	0.000	0.000	0.000	0.000	0.000	0.000	0.000
		$Mt_{mín}$	0.00	0.00	0.00	0.00	0.00	0.00	0.00	0.00	0.00
		$Mt_{máx}$	0.00	0.00	0.00	0.00	0.00	0.00	0.00	0.00	0.00
		$My_{mín}$	0.00	0.00	0.00	0.00	0.00	0.00	0.00	0.00	0.00
		$My_{máx}$	0.00	0.00	0.00	0.00	0.00	0.00	0.00	0.00	0.00
		$Mz_{mín}$	-129.79	-113.60	-97.40	-81.20	-65.00	-48.81	-32.61	-16.41	-0.23
		$Mz_{máx}$	124.09	108.62	93.14	77.67	62.19	46.72	31.24	15.77	0.31

Envolventes de los esfuerzos en barras										
Barra	Tipo de combinación	Esfuerzo	Posiciones en la barra								
			0.000 m	0.200 m	0.400 m	0.800 m	1.000 m	1.200 m	1.600 m	1.800 m	2.000 m
N7/N27	Hormigón	$N_{mín}$	-75.193	-74.134	-73.074	-70.955	-69.896	-68.837	-66.718	-65.658	-64.599
		$N_{máx}$	-35.355	-34.571	-33.786	-32.216	-31.431	-30.647	-29.077	-28.292	-27.507
		$Vy_{mín}$	-218.505	-218.505	-218.505	-218.505	-218.505	-218.505	-218.505	-218.505	-218.505
		$Vy_{máx}$	219.466	219.466	219.466	219.466	219.466	219.466	219.466	219.466	219.466
		$Vz_{mín}$	0.000	0.000	0.000	0.000	0.000	0.000	0.000	0.000	0.000
		$Vz_{máx}$	0.000	0.000	0.000	0.000	0.000	0.000	0.000	0.000	0.000
		$Mt_{mín}$	0.00	0.00	0.00	0.00	0.00	0.00	0.00	0.00	0.00
		$Mt_{máx}$	0.00	0.00	0.00	0.00	0.00	0.00	0.00	0.00	0.00
		$My_{mín}$	0.00	0.00	0.00	0.00	0.00	0.00	0.00	0.00	0.00
		$My_{máx}$	0.00	0.00	0.00	0.00	0.00	0.00	0.00	0.00	0.00
		$Mz_{mín}$	-285.07	-241.37	-197.67	-110.27	-66.57	-22.87	-64.81	-108.70	-152.59
		$Mz_{máx}$	286.34	242.45	198.55	110.77	66.87	22.98	64.53	108.24	151.94

Envolventes de los esfuerzos en barras										
Barra	Tipo de combinación	Esfuerzo	Posiciones en la barra								
			0.000 m	0.625 m	1.250 m	1.875 m	2.500 m	3.125 m	3.750 m	4.375 m	5.000 m
N27/N8	Hormigón	$N_{mín}$	-27.002	-23.691	-20.380	-17.069	-13.758	-10.448	-7.137	-3.826	-0.515
		$N_{máx}$	-19.987	-17.534	-15.082	-12.629	-10.177	-7.724	-5.272	-2.819	-0.367
		$Vy_{mín}$	-8.091	-8.091	-8.091	-8.091	-8.091	-8.091	-8.091	-8.091	-8.091
		$Vy_{máx}$	8.091	8.091	8.091	8.091	8.091	8.091	8.091	8.091	8.091
		$Vz_{mín}$	0.000	0.000	0.000	0.000	0.000	0.000	0.000	0.000	0.000
		$Vz_{máx}$	0.000	0.000	0.000	0.000	0.000	0.000	0.000	0.000	0.000
		$Mt_{mín}$	0.00	0.00	0.00	0.00	0.00	0.00	0.00	0.00	0.00
		$Mt_{máx}$	0.00	0.00	0.00	0.00	0.00	0.00	0.00	0.00	0.00
		$My_{mín}$	0.00	0.00	0.00	0.00	0.00	0.00	0.00	0.00	0.00
		$My_{máx}$	0.00	0.00	0.00	0.00	0.00	0.00	0.00	0.00	0.00
		$Mz_{mín}$	-40.59	-35.53	-30.47	-25.42	-20.36	-15.30	-10.25	-5.19	-0.13
		$Mz_{máx}$	40.59	35.53	30.47	25.42	20.36	15.31	10.25	5.19	0.14

Envolventes de los esfuerzos en barras										
Barra	Tipo de combinación	Esfuerzo	Posiciones en la barra								
			0.000 m	0.200 m	0.400 m	0.800 m	1.000 m	1.200 m	1.600 m	1.800 m	2.000 m
N9/N28	Hormigón	$N_{mín}$	-70.732	-69.408	-68.083	-65.435	-64.110	-62.786	-60.137	-58.813	-57.488
		$N_{máx}$	-49.108	-48.127	-47.146	-45.184	-44.203	-43.222	-41.260	-40.279	-39.298

Envolventes de los esfuerzos en barras										
Barra	Tipo de combinación	Esfuerzo	Posiciones en la barra								
			0.000 m	0.200 m	0.400 m	0.800 m	1.000 m	1.200 m	1.600 m	1.800 m	2.000 m
		$Vy_{mín}$	-124.544	-124.544	-124.544	-124.544	-124.544	-124.544	-124.544	-124.544	-124.544
		$Vy_{máx}$	130.209	130.209	130.209	130.209	130.209	130.209	130.209	130.209	130.209
		$Vz_{mín}$	0.000	0.000	0.000	0.000	0.000	0.000	0.000	0.000	0.000
		$Vz_{máx}$	0.000	0.000	0.000	0.000	0.000	0.000	0.000	0.000	0.000
		$Mt_{mín}$	0.00	0.00	0.00	0.00	0.00	0.00	0.00	0.00	0.00
		$Mt_{máx}$	0.00	0.00	0.00	0.00	0.00	0.00	0.00	0.00	0.00
		$My_{mín}$	0.00	0.00	0.00	0.00	0.00	0.00	0.00	0.00	0.00
		$My_{máx}$	0.00	0.00	0.00	0.00	0.00	0.00	0.00	0.00	0.00
		$Mz_{mín}$	-167.14	-142.23	-117.32	-67.61	-42.87	-18.13	-37.40	-63.44	-89.48
		$Mz_{máx}$	170.94	144.90	118.86	66.88	41.01	15.14	32.13	57.04	81.95

Envolventes de los esfuerzos en barras										
Barra	Tipo de combinación	Esfuerzo	Posiciones en la barra								
			0.000 m	0.625 m	1.250 m	1.875 m	2.500 m	3.125 m	3.750 m	4.375 m	5.000 m
N28/N10	Hormigón	$N_{mín}$	-33.547	-29.408	-25.270	-21.131	-16.992	-12.854	-8.715	-4.577	-0.438
		$N_{máx}$	-24.846	-21.781	-18.715	-15.649	-12.584	-9.518	-6.453	-3.387	-0.321
		$Vy_{mín}$	-4.254	-4.254	-4.254	-4.254	-4.254	-4.254	-4.254	-4.254	-4.254
		$Vy_{máx}$	4.812	4.812	4.812	4.812	4.812	4.812	4.812	4.812	4.812
		$Vz_{mín}$	0.000	0.000	0.000	0.000	0.000	0.000	0.000	0.000	0.000
		$Vz_{máx}$	0.000	0.000	0.000	0.000	0.000	0.000	0.000	0.000	0.000
		$Mt_{mín}$	0.00	0.00	0.00	0.00	0.00	0.00	0.00	0.00	0.00
		$Mt_{máx}$	0.00	0.00	0.00	0.00	0.00	0.00	0.00	0.00	0.00
		$My_{mín}$	0.00	0.00	0.00	0.00	0.00	0.00	0.00	0.00	0.00
		$My_{máx}$	0.00	0.00	0.00	0.00	0.00	0.00	0.00	0.00	0.00
		$Mz_{mín}$	-21.50	-18.84	-16.19	-13.53	-10.87	-8.21	-5.55	-2.89	-0.27
		$Mz_{máx}$	24.05	21.05	18.04	15.03	12.02	9.01	6.01	3.00	0.03

Envolventes de los esfuerzos en barras										
Barra	Tipo de combinación	Esfuerzo	Posiciones en la barra								
			0.000 m	0.200 m	0.400 m	0.800 m	1.000 m	1.200 m	1.600 m	1.800 m	2.000 m
N11/N29	Hormigón	$N_{mín}$	-75.482	-74.158	-72.833	-70.185	-68.860	-67.536	-64.887	-63.563	-62.239
		$N_{máx}$	-37.316	-36.335	-35.354	-33.392	-32.411	-31.430	-29.468	-28.487	-27.506
		$Vy_{mín}$	-40.039	-40.039	-40.039	-40.039	-40.039	-40.039	-40.039	-40.039	-40.039
		$Vy_{máx}$	39.880	39.880	39.880	39.880	39.880	39.880	39.880	39.880	39.880
		$Vz_{mín}$	0.000	0.000	0.000	0.000	0.000	0.000	0.000	0.000	0.000
		$Vz_{máx}$	0.000	0.000	0.000	0.000	0.000	0.000	0.000	0.000	0.000
		$Mt_{mín}$	0.00	0.00	0.00	0.00	0.00	0.00	0.00	0.00	0.00
		$Mt_{máx}$	0.00	0.00	0.00	0.00	0.00	0.00	0.00	0.00	0.00
		$My_{mín}$	0.00	0.00	0.00	0.00	0.00	0.00	0.00	0.00	0.00
		$My_{máx}$	0.00	0.00	0.00	0.00	0.00	0.00	0.00	0.00	0.00
		$Mz_{mín}$	-52.28	-44.28	-36.28	-20.27	-12.27	-4.26	-11.54	-19.52	-27.49
		$Mz_{máx}$	52.27	44.29	36.32	20.38	12.41	4.44	11.78	19.79	27.79

Envolventes de los esfuerzos en barras										
Barra	Tipo de combinación	Esfuerzo	Posiciones en la barra								
			0.000 m	0.625 m	1.250 m	1.875 m	2.500 m	3.125 m	3.750 m	4.375 m	5.000 m
N29/N12	Hormigón	$N_{mín}$	-33.497	-29.358	-25.219	-21.081	-16.942	-12.804	-8.665	-4.526	-0.388
		$N_{máx}$	-24.771	-21.706	-18.640	-15.574	-12.509	-9.443	-6.377	-3.312	-0.246
		$Vy_{mín}$	-1.090	-1.090	-1.090	-1.090	-1.090	-1.090	-1.090	-1.090	-1.090
		$Vy_{máx}$	1.077	1.077	1.077	1.077	1.077	1.077	1.077	1.077	1.077
		$Vz_{mín}$	0.000	0.000	0.000	0.000	0.000	0.000	0.000	0.000	0.000
		$Vz_{máx}$	0.000	0.000	0.000	0.000	0.000	0.000	0.000	0.000	0.000
		$Mt_{mín}$	0.00	0.00	0.00	0.00	0.00	0.00	0.00	0.00	0.00
		$Mt_{máx}$	0.00	0.00	0.00	0.00	0.00	0.00	0.00	0.00	0.00
		$My_{mín}$	0.00	0.00	0.00	0.00	0.00	0.00	0.00	0.00	0.00
		$My_{máx}$	0.00	0.00	0.00	0.00	0.00	0.00	0.00	0.00	0.00
		$Mz_{mín}$	-5.51	-4.83	-4.15	-3.47	-2.79	-2.10	-1.42	-0.74	-0.06
		$Mz_{máx}$	5.44	4.77	4.10	3.42	2.75	2.08	1.41	0.73	0.06

Envolventes de los esfuerzos en barras										
Barra	Tipo de combinación	Esfuerzo	Posiciones en la barra								
			0.000 m	0.200 m	0.400 m	0.800 m	1.000 m	1.200 m	1.600 m	1.800 m	2.000 m
N13/N30	Hormigón	$N_{mín}$	-75.429	-74.104	-72.780	-70.131	-68.807	-67.482	-64.834	-63.509	-62.185
		$N_{máx}$	-37.755	-36.774	-35.793	-33.831	-32.850	-31.869	-29.907	-28.926	-27.945
		$Vy_{mín}$	-48.269	-48.269	-48.269	-48.269	-48.269	-48.269	-48.269	-48.269	-48.269
		$Vy_{máx}$	48.149	48.149	48.149	48.149	48.149	48.149	48.149	48.149	48.149
		$Vz_{mín}$	0.000	0.000	0.000	0.000	0.000	0.000	0.000	0.000	0.000
		$Vz_{máx}$	0.000	0.000	0.000	0.000	0.000	0.000	0.000	0.000	0.000
		$Mt_{mín}$	0.00	0.00	0.00	0.00	0.00	0.00	0.00	0.00	0.00
		$Mt_{máx}$	0.00	0.00	0.00	0.00	0.00	0.00	0.00	0.00	0.00
		$My_{mín}$	0.00	0.00	0.00	0.00	0.00	0.00	0.00	0.00	0.00
		$My_{máx}$	0.00	0.00	0.00	0.00	0.00	0.00	0.00	0.00	0.00
		$Mz_{mín}$	-62.92	-53.26	-43.61	-24.30	-14.65	-4.99	-14.28	-23.91	-33.54
		$Mz_{máx}$	62.76	53.13	43.50	24.24	14.61	4.98	14.31	23.97	33.62

Envolventes de los esfuerzos en barras										
Barra	Tipo de combinación	Esfuerzo	Posiciones en la barra								
			0.000 m	0.625 m	1.250 m	1.875 m	2.500 m	3.125 m	3.750 m	4.375 m	5.000 m
N30/N14	Hormigón	$N_{mín}$	-33.497	-29.358	-25.219	-21.081	-16.942	-12.804	-8.665	-4.526	-0.388
		$N_{máx}$	-24.770	-21.704	-18.639	-15.573	-12.507	-9.442	-6.376	-3.311	-0.245
		$Vy_{mín}$	-1.554	-1.554	-1.554	-1.554	-1.554	-1.554	-1.554	-1.554	-1.554
		$Vy_{máx}$	1.562	1.562	1.562	1.562	1.562	1.562	1.562	1.562	1.562
		$Vz_{mín}$	0.000	0.000	0.000	0.000	0.000	0.000	0.000	0.000	0.000
		$Vz_{máx}$	0.000	0.000	0.000	0.000	0.000	0.000	0.000	0.000	0.000
		$Mt_{mín}$	0.00	0.00	0.00	0.00	0.00	0.00	0.00	0.00	0.00
		$Mt_{máx}$	0.00	0.00	0.00	0.00	0.00	0.00	0.00	0.00	0.00
		$My_{mín}$	0.00	0.00	0.00	0.00	0.00	0.00	0.00	0.00	0.00
		$My_{máx}$	0.00	0.00	0.00	0.00	0.00	0.00	0.00	0.00	0.00
		$Mz_{mín}$	-7.82	-6.85	-5.88	-4.91	-3.94	-2.97	-2.00	-1.02	-0.05
		$Mz_{máx}$	7.86	6.89	5.91	4.94	3.96	2.98	2.01	1.03	0.05

Envolventes de los esfuerzos en barras										
Barra	Tipo de combinación	Esfuerzo	Posiciones en la barra								
			0.000 m	0.200 m	0.400 m	0.800 m	1.000 m	1.200 m	1.600 m	1.800 m	2.000 m
N15/N31	Hormigón	$N_{mín}$	-75.888	-74.563	-73.239	-70.590	-69.266	-67.942	-65.293	-63.969	-62.644
		$N_{máx}$	-37.260	-36.279	-35.298	-33.336	-32.355	-31.374	-29.412	-28.431	-27.450
		$Vy_{mín}$	-140.688	-140.688	-140.688	-140.688	-140.688	-140.688	-140.688	-140.688	-140.688
		$Vy_{máx}$	140.335	140.335	140.335	140.335	140.335	140.335	140.335	140.335	140.335
		$Vz_{mín}$	0.000	0.000	0.000	0.000	0.000	0.000	0.000	0.000	0.000
		$Vz_{máx}$	0.000	0.000	0.000	0.000	0.000	0.000	0.000	0.000	0.000
		$Mt_{mín}$	0.00	0.00	0.00	0.00	0.00	0.00	0.00	0.00	0.00
		$Mt_{máx}$	0.00	0.00	0.00	0.00	0.00	0.00	0.00	0.00	0.00
		$My_{mín}$	0.00	0.00	0.00	0.00	0.00	0.00	0.00	0.00	0.00
		$My_{máx}$	0.00	0.00	0.00	0.00	0.00	0.00	0.00	0.00	0.00
		$Mz_{mín}$	-183.34	-155.21	-127.07	-70.79	-42.66	-14.52	-41.67	-69.73	-97.80
		$Mz_{máx}$	182.87	154.80	126.73	70.60	42.53	14.47	41.76	69.89	98.03

Envolventes de los esfuerzos en barras										
Barra	Tipo de combinación	Esfuerzo	Posiciones en la barra								
			0.000 m	0.625 m	1.250 m	1.875 m	2.500 m	3.125 m	3.750 m	4.375 m	5.000 m
N31/N16	Hormigón	$N_{mín}$	-33.489	-29.350	-25.212	-21.073	-16.934	-12.796	-8.657	-4.519	-0.380
		$N_{máx}$	-24.778	-21.712	-18.647	-15.581	-12.515	-9.450	-6.384	-3.319	-0.253
		$Vy_{mín}$	-4.638	-4.638	-4.638	-4.638	-4.638	-4.638	-4.638	-4.638	-4.638
		$Vy_{máx}$	4.647	4.647	4.647	4.647	4.647	4.647	4.647	4.647	4.647
		$Vz_{mín}$	0.000	0.000	0.000	0.000	0.000	0.000	0.000	0.000	0.000
		$Vz_{máx}$	0.000	0.000	0.000	0.000	0.000	0.000	0.000	0.000	0.000
		$Mt_{mín}$	0.00	0.00	0.00	0.00	0.00	0.00	0.00	0.00	0.00
		$Mt_{máx}$	0.00	0.00	0.00	0.00	0.00	0.00	0.00	0.00	0.00
		$My_{mín}$	0.00	0.00	0.00	0.00	0.00	0.00	0.00	0.00	0.00
		$My_{máx}$	0.00	0.00	0.00	0.00	0.00	0.00	0.00	0.00	0.00
		$Mz_{mín}$	-23.34	-20.44	-17.54	-14.64	-11.74	-8.85	-5.95	-3.05	-0.15
		$Mz_{máx}$	23.38	20.48	17.58	14.67	11.77	8.86	5.96	3.05	0.15

Envolventes de los esfuerzos en barras										
Barra	Tipo de combinación	Esfuerzo	Posiciones en la barra								
			0.000 m	0.200 m	0.400 m	0.800 m	1.000 m	1.200 m	1.600 m	1.800 m	2.000 m
N17/N32	Hormigón	$N_{mín}$	-81.220	-79.896	-78.571	-75.923	-74.598	-73.274	-70.625	-69.301	-67.977
		$N_{máx}$	-32.365	-31.384	-30.403	-28.441	-27.460	-26.479	-24.517	-23.536	-22.555
		$Vy_{mín}$	-249.070	-249.070	-249.070	-249.070	-249.070	-249.070	-249.070	-249.070	-249.070
		$Vy_{máx}$	248.159	248.159	248.159	248.159	248.159	248.159	248.159	248.159	248.159
		$Vz_{mín}$	0.000	0.000	0.000	0.000	0.000	0.000	0.000	0.000	0.000
		$Vz_{máx}$	0.000	0.000	0.000	0.000	0.000	0.000	0.000	0.000	0.000
		$Mt_{mín}$	0.00	0.00	0.00	0.00	0.00	0.00	0.00	0.00	0.00
		$Mt_{máx}$	0.00	0.00	0.00	0.00	0.00	0.00	0.00	0.00	0.00
		$My_{mín}$	0.00	0.00	0.00	0.00	0.00	0.00	0.00	0.00	0.00
		$My_{máx}$	0.00	0.00	0.00	0.00	0.00	0.00	0.00	0.00	0.00
		$Mz_{mín}$	-321.23	-271.41	-221.60	-121.97	-72.16	-22.36	-76.84	-126.48	-176.11
		$Mz_{máx}$	320.21	270.58	220.95	121.68	72.05	22.43	77.28	127.10	176.91

Envolventes de los esfuerzos en barras										
Barra	Tipo de combinación	Esfuerzo	Posiciones en la barra								
			0.000 m	0.625 m	1.250 m	1.875 m	2.500 m	3.125 m	3.750 m	4.375 m	5.000 m
N32/N18	Hormigón	$N_{mín}$	-33.487	-29.348	-25.209	-21.071	-16.932	-12.794	-8.655	-4.516	-0.378
		$N_{máx}$	-24.778	-21.713	-18.647	-15.581	-12.516	-9.450	-6.385	-3.319	-0.253
		$Vy_{mín}$	-8.715	-8.715	-8.715	-8.715	-8.715	-8.715	-8.715	-8.715	-8.715
		$Vy_{máx}$	8.702	8.702	8.702	8.702	8.702	8.702	8.702	8.702	8.702
		$Vz_{mín}$	0.000	0.000	0.000	0.000	0.000	0.000	0.000	0.000	0.000
		$Vz_{máx}$	0.000	0.000	0.000	0.000	0.000	0.000	0.000	0.000	0.000
		$Mt_{mín}$	0.00	0.00	0.00	0.00	0.00	0.00	0.00	0.00	0.00
		$Mt_{máx}$	0.00	0.00	0.00	0.00	0.00	0.00	0.00	0.00	0.00
		$My_{mín}$	0.00	0.00	0.00	0.00	0.00	0.00	0.00	0.00	0.00
		$My_{máx}$	0.00	0.00	0.00	0.00	0.00	0.00	0.00	0.00	0.00
		$Mz_{mín}$	-43.74	-38.30	-32.85	-27.40	-21.96	-16.51	-11.06	-5.61	-0.17
		$Mz_{máx}$	43.68	38.24	32.80	27.36	21.92	16.48	11.04	5.61	0.17

Envolventes de los esfuerzos en barras										
Barra	Tipo de combinación	Esfuerzo	Posiciones en la barra								
			0.000 m	0.200 m	0.400 m	0.800 m	1.000 m	1.200 m	1.600 m	1.800 m	2.000 m
N19/N26	Hormigón	$N_{mín}$	-93.087	-91.763	-90.438	-87.790	-86.465	-85.141	-82.492	-81.168	-79.844
		$N_{máx}$	-3.629	-2.648	-1.667	0.295	1.276	2.257	4.219	5.200	6.181
		$Vy_{mín}$	-320.217	-320.217	-320.217	-320.217	-320.217	-320.217	-320.217	-320.217	-320.217
		$Vy_{máx}$	325.425	325.425	325.425	325.425	325.425	325.425	325.425	325.425	325.425
		$Vz_{mín}$	0.000	0.000	0.000	0.000	0.000	0.000	0.000	0.000	0.000
		$Vz_{máx}$	0.000	0.000	0.000	0.000	0.000	0.000	0.000	0.000	0.000
		$Mt_{mín}$	0.00	0.00	0.00	0.00	0.00	0.00	0.00	0.00	0.00
		$Mt_{máx}$	0.00	0.00	0.00	0.00	0.00	0.00	0.00	0.00	0.00
		$My_{mín}$	0.00	0.00	0.00	0.00	0.00	0.00	0.00	0.00	0.00
		$My_{máx}$	0.00	0.00	0.00	0.00	0.00	0.00	0.00	0.00	0.00
		$Mz_{mín}$	-448.79	-384.75	-320.71	-192.85	-128.97	-65.08	-69.30	-134.38	-199.47
		$Mz_{máx}$	451.38	386.30	321.21	191.28	126.35	61.42	63.55	127.60	191.64

Envolventes de los esfuerzos en barras										
Barra	Tipo de combinación	Esfuerzo	Posiciones en la barra								
			0.000 m	0.625 m	1.250 m	1.875 m	2.500 m	3.125 m	3.750 m	4.375 m	5.000 m
N26/N20	Hormigón	$N_{mín}$	-33.612	-29.474	-25.335	-21.196	-17.058	-12.919	-8.781	-4.642	-0.503
		$N_{máx}$	-24.641	-21.575	-18.509	-15.444	-12.378	-9.313	-6.247	-3.181	-0.116
		$Vy_{mín}$	-19.734	-19.734	-19.734	-19.734	-19.734	-19.734	-19.734	-19.734	-19.734
		$Vy_{máx}$	20.311	20.311	20.311	20.311	20.311	20.311	20.311	20.311	20.311
		$Vz_{mín}$	0.000	0.000	0.000	0.000	0.000	0.000	0.000	0.000	0.000
		$Vz_{máx}$	0.000	0.000	0.000	0.000	0.000	0.000	0.000	0.000	0.000
		$Mt_{mín}$	0.00	0.00	0.00	0.00	0.00	0.00	0.00	0.00	0.00
		$Mt_{máx}$	0.00	0.00	0.00	0.00	0.00	0.00	0.00	0.00	0.00
		$My_{mín}$	0.00	0.00	0.00	0.00	0.00	0.00	0.00	0.00	0.00
		$My_{máx}$	0.00	0.00	0.00	0.00	0.00	0.00	0.00	0.00	0.00
		$Mz_{mín}$	-98.98	-86.65	-74.31	-61.98	-49.64	-37.31	-24.98	-12.64	-0.31
		$Mz_{máx}$	101.84	89.14	76.45	63.75	51.06	38.37	25.67	12.98	0.29

Envolventes de los esfuerzos en barras										
Barra	Tipo de combinación	Esfuerzo	Posiciones en la barra							
			0.000 m	0.875 m	1.750 m	2.625 m	3.500 m	4.375 m	5.250 m	6.125 m	7.000 m
N21/N22	Hormigón	$N_{mín}$	-37.657	-33.021	-28.386	-23.751	-19.116	-14.481	-9.845	-5.210	-0.575
		$N_{máx}$	-27.487	-24.054	-20.620	-17.187	-13.753	-10.320	-6.886	-3.453	-0.019
		$Vy_{mín}$	-8.146	-8.146	-8.146	-8.146	-8.146	-8.146	-8.146	-8.146	-8.146
		$Vy_{máx}$	8.123	8.123	8.123	8.123	8.123	8.123	8.123	8.123	8.123
		$Vz_{mín}$	0.000	0.000	0.000	0.000	0.000	0.000	0.000	0.000	0.000
		$Vz_{máx}$	0.000	0.000	0.000	0.000	0.000	0.000	0.000	0.000	0.000
		$Mt_{mín}$	0.00	0.00	0.00	0.00	0.00	0.00	0.00	0.00	0.00
		$Mt_{máx}$	0.00	0.00	0.00	0.00	0.00	0.00	0.00	0.00	0.00
		$My_{mín}$	0.00	0.00	0.00	0.00	0.00	0.00	0.00	0.00	0.00
		$My_{máx}$	0.00	0.00	0.00	0.00	0.00	0.00	0.00	0.00	0.00
		$Mz_{mín}$	-55.70	-48.57	-41.44	-34.32	-27.19	-20.06	-12.93	-5.81	-1.34
		$Mz_{máx}$	55.53	48.42	41.31	34.20	27.09	19.99	12.88	5.77	1.32

Envolventes de los esfuerzos en barras										
Barra	Tipo de combinación	Esfuerzo	Posiciones en la barra							
			0.000 m	0.875 m	1.750 m	2.625 m	3.500 m	4.375 m	5.250 m	6.125 m	7.000 m
N23/N24	Hormigón	$N_{mín}$	-37.653	-33.018	-28.382	-23.747	-19.112	-14.477	-9.841	-5.206	-0.571
		$N_{máx}$	-27.184	-23.751	-20.317	-16.884	-13.450	-10.017	-6.583	-3.150	0.284
		$Vy_{mín}$	-9.438	-9.438	-9.438	-9.438	-9.438	-9.438	-9.438	-9.438	-9.438
		$Vy_{máx}$	9.454	9.454	9.454	9.454	9.454	9.454	9.454	9.454	9.454
		$Vz_{mín}$	0.000	0.000	0.000	0.000	0.000	0.000	0.000	0.000	0.000
		$Vz_{máx}$	0.000	0.000	0.000	0.000	0.000	0.000	0.000	0.000	0.000
		$Mt_{mín}$	0.00	0.00	0.00	0.00	0.00	0.00	0.00	0.00	0.00
		$Mt_{máx}$	0.00	0.00	0.00	0.00	0.00	0.00	0.00	0.00	0.00
		$My_{mín}$	0.00	0.00	0.00	0.00	0.00	0.00	0.00	0.00	0.00
		$My_{máx}$	0.00	0.00	0.00	0.00	0.00	0.00	0.00	0.00	0.00
		$Mz_{mín}$	-65.28	-57.03	-48.77	-40.52	-32.26	-24.00	-15.75	-7.49	-0.99
		$Mz_{máx}$	65.20	56.93	48.66	40.39	32.12	23.85	15.58	7.31	0.79

Envolventes de los esfuerzos en barras										
Barra	Tipo de combinación	Esfuerzo	Posiciones en la barra							
			0.000 m	0.763 m	1.525 m	2.288 m	3.050 m	3.813 m	4.575 m	5.338 m	6.100 m
N2/N4	Acero laminado	$N_{mín}$	-11.777	-11.777	-11.777	-11.777	-11.777	-11.777	-11.777	-11.777	-11.777
		$N_{máx}$	11.750	11.750	11.750	11.750	11.750	11.750	11.750	11.750	11.750
		$Vy_{mín}$	0.000	0.000	0.000	0.000	0.000	0.000	0.000	0.000	0.000
		$Vy_{máx}$	0.000	0.000	0.000	0.000	0.000	0.000	0.000	0.000	0.000
		$Vz_{mín}$	-0.480	-0.420	-0.359	-0.299	-0.240	-0.204	-0.168	-0.132	-0.097
		$Vz_{máx}$	0.098	0.133	0.169	0.205	0.240	0.301	0.361	0.422	0.482
		$Mt_{mín}$	0.00	0.00	0.00	0.00	0.00	0.00	0.00	0.00	0.00
		$Mt_{máx}$	0.00	0.00	0.00	0.00	0.00	0.00	0.00	0.00	0.00
		$My_{mín}$	-1.00	-0.65	-0.37	-0.15	0.05	-0.10	-0.32	-0.61	-0.96
		$My_{máx}$	0.61	0.52	0.42	0.31	0.15	0.26	0.37	0.47	0.56
		$Mz_{mín}$	0.00	0.00	0.00	0.00	0.00	0.00	0.00	0.00	0.00
		$Mz_{máx}$	0.00	0.00	0.00	0.00	0.00	0.00	0.00	0.00	0.00

Envolventes de los esfuerzos en barras										
Barra	Tipo de combinación	Esfuerzo	Posiciones en la barra							
			0.000 m	0.737 m	1.475 m	2.212 m	2.950 m	3.687 m	4.425 m	5.162 m	5.900 m
N4/N6	Acero laminado	$N_{mín}$	-21.594	-21.594	-21.594	-21.594	-21.594	-21.594	-21.594	-21.594	-21.594
		$N_{máx}$	21.629	21.629	21.629	21.629	21.629	21.629	21.629	21.629	21.629
		$Vy_{mín}$	0.000	0.000	0.000	0.000	0.000	0.000	0.000	0.000	0.000
		$Vy_{máx}$	0.000	0.000	0.000	0.000	0.000	0.000	0.000	0.000	0.000
		$Vz_{mín}$	-0.350	-0.292	-0.233	-0.175	-0.116	-0.082	-0.048	-0.013	0.021
		$Vz_{máx}$	-0.022	0.013	0.047	0.082	0.116	0.174	0.233	0.291	0.349
		$Mt_{mín}$	0.00	0.00	0.00	0.00	0.00	0.00	0.00	0.00	0.00
		$Mt_{máx}$	0.00	0.00	0.00	0.00	0.00	0.00	0.00	0.00	0.00
		$My_{mín}$	-0.69	-0.45	-0.27	-0.14	-0.05	0.03	-0.04	-0.22	-0.46
		$My_{máx}$	0.32	0.32	0.31	0.29	0.23	0.12	0.09	0.10	0.10
		$Mz_{mín}$	0.00	0.00	0.00	0.00	0.00	0.00	0.00	0.00	0.00
		$Mz_{máx}$	0.00	0.00	0.00	0.00	0.00	0.00	0.00	0.00	0.00

Envolventes de los esfuerzos en barras										
Barra	Tipo de combinación	Esfuerzo	Posiciones en la barra								
			0.000 m	0.800 m	1.600 m	2.400 m	3.200 m	4.000 m	4.800 m	5.600 m	6.400 m
N6/N8	Acero laminado	$N_{mín}$	-4.287	-4.287	-4.287	-4.287	-4.287	-4.287	-4.287	-4.287	-4.287
		$N_{máx}$	3.264	3.264	3.264	3.264	3.264	3.264	3.264	3.264	3.264
		$Vy_{mín}$	0.000	0.000	0.000	0.000	0.000	0.000	0.000	0.000	0.000
		$Vy_{máx}$	0.000	0.000	0.000	0.000	0.000	0.000	0.000	0.000	0.000
		$Vz_{mín}$	-0.267	-0.204	-0.141	-0.077	-0.014	0.023	0.061	0.098	0.136
		$Vz_{máx}$	-0.136	-0.099	-0.062	-0.024	0.014	0.076	0.140	0.203	0.266
		$Mt_{mín}$	0.00	0.00	0.00	0.00	0.00	0.00	0.00	0.00	0.00
		$Mt_{máx}$	0.00	0.00	0.00	0.00	0.00	0.00	0.00	0.00	0.00
		$My_{mín}$	-0.30	-0.11	0.01	0.06	0.07	0.04	-0.02	-0.14	-0.33
		$My_{máx}$	-0.13	-0.04	0.04	0.11	0.15	0.13	0.07	-0.01	-0.10
		$Mz_{mín}$	0.00	0.00	0.00	0.00	0.00	0.00	0.00	0.00	0.00
		$Mz_{máx}$	0.00	0.00	0.00	0.00	0.00	0.00	0.00	0.00	0.00

Envolventes de los esfuerzos en barras										
Barra	Tipo de combinación	Esfuerzo	Posiciones en la barra								
			0.000 m	0.806 m	1.612 m	2.419 m	3.225 m	4.031 m	4.837 m	5.644 m	6.450 m
N8/N10	Acero laminado	$N_{mín}$	-12.379	-12.379	-12.379	-12.379	-12.379	-12.379	-12.379	-12.379	-12.379
		$N_{máx}$	11.354	11.354	11.354	11.354	11.354	11.354	11.354	11.354	11.354
		$Vy_{mín}$	0.000	0.000	0.000	0.000	0.000	0.000	0.000	0.000	0.000
		$Vy_{máx}$	0.000	0.000	0.000	0.000	0.000	0.000	0.000	0.000	0.000
		$Vz_{mín}$	-0.276	-0.213	-0.149	-0.085	-0.022	0.016	0.054	0.091	0.129
		$Vz_{máx}$	-0.129	-0.091	-0.053	-0.015	0.022	0.086	0.150	0.214	0.277
		$Mt_{mín}$	0.00	0.00	0.00	0.00	0.00	0.00	0.00	0.00	0.00
		$Mt_{máx}$	0.00	0.00	0.00	0.00	0.00	0.00	0.00	0.00	0.00
		$My_{mín}$	-0.35	-0.15	-0.02	0.04	0.08	0.05	-0.01	-0.14	-0.34
		$My_{máx}$	-0.09	0.00	0.08	0.13	0.14	0.12	0.06	-0.01	-0.10
		$Mz_{mín}$	0.00	0.00	0.00	0.00	0.00	0.00	0.00	0.00	0.00
		$Mz_{máx}$	0.00	0.00	0.00	0.00	0.00	0.00	0.00	0.00	0.00

Envolventes de los esfuerzos en barras										
Barra	Tipo de combinación	Esfuerzo	Posiciones en la barra								
			0.000 m	0.575 m	1.150 m	1.725 m	2.300 m	2.875 m	3.450 m	4.025 m	4.600 m
N10/N12	Acero laminado	$N_{mín}$	-16.549	-16.549	-16.549	-16.549	-16.549	-16.549	-16.549	-16.549	-16.549
		$N_{máx}$	16.036	16.036	16.036	16.036	16.036	16.036	16.036	16.036	16.036
		$Vy_{mín}$	0.000	0.000	0.000	0.000	0.000	0.000	0.000	0.000	0.000
		$Vy_{máx}$	0.000	0.000	0.000	0.000	0.000	0.000	0.000	0.000	0.000
		$Vz_{mín}$	-0.205	-0.160	-0.115	-0.069	-0.024	0.003	0.030	0.057	0.084
		$Vz_{máx}$	-0.083	-0.056	-0.029	-0.002	0.024	0.071	0.116	0.162	0.207
		$Mt_{mín}$	0.00	0.00	0.00	0.00	0.00	0.00	0.00	0.00	0.00
		$Mt_{máx}$	0.00	0.00	0.00	0.00	0.00	0.00	0.00	0.00	0.00
		$My_{mín}$	-0.20	-0.10	-0.02	0.01	0.03	0.03	-0.01	-0.08	-0.19
		$My_{máx}$	-0.02	0.02	0.06	0.08	0.08	0.06	0.04	0.01	-0.04
		$Mz_{mín}$	0.00	0.00	0.00	0.00	0.00	0.00	0.00	0.00	0.00
		$Mz_{máx}$	0.00	0.00	0.00	0.00	0.00	0.00	0.00	0.00	0.00

Envolventes de los esfuerzos en barras										
Barra	Tipo de combinación	Esfuerzo	Posiciones en la barra								
			0.000 m	0.575 m	1.150 m	1.725 m	2.300 m	2.875 m	3.450 m	4.025 m	4.600 m
N12/N14	Acero laminado	$N_{mín}$	-17.639	-17.639	-17.639	-17.639	-17.639	-17.639	-17.639	-17.639	-17.639
		$N_{máx}$	17.114	17.114	17.114	17.114	17.114	17.114	17.114	17.114	17.114
		$Vy_{mín}$	0.000	0.000	0.000	0.000	0.000	0.000	0.000	0.000	0.000
		$Vy_{máx}$	0.000	0.000	0.000	0.000	0.000	0.000	0.000	0.000	0.000
		$Vz_{mín}$	-0.182	-0.136	-0.091	-0.045	0.000	0.027	0.054	0.081	0.108
		$Vz_{máx}$	-0.108	-0.081	-0.054	-0.027	0.000	0.045	0.091	0.136	0.182
		$Mt_{mín}$	0.00	0.00	0.00	0.00	0.00	0.00	0.00	0.00	0.00
		$Mt_{máx}$	0.00	0.00	0.00	0.00	0.00	0.00	0.00	0.00	0.00
		$My_{mín}$	-0.15	-0.06	0.00	0.02	0.03	0.02	0.00	-0.06	-0.15
		$My_{máx}$	-0.07	-0.02	0.03	0.07	0.08	0.07	0.03	-0.02	-0.07
		$Mz_{mín}$	0.00	0.00	0.00	0.00	0.00	0.00	0.00	0.00	0.00
		$Mz_{máx}$	0.00	0.00	0.00	0.00	0.00	0.00	0.00	0.00	0.00

Envolventes de los esfuerzos en barras										
Barra	Tipo de combinación	Esfuerzo	Posiciones en la barra							
			0.000 m	0.575 m	1.150 m	1.725 m	2.300 m	2.875 m	3.450 m	4.025 m	4.600 m
N14/N16	Acero laminado	$N_{mín}$	-16.077	-16.077	-16.077	-16.077	-16.077	-16.077	-16.077	-16.077	-16.077
		$N_{máx}$	15.559	15.559	15.559	15.559	15.559	15.559	15.559	15.559	15.559
		$Vy_{mín}$	0.000	0.000	0.000	0.000	0.000	0.000	0.000	0.000	0.000
		$Vy_{máx}$	0.000	0.000	0.000	0.000	0.000	0.000	0.000	0.000	0.000
		$Vz_{mín}$	-0.205	-0.160	-0.114	-0.069	-0.023	0.003	0.030	0.057	0.084
		$Vz_{máx}$	-0.084	-0.057	-0.030	-0.003	0.023	0.069	0.114	0.160	0.205
		$Mt_{mín}$	0.00	0.00	0.00	0.00	0.00	0.00	0.00	0.00	0.00
		$Mt_{máx}$	0.00	0.00	0.00	0.00	0.00	0.00	0.00	0.00	0.00
		$My_{mín}$	-0.18	-0.08	-0.01	0.03	0.03	0.01	-0.03	-0.10	-0.20
		$My_{máx}$	-0.04	0.00	0.04	0.06	0.08	0.08	0.05	0.02	-0.02
		$Mz_{mín}$	0.00	0.00	0.00	0.00	0.00	0.00	0.00	0.00	0.00
		$Mz_{máx}$	0.00	0.00	0.00	0.00	0.00	0.00	0.00	0.00	0.00

Envolventes de los esfuerzos en barras										
Barra	Tipo de combinación	Esfuerzo	Posiciones en la barra							
			0.000 m	0.575 m	1.150 m	1.725 m	2.300 m	2.875 m	3.450 m	4.025 m	4.600 m
N16/N18	Acero laminado	$N_{mín}$	-11.430	-11.430	-11.430	-11.430	-11.430	-11.430	-11.430	-11.430	-11.430
		$N_{máx}$	10.920	10.920	10.920	10.920	10.920	10.920	10.920	10.920	10.920
		$Vy_{mín}$	0.000	0.000	0.000	0.000	0.000	0.000	0.000	0.000	0.000
		$Vy_{máx}$	0.000	0.000	0.000	0.000	0.000	0.000	0.000	0.000	0.000
		$Vz_{mín}$	-0.222	-0.176	-0.131	-0.085	-0.040	-0.013	0.014	0.041	0.068
		$Vz_{máx}$	-0.068	-0.041	-0.014	0.013	0.040	0.085	0.130	0.176	0.221
		$Mt_{mín}$	0.00	0.00	0.00	0.00	0.00	0.00	0.00	0.00	0.00
		$Mt_{máx}$	0.00	0.00	0.00	0.00	0.00	0.00	0.00	0.00	0.00
		$My_{mín}$	-0.23	-0.11	-0.03	0.01	0.04	0.01	-0.04	-0.12	-0.23
		$My_{máx}$	0.00	0.04	0.06	0.08	0.07	0.08	0.07	0.04	0.01
		$Mz_{mín}$	0.00	0.00	0.00	0.00	0.00	0.00	0.00	0.00	0.00
		$Mz_{máx}$	0.00	0.00	0.00	0.00	0.00	0.00	0.00	0.00	0.00

Envolventes de los esfuerzos en barras										
Barra	Tipo de combinación	Esfuerzo	Posiciones en la barra							
			0.000 m	0.575 m	1.150 m	1.725 m	2.300 m	2.875 m	3.450 m	4.025 m	4.600 m
N18/N20	Acero laminado	$N_{mín}$	-2.731	-2.731	-2.731	-2.731	-2.731	-2.731	-2.731	-2.731	-2.731
		$N_{máx}$	2.208	2.208	2.208	2.208	2.208	2.208	2.208	2.208	2.208
		$Vy_{mín}$	0.000	0.000	0.000	0.000	0.000	0.000	0.000	0.000	0.000
		$Vy_{máx}$	0.000	0.000	0.000	0.000	0.000	0.000	0.000	0.000	0.000
		$Vz_{mín}$	-0.206	-0.160	-0.115	-0.069	-0.025	0.003	0.030	0.057	0.084
		$Vz_{máx}$	-0.083	-0.056	-0.029	-0.002	0.025	0.071	0.116	0.161	0.207
		$Mt_{mín}$	0.00	0.00	0.00	0.00	0.00	0.00	0.00	0.00	0.00
		$Mt_{máx}$	0.00	0.00	0.00	0.00	0.00	0.00	0.00	0.00	0.00
		$My_{mín}$	-0.21	-0.11	-0.03	0.00	0.03	0.03	0.00	-0.08	-0.18
		$My_{máx}$	-0.01	0.03	0.06	0.09	0.08	0.06	0.03	0.00	-0.04
		$Mz_{mín}$	0.00	0.00	0.00	0.00	0.00	0.00	0.00	0.00	0.00
		$Mz_{máx}$	0.00	0.00	0.00	0.00	0.00	0.00	0.00	0.00	0.00

Envolventes de los esfuerzos en barras										
Barra	Tipo de combinación	Esfuerzo	Posiciones en la barra							
			0.000 m	0.550 m	1.100 m	1.650 m	2.200 m	2.750 m	3.300 m	3.850 m	4.400 m
N20/N22	Acero laminado	$N_{mín}$	-17.575	-17.575	-17.575	-17.575	-17.575	-17.575	-17.575	-17.575	-17.575
		$N_{máx}$	17.581	17.581	17.581	17.581	17.581	17.581	17.581	17.581	17.581
		$Vy_{mín}$	0.000	0.000	0.000	0.000	0.000	0.000	0.000	0.000	0.000
		$Vy_{máx}$	0.000	0.000	0.000	0.000	0.000	0.000	0.000	0.000	0.000
		$Vz_{mín}$	-0.346	-0.302	-0.259	-0.215	-0.172	-0.146	-0.120	-0.095	-0.069
		$Vz_{máx}$	0.070	0.095	0.121	0.147	0.172	0.216	0.260	0.303	0.347
		$Mt_{mín}$	0.00	0.00	0.00	0.00	0.00	0.00	0.00	0.00	0.00
		$Mt_{máx}$	0.00	0.00	0.00	0.00	0.00	0.00	0.00	0.00	0.00
		$My_{mín}$	-0.38	-0.20	-0.06	0.00	-0.08	-0.19	-0.30	-0.45	-0.63
		$My_{máx}$	0.18	0.14	0.08	0.08	0.19	0.27	0.33	0.38	0.43
		$Mz_{mín}$	0.00	0.00	0.00	0.00	0.00	0.00	0.00	0.00	0.00
		$Mz_{máx}$	0.00	0.00	0.00	0.00	0.00	0.00	0.00	0.00	0.00

Envolventes de los esfuerzos en barras										
Barra	Tipo de combinación	Esfuerzo	Posiciones en la barra							
			0.000 m	0.525 m	1.050 m	1.575 m	2.100 m	2.625 m	3.150 m	3.675 m	4.200 m
N22/N24	Acero laminado	$N_{mín}$	-9.454	-9.454	-9.454	-9.454	-9.454	-9.454	-9.454	-9.454	-9.454
		$N_{máx}$	9.439	9.439	9.439	9.439	9.439	9.439	9.439	9.439	9.439
		$Vy_{mín}$	0.000	0.000	0.000	0.000	0.000	0.000	0.000	0.000	0.000
		$Vy_{máx}$	0.000	0.000	0.000	0.000	0.000	0.000	0.000	0.000	0.000
		$Vz_{mín}$	-0.573	-0.531	-0.490	-0.448	-0.406	-0.382	-0.357	-0.333	-0.308
		$Vz_{máx}$	0.307	0.332	0.356	0.381	0.406	0.447	0.488	0.529	0.571
		$Mt_{mín}$	0.00	0.00	0.00	0.00	0.00	0.00	0.00	0.00	0.00
		$Mt_{máx}$	0.00	0.00	0.00	0.00	0.00	0.00	0.00	0.00	0.00
		$My_{mín}$	-0.95	-0.66	-0.39	-0.16	0.01	-0.21	-0.44	-0.70	-0.99
		$My_{máx}$	0.76	0.59	0.42	0.24	0.08	0.29	0.47	0.64	0.81
		$Mz_{mín}$	0.00	0.00	0.00	0.00	0.00	0.00	0.00	0.00	0.00
		$Mz_{máx}$	0.00	0.00	0.00	0.00	0.00	0.00	0.00	0.00	0.00

Envolventes de los esfuerzos en barras										
Barra	Tipo de combinación	Esfuerzo	Posiciones en la barra							
			0.000 m	0.800 m	1.600 m	2.400 m	3.200 m	4.000 m	4.800 m	5.600 m	6.400 m
N25/N27	Hormigón	$N_{mín}$	-400.336	-400.336	-400.336	-400.336	-400.336	-400.336	-400.336	-400.336	-400.336
		$N_{máx}$	391.170	391.170	391.170	391.170	391.170	391.170	391.170	391.170	391.170
		$Vy_{mín}$	0.000	0.000	0.000	0.000	0.000	0.000	0.000	0.000	0.000
		$Vy_{máx}$	0.000	0.000	0.000	0.000	0.000	0.000	0.000	0.000	0.000
		$Vz_{mín}$	-36.211	-33.032	-29.854	-26.675	-23.578	-21.224	-18.869	-16.515	-14.161
		$Vz_{máx}$	14.625	16.979	19.334	21.688	24.124	27.302	30.481	33.659	36.838
		$Mt_{mín}$	0.00	0.00	0.00	0.00	0.00	0.00	0.00	0.00	0.00
		$Mt_{máx}$	0.00	0.00	0.00	0.00	0.00	0.00	0.00	0.00	0.00
		$My_{mín}$	-96.44	-68.74	-44.24	-22.55	-2.74	-6.94	-29.00	-54.27	-82.47
		$My_{máx}$	75.10	62.46	48.58	33.10	15.07	16.62	31.60	45.37	57.64
		$Mz_{mín}$	0.00	0.00	0.00	0.00	0.00	0.00	0.00	0.00	0.00
		$Mz_{máx}$	0.00	0.00	0.00	0.00	0.00	0.00	0.00	0.00	0.00

Envolventes de los esfuerzos en barras										
Barra	Tipo de combinación	Esfuerzo	Posiciones en la barra							
			0.000 m	0.806 m	1.612 m	2.419 m	3.225 m	4.031 m	4.837 m	5.644 m	6.450 m
N27/N28	Hormigón	$N_{mín}$	-626.788	-626.788	-626.788	-626.788	-626.788	-626.788	-626.788	-626.788	-626.788
		$N_{máx}$	618.585	618.585	618.585	618.585	618.585	618.585	618.585	618.585	618.585
		$Vy_{mín}$	0.000	0.000	0.000	0.000	0.000	0.000	0.000	0.000	0.000
		$Vy_{máx}$	0.000	0.000	0.000	0.000	0.000	0.000	0.000	0.000	0.000
		$Vz_{mín}$	-25.007	-21.803	-18.600	-15.397	-12.194	-9.801	-7.428	-5.055	-2.682
		$Vz_{máx}$	2.566	4.939	7.312	9.685	12.057	15.240	18.444	21.647	24.850
		$Mt_{mín}$	0.00	0.00	0.00	0.00	0.00	0.00	0.00	0.00	0.00
		$Mt_{máx}$	0.00	0.00	0.00	0.00	0.00	0.00	0.00	0.00	0.00
		$My_{mín}$	-57.31	-38.44	-22.60	-9.92	0.85	-1.13	-13.72	-29.36	-48.11
		$My_{máx}$	33.13	30.11	25.62	19.79	11.37	11.21	17.17	21.69	24.81
		$Mz_{mín}$	0.00	0.00	0.00	0.00	0.00	0.00	0.00	0.00	0.00
		$Mz_{máx}$	0.00	0.00	0.00	0.00	0.00	0.00	0.00	0.00	0.00

Envolventes de los esfuerzos en barras										
Barra	Tipo de combinación	Esfuerzo	Posiciones en la barra							
			0.000 m	0.575 m	1.150 m	1.725 m	2.300 m	2.875 m	3.450 m	4.025 m	4.600 m
N28/N29	Hormigón	$N_{mín}$	-755.300	-755.300	-755.300	-755.300	-755.300	-755.300	-755.300	-755.300	-755.300
		$N_{máx}$	752.204	752.204	752.204	752.204	752.204	752.204	752.204	752.204	752.204
		$Vy_{mín}$	0.000	0.000	0.000	0.000	0.000	0.000	0.000	0.000	0.000
		$Vy_{máx}$	0.000	0.000	0.000	0.000	0.000	0.000	0.000	0.000	0.000
		$Vz_{mín}$	-19.546	-17.262	-14.977	-12.692	-10.408	-8.668	-6.976	-5.284	-3.592
		$Vz_{máx}$	3.321	5.013	6.705	8.398	10.090	12.327	14.611	16.896	19.180
		$Mt_{mín}$	0.00	0.00	0.00	0.00	0.00	0.00	0.00	0.00	0.00
		$Mt_{máx}$	0.00	0.00	0.00	0.00	0.00	0.00	0.00	0.00	0.00
		$My_{mín}$	-35.44	-24.86	-15.72	-8.30	-1.86	0.51	-6.75	-15.58	-25.95
		$My_{máx}$	22.22	19.82	16.58	12.78	7.66	4.34	8.35	11.64	14.19
		$Mz_{mín}$	0.00	0.00	0.00	0.00	0.00	0.00	0.00	0.00	0.00
		$Mz_{máx}$	0.00	0.00	0.00	0.00	0.00	0.00	0.00	0.00	0.00

Envolventes de los esfuerzos en barras										
Barra	Tipo de combinación	Esfuerzo	Posiciones en la barra							
			0.000 m	0.575 m	1.150 m	1.725 m	2.300 m	2.875 m	3.450 m	4.025 m	4.600 m
N29/N30	Hormigón	$N_{mín}$	-796.414	-796.414	-796.414	-796.414	-796.414	-796.414	-796.414	-796.414	-796.414
		$N_{máx}$	793.172	793.172	793.172	793.172	793.172	793.172	793.172	793.172	793.172
		$Vy_{mín}$	0.000	0.000	0.000	0.000	0.000	0.000	0.000	0.000	0.000
		$Vy_{máx}$	0.000	0.000	0.000	0.000	0.000	0.000	0.000	0.000	0.000
		$Vz_{mín}$	-9.561	-7.277	-4.992	-2.708	-0.426	1.266	2.958	4.650	6.343
		$Vz_{máx}$	-6.326	-4.634	-2.942	-1.250	0.445	2.730	5.014	7.299	9.583
		$Mt_{mín}$	0.00	0.00	0.00	0.00	0.00	0.00	0.00	0.00	0.00
		$Mt_{máx}$	0.00	0.00	0.00	0.00	0.00	0.00	0.00	0.00	0.00
		$My_{mín}$	-9.92	-5.58	-2.79	-1.58	-1.35	-2.09	-3.80	-7.12	-11.97
		$My_{máx}$	-2.20	1.45	4.36	6.57	7.47	7.06	5.33	2.92	-0.24
		$Mz_{mín}$	0.00	0.00	0.00	0.00	0.00	0.00	0.00	0.00	0.00
		$Mz_{máx}$	0.00	0.00	0.00	0.00	0.00	0.00	0.00	0.00	0.00

Envolventes de los esfuerzos en barras										
Barra	Tipo de combinación	Esfuerzo	Posiciones en la barra							
			0.000 m	0.575 m	1.150 m	1.725 m	2.300 m	2.875 m	3.450 m	4.025 m	4.600 m
N30/N31	Hormigón	$N_{mín}$	-746.730	-746.730	-746.730	-746.730	-746.730	-746.730	-746.730	-746.730	-746.730
		$N_{máx}$	743.360	743.360	743.360	743.360	743.360	743.360	743.360	743.360	743.360
		$Vy_{mín}$	0.000	0.000	0.000	0.000	0.000	0.000	0.000	0.000	0.000
		$Vy_{máx}$	0.000	0.000	0.000	0.000	0.000	0.000	0.000	0.000	0.000
		$Vz_{mín}$	-19.974	-17.689	-15.405	-13.120	-10.836	-9.139	-7.447	-5.755	-4.062
		$Vz_{máx}$	4.036	5.729	7.421	9.113	10.805	13.085	15.370	17.654	19.939
		$Mt_{mín}$	0.00	0.00	0.00	0.00	0.00	0.00	0.00	0.00	0.00
		$Mt_{máx}$	0.00	0.00	0.00	0.00	0.00	0.00	0.00	0.00	0.00
		$My_{mín}$	-27.82	-16.99	-7.70	-0.01	-1.50	-8.20	-15.87	-25.13	-35.94
		$My_{máx}$	15.57	12.76	9.20	4.96	7.61	13.19	17.45	21.01	23.83
		$Mz_{mín}$	0.00	0.00	0.00	0.00	0.00	0.00	0.00	0.00	0.00
		$Mz_{máx}$	0.00	0.00	0.00	0.00	0.00	0.00	0.00	0.00	0.00

Envolventes de los esfuerzos en barras										
Barra	Tipo de combinación	Esfuerzo	Posiciones en la barra							
			0.000 m	0.575 m	1.150 m	1.725 m	2.300 m	2.875 m	3.450 m	4.025 m	4.600 m
N31/N32	Hormigón	$N_{mín}$	-601.812	-601.812	-601.812	-601.812	-601.812	-601.812	-601.812	-601.812	-601.812
		$N_{máx}$	598.079	598.079	598.079	598.079	598.079	598.079	598.079	598.079	598.079
		$Vy_{mín}$	0.000	0.000	0.000	0.000	0.000	0.000	0.000	0.000	0.000
		$Vy_{máx}$	0.000	0.000	0.000	0.000	0.000	0.000	0.000	0.000	0.000
		$Vz_{mín}$	-30.853	-28.569	-26.284	-24.000	-21.715	-20.017	-18.324	-16.632	-14.940
		$Vz_{máx}$	14.902	16.595	18.287	19.979	21.671	23.949	26.234	28.518	30.803
		$Mt_{mín}$	0.00	0.00	0.00	0.00	0.00	0.00	0.00	0.00	0.00
		$Mt_{máx}$	0.00	0.00	0.00	0.00	0.00	0.00	0.00	0.00	0.00
		$My_{mín}$	-52.62	-35.54	-19.99	-6.04	-1.74	-14.68	-28.60	-44.11	-61.17
		$My_{máx}$	40.32	31.27	21.46	10.97	7.83	19.66	30.18	39.99	49.07
		$Mz_{mín}$	0.00	0.00	0.00	0.00	0.00	0.00	0.00	0.00	0.00
		$Mz_{máx}$	0.00	0.00	0.00	0.00	0.00	0.00	0.00	0.00	0.00

Envolventes de los esfuerzos en barras										
Barra	Tipo de combinación	Esfuerzo	Posiciones en la barra							
			0.000 m	0.575 m	1.150 m	1.725 m	2.300 m	2.875 m	3.450 m	4.025 m	4.600 m
N32/N26	Hormigón	$N_{mín}$	-345.074	-345.074	-345.074	-345.074	-345.074	-345.074	-345.074	-345.074	-345.074
		$N_{máx}$	340.443	340.443	340.443	340.443	340.443	340.443	340.443	340.443	340.443
		$Vy_{mín}$	0.000	0.000	0.000	0.000	0.000	0.000	0.000	0.000	0.000
		$Vy_{máx}$	0.000	0.000	0.000	0.000	0.000	0.000	0.000	0.000	0.000
		$Vz_{mín}$	-47.098	-44.813	-42.529	-40.244	-37.960	-36.194	-34.501	-32.809	-31.117
		$Vz_{máx}$	30.694	32.386	34.079	35.771	37.463	39.673	41.958	44.242	46.527
		$Mt_{mín}$	0.00	0.00	0.00	0.00	0.00	0.00	0.00	0.00	0.00
		$Mt_{máx}$	0.00	0.00	0.00	0.00	0.00	0.00	0.00	0.00	0.00
		$My_{mín}$	-85.98	-59.55	-34.64	-11.40	-5.37	-27.40	-50.40	-74.82	-100.91
		$My_{máx}$	73.01	54.87	35.96	16.43	11.84	33.01	52.87	71.85	90.23
		$Mz_{mín}$	0.00	0.00	0.00	0.00	0.00	0.00	0.00	0.00	0.00
		$Mz_{máx}$	0.00	0.00	0.00	0.00	0.00	0.00	0.00	0.00	0.00

2.3.2.2. Resistencia

Referencias:

N: Esfuerzo axil (kN)
Vy: Esfuerzo cortante según el eje local Y de la barra. (kN)

Vz: Esfuerzo cortante según el eje local Z de la barra. (kN)
Mt: Momento torsor (kN·m)
My: Momento flector en el plano 'XZ' (giro de la sección respecto al eje local 'Y' de la barra). (kN·m)
Mz: Momento flector en el plano 'XY' (giro de la sección respecto al eje local 'Z' de la barra). (kN·m)

Los esfuerzos indicados son los correspondientes a la combinación pésima, es decir, aquella que demanda la máxima resistencia de la sección.

Origen de los esfuerzos pésimos:

- G: Sólo gravitatorias
- GV: Gravitatorias + viento
- GS: Gravitatorias + sismo
- GVS: Gravitatorias + viento + sismo

η: Aprovechamiento de la resistencia. La barra cumple con las condiciones de resistencia de la norma si se cumple que $\eta \leq 100$ %.

Perfiles de acero	
Errores	
N2/N4	Se ha producido un error, ya que la esbeltez de la barra es mayor que la esbeltez límite.
N4/N6	Se ha producido un error, ya que la esbeltez de la barra es mayor que la esbeltez límite.
N6/N8	Se ha producido un error, ya que la esbeltez de la barra es mayor que la esbeltez límite.
N8/N10	Se ha producido un error, ya que la esbeltez de la barra es mayor que la esbeltez límite.
N10/N12	Se ha producido un error, ya que la esbeltez de la barra es mayor que la esbeltez límite.
N12/N14	Se ha producido un error, ya que la esbeltez de la barra es mayor que la esbeltez límite.
N14/N16	Se ha producido un error, ya que la esbeltez de la barra es mayor que la esbeltez límite.
N16/N18	Se ha producido un error, ya que la esbeltez de la barra es mayor que la esbeltez límite.
N18/N20	Se ha producido un error, ya que la esbeltez de la barra es mayor que la esbeltez límite.
N20/N22	Se ha producido un error, ya que la esbeltez de la barra es mayor que la esbeltez límite.
N22/N24	Se ha producido un error, ya que la esbeltez de la barra es mayor que la esbeltez límite.

Barras de hormigón	
Errores	
N1/N2	No se realiza ninguna comprobación de resistencia sobre las barras de hormigón.
N3/N4	No se realiza ninguna comprobación de resistencia sobre las barras de hormigón.
N5/N25	No se realiza ninguna comprobación de resistencia sobre las barras de hormigón.
N25/N6	No se realiza ninguna comprobación de resistencia sobre las barras de hormigón.
N7/N27	No se realiza ninguna comprobación de resistencia sobre las barras de hormigón.
N27/N8	No se realiza ninguna comprobación de resistencia sobre las barras de hormigón.
N9/N28	No se realiza ninguna comprobación de resistencia sobre las barras de hormigón.
N28/N10	No se realiza ninguna comprobación de resistencia sobre las barras de hormigón.
N11/N29	No se realiza ninguna comprobación de resistencia sobre las barras de hormigón.
N29/N12	No se realiza ninguna comprobación de resistencia sobre las barras de hormigón.
N13/N30	No se realiza ninguna comprobación de resistencia sobre las barras de hormigón.
N30/N14	No se realiza ninguna comprobación de resistencia sobre las barras de hormigón.
N15/N31	No se realiza ninguna comprobación de resistencia sobre las barras de hormigón.
N31/N16	No se realiza ninguna comprobación de resistencia sobre las barras de hormigón.
N17/N32	No se realiza ninguna comprobación de resistencia sobre las barras de hormigón.
N32/N18	No se realiza ninguna comprobación de resistencia sobre las barras de hormigón.
N19/N26	No se realiza ninguna comprobación de resistencia sobre las barras de hormigón.

N26/N20	No se realiza ninguna comprobación de resistencia sobre las barras de hormigón.
N21/N22	No se realiza ninguna comprobación de resistencia sobre las barras de hormigón.
N23/N24	No se realiza ninguna comprobación de resistencia sobre las barras de hormigón.
N25/N27	No se realiza ninguna comprobación de resistencia sobre las barras de hormigón.
N27/N28	No se realiza ninguna comprobación de resistencia sobre las barras de hormigón.
N28/N29	No se realiza ninguna comprobación de resistencia sobre las barras de hormigón.
N29/N30	No se realiza ninguna comprobación de resistencia sobre las barras de hormigón.
N30/N31	No se realiza ninguna comprobación de resistencia sobre las barras de hormigón.
N31/N32	No se realiza ninguna comprobación de resistencia sobre las barras de hormigón.
N32/N26	No se realiza ninguna comprobación de resistencia sobre las barras de hormigón.

2.3.2.3. Flechas

Referencias:

Pos.: Valor de la coordenada sobre el eje 'X' local del grupo de flecha en el punto donde se produce el valor pésimo de la flecha.
L.: Distancia entre dos puntos de corte consecutivos de la deformada con la recta que une los nudos extremos del grupo de flecha.

Flechas								
Grupo	Flecha máxima absoluta xy Flecha máxima relativa xy		Flecha máxima absoluta xz Flecha máxima relativa xz		Flecha activa absoluta xy Flecha activa relativa xy		Flecha activa absoluta xz Flecha activa relativa xz	
	Pos. (m)	Flecha (mm)	Pos. (m)	Flecha (mm)	Pos. (m)	Flecha (mm)	Pos. (m)	Flecha (mm)
N1/N2	3.062 3.062	2.92 L/(>1000)	0.000 -	0.00 L/(>1000)	3.062 3.062	5.82 L/(>1000)	0.000 -	0.00 L/(>1000)
N3/N4	3.062 3.062	2.41 L/(>1000)	0.000 -	0.00 L/(>1000)	3.062 3.062	4.80 L/(>1000)	0.000 -	0.00 L/(>1000)
N5/N6	3.563 3.563	3.52 L/(>1000)	0.000 -	0.00 L/(>1000)	3.563 3.563	6.94 L/(>1000)	0.000 -	0.00 L/(>1000)
N7/N8	3.250 3.250	1.65 L/(>1000)	0.000 -	0.00 L/(>1000)	3.250 3.250	3.31 L/(>1000)	0.000 -	0.00 L/(>1000)
N9/N10	3.250 3.250	0.73 L/(>1000)	0.000 -	0.00 L/(>1000)	3.250 3.250	1.42 L/(>1000)	0.000 -	0.00 L/(>1000)
N11/N12	3.250 0.400	0.18 L/(>1000)	0.000 -	0.00 L/(>1000)	3.250 0.400	0.37 L/(>1000)	0.000 -	0.00 L/(>1000)
N13/N14	3.250 3.250	0.26 L/(>1000)	0.000 -	0.00 L/(>1000)	3.250 3.250	0.52 L/(>1000)	0.000 -	0.00 L/(>1000)
N15/N16	3.250 3.250	0.78 L/(>1000)	0.000 -	0.00 L/(>1000)	3.250 3.250	1.55 L/(>1000)	0.000 -	0.00 L/(>1000)
N17/N18	3.250 3.250	1.47 L/(>1000)	0.000 -	0.00 L/(>1000)	3.250 3.250	2.94 L/(>1000)	0.000 -	0.00 L/(>1000)
N19/N20	3.563 3.563	2.86 L/(>1000)	0.000 -	0.00 L/(>1000)	3.563 3.563	5.67 L/(>1000)	0.000 -	0.00 L/(>1000)
N21/N22	3.062 3.062	1.96 L/(>1000)	0.000 -	0.00 L/(>1000)	3.062 3.062	3.91 L/(>1000)	0.000 -	0.00 L/(>1000)
N2/N22	0.000 -	0.00 L/(>1000)	8.313 1.906	3.30 L/(>1000)	0.000 -	0.00 L/(>1000)	7.944 1.906	4.64 L/(>1000)
N23/N24	3.062 3.062	2.33 L/(>1000)	0.000 -	0.00 L/(>1000)	3.062 3.062	4.64 L/(>1000)	0.000 -	0.00 L/(>1000)
N22/N24	0.000 -	0.00 L/(>1000)	3.150 3.150	1.26 L/(>1000)	0.000 -	0.00 L/(>1000)	3.150 3.150	2.18 L/(>1000)
N25/N27	0.000 -	0.00 L/(>1000)	2.000 2.000	2.55 L/(>1000)	0.000 -	0.00 L/(>1000)	1.600 2.000	4.32 L/(>1000)
N27/N28	0.000 -	0.00 L/(>1000)	2.016 2.016	1.55 L/(>1000)	0.000 -	0.00 L/(>1000)	1.612 2.419	2.30 L/(>1000)
N28/N29	0.000 -	0.00 L/(>1000)	1.438 1.438	0.54 L/(>1000)	0.000 -	0.00 L/(>1000)	1.438 1.725	0.90 L/(>1000)

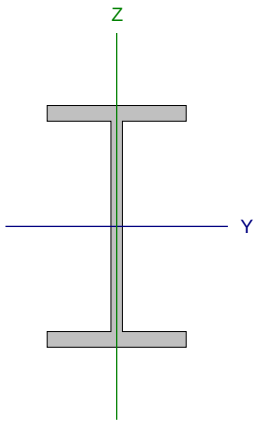
Flechas								
Grupo	Flecha máxima absoluta xy Flecha máxima relativa xy		Flecha máxima absoluta xz Flecha máxima relativa xz		Flecha activa absoluta xy Flecha activa relativa xy		Flecha activa absoluta xz Flecha activa relativa xz	
	Pos. (m)	Flecha (mm)	Pos. (m)	Flecha (mm)	Pos. (m)	Flecha (mm)	Pos. (m)	Flecha (mm)
N29/N30	0.000 -	0.00 L/(>1000)	2.300 2.300	0.43 L/(>1000)	0.000 -	0.00 L/(>1000)	2.300 2.588	0.57 L/(>1000)
N30/N31	0.000 -	0.00 L/(>1000)	3.162 3.162	0.56 L/(>1000)	0.000 -	0.00 L/(>1000)	3.162 3.162	0.89 L/(>1000)
N31/N32	0.000 -	0.00 L/(>1000)	3.450 3.450	0.77 L/(>1000)	0.000 -	0.00 L/(>1000)	3.450 3.450	1.36 L/(>1000)
N32/N26	0.000 -	0.00 L/(>1000)	3.450 3.450	1.32 L/(>1000)	0.000 -	0.00 L/(>1000)	3.450 3.450	2.43 L/(>1000)

2.3.2.4. Comprobaciones E.L.U. (Completo)

Nota: Se muestra el listado completo de comprobaciones realizadas para las 10 barras con mayor coeficiente de aprovechamiento.

Barra N2/N4

Perfil: IPE 80
Material: Acero (S275)



Nudos		Longitud (m)	Características mecánicas			
Inicial	Final		Área (cm^2)	I_y (1) (cm4)	I_z (1) (cm4)	I_t (2) (cm4)
N2	N4	6.100	7.60	80.10	8.49	0.67

Notas:
(1) Inercia respecto al eje indicado
(2) Momento de inercia a torsión uniforme

	Pandeo		Pandeo lateral	
	Plano XY	Plano XZ	Ala sup.	Ala inf.
β	1.00	1.00	0.00	0.00
L_K	6.100	6.100	0.000	0.000
C_m	1.000	1.000	1.000	1.000
C_1	-		1.000	

Notación:
b: Coeficiente de pandeo
L_K: Longitud de pandeo (m)
C_m: Coeficiente de momentos
C_1: Factor de modificación para el momento crítico

Limitación de esbeltez (CTE DB SE-A, Artículos 6.3.1 y 6.3.2.1 - Tabla 6.3)

La esbeltez reducida $\bar{\lambda}$ de las barras comprimidas debe ser inferior al valor 2.0.

$$\bar{\lambda} = \sqrt{\frac{A \cdot f_y}{N_{cr}}}$$

`l : 6.65

Donde:

Clase: Clase de la sección, según la capacidad de deformación y de desarrollo de la resistencia plástica de los elementos planos comprimidos de una sección. Clase : 1

A: Área de la sección bruta para las secciones de clase 1, 2 y 3. A : 7.60 cm²

f_y: Límite elástico. (CTE DB SE-A, Tabla 4.1) f_y : 275.00 MPa

N_{cr}: Axil crítico de pandeo elástico. N_{cr} : 4.73 kN

El axil crítico de pandeo elástico N_{cr} es el menor de los valores obtenidos en a), b) y c):

a) Axil crítico elástico de pandeo por flexión respecto al eje Y. $N_{cr,y}$: 44.62 kN

$$\mathbf{N_{cr,y}} = \frac{\pi^2 \cdot E \cdot I_y}{L_{ky}^2}$$

b) Axil crítico elástico de pandeo por flexión respecto al eje Z. $N_{cr,z}$: 4.73 kN

$$\mathbf{N_{cr,z}} = \frac{\pi^2 \cdot E \cdot I_z}{L_{kz}^2}$$

c) Axil crítico elástico de pandeo por torsión. $N_{cr,T}$: ∞

$$\mathbf{N_{cr,T}} = \frac{1}{i_0^2} \cdot \left[G \cdot I_t + \frac{\pi^2 \cdot E \cdot I_w}{L_{kt}^2} \right]$$

Donde:

I_y: Momento de inercia de la sección bruta, respecto al eje Y. I_y : 80.10 cm4

I_z: Momento de inercia de la sección bruta, respecto al eje Z. I_z : 8.49 cm4

I_t: Momento de inercia a torsión uniforme. I_t : 0.67 cm4

I_w: Constante de alabeo de la sección. I_w : 120.00 cm6

E: Módulo de elasticidad. E : 210000 MPa

G: Módulo de elasticidad transversal. G : 81000 MPa

L_{ky}: Longitud efectiva de pandeo por flexión, respecto al eje Y. L_{ky} : 6.100 m

L_{kz}: Longitud efectiva de pandeo por flexión, respecto al eje Z. L_{kz} : 6.100 m

L_{kt}: Longitud efectiva de pandeo por torsión. L_{kt} : 0.000 m

i_0: Radio de giro polar de la sección bruta, respecto al centro de torsión. i_0 : 3.41 cm

$$\mathbf{i_0} = \left(i_y^2 + i_z^2 + y_0^2 + z_0^2 \right)^{0.5}$$

Siendo:

i_y , i_z: Radios de giro de la sección bruta, respecto a los ejes principales de inercia Y y Z. i_y : 3.25 cm

i_z : 1.06 cm

y_0 , z_0: Coordenadas del centro de torsión en la dirección de los ejes principales Y y Z, respectivamente, relativas al centro de gravedad de la sección. y_0 : 0.00 mm

z_0 : 0.00 mm

Abolladura del alma inducida por el ala comprimida (Criterio de CYPE, basado en: Eurocódigo 3 EN 1993-1-5: 2006, Artículo 8)

Se debe satisfacer:

$$\frac{h_w}{t_w} \leq k \frac{E}{f_{yf}} \sqrt{\frac{A_w}{A_{fc,ef}}}$$ 18.32 £ 240.89 ✓

Donde:

h_w: Altura del alma. h_w : 69.60 mm

t_w: Espesor del alma. t_w : 3.80 mm

A_w: Área del alma. A_w : 2.64 cm²

$A_{fc,ef}$: Área reducida del ala comprimida. $A_{fc,ef}$: 2.39 cm²

k: Coeficiente que depende de la clase de la sección. k : 0.30

E: Módulo de elasticidad. E : 210000 MPa

f_{yf}: Límite elástico del acero del ala comprimida. f_{yf} : 275.00 MPa

Siendo:

$f_{yf} = f_y$

Resistencia a tracción (CTE DB SE-A, Artículo 6.2.3)

Se debe satisfacer:

$$\eta = \frac{N_{t,Ed}}{N_{t,Rd}} \leq 1$$ h : 0.059 ✓

El esfuerzo solicitante de cálculo pésimo se produce para la combinación de acciones 0.8·PP+1.5·T2+1.5·T4.

$N_{t,Ed}$: Axil de tracción solicitante de cálculo pésimo. $N_{t,Ed}$: 11.75 kN

La resistencia de cálculo a tracción $N_{t,Rd}$ viene dada por:

$$N_{t,Rd} = A \cdot f_{yd}$$ $N_{t,Rd}$: 199.05 kN

Donde:

A: Área bruta de la sección transversal de la barra. A : 7.60 cm²

f_{yd}: Resistencia de cálculo del acero. f_{yd} : 261.90 MPa

$$f_{yd} = f_y / \gamma_{M0}$$

Siendo:

f_y: Límite elástico. (CTE DB SE-A, Tabla 4.1) f_y : 275.00 MPa

γ_{M0}: Coeficiente parcial de seguridad del material. γ_{M0} : 1.05

Resistencia a compresión (CTE DB SE-A, Artículo 6.2.5) ✗

Se debe satisfacer:

$$\eta = \frac{N_{c,Ed}}{N_{c,Rd}} \leq 1$$ h : 0.059 ✓

$$\eta = \frac{N_{c,Ed}}{N_{b,Rd}} \leq 1$$ h : 2.747

El esfuerzo solicitante de cálculo pésimo se produce para la combinación de acciones 1.35·PP+1.5·T1+1.5·T3.

$N_{c,Ed}$: Axil de compresión solicitante de cálculo pésimo. $N_{c,Ed}$: 11.78 kN

La resistencia de cálculo a compresión $N_{c,Rd}$ viene dada por:

$$\mathbf{N_{c,Rd}} = A \cdot f_{yd}$$ $N_{c,Rd}$: 199.05 kN

Donde:

Clase: Clase de la sección, según la capacidad de deformación y de desarrollo de la resistencia plástica de los elementos planos comprimidos de una sección. Clase : 1

A: Área de la sección bruta para las secciones de clase 1, 2 y 3. A : 7.60 cm²

f_{yd}: Resistencia de cálculo del acero. f_{yd} : 261.90 MPa

$$\mathbf{f_{yd}} = f_y / \gamma_{M0}$$

Siendo:

f_y: Límite elástico. (CTE DB SE-A, Tabla 4.1) f_y : 275.00 MPa

g_{M0}: Coeficiente parcial de seguridad del material. g_{M0} : 1.05

Resistencia a pandeo: (CTE DB SE-A, Artículo 6.3.2)

La resistencia de cálculo a pandeo $N_{b,Rd}$ en una barra comprimida viene dada por:

$$\mathbf{N_{b,Rd}} = \chi \cdot A \cdot f_{yd}$$ $N_{b,Rd}$: 4.29 kN

Donde:

A: Área de la sección bruta para las secciones de clase 1, 2 y 3. A : 7.60 cm²

f_{yd}: Resistencia de cálculo del acero. f_{yd} : 261.90 MPa

$$\mathbf{f_{yd}} = f_y / \gamma_{M1}$$

Siendo:

f_y: Límite elástico. (CTE DB SE-A, Tabla 4.1) f_y : 275.00 MPa

g_{M1}: Coeficiente parcial de seguridad del material. g_{M1} : 1.05

c: Coeficiente de reducción por pandeo.

$$\chi = \frac{1}{\Phi + \sqrt{\Phi^2 - \left(\bar{\lambda}\right)^2}} \leq 1$$ c_y : 0.19

c_z : 0.02

Siendo:

$$\Phi = 0.5 \cdot \left[1 + \alpha \cdot \left(\bar{\lambda} - 0.2\right) + \left(\bar{\lambda}\right)^2\right]$$ f_y : 3.05

f_z : 23.69

a: Coeficiente de imperfección elástica. a_y : 0.21

a_z : 0.34

`l: Esbeltez reducida.

$$\bar{\lambda} = \sqrt{\frac{A \cdot f_y}{N_{cr}}}$$ `l_y : 2.16

`l_z : 6.65

N_{cr}: Axil crítico elástico de pandeo, obtenido como el menor de los siguientes valores: N_{cr} : 4.73 kN

$N_{cr,y}$: Axil crítico elástico de pandeo por flexión respecto al eje Y. $N_{cr,y}$: 44.62 kN

$N_{cr,z}$: Axil crítico elástico de pandeo por flexión respecto al eje Z. $N_{cr,z}$: 4.73 kN

$N_{cr,T}$: Axil crítico elástico de pandeo por torsión. $N_{cr,T}$: ∞

Resistencia a flexión eje Y (CTE DB SE-A, Artículo 6.2.6)

Se debe satisfacer:

$$\eta = \frac{M_{Ed}}{M_{c,Rd}} \leq 1$$

h : 0.164 ✓

Para flexión positiva:

El esfuerzo solicitante de cálculo pésimo se produce en el nudo N2, para la combinación de acciones 0.8·PP+1.5·T2+1.5·T4.

M_{Ed}^{+}: Momento flector solicitante de cálculo pésimo. M_{Ed}^{+} : 0.61 kN·m

Para flexión negativa:

El esfuerzo solicitante de cálculo pésimo se produce en el nudo N2, para la combinación de acciones 1.35·PP+1.5·T1+1.5·T3.

M_{Ed}^{-}: Momento flector solicitante de cálculo pésimo. M_{Ed}^{-} : 1.00 kN·m

El momento flector resistente de cálculo $M_{c,Rd}$ viene dado por:

$$\mathbf{M_{c,Rd}} = W_{pl,y} \cdot f_{yd}$$

$M_{c,Rd}$: 6.08 kN·m

Donde:

Clase: Clase de la sección, según la capacidad de deformación y de desarrollo de la resistencia plástica de los elementos planos de una sección a flexión simple. Clase : 1

$W_{pl,y}$: Módulo resistente plástico correspondiente a la fibra con mayor tensión, para las secciones de clase 1 y 2. $W_{pl,y}$: 23.20 cm³

f_{yd}: Resistencia de cálculo del acero. f_{yd} : 261.90 MPa

$$\mathbf{f_{yd}} = f_y / \gamma_{M0}$$

Siendo:

f_y: Límite elástico. (CTE DB SE-A, Tabla 4.1) f_y : 275.00 MPa

g_{M0}: Coeficiente parcial de seguridad del material. g_{M0} : 1.05

Resistencia a pandeo lateral: (CTE DB SE-A, Artículo 6.3.3.2)

No procede, dado que las longitudes de pandeo lateral son nulas.

Resistencia a flexión eje Z (CTE DB SE-A, Artículo 6.2.6)

La comprobación no procede, ya que no hay momento flector.

Resistencia a corte Z (CTE DB SE-A, Artículo 6.2.4)

Se debe satisfacer:

$$\eta = \frac{V_{Ed}}{V_{c,Rd}} \leq 1$$

h : 0.009 ✓

El esfuerzo solicitante de cálculo pésimo se produce en el nudo N4, para la combinación de acciones 1.35·PP+1.5·T2+1.5·T4.

V_{Ed}: Esfuerzo cortante solicitante de cálculo pésimo. V_{Ed} : 0.48 kN

El esfuerzo cortante resistente de cálculo $V_{c,Rd}$ viene dado por:

$$\mathbf{V_{c,Rd}} = A_V \cdot \frac{f_{yd}}{\sqrt{3}}$$

$V_{c,Rd}$: 53.43 kN

Donde:

A_v: Área transversal a cortante. A_v : 3.53 cm²

$$\mathbf{A_V} = A - 2 \cdot b \cdot t_f + (t_w + 2 \cdot r) \cdot t_f$$

Siendo:

A: Área bruta de la sección transversal de la barra. A : 7.60 cm²

b: Ancho de la sección. b : 46.00 mm

t_f: Espesor del ala. t_f : 5.20 mm

t_w: Espesor del alma. t_w : 3.80 mm

r: Radio de acuerdo entre ala y alma. r : 5.00 mm

f_{yd}: Resistencia de cálculo del acero. f_{yd} : 261.90 MPa

$$\mathbf{f_{yd}} = f_y / \gamma_{M0}$$

Siendo:

f_y: Límite elástico. (CTE DB SE-A, Tabla 4.1) f_y : 275.00 MPa

g_{M0}: Coeficiente parcial de seguridad del material. g_{M0} : 1.05

Abolladura por cortante del alma: (CTE DB SE-A, Artículo 6.3.3.4)

Aunque no se han dispuesto rigidizadores transversales, no es necesario comprobar la resistencia a la abolladura del alma, puesto que se cumple:

$$\frac{\mathbf{d}}{\mathbf{t_w}} < 70 \cdot \varepsilon$$

15.68 < 64.71 ✓

Donde:

l_w: Esbeltez del alma. l_w : 15.68

$$\lambda_w = \frac{d}{t_w}$$

$l_{máx}$: Esbeltez máxima. $l_{máx}$: 64.71

$$\lambda_{max} = 70 \cdot \varepsilon$$

e: Factor de reducción. e : 0.92

$$\varepsilon = \sqrt{\frac{f_{ref}}{f_y}}$$

Siendo:

f_{ref}: Límite elástico de referencia. f_{ref} : 235.00 MPa

f_y: Límite elástico. (CTE DB SE-A, Tabla 4.1) f_y : 275.00 MPa

Resistencia a corte Y (CTE DB SE-A, Artículo 6.2.4)

La comprobación no procede, ya que no hay esfuerzo cortante.

Resistencia a momento flector Y y fuerza cortante Z combinados (CTE DB SE-A, Artículo 6.2.8)

No es necesario reducir la resistencia de cálculo a flexión, ya que el esfuerzo cortante solicitante de cálculo pésimo V_{Ed} no es superior al 50% de la resistencia de cálculo a cortante $V_{c,Rd}$.

$$V_{Ed} \leq \frac{V_{c,Rd}}{2} \qquad 0.48 \text{ kN} \leq 26.72 \text{ kN}$$

Los esfuerzos solicitantes de cálculo pésimos se producen para la combinación de acciones 1.35·PP+1.5·T1+1.5·T3.

V_{Ed}: Esfuerzo cortante solicitante de cálculo pésimo. V_{Ed} : 0.48 kN

$V_{c,Rd}$: Esfuerzo cortante resistente de cálculo. $V_{c,Rd}$: 53.43 kN

Resistencia a momento flector Z y fuerza cortante Y combinados (CTE DB SE-A, Artículo 6.2.8)

No hay interacción entre momento flector y esfuerzo cortante para ninguna combinación. Por lo tanto, la comprobación no procede.

Resistencia a flexión y axil combinados (CTE DB SE-A, Artículo 6.2.8)

El axil de compresión es excesivo y supera los axiles críticos de pandeo.

Resistencia a flexión, axil y cortante combinados (CTE DB SE-A, Artículo 6.2.8)

No es necesario reducir las resistencias de cálculo a flexión y a axil, ya que se puede ignorar el efecto de abolladura por esfuerzo cortante y, además, el esfuerzo cortante solicitante de cálculo pésimo V_{Ed} es menor o igual que el 50% del esfuerzo cortante resistente de cálculo $V_{c,Rd}$.

Los esfuerzos solicitantes de cálculo pésimos se producen para la combinación de acciones 1.35·PP+1.5·T1+1.5·T3.

$$V_{Ed,z} \leq \frac{V_{c,Rd,z}}{2} \qquad 0.48 \text{ kN} \leq 26.72 \text{ kN}$$

Donde:

$V_{Ed,z}$: Esfuerzo cortante solicitante de cálculo pésimo. $V_{Ed,z}$: 0.48 kN

$V_{c,Rd,z}$: Esfuerzo cortante resistente de cálculo. $V_{c,Rd,z}$: 53.43 kN

Resistencia a torsión (CTE DB SE-A, Artículo 6.2.7)

La comprobación no procede, ya que no hay momento torsor.

Resistencia a cortante Z y momento torsor combinados (CTE DB SE-A, Artículo 6.2.8)

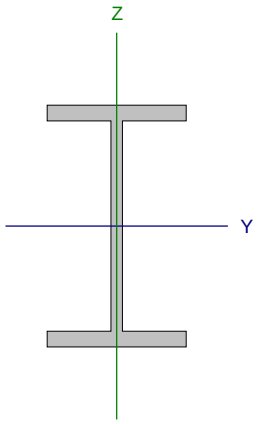
No hay interacción entre momento torsor y esfuerzo cortante para ninguna combinación. Por lo tanto, la comprobación no procede.

Resistencia a cortante Y y momento torsor combinados (CTE DB SE-A, Artículo 6.2.8)

No hay interacción entre momento torsor y esfuerzo cortante para ninguna combinación. Por lo tanto, la comprobación no procede.

Barra N4/N6

Perfil: IPE 80
Material: Acero (S275)



Nudos		Longitud (m)	Características mecánicas			
Inicial	Final		Área (cm²)	I_y (1) (cm4)	I_z (1) (cm4)	I_t (2) (cm4)
N4	N6	5.900	7.60	80.10	8.49	0.67

Notas:
(1) *Inercia respecto al eje indicado*
(2) *Momento de inercia a torsión uniforme*

	Pandeo		Pandeo lateral	
	Plano XY	Plano XZ	Ala sup.	Ala inf.
β	1.00	1.00	0.00	0.00
L_K	5.900	5.900	0.000	0.000
C_m	1.000	1.000	1.000	1.000
C_1	-		1.000	

Notación:
b: Coeficiente de pandeo
L_K: Longitud de pandeo (m)
C_m: Coeficiente de momentos
C_1: Factor de modificación para el momento crítico

Limitación de esbeltez (CTE DB SE-A, Artículos 6.3.1 y 6.3.2.1 - Tabla 6.3)

La esbeltez reducida $\bar{\lambda}$ de las barras comprimidas debe ser inferior al valor 2.0.

$$\bar{\lambda} = \sqrt{\frac{A \cdot f_y}{N_{cr}}}$$

`l : 6.43

Donde:

Clase: Clase de la sección, según la capacidad de deformación y de desarrollo de la resistencia plástica de los elementos planos comprimidos de una sección. Clase : 1

A: Área de la sección bruta para las secciones de clase 1, 2 y 3. A : 7.60 cm²

f_y: Límite elástico. (CTE DB SE-A, Tabla 4.1) f_y : 275.00 MPa

N_{cr}: Axil crítico de pandeo elástico. N_{cr} : 5.06 kN

El axil crítico de pandeo elástico N_{cr} es el menor de los valores obtenidos en a), b) y c):

a) Axil crítico elástico de pandeo por flexión respecto al eje Y. $N_{cr,y}$: 47.69 kN

$$\mathbf{N_{cr,y}} = \frac{\pi^2 \cdot E \cdot I_y}{L_{ky}^2}$$

b) Axil crítico elástico de pandeo por flexión respecto al eje Z. $N_{cr,z}$: 5.06 kN

$$\mathbf{N_{cr,z}} = \frac{\pi^2 \cdot E \cdot I_z}{L_{kz}^2}$$

c) Axil crítico elástico de pandeo por torsión. $N_{cr,T}$: ∞

$$\mathbf{N_{cr,T}} = \frac{1}{i_0^2} \cdot \left[G \cdot I_t + \frac{\pi^2 \cdot E \cdot I_w}{L_{kt}^2} \right]$$

Donde:

I_y: Momento de inercia de la sección bruta, respecto al eje Y. I_y : 80.10 cm4

I_z: Momento de inercia de la sección bruta, respecto al eje Z. I_z : 8.49 cm4

I_t: Momento de inercia a torsión uniforme. I_t : 0.67 cm4

I_w: Constante de alabeo de la sección. I_w : 120.00 cm6

E: Módulo de elasticidad. E : 210000 MPa

G: Módulo de elasticidad transversal. G : 81000 MPa

L_{ky}: Longitud efectiva de pandeo por flexión, respecto al eje Y. L_{ky} : 5.900 m

L_{kz}: Longitud efectiva de pandeo por flexión, respecto al eje Z. L_{kz} : 5.900 m

L_{kt}: Longitud efectiva de pandeo por torsión. L_{kt} : 0.000 m

i_0: Radio de giro polar de la sección bruta, respecto al centro de torsión. i_0 : 3.41 cm

$$\mathbf{i_0} = \left(i_y^2 + i_z^2 + y_0^2 + z_0^2 \right)^{0.5}$$

Siendo:

i_y , i_z: Radios de giro de la sección bruta, respecto a los ejes principales de inercia Y y Z. i_y : 3.25 cm

i_z : 1.06 cm

y_0 , z_0: Coordenadas del centro de torsión en la dirección de los ejes principales Y y Z, respectivamente, relativas al centro de gravedad de la sección. y_0 : 0.00 mm

z_0 : 0.00 mm

Abolladura del alma inducida por el ala comprimida (Criterio de CYPE, basado en: Eurocódigo 3 EN 1993-1-5: 2006, Artículo 8)

Se debe satisfacer:

$$\frac{h_w}{t_w} \leq k \frac{E}{f_{yf}} \sqrt{\frac{A_w}{A_{fc,ef}}}$$

18.32 £ 240.89 ✓

Donde:

h_w: Altura del alma. h_w : 69.60 mm

t_w: Espesor del alma. t_w : 3.80 mm

A_w: Área del alma. A_w : 2.64 cm²

$A_{fc,ef}$: Área reducida del ala comprimida. $A_{fc,ef}$: 2.39 cm²

k: Coeficiente que depende de la clase de la sección. k : 0.30

E: Módulo de elasticidad. E : 210000 MPa

f_{yf}: Límite elástico del acero del ala comprimida. f_{yf} : 275.00 MPa

Siendo:

$$f_{yf} = f_y$$

Resistencia a tracción (CTE DB SE-A, Artículo 6.2.3)

Se debe satisfacer:

$$\eta = \frac{N_{t,Ed}}{N_{t,Rd}} \leq 1$$

h : 0.109 ✓

El esfuerzo solicitante de cálculo pésimo se produce para la combinación de acciones 1.35·PP+1.5·T2+1.5·T4.

$N_{t,Ed}$: Axil de tracción solicitante de cálculo pésimo. $N_{t,Ed}$: 21.63 kN

La resistencia de cálculo a tracción $N_{t,Rd}$ viene dada por:

$$N_{t,Rd} = A \cdot f_{yd}$$

$N_{t,Rd}$: 199.05 kN

Donde:

A: Área bruta de la sección transversal de la barra. A : 7.60 cm²

f_{yd}: Resistencia de cálculo del acero. f_{yd} : 261.90 MPa

$$f_{yd} = f_y / \gamma_{M0}$$

Siendo:

f_y: Límite elástico. (CTE DB SE-A, Tabla 4.1) f_y : 275.00 MPa

γ_{M0}: Coeficiente parcial de seguridad del material. γ_{M0} : 1.05

Resistencia a compresión (CTE DB SE-A, Artículo 6.2.5) ✗

Se debe satisfacer:

$$\eta = \frac{N_{c,Ed}}{N_{c,Rd}} \leq 1$$

h : 0.108 ✓

$$\eta = \frac{N_{c,Ed}}{N_{b,Rd}} \leq 1$$ h : 4.721

El esfuerzo solicitante de cálculo pésimo se produce para la combinación de acciones 0.8·PP+1.5·T1+1.5·T3.

$N_{c,Ed}$: Axil de compresión solicitante de cálculo pésimo. $N_{c,Ed}$: 21.59 kN

La resistencia de cálculo a compresión $N_{c,Rd}$ viene dada por:

$$\mathbf{N_{c,Rd}} = A \cdot f_{yd}$$ $N_{c,Rd}$: 199.05 kN

Donde:

Clase: Clase de la sección, según la capacidad de deformación y de desarrollo de la resistencia plástica de los elementos planos comprimidos de una sección. Clase : 1

A: Área de la sección bruta para las secciones de clase 1, 2 y 3. A : 7.60 cm²

f_{yd}: Resistencia de cálculo del acero. f_{yd} : 261.90 MPa

$$\mathbf{f_{yd}} = f_y / \gamma_{M0}$$

Siendo:

f_y: Límite elástico. (CTE DB SE-A, Tabla 4.1) f_y : 275.00 MPa

g_{M0}: Coeficiente parcial de seguridad del material. g_{M0} : 1.05

Resistencia a pandeo: (CTE DB SE-A, Artículo 6.3.2)

La resistencia de cálculo a pandeo $N_{b,Rd}$ en una barra comprimida viene dada por:

$$\mathbf{N_{b,Rd}} = \chi \cdot A \cdot f_{yd}$$ $N_{b,Rd}$: 4.57 kN

Donde:

A: Área de la sección bruta para las secciones de clase 1, 2 y 3. A : 7.60 cm²

f_{yd}: Resistencia de cálculo del acero. f_{yd} : 261.90 MPa

$$\mathbf{f_{yd}} = f_y / \gamma_{M1}$$

Siendo:

f_y: Límite elástico. (CTE DB SE-A, Tabla 4.1) f_y : 275.00 MPa

g_{M1}: Coeficiente parcial de seguridad del material. g_{M1} : 1.05

c: Coeficiente de reducción por pandeo.

$$\chi = \frac{1}{\Phi + \sqrt{\Phi^2 - \left(\bar{\lambda}\right)^2}} \leq 1$$ c_y : 0.20

c_z : 0.02

Siendo:

$$\Phi = 0.5 \cdot \left[1 + \alpha \cdot \left(\bar{\lambda} - 0.2\right) + \left(\bar{\lambda}\right)^2\right]$$ f_y : 2.89

f_z : 22.23

a: Coeficiente de imperfección elástica. a_y : 0.21

a_z : 0.34

`l: Esbeltez reducida.

$$\bar{\lambda} = \sqrt{\frac{A \cdot f_y}{N_{cr}}}$$ `l_y : 2.09

`l_z : 6.43

N_{cr}: Axil crítico elástico de pandeo, obtenido como el menor de los siguientes valores: N_{cr} : 5.06 kN

$N_{cr,y}$: Axil crítico elástico de pandeo por flexión respecto al eje Y. $N_{cr,y}$: 47.69 kN

$N_{cr,z}$: Axil crítico elástico de pandeo por flexión respecto al eje Z. $N_{cr,z}$: 5.06 kN

$N_{cr,T}$: Axil crítico elástico de pandeo por torsión. $N_{cr,T}$: ∞

Resistencia a flexión eje Y (CTE DB SE-A, Artículo 6.2.6)

Se debe satisfacer:

$$\eta = \frac{M_{Ed}}{M_{c,Rd}} \leq 1$$

h : 0.113 ✓

Para flexión positiva:

El esfuerzo solicitante de cálculo pésimo se produce en el nudo N4, para la combinación de acciones 0.8·PP+1.5·T2+1.5·T4.

M_{Ed}^{+}: Momento flector solicitante de cálculo pésimo. M_{Ed}^{+} : 0.32 kN·m

Para flexión negativa:

El esfuerzo solicitante de cálculo pésimo se produce en el nudo N4, para la combinación de acciones 1.35·PP+1.5·T1+1.5·T3.

M_{Ed}^{-}: Momento flector solicitante de cálculo pésimo. M_{Ed}^{-} : 0.69 kN·m

El momento flector resistente de cálculo $M_{c,Rd}$ viene dado por:

$$\mathbf{M_{c,Rd}} = W_{pl,y} \cdot f_{yd}$$

$M_{c,Rd}$: 6.08 kN·m

Donde:

Clase: Clase de la sección, según la capacidad de deformación y de desarrollo de la resistencia plástica de los elementos planos de una sección a flexión simple. Clase : 1

$W_{pl,y}$: Módulo resistente plástico correspondiente a la fibra con mayor tensión, para las secciones de clase 1 y 2. $W_{pl,y}$: 23.20 cm³

f_{yd}: Resistencia de cálculo del acero. f_{yd} : 261.90 MPa

$$\mathbf{f_{yd}} = f_y / \gamma_{M0}$$

Siendo:

f_y: Límite elástico. (CTE DB SE-A, Tabla 4.1) f_y : 275.00 MPa

g_{M0}: Coeficiente parcial de seguridad del material. g_{M0} : 1.05

Resistencia a pandeo lateral: (CTE DB SE-A, Artículo 6.3.3.2)

No procede, dado que las longitudes de pandeo lateral son nulas.

Resistencia a flexión eje Z (CTE DB SE-A, Artículo 6.2.6)

La comprobación no procede, ya que no hay momento flector.

Resistencia a corte Z (CTE DB SE-A, Artículo 6.2.4)

Se debe satisfacer:

$$\eta = \frac{V_{Ed}}{V_{c,Rd}} \leq 1$$

h : 0.007 ✓

El esfuerzo solicitante de cálculo pésimo se produce en el nudo N4, para la combinación de acciones 1.35·PP+1.5·T1+1.5·T3.

V_{Ed}: Esfuerzo cortante solicitante de cálculo pésimo. V_{Ed} : 0.35 kN

El esfuerzo cortante resistente de cálculo $V_{c,Rd}$ viene dado por:

$$\mathbf{V_{c,Rd}} = A_V \cdot \frac{f_{yd}}{\sqrt{3}}$$

$V_{c,Rd}$: 53.43 kN

Donde:

A_v: Área transversal a cortante. A_v : 3.53 cm²

$$\mathbf{A_V} = A - 2 \cdot b \cdot t_f + (t_w + 2 \cdot r) \cdot t_f$$

Siendo:

A: Área bruta de la sección transversal de la barra. A : 7.60 cm²

b: Ancho de la sección. b : 46.00 mm

t_f: Espesor del ala. t_f : 5.20 mm

t_w: Espesor del alma. t_w : 3.80 mm

r: Radio de acuerdo entre ala y alma. r : 5.00 mm

f_{yd}: Resistencia de cálculo del acero. f_{yd} : 261.90 MPa

$$\mathbf{f_{yd}} = f_y / \gamma_{M0}$$

Siendo:

f_y: Límite elástico. (CTE DB SE-A, Tabla 4.1) f_y : 275.00 MPa

γ_{M0}: Coeficiente parcial de seguridad del material. γ_{M0} : 1.05

Abolladura por cortante del alma: (CTE DB SE-A, Artículo 6.3.3.4)

Aunque no se han dispuesto rigidizadores transversales, no es necesario comprobar la resistencia a la abolladura del alma, puesto que se cumple:

$$\frac{\mathbf{d}}{\mathbf{t_w}} < 70 \cdot \varepsilon$$

15.68 < 64.71 ✓

Donde:

λ_w: Esbeltez del alma. λ_w : 15.68

$$\lambda_w = \frac{d}{t_w}$$

$\lambda_{máx}$: Esbeltez máxima. $\lambda_{máx}$: 64.71

$$\lambda_{max} = 70 \cdot \varepsilon$$

e: Factor de reducción. e : 0.92

$$\varepsilon = \sqrt{\frac{f_{ref}}{f_y}}$$

Siendo:

f_{ref}: Límite elástico de referencia. f_{ref} : 235.00 MPa

f_y: Límite elástico. (CTE DB SE-A, Tabla 4.1) f_y : 275.00 MPa

Resistencia a corte Y (CTE DB SE-A, Artículo 6.2.4)

La comprobación no procede, ya que no hay esfuerzo cortante.

Resistencia a momento flector Y y fuerza cortante Z combinados (CTE DB SE-A, Artículo 6.2.8)

No es necesario reducir la resistencia de cálculo a flexión, ya que el esfuerzo cortante solicitante de cálculo pésimo V_{Ed} no es superior al 50% de la resistencia de cálculo a cortante $V_{c,Rd}$.

$$V_{Ed} \leq \frac{V_{c,Rd}}{2} \qquad 0.35 \text{ kN} \leq 26.72 \text{ kN}$$

Los esfuerzos solicitantes de cálculo pésimos se producen para la combinación de acciones 1.35·PP+1.5·T1+1.5·T3.

V_{Ed}: Esfuerzo cortante solicitante de cálculo pésimo. V_{Ed} : 0.35 kN

$V_{c,Rd}$: Esfuerzo cortante resistente de cálculo. $V_{c,Rd}$: 53.43 kN

Resistencia a momento flector Z y fuerza cortante Y combinados (CTE DB SE-A, Artículo 6.2.8)

No hay interacción entre momento flector y esfuerzo cortante para ninguna combinación. Por lo tanto, la comprobación no procede.

Resistencia a flexión y axil combinados (CTE DB SE-A, Artículo 6.2.8)

El axil de compresión es excesivo y supera los axiles críticos de pandeo.

Resistencia a flexión, axil y cortante combinados (CTE DB SE-A, Artículo 6.2.8)

No es necesario reducir las resistencias de cálculo a flexión y a axil, ya que se puede ignorar el efecto de abolladura por esfuerzo cortante y, además, el esfuerzo cortante solicitante de cálculo pésimo V_{Ed} es menor o igual que el 50% del esfuerzo cortante resistente de cálculo $V_{c,Rd}$.

Los esfuerzos solicitantes de cálculo pésimos se producen para la combinación de acciones 1.35·PP+1.5·T1+1.5·T3.

$$V_{Ed,z} \leq \frac{V_{c,Rd,z}}{2} \qquad 0.35 \text{ kN} \leq 26.72 \text{ kN}$$

Donde:

$V_{Ed,z}$: Esfuerzo cortante solicitante de cálculo pésimo. $V_{Ed,z}$: 0.35 kN

$V_{c,Rd,z}$: Esfuerzo cortante resistente de cálculo. $V_{c,Rd,z}$: 53.43 kN

Resistencia a torsión (CTE DB SE-A, Artículo 6.2.7)

La comprobación no procede, ya que no hay momento torsor.

Resistencia a cortante Z y momento torsor combinados (CTE DB SE-A, Artículo 6.2.8)

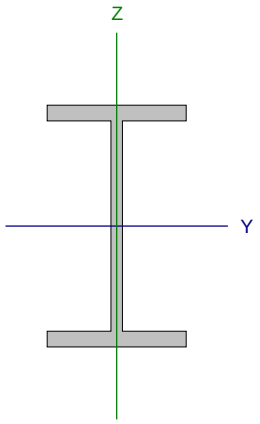
No hay interacción entre momento torsor y esfuerzo cortante para ninguna combinación. Por lo tanto, la comprobación no procede.

Resistencia a cortante Y y momento torsor combinados (CTE DB SE-A, Artículo 6.2.8)

No hay interacción entre momento torsor y esfuerzo cortante para ninguna combinación. Por lo tanto, la comprobación no procede.

Barra N6/N8

Perfil: IPE 80
Material: Acero (S275)



Nudos		Longitud (m)	Características mecánicas			
Inicial	Final		Área (cm²)	I_y (1) (cm4)	I_z (1) (cm4)	I_t (2) (cm4)
N6	N8	6.400	7.60	80.10	8.49	0.67

Notas:
(1) *Inercia respecto al eje indicado*
(2) *Momento de inercia a torsión uniforme*

	Pandeo		Pandeo lateral	
	Plano XY	Plano XZ	Ala sup.	Ala inf.
β	1.00	1.00	0.00	0.00
L_K	6.400	6.400	0.000	0.000
C_m	1.000	1.000	1.000	1.000
C_1	-		1.000	

Notación:
b: Coeficiente de pandeo
L_K: Longitud de pandeo (m)
C_m: Coeficiente de momentos
C_1: Factor de modificación para el momento crítico

Limitación de esbeltez (CTE DB SE-A, Artículos 6.3.1 y 6.3.2.1 - Tabla 6.3)

La esbeltez reducida $\bar{\lambda}$ de las barras comprimidas debe ser inferior al valor 2.0.

$$\bar{\lambda} = \sqrt{\frac{A \cdot f_y}{N_{cr}}}$$

`l : 6.97

Donde:

Clase: Clase de la sección, según la capacidad de deformación y de desarrollo de la resistencia plástica de los elementos planos comprimidos de una sección. Clase : 1

A: Área de la sección bruta para las secciones de clase 1, 2 y 3. A : 7.60 cm²

f_y: Límite elástico. (CTE DB SE-A, Tabla 4.1) f_y : 275.00 MPa

N_{cr}: Axil crítico de pandeo elástico. N_{cr} : 4.30 kN

El axil crítico de pandeo elástico N_{cr} es el menor de los valores obtenidos en a), b) y c):

a) Axil crítico elástico de pandeo por flexión respecto al eje Y. $N_{cr,y}$: 40.53 kN

$$\mathbf{N_{cr,y}} = \frac{\pi^2 \cdot E \cdot I_y}{L_{ky}^2}$$

b) Axil crítico elástico de pandeo por flexión respecto al eje Z. $N_{cr,z}$: 4.30 kN

$$\mathbf{N_{cr,z}} = \frac{\pi^2 \cdot E \cdot I_z}{L_{kz}^2}$$

c) Axil crítico elástico de pandeo por torsión. $N_{cr,T}$: ∞

$$\mathbf{N_{cr,T}} = \frac{1}{i_0^2} \cdot \left[G \cdot I_t + \frac{\pi^2 \cdot E \cdot I_w}{L_{kt}^2} \right]$$

Donde:

I_y: Momento de inercia de la sección bruta, respecto al eje Y. I_y : 80.10 cm4

I_z: Momento de inercia de la sección bruta, respecto al eje Z. I_z : 8.49 cm4

I_t: Momento de inercia a torsión uniforme. I_t : 0.67 cm4

I_w: Constante de alabeo de la sección. I_w : 120.00 cm6

E: Módulo de elasticidad. E : 210000 MPa

G: Módulo de elasticidad transversal. G : 81000 MPa

L_{ky}: Longitud efectiva de pandeo por flexión, respecto al eje Y. L_{ky} : 6.400 m

L_{kz}: Longitud efectiva de pandeo por flexión, respecto al eje Z. L_{kz} : 6.400 m

L_{kt}: Longitud efectiva de pandeo por torsión. L_{kt} : 0.000 m

i_0: Radio de giro polar de la sección bruta, respecto al centro de torsión. i_0 : 3.41 cm

$$\mathbf{i_0} = \left(i_y^2 + i_z^2 + y_0^2 + z_0^2 \right)^{0.5}$$

Siendo:

i_y , i_z: Radios de giro de la sección bruta, respecto a los ejes principales de inercia Y y Z. i_y : 3.25 cm

i_z : 1.06 cm

y_0 , z_0: Coordenadas del centro de torsión en la dirección de los ejes principales Y y Z, respectivamente, relativas al centro de gravedad de la sección. y_0 : 0.00 mm

z_0 : 0.00 mm

Abolladura del alma inducida por el ala comprimida (Criterio de CYPE, basado en: Eurocódigo 3 EN 1993-1-5: 2006, Artículo 8)

Se debe satisfacer:

$$\frac{h_w}{t_w} \leq k \frac{E}{f_{yf}} \sqrt{\frac{A_w}{A_{fc,ef}}}$$

18.32 £ 240.89 ✓

Donde:

h_w: Altura del alma.	h_w :	69.60	mm
t_w: Espesor del alma.	t_w :	3.80	mm
A_w: Área del alma.	A_w :	2.64	cm²
$A_{fc,ef}$: Área reducida del ala comprimida.	$A_{fc,ef}$:	2.39	cm²
k: Coeficiente que depende de la clase de la sección.	k :	0.30	
E: Módulo de elasticidad.	E :	210000	MPa
f_{yf}: Límite elástico del acero del ala comprimida.	f_{yf} :	275.00	MPa

Siendo:

$$f_{yf} = f_y$$

Resistencia a tracción (CTE DB SE-A, Artículo 6.2.3)

Se debe satisfacer:

$$\eta = \frac{N_{t,Ed}}{N_{t,Rd}} \leq 1$$

h : 0.016 ✓

El esfuerzo solicitante de cálculo pésimo se produce para la combinación de acciones 0.8·PP+1.5·T1+1.5·T3.

$N_{t,Ed}$: Axil de tracción solicitante de cálculo pésimo. $N_{t,Ed}$: 3.26 kN

La resistencia de cálculo a tracción $N_{t,Rd}$ viene dada por:

$$N_{t,Rd} = A \cdot f_{yd}$$

$N_{t,Rd}$: 199.05 kN

Donde:

A: Área bruta de la sección transversal de la barra.	A :	7.60	cm²
f_{yd}: Resistencia de cálculo del acero.	f_{yd} :	261.90	MPa

$$f_{yd} = f_y / \gamma_{M0}$$

Siendo:

f_y: Límite elástico. (CTE DB SE-A, Tabla 4.1)	f_y :	275.00	MPa
γ_{M0}: Coeficiente parcial de seguridad del material.	γ_{M0} :	1.05	

Resistencia a compresión (CTE DB SE-A, Artículo 6.2.5) ✗

Se debe satisfacer:

$$\eta = \frac{N_{c,Ed}}{N_{c,Rd}} \leq 1$$

h : 0.022 ✓

$$\eta = \frac{N_{c,Ed}}{N_{b,Rd}} \leq 1$$ h : 1.098

El esfuerzo solicitante de cálculo pésimo se produce para la combinación de acciones 1.35·PP+1.5·T2+1.5·T4.

$N_{c,Ed}$: Axil de compresión solicitante de cálculo pésimo. $N_{c,Ed}$: 4.29 kN

La resistencia de cálculo a compresión $N_{c,Rd}$ viene dada por:

$$\mathbf{N_{c,Rd}} = A \cdot f_{yd}$$ $N_{c,Rd}$: 199.05 kN

Donde:

Clase: Clase de la sección, según la capacidad de deformación y de desarrollo de la resistencia plástica de los elementos planos comprimidos de una sección. Clase : 1

A: Área de la sección bruta para las secciones de clase 1, 2 y 3. A : 7.60 cm²

f_{yd}: Resistencia de cálculo del acero. f_{yd} : 261.90 MPa

$$\mathbf{f_{yd}} = f_y / \gamma_{M0}$$

Siendo:

f_y: Límite elástico. (CTE DB SE-A, Tabla 4.1) f_y : 275.00 MPa

g_{M0}: Coeficiente parcial de seguridad del material. g_{M0} : 1.05

Resistencia a pandeo: (CTE DB SE-A, Artículo 6.3.2)

La resistencia de cálculo a pandeo $N_{b,Rd}$ en una barra comprimida viene dada por:

$$\mathbf{N_{b,Rd}} = \chi \cdot A \cdot f_{yd}$$ $N_{b,Rd}$: 3.90 kN

Donde:

A: Área de la sección bruta para las secciones de clase 1, 2 y 3. A : 7.60 cm²

f_{yd}: Resistencia de cálculo del acero. f_{yd} : 261.90 MPa

$$\mathbf{f_{yd}} = f_y / \gamma_{M1}$$

Siendo:

f_y: Límite elástico. (CTE DB SE-A, Tabla 4.1) f_y : 275.00 MPa

g_{M1}: Coeficiente parcial de seguridad del material. g_{M1} : 1.05

c: Coeficiente de reducción por pandeo.

$$\chi = \frac{1}{\Phi + \sqrt{\Phi^2 - \left(\bar{\lambda}\right)^2}} \leq 1$$ c_y : 0.18

c_z : 0.02

Siendo:

$$\Phi = 0.5 \cdot \left[1 + \alpha \cdot \left(\bar{\lambda} - 0.2\right) + \left(\bar{\lambda}\right)^2\right]$$ f_y : 3.30

f_z : 25.98

a: Coeficiente de imperfección elástica. a_y : 0.21

a_z : 0.34

`l: Esbeltez reducida.

$$\bar{\lambda} = \sqrt{\frac{A \cdot f_y}{N_{cr}}}$$ `l_y : 2.27

`l_z : 6.97

N_{cr}: Axil crítico elástico de pandeo, obtenido como el menor de los siguientes valores: N_{cr} : 4.30 kN

$N_{cr,y}$: Axil crítico elástico de pandeo por flexión respecto al eje Y. $N_{cr,y}$: 40.53 kN

$N_{cr,z}$: Axil crítico elástico de pandeo por flexión respecto al eje Z. $N_{cr,z}$: 4.30 kN

$N_{cr,T}$: Axil crítico elástico de pandeo por torsión. $N_{cr,T}$: ∞

Resistencia a flexión eje Y (CTE DB SE-A, Artículo 6.2.6)

Se debe satisfacer:

$$\eta = \frac{M_{Ed}}{M_{c,Rd}} \leq 1$$ h : 0.054 ✓

Para flexión positiva:

M_{Ed}^{+}: Momento flector solicitante de cálculo pésimo. M_{Ed}^{+} : 0.00 kN·m

Para flexión negativa:

El esfuerzo solicitante de cálculo pésimo se produce en el nudo N8, para la combinación de acciones 1.35·PP+1.5·T2+1.5·T4.

M_{Ed}^{-}: Momento flector solicitante de cálculo pésimo. M_{Ed}^{-} : 0.33 kN·m

El momento flector resistente de cálculo $M_{c,Rd}$ viene dado por:

$$\mathbf{M_{c,Rd}} = W_{pl,y} \cdot f_{yd}$$ $M_{c,Rd}$: 6.08 kN·m

Donde:

Clase: Clase de la sección, según la capacidad de deformación y de desarrollo de la resistencia plástica de los elementos planos de una sección a flexión simple. Clase : 1

$W_{pl,y}$: Módulo resistente plástico correspondiente a la fibra con mayor tensión, para las secciones de clase 1 y 2. $W_{pl,y}$: 23.20 cm³

f_{yd}: Resistencia de cálculo del acero. f_{yd} : 261.90 MPa

$$\mathbf{f_{yd}} = f_y / \gamma_{M0}$$

Siendo:

f_y: Límite elástico. (CTE DB SE-A, Tabla 4.1) f_y : 275.00 MPa

g_{M0}: Coeficiente parcial de seguridad del material. g_{M0} : 1.05

Resistencia a pandeo lateral: (CTE DB SE-A, Artículo 6.3.3.2)

No procede, dado que las longitudes de pandeo lateral son nulas.

Resistencia a flexión eje Z (CTE DB SE-A, Artículo 6.2.6)

La comprobación no procede, ya que no hay momento flector.

Resistencia a corte Z (CTE DB SE-A, Artículo 6.2.4)

Se debe satisfacer:

$$\eta = \frac{V_{Ed}}{V_{c,Rd}} \leq 1$$

h : 0.005 ✓

El esfuerzo solicitante de cálculo pésimo se produce en el nudo N6, para la combinación de acciones 1.35·PP+1.5·T1+1.5·T3.

V_{Ed}: Esfuerzo cortante solicitante de cálculo pésimo. V_{Ed} : 0.27 kN

El esfuerzo cortante resistente de cálculo $V_{c,Rd}$ viene dado por:

$$\mathbf{V_{c,Rd}} = A_V \cdot \frac{f_{yd}}{\sqrt{3}}$$

$V_{c,Rd}$: 53.43 kN

Donde:

A_v: Área transversal a cortante. A_v : 3.53 cm²

$$\mathbf{A_V} = A - 2 \cdot b \cdot t_f + (t_w + 2 \cdot r) \cdot t_f$$

Siendo:

A: Área bruta de la sección transversal de la barra. A : 7.60 cm²

b: Ancho de la sección. b : 46.00 mm

t_f: Espesor del ala. t_f : 5.20 mm

t_w: Espesor del alma. t_w : 3.80 mm

r: Radio de acuerdo entre ala y alma. r : 5.00 mm

f_{yd}: Resistencia de cálculo del acero. f_{yd} : 261.90 MPa

$$\mathbf{f_{yd}} = f_y / \gamma_{M0}$$

Siendo:

f_y: Límite elástico. (CTE DB SE-A, Tabla 4.1) f_y : 275.00 MPa

g_{M0}: Coeficiente parcial de seguridad del material. g_{M0} : 1.05

Abolladura por cortante del alma: (CTE DB SE-A, Artículo 6.3.3.4)

Aunque no se han dispuesto rigidizadores transversales, no es necesario comprobar la resistencia a la abolladura del alma, puesto que se cumple:

$$\frac{\mathbf{d}}{\mathbf{t_w}} < 70 \cdot \varepsilon$$

15.68 < 64.71 ✓

Donde:

l_w: Esbeltez del alma. l_w : 15.68

$$\lambda_w = \frac{d}{t_w}$$

$l_{máx}$: Esbeltez máxima. $l_{máx}$: 64.71

$$\lambda_{max} = 70 \cdot \varepsilon$$

e: Factor de reducción. e : 0.92

$$\varepsilon = \sqrt{\frac{f_{ref}}{f_y}}$$

Siendo:

f_{ref}: Límite elástico de referencia. f_{ref} : 235.00 MPa

f_y: Límite elástico. (CTE DB SE-A, Tabla 4.1) f_y : 275.00 MPa

Resistencia a corte Y (CTE DB SE-A, Artículo 6.2.4)

La comprobación no procede, ya que no hay esfuerzo cortante.

Resistencia a momento flector Y y fuerza cortante Z combinados (CTE DB SE-A, Artículo 6.2.8)

No es necesario reducir la resistencia de cálculo a flexión, ya que el esfuerzo cortante solicitante de cálculo pésimo V_{Ed} no es superior al 50% de la resistencia de cálculo a cortante $V_{c,Rd}$.

$$V_{Ed} \leq \frac{V_{c,Rd}}{2} \qquad 0.27 \text{ kN} \leq 26.72 \text{ kN}$$

Los esfuerzos solicitantes de cálculo pésimos se producen para la combinación de acciones 1.35·PP+1.5·T1+1.5·T3.

V_{Ed}: Esfuerzo cortante solicitante de cálculo pésimo. V_{Ed} : 0.27 kN

$V_{c,Rd}$: Esfuerzo cortante resistente de cálculo. $V_{c,Rd}$: 53.43 kN

Resistencia a momento flector Z y fuerza cortante Y combinados (CTE DB SE-A, Artículo 6.2.8)

No hay interacción entre momento flector y esfuerzo cortante para ninguna combinación. Por lo tanto, la comprobación no procede.

Resistencia a flexión y axil combinados (CTE DB SE-A, Artículo 6.2.8)

Se debe satisfacer:

$$\eta = \frac{N_{c,Ed}}{N_{pl,Rd}} + \frac{M_{y,Ed}}{M_{pl,Rd,y}} + \frac{M_{z,Ed}}{M_{pl,Rd,z}} \leq 1$$ h : 0.075 ✓

$$\eta = \frac{N_{c,Ed}}{\chi_y \cdot A \cdot f_{yd}} + k_y \cdot \frac{c_{m,y} \cdot M_{y,Ed}}{\chi_{LT} \cdot W_{pl,y} \cdot f_{yd}} + \alpha_z \cdot k_z \cdot \frac{c_{m,z} \cdot M_{z,Ed}}{W_{pl,z} \cdot f_{yd}} \leq 1$$ h : 0.181 ✓

$$\eta = \frac{N_{c,Ed}}{\chi_z \cdot A \cdot f_{yd}} + \alpha_y \cdot k_y \cdot \frac{c_{m,y} \cdot M_{y,Ed}}{W_{pl,y} \cdot f_{yd}} + k_z \cdot \frac{c_{m,z} \cdot M_{z,Ed}}{W_{pl,z} \cdot f_{yd}} \leq 1$$ h : 1.134 ✗

Los esfuerzos solicitantes de cálculo pésimos se producen en el nudo N8, para la combinación de acciones 1.35·PP+1.5·T2+1.5·T4.

Donde:

$N_{c,Ed}$: Axil de compresión solicitante de cálculo pésimo. $N_{c,Ed}$: 4.29 kN

$M_{y,Ed}$, $M_{z,Ed}$: Momentos flectores solicitantes de cálculo pésimos, según los ejes Y y Z, respectivamente. $M_{y,Ed}^-$: 0.33 kN·m; $M_{z,Ed}^+$: 0.00 kN·m

Clase: Clase de la sección, según la capacidad de deformación y de desarrollo de la resistencia plástica de sus elementos planos, para axil y flexión simple. Clase : 1

$N_{pl,Rd}$: Resistencia a compresión de la sección bruta. $N_{pl,Rd}$: 199.05 kN

$M_{pl,Rd,y}$, $M_{pl,Rd,z}$: Resistencia a flexión de la sección bruta en condiciones plásticas, respecto a los ejes Y y Z, respectivamente. $M_{pl,Rd,y}$: 6.08 kN·m; $M_{pl,Rd,z}$: 1.52 kN·m

Resistencia a pandeo: (CTE DB SE-A, Artículo 6.3.4.2)

A: Área de la sección bruta. A : 7.60 cm²

$W_{pl,y}$, $W_{pl,z}$: Módulos resistentes plásticos correspondientes a la fibra comprimida, alrededor de los ejes Y y Z, respectivamente. $W_{pl,y}$: 23.20 cm³; $W_{pl,z}$: 5.80 cm³

f_{yd}: Resistencia de cálculo del acero. f_{yd} : 261.90 MPa

$$\mathbf{f_{yd}} = f_y / \gamma_{M1}$$

Siendo:

f_y: Límite elástico. (CTE DB SE-A, Tabla 4.1) f_y : 275.00 MPa

g_{M1}: Coeficiente parcial de seguridad del material. g_{M1} : 1.05

k_y, k_z: Coeficientes de interacción.

$$\mathbf{k_y} = 1 + \left(\bar{\lambda}_y - 0.2\right) \cdot \frac{N_{c,Ed}}{\chi_y \cdot N_{c,Rd}}$$ k_y : 1.10

$$\mathbf{k_z} = 1 + \left(2 \cdot \bar{\lambda}_z - 0.6\right) \cdot \frac{N_{c,Ed}}{\chi_z \cdot N_{c,Rd}}$$ k_z : 2.40

$C_{m,y}$, $C_{m,z}$: Factores de momento flector uniforme equivalente. $C_{m,y}$: 1.00; $C_{m,z}$: 1.00

c_y, c_z: Coeficientes de reducción por pandeo, alrededor de los ejes Y y Z, respectivamente. c_y : 0.18; c_z : 0.02

$\grave{}\lambda_y$, $\grave{}\lambda_z$: Esbelteces reducidas con valores no mayores que 1.00, en relación a los ejes Y y Z, respectivamente. $\grave{}\lambda_y$: 2.27; $\grave{}\lambda_z$: 6.97

a_y, a_z: Factores dependientes de la clase de la sección. a_y : 0.60; a_z : 0.60

Resistencia a flexión, axil y cortante combinados (CTE DB SE-A, Artículo 6.2.8)

No es necesario reducir las resistencias de cálculo a flexión y a axil, ya que se puede ignorar el efecto de abolladura por esfuerzo cortante y, además, el esfuerzo cortante solicitante de cálculo pésimo V_{Ed} es menor o igual que el 50% del esfuerzo cortante resistente de cálculo $V_{c,Rd}$.

Los esfuerzos solicitantes de cálculo pésimos se producen para la combinación de acciones 1.35·PP+1.5·T1+1.5·T3.

$$\mathbf{V_{Ed,z}} \leq \frac{V_{c,Rd,z}}{2} \qquad 0.27 \text{ kN} \leq 26.72 \text{ kN}$$

Donde:

$V_{Ed,z}$: Esfuerzo cortante solicitante de cálculo pésimo. $V_{Ed,z}$: 0.27 kN

$V_{c,Rd,z}$: Esfuerzo cortante resistente de cálculo. $V_{c,Rd,z}$: 53.43 kN

Resistencia a torsión (CTE DB SE-A, Artículo 6.2.7)

La comprobación no procede, ya que no hay momento torsor.

Resistencia a cortante Z y momento torsor combinados (CTE DB SE-A, Artículo 6.2.8)

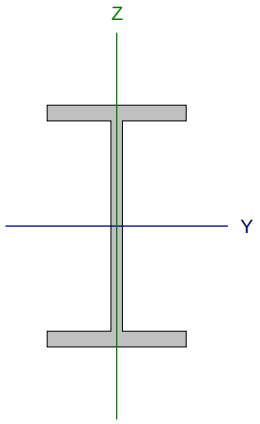
No hay interacción entre momento torsor y esfuerzo cortante para ninguna combinación. Por lo tanto, la comprobación no procede.

Resistencia a cortante Y y momento torsor combinados (CTE DB SE-A, Artículo 6.2.8)

No hay interacción entre momento torsor y esfuerzo cortante para ninguna combinación. Por lo tanto, la comprobación no procede.

Barra N8/N10

Perfil: IPE 80
Material: Acero (S275)



Nudos		Longitud (m)	Características mecánicas			
Inicial	Final		Área (cm²)	I_y (1) (cm4)	I_z (1) (cm4)	I_t (2) (cm4)
N8	N10	6.450	7.60	80.10	8.49	0.67

Notas:
(1) *Inercia respecto al eje indicado*
(2) *Momento de inercia a torsión uniforme*

	Pandeo		Pandeo lateral	
	Plano XY	Plano XZ	Ala sup.	Ala inf.
β	1.00	1.00	0.00	0.00
L_K	6.450	6.450	0.000	0.000
C_m	1.000	1.000	1.000	1.000
C_1	-		1.000	

Notación:
b: Coeficiente de pandeo
L_K: Longitud de pandeo (m)
C_m: Coeficiente de momentos
C_1: Factor de modificación para el momento crítico

Limitación de esbeltez (CTE DB SE-A, Artículos 6.3.1 y 6.3.2.1 - Tabla 6.3)

La esbeltez reducida $\bar{\lambda}$ de las barras comprimidas debe ser inferior al valor 2.0.

$$\bar{\lambda} = \sqrt{\frac{A \cdot f_y}{N_{cr}}}$$

`l : 7.03

Donde:

Clase: Clase de la sección, según la capacidad de deformación y de desarrollo de la resistencia plástica de los elementos planos comprimidos de una sección. Clase : 1

A: Área de la sección bruta para las secciones de clase 1, 2 y 3. A : 7.60 cm²

f_y: Límite elástico. (CTE DB SE-A, Tabla 4.1) f_y : 275.00 MPa

N_{cr}: Axil crítico de pandeo elástico. N_{cr} : 4.23 kN

El axil crítico de pandeo elástico N_{cr} es el menor de los valores obtenidos en a), b) y c):

a) Axil crítico elástico de pandeo por flexión respecto al eje Y. $N_{cr,y}$: 39.91 kN

$$\mathbf{N_{cr,y}} = \frac{\pi^2 \cdot E \cdot I_y}{L_{ky}^2}$$

b) Axil crítico elástico de pandeo por flexión respecto al eje Z. $N_{cr,z}$: 4.23 kN

$$\mathbf{N_{cr,z}} = \frac{\pi^2 \cdot E \cdot I_z}{L_{kz}^2}$$

c) Axil crítico elástico de pandeo por torsión. $N_{cr,T}$: ∞

$$\mathbf{N_{cr,T}} = \frac{1}{i_0^2} \cdot \left[G \cdot I_t + \frac{\pi^2 \cdot E \cdot I_w}{L_{kt}^2} \right]$$

Donde:

I_y: Momento de inercia de la sección bruta, respecto al eje Y. I_y : 80.10 cm4

I_z: Momento de inercia de la sección bruta, respecto al eje Z. I_z : 8.49 cm4

I_t: Momento de inercia a torsión uniforme. I_t : 0.67 cm4

I_w: Constante de alabeo de la sección. I_w : 120.00 cm6

E: Módulo de elasticidad. E : 210000 MPa

G: Módulo de elasticidad transversal. G : 81000 MPa

L_{ky}: Longitud efectiva de pandeo por flexión, respecto al eje Y. L_{ky} : 6.450 m

L_{kz}: Longitud efectiva de pandeo por flexión, respecto al eje Z. L_{kz} : 6.450 m

L_{kt}: Longitud efectiva de pandeo por torsión. L_{kt} : 0.000 m

i_0: Radio de giro polar de la sección bruta, respecto al centro de torsión. i_0 : 3.41 cm

$$\mathbf{i_0} = \left(i_y^2 + i_z^2 + y_0^2 + z_0^2 \right)^{0.5}$$

Siendo:

i_y , i_z: Radios de giro de la sección bruta, respecto a los ejes principales de inercia Y y Z. i_y : 3.25 cm

i_z : 1.06 cm

y_0 , z_0: Coordenadas del centro de torsión en la dirección de los ejes principales Y y Z, respectivamente, relativas al centro de gravedad de la sección. y_0 : 0.00 mm

z_0 : 0.00 mm

Abolladura del alma inducida por el ala comprimida (Criterio de CYPE, basado en: Eurocódigo 3 EN 1993-1-5: 2006, Artículo 8)

Se debe satisfacer:

$$\frac{h_w}{t_w} \leq k \frac{E}{f_{yf}} \sqrt{\frac{A_w}{A_{fc,ef}}}$$

18.32 £ 240.89 ✓

Donde:

h_w: Altura del alma. h_w : 69.60 mm

t_w: Espesor del alma. t_w : 3.80 mm

A_w: Área del alma. A_w : 2.64 cm²

$A_{fc,ef}$: Área reducida del ala comprimida. $A_{fc,ef}$: 2.39 cm²

k: Coeficiente que depende de la clase de la sección. k : 0.30

E: Módulo de elasticidad. E : 210000 MPa

f_{yf}: Límite elástico del acero del ala comprimida. f_{yf} : 275.00 MPa

Siendo:

$$f_{yf} = f_y$$

Resistencia a tracción (CTE DB SE-A, Artículo 6.2.3)

Se debe satisfacer:

$$\eta = \frac{N_{t,Ed}}{N_{t,Rd}} \leq 1$$

h : 0.057 ✓

El esfuerzo solicitante de cálculo pésimo se produce para la combinación de acciones 0.8·PP+1.5·T1+1.5·T3.

$N_{t,Ed}$: Axil de tracción solicitante de cálculo pésimo. $N_{t,Ed}$: 11.35 kN

La resistencia de cálculo a tracción $N_{t,Rd}$ viene dada por:

$$N_{t,Rd} = A \cdot f_{yd}$$

$N_{t,Rd}$: 199.05 kN

Donde:

A: Área bruta de la sección transversal de la barra. A : 7.60 cm²

f_{yd}: Resistencia de cálculo del acero. f_{yd} : 261.90 MPa

$$f_{yd} = f_y / \gamma_{M0}$$

Siendo:

f_y: Límite elástico. (CTE DB SE-A, Tabla 4.1) f_y : 275.00 MPa

γ_{M0}: Coeficiente parcial de seguridad del material. γ_{M0} : 1.05

Resistencia a compresión (CTE DB SE-A, Artículo 6.2.5) ✗

Se debe satisfacer:

$$\eta = \frac{N_{c,Ed}}{N_{c,Rd}} \leq 1$$

h : 0.062 ✓

$$\eta = \frac{N_{c,Ed}}{N_{b,Rd}} \leq 1$$ h : 3.220

El esfuerzo solicitante de cálculo pésimo se produce para la combinación de acciones 1.35·PP+1.5·T2+1.5·T4.

$N_{c,Ed}$: Axil de compresión solicitante de cálculo pésimo. $N_{c,Ed}$: 12.38 kN

La resistencia de cálculo a compresión $N_{c,Rd}$ viene dada por:

$$\mathbf{N_{c,Rd}} = A \cdot f_{yd}$$ $N_{c,Rd}$: 199.05 kN

Donde:

Clase: Clase de la sección, según la capacidad de deformación y de desarrollo de la resistencia plástica de los elementos planos comprimidos de una sección. Clase : 1

A: Área de la sección bruta para las secciones de clase 1, 2 y 3. A : 7.60 cm²

f_{yd}: Resistencia de cálculo del acero. f_{yd} : 261.90 MPa

$$\mathbf{f_{yd}} = f_y / \gamma_{M0}$$

Siendo:

f_y: Límite elástico. (CTE DB SE-A, Tabla 4.1) f_y : 275.00 MPa

g_{M0}: Coeficiente parcial de seguridad del material. g_{M0} : 1.05

Resistencia a pandeo: (CTE DB SE-A, Artículo 6.3.2)

La resistencia de cálculo a pandeo $N_{b,Rd}$ en una barra comprimida viene dada por:

$$\mathbf{N_{b,Rd}} = \chi \cdot A \cdot f_{yd}$$ $N_{b,Rd}$: 3.84 kN

Donde:

A: Área de la sección bruta para las secciones de clase 1, 2 y 3. A : 7.60 cm²

f_{yd}: Resistencia de cálculo del acero. f_{yd} : 261.90 MPa

$$\mathbf{f_{yd}} = f_y / \gamma_{M1}$$

Siendo:

f_y: Límite elástico. (CTE DB SE-A, Tabla 4.1) f_y : 275.00 MPa

g_{M1}: Coeficiente parcial de seguridad del material. g_{M1} : 1.05

c: Coeficiente de reducción por pandeo.

$$\chi = \frac{1}{\Phi + \sqrt{\Phi^2 - \left(\bar{\lambda}\right)^2}} \leq 1$$ c_y : 0.17

c_z : 0.02

Siendo:

$$\Phi = 0.5 \cdot \left[1 + \alpha \cdot \left(\bar{\lambda} - 0.2\right) + \left(\bar{\lambda}\right)^2\right]$$ f_y : 3.34

f_z : 26.37

a: Coeficiente de imperfección elástica. a_y : 0.21

a_z : 0.34

`l: Esbeltez reducida.

$$\bar{\lambda} = \sqrt{\frac{A \cdot f_y}{N_{cr}}}$$ `l_y : 2.29

`l_z : 7.03

N_{cr}: Axil crítico elástico de pandeo, obtenido como el menor de los siguientes valores: N_{cr} : 4.23 kN

$N_{cr,y}$: Axil crítico elástico de pandeo por flexión respecto al eje Y. $N_{cr,y}$: 39.91 kN

$N_{cr,z}$: Axil crítico elástico de pandeo por flexión respecto al eje Z. $N_{cr,z}$: 4.23 kN

$N_{cr,T}$: Axil crítico elástico de pandeo por torsión. $N_{cr,T}$: ∞

Resistencia a flexión eje Y (CTE DB SE-A, Artículo 6.2.6)

Se debe satisfacer:

$$\eta = \frac{M_{Ed}}{M_{c,Rd}} \leq 1$$

h : 0.057 ✓

Para flexión positiva:

M_{Ed}^{+}: Momento flector solicitante de cálculo pésimo. M_{Ed}^{+} : 0.00 kN·m

Para flexión negativa:

El esfuerzo solicitante de cálculo pésimo se produce en el nudo N8, para la combinación de acciones 1.35·PP+1.5·T1+1.5·T3.

M_{Ed}^{-}: Momento flector solicitante de cálculo pésimo. M_{Ed}^{-} : 0.35 kN·m

El momento flector resistente de cálculo $M_{c,Rd}$ viene dado por:

$$\mathbf{M_{c,Rd}} = W_{pl,y} \cdot f_{yd}$$

$M_{c,Rd}$: 6.08 kN·m

Donde:

Clase: Clase de la sección, según la capacidad de deformación y de desarrollo de la resistencia plástica de los elementos planos de una sección a flexión simple. Clase : 1

$W_{pl,y}$: Módulo resistente plástico correspondiente a la fibra con mayor tensión, para las secciones de clase 1 y 2. $W_{pl,y}$: 23.20 cm³

f_{yd}: Resistencia de cálculo del acero. f_{yd} : 261.90 MPa

$$\mathbf{f_{yd}} = f_y / \gamma_{M0}$$

Siendo:

f_y: Límite elástico. (CTE DB SE-A, Tabla 4.1) f_y : 275.00 MPa

γ_{M0}: Coeficiente parcial de seguridad del material. γ_{M0} : 1.05

Resistencia a pandeo lateral: (CTE DB SE-A, Artículo 6.3.3.2)

No procede, dado que las longitudes de pandeo lateral son nulas.

Resistencia a flexión eje Z (CTE DB SE-A, Artículo 6.2.6)

La comprobación no procede, ya que no hay momento flector.

Resistencia a corte Z (CTE DB SE-A, Artículo 6.2.4)

Se debe satisfacer:

$$\eta = \frac{V_{Ed}}{V_{c,Rd}} \leq 1$$

h : 0.005 ✓

El esfuerzo solicitante de cálculo pésimo se produce en el nudo N10, para la combinación de acciones 1.35·PP+1.5·T2+1.5·T4.

V_{Ed}: Esfuerzo cortante solicitante de cálculo pésimo. V_{Ed} : 0.28 kN

El esfuerzo cortante resistente de cálculo $V_{c,Rd}$ viene dado por:

$$\mathbf{V_{c,Rd}} = A_V \cdot \frac{f_{yd}}{\sqrt{3}}$$

$V_{c,Rd}$: 53.43 kN

Donde:

A_v: Área transversal a cortante. A_v : 3.53 cm²

$$\mathbf{A_V} = A - 2 \cdot b \cdot t_f + (t_w + 2 \cdot r) \cdot t_f$$

Siendo:

A: Área bruta de la sección transversal de la barra. A : 7.60 cm²

b: Ancho de la sección. b : 46.00 mm

t_f: Espesor del ala. t_f : 5.20 mm

t_w: Espesor del alma. t_w : 3.80 mm

r: Radio de acuerdo entre ala y alma. r : 5.00 mm

f_{yd}: Resistencia de cálculo del acero. f_{yd} : 261.90 MPa

$$\mathbf{f_{yd}} = f_y / \gamma_{M0}$$

Siendo:

f_y: Límite elástico. (CTE DB SE-A, Tabla 4.1) f_y : 275.00 MPa

γ_{M0}: Coeficiente parcial de seguridad del material. γ_{M0} : 1.05

Abolladura por cortante del alma: (CTE DB SE-A, Artículo 6.3.3.4)

Aunque no se han dispuesto rigidizadores transversales, no es necesario comprobar la resistencia a la abolladura del alma, puesto que se cumple:

$$\frac{\mathbf{d}}{\mathbf{t_w}} < 70 \cdot \varepsilon$$

15.68 < 64.71 ✓

Donde:

λ_w: Esbeltez del alma. λ_w : 15.68

$$\lambda_w = \frac{d}{t_w}$$

$\lambda_{máx}$: Esbeltez máxima. $\lambda_{máx}$: 64.71

$$\lambda_{max} = 70 \cdot \varepsilon$$

e: Factor de reducción. e : 0.92

$$\varepsilon = \sqrt{\frac{f_{ref}}{f_y}}$$

Siendo:

f_{ref}: Límite elástico de referencia. f_{ref} : 235.00 MPa

f_y: Límite elástico. (CTE DB SE-A, Tabla 4.1) f_y : 275.00 MPa

Resistencia a corte Y (CTE DB SE-A, Artículo 6.2.4)

La comprobación no procede, ya que no hay esfuerzo cortante.

Resistencia a momento flector Y y fuerza cortante Z combinados (CTE DB SE-A, Artículo 6.2.8)

No es necesario reducir la resistencia de cálculo a flexión, ya que el esfuerzo cortante solicitante de cálculo pésimo V_{Ed} no es superior al 50% de la resistencia de cálculo a cortante $V_{c,Rd}$.

$$V_{Ed} \leq \frac{V_{c,Rd}}{2} \qquad 0.28 \text{ kN} \leq 26.72 \text{ kN}$$

Los esfuerzos solicitantes de cálculo pésimos se producen para la combinación de acciones 1.35·PP+1.5·T1+1.5·T3.

V_{Ed}: Esfuerzo cortante solicitante de cálculo pésimo. V_{Ed} : 0.28 kN

$V_{c,Rd}$: Esfuerzo cortante resistente de cálculo. $V_{c,Rd}$: 53.43 kN

Resistencia a momento flector Z y fuerza cortante Y combinados (CTE DB SE-A, Artículo 6.2.8)

No hay interacción entre momento flector y esfuerzo cortante para ninguna combinación. Por lo tanto, la comprobación no procede.

Resistencia a flexión y axil combinados (CTE DB SE-A, Artículo 6.2.8)

El axil de compresión es excesivo y supera los axiles críticos de pandeo.

Resistencia a flexión, axil y cortante combinados (CTE DB SE-A, Artículo 6.2.8)

No es necesario reducir las resistencias de cálculo a flexión y a axil, ya que se puede ignorar el efecto de abolladura por esfuerzo cortante y, además, el esfuerzo cortante solicitante de cálculo pésimo V_{Ed} es menor o igual que el 50% del esfuerzo cortante resistente de cálculo $V_{c,Rd}$.

Los esfuerzos solicitantes de cálculo pésimos se producen para la combinación de acciones 1.35·PP+1.5·T1+1.5·T3.

$$V_{Ed,z} \leq \frac{V_{c,Rd,z}}{2} \qquad 0.28 \text{ kN} \leq 26.72 \text{ kN}$$

Donde:

$V_{Ed,z}$: Esfuerzo cortante solicitante de cálculo pésimo. $V_{Ed,z}$: 0.28 kN

$V_{c,Rd,z}$: Esfuerzo cortante resistente de cálculo. $V_{c,Rd,z}$: 53.43 kN

Resistencia a torsión (CTE DB SE-A, Artículo 6.2.7)

La comprobación no procede, ya que no hay momento torsor.

Resistencia a cortante Z y momento torsor combinados (CTE DB SE-A, Artículo 6.2.8)

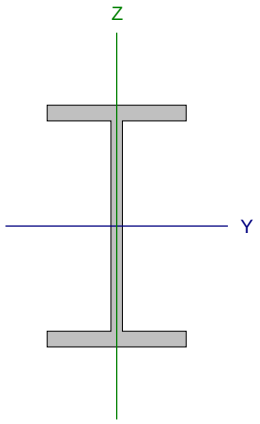
No hay interacción entre momento torsor y esfuerzo cortante para ninguna combinación. Por lo tanto, la comprobación no procede.

Resistencia a cortante Y y momento torsor combinados (CTE DB SE-A, Artículo 6.2.8)

No hay interacción entre momento torsor y esfuerzo cortante para ninguna combinación. Por lo tanto, la comprobación no procede.

Barra N10/N12

Perfil: IPE 80
Material: Acero (S275)



Nudos		Longitud (m)	Características mecánicas			
Inicial	Final		Área (cm²)	I_y (1) (cm4)	I_z (1) (cm4)	I_t (2) (cm4)
N10	N12	4.600	7.60	80.10	8.49	0.67

Notas:
(1) *Inercia respecto al eje indicado*
(2) *Momento de inercia a torsión uniforme*

	Pandeo		Pandeo lateral	
	Plano XY	Plano XZ	Ala sup.	Ala inf.
β	1.00	1.00	0.00	0.00
L_K	4.600	4.600	0.000	0.000
C_m	1.000	1.000	1.000	1.000
C_1	-		1.000	

Notación:
b: Coeficiente de pandeo
L_K: Longitud de pandeo (m)
C_m: Coeficiente de momentos
C_1: Factor de modificación para el momento crítico

Limitación de esbeltez (CTE DB SE-A, Artículos 6.3.1 y 6.3.2.1 - Tabla 6.3)

La esbeltez reducida $\bar{\lambda}$ de las barras comprimidas debe ser inferior al valor 2.0.

$$\bar{\lambda} = \sqrt{\frac{A \cdot f_y}{N_{cr}}}$$

`l : 5.01

Donde:

Clase: Clase de la sección, según la capacidad de deformación y de desarrollo de la resistencia plástica de los elementos planos comprimidos de una sección. Clase : 1

A: Área de la sección bruta para las secciones de clase 1, 2 y 3. A : 7.60 cm²

f_y: Límite elástico. (CTE DB SE-A, Tabla 4.1) f_y : 275.00 MPa

N_{cr}: Axil crítico de pandeo elástico. N_{cr} : 8.32 kN

El axil crítico de pandeo elástico N_{cr} es el menor de los valores obtenidos en a), b) y c):

a) Axil crítico elástico de pandeo por flexión respecto al eje Y. $N_{cr,y}$: 78.46 kN

$$\mathbf{N_{cr,y}} = \frac{\pi^2 \cdot E \cdot I_y}{L_{ky}^2}$$

b) Axil crítico elástico de pandeo por flexión respecto al eje Z. $N_{cr,z}$: 8.32 kN

$$\mathbf{N_{cr,z}} = \frac{\pi^2 \cdot E \cdot I_z}{L_{kz}^2}$$

c) Axil crítico elástico de pandeo por torsión. $N_{cr,T}$: ∞

$$\mathbf{N_{cr,T}} = \frac{1}{i_0^2} \cdot \left[G \cdot I_t + \frac{\pi^2 \cdot E \cdot I_w}{L_{kt}^2} \right]$$

Donde:

I_y: Momento de inercia de la sección bruta, respecto al eje Y. I_y : 80.10 cm4

I_z: Momento de inercia de la sección bruta, respecto al eje Z. I_z : 8.49 cm4

I_t: Momento de inercia a torsión uniforme. I_t : 0.67 cm4

I_w: Constante de alabeo de la sección. I_w : 120.00 cm6

E: Módulo de elasticidad. E : 210000 MPa

G: Módulo de elasticidad transversal. G : 81000 MPa

L_{ky}: Longitud efectiva de pandeo por flexión, respecto al eje Y. L_{ky} : 4.600 m

L_{kz}: Longitud efectiva de pandeo por flexión, respecto al eje Z. L_{kz} : 4.600 m

L_{kt}: Longitud efectiva de pandeo por torsión. L_{kt} : 0.000 m

i_0: Radio de giro polar de la sección bruta, respecto al centro de torsión. i_0 : 3.41 cm

$$\mathbf{i_0} = \left(i_y^2 + i_z^2 + y_0^2 + z_0^2 \right)^{0.5}$$

Siendo:

i_y , i_z: Radios de giro de la sección bruta, respecto a los ejes principales de inercia Y y Z. i_y : 3.25 cm

i_z : 1.06 cm

y_0 , z_0: Coordenadas del centro de torsión en la dirección de los ejes principales Y y Z, respectivamente, relativas al centro de gravedad de la sección. y_0 : 0.00 mm

z_0 : 0.00 mm

Abolladura del alma inducida por el ala comprimida (Criterio de CYPE, basado en: Eurocódigo 3 EN 1993-1-5: 2006, Artículo 8)

Se debe satisfacer:

$$\frac{h_w}{t_w} \leq k \frac{E}{f_{yf}} \sqrt{\frac{A_w}{A_{fc,ef}}}$$ 18.32 £ 240.89 ✓

Donde:

h_w: Altura del alma. h_w : 69.60 mm

t_w: Espesor del alma. t_w : 3.80 mm

A_w: Área del alma. A_w : 2.64 cm²

$A_{fc,ef}$: Área reducida del ala comprimida. $A_{fc,ef}$: 2.39 cm²

k: Coeficiente que depende de la clase de la sección. k : 0.30

E: Módulo de elasticidad. E : 210000 MPa

f_{yf}: Límite elástico del acero del ala comprimida. f_{yf} : 275.00 MPa

Siendo:

$f_{yf} = f_y$

Resistencia a tracción (CTE DB SE-A, Artículo 6.2.3)

Se debe satisfacer:

$$\eta = \frac{N_{t,Ed}}{N_{t,Rd}} \leq 1$$ h : 0.081 ✓

El esfuerzo solicitante de cálculo pésimo se produce para la combinación de acciones 0.8·PP+1.5·T1+1.5·T3.

$N_{t,Ed}$: Axil de tracción solicitante de cálculo pésimo. $N_{t,Ed}$: 16.04 kN

La resistencia de cálculo a tracción $N_{t,Rd}$ viene dada por:

$$N_{t,Rd} = A \cdot f_{yd}$$ $N_{t,Rd}$: 199.05 kN

Donde:

A: Área bruta de la sección transversal de la barra. A : 7.60 cm²

f_{yd}: Resistencia de cálculo del acero. f_{yd} : 261.90 MPa

$$f_{yd} = f_y / \gamma_{M0}$$

Siendo:

f_y: Límite elástico. (CTE DB SE-A, Tabla 4.1) f_y : 275.00 MPa

γ_{M0}: Coeficiente parcial de seguridad del material. γ_{M0} : 1.05

Resistencia a compresión (CTE DB SE-A, Artículo 6.2.5) ✗

Se debe satisfacer:

$$\eta = \frac{N_{c,Ed}}{N_{c,Rd}} \leq 1$$ h : 0.083 ✓

$$\eta = \frac{N_{c,Ed}}{N_{b,Rd}} \leq 1$$ h : 2.231

El esfuerzo solicitante de cálculo pésimo se produce para la combinación de acciones 1.35·PP+1.5·T2+1.5·T4.

$N_{c,Ed}$: Axil de compresión solicitante de cálculo pésimo. $N_{c,Ed}$: 16.55 kN

La resistencia de cálculo a compresión $N_{c,Rd}$ viene dada por:

$$\mathbf{N_{c,Rd}} = A \cdot f_{yd}$$ $N_{c,Rd}$: 199.05 kN

Donde:

Clase: Clase de la sección, según la capacidad de deformación y de desarrollo de la resistencia plástica de los elementos planos comprimidos de una sección. Clase : 1

A: Área de la sección bruta para las secciones de clase 1, 2 y 3. A : 7.60 cm²

f_{yd}: Resistencia de cálculo del acero. f_{yd} : 261.90 MPa

$$\mathbf{f_{yd}} = f_y / \gamma_{M0}$$

Siendo:

f_y: Límite elástico. (CTE DB SE-A, Tabla 4.1) f_y : 275.00 MPa

g_{M0}: Coeficiente parcial de seguridad del material. g_{M0} : 1.05

Resistencia a pandeo: (CTE DB SE-A, Artículo 6.3.2)

La resistencia de cálculo a pandeo $N_{b,Rd}$ en una barra comprimida viene dada por:

$$\mathbf{N_{b,Rd}} = \chi \cdot A \cdot f_{yd}$$ $N_{b,Rd}$: 7.42 kN

Donde:

A: Área de la sección bruta para las secciones de clase 1, 2 y 3. A : 7.60 cm²

f_{yd}: Resistencia de cálculo del acero. f_{yd} : 261.90 MPa

$$\mathbf{f_{yd}} = f_y / \gamma_{M1}$$

Siendo:

f_y: Límite elástico. (CTE DB SE-A, Tabla 4.1) f_y : 275.00 MPa

g_{M1}: Coeficiente parcial de seguridad del material. g_{M1} : 1.05

c: Coeficiente de reducción por pandeo.

$$\chi = \frac{1}{\Phi + \sqrt{\Phi^2 - \left(\bar{\lambda}\right)^2}} \leq 1$$ c_y : 0.32

c_z : 0.04

Siendo:

$$\Phi = 0.5 \cdot \left[1 + \alpha \cdot \left(\bar{\lambda} - 0.2\right) + \left(\bar{\lambda}\right)^2\right]$$ f_y : 1.98

f_z : 13.88

a: Coeficiente de imperfección elástica. a_y : 0.21

a_z : 0.34

`l: Esbeltez reducida.

$$\bar{\lambda} = \sqrt{\frac{A \cdot f_y}{N_{cr}}}$$ `l_y : 1.63

`l_z : 5.01

N_{cr}: Axil crítico elástico de pandeo, obtenido como el menor de los siguientes valores: N_{cr} : 8.32 kN

$N_{cr,y}$: Axil crítico elástico de pandeo por flexión respecto al eje Y. $N_{cr,y}$: 78.46 kN

$N_{cr,z}$: Axil crítico elástico de pandeo por flexión respecto al eje Z. $N_{cr,z}$: 8.32 kN

$N_{cr,T}$: Axil crítico elástico de pandeo por torsión. $N_{cr,T}$: ∞

Resistencia a flexión eje Y (CTE DB SE-A, Artículo 6.2.6)

Se debe satisfacer:

$$\eta = \frac{M_{Ed}}{M_{c,Rd}} \leq 1$$ h : 0.033 ✓

Para flexión positiva:

M_{Ed}^{+}: Momento flector solicitante de cálculo pésimo. M_{Ed}^{+} : 0.00 kN·m

Para flexión negativa:

El esfuerzo solicitante de cálculo pésimo se produce en el nudo N10, para la combinación de acciones 1.35·PP+1.5·T1+1.5·T3.

M_{Ed}^{-}: Momento flector solicitante de cálculo pésimo. M_{Ed}^{-} : 0.20 kN·m

El momento flector resistente de cálculo $M_{c,Rd}$ viene dado por:

$$\mathbf{M_{c,Rd}} = W_{pl,y} \cdot f_{yd}$$ $M_{c,Rd}$: 6.08 kN·m

Donde:

Clase: Clase de la sección, según la capacidad de deformación y de desarrollo de la resistencia plástica de los elementos planos de una sección a flexión simple. Clase : 1

$W_{pl,y}$: Módulo resistente plástico correspondiente a la fibra con mayor tensión, para las secciones de clase 1 y 2. $W_{pl,y}$: 23.20 cm³

f_{yd}: Resistencia de cálculo del acero. f_{yd} : 261.90 MPa

$$\mathbf{f_{yd}} = f_y / \gamma_{M0}$$

Siendo:

f_y: Límite elástico. (CTE DB SE-A, Tabla 4.1) f_y : 275.00 MPa

g_{M0}: Coeficiente parcial de seguridad del material. g_{M0} : 1.05

Resistencia a pandeo lateral: (CTE DB SE-A, Artículo 6.3.3.2)

No procede, dado que las longitudes de pandeo lateral son nulas.

Resistencia a flexión eje Z (CTE DB SE-A, Artículo 6.2.6)

La comprobación no procede, ya que no hay momento flector.

Resistencia a corte Z (CTE DB SE-A, Artículo 6.2.4)

Se debe satisfacer:

$$\eta = \frac{V_{Ed}}{V_{c,Rd}} \leq 1$$

h : 0.004 ✓

El esfuerzo solicitante de cálculo pésimo se produce en el nudo N12, para la combinación de acciones 1.35·PP+1.5·T2+1.5·T4.

V_{Ed}: Esfuerzo cortante solicitante de cálculo pésimo. V_{Ed} : 0.21 kN

El esfuerzo cortante resistente de cálculo $V_{c,Rd}$ viene dado por:

$$\mathbf{V_{c,Rd}} = A_V \cdot \frac{f_{yd}}{\sqrt{3}}$$

$V_{c,Rd}$: 53.43 kN

Donde:

A_v: Área transversal a cortante. A_v : 3.53 cm²

$$\mathbf{A_V} = A - 2 \cdot b \cdot t_f + (t_w + 2 \cdot r) \cdot t_f$$

Siendo:

A: Área bruta de la sección transversal de la barra. A : 7.60 cm²

b: Ancho de la sección. b : 46.00 mm

t_f: Espesor del ala. t_f : 5.20 mm

t_w: Espesor del alma. t_w : 3.80 mm

r: Radio de acuerdo entre ala y alma. r : 5.00 mm

f_{yd}: Resistencia de cálculo del acero. f_{yd} : 261.90 MPa

$$\mathbf{f_{yd}} = f_y / \gamma_{M0}$$

Siendo:

f_y: Límite elástico. (CTE DB SE-A, Tabla 4.1) f_y : 275.00 MPa

γ_{M0}: Coeficiente parcial de seguridad del material. γ_{M0} : 1.05

Abolladura por cortante del alma: (CTE DB SE-A, Artículo 6.3.3.4)

Aunque no se han dispuesto rigidizadores transversales, no es necesario comprobar la resistencia a la abolladura del alma, puesto que se cumple:

$$\frac{\mathbf{d}}{\mathbf{t_w}} < 70 \cdot \varepsilon$$

15.68 < 64.71 ✓

Donde:

λ_w: Esbeltez del alma. λ_w : 15.68

$$\lambda_w = \frac{d}{t_w}$$

$\lambda_{máx}$: Esbeltez máxima. $\lambda_{máx}$: 64.71

$$\lambda_{max} = 70 \cdot \varepsilon$$

e: Factor de reducción. e : 0.92

$$\varepsilon = \sqrt{\frac{f_{ref}}{f_y}}$$

Siendo:

f_{ref}: Límite elástico de referencia. f_{ref} : 235.00 MPa

f_y: Límite elástico. (CTE DB SE-A, Tabla 4.1) f_y : 275.00 MPa

Resistencia a corte Y (CTE DB SE-A, Artículo 6.2.4)

La comprobación no procede, ya que no hay esfuerzo cortante.

Resistencia a momento flector Y y fuerza cortante Z combinados (CTE DB SE-A, Artículo 6.2.8)

No es necesario reducir la resistencia de cálculo a flexión, ya que el esfuerzo cortante solicitante de cálculo pésimo V_{Ed} no es superior al 50% de la resistencia de cálculo a cortante $V_{c,Rd}$.

$$V_{Ed} \leq \frac{V_{c,Rd}}{2} \qquad 0.21 \text{ kN} \leq 26.72 \text{ kN}$$

Los esfuerzos solicitantes de cálculo pésimos se producen para la combinación de acciones 1.35·PP+1.5·T1+1.5·T3.

V_{Ed}: Esfuerzo cortante solicitante de cálculo pésimo. V_{Ed} : 0.21 kN

$V_{c,Rd}$: Esfuerzo cortante resistente de cálculo. $V_{c,Rd}$: 53.43 kN

Resistencia a momento flector Z y fuerza cortante Y combinados (CTE DB SE-A, Artículo 6.2.8)

No hay interacción entre momento flector y esfuerzo cortante para ninguna combinación. Por lo tanto, la comprobación no procede.

Resistencia a flexión y axil combinados (CTE DB SE-A, Artículo 6.2.8)

El axil de compresión es excesivo y supera los axiles críticos de pandeo.

Resistencia a flexión, axil y cortante combinados (CTE DB SE-A, Artículo 6.2.8)

No es necesario reducir las resistencias de cálculo a flexión y a axil, ya que se puede ignorar el efecto de abolladura por esfuerzo cortante y, además, el esfuerzo cortante solicitante de cálculo pésimo V_{Ed} es menor o igual que el 50% del esfuerzo cortante resistente de cálculo $V_{c,Rd}$.

Los esfuerzos solicitantes de cálculo pésimos se producen para la combinación de acciones 1.35·PP+1.5·T1+1.5·T3.

$$V_{Ed,z} \leq \frac{V_{c,Rd,z}}{2} \qquad 0.21 \text{ kN} \leq 26.72 \text{ kN}$$

Donde:

$V_{Ed,z}$: Esfuerzo cortante solicitante de cálculo pésimo. $V_{Ed,z}$: 0.21 kN

$V_{c,Rd,z}$: Esfuerzo cortante resistente de cálculo. $V_{c,Rd,z}$: 53.43 kN

Resistencia a torsión (CTE DB SE-A, Artículo 6.2.7)

La comprobación no procede, ya que no hay momento torsor.

Resistencia a cortante Z y momento torsor combinados (CTE DB SE-A, Artículo 6.2.8)

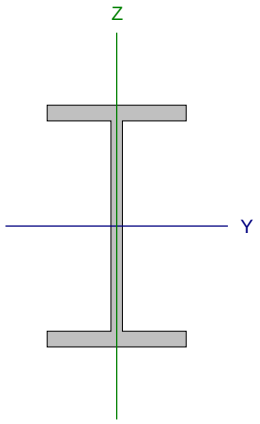
No hay interacción entre momento torsor y esfuerzo cortante para ninguna combinación. Por lo tanto, la comprobación no procede.

Resistencia a cortante Y y momento torsor combinados (CTE DB SE-A, Artículo 6.2.8)

No hay interacción entre momento torsor y esfuerzo cortante para ninguna combinación. Por lo tanto, la comprobación no procede.

Barra N12/N14

Perfil: IPE 80
Material: Acero (S275)



Nudos		Longitud (m)	Características mecánicas			
Inicial	Final		Área (cm²)	I_y (1) (cm4)	I_z (1) (cm4)	I_t (2) (cm4)
N12	N14	4.600	7.60	80.10	8.49	0.67

Notas:
(1) *Inercia respecto al eje indicado*
(2) *Momento de inercia a torsión uniforme*

	Pandeo		Pandeo lateral	
	Plano XY	Plano XZ	Ala sup.	Ala inf.
β	1.00	1.00	0.00	0.00
L_K	4.600	4.600	0.000	0.000
C_m	1.000	1.000	1.000	1.000
C_1	-		1.000	

Notación:
b: Coeficiente de pandeo
L_K: Longitud de pandeo (m)
C_m: Coeficiente de momentos
C_1: Factor de modificación para el momento crítico

Limitación de esbeltez (CTE DB SE-A, Artículos 6.3.1 y 6.3.2.1 - Tabla 6.3)

La esbeltez reducida $\bar{\lambda}$ de las barras comprimidas debe ser inferior al valor 2.0.

$$\bar{\lambda} = \sqrt{\frac{A \cdot f_y}{N_{cr}}}$$

`l : 5.01

Donde:

Clase: Clase de la sección, según la capacidad de deformación y de desarrollo de la resistencia plástica de los elementos planos comprimidos de una sección. Clase : 1

A: Área de la sección bruta para las secciones de clase 1, 2 y 3. A : 7.60 cm²

f_y: Límite elástico. (CTE DB SE-A, Tabla 4.1) f_y : 275.00 MPa

N_{cr}: Axil crítico de pandeo elástico. N_{cr} : 8.32 kN

El axil crítico de pandeo elástico N_{cr} es el menor de los valores obtenidos en a), b) y c):

a) Axil crítico elástico de pandeo por flexión respecto al eje Y. $N_{cr,y}$: 78.46 kN

$$\mathbf{N_{cr,y}} = \frac{\pi^2 \cdot E \cdot I_y}{L_{ky}^2}$$

b) Axil crítico elástico de pandeo por flexión respecto al eje Z. $N_{cr,z}$: 8.32 kN

$$\mathbf{N_{cr,z}} = \frac{\pi^2 \cdot E \cdot I_z}{L_{kz}^2}$$

c) Axil crítico elástico de pandeo por torsión. $N_{cr,T}$: ∞

$$\mathbf{N_{cr,T}} = \frac{1}{i_0^2} \cdot \left[G \cdot I_t + \frac{\pi^2 \cdot E \cdot I_w}{L_{kt}^2} \right]$$

Donde:

I_y: Momento de inercia de la sección bruta, respecto al eje Y. I_y : 80.10 cm4

I_z: Momento de inercia de la sección bruta, respecto al eje Z. I_z : 8.49 cm4

I_t: Momento de inercia a torsión uniforme. I_t : 0.67 cm4

I_w: Constante de alabeo de la sección. I_w : 120.00 cm6

E: Módulo de elasticidad. E : 210000 MPa

G: Módulo de elasticidad transversal. G : 81000 MPa

L_{ky}: Longitud efectiva de pandeo por flexión, respecto al eje Y. L_{ky} : 4.600 m

L_{kz}: Longitud efectiva de pandeo por flexión, respecto al eje Z. L_{kz} : 4.600 m

L_{kt}: Longitud efectiva de pandeo por torsión. L_{kt} : 0.000 m

i_0: Radio de giro polar de la sección bruta, respecto al centro de torsión. i_0 : 3.41 cm

$$\mathbf{i_0} = \left(i_y^2 + i_z^2 + y_0^2 + z_0^2 \right)^{0.5}$$

Siendo:

i_y , i_z: Radios de giro de la sección bruta, respecto a los ejes principales de inercia Y y Z. i_y : 3.25 cm

i_z : 1.06 cm

y_0 , z_0: Coordenadas del centro de torsión en la dirección de los ejes principales Y y Z, respectivamente, relativas al centro de gravedad de la sección. y_0 : 0.00 mm

z_0 : 0.00 mm

Abolladura del alma inducida por el ala comprimida (Criterio de CYPE, basado en: Eurocódigo 3 EN 1993-1-5: 2006, Artículo 8)

Se debe satisfacer:

$$\frac{h_w}{t_w} \leq k \frac{E}{f_{yf}} \sqrt{\frac{A_w}{A_{fc,ef}}}$$

18.32 £ 240.89 ✓

Donde:

h_w: Altura del alma.	h_w :	69.60	mm
t_w: Espesor del alma.	t_w :	3.80	mm
A_w: Área del alma.	A_w :	2.64	cm²
$A_{fc,ef}$: Área reducida del ala comprimida.	$A_{fc,ef}$:	2.39	cm²
k: Coeficiente que depende de la clase de la sección.	k :	0.30	
E: Módulo de elasticidad.	E :	210000	MPa
f_{yf}: Límite elástico del acero del ala comprimida.	f_{yf} :	275.00	MPa

Siendo:

$$f_{yf} = f_y$$

Resistencia a tracción (CTE DB SE-A, Artículo 6.2.3)

Se debe satisfacer:

$$\eta = \frac{N_{t,Ed}}{N_{t,Rd}} \leq 1$$

h : 0.086 ✓

El esfuerzo solicitante de cálculo pésimo se produce para la combinación de acciones 0.8·PP+1.5·T1+1.5·T3.

$N_{t,Ed}$: Axil de tracción solicitante de cálculo pésimo. $N_{t,Ed}$: 17.11 kN

La resistencia de cálculo a tracción $N_{t,Rd}$ viene dada por:

$$N_{t,Rd} = A \cdot f_{yd}$$

$N_{t,Rd}$: 199.05 kN

Donde:

A: Área bruta de la sección transversal de la barra.	A :	7.60	cm²
f_{yd}: Resistencia de cálculo del acero.	f_{yd} :	261.90	MPa

$$f_{yd} = f_y / \gamma_{M0}$$

Siendo:

f_y: Límite elástico. (CTE DB SE-A, Tabla 4.1)	f_y :	275.00	MPa
γ_{M0}: Coeficiente parcial de seguridad del material.	γ_{M0} :	1.05	

Resistencia a compresión (CTE DB SE-A, Artículo 6.2.5) ✗

Se debe satisfacer:

$$\eta = \frac{N_{c,Ed}}{N_{c,Rd}} \leq 1$$

h : 0.089 ✓

$$\eta = \frac{N_{c,Ed}}{N_{b,Rd}} \leq 1$$ h : 2.378

El esfuerzo solicitante de cálculo pésimo se produce para la combinación de acciones 1.35·PP+1.5·T2+1.5·T4.

$N_{c,Ed}$: Axil de compresión solicitante de cálculo pésimo. $N_{c,Ed}$: 17.64 kN

La resistencia de cálculo a compresión $N_{c,Rd}$ viene dada por:

$$\mathbf{N_{c,Rd}} = A \cdot f_{yd}$$ $N_{c,Rd}$: 199.05 kN

Donde:

Clase: Clase de la sección, según la capacidad de deformación y de desarrollo de la resistencia plástica de los elementos planos comprimidos de una sección. Clase : 1

A: Área de la sección bruta para las secciones de clase 1, 2 y 3. A : 7.60 cm²

f_{yd}: Resistencia de cálculo del acero. f_{yd} : 261.90 MPa

$$\mathbf{f_{yd}} = f_y / \gamma_{M0}$$

Siendo:

f_y: Límite elástico. (CTE DB SE-A, Tabla 4.1) f_y : 275.00 MPa

g_{M0}: Coeficiente parcial de seguridad del material. g_{M0} : 1.05

Resistencia a pandeo: (CTE DB SE-A, Artículo 6.3.2)

La resistencia de cálculo a pandeo $N_{b,Rd}$ en una barra comprimida viene dada por:

$$\mathbf{N_{b,Rd}} = \chi \cdot A \cdot f_{yd}$$ $N_{b,Rd}$: 7.42 kN

Donde:

A: Área de la sección bruta para las secciones de clase 1, 2 y 3. A : 7.60 cm²

f_{yd}: Resistencia de cálculo del acero. f_{yd} : 261.90 MPa

$$\mathbf{f_{yd}} = f_y / \gamma_{M1}$$

Siendo:

f_y: Límite elástico. (CTE DB SE-A, Tabla 4.1) f_y : 275.00 MPa

g_{M1}: Coeficiente parcial de seguridad del material. g_{M1} : 1.05

c: Coeficiente de reducción por pandeo.

$$\chi = \frac{1}{\Phi + \sqrt{\Phi^2 - \left(\bar{\lambda}\right)^2}} \leq 1$$ c_y : 0.32

c_z : 0.04

Siendo:

$$\Phi = 0.5 \cdot \left[1 + \alpha \cdot \left(\bar{\lambda} - 0.2\right) + \left(\bar{\lambda}\right)^2\right]$$ f_y : 1.98

f_z : 13.88

a: Coeficiente de imperfección elástica. a_y : 0.21

a_z : 0.34

`l: Esbeltez reducida.

$$\bar{\lambda} = \sqrt{\frac{A \cdot f_y}{N_{cr}}}$$ `l_y : 1.63

`l_z : 5.01

N_{cr}: Axil crítico elástico de pandeo, obtenido como el menor de los siguientes valores: N_{cr} : 8.32 kN

$N_{cr,y}$: Axil crítico elástico de pandeo por flexión respecto al eje Y. $N_{cr,y}$: 78.46 kN

$N_{cr,z}$: Axil crítico elástico de pandeo por flexión respecto al eje Z. $N_{cr,z}$: 8.32 kN

$N_{cr,T}$: Axil crítico elástico de pandeo por torsión. $N_{cr,T}$: ∞

Resistencia a flexión eje Y (CTE DB SE-A, Artículo 6.2.6)

Se debe satisfacer:

$$\eta = \frac{M_{Ed}}{M_{c,Rd}} \leq 1$$ h : 0.025 ✓

Para flexión positiva:

M_{Ed}^{+}: Momento flector solicitante de cálculo pésimo. M_{Ed}^{+} : 0.00 kN·m

Para flexión negativa:

El esfuerzo solicitante de cálculo pésimo se produce en el nudo N12, para la combinación de acciones 1.35·PP+1.5·T1+1.5·T3.

M_{Ed}^{-}: Momento flector solicitante de cálculo pésimo. M_{Ed}^{-} : 0.15 kN·m

El momento flector resistente de cálculo $M_{c,Rd}$ viene dado por:

$$\mathbf{M_{c,Rd}} = W_{pl,y} \cdot f_{yd}$$ $M_{c,Rd}$: 6.08 kN·m

Donde:

Clase: Clase de la sección, según la capacidad de deformación y de desarrollo de la resistencia plástica de los elementos planos de una sección a flexión simple. Clase : 1

$W_{pl,y}$: Módulo resistente plástico correspondiente a la fibra con mayor tensión, para las secciones de clase 1 y 2. $W_{pl,y}$: 23.20 cm³

f_{yd}: Resistencia de cálculo del acero. f_{yd} : 261.90 MPa

$$\mathbf{f_{yd}} = f_y / \gamma_{M0}$$

Siendo:

f_y: Límite elástico. (CTE DB SE-A, Tabla 4.1) f_y : 275.00 MPa

γ_{M0}: Coeficiente parcial de seguridad del material. γ_{M0} : 1.05

Resistencia a pandeo lateral: (CTE DB SE-A, Artículo 6.3.3.2)

No procede, dado que las longitudes de pandeo lateral son nulas.

Resistencia a flexión eje Z (CTE DB SE-A, Artículo 6.2.6)

La comprobación no procede, ya que no hay momento flector.

Resistencia a corte Z (CTE DB SE-A, Artículo 6.2.4)

Se debe satisfacer:

$$\eta = \frac{V_{Ed}}{V_{c,Rd}} \leq 1$$

h : 0.003 ✓

El esfuerzo solicitante de cálculo pésimo se produce en el nudo N14, para la combinación de acciones 1.35·PP.

V_{Ed}: Esfuerzo cortante solicitante de cálculo pésimo. V_{Ed} : 0.18 kN

El esfuerzo cortante resistente de cálculo $V_{c,Rd}$ viene dado por:

$$\mathbf{V_{c,Rd}} = A_V \cdot \frac{f_{yd}}{\sqrt{3}}$$

$V_{c,Rd}$: 53.43 kN

Donde:

A_v: Área transversal a cortante. A_v : 3.53 cm²

$$\mathbf{A_V} = A - 2 \cdot b \cdot t_f + (t_w + 2 \cdot r) \cdot t_f$$

Siendo:

A: Área bruta de la sección transversal de la barra. A : 7.60 cm²

b: Ancho de la sección. b : 46.00 mm

t_f: Espesor del ala. t_f : 5.20 mm

t_w: Espesor del alma. t_w : 3.80 mm

r: Radio de acuerdo entre ala y alma. r : 5.00 mm

f_{yd}: Resistencia de cálculo del acero. f_{yd} : 261.90 MPa

$$\mathbf{f_{yd}} = f_y / \gamma_{M0}$$

Siendo:

f_y: Límite elástico. (CTE DB SE-A, Tabla 4.1) f_y : 275.00 MPa

g_{M0}: Coeficiente parcial de seguridad del material. g_{M0} : 1.05

Abolladura por cortante del alma: (CTE DB SE-A, Artículo 6.3.3.4)

Aunque no se han dispuesto rigidizadores transversales, no es necesario comprobar la resistencia a la abolladura del alma, puesto que se cumple:

$$\frac{\mathbf{d}}{\mathbf{t_w}} < 70 \cdot \varepsilon$$

15.68 < 64.71 ✓

Donde:

l_w: Esbeltez del alma. l_w : 15.68

$$\lambda_w = \frac{d}{t_w}$$

$l_{máx}$: Esbeltez máxima. $l_{máx}$: 64.71

$$\lambda_{max} = 70 \cdot \varepsilon$$

e: Factor de reducción. e : 0.92

$$\varepsilon = \sqrt{\frac{f_{ref}}{f_y}}$$

Siendo:

f_{ref}: Límite elástico de referencia. f_{ref} : 235.00 MPa

f_y: Límite elástico. (CTE DB SE-A, Tabla 4.1) f_y : 275.00 MPa

Resistencia a corte Y (CTE DB SE-A, Artículo 6.2.4)

La comprobación no procede, ya que no hay esfuerzo cortante.

Resistencia a momento flector Y y fuerza cortante Z combinados (CTE DB SE-A, Artículo 6.2.8)

No es necesario reducir la resistencia de cálculo a flexión, ya que el esfuerzo cortante solicitante de cálculo pésimo V_{Ed} no es superior al 50% de la resistencia de cálculo a cortante $V_{c,Rd}$.

$$V_{Ed} \leq \frac{V_{c,Rd}}{2} \qquad 0.18 \text{ kN} \leq 26.72 \text{ kN}$$

Los esfuerzos solicitantes de cálculo pésimos se producen en el nudo N12, para la combinación de acciones 1.35·PP.

V_{Ed}: Esfuerzo cortante solicitante de cálculo pésimo. V_{Ed} : 0.18 kN

$V_{c,Rd}$: Esfuerzo cortante resistente de cálculo. $V_{c,Rd}$: 53.43 kN

Resistencia a momento flector Z y fuerza cortante Y combinados (CTE DB SE-A, Artículo 6.2.8)

No hay interacción entre momento flector y esfuerzo cortante para ninguna combinación. Por lo tanto, la comprobación no procede.

Resistencia a flexión y axil combinados (CTE DB SE-A, Artículo 6.2.8)

El axil de compresión es excesivo y supera los axiles críticos de pandeo.

Resistencia a flexión, axil y cortante combinados (CTE DB SE-A, Artículo 6.2.8)

No es necesario reducir las resistencias de cálculo a flexión y a axil, ya que se puede ignorar el efecto de abolladura por esfuerzo cortante y, además, el esfuerzo cortante solicitante de cálculo pésimo V_{Ed} es menor o igual que el 50% del esfuerzo cortante resistente de cálculo $V_{c,Rd}$.

Los esfuerzos solicitantes de cálculo pésimos se producen en el nudo N12, para la combinación de acciones 1.35·PP.

$$V_{Ed,z} \leq \frac{V_{c,Rd,z}}{2} \qquad 0.18 \text{ kN} \leq 26.72 \text{ kN}$$

Donde:

$V_{Ed,z}$: Esfuerzo cortante solicitante de cálculo pésimo. $V_{Ed,z}$: 0.18 kN

$V_{c,Rd,z}$: Esfuerzo cortante resistente de cálculo. $V_{c,Rd,z}$: 53.43 kN

Resistencia a torsión (CTE DB SE-A, Artículo 6.2.7)

La comprobación no procede, ya que no hay momento torsor.

Resistencia a cortante Z y momento torsor combinados (CTE DB SE-A, Artículo 6.2.8)

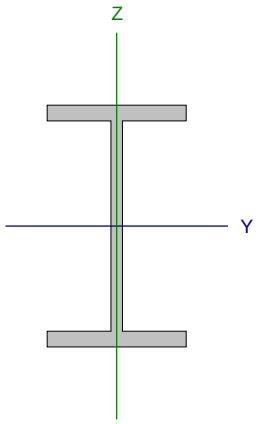
No hay interacción entre momento torsor y esfuerzo cortante para ninguna combinación. Por lo tanto, la comprobación no procede.

Resistencia a cortante Y y momento torsor combinados (CTE DB SE-A, Artículo 6.2.8)

No hay interacción entre momento torsor y esfuerzo cortante para ninguna combinación. Por lo tanto, la comprobación no procede.

Barra N14/N16

Perfil: IPE 80
Material: Acero (S275)



Nudos		Longitud (m)	Características mecánicas			
Inicial	Final		Área (cm²)	I_y (1) (cm4)	I_z (1) (cm4)	I_t (2) (cm4)
N14	N16	4.600	7.60	80.10	8.49	0.67

Notas:
(1) *Inercia respecto al eje indicado*
(2) *Momento de inercia a torsión uniforme*

	Pandeo		Pandeo lateral	
	Plano XY	Plano XZ	Ala sup.	Ala inf.
β	1.00	1.00	0.00	0.00
L_K	4.600	4.600	0.000	0.000
C_m	1.000	1.000	1.000	1.000
C_1	-		1.000	

Notación:
b: Coeficiente de pandeo
L_K: Longitud de pandeo (m)
C_m: Coeficiente de momentos
C_1: Factor de modificación para el momento crítico

Limitación de esbeltez (CTE DB SE-A, Artículos 6.3.1 y 6.3.2.1 - Tabla 6.3)

La esbeltez reducida $\bar{\lambda}$ de las barras comprimidas debe ser inferior al valor 2.0.

$$\bar{\lambda} = \sqrt{\frac{A \cdot f_y}{N_{cr}}}$$

`l : 5.01

Donde:

Clase: Clase de la sección, según la capacidad de deformación y de desarrollo de la resistencia plástica de los elementos planos comprimidos de una sección. Clase : 1

A: Área de la sección bruta para las secciones de clase 1, 2 y 3. A : 7.60 cm²

f_y: Límite elástico. (CTE DB SE-A, Tabla 4.1) f_y : 275.00 MPa

N_{cr}: Axil crítico de pandeo elástico. N_{cr} : 8.32 kN

El axil crítico de pandeo elástico N_{cr} es el menor de los valores obtenidos en a), b) y c):

a) Axil crítico elástico de pandeo por flexión respecto al eje Y. $N_{cr,y}$: 78.46 kN

$$\mathbf{N_{cr,y}} = \frac{\pi^2 \cdot E \cdot I_y}{L_{ky}^2}$$

b) Axil crítico elástico de pandeo por flexión respecto al eje Z. $N_{cr,z}$: 8.32 kN

$$\mathbf{N_{cr,z}} = \frac{\pi^2 \cdot E \cdot I_z}{L_{kz}^2}$$

c) Axil crítico elástico de pandeo por torsión. $N_{cr,T}$: ∞

$$\mathbf{N_{cr,T}} = \frac{1}{i_0^2} \cdot \left[G \cdot I_t + \frac{\pi^2 \cdot E \cdot I_w}{L_{kt}^2} \right]$$

Donde:

I_y: Momento de inercia de la sección bruta, respecto al eje Y. I_y : 80.10 cm4

I_z: Momento de inercia de la sección bruta, respecto al eje Z. I_z : 8.49 cm4

I_t: Momento de inercia a torsión uniforme. I_t : 0.67 cm4

I_w: Constante de alabeo de la sección. I_w : 120.00 cm6

E: Módulo de elasticidad. E : 210000 MPa

G: Módulo de elasticidad transversal. G : 81000 MPa

L_{ky}: Longitud efectiva de pandeo por flexión, respecto al eje Y. L_{ky} : 4.600 m

L_{kz}: Longitud efectiva de pandeo por flexión, respecto al eje Z. L_{kz} : 4.600 m

L_{kt}: Longitud efectiva de pandeo por torsión. L_{kt} : 0.000 m

i_0: Radio de giro polar de la sección bruta, respecto al centro de torsión. i_0 : 3.41 cm

$$\mathbf{i_0} = \left(i_y^2 + i_z^2 + y_0^2 + z_0^2 \right)^{0.5}$$

Siendo:

i_y , i_z: Radios de giro de la sección bruta, respecto a los ejes principales de inercia Y y Z. i_y : 3.25 cm

i_z : 1.06 cm

y_0 , z_0: Coordenadas del centro de torsión en la dirección de los ejes principales Y y Z, respectivamente, relativas al centro de gravedad de la sección. y_0 : 0.00 mm

z_0 : 0.00 mm

Abolladura del alma inducida por el ala comprimida (Criterio de CYPE, basado en: Eurocódigo 3 EN 1993-1-5: 2006, Artículo 8)

Se debe satisfacer:

$$\frac{h_w}{t_w} \leq k \frac{E}{f_{yf}} \sqrt{\frac{A_w}{A_{fc,ef}}}$$

18.32 £ 240.89 ✓

Donde:

h_w: Altura del alma. h_w : 69.60 mm

t_w: Espesor del alma. t_w : 3.80 mm

A_w: Área del alma. A_w : 2.64 cm²

$A_{fc,ef}$: Área reducida del ala comprimida. $A_{fc,ef}$: 2.39 cm²

k: Coeficiente que depende de la clase de la sección. k : 0.30

E: Módulo de elasticidad. E : 210000 MPa

f_{yf}: Límite elástico del acero del ala comprimida. f_{yf} : 275.00 MPa

Siendo:

$$f_{yf} = f_y$$

Resistencia a tracción (CTE DB SE-A, Artículo 6.2.3)

Se debe satisfacer:

$$\eta = \frac{N_{t,Ed}}{N_{t,Rd}} \leq 1$$

h : 0.078 ✓

El esfuerzo solicitante de cálculo pésimo se produce para la combinación de acciones 0.8·PP+1.5·T1+1.5·T3.

$N_{t,Ed}$: Axil de tracción solicitante de cálculo pésimo. $N_{t,Ed}$: 15.56 kN

La resistencia de cálculo a tracción $N_{t,Rd}$ viene dada por:

$$N_{t,Rd} = A \cdot f_{yd}$$

$N_{t,Rd}$: 199.05 kN

Donde:

A: Área bruta de la sección transversal de la barra. A : 7.60 cm²

f_{yd}: Resistencia de cálculo del acero. f_{yd} : 261.90 MPa

$$f_{yd} = f_y / \gamma_{M0}$$

Siendo:

f_y: Límite elástico. (CTE DB SE-A, Tabla 4.1) f_y : 275.00 MPa

g_{M0}: Coeficiente parcial de seguridad del material. g_{M0} : 1.05

Resistencia a compresión (CTE DB SE-A, Artículo 6.2.5) ✗

Se debe satisfacer:

$$\eta = \frac{N_{c,Ed}}{N_{c,Rd}} \leq 1$$

h : 0.081 ✓

$$\eta = \frac{N_{c,Ed}}{N_{b,Rd}} \leq 1$$ h : 2.167

El esfuerzo solicitante de cálculo pésimo se produce para la combinación de acciones 1.35·PP+1.5·T2+1.5·T4.

$N_{c,Ed}$: Axil de compresión solicitante de cálculo pésimo. $N_{c,Ed}$: 16.08 kN

La resistencia de cálculo a compresión $N_{c,Rd}$ viene dada por:

$$\mathbf{N_{c,Rd}} = A \cdot f_{yd}$$ $N_{c,Rd}$: 199.05 kN

Donde:

Clase: Clase de la sección, según la capacidad de deformación y de desarrollo de la resistencia plástica de los elementos planos comprimidos de una sección. Clase : 1

A: Área de la sección bruta para las secciones de clase 1, 2 y 3. A : 7.60 cm²

f_{yd}: Resistencia de cálculo del acero. f_{yd} : 261.90 MPa

$$\mathbf{f_{yd}} = f_y / \gamma_{M0}$$

Siendo:

f_y: Límite elástico. (CTE DB SE-A, Tabla 4.1) f_y : 275.00 MPa

g_{M0}: Coeficiente parcial de seguridad del material. g_{M0} : 1.05

Resistencia a pandeo: (CTE DB SE-A, Artículo 6.3.2)

La resistencia de cálculo a pandeo $N_{b,Rd}$ en una barra comprimida viene dada por:

$$\mathbf{N_{b,Rd}} = \chi \cdot A \cdot f_{yd}$$ $N_{b,Rd}$: 7.42 kN

Donde:

A: Área de la sección bruta para las secciones de clase 1, 2 y 3. A : 7.60 cm²

f_{yd}: Resistencia de cálculo del acero. f_{yd} : 261.90 MPa

$$\mathbf{f_{yd}} = f_y / \gamma_{M1}$$

Siendo:

f_y: Límite elástico. (CTE DB SE-A, Tabla 4.1) f_y : 275.00 MPa

g_{M1}: Coeficiente parcial de seguridad del material. g_{M1} : 1.05

c: Coeficiente de reducción por pandeo.

$$\chi = \frac{1}{\Phi + \sqrt{\Phi^2 - \left(\bar{\lambda}\right)^2}} \leq 1$$ c_y : 0.32

c_z : 0.04

Siendo:

$$\Phi = 0.5 \cdot \left[1 + \alpha \cdot \left(\bar{\lambda} - 0.2\right) + \left(\bar{\lambda}\right)^2\right]$$ f_y : 1.98

f_z : 13.88

a: Coeficiente de imperfección elástica. a_y : 0.21

a_z : 0.34

`l: Esbeltez reducida.

$$\bar{\lambda} = \sqrt{\frac{A \cdot f_y}{N_{cr}}}$$ `l_y : 1.63

`l_z : 5.01

N_{cr}: Axil crítico elástico de pandeo, obtenido como el menor de los siguientes valores: N_{cr} : 8.32 kN

$N_{cr,y}$: Axil crítico elástico de pandeo por flexión respecto al eje Y. $N_{cr,y}$: 78.46 kN

$N_{cr,z}$: Axil crítico elástico de pandeo por flexión respecto al eje Z. $N_{cr,z}$: 8.32 kN

$N_{cr,T}$: Axil crítico elástico de pandeo por torsión. $N_{cr,T}$: ∞

Resistencia a flexión eje Y (CTE DB SE-A, Artículo 6.2.6)

Se debe satisfacer:

$$\eta = \frac{M_{Ed}}{M_{c,Rd}} \leq 1$$ h : 0.033 ✓

Para flexión positiva:

M_{Ed}^{+}: Momento flector solicitante de cálculo pésimo. M_{Ed}^{+} : 0.00 kN·m

Para flexión negativa:

El esfuerzo solicitante de cálculo pésimo se produce en el nudo N16, para la combinación de acciones 1.35·PP+1.5·T1+1.5·T3.

M_{Ed}^{-}: Momento flector solicitante de cálculo pésimo. M_{Ed}^{-} : 0.20 kN·m

El momento flector resistente de cálculo $M_{c,Rd}$ viene dado por:

$$\mathbf{M_{c,Rd}} = W_{pl,y} \cdot f_{yd}$$ $M_{c,Rd}$: 6.08 kN·m

Donde:

Clase: Clase de la sección, según la capacidad de deformación y de desarrollo de la resistencia plástica de los elementos planos de una sección a flexión simple. Clase : 1

$W_{pl,y}$: Módulo resistente plástico correspondiente a la fibra con mayor tensión, para las secciones de clase 1 y 2. $W_{pl,y}$: 23.20 cm^3

f_{yd}: Resistencia de cálculo del acero. f_{yd} : 261.90 MPa

$$\mathbf{f_{yd}} = f_y / \gamma_{M0}$$

Siendo:

f_y: Límite elástico. (CTE DB SE-A, Tabla 4.1) f_y : 275.00 MPa

g_{M0}: Coeficiente parcial de seguridad del material. g_{M0} : 1.05

Resistencia a pandeo lateral: (CTE DB SE-A, Artículo 6.3.3.2)

No procede, dado que las longitudes de pandeo lateral son nulas.

Resistencia a flexión eje Z (CTE DB SE-A, Artículo 6.2.6)

La comprobación no procede, ya que no hay momento flector.

Resistencia a corte Z (CTE DB SE-A, Artículo 6.2.4)

Se debe satisfacer:

$$\eta = \frac{V_{Ed}}{V_{c,Rd}} \leq 1$$

h : 0.004 ✓

El esfuerzo solicitante de cálculo pésimo se produce en el nudo N14, para la combinación de acciones 1.35·PP+1.5·T2+1.5·T4.

V_{Ed}: Esfuerzo cortante solicitante de cálculo pésimo. V_{Ed} : 0.21 kN

El esfuerzo cortante resistente de cálculo $V_{c,Rd}$ viene dado por:

$$\mathbf{V_{c,Rd}} = A_V \cdot \frac{f_{yd}}{\sqrt{3}}$$

$V_{c,Rd}$: 53.43 kN

Donde:

A_v: Área transversal a cortante. A_v : 3.53 cm²

$$\mathbf{A_V} = A - 2 \cdot b \cdot t_f + (t_w + 2 \cdot r) \cdot t_f$$

Siendo:

A: Área bruta de la sección transversal de la barra. A : 7.60 cm²

b: Ancho de la sección. b : 46.00 mm

t_f: Espesor del ala. t_f : 5.20 mm

t_w: Espesor del alma. t_w : 3.80 mm

r: Radio de acuerdo entre ala y alma. r : 5.00 mm

f_{yd}: Resistencia de cálculo del acero. f_{yd} : 261.90 MPa

$$\mathbf{f_{yd}} = f_y / \gamma_{M0}$$

Siendo:

f_y: Límite elástico. (CTE DB SE-A, Tabla 4.1) f_y : 275.00 MPa

γ_{M0}: Coeficiente parcial de seguridad del material. γ_{M0} : 1.05

Abolladura por cortante del alma: (CTE DB SE-A, Artículo 6.3.3.4)

Aunque no se han dispuesto rigidizadores transversales, no es necesario comprobar la resistencia a la abolladura del alma, puesto que se cumple:

$$\frac{\mathbf{d}}{\mathbf{t_w}} < 70 \cdot \varepsilon$$

15.68 < 64.71 ✓

Donde:

λ_w: Esbeltez del alma. λ_w : 15.68

$$\lambda_{\mathbf{w}} = \frac{d}{t_w}$$

$\lambda_{máx}$: Esbeltez máxima. $\lambda_{máx}$: 64.71

$$\lambda_{\mathbf{max}} = 70 \cdot \varepsilon$$

e: Factor de reducción. e : 0.92

$$\varepsilon = \sqrt{\frac{f_{ref}}{f_y}}$$

Siendo:

f_{ref}: Límite elástico de referencia. f_{ref} : 235.00 MPa

f_y: Límite elástico. (CTE DB SE-A, Tabla 4.1) f_y : 275.00 MPa

Resistencia a corte Y (CTE DB SE-A, Artículo 6.2.4)

La comprobación no procede, ya que no hay esfuerzo cortante.

Resistencia a momento flector Y y fuerza cortante Z combinados (CTE DB SE-A, Artículo 6.2.8)

No es necesario reducir la resistencia de cálculo a flexión, ya que el esfuerzo cortante solicitante de cálculo pésimo V_{Ed} no es superior al 50% de la resistencia de cálculo a cortante $V_{c,Rd}$.

$$V_{Ed} \leq \frac{V_{c,Rd}}{2} \qquad 0.21 \text{ kN} \leq 26.72 \text{ kN}$$

Los esfuerzos solicitantes de cálculo pésimos se producen para la combinación de acciones 1.35·PP+1.5·T2+1.5·T4.

V_{Ed}: Esfuerzo cortante solicitante de cálculo pésimo. V_{Ed} : 0.21 kN

$V_{c,Rd}$: Esfuerzo cortante resistente de cálculo. $V_{c,Rd}$: 53.43 kN

Resistencia a momento flector Z y fuerza cortante Y combinados (CTE DB SE-A, Artículo 6.2.8)

No hay interacción entre momento flector y esfuerzo cortante para ninguna combinación. Por lo tanto, la comprobación no procede.

Resistencia a flexión y axil combinados (CTE DB SE-A, Artículo 6.2.8)

El axil de compresión es excesivo y supera los axiles críticos de pandeo.

Resistencia a flexión, axil y cortante combinados (CTE DB SE-A, Artículo 6.2.8)

No es necesario reducir las resistencias de cálculo a flexión y a axil, ya que se puede ignorar el efecto de abolladura por esfuerzo cortante y, además, el esfuerzo cortante solicitante de cálculo pésimo V_{Ed} es menor o igual que el 50% del esfuerzo cortante resistente de cálculo $V_{c,Rd}$.

Los esfuerzos solicitantes de cálculo pésimos se producen para la combinación de acciones 1.35·PP+1.5·T2+1.5·T4.

$$V_{Ed,z} \leq \frac{V_{c,Rd,z}}{2} \qquad 0.21 \text{ kN} \leq 26.72 \text{ kN}$$

Donde:

$V_{Ed,z}$: Esfuerzo cortante solicitante de cálculo pésimo. $V_{Ed,z}$: 0.21 kN

$V_{c,Rd,z}$: Esfuerzo cortante resistente de cálculo. $V_{c,Rd,z}$: 53.43 kN

Resistencia a torsión (CTE DB SE-A, Artículo 6.2.7)

La comprobación no procede, ya que no hay momento torsor.

Resistencia a cortante Z y momento torsor combinados (CTE DB SE-A, Artículo 6.2.8)

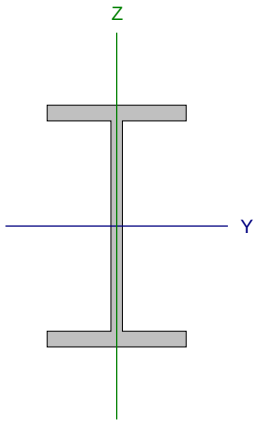
No hay interacción entre momento torsor y esfuerzo cortante para ninguna combinación. Por lo tanto, la comprobación no procede.

Resistencia a cortante Y y momento torsor combinados (CTE DB SE-A, Artículo 6.2.8)

No hay interacción entre momento torsor y esfuerzo cortante para ninguna combinación. Por lo tanto, la comprobación no procede.

Barra N16/N18

Perfil: IPE 80
Material: Acero (S275)



Nudos		Longitud (m)	Características mecánicas			
Inicial	Final		Área (cm²)	I_y (1) (cm4)	I_z (1) (cm4)	I_t (2) (cm4)
N16	N18	4.600	7.60	80.10	8.49	0.67

Notas:
(1) *Inercia respecto al eje indicado*
(2) *Momento de inercia a torsión uniforme*

	Pandeo		Pandeo lateral	
	Plano XY	Plano XZ	Ala sup.	Ala inf.
β	1.00	1.00	0.00	0.00
L_K	4.600	4.600	0.000	0.000
C_m	1.000	1.000	1.000	1.000
C_1	-		1.000	

Notación:
b: Coeficiente de pandeo
L_K: Longitud de pandeo (m)
C_m: Coeficiente de momentos
C_1: Factor de modificación para el momento crítico

Limitación de esbeltez (CTE DB SE-A, Artículos 6.3.1 y 6.3.2.1 - Tabla 6.3)

La esbeltez reducida $\bar{\lambda}$ de las barras comprimidas debe ser inferior al valor 2.0.

$$\bar{\lambda} = \sqrt{\frac{A \cdot f_y}{N_{cr}}}$$

`l : 5.01

Donde:

Clase: Clase de la sección, según la capacidad de deformación y de desarrollo de la resistencia plástica de los elementos planos comprimidos de una sección. Clase : 1

A: Área de la sección bruta para las secciones de clase 1, 2 y 3. A : 7.60 cm²

f_y: Límite elástico. (CTE DB SE-A, Tabla 4.1) f_y : 275.00 MPa

N_{cr}: Axil crítico de pandeo elástico. N_{cr} : 8.32 kN

El axil crítico de pandeo elástico N_{cr} es el menor de los valores obtenidos en a), b) y c):

a) Axil crítico elástico de pandeo por flexión respecto al eje Y. $N_{cr,y}$: 78.46 kN

$$\mathbf{N_{cr,y}} = \frac{\pi^2 \cdot E \cdot I_y}{L_{ky}^2}$$

b) Axil crítico elástico de pandeo por flexión respecto al eje Z. $N_{cr,z}$: 8.32 kN

$$\mathbf{N_{cr,z}} = \frac{\pi^2 \cdot E \cdot I_z}{L_{kz}^2}$$

c) Axil crítico elástico de pandeo por torsión. $N_{cr,T}$: ∞

$$\mathbf{N_{cr,T}} = \frac{1}{i_0^2} \cdot \left[G \cdot I_t + \frac{\pi^2 \cdot E \cdot I_w}{L_{kt}^2} \right]$$

Donde:

I_y: Momento de inercia de la sección bruta, respecto al eje Y. I_y : 80.10 cm4

I_z: Momento de inercia de la sección bruta, respecto al eje Z. I_z : 8.49 cm4

I_t: Momento de inercia a torsión uniforme. I_t : 0.67 cm4

I_w: Constante de alabeo de la sección. I_w : 120.00 cm6

E: Módulo de elasticidad. E : 210000 MPa

G: Módulo de elasticidad transversal. G : 81000 MPa

L_{ky}: Longitud efectiva de pandeo por flexión, respecto al eje Y. L_{ky} : 4.600 m

L_{kz}: Longitud efectiva de pandeo por flexión, respecto al eje Z. L_{kz} : 4.600 m

L_{kt}: Longitud efectiva de pandeo por torsión. L_{kt} : 0.000 m

i_0: Radio de giro polar de la sección bruta, respecto al centro de torsión. i_0 : 3.41 cm

$$\mathbf{i_0} = \left(i_y^2 + i_z^2 + y_0^2 + z_0^2 \right)^{0.5}$$

Siendo:

i_y , i_z: Radios de giro de la sección bruta, respecto a los ejes principales de inercia Y y Z. i_y : 3.25 cm

i_z : 1.06 cm

y_0 , z_0: Coordenadas del centro de torsión en la dirección de los ejes principales Y y Z, respectivamente, relativas al centro de gravedad de la sección. y_0 : 0.00 mm

z_0 : 0.00 mm

Abolladura del alma inducida por el ala comprimida (Criterio de CYPE, basado en: Eurocódigo 3 EN 1993-1-5: 2006, Artículo 8)

Se debe satisfacer:

$$\frac{h_w}{t_w} \leq k \frac{E}{f_{yf}} \sqrt{\frac{A_w}{A_{fc,ef}}}$$ 18.32 £ 240.89 ✓

Donde:

h_w: Altura del alma. h_w : 69.60 mm

t_w: Espesor del alma. t_w : 3.80 mm

A_w: Área del alma. A_w : 2.64 cm²

$A_{fc,ef}$: Área reducida del ala comprimida. $A_{fc,ef}$: 2.39 cm²

k: Coeficiente que depende de la clase de la sección. k : 0.30

E: Módulo de elasticidad. E : 210000 MPa

f_{yf}: Límite elástico del acero del ala comprimida. f_{yf} : 275.00 MPa

Siendo:

$f_{yf} = f_y$

Resistencia a tracción (CTE DB SE-A, Artículo 6.2.3)

Se debe satisfacer:

$$\eta = \frac{N_{t,Ed}}{N_{t,Rd}} \leq 1$$ h : 0.055 ✓

El esfuerzo solicitante de cálculo pésimo se produce para la combinación de acciones 0.8·PP+1.5·T1+1.5·T3.

$N_{t,Ed}$: Axil de tracción solicitante de cálculo pésimo. $N_{t,Ed}$: 10.92 kN

La resistencia de cálculo a tracción $N_{t,Rd}$ viene dada por:

$\mathbf{N_{t,Rd}} = A \cdot f_{yd}$ $N_{t,Rd}$: 199.05 kN

Donde:

A: Área bruta de la sección transversal de la barra. A : 7.60 cm²

f_{yd}: Resistencia de cálculo del acero. f_{yd} : 261.90 MPa

$\mathbf{f_{yd}} = f_y / \gamma_{M0}$

Siendo:

f_y: Límite elástico. (CTE DB SE-A, Tabla 4.1) f_y : 275.00 MPa

g_{M0}: Coeficiente parcial de seguridad del material. g_{M0} : 1.05

Resistencia a compresión (CTE DB SE-A, Artículo 6.2.5) ✗

Se debe satisfacer:

$$\eta = \frac{N_{c,Ed}}{N_{c,Rd}} \leq 1$$ h : 0.057 ✓

$$\eta = \frac{N_{c,Ed}}{N_{b,Rd}} \leq 1$$ h : 1.541

El esfuerzo solicitante de cálculo pésimo se produce para la combinación de acciones 1.35·PP+1.5·T2+1.5·T4.

$N_{c,Ed}$: Axil de compresión solicitante de cálculo pésimo. $N_{c,Ed}$: 11.43 kN

La resistencia de cálculo a compresión $N_{c,Rd}$ viene dada por:

$$\mathbf{N_{c,Rd}} = A \cdot f_{yd}$$ $N_{c,Rd}$: 199.05 kN

Donde:

Clase: Clase de la sección, según la capacidad de deformación y de desarrollo de la resistencia plástica de los elementos planos comprimidos de una sección. Clase : 1

A: Área de la sección bruta para las secciones de clase 1, 2 y 3. A : 7.60 cm²

f_{yd}: Resistencia de cálculo del acero. f_{yd} : 261.90 MPa

$$\mathbf{f_{yd}} = f_y / \gamma_{M0}$$

Siendo:

f_y: Límite elástico. (CTE DB SE-A, Tabla 4.1) f_y : 275.00 MPa

g_{M0}: Coeficiente parcial de seguridad del material. g_{M0} : 1.05

Resistencia a pandeo: (CTE DB SE-A, Artículo 6.3.2)

La resistencia de cálculo a pandeo $N_{b,Rd}$ en una barra comprimida viene dada por:

$$\mathbf{N_{b,Rd}} = \chi \cdot A \cdot f_{yd}$$ $N_{b,Rd}$: 7.42 kN

Donde:

A: Área de la sección bruta para las secciones de clase 1, 2 y 3. A : 7.60 cm²

f_{yd}: Resistencia de cálculo del acero. f_{yd} : 261.90 MPa

$$\mathbf{f_{yd}} = f_y / \gamma_{M1}$$

Siendo:

f_y: Límite elástico. (CTE DB SE-A, Tabla 4.1) f_y : 275.00 MPa

g_{M1}: Coeficiente parcial de seguridad del material. g_{M1} : 1.05

c: Coeficiente de reducción por pandeo.

$$\chi = \frac{1}{\Phi + \sqrt{\Phi^2 - \left(\bar{\lambda}\right)^2}} \leq 1$$ c_y : 0.32

c_z : 0.04

Siendo:

$$\Phi = 0.5 \cdot \left[1 + \alpha \cdot \left(\bar{\lambda} - 0.2\right) + \left(\bar{\lambda}\right)^2\right]$$ f_y : 1.98

f_z : 13.88

a: Coeficiente de imperfección elástica. a_y : 0.21

a_z : 0.34

`l: Esbeltez reducida.

$$\bar{\lambda} = \sqrt{\frac{A \cdot f_y}{N_{cr}}}$$ `l_y : 1.63

`l_z : 5.01

N_{cr}: Axil crítico elástico de pandeo, obtenido como el menor de los siguientes valores: N_{cr} : 8.32 kN

$N_{cr,y}$: Axil crítico elástico de pandeo por flexión respecto al eje Y. $N_{cr,y}$: 78.46 kN

$N_{cr,z}$: Axil crítico elástico de pandeo por flexión respecto al eje Z. $N_{cr,z}$: 8.32 kN

$N_{cr,T}$: Axil crítico elástico de pandeo por torsión. $N_{cr,T}$: ∞

Resistencia a flexión eje Y (CTE DB SE-A, Artículo 6.2.6)

Se debe satisfacer:

$$\eta = \frac{M_{Ed}}{M_{c,Rd}} \leq 1$$

h : 0.039 ✓

Para flexión positiva:

El esfuerzo solicitante de cálculo pésimo se produce en el nudo N18, para la combinación de acciones 0.8·PP+1.5·T2+1.5·T4.

M_{Ed}^{+}: Momento flector solicitante de cálculo pésimo. M_{Ed}^{+} : 0.01 kN·m

Para flexión negativa:

El esfuerzo solicitante de cálculo pésimo se produce en el nudo N18, para la combinación de acciones 1.35·PP+1.5·T1+1.5·T3.

M_{Ed}^{-}: Momento flector solicitante de cálculo pésimo. M_{Ed}^{-} : 0.23 kN·m

El momento flector resistente de cálculo $M_{c,Rd}$ viene dado por:

$$\mathbf{M_{c,Rd}} = W_{pl,y} \cdot f_{yd}$$

$M_{c,Rd}$: 6.08 kN·m

Donde:

Clase: Clase de la sección, según la capacidad de deformación y de desarrollo de la resistencia plástica de los elementos planos de una sección a flexión simple. Clase : 1

$W_{pl,y}$: Módulo resistente plástico correspondiente a la fibra con mayor tensión, para las secciones de clase 1 y 2. $W_{pl,y}$: 23.20 cm³

f_{yd}: Resistencia de cálculo del acero. f_{yd} : 261.90 MPa

$$\mathbf{f_{yd}} = f_y / \gamma_{M0}$$

Siendo:

f_y: Límite elástico. (CTE DB SE-A, Tabla 4.1) f_y : 275.00 MPa

g_{M0}: Coeficiente parcial de seguridad del material. g_{M0} : 1.05

Resistencia a pandeo lateral: (CTE DB SE-A, Artículo 6.3.3.2)

No procede, dado que las longitudes de pandeo lateral son nulas.

Resistencia a flexión eje Z (CTE DB SE-A, Artículo 6.2.6)

La comprobación no procede, ya que no hay momento flector.

Resistencia a corte Z (CTE DB SE-A, Artículo 6.2.4)

Se debe satisfacer:

$$\eta = \frac{V_{Ed}}{V_{c,Rd}} \leq 1$$

h : 0.004 ✓

El esfuerzo solicitante de cálculo pésimo se produce en el nudo N16, para la combinación de acciones 1.35·PP+1.5·T2+1.5·T4.

V_{Ed}: Esfuerzo cortante solicitante de cálculo pésimo. V_{Ed} : 0.22 kN

El esfuerzo cortante resistente de cálculo $V_{c,Rd}$ viene dado por:

$$\mathbf{V_{c,Rd}} = A_V \cdot \frac{f_{yd}}{\sqrt{3}}$$

$V_{c,Rd}$: 53.43 kN

Donde:

A_v: Área transversal a cortante. A_v : 3.53 cm²

$$\mathbf{A_V} = A - 2 \cdot b \cdot t_f + (t_w + 2 \cdot r) \cdot t_f$$

Siendo:

A: Área bruta de la sección transversal de la barra. A : 7.60 cm²

b: Ancho de la sección. b : 46.00 mm

t_f: Espesor del ala. t_f : 5.20 mm

t_w: Espesor del alma. t_w : 3.80 mm

r: Radio de acuerdo entre ala y alma. r : 5.00 mm

f_{yd}: Resistencia de cálculo del acero. f_{yd} : 261.90 MPa

$$\mathbf{f_{yd}} = f_y / \gamma_{M0}$$

Siendo:

f_y: Límite elástico. (CTE DB SE-A, Tabla 4.1) f_y : 275.00 MPa

γ_{M0}: Coeficiente parcial de seguridad del material. γ_{M0} : 1.05

Abolladura por cortante del alma: (CTE DB SE-A, Artículo 6.3.3.4)

Aunque no se han dispuesto rigidizadores transversales, no es necesario comprobar la resistencia a la abolladura del alma, puesto que se cumple:

$$\frac{\mathbf{d}}{\mathbf{t_w}} < 70 \cdot \varepsilon$$

15.68 < 64.71 ✓

Donde:

λ_w: Esbeltez del alma. λ_w : 15.68

$$\lambda_w = \frac{d}{t_w}$$

$\lambda_{máx}$: Esbeltez máxima. $\lambda_{máx}$: 64.71

$$\lambda_{max} = 70 \cdot \varepsilon$$

e: Factor de reducción. e : 0.92

$$\varepsilon = \sqrt{\frac{f_{ref}}{f_y}}$$

Siendo:

f_{ref}: Límite elástico de referencia. f_{ref} : 235.00 MPa

f_y: Límite elástico. (CTE DB SE-A, Tabla 4.1) f_y : 275.00 MPa

Resistencia a corte Y (CTE DB SE-A, Artículo 6.2.4)

La comprobación no procede, ya que no hay esfuerzo cortante.

Resistencia a momento flector Y y fuerza cortante Z combinados (CTE DB SE-A, Artículo 6.2.8)

No es necesario reducir la resistencia de cálculo a flexión, ya que el esfuerzo cortante solicitante de cálculo pésimo V_{Ed} no es superior al 50% de la resistencia de cálculo a cortante $V_{c,Rd}$.

$$V_{Ed} \leq \frac{V_{c,Rd}}{2} \qquad 0.22 \text{ kN} \leq 26.72 \text{ kN}$$

Los esfuerzos solicitantes de cálculo pésimos se producen para la combinación de acciones 1.35·PP+1.5·T2+1.5·T4.

V_{Ed}: Esfuerzo cortante solicitante de cálculo pésimo. V_{Ed} : 0.22 kN

$V_{c,Rd}$: Esfuerzo cortante resistente de cálculo. $V_{c,Rd}$: 53.43 kN

Resistencia a momento flector Z y fuerza cortante Y combinados (CTE DB SE-A, Artículo 6.2.8)

No hay interacción entre momento flector y esfuerzo cortante para ninguna combinación. Por lo tanto, la comprobación no procede.

Resistencia a flexión y axil combinados (CTE DB SE-A, Artículo 6.2.8)

El axil de compresión es excesivo y supera los axiles críticos de pandeo.

Resistencia a flexión, axil y cortante combinados (CTE DB SE-A, Artículo 6.2.8)

No es necesario reducir las resistencias de cálculo a flexión y a axil, ya que se puede ignorar el efecto de abolladura por esfuerzo cortante y, además, el esfuerzo cortante solicitante de cálculo pésimo V_{Ed} es menor o igual que el 50% del esfuerzo cortante resistente de cálculo $V_{c,Rd}$.

Los esfuerzos solicitantes de cálculo pésimos se producen para la combinación de acciones 1.35·PP+1.5·T2+1.5·T4.

$$V_{Ed,z} \leq \frac{V_{c,Rd,z}}{2} \qquad 0.22 \text{ kN} \leq 26.72 \text{ kN}$$

Donde:

$V_{Ed,z}$: Esfuerzo cortante solicitante de cálculo pésimo. $V_{Ed,z}$: 0.22 kN

$V_{c,Rd,z}$: Esfuerzo cortante resistente de cálculo. $V_{c,Rd,z}$: 53.43 kN

Resistencia a torsión (CTE DB SE-A, Artículo 6.2.7)

La comprobación no procede, ya que no hay momento torsor.

Resistencia a cortante Z y momento torsor combinados (CTE DB SE-A, Artículo 6.2.8)

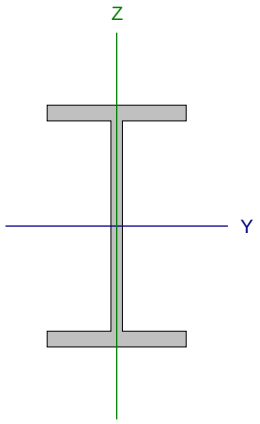
No hay interacción entre momento torsor y esfuerzo cortante para ninguna combinación. Por lo tanto, la comprobación no procede.

Resistencia a cortante Y y momento torsor combinados (CTE DB SE-A, Artículo 6.2.8)

No hay interacción entre momento torsor y esfuerzo cortante para ninguna combinación. Por lo tanto, la comprobación no procede.

Barra N18/N20

Perfil: IPE 80
Material: Acero (S275)



Nudos		Longitud (m)	Características mecánicas			
Inicial	Final		Área (cm²)	I_y (1) (cm4)	I_z (1) (cm4)	I_t (2) (cm4)
N18	N20	4.600	7.60	80.10	8.49	0.67

Notas:
(1) *Inercia respecto al eje indicado*
(2) *Momento de inercia a torsión uniforme*

	Pandeo		Pandeo lateral	
	Plano XY	Plano XZ	Ala sup.	Ala inf.
β	1.00	1.00	0.00	0.00
L_K	4.600	4.600	0.000	0.000
C_m	1.000	1.000	1.000	1.000
C_1	-		1.000	

Notación:
b: Coeficiente de pandeo
L_K: Longitud de pandeo (m)
C_m: Coeficiente de momentos
C_1: Factor de modificación para el momento crítico

Limitación de esbeltez (CTE DB SE-A, Artículos 6.3.1 y 6.3.2.1 - Tabla 6.3)

La esbeltez reducida $\bar{\lambda}$ de las barras comprimidas debe ser inferior al valor 2.0.

$$\bar{\lambda} = \sqrt{\frac{A \cdot f_y}{N_{cr}}}$$

`l : 5.01

Donde:

Clase: Clase de la sección, según la capacidad de deformación y de desarrollo de la resistencia plástica de los elementos planos comprimidos de una sección. Clase : 1

A: Área de la sección bruta para las secciones de clase 1, 2 y 3. A : 7.60 cm²

f_y: Límite elástico. (CTE DB SE-A, Tabla 4.1) f_y : 275.00 MPa

N_{cr}: Axil crítico de pandeo elástico. N_{cr} : 8.32 kN

El axil crítico de pandeo elástico N_{cr} es el menor de los valores obtenidos en a), b) y c):

a) Axil crítico elástico de pandeo por flexión respecto al eje Y. $N_{cr,y}$: 78.46 kN

$$\mathbf{N_{cr,y}} = \frac{\pi^2 \cdot E \cdot I_y}{L_{ky}^2}$$

b) Axil crítico elástico de pandeo por flexión respecto al eje Z. $N_{cr,z}$: 8.32 kN

$$\mathbf{N_{cr,z}} = \frac{\pi^2 \cdot E \cdot I_z}{L_{kz}^2}$$

c) Axil crítico elástico de pandeo por torsión. $N_{cr,T}$: ∞

$$\mathbf{N_{cr,T}} = \frac{1}{i_0^2} \cdot \left[G \cdot I_t + \frac{\pi^2 \cdot E \cdot I_w}{L_{kt}^2} \right]$$

Donde:

I_y: Momento de inercia de la sección bruta, respecto al eje Y. I_y : 80.10 cm4

I_z: Momento de inercia de la sección bruta, respecto al eje Z. I_z : 8.49 cm4

I_t: Momento de inercia a torsión uniforme. I_t : 0.67 cm4

I_w: Constante de alabeo de la sección. I_w : 120.00 cm6

E: Módulo de elasticidad. E : 210000 MPa

G: Módulo de elasticidad transversal. G : 81000 MPa

L_{ky}: Longitud efectiva de pandeo por flexión, respecto al eje Y. L_{ky} : 4.600 m

L_{kz}: Longitud efectiva de pandeo por flexión, respecto al eje Z. L_{kz} : 4.600 m

L_{kt}: Longitud efectiva de pandeo por torsión. L_{kt} : 0.000 m

i_0: Radio de giro polar de la sección bruta, respecto al centro de torsión. i_0 : 3.41 cm

$$\mathbf{i_0} = \left(i_y^2 + i_z^2 + y_0^2 + z_0^2 \right)^{0.5}$$

Siendo:

i_y , i_z: Radios de giro de la sección bruta, respecto a los ejes principales de inercia Y y Z. i_y : 3.25 cm

i_z : 1.06 cm

y_0 , z_0: Coordenadas del centro de torsión en la dirección de los ejes principales Y y Z, respectivamente, relativas al centro de gravedad de la sección. y_0 : 0.00 mm

z_0 : 0.00 mm

Abolladura del alma inducida por el ala comprimida (Criterio de CYPE, basado en: Eurocódigo 3 EN 1993-1-5: 2006, Artículo 8)

Se debe satisfacer:

$$\frac{h_w}{t_w} \leq k \frac{E}{f_{yf}} \sqrt{\frac{A_w}{A_{fc,ef}}}$$ 18.32 £ 240.89 ✓

Donde:

h_w: Altura del alma. h_w : 69.60 mm

t_w: Espesor del alma. t_w : 3.80 mm

A_w: Área del alma. A_w : 2.64 cm²

$A_{fc,ef}$: Área reducida del ala comprimida. $A_{fc,ef}$: 2.39 cm²

k: Coeficiente que depende de la clase de la sección. k : 0.30

E: Módulo de elasticidad. E : 210000 MPa

f_{yf}: Límite elástico del acero del ala comprimida. f_{yf} : 275.00 MPa

Siendo:

$f_{yf} = f_y$

Resistencia a tracción (CTE DB SE-A, Artículo 6.2.3)

Se debe satisfacer:

$$\eta = \frac{N_{t,Ed}}{N_{t,Rd}} \leq 1$$ h : 0.011 ✓

El esfuerzo solicitante de cálculo pésimo se produce para la combinación de acciones 0.8·PP+1.5·T1+1.5·T3.

$N_{t,Ed}$: Axil de tracción solicitante de cálculo pésimo. $N_{t,Ed}$: 2.21 kN

La resistencia de cálculo a tracción $N_{t,Rd}$ viene dada por:

$$N_{t,Rd} = A \cdot f_{yd}$$ $N_{t,Rd}$: 199.05 kN

Donde:

A: Área bruta de la sección transversal de la barra. A : 7.60 cm²

f_{yd}: Resistencia de cálculo del acero. f_{yd} : 261.90 MPa

$$f_{yd} = f_y / \gamma_{M0}$$

Siendo:

f_y: Límite elástico. (CTE DB SE-A, Tabla 4.1) f_y : 275.00 MPa

γ_{M0}: Coeficiente parcial de seguridad del material. γ_{M0} : 1.05

Resistencia a compresión (CTE DB SE-A, Artículo 6.2.5)

Se debe satisfacer:

$$\eta = \frac{N_{c,Ed}}{N_{c,Rd}} \leq 1$$ h : 0.014 ✓

$$\eta = \frac{N_{c,Ed}}{N_{b,Rd}} \leq 1$$ h : 0.368 ✓

El esfuerzo solicitante de cálculo pésimo se produce para la combinación de acciones 1.35·PP+1.5·T2+1.5·T4.

$N_{c,Ed}$: Axil de compresión solicitante de cálculo pésimo. $N_{c,Ed}$: 2.73 kN

La resistencia de cálculo a compresión $N_{c,Rd}$ viene dada por:

$\mathbf{N_{c,Rd}} = A \cdot f_{yd}$ $N_{c,Rd}$: 199.05 kN

Donde:

Clase: Clase de la sección, según la capacidad de deformación y de desarrollo de la resistencia plástica de los elementos planos comprimidos de una sección. Clase : 1

A: Área de la sección bruta para las secciones de clase 1, 2 y 3. A : 7.60 cm²

f_{yd}: Resistencia de cálculo del acero. f_{yd} : 261.90 MPa

$\mathbf{f_{yd}} = f_y / \gamma_{M0}$

Siendo:

f_y: Límite elástico. (CTE DB SE-A, Tabla 4.1) f_y : 275.00 MPa

g_{M0}: Coeficiente parcial de seguridad del material. g_{M0} : 1.05

Resistencia a pandeo: (CTE DB SE-A, Artículo 6.3.2)

La resistencia de cálculo a pandeo $N_{b,Rd}$ en una barra comprimida viene dada por:

$\mathbf{N_{b,Rd}} = \chi \cdot A \cdot f_{yd}$ $N_{b,Rd}$: 7.42 kN

Donde:

A: Área de la sección bruta para las secciones de clase 1, 2 y 3. A : 7.60 cm²

f_{yd}: Resistencia de cálculo del acero. f_{yd} : 261.90 MPa

$\mathbf{f_{yd}} = f_y / \gamma_{M1}$

Siendo:

f_y: Límite elástico. (CTE DB SE-A, Tabla 4.1) f_y : 275.00 MPa

g_{M1}: Coeficiente parcial de seguridad del material. g_{M1} : 1.05

c: Coeficiente de reducción por pandeo.

$$\chi = \frac{1}{\Phi + \sqrt{\Phi^2 - \left(\bar{\lambda}\right)^2}} \leq 1$$

c_y : 0.32

c_z : 0.04

Siendo:

$$\Phi = 0.5 \cdot \left[1 + \alpha \cdot \left(\bar{\lambda} - 0.2\right) + \left(\bar{\lambda}\right)^2\right]$$

f_y : 1.98

f_z : 13.88

a: Coeficiente de imperfección elástica. a_y : 0.21

a_z : 0.34

`l: Esbeltez reducida.

$$\bar{\lambda} = \sqrt{\frac{A \cdot f_y}{N_{cr}}}$$

$\grave{l}_y$: 1.63

$\grave{l}_z$: 5.01

N_{cr}: Axil crítico elástico de pandeo, obtenido como el menor de los siguientes valores: N_{cr} : 8.32 kN

$N_{cr,y}$: Axil crítico elástico de pandeo por flexión respecto al eje Y. $N_{cr,y}$: 78.46 kN

$N_{cr,z}$: Axil crítico elástico de pandeo por flexión respecto al eje Z. $N_{cr,z}$: 8.32 kN

$N_{cr,T}$: Axil crítico elástico de pandeo por torsión. $N_{cr,T}$: ∞

Resistencia a flexión eje Y (CTE DB SE-A, Artículo 6.2.6)

Se debe satisfacer:

$$\eta = \frac{M_{Ed}}{M_{c,Rd}} \leq 1$$

h : 0.035 ✓

Para flexión positiva:

M_{Ed}^{+}: Momento flector solicitante de cálculo pésimo. M_{Ed}^{+} : 0.00 kN·m

Para flexión negativa:

El esfuerzo solicitante de cálculo pésimo se produce en el nudo N18, para la combinación de acciones 1.35·PP+1.5·T2+1.5·T4.

M_{Ed}^{-}: Momento flector solicitante de cálculo pésimo. M_{Ed}^{-} : 0.21 kN·m

El momento flector resistente de cálculo $M_{c,Rd}$ viene dado por:

$$\mathbf{M_{c,Rd}} = W_{pl,y} \cdot f_{yd}$$ $M_{c,Rd}$: 6.08 kN·m

Donde:

Clase: Clase de la sección, según la capacidad de deformación y de desarrollo de la resistencia plástica de los elementos planos de una sección a flexión simple. Clase : 1

$W_{pl,y}$: Módulo resistente plástico correspondiente a la fibra con mayor tensión, para las secciones de clase 1 y 2. $W_{pl,y}$: 23.20 cm³

f_{yd}: Resistencia de cálculo del acero. f_{yd} : 261.90 MPa

$$\mathbf{f_{yd}} = f_y / \gamma_{M0}$$

Siendo:

f_y: Límite elástico. (CTE DB SE-A, Tabla 4.1) f_y : 275.00 MPa

γ_{M0}: Coeficiente parcial de seguridad del material. γ_{M0} : 1.05

Resistencia a pandeo lateral: (CTE DB SE-A, Artículo 6.3.3.2)

No procede, dado que las longitudes de pandeo lateral son nulas.

Resistencia a flexión eje Z (CTE DB SE-A, Artículo 6.2.6)

La comprobación no procede, ya que no hay momento flector.

Resistencia a corte Z (CTE DB SE-A, Artículo 6.2.4)

Se debe satisfacer:

$$\eta = \frac{V_{Ed}}{V_{c,Rd}} \leq 1$$

h : 0.004 ✓

El esfuerzo solicitante de cálculo pésimo se produce en el nudo N20, para la combinación de acciones 1.35·PP+1.5·T1+1.5·T3.

V_{Ed}: Esfuerzo cortante solicitante de cálculo pésimo. V_{Ed} : 0.21 kN

El esfuerzo cortante resistente de cálculo $V_{c,Rd}$ viene dado por:

$$\mathbf{V_{c,Rd}} = A_V \cdot \frac{f_{yd}}{\sqrt{3}}$$

$V_{c,Rd}$: 53.43 kN

Donde:

A_v: Área transversal a cortante. A_v : 3.53 cm²

$$\mathbf{A_V} = A - 2 \cdot b \cdot t_f + (t_w + 2 \cdot r) \cdot t_f$$

Siendo:

A: Área bruta de la sección transversal de la barra. A : 7.60 cm²

b: Ancho de la sección. b : 46.00 mm

t_f: Espesor del ala. t_f : 5.20 mm

t_w: Espesor del alma. t_w : 3.80 mm

r: Radio de acuerdo entre ala y alma. r : 5.00 mm

f_{yd}: Resistencia de cálculo del acero. f_{yd} : 261.90 MPa

$$\mathbf{f_{yd}} = f_y / \gamma_{M0}$$

Siendo:

f_y: Límite elástico. (CTE DB SE-A, Tabla 4.1) f_y : 275.00 MPa

g_{M0}: Coeficiente parcial de seguridad del material. g_{M0} : 1.05

Abolladura por cortante del alma: (CTE DB SE-A, Artículo 6.3.3.4)

Aunque no se han dispuesto rigidizadores transversales, no es necesario comprobar la resistencia a la abolladura del alma, puesto que se cumple:

$$\frac{\mathbf{d}}{\mathbf{t_w}} < 70 \cdot \varepsilon$$

15.68 < 64.71 ✓

Donde:

l_w: Esbeltez del alma. l_w : 15.68

$$\lambda_w = \frac{d}{t_w}$$

$l_{máx}$: Esbeltez máxima. $l_{máx}$: 64.71

$$\lambda_{max} = 70 \cdot \varepsilon$$

e: Factor de reducción. e : 0.92

$$\varepsilon = \sqrt{\frac{f_{ref}}{f_y}}$$

Siendo:

f_{ref}: Límite elástico de referencia. f_{ref} : 235.00 MPa

f_y: Límite elástico. (CTE DB SE-A, Tabla 4.1) f_y : 275.00 MPa

Resistencia a corte Y (CTE DB SE-A, Artículo 6.2.4)

La comprobación no procede, ya que no hay esfuerzo cortante.

Resistencia a momento flector Y y fuerza cortante Z combinados (CTE DB SE-A, Artículo 6.2.8)

No es necesario reducir la resistencia de cálculo a flexión, ya que el esfuerzo cortante solicitante de cálculo pésimo V_{Ed} no es superior al 50% de la resistencia de cálculo a cortante $V_{c,Rd}$.

$$V_{Ed} \leq \frac{V_{c,Rd}}{2} \qquad 0.21 \text{ kN} \leq 26.72 \text{ kN}$$

Los esfuerzos solicitantes de cálculo pésimos se producen para la combinación de acciones 1.35·PP+1.5·T2+1.5·T4.

V_{Ed}: Esfuerzo cortante solicitante de cálculo pésimo. V_{Ed} : 0.21 kN

$V_{c,Rd}$: Esfuerzo cortante resistente de cálculo. $V_{c,Rd}$: 53.43 kN

Resistencia a momento flector Z y fuerza cortante Y combinados (CTE DB SE-A, Artículo 6.2.8)

No hay interacción entre momento flector y esfuerzo cortante para ninguna combinación. Por lo tanto, la comprobación no procede.

Resistencia a flexión y axil combinados (CTE DB SE-A, Artículo 6.2.8)

Se debe satisfacer:

$$\eta = \frac{N_{c,Ed}}{N_{pl,Rd}} + \frac{M_{y,Ed}}{M_{pl,Rd,y}} + \frac{M_{z,Ed}}{M_{pl,Rd,z}} \leq 1$$ h : 0.048 ✓

$$\eta = \frac{N_{c,Ed}}{\chi_y \cdot A \cdot f_{yd}} + k_y \cdot \frac{C_{m,y} \cdot M_{y,Ed}}{\chi_{LT} \cdot W_{pl,y} \cdot f_{yd}} + \alpha_z \cdot k_z \cdot \frac{C_{m,z} \cdot M_{z,Ed}}{W_{pl,z} \cdot f_{yd}} \leq 1$$ h : 0.078 ✓

$$\eta = \frac{N_{c,Ed}}{\chi_z \cdot A \cdot f_{yd}} + \alpha_y \cdot k_y \cdot \frac{C_{m,y} \cdot M_{y,Ed}}{W_{pl,y} \cdot f_{yd}} + k_z \cdot \frac{C_{m,z} \cdot M_{z,Ed}}{W_{pl,z} \cdot f_{yd}} \leq 1$$ h : 0.390 ✓

Los esfuerzos solicitantes de cálculo pésimos se producen en el nudo N18, para la combinación de acciones 1.35·PP+1.5·T2+1.5·T4.

Donde:

$N_{c,Ed}$: Axil de compresión solicitante de cálculo pésimo. $N_{c,Ed}$: 2.73 kN

$M_{y,Ed}$, $M_{z,Ed}$: Momentos flectores solicitantes de cálculo pésimos, según los ejes Y y Z, respectivamente. $M_{y,Ed}^-$: 0.21 kN·m; $M_{z,Ed}^+$: 0.00 kN·m

Clase: Clase de la sección, según la capacidad de deformación y de desarrollo de la resistencia plástica de sus elementos planos, para axil y flexión simple. Clase : 1

$N_{pl,Rd}$: Resistencia a compresión de la sección bruta. $N_{pl,Rd}$: 199.05 kN

$M_{pl,Rd,y}$, $M_{pl,Rd,z}$: Resistencia a flexión de la sección bruta en condiciones plásticas, respecto a los ejes Y y Z, respectivamente. $M_{pl,Rd,y}$: 6.08 kN·m; $M_{pl,Rd,z}$: 1.52 kN·m

Resistencia a pandeo: (CTE DB SE-A, Artículo 6.3.4.2)

A: Área de la sección bruta. A : 7.60 cm²

$W_{pl,y}$, $W_{pl,z}$: Módulos resistentes plásticos correspondientes a la fibra comprimida, alrededor de los ejes Y y Z, respectivamente. $W_{pl,y}$: 23.20 cm³; $W_{pl,z}$: 5.80 cm³

f_{yd}: Resistencia de cálculo del acero. f_{yd} : 261.90 MPa

$$\mathbf{f_{yd}} = f_y / \gamma_{M1}$$

Siendo:

f_y: Límite elástico. (CTE DB SE-A, Tabla 4.1) f_y : 275.00 MPa

γ_{M1}: Coeficiente parcial de seguridad del material. γ_{M1} : 1.05

k_y, k_z: Coeficientes de interacción.

$$\mathbf{k_y} = 1 + \left(\bar{\lambda}_y - 0.2\right) \cdot \frac{N_{c,Ed}}{\chi_y \cdot N_{c,Rd}}$$ k_y : 1.03

$$\mathbf{k_z} = 1 + \left(2 \cdot \bar{\lambda}_z - 0.6\right) \cdot \frac{N_{c,Ed}}{\chi_z \cdot N_{c,Rd}}$$ k_z : 1.52

$C_{m,y}$, $C_{m,z}$: Factores de momento flector uniforme equivalente. $C_{m,y}$: 1.00; $C_{m,z}$: 1.00

c_y, c_z: Coeficientes de reducción por pandeo, alrededor de los ejes Y y Z, respectivamente. c_y : 0.32; c_z : 0.04

$\grave{}\lambda_y$, $\grave{}\lambda_z$: Esbelteces reducidas con valores no mayores que 1.00, en relación a los ejes Y y Z, respectivamente. $\grave{}\lambda_y$: 1.63; $\grave{}\lambda_z$: 5.01

a_y, a_z: Factores dependientes de la clase de la sección. a_y : 0.60; a_z : 0.60

Resistencia a flexión, axil y cortante combinados (CTE DB SE-A, Artículo 6.2.8)

No es necesario reducir las resistencias de cálculo a flexión y a axil, ya que se puede ignorar el efecto de abolladura por esfuerzo cortante y, además, el esfuerzo cortante solicitante de cálculo pésimo V_{Ed} es menor o igual que el 50% del esfuerzo cortante resistente de cálculo $V_{c,Rd}$.

Los esfuerzos solicitantes de cálculo pésimos se producen para la combinación de acciones 1.35·PP+1.5·T2+1.5·T4.

$$\mathbf{V_{Ed,z}} \leq \frac{V_{c,Rd,z}}{2} \qquad 0.21 \text{ kN} \leq 26.72 \text{ kN}$$

Donde:

$V_{Ed,z}$: Esfuerzo cortante solicitante de cálculo pésimo. $V_{Ed,z}$: *0.21* kN

$V_{c,Rd,z}$: Esfuerzo cortante resistente de cálculo. $V_{c,Rd,z}$: *53.43* kN

Resistencia a torsión (CTE DB SE-A, Artículo 6.2.7)

La comprobación no procede, ya que no hay momento torsor.

Resistencia a cortante Z y momento torsor combinados (CTE DB SE-A, Artículo 6.2.8)

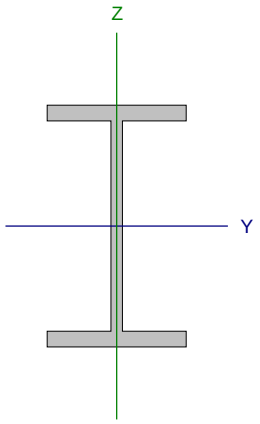
No hay interacción entre momento torsor y esfuerzo cortante para ninguna combinación. Por lo tanto, la comprobación no procede.

Resistencia a cortante Y y momento torsor combinados (CTE DB SE-A, Artículo 6.2.8)

No hay interacción entre momento torsor y esfuerzo cortante para ninguna combinación. Por lo tanto, la comprobación no procede.

Barra N20/N22

Perfil: IPE 80
Material: Acero (S275)



Nudos		Longitud (m)	Características mecánicas			
Inicial	Final		Área (cm²)	I_y (1) (cm4)	I_z (1) (cm4)	I_t (2) (cm4)
N20	N22	4.400	7.60	80.10	8.49	0.67

Notas:
(1) *Inercia respecto al eje indicado*
(2) *Momento de inercia a torsión uniforme*

	Pandeo		Pandeo lateral	
	Plano XY	Plano XZ	Ala sup.	Ala inf.
β	1.00	1.00	0.00	0.00
L_K	4.400	4.400	0.000	0.000
C_m	1.000	1.000	1.000	1.000
C_1	-		1.000	

Notación:
b: Coeficiente de pandeo
L_K: Longitud de pandeo (m)
C_m: Coeficiente de momentos
C_1: Factor de modificación para el momento crítico

Limitación de esbeltez (CTE DB SE-A, Artículos 6.3.1 y 6.3.2.1 - Tabla 6.3)

La esbeltez reducida $\bar{\lambda}$ de las barras comprimidas debe ser inferior al valor 2.0.

$$\bar{\lambda} = \sqrt{\frac{A \cdot f_y}{N_{cr}}}$$

`l : 4.80

Donde:

Clase: Clase de la sección, según la capacidad de deformación y de desarrollo de la resistencia plástica de los elementos planos comprimidos de una sección. Clase : 1

A: Área de la sección bruta para las secciones de clase 1, 2 y 3. A : 7.60 cm²

f_y: Límite elástico. (CTE DB SE-A, Tabla 4.1) f_y : 275.00 MPa

N_{cr}: Axil crítico de pandeo elástico. N_{cr} : 9.09 kN

El axil crítico de pandeo elástico N_{cr} es el menor de los valores obtenidos en a), b) y c):

a) Axil crítico elástico de pandeo por flexión respecto al eje Y. $N_{cr,y}$: 85.75 kN

$$\mathbf{N_{cr,y}} = \frac{\pi^2 \cdot E \cdot I_y}{L_{ky}^2}$$

b) Axil crítico elástico de pandeo por flexión respecto al eje Z. $N_{cr,z}$: 9.09 kN

$$\mathbf{N_{cr,z}} = \frac{\pi^2 \cdot E \cdot I_z}{L_{kz}^2}$$

c) Axil crítico elástico de pandeo por torsión. $N_{cr,T}$: ∞

$$\mathbf{N_{cr,T}} = \frac{1}{i_0^2} \cdot \left[G \cdot I_t + \frac{\pi^2 \cdot E \cdot I_w}{L_{kt}^2} \right]$$

Donde:

I_y: Momento de inercia de la sección bruta, respecto al eje Y. I_y : 80.10 cm4

I_z: Momento de inercia de la sección bruta, respecto al eje Z. I_z : 8.49 cm4

I_t: Momento de inercia a torsión uniforme. I_t : 0.67 cm4

I_w: Constante de alabeo de la sección. I_w : 120.00 cm6

E: Módulo de elasticidad. E : 210000 MPa

G: Módulo de elasticidad transversal. G : 81000 MPa

L_{ky}: Longitud efectiva de pandeo por flexión, respecto al eje Y. L_{ky} : 4.400 m

L_{kz}: Longitud efectiva de pandeo por flexión, respecto al eje Z. L_{kz} : 4.400 m

L_{kt}: Longitud efectiva de pandeo por torsión. L_{kt} : 0.000 m

i_0: Radio de giro polar de la sección bruta, respecto al centro de torsión. i_0 : 3.41 cm

$$\mathbf{i_0} = \left(i_y^2 + i_z^2 + y_0^2 + z_0^2 \right)^{0.5}$$

Siendo:

i_y , i_z: Radios de giro de la sección bruta, respecto a los ejes principales de inercia Y y Z. i_y : 3.25 cm

i_z : 1.06 cm

y_0 , z_0: Coordenadas del centro de torsión en la dirección de los ejes principales Y y Z, respectivamente, relativas al centro de gravedad de la sección. y_0 : 0.00 mm

z_0 : 0.00 mm

Abolladura del alma inducida por el ala comprimida (Criterio de CYPE, basado en: Eurocódigo 3 EN 1993-1-5: 2006, Artículo 8)

Se debe satisfacer:

$$\frac{h_w}{t_w} \leq k \frac{E}{f_{yf}} \sqrt{\frac{A_w}{A_{fc,ef}}}$$ 18.32 £ 240.89 ✓

Donde:

h_w: Altura del alma. h_w : 69.60 mm

t_w: Espesor del alma. t_w : 3.80 mm

A_w: Área del alma. A_w : 2.64 cm²

$A_{fc,ef}$: Área reducida del ala comprimida. $A_{fc,ef}$: 2.39 cm²

k: Coeficiente que depende de la clase de la sección. k : 0.30

E: Módulo de elasticidad. E : 210000 MPa

f_{yf}: Límite elástico del acero del ala comprimida. f_{yf} : 275.00 MPa

Siendo:

$f_{yf} = f_y$

Resistencia a tracción (CTE DB SE-A, Artículo 6.2.3)

Se debe satisfacer:

$$\eta = \frac{N_{t,Ed}}{N_{t,Rd}} \leq 1$$ h : 0.088 ✓

El esfuerzo solicitante de cálculo pésimo se produce para la combinación de acciones 1.35·PP+1.5·T2+1.5·T4.

$N_{t,Ed}$: Axil de tracción solicitante de cálculo pésimo. $N_{t,Ed}$: 17.58 kN

La resistencia de cálculo a tracción $N_{t,Rd}$ viene dada por:

$$N_{t,Rd} = A \cdot f_{yd}$$ $N_{t,Rd}$: 199.05 kN

Donde:

A: Área bruta de la sección transversal de la barra. A : 7.60 cm²

f_{yd}: Resistencia de cálculo del acero. f_{yd} : 261.90 MPa

$$f_{yd} = f_y / \gamma_{M0}$$

Siendo:

f_y: Límite elástico. (CTE DB SE-A, Tabla 4.1) f_y : 275.00 MPa

γ_{M0}: Coeficiente parcial de seguridad del material. γ_{M0} : 1.05

Resistencia a compresión (CTE DB SE-A, Artículo 6.2.5) ✗

Se debe satisfacer:

$$\eta = \frac{N_{c,Ed}}{N_{c,Rd}} \leq 1$$ h : 0.088 ✓

$$\eta = \frac{N_{c,Ed}}{N_{b,Rd}} \leq 1$$ h : 2.174

El esfuerzo solicitante de cálculo pésimo se produce para la combinación de acciones 0.8·PP+1.5·T1+1.5·T3.

$N_{c,Ed}$: Axil de compresión solicitante de cálculo pésimo. $N_{c,Ed}$: 17.58 kN

La resistencia de cálculo a compresión $N_{c,Rd}$ viene dada por:

$$\mathbf{N_{c,Rd}} = A \cdot f_{yd}$$ $N_{c,Rd}$: 199.05 kN

Donde:

Clase: Clase de la sección, según la capacidad de deformación y de desarrollo de la resistencia plástica de los elementos planos comprimidos de una sección. Clase : 1

A: Área de la sección bruta para las secciones de clase 1, 2 y 3. A : 7.60 cm²

f_{yd}: Resistencia de cálculo del acero. f_{yd} : 261.90 MPa

$$\mathbf{f_{yd}} = f_y / \gamma_{M0}$$

Siendo:

f_y: Límite elástico. (CTE DB SE-A, Tabla 4.1) f_y : 275.00 MPa

g_{M0}: Coeficiente parcial de seguridad del material. g_{M0} : 1.05

Resistencia a pandeo: (CTE DB SE-A, Artículo 6.3.2)

La resistencia de cálculo a pandeo $N_{b,Rd}$ en una barra comprimida viene dada por:

$$\mathbf{N_{b,Rd}} = \chi \cdot A \cdot f_{yd}$$ $N_{b,Rd}$: 8.08 kN

Donde:

A: Área de la sección bruta para las secciones de clase 1, 2 y 3. A : 7.60 cm²

f_{yd}: Resistencia de cálculo del acero. f_{yd} : 261.90 MPa

$$\mathbf{f_{yd}} = f_y / \gamma_{M1}$$

Siendo:

f_y: Límite elástico. (CTE DB SE-A, Tabla 4.1) f_y : 275.00 MPa

g_{M1}: Coeficiente parcial de seguridad del material. g_{M1} : 1.05

c: Coeficiente de reducción por pandeo.

$$\chi = \frac{1}{\Phi + \sqrt{\Phi^2 - \left(\bar{\lambda}\right)^2}} \leq 1$$ c_y : 0.35

c_z : 0.04

Siendo:

$$\Phi = 0.5 \cdot \left[1 + \alpha \cdot \left(\bar{\lambda} - 0.2\right) + \left(\bar{\lambda}\right)^2\right]$$ f_y : 1.86

f_z : 12.78

a: Coeficiente de imperfección elástica. a_y : 0.21

a_z : 0.34

`l: Esbeltez reducida.

$$\bar{\lambda} = \sqrt{\frac{A \cdot f_y}{N_{cr}}}$$ `l_y : 1.56

`l_z : 4.80

N_{cr}: Axil crítico elástico de pandeo, obtenido como el menor de los siguientes valores: N_{cr} : 9.09 kN

$N_{cr,y}$: Axil crítico elástico de pandeo por flexión respecto al eje Y. $N_{cr,y}$: 85.75 kN

$N_{cr,z}$: Axil crítico elástico de pandeo por flexión respecto al eje Z. $N_{cr,z}$: 9.09 kN

$N_{cr,T}$: Axil crítico elástico de pandeo por torsión. $N_{cr,T}$: ∞

Resistencia a flexión eje Y (CTE DB SE-A, Artículo 6.2.6)

Se debe satisfacer:

$$\eta = \frac{M_{Ed}}{M_{c,Rd}} \leq 1$$

h : 0.104 ✓

Para flexión positiva:

El esfuerzo solicitante de cálculo pésimo se produce en el nudo N22, para la combinación de acciones 0.8·PP+1.5·T2+1.5·T4.

M_{Ed}^{+}: Momento flector solicitante de cálculo pésimo. M_{Ed}^{+} : 0.43 kN·m

Para flexión negativa:

El esfuerzo solicitante de cálculo pésimo se produce en el nudo N22, para la combinación de acciones 1.35·PP+1.5·T1+1.5·T3.

M_{Ed}^{-}: Momento flector solicitante de cálculo pésimo. M_{Ed}^{-} : 0.63 kN·m

El momento flector resistente de cálculo $M_{c,Rd}$ viene dado por:

$$\mathbf{M_{c,Rd}} = W_{pl,y} \cdot f_{yd}$$

$M_{c,Rd}$: 6.08 kN·m

Donde:

Clase: Clase de la sección, según la capacidad de deformación y de desarrollo de la resistencia plástica de los elementos planos de una sección a flexión simple. Clase : 1

$W_{pl,y}$: Módulo resistente plástico correspondiente a la fibra con mayor tensión, para las secciones de clase 1 y 2. $W_{pl,y}$: 23.20 cm³

f_{yd}: Resistencia de cálculo del acero. f_{yd} : 261.90 MPa

$$\mathbf{f_{yd}} = f_y / \gamma_{M0}$$

Siendo:

f_y: Límite elástico. (CTE DB SE-A, Tabla 4.1) f_y : 275.00 MPa

γ_{M0}: Coeficiente parcial de seguridad del material. γ_{M0} : 1.05

Resistencia a pandeo lateral: (CTE DB SE-A, Artículo 6.3.3.2)

No procede, dado que las longitudes de pandeo lateral son nulas.

Resistencia a flexión eje Z (CTE DB SE-A, Artículo 6.2.6)

La comprobación no procede, ya que no hay momento flector.

Resistencia a corte Z (CTE DB SE-A, Artículo 6.2.4)

Se debe satisfacer:

$$\eta = \frac{V_{Ed}}{V_{c,Rd}} \leq 1$$

h : 0.006 ✓

El esfuerzo solicitante de cálculo pésimo se produce en el nudo N22, para la combinación de acciones 1.35·PP+1.5·T1+1.5·T3.

V_{Ed}: Esfuerzo cortante solicitante de cálculo pésimo. V_{Ed} : 0.35 kN

El esfuerzo cortante resistente de cálculo $V_{c,Rd}$ viene dado por:

$$\mathbf{V_{c,Rd}} = A_V \cdot \frac{f_{yd}}{\sqrt{3}}$$

$V_{c,Rd}$: 53.43 kN

Donde:

A_v: Área transversal a cortante. A_v : 3.53 cm²

$$\mathbf{A_V} = A - 2 \cdot b \cdot t_f + (t_w + 2 \cdot r) \cdot t_f$$

Siendo:

A: Área bruta de la sección transversal de la barra. A : 7.60 cm²

b: Ancho de la sección. b : 46.00 mm

t_f: Espesor del ala. t_f : 5.20 mm

t_w: Espesor del alma. t_w : 3.80 mm

r: Radio de acuerdo entre ala y alma. r : 5.00 mm

f_{yd}: Resistencia de cálculo del acero. f_{yd} : 261.90 MPa

$$\mathbf{f_{yd}} = f_y / \gamma_{M0}$$

Siendo:

f_y: Límite elástico. (CTE DB SE-A, Tabla 4.1) f_y : 275.00 MPa

g_{M0}: Coeficiente parcial de seguridad del material. g_{M0} : 1.05

Abolladura por cortante del alma: (CTE DB SE-A, Artículo 6.3.3.4)

Aunque no se han dispuesto rigidizadores transversales, no es necesario comprobar la resistencia a la abolladura del alma, puesto que se cumple:

$$\frac{\mathbf{d}}{\mathbf{t_w}} < 70 \cdot \varepsilon$$

15.68 < 64.71 ✓

Donde:

l_w: Esbeltez del alma. l_w : 15.68

$$\lambda_w = \frac{d}{t_w}$$

$l_{máx}$: Esbeltez máxima. $l_{máx}$: 64.71

$$\lambda_{max} = 70 \cdot \varepsilon$$

e: Factor de reducción. e : 0.92

$$\varepsilon = \sqrt{\frac{f_{ref}}{f_y}}$$

Siendo:

f_{ref}: Límite elástico de referencia. f_{ref} : 235.00 MPa

f_y: Límite elástico. (CTE DB SE-A, Tabla 4.1) f_y : 275.00 MPa

Resistencia a corte Y (CTE DB SE-A, Artículo 6.2.4)

La comprobación no procede, ya que no hay esfuerzo cortante.

Resistencia a momento flector Y y fuerza cortante Z combinados (CTE DB SE-A, Artículo 6.2.8)

No es necesario reducir la resistencia de cálculo a flexión, ya que el esfuerzo cortante solicitante de cálculo pésimo V_{Ed} no es superior al 50% de la resistencia de cálculo a cortante $V_{c,Rd}$.

$$V_{Ed} \leq \frac{V_{c,Rd}}{2} \qquad 0.35 \text{ kN} \leq 26.72 \text{ kN}$$

Los esfuerzos solicitantes de cálculo pésimos se producen para la combinación de acciones 1.35·PP+1.5·T2+1.5·T4.

V_{Ed}: Esfuerzo cortante solicitante de cálculo pésimo. V_{Ed} : 0.35 kN

$V_{c,Rd}$: Esfuerzo cortante resistente de cálculo. $V_{c,Rd}$: 53.43 kN

Resistencia a momento flector Z y fuerza cortante Y combinados (CTE DB SE-A, Artículo 6.2.8)

No hay interacción entre momento flector y esfuerzo cortante para ninguna combinación. Por lo tanto, la comprobación no procede.

Resistencia a flexión y axil combinados (CTE DB SE-A, Artículo 6.2.8)

El axil de compresión es excesivo y supera los axiles críticos de pandeo.

Resistencia a flexión, axil y cortante combinados (CTE DB SE-A, Artículo 6.2.8)

No es necesario reducir las resistencias de cálculo a flexión y a axil, ya que se puede ignorar el efecto de abolladura por esfuerzo cortante y, además, el esfuerzo cortante solicitante de cálculo pésimo V_{Ed} es menor o igual que el 50% del esfuerzo cortante resistente de cálculo $V_{c,Rd}$.

Los esfuerzos solicitantes de cálculo pésimos se producen para la combinación de acciones 1.35·PP+1.5·T2+1.5·T4.

$$V_{Ed,z} \leq \frac{V_{c,Rd,z}}{2} \qquad 0.35 \text{ kN} \leq 26.72 \text{ kN}$$

Donde:

$V_{Ed,z}$: Esfuerzo cortante solicitante de cálculo pésimo. $V_{Ed,z}$: 0.35 kN

$V_{c,Rd,z}$: Esfuerzo cortante resistente de cálculo. $V_{c,Rd,z}$: 53.43 kN

Resistencia a torsión (CTE DB SE-A, Artículo 6.2.7)

La comprobación no procede, ya que no hay momento torsor.

Resistencia a cortante Z y momento torsor combinados (CTE DB SE-A, Artículo 6.2.8)

No hay interacción entre momento torsor y esfuerzo cortante para ninguna combinación. Por lo tanto, la comprobación no procede.

Resistencia a cortante Y y momento torsor combinados (CTE DB SE-A, Artículo 6.2.8)

No hay interacción entre momento torsor y esfuerzo cortante para ninguna combinación. Por lo tanto, la comprobación no procede.

2.3.2.5. Comprobaciones E.L.U. (Resumido)

Barras	COMPROBACIONES (CTE DB SE-A)														Estado
	$\bar{\lambda}$	λ_w	N_t	N_c	M_y	M_z	V_z	V_y	M_yV_z	M_zV_y	NM_yM_z	$NM_yM_zV_yV_z$	M_t	M_tV_z	M_tV_y	
N2/N4	$\bar{\lambda} \geq 2.0$ Error[1]	$\lambda_w \leq \lambda_{w,máx}$ Cumple	η = 5.9	η = 274.7	x: 0 m η = 16.4	M_{Ed} = 0.00 N.P.[1]	x: 6.1 m η = 0.9	V_{Ed} = 0.00 N.P.[2]	η < 0.1	N.P.[3]	Error[2]	η < 0.1	M_{Ed} = 0.00 N.P.[4]	N.P.[5]	N.P.[5]	ERROR
N4/N6	$\bar{\lambda} \geq 2.0$ Error[1]	$\lambda_w \leq \lambda_{w,máx}$ Cumple	η = 10.9	η = 472.1	x: 0 m η = 11.3	M_{Ed} = 0.00 N.P.[1]	x: 0 m η = 0.7	V_{Ed} = 0.00 N.P.[2]	η < 0.1	N.P.[3]	Error[2]	η < 0.1	M_{Ed} = 0.00 N.P.[4]	N.P.[5]	N.P.[5]	ERROR
N6/N8	$\bar{\lambda} \geq 2.0$ Error[1]	$\lambda_w \leq \lambda_{w,máx}$ Cumple	η = 1.6	η = 109.8	x: 6.4 m η = 5.4	M_{Ed} = 0.00 N.P.[1]	x: 0 m η = 0.5	V_{Ed} = 0.00 N.P.[2]	η < 0.1	N.P.[3]	x: 6.4 m η = 113.4	η < 0.1	M_{Ed} = 0.00 N.P.[4]	N.P.[5]	N.P.[5]	ERROR
N8/N10	$\bar{\lambda} \geq 2.0$ Error[1]	$\lambda_w \leq \lambda_{w,máx}$ Cumple	η = 5.7	η = 322.0	x: 0 m η = 5.7	M_{Ed} = 0.00 N.P.[1]	x: 6.45 m η = 0.5	V_{Ed} = 0.00 N.P.[2]	η < 0.1	N.P.[3]	Error[2]	η < 0.1	M_{Ed} = 0.00 N.P.[4]	N.P.[5]	N.P.[5]	ERROR
N10/N12	$\bar{\lambda} \geq 2.0$ Error[1]	$\lambda_w \leq \lambda_{w,máx}$ Cumple	η = 8.1	η = 223.1	x: 0 m η = 3.3	M_{Ed} = 0.00 N.P.[1]	x: 4.6 m η = 0.4	V_{Ed} = 0.00 N.P.[2]	η < 0.1	N.P.[3]	Error[2]	η < 0.1	M_{Ed} = 0.00 N.P.[4]	N.P.[5]	N.P.[5]	ERROR
N12/N14	$\bar{\lambda} \geq 2.0$ Error[1]	$\lambda_w \leq \lambda_{w,máx}$ Cumple	η = 8.6	η = 237.8	x: 0 m η = 2.5	M_{Ed} = 0.00 N.P.[1]	x: 4.6 m η = 0.3	V_{Ed} = 0.00 N.P.[2]	x: 0 m η < 0.1	N.P.[3]	Error[2]	x: 0 m η < 0.1	M_{Ed} = 0.00 N.P.[4]	N.P.[5]	N.P.[5]	ERROR
N14/N16	$\bar{\lambda} \geq 2.0$ Error[1]	$\lambda_w \leq \lambda_{w,máx}$ Cumple	η = 7.8	η = 216.7	x: 4.6 m η = 3.3	M_{Ed} = 0.00 N.P.[1]	x: 0 m η = 0.4	V_{Ed} = 0.00 N.P.[2]	η < 0.1	N.P.[3]	Error[2]	η < 0.1	M_{Ed} = 0.00 N.P.[4]	N.P.[5]	N.P.[5]	ERROR
N16/N18	$\bar{\lambda} \geq 2.0$ Error[1]	$\lambda_w \leq \lambda_{w,máx}$ Cumple	η = 5.5	η = 154.1	x: 4.6 m η = 3.9	M_{Ed} = 0.00 N.P.[1]	x: 0 m η = 0.4	V_{Ed} = 0.00 N.P.[2]	η < 0.1	N.P.[3]	Error[2]	η < 0.1	M_{Ed} = 0.00 N.P.[4]	N.P.[5]	N.P.[5]	ERROR
N18/N20	$\bar{\lambda} \geq 2.0$ Error[1]	$\lambda_w \leq \lambda_{w,máx}$ Cumple	η = 1.1	η = 36.8	x: 0 m η = 3.5	M_{Ed} = 0.00 N.P.[1]	x: 4.6 m η = 0.4	V_{Ed} = 0.00 N.P.[2]	η < 0.1	N.P.[3]	x: 0 m η = 39.0	η < 0.1	M_{Ed} = 0.00 N.P.[4]	N.P.[5]	N.P.[5]	ERROR
N20/N22	$\bar{\lambda} \geq 2.0$ Error[1]	$\lambda_w \leq \lambda_{w,máx}$ Cumple	η = 8.8	η = 217.4	x: 4.4 m η = 10.4	M_{Ed} = 0.00 N.P.[1]	x: 4.4 m η = 0.6	V_{Ed} = 0.00 N.P.[2]	η < 0.1	N.P.[3]	Error[2]	η < 0.1	M_{Ed} = 0.00 N.P.[4]	N.P.[5]	N.P.[5]	ERROR
N22/N24	$\bar{\lambda} \geq 2.0$ Error[1]	$\lambda_w \leq \lambda_{w,máx}$ Cumple	η = 4.7	η = 106.9	x: 4.2 m η = 16.3	M_{Ed} = 0.00 N.P.[1]	x: 0 m η = 1.1	V_{Ed} = 0.00 N.P.[2]	η < 0.1	N.P.[3]	x: 4.2 m η = 117.7	η < 0.1	M_{Ed} = 0.00 N.P.[4]	N.P.[5]	N.P.[5]	ERROR

Notación:
$\bar{\lambda}$: Limitación de esbeltez
I_w: Abolladura del alma inducida por el ala comprimida
N_t: Resistencia a tracción
N_c: Resistencia a compresión
M_y: Resistencia a flexión eje Y
M_z: Resistencia a flexión eje Z
V_z: Resistencia a corte Z
V_y: Resistencia a corte Y
M_yV_z: Resistencia a momento flector Y y fuerza cortante Z combinados
M_zV_y: Resistencia a momento flector Z y fuerza cortante Y combinados
NM_yM_z: Resistencia a flexión y axil combinados
$NM_yM_zV_yV_z$: Resistencia a flexión, axil y cortante combinados
M_t: Resistencia a torsión
M_tV_z: Resistencia a cortante Z y momento torsor combinados
M_tV_y: Resistencia a cortante Y y momento torsor combinados
x: Distancia al origen de la barra
h: Coeficiente de aprovechamiento (%)
N.P.: No procede

Comprobaciones que no proceden (N.P.):
[1] La comprobación no procede, ya que no hay momento flector.
[2] La comprobación no procede, ya que no hay esfuerzo cortante.
[3] No hay interacción entre momento flector y esfuerzo cortante para ninguna combinación. Por lo tanto, la comprobación no procede.
[4] La comprobación no procede, ya que no hay momento torsor.
[5] No hay interacción entre momento torsor y esfuerzo cortante para ninguna combinación. Por lo tanto, la comprobación no procede.

Errores:
[1] Se ha producido un error, ya que la esbeltez de la barra es mayor que la esbeltez límite.
[2] El axil de compresión es excesivo y supera los axiles críticos de pandeo.